

АКАДЕМИЯ НАУК СССР

ЖУРНАЛ ФИЗИЧЕСКОЙ ХИМИИ

ТОМ
XXXIV

ВЫПУСК 12

ДЕКАБРЬ

ИЗДАТЕЛЬСТВО АКАДЕМИИ НАУК СССР
МОСКВА · 1960

ЖУРНАЛ ФИЗИЧЕСКОЙ ХИМИИ

Редакционная коллегия:

В. Я. АНОСОВ, К. В. АСТАХОВ, А. И. БРОДСКИЙ, Г. К. БОРЕСКОВ,
Я. И. ГЕРАСИМОВ, С. В. ГОРБАЧЕВ, Г. С. ЖДАНОВ,
Л. А. НИКОЛАЕВ, Н. Н. СЕМЕНОВ, А. Н. ТЕРЕНИН, А. Н. ФРУМКИН,
К. В. ЧМУТОВ

Главный редактор Я. И. ГЕРАСИМОВ

Заместители главного редактора: С. В. ГОРБАЧЕВ, К. В. ЧМУТОВ

Отв. секретарь Л. А. НИКОЛАЕВ

НИКОЛАЙ СЕМЕНОВИЧ КУРНАКОВ

(К столетию со дня рождения)

6 декабря 1960 г. исполнилось сто лет со дня рождения Николая Семеновича Курнакова — выдающегося русского химика, создавшего своеобразие направление в этой науке — физико-химический анализ. Так как в 1959 г. вышла из печати монография, посвященная жизни и творчеству Н. С. Курнакова, то нет необходимости останавливаться подробно на его биографии и можно лишь отметить отдельные этапы его жизненного пути.

Н. С. Курнаков происходит не из академической ученой среды, не из столицы, где была и тогда ключом интеллектуальная жизнь. Он родился в глубокой провинции, в городе Нолинске Вятской губернии в семье отставного офицера, участника Севастопольской обороны, умершего, когда Н. С. Курнакову было восемь лет. Детство будущий ученый провел в деревне — в имении своей матери в Нижегородской губернии. Среднее образование получил в Нижегородской военной гимназии, имевшей программы по естествознанию и математике меньшие, чем в обычных гимназиях. Такая индивидуальность будущего ученого сказалась уже в эти годы. Он увлекался химией еще в отроческом возрасте.

Естественно, что после окончания военной гимназии он пошел по своему пути, а не по тому, к которому его непосредственно готовили. Семнадцати лет Н. С. Курнаков поступил по конкурсному экзамену в Петербургский горный институт — одно из лучших учебных заведений России. В 1882 г. Н. С. Курнаков окончил Горный институт по заводскому отделению и далее, в течение всей своей жизни, не расставался со своей alma mater и даже прожил большую часть своей жизни в квартире на территории института.

Н. С. Курнаков был оставлен при Горном институте для подготовки преподаванию. В те годы установилась его тесная связь с промышленностью, прежде всего с металлургией. В 1885 г. после командировки в Германию, Австрию и Францию, где Н. С. Курнаков слушал лекции и изучал на месте металлургическую и соляную промышленность, он представил и защитил диссертацию «Испарительные системы соляных варниц» и получил должность адъюнкта. Это было началом его педагогической деятельности, которая в течение всей его жизни тесно переплеталась с экспериментальными и теоретическими исследованиями, а также с участием в промышленной жизни страны. С тех пор тематика, связанная с соляным делом, заняла прочное место в его деятельности.

В 1893 г. Н. С. Курнаков защитил диссертацию «О соляных металлургических основаниях» и с этого года стал профессором Горного института, заняв кафедру теоретической химии. С тех пор круг деятельности непрерывно расширялся. Он получил еще кафедру в Политехническом институте, одно время работал в Электротехническом институте и в обоих организовал химические лаборатории. В 1913 г. был избран академиком и впоследствии возглавил Лабораторию общей химии АН СССР в Ленинграде.

В годы первой мировой войны, когда впервые в России научная общественность была привлечена к разрешению остро вставших в то время за-

дач организации промышленности, Н. С. Курнаков принял активное участие в Комиссии по изучению естественных производительных сил России при Академии наук. Работая в ней, Н. С. Курнаков явился инициатором развития платиновой, а также соляной промышленности. В те же годы он участвовал в организации Института прикладной химии в Петрограде.

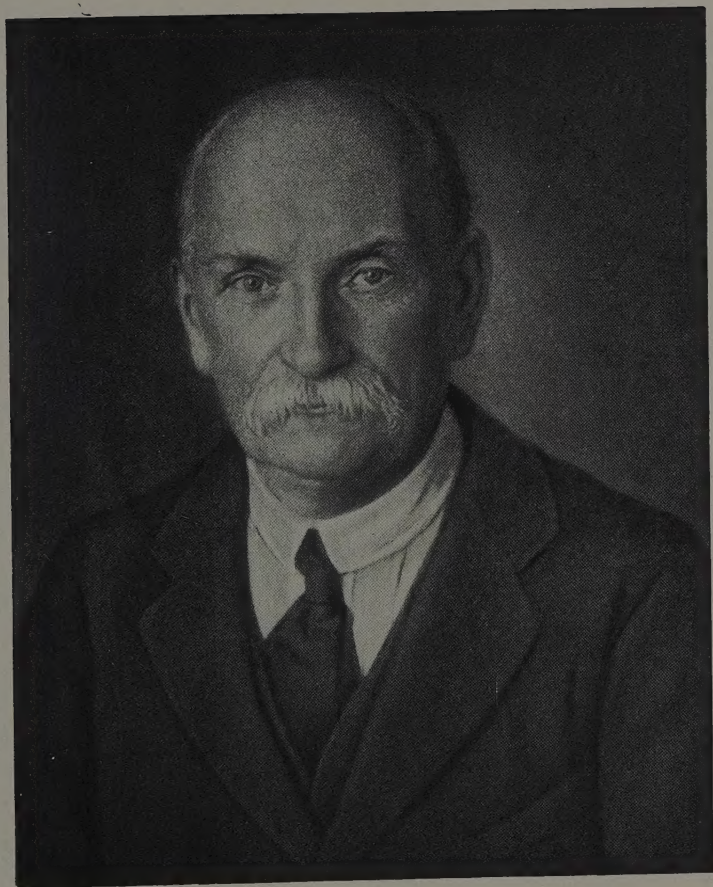
После Октябрьской Революции деятельность Н. С. Курнакова приобрела еще больший размах: был организован в Академии наук Институт физико-химического анализа. Открытие этого института было как бы официальным признанием физико-химического анализа. С 1922 г. после смерти Л. А. Чугаева, Н. С. Курнаков стал также директором Платинового института, открытого в 1918 г.

Далее, из внешних событий жизни можно отметить переезд в Москву в 1935 г. (однако связь с Ленинградским горным институтом осталась). В Москве Н. С. Курнаков возглавил Институт общей и неорганической химии, образовавшегося путем слияния трех учреждений, которыми руководил Н. С. Курнаков в Ленинграде: Института физико-химического анализа, Платинового института и Лаборатории общей химии АН СССР. В короткий срок была развернута работа, в несколько раз превосходившая по своим масштабам то, что было в Ленинграде.

В 1940 г., 19 марта окончилась эта долгая и плодотворная жизнь Н. С. Курнакова скончался в то время, когда физико-химический анализ завоевывал все новые области, когда он приобретал сотни новых adeptов среди химиков. В то время выходило из печати четвертое издание «Введения в физико-химический анализ», содержавшее в наиболее законченной форме итоги теоретической работы ученого, основы созданного им раздела общей химии — физико-химического анализа.

Термин «физико-химический анализ», с 1913 г. все чаще появляющийся в нашей стране, в иностранной литературе не встречается, и нет другого термина, который включал бы то, что охватывается этим понятием. Сам Н. С. Курнаков не давал общего определения, но характеризовал отдельные черты физико-химического анализа, а также указывал объекты этого раздела общей химии. В известной нам литературе наиболее полное определение приведено в упомянутой ранее монографии Ю. М. Соловьева и О. Е. Звягинцева: «физико-химический анализ — отдел общей химии, изучающий различные равновесные системы, образованные двумя или большим числом компонентов, посредством физических и геометрических методов». В нем говорится о «равновесных» системах, под этим понимаются равновесия не только стабильные, но и метастабильные, и исключаются лабильные состояния (например, кристаллы NaCl в чистой воде). Можно отметить некоторые неточности в этом определении. Физические методы характерны, но не исключены и другие методы. Геометрический метод возникает лишь после того, как применены физические или другие методы, позволяющие построить диаграмму «состав — свойство», исследование которой приводит к физико-химическим выводам. Существование, что системы из одного компонента также являются объектом физико-химического анализа, а диаграмма «свойство — температура» химического индивидуума рассматривается как равноправная (для физико-химического анализа) с диаграммой состав — свойство. Каковы бы ни были взгляды, унарные системы неизбежно входят в физико-химический анализ, так как эти системы — начальные точки диаграммы состав — свойство двойной или более сложной системы. Геометрическое изображение и его исследование нельзя рассматривать как обязательное для физико-химического анализа: может быть дана аналитическая зависимость свойства от состава, и такой способ является более высокой ступенью установления связи свойства с составом.

Интересно, что в самой первой своей статье 1894 г., в которой Н. С. Курнаков обратился к исследованию диаграмм состав — свойство «О влия-



Н. С. КУРНАКОВ

и гидратации на растворимость», Н. С. Курнаков исходил из термодинамического, а не из геометрического соотношения — из уравнения Шредера.

Следующие работы, которые мы теперь можем отнести к физико-химическому анализу, появились только через пять лет (в 1899 г.): «О взаимных соединениях металлов» и «О температурах плавления некоторых изоморфных смесей», и еще через два года — «О температурах плавления натрия и калия».

Лишь после изобретения в 1904 г. саморегистрирующего пирометра, известного под названием пирометра Курнакова, диаграммы состав — вязкость (диаграммы плавкости) увлекли Н. С. Курнакова и ограничили исследования отдельных соединений, суммированные в его диссертации 1885 г. Объектами исследования стали сплавы металлов и гораздо реже — плавы солей. К исследованию плавкости с 1907 г. прибавилась электропроводность, твердость, давление истечения. Эти работы привлекли к себе внимание широких кругов ученых и доставили Н. С. Курнакову известность и признание также за границы.

В 1906 г. Н. С. Курнаковым были открыты в системе таллий — висмут соединения переменного состава, впоследствии названные бертоллидами. В последующие годы такие соединения были найдены во многих металлических системах. Это выдающееся открытие привело к пересмотру основных химических представлений, к расширению понятия о химическом индивиде. Только через 15 лет после смерти Н. С. Курнакова, в свете современного учения о строении кристаллических фаз, удалось раскрыть природу этих соединений.

Н. С. Курнаков был один из первых, в области металлических сплавов — первым, кто при исследовании твердых фаз нашел случаи распада твердых растворов с образованием новых соединений или, как выяснено теперь, с появлением упорядоченности. Значение этого открытия в полной мере было оценено лишь через много лет; с развитием теоретических представлений кристаллохимии и экспериментальных методов исследования, оно породило целую литературу. В основе открытия и его трактовки лежала новая характеристика определенных соединений, к которой Н. С. Курнаков пришел путем исследования многих металлических систем, а окончательно развил на основе жидких систем из органических соединений, оказавшихся удобной моделью для вывода основных представлений.

Эти системы Н. С. Курнаков включил в круг своих интересов, начиная с 1910 г. Они были удобны для исследования и давали возможность изучать свойства гомогенных (жидких) фаз и искать связь диаграмм свойств жидких систем с диаграммами плавкости. Как известно, диаграммы последнего свойства выводятся термодинамически, благодаря чему трактовка получаемых экспериментально диаграмм наиболее обоснована. В качестве свойства была выбрана вязкость и удельный вес.

В результате этих исследований в 1912 г., совместно с С. Ф. Жемчуковым, Н. С. Курнаков опубликовал статью «Внутреннее трение двойных систем. Характеристика определенного соединения». В ней и последующих семи статьях (1912—1916 гг.) о вязкости двойных жидких систем был заложен фундамент исследования гомогенных систем по диаграммам вязкости. Введение понятия о сингулярной (дальтоновской) точке как характеристике соединения, было новым словом в химии. Плотность этого понятия была доказана уже в ближайшие годы; оно прочно вошло в современную науку.

Впоследствии Н. С. Курнаков с сотрудниками показал, что при переходе от двойных систем к более сложным возникают вместо точек другие сингулярные элементы — сингулярные ребра, плоскости и даже объемы. Эти элементы были найдены путем исследования преимущественно гетерогенных водных солевых равновесий.

Исследование жидких систем получило широкое развитие в нашей стране, где возникли целые научные школы, работающие в этом направ-

лении. Кроме систем, жидких при обычных температурах, стали исследоваться и системы, содержащие расплавленные соли. Под непосредственным же руководством Н. С. Курнакова, после долгого перерыва, это направление возобновилось только в тридцатых годах, хотя с ним связаны принципиальные достижения Н. С. Курнакова.

Приведенные в указанной выше работе, 1912 г. совместной с С. Ф. Жемчужным, сингулярные точки имели вид острых максимумов. Такой же вид они имели и на известных в то время диаграммах плавкости. Работы последователей Н. С. Курнакова очень расширили представления о сингулярных (дальтоновских) точках. Были найдены и теоретически обоснованы сингулярные минимумы и точки перегиба, были сформулированы также и условия отсутствия всякой сингулярной точки при составе, отвечающем определенному соединению.

С увеличением числа свойств и расширением круга объектов было показано большое разнообразие связи между характером кривых свойств и взаимоотношениями компонентов жидкостей. Та однозначность, на которую можно было надеяться по дореволюционным работам Н. С. Курнакова, оказалась не обоснованной. Пришли к необходимости более осторожно подходить к трактовке диаграмм: учитывать специфику свойств и химических связей в компонентах и возможных соединениях. Кроме того была показана роль чисто математических условий, вытекающих из способа выражения значений свойств и концентраций. Оказалось необходимым учитывать математические зависимости, чтобы извлекать из диаграммы заключения физико-химического характера. Были найдены и исследованы общие уравнения для несингулярных кривых свойств гомогенных систем. Вместе с тем была показана возможность использовать кривые свойства не только для нахождения соединений, имеющих жидкости (как делал Д. И. Менделеев и Н. С. Курнаков в первых работах), но для суждения о других изменениях. Сам Н. С. Курнаков указывал на отражение диаграммой диссоциации ассоциированного компонента в последствии по диаграммам стали делаться заключения об изменении структуры при смешении компонентов и даже об изменениях координационного числа и изменений характера связи. Конечно, для таких выводов используются данные смежных наук, достижения молекулярной физики, учения о строении, о химической связи и другое.

Для обоснований трактовки диаграмм свойств жидких систем необходимо знание диаграммы данного свойства для идеальной системы. Эти диаграммы известны для термодинамических функций (H , G , F , S) и объемных свойств идеальной системы, а также для плавкости. Для наиболее часто измеряемых свойств гомогенных систем — вязкости, электропроводности, поверхностного натяжения вопрос об изотерме идеальной системы не нашел своего окончательного решения, хотя интенсивно разрабатывается во многих странах мира. Большое число формул для того или иного свойства применительно к объектам определенных классов не позволяют пользование ими для смесей, механизм образования которых неизвестен.

Приложение разработанных представлений и методов к разнообразным объектам привело к новым данным. Так, в ряде работ, проведенных еще непосредственно под руководством Н. С. Курнакова, было открыто много новых органических соединений или соединений органических молекул с неорганическими и установлены новые закономерности, управляющие образованием этих соединений; была выяснена природа аномальных твердых растворов путем исследования водно-солевых систем, включающих некоторые галогениды и хлорид аммония; разъяснены природы фаз во многих металлических системах. Работы последнего направления особенно многочисленны и нет возможности останавливаться на них более подробно.

Одно из дальнейших направлений развития физико-химического анализа состоит в введении или, точнее, в вариировании факторов равнов

ия. Расширяется температурный интервал исследований, вводится как переменный фактор давление, долгое время принимавшееся за постоянное. Уменьшается разрыв между исследованиями объектов выше и ниже точки давления, между системами с растворителем и без него.

Н. С. Курнаков, как патриот, не мог пройти мимо тех непосредственных задач, которые выдвигались промышленностью в годы первых пятилеток. Под его руководством шли широким фронтом исследования водных равновесий, необходимых для понимания генезиса и нахождения путей использования вновь открытых ими известных ранее соляных месторождений. Много внимания уделено было также физико-химическому анализу систем, обещавших стать основой новых удобрений. Уже после смерти Н. С. Курнакова широко развился физико-химический анализ в применении к редким элементам. В рамках настоящей статьи нет возможности останавливаться на работах по металлам, приведших к нахождению новых сплавов, а также на многих других более мелких исследованиях, направленных на решение практических задач. Все перечисленные направления развиваются теперь преимущественно в специальных вновь открытых Институтах.

Практика уже давно стала относить к физико-химическому анализу все работы, касающиеся равновесных систем, независимо от того, какие из свойств изучаются для познания их природы, и от того, пользуются ли авторы геометрическими изображениями для установления связей или дают их иным путем. Системы же исследуются во всех частях света, хотя за рубежом ученые, как мы заметили выше, и не пользуются термином физико-химический анализ. Научное значение работ Н. С. Курнакова заключается в раскрытии тех общих черт, которые имеются у шлаков и водных растворов, между смесями газов и металлических сплавов, между стеклами и жирами, в объединении систем из столь разнообразных веществ в одну область.

В настоящее время в физико-химическом анализе можно выделить общий раздел, занимающийся вопросами, не связанными со спецификой объектов или свойств, и разделы, изучающие на основе положений общего раздела различные свойства определенных классов веществ (металлы, солевые системы, силикаты) или определенные свойства применительно к различным классам веществ (тензиметрия, вискозиметрия и т. д.).

Современные исследователи физико-химических систем, вооруженные методами теоретической физики и располагающие новейшей экспериментальной техникой, должны знать и изучать работы Н. С. Курнакова — основоположника физико-химического анализа.

Н. К. Воскресенская

УКРУПНЕНИЕ И ИЗМЕРЕНИЕ ЯДЕР КОНДЕНСАЦИИ
В НЕПРЕРЫВНОМ ПОТОКЕ**Я. И. Коган и З. А. Бурнашева*

Закономерности процесса конденсации пара на ядрах подробно исследовались в связи с использованием этого явления в камерах Вильсона [1] и в различного рода счетчиках атмосферных ядер конденсации [2]. Пересыщение пара в обоих случаях достигается обычно за счет быстрого адиабатического расширения, осуществляемого периодически. Основной изучавшейся количественной характеристикой процесса являлась степень пересыщения пара, необходимая для начала конденсации на ядрах различной природы. Определение размеров ядер, особенно при отсутствии на них электрического заряда, в таких условиях опыта встречает затруднения. Прерывность процесса и быстрое изменение во времени размеров образующихся водяных капелек затрудняют контроль этих размеров и установление количественных связей между размерами и концентрацией ядер и размерами укрупненных частиц.

Между тем явление конденсации пересыщенного пара на ядрах весьма универсально и не ограничивается сравнительно узким кругом исследованных систем и условий. Возможности его использования в других экспериментально-методических целях еще недостаточно выявлены.

В нижеописанном методе применяются конденсирующиеся пары высококипящих веществ, имеющих весьма малую равновесную упругость пара при комнатной температуре (10^{-4} — 10^{-7} мм рт. ст.). Требуемое пересыщение пара создается путем непрерывного смешения потоков воздуха разной температуры. Поток более высокой температуры перед смешением насыщается парами вещества, предназначенного для конденсации на ядрах. Укрупнение ядер за счет конденсации на них пара происходит в зоне потока, начинающейся от места смешения и продолжающейся до места установления равновесной упругости пара при температуре стенок коммуникаций.

Укрупненные ядра представляют собой достаточно стабильные частицы, что позволяет определять не только их число (счетную концентрацию), но и размер, причем эти определения выполняются при помощи нефелометрических и ультрамикроскопических измерений непосредственно в потоке. В этих условиях выявляются новые количественные закономерности и новые, весьма полезные экспериментальные возможности.

Экспериментальная часть

Устройство и действие прибора. На рис. 1 изображено устройство основного узла (термостата со смесителем) прибора с условным названием КУСТ-2, предназначенного для укрупнения ядер конденсации в потоке. Термостат состоит из трех концентрично расположенных металлических цилиндров 1, 2 и 3. Внутренний цилиндр 1 заполняется зернами крупнопористого силикателя, пропитанного веществом, пары которого предназначены для конденсации на ядрах. Шихта ограничивается снизу частой сеткой, а сверху кружком 14 термостойкого фильтрующего материала. Зазор между цилиндрами 1 и 2 служит паровой рубашкой для термостатирования шихты

* Доложено на Конференции по коллоидной химии в г. Тбилиси 16 мая 1958 г.

и температуре около 100° . Пар поступает через штуцер 4, конденсат сливается через штуцер 6. Зазор между цилиндрами 2 и 3 заполняется асбестом и служит тепловой изоляцией. Чистый, профильтрованный воздух подается во внутренний цилиндр через штуцер 5. В нагретой шихте воздух насыщается парами пропитки при 100° и выходит в виде струи через сопло 7 в смеситель. Смеситель выполнен из текстолита. Он состоит из стакана 8, конического сопла 9 и штуцера 11. Стакан смесителя уплотняется с соплом термостата паранитовой прокладкой 13 при помощи гайки 12. Сопло смесителя под-

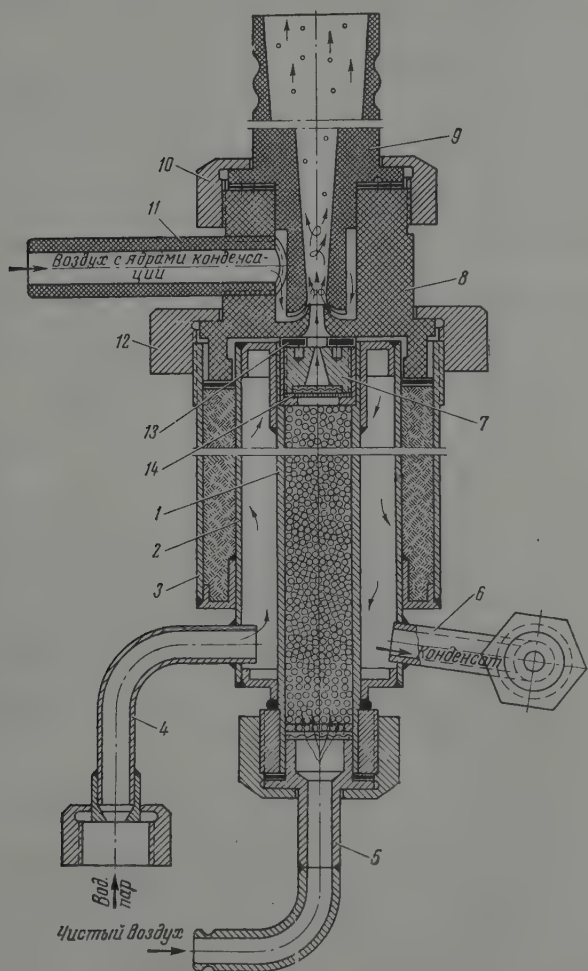


Рис. 1. Термостат со смесителем прибора КУСТ-2 для укрупнения ядер конденсации в потоке (подробности в тексте)

соединяется с стаканом гайкой 10. Воздух или другой газ, содержащий ядра конденсации, поступает через штуцер 11, проходит через концентрический зазор в сопло смесителя и смешивается с центральной струей нагретого воздуха, насыщенного парами пропитки. Степень пересыщения регулируется соотношением скоростей смешиваемых потоков. Непременным условием при этом является недостаточность пересыщения для спонтанной конденсации пара в объеме. При отсутствии ядер конденсации пары пропитки конденсируются только на стенках сопла и в последующих коммуникациях; при наличии ядер часть пара конденсируется на них, образуя частицы аэрозоля, которые затем наблюдаются в нефелометре или ультрамикроскопе непосредственно в потоке.

Зона пересыщения в приборе начинается от входа в сопло смесителя и заканчивается (в зависимости от скоростей потоков и концентрации ядер) либо в пределах сопла, либо на ближайшем (10—20 см) участке коммуникаций за соплом. В случае больших разбавлений нагретого воздуха, т. е. когда температура смеси близка к температуре стенок коммуникаций, максимальное пересыщение создается непосредственно в зоне смешения; в обратном случае максимальное пересыщение может возникнуть на некотором расстоянии от места смешения за счет отставания диффузионного процесса массопередачи от теплопередачи из потока к стенкам [3]. В изложенных ниже условиях опыта имел место первый случай.

Основные закономерности. а) Проявляющиеся ядра. Большинство опытов, выполненных нами с прибором КУСТ-2, проводилось с применением в качестве пропитки фракции турбинного масла марки 30 (ГОСТ-32-53), отогнанной при остаточном давлении 4 мм рт. ст. в интервале температур 170—185°. Приблизительно такие же результаты получались при пропитке силикагеля диметилфталатом и дибутилфталатом. Применение веществ с меньшей упругостью пара, например диоктилфталата или диоктилсебагината, дает соответственно меньшее укрупнение частиц.

Изложенные ниже результаты были получены с применением указанной фракции турбинного масла. Скорость потока воздуха через термостат в этих опытах была $v_1 = 1$ л/мин, скорость поступающего в смеситель потока воздуха с ядрами конденсации $v_2 = 4$ л/мин. Сопrotивление зазора в сопле смесителя было в пределах 15—25 мм вод. ст.*

При этих условиях в приборе КУСТ-2 проявляются, т. е. вырастают до размеров, достаточных для наблюдения частиц в нефелометре, ядра следующей природы и размеров:

Частицы тонкодисперсных ($r \geq 0,01$ м) туманов из неразогнанного турбинного масла, диоктилфталата, диоктилсебагината, трикрезилфосфата и других высококипящих жидкостей.

Солевые частицы, получающиеся при распылении разведенных растворов и последующем испарении растворителя, в том числе при тонком распылении дважды дистиллированной воды с концентрацией сухого остатка 0,5 мг/л, после испарения капелек которой остаются солевые частицы радиусом до 0,001—0,002 м**.

Частицы размером порядка тысячных микрона, получающиеся при нагревании в потоке воздуха платиновых, никелевых и стальных проволок до 830° и выше***.

Частицы, образующиеся при нагреве (ниже красного каления) оксидных катодов радиоламп, а также остеклованных сопротивлений, обдуваемых потоком чистого воздуха.

Частицы солей, образующиеся при нагреве сопротивлений, керамические трубки которых предварительно пропитывались раствором соли.

Удаление электрически заряженных ядер пропусканием потока через длинный плоский конденсатор с напряженностью поля до 1500 В/см качественно не изменяет результата. Таким образом, в приборе КУСТ-2 укрупняются, по-видимому, любые заряженные и нейтральные слабоиспаряющиеся при комнатной температуре частицы размером 10^{-7} см и выше.

Минимальный размер ядер вышеуказанных типов, при котором еще возможно проявление в приборе КУСТ-2, в этих опытах не был достигнут.

Воздушные ионы, получающиеся при облучении γ -лучами, в условиях этих опытов на приборе КУСТ-2 не проявляются. Проявление воздушных ионов наблюдается в приборе КУСТ-2 с диоктилсебагинатом в качестве

* При малом зазоре (большом сопротивлении) наблюдается спонтанное образование ядер. Механизм их возникновения окончательно не выяснен. При больших зазорах (малые сопротивления) ухудшается смешение потоков. Интервал сопротивления 15—25 мм вод. ст. является практически установленным оптимальным.

** Определено совместно с Р. С. Решиной.

*** Определено совместно с Л. И. Кацовой.

питки, при уменьшении скоростей потоков и дополнительном охлаждении смеси*.

б) Зависимость размера укрупненных частиц от размера ядер конденсации. Установление зависимости размера укрупненных частиц от размера ядер конденсации производилось на установке, схема которой представлена на рис. 2.

Первичные ядра конденсации получались нагревом в потоке воздуха калованного сопротивления типа ПЭ-15-500, керамическая трубка которого предварительно пропитывалась раствором соли. Сопротивление 1

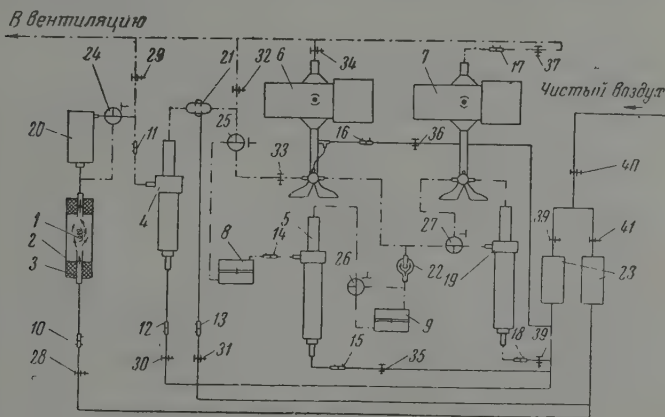


Рис. 2. Схема экспериментальной установки для исследования закономерностей укрупнения ядер в приборе КУСТ-2: 1 — источник первичных ядер; 2 — трубка; 3 — сопло; 4 — прибор КУСТ-2 с диоктилфталатом для образования вторичных ядер; 5 — прибор КУСТ-2 с турбинным маслом для укрупнения вторичных ядер; 6 — нефелометр КОЛ-45; 7 — ультрамикроскоп; 8, 9 — неселективные фильтры-разбавители; 10—18 — реометры; 19 — прибор КУСТ-2 с турбинным маслом для дополнительного укрупнения малых частиц перед счетом; 20 — буфер; 21 — смеситель; 22 — турбулизатор; 23 — фильтры; 24—27 — краны; 28—41 — регулировочные зажимы

чалось в центре трубки 2 над соплом 3, через которое поступал протравленный воздух. В смесителе 4 первого по току воздуха прибора Г-2, заряженного шихтой, пропитанной диоктилфталатом, первичные укрупнялись, образуя аэрозоль диоктилфталата. Частицы этого аэрозоля в свою очередь поступали в смеситель 5 второго прибора КУСТ-2, заряженного шихтой с названной выше фракцией турбинного масла. Они снова служили ядрами конденсации, но уже для паров турбинного масла. Укрупненные частицы получившегося аэрозоля направлялись на определение их числа (счетной концентрации) и размеров в нефелометре 6 и ультрамикроскопе 7. Показания нефелометра предварительно проверялись по счетно-весовому методу. Одна из калибровочных кривых нефелометра КОЛ-45 [4] (в зеленом свете для угла рассеяния 45° , без изотатора) приведена на рис. 3. Величина i представляет собой относительную интенсивность светорассеяния аэрозолем при единичной счетной концентрации, т. е. $i = I/n$, где I — непосредственно измеряемая на фотометре яркость аэрозоля, n — счетная концентрация аэрозоля, определяемая при помощи ультрамикроскопа. Пользуясь графиком рис. 3,

можно по данным I и n определить радиус частиц масляного тумана. Тем же способом определялись размеры вторичных ядер [частиц диоктилфталата, имеющих практически одинаковый коэффициент преломления ($m = 1,483$) с турбинным маслом ($m = 1,487$)]. При этом отдельного оп

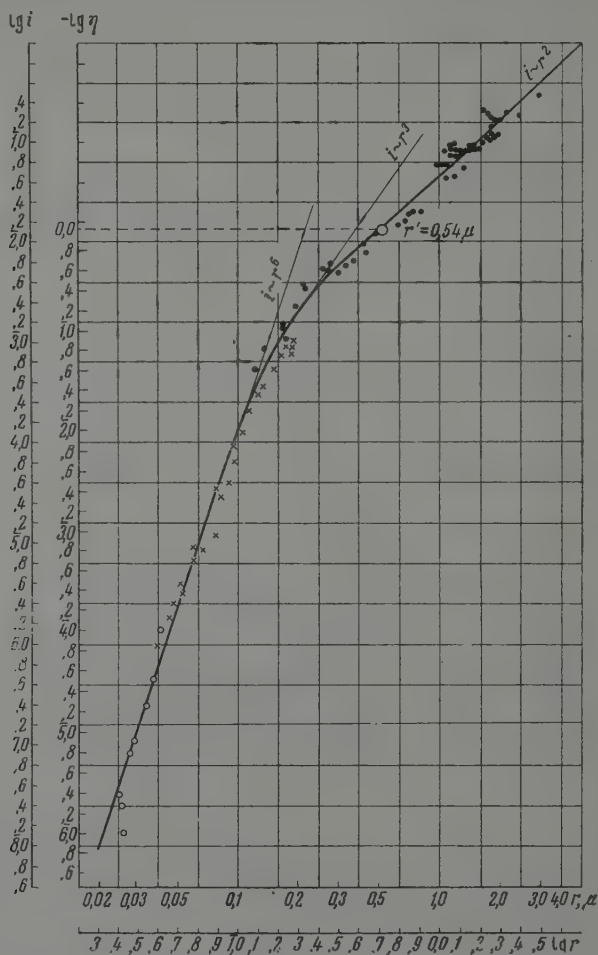


Рис. 3. Зависимость относительной интенсивности рассеяния света от радиуса рассеивающих частиц с показателем преломления $m = 1,483$ (светлые кружки) и $m = 1,487$ (крестики) — полидисперсный аэрозоль; темные кружки — монодисперсный аэрозоль. [Нефелометр КОЛ-45: угол рассеяния $\beta = 45^\circ$; зеленый светофильтр ($\lambda_{\text{пред}} = 500$ и 570 мμ); неполяризованный свет]

деления счетной концентрации ядер не требовалось, поскольку число частиц при укрупнении в приборе КУСТ-2 не изменяется. Размеры частиц диоктилфталата (вторичных ядер) варьировались путем изменения скоростей потоков в смесителе первого прибора КУСТ-2 (за счет регулирования сброса 29) и путем изменения счетной концентрации первичных ядер. Концентрация вторичных ядер перед вторым прибором КУСТ-2 поддер

ась приблизительно постоянной, не превышающей 10^3 в см^3 . Для этой и применялись неселективные фильтры-разбавители 8 с известными коэффициентами разбавления. Скорость потока, поступающего в смеситель второго КУСТ-2, контролировалась по реометру 14 и также поддерживалась постоянной $v_2 = 4$ л/мин. Это достигалось регулированием сброса или разбавления в смесителе 21.

Полученная зависимость размера укрупненных частиц масла от размера вторичных ядер (частиц диоктилфталата) представлена на рис. 4.

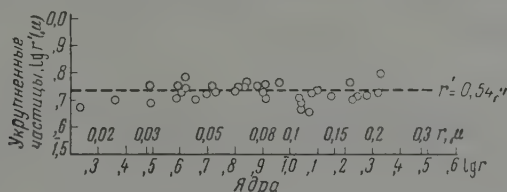


Рис. 4. Зависимость радиуса укрупненных частиц от радиуса ядер

Как видно из рис. 4, размер укрупненных частиц не зависит от размера ядер конденсации в широком диапазоне изменения размера ядер. Постоянство размера укрупненных частиц в данном случае, очевидно, связано с характером кинетики роста, так как термодинамически равновесного размера частиц для практически однородного вещества не существует. Если бы имело значение равновесие между влиянием кривизны поверхности на концентрацией растворенного в масле диоктилфталата, то размер укрупненных частиц зависел бы от размера ядер.

Полученный результат показывает, что этап роста частиц в интервале размеров, соответствующем различию в размерах минимальных и максимальных ядер (от $r = 0,015$ мкм до $r = 0,2$ мкм) мал, по сравнению с общим временем укрупнения частиц до конечных размеров (т. е. в данном случае до $0,54$ мкм). Поверхность всех частиц поэтому вырастает на одинаковую величину Δs , по сравнению с которой различие в поверхности ядер ($s_{\text{макс}} - s_{\text{мин}}$) мало и не сказывается на конечном размере укрупненных частиц. Влияние размера ядер на размер укрупненных частиц должно, следовательно, проявляться только, когда поверхность ядер s_0 сравнима с приращением поверхности Δs при укрупнении.

Одним из важных следствий полученного результата является изотерпность укрупненного аэрозоля. Однородность укрупненных частиц подтверждена была также непосредственно при помощи фотоэлектрических счетчиков частиц с амплитудным анализатором световых импульсов. Кроме того, рассеянный свет от укрупненного аэрозоля в приборе типа «Сова» [7] при наблюдении под соответствующими углами дает насыщенные цвета спектров Тиндаля, что также является свидетельством вый изодисперсности укрупненного аэрозоля.

Зависимость размера укрупненных частиц от начальной концентрации ядер. Эта зависимость определялась на той же экспериментальной установке, рис. 2. Размер ядер за данным прибором КУСТ-2 сохранялся здесь постоянным ($r \approx 0,04$ мкм). Изменялась только счетная концентрация ядер, за счет применения фильтров-разбавителей 8 с различным коэффициентом разбавления. При очень больших счетных концентрациях ядер и малом размере укрупненных частиц непосредственный счет укрупненных частиц в ультрамикроскопе затруднителен. Поэтому в данной серии опытов перед ультрамикроскопом дополнительно устанавливались зажим 9 для фильтров-разбавителей и один прибор КУСТ-2 19 для укрупнения разбавленного аэрозоля.

Результаты этих определений приведены на рис. 5. По оси абсцисс отложена величина $n^{-1/2}$, характеризующая среднее расстояние между седними частицами, и соответствующие значения n ; по оси ординат по-прежнему $\lg r'$ укрупненных частиц. Как видно из графика, для обла-
счетных концентраций $n < 10^3$ в см^3 ($n^{-1/2} > 1$ мм) размер укрупненных
стиц не зависит от n , т. е. каждая частица укрупняется независимо
присутствия других частиц. Для области $n > 10^5$ имеет место измене-

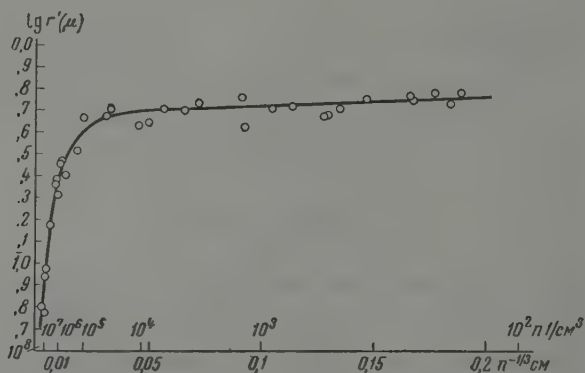


Рис. 5. Зависимость радиуса укрупненных частиц от среднего расстояния между ядрами (концентрации ядер)

радиуса укрупненных частиц, пропорциональное $n^{-1/2}$. В этом случае новая пара конденсируется в объеме, и приращение массы каждой частицы обратно пропорционально n или $r^3 \sim 1/n$.

Возможности метода и области его использования. Как видно из рис. 3, для области $r < 0,1$ м светорассеяние резко уменьшается с уменьшением r . Поэтому ультрамикроскопический счет частиц практически невозможен при $r < 0,05$ м, а нефелометрические измерения даже при больших счетных концентрациях ограничиваются областью $r > 0,01$ м. Для исследования аэрозолей с электрически нейтральными частицами при $r < 0,01$ м нет метода детектирования в непрерывном потоке.

Вышеописанный метод укрупнения ядер в потоке заполняет этот пробел. При этом он обеспечивает для частиц самых малых размеров такую чувствительность нефелометрических измерений (по счетным концентрациям), как для частиц с $r \approx 0,5$ м. В последнем случае при помощи, например, нефелометров КОЛ-45 или КОЛ-90 [4] вполне доступны измерения при счетных концентрациях в несколько частиц на 1 см^3 . Сохранение такой чувствительности для ядер любого размера означает феноменальную чувствительность метода к весовым концентрациям тонкодисперсных ядер, достигающую при ядрах с $r = 0,001$ м порядка 10^{-20} г/см^3 , что, конечно, также не является пределом.

Ввиду приблизительного постоянства размера укрупненных частиц (при $n < 10^3$ в см^3), измеряемая нефелометром интенсивность рассеяния света зависит только от счетной концентрации ядер и служит поэтому хорошей счетной концентрации. Ультрамикроскопический счет частиц здесь необходим лишь для градуировки нефелометрических показателей.

Для определения размера ядер в области тысячных и сотых микрометров могут служить измерения их осаждения в диффузионных батареях [5], выполняемые при помощи метода укрупнения и нефелометра.

Метод укрупнения в сочетании с нефелометрическими измерениями, кроме того, возможность построения нового оптического способа определения размеров ядер конденсации в области сотых долей микрона. Этот способ заключается в следующем: пусть измеряемое при помощи нефелометра относительное светорассеяние исходного аэрозоля равно $I = ni$, а после разбавления в κ раз и укрупнения равно $I' = ni'/\kappa$, где i' — соответствующие светорассеяния при счетной концентрации $n = 1 \text{ см}^{-3}$. Назовем коэффициентом усиления светорассеяния при укрупнении величину

$$\eta = \frac{i'}{i} = \frac{\kappa I'}{I}. \quad (1)$$

При постоянных условиях укрупнения разбавленного аэрозоля размер укрупненных частиц постоянен и, следовательно, $i' = \text{const}$ и величина $\sim i(r, m)$, где r — радиус ядер конденсации, m — комплексный коэффициент преломления вещества ядер. Для ядер данного вещества η зависит только от их размера, который, следовательно, может быть определен простыми нефелометрическими измерениями яркости укрупненного и исходного аэрозоля, согласно (1).

На рис. 3 представлена зависимость $-\lg \eta$ от r для ядер диоктилфталата. Эта кривая совпадает с кривой $\lg i$ от r , так как $-\lg \eta = \lg i_{(r)} - \lg i'_{(r_0)}$. В применявшихся условиях укрупнения $r'_0 = 0,54 \mu$

соответствующая величина $\lg i'_{(r'_0)} = 2,14$. Этому значению на оси ординат должен соответствовать нуль шкалы $-\lg \eta$. При других условиях укрупнения и другом значении $\lg i'$ шкала $-\lg \eta$ соответственно сдвигается. Для рэлеевской области рассеяния света, отвечающей формуле $(2\pi r/\lambda)|m| < 1$ [8], интенсивность рассеяния пропорциональна величине $(m^2 - 1/m^2 + 2)^2$. Для применявшегося масла и диоктилфталата эта величина равна 0,082. При определении размера ядер других веществ с другим значением m можно, следовательно, также использовать градуировочную зависимость рис. 3, но вместо фактически измененной величины $-\lg \eta_x$ следует брать величину:

$$-\lg \eta = -\lg \eta_x + \lg \left[0,082 \left(\frac{m^2 - 1}{m^2 + 2} \right)^2 \right]. \quad (2)$$

Такой способ правомочен практически для всех прозрачных или слабопоглощающих в данном участке спектра частиц почти во всей области сотых долей микрона по радиусу. Для более крупных частиц зависимость η также может быть учтена теоретически, но соответствующие расчеты являются более сложными [8]. К достоинствам описанного способа определения размера малых ядер наряду с простотой измерения следует также отнести его высокую чувствительность к изменениям r (в рэлеевской области $1/\eta \sim r^6$).

Следует, однако, иметь в виду, что получающиеся при этом средние значения r являются результатом усреднения по закону r^6 , т. е. при значительной полидисперсности ядер влияние фракций с большими размерами частиц здесь проявляется сильнее, чем в счетно-весовом методе, где выделяется r^3 . Связь между чувствительностью метода к изменениям определяемого параметра и соответствующим законом усреднения является, впрочем, принципиально неизбежной и не может поэтому рассматриваться как недостаток того или иного метода.

Метод укрупнения, таким образом, не только позволяет распространять нефелометрические и ультрамикроскопические измерения на недо-

ступную для них область размеров частиц в сотые и тысячные микроны, кроме того, делает нефелометрические измерения более физически определенными (пропорциональность счетной концентрации) и открывает новые возможности в определении размеров частиц.

Сочетание нефелометрических измерений с методом укрупнения благодаря исключительной чувствительности и простоте определений численности и размера частиц значительно расширяет экспериментальные возможности в ряде областей исследования. На основе такого сочетания могут быть построены новые методы исследования таких, например, вопросов, как: генерация, распространение и фильтруемость наиболее тонкодисперсных аэрозолей разнообразного естественного и искусственного происхождения; испаряемость твердых тел при относительно низких температурах (определяемая по числу и размерам ядер конденсации); упругость на высококипящих жидкостях (определяемая по степени укрупнения ядер); обнаружение и измерение ничтожных дисперсных (или газовых, способных превращаться в дисперсные) примесей в газах и т. д.

Описанный прибор КУСТ-2 может быть также использован в качестве генератора монодисперсных аэрозолей в широком диапазоне размеров частиц. По сравнению с известным, специально предназначенным для этой цели генератором Ла-Мера [6], прибор КУСТ-2, на наш взгляд, имеет преимущество в легкости регулирования и воспроизводимости режимов работы. Предназначенный в основном для количественных измерений ядер конденсации прибор КУСТ-2 отличается от генератора Ла-Мера, кроме способа создания пересыщения, также более четким разграничением зон прибора, исключающим влияние неконтролируемых факторов. Пересыщение паром и подогрев потока в приборе КУСТ-2, вследствие большой поверхности контакта с пропитывающей зерновой силикагель нагретой жидкостью, осуществляется всегда полно и не сопровождается генерацией ядер или изменением характеристик вводимых ядер, как это имеет место в генераторе Ла-Мера. Источник ядер в приборе КУСТ-2 отделен и независим, а турбулентный режим в начальной зоне смешения потоков обеспечивает равные условия роста для всех частиц.

При выполнении измерений, приведенных в данной работе, большой труд был вложен лаборантом М. Е. Панкратовой, за что авторы выражают ей благодарность.

Выводы

В описанном методе укрупнение ядер конденсации происходит в непрерывном потоке за счет пересыщенных паров веществ, имеющих весьма малую равновесную упругость пара при комнатной температуре. Пересыщение создается путем смешения потоков разной температуры. Образующиеся укрупненные частицы достаточно стабильны, что позволяет определять их размер и концентрацию при помощи нефелометрических и ультрамикроскопических измерений. Приведена градуировочная зависимость интенсивности i рассеянного света от размера частиц в диапазоне радиусов от 0,015 до 3,0 μ . Показано, что радиус r' укрупненных частиц не зависит от размера ядер r и от их концентрации n , если $n \leq 10^3 \text{ см}^{-3}$. В этих условиях яркость монодисперсного укрупненного аэрозоля в нефелометре пропорциональна счетной концентрации ядер, а измерения коэффициента усиления яркости при укрупнении $\eta = i'/i$ дают возможность проследить за средним размером ядер. Чувствительность метода к весовым концентрациям наиболее тонких ядер достигает $10^{-20} \text{ г/см}^{-3}$.

ЛИТЕРАТУРА

- М. Дас-Гупта и С. Гхош, Камера Вильсона и ее применение в физике, ИИЛ, М., 1947.
- Л. Рабовский, Атмосферные ядра конденсации, Гидрометеиздат, Л., 1956.
- Л. Г. Амелин, Теоретические основы образования тумана в химических производствах, Госхимиздат, М.—Л., 1951.
- Л. И. Коган, Заводск. лаборатория, № 2, 215, 1958.
- Л. Г. Лактионов, Статья в Сб. «Исследование облаков, осадков и грозowego электричества», Гидрометиздат, Л., 1957, стр. 200—204.
- W. Sincler and V. K. La Mer, Chem. Revs, 44, 245, 1949.
- W. Thomas Jess, J. Colloid Sci., 10, 246, 1955.
- Л. С. Шифрин, Рассеяние света в мутной среде, ГИТТЛ, М.—Л., 1951.

GROWTH AND MEASUREMENT OF CONDENSATION NUCLEI
IN A CONTINUOUS STREAM

Ya. I. Kogan and Z. A. Burnasheva (Electrostat)

S u m m a r y

In the method described nuclear growth takes place by condensation in a continuous stream of the supersaturated vapors of substances with very small equilibrium vapor pressures at room temperature. Supersaturation is created by mixing streams of different temperatures. The enlarged particles are sufficiently stable for their size and concentration to be determined by means of nephelometric and ultramicroscopic measurements. A calibration function for the relation between the intensity i of the scattered light and particle size over a radial range of 0.015 to 3.0 microns has been presented. It has been shown that the radius r' of the enlarged particles does not depend upon the size of the nuclei, nor upon their concentration, n , if $n \leq 10^3/\text{cm}^3$. Under such conditions the brightness of the monodisperse enlarged aerosol in the nephelometer is proportional to the nucleus count, and measurement of the brightness increase factor during the growth process $= \frac{i'}{i}$ allows one to determine simply the mean size of the nuclei. The sensitivity of the method to the weight concentrations of the smaller nuclei reaches a value of $10^{-20} \text{ g. cm}^{-3}$.

ЭНЕРГИЯ ДИСПЕРСИОННОГО ВЗАИМОДЕЙСТВИЯ БЕНЗОЛА И *n*-ГЕКСАНА С ПОВЕРХНОСТЬЮ ГИДРООКСИ МАГНИЯ

Д. П. Пошкус и А. В. Киселев

В работе [1] нами было высказано предположение, что основной причиной, вызывающей изменение отношения теплот адсорбции паров бензола и *n*-гексана на полярных адсорбентах и, в частности, на поверхности гидроокиси магния, по сравнению с этим отношением на поверхности графита является более сильное электростатическое взаимодействие молекул бензола, чем молекул *n*-гексана, с электрическим полем над поверхностью полярного адсорбента и, в частности, над решеткой гидроокиси магния.

В связи с этим представляло интерес более подробно рассмотреть энергию сил взаимодействия молекул бензола и *n*-гексана с поверхностью гидроокиси магния. Энергия адсорбции ряда углеводородов на графите была рассмотрена нами в [2, 3] и на окиси магния в [4].

Гидроокись магния имеет слоистую ионную кристаллическую решетку ромбоэдрической системы типа CsJ_2 . На рис. 1 изображен элемент решетки гидроокиси магния. Ось гидроксильных ионов в решетке гидроокиси магния направлена перпендикулярно к плоскости слоя [5, 6]. Каждый слой, как видно из рис. 1, состоит из плоскости ионов магния, заключенной между двумя плоскостями гидроксильных ионов, причем каждая плоскость гидроксильных ионов в свою очередь можно рассматривать состоящей

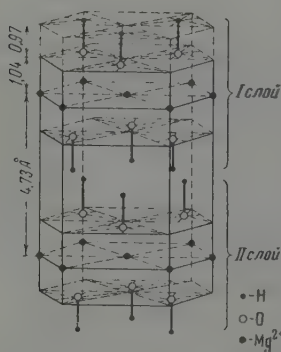


Рис. 1. Элемент решетки гидроокиси магния

плоскости атомов кислорода и плоскости атомов водорода. На рис. 1 показана проекция ионов первого слоя на базисную плоскость гидроокиси магния. Ионы магния лежат во второй плоскости, гидроксильные ионы, обозначенные сплошными кружками, — в первой, а обозначенные пунктирными кружками, — в третьей плоскости. Силы связи внутри слоев значительно больше, чем между слоями, благодаря чему у гидроокиси магния ярко выражено слоистое макроскопическое строение. Диаметр пластинок гидроокиси магния приблизительно в десять раз больше их толщин [7, 8]. Следовательно, поверхность кристаллитов гидроокиси магния состоит главным образом из базисной ее грани, для которой нами и производился расчет энергии адсорбционных сил.

Ввиду того, что мы не располагали достаточными для полного расчета энергии адсорбции сведениями об электрических и магнитных свойствах гидроокиси магния, в настоящей работе нами были рассчитаны только относительные значения и лишь для энергии дисперсионного взаимодействия молекул бензола и *n*-гексана с базисной гранью гидроокиси магния. Электрическое поле над базисной гранью гидроокиси магния и взаимодействие с ним молекул бензола и *n*-гексана рассмотрены нами в статье [9].

В качестве силовых центров молекул бензола и гексана, как и в случае расчета энергии адсорбции некоторых молекул углеводородов на окиси

на и на графите [2—4], мы приняли их звенья CH_3 , CH_2 и $\text{CH}_{\text{аром}}$, в качестве дисперсионных силовых центров решетки гидроокиси магния. Приняли в отдельности атомы водорода Н и кислорода О гидроксильных ионов и ионы магния Mg^{2+} . Расчет Φ_{iD} -потенциала дисперсионного взаимодействия звена молекулы углерода i (CH_3 , CH_2 и $\text{CH}_{\text{аром}}$) с силовыми центрами решетки гидроокиси магния j (Н, О и Mg) мы произвели для трех положений над базисной гранью гидроокиси магния: над гидроксильным ионом второй (наружной) плоскости (положение А), над центром треугольника из гидроксильных ионов первой плоскости, под которым лежит ион магния второй плоскости (положение В) или гидроксильный ион третьей плоскости (положение С).

Нами были учтены только два первых члена разложения дисперсионного потен-

циала в ряд, представляющих собой потенциалы диполь-дипольного и диполь-квадрупольного взаимодействий, так как последующие члены этого разложения, как было показано нами в работах [2—4], вносят уже незначительный вклад в общий потенциал дисперсионного взаимодействия. Таким образом,

$$\Phi_{iD} = -C_{iH} \sum r_{iH}^{-6} - C_{iO} \sum r_{iO}^{-6} - C_{iMg} \sum r_{iMg}^{-6} - C_{2iH} \sum r_{iH}^{-8} - C_{2iO} \sum r_{iO}^{-8} - C_{2iMg} \sum r_{iMg}^{-8}, \quad (1)$$

C_1 и C_2 — константы соответственно диполь-дипольных и диполь-квадрупольных взаимодействий, а r_{ij} — расстояния от центра i -го звена молекулы углерода до j -го сорта (Н, О или Mg^{2+}) силовых центров решетки гидроокиси магния.

Расчет констант дисперсионного взаимодействия. Константы диполь-дипольного взаимодействия вычислялись по формуле Кирквуда — Мюллера, а константы диполь-квадрупольного взаимодействия, как и в работах [2—4], вычислялись по формулам, предложенным Геллером [10], причем характеристические частоты ν взаимодействующих частиц оценивались из их поляризуемостей α и диэлектрических восприимчивостей χ при помощи соотношения [11, 12]

$$\nu = -\frac{4mc^3}{h} \frac{\chi}{\alpha}, \quad (2)$$

m — масса электрона, c — скорость света, h — константа Планка. Принятые в данном расчете значения α и χ , так же как и вычисленные значения констант C_1 и C_2 взаимодействия звеньев молекул углеводородов CH_2 и $\text{CH}_{\text{аром}}$ с атомами водорода Н и кислорода О гидроксильных ионов и ионами магния Mg^{2+} , приведены в табл. 1.

Поляризуемость гидроокиси магния $\alpha_{\text{Mg}(\text{OH})_2}$ мы оценили из показателя преломления $n_D = 1,559$ при помощи соотношения

$$\frac{n_D^2 - 1}{n_D^2 + 2} v = \frac{4\pi}{3} N_A \alpha_{\text{Mg}(\text{OH})_2},$$

v — молярный объем гидроокиси магния, N_A — число Авогадро. Для гидроокиси магния в решетке гидроокиси магния были приняты значения α те же, что и в решетке окиси магния [4]. Для гидроксильных ионов α_{OH^-} мы определили из соотношения $\alpha_{\text{Mg}(\text{OH})_2} = \alpha_{\text{Mg}^{2+}} + 2\alpha_{\text{OH}^-}$. Атомы водорода, связанных с атомами кислорода и образующих

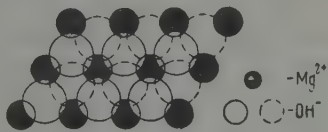


Рис. 2. Проекция первого слоя гидроокиси магния на ее базисную грань

Таблица

Значения α , χ и констант дисперсионного взаимодействия звеньев молекул углеводов с гидроксидом магния

Силовой центр	$\alpha \cdot 10^{24}$, с.м. ³	$-\chi \cdot 10^{28}$, с.м. ³	$C_1 \cdot 10^{24}$, ккал/моль с.м. ³			$C_2 \cdot 10^{24}$, ккал/моль с.м. ³		
			H (в OH ⁻)	O (в OH ⁻)	Mg ²⁺	H (в OH ⁻)	O (в OH ⁻)	
OH ⁻	1,51	15 [13]	—	—	—	—	—	—
H(в OH ⁻)	0,43 [14]	4,9 [15]	—	—	—	—	—	—
O(в OH ⁻)	1,08	11,1	—	—	—	—	—	—
Mg ²⁺	0,11	6,7	—	—	—	—	—	—
CH ₃	2,26	23,6	0,374	0,893	0,156	0,96	1,61	0,1
CH ₂	1,82	18,9	0,300	0,717	0,126	0,52	1,29	0,1
CH _{аром}	1,72	15,3	0,261	0,626	0,103	0,49	1,22	0,1

гидроксильные ионы в решетке гидроксидов магния значения α_{H} и χ_{H} за отсутствием более точных сведений, мы приняли равными соответствующим значениям для атомов водорода, связанных с атомами углерода. Для атомов кислорода гидроксильных ионов значения α_{O} и χ_{O} были оценены из соотношений $\alpha_{\text{OH}^-} = \alpha_{\text{O}} + \alpha_{\text{H}}$ и $\chi_{\text{OH}^-} = \chi_{\text{O}} + \chi_{\text{H}}$.

Расчет степенных сумм. Расчет сумм Σr_{ij}^{-n} , где $n = 6$ и $j = \text{H, O или Mg}^{2+}$, нами был произведен для ряда значений расстояния z рассматриваемой точки над базисной гранью гидроксидов магния от наружной плоскости атомов водорода гидроксильных ионов для вышеуказанных трех положений над этой гранью (для положений A, B и C). При расчете значений этих сумм были приняты следующие значения констант решетчат гидроксидов магния: $a = 3,11 \text{ \AA}$, $c = 4,73 \text{ \AA}$, $u = 0,22$ и расстояния между ядрами атомов водорода и кислорода в гидроксильном ионе $l_{\text{OH}^-} = 0,97 \text{ \AA}$. Непосредственное суммирование производилось до $r_{ij} = 10 \text{ \AA}$. Вклады остального объема решетки определялись путем интегрирования по остальным площадям первых десяти плоскостей гидроксильных ионов и первых пяти плоскостей ионов магния (вклады соответствующих плоскостей суммировались), а вклады

Таблица

Результаты расчета Σr_{ij}^{-n} с.м.⁻ⁿ над базисной гранью гидроксидов магния

Положение	$z, \text{ \AA}$	$n = 6$			$n = 8$		
		$\Sigma r_{\text{H}}^{-6} \cdot 10^{-45}$	$\Sigma r_{\text{O}}^{-6} \cdot 10^{-45}$	$\Sigma r_{\text{Mg}}^{-6} \cdot 10^{-45}$	$\Sigma r_{\text{H}}^{-8} \cdot 10^{-60}$	$\Sigma r_{\text{O}}^{-8} \cdot 10^{-60}$	$\Sigma r_{\text{Mg}}^{-8} \cdot 10^{-60}$
A	2,488	6,1982	1,6511	0,4980	7,8453	0,8463	0,152
	2,799	3,6215	1,1858	0,3875	3,3650	0,4944	0,102
	3,110	2,3004	0,8896	0,3099	1,6298	0,3061	0,071
	3,421	1,5637	0,6812	0,2488	0,8689	0,1976	0,050
	3,732	1,0895	0,5390	0,2041	0,4979	0,1328	0,036
B	2,488	4,6197	1,5776	0,5057	4,1846	0,7470	0,155
	2,799	3,0686	1,1651	0,3899	2,2790	0,4610	0,103
	3,110	2,1001	0,8836	0,3114	1,2882	0,2944	0,072
	3,421	1,4823	0,6754	0,2517	0,7557	0,1929	0,050
	3,732	1,0761	0,5302	0,1951	0,4596	0,1305	0,035
C	2,488	4,6182	1,5805	0,4980	4,1845	0,7472	0,152
	2,799	3,0670	1,1563	0,3875	2,2789	0,4602	0,102
	3,110	2,1018	0,8758	0,3099	1,2883	0,2936	0,071
	3,421	1,4835	0,6738	0,2488	0,7558	0,1927	0,050
	3,732	1,0830	0,5288	0,2041	0,4604	0,1304	0,036

ального объема решетки определялись путем интегрирования по нему. Полученные таким путем значения сумм Σr_{ij}^{-n} приведены в табл. 2. Расчет энергии дисперсионного взаимодействия. Постановкой в выражение (1) значений констант дисперсионного взаимодействия, приведенных в табл. 1, и значений сумм Σr_{ij}^{-n} , приведенных в табл. 2, были получены значения потенциальной энергии дисперсионного взаимодействия звеньев молекул углеводородов CH_3 , CH_2 и $\text{CH}_{\text{аром}}$ базисной гранью гидроокиси магния Φ_{ID} для положений *A*, *B* и *C* расстояниях $z = 0,8a$; $0,9a$; $1,0a$; $1,1a$ и $1,2a$. Полученные значения Φ_{ID} приведены в табл. 3. Как видно из табл. 3, значения Φ_{ID} для

Таблица 3

Результаты расчета Φ_{ID} для разных положений и разных z над базисной гранью гидроокиси магния, *ккал/моль*

Звено	Положение	$z = 2,488A$	$z = 2,799A$	$z = 3,110A$	$z = 3,421A$	$z = 3,732A$
CH_3	<i>A</i>	4,762	2,878	1,908	1,348	0,990
	<i>B</i>	3,741	2,544	1,795	1,301	0,971
	<i>C</i>	3,741	2,535	1,788	1,301	0,975
CH_2	<i>A</i>	3,625	2,226	1,492	1,059	0,783
	<i>B</i>	2,897	1,985	1,409	1,026	0,770
	<i>C</i>	2,897	1,978	1,404	1,024	0,772
аром	<i>A</i>	3,192	1,954	1,307	0,928	0,683
	<i>B</i>	2,544	1,740	1,233	0,898	0,673
	<i>C</i>	2,543	1,734	1,229	0,897	0,675

положений *B* и *C* для данного z практически совпадают, т. е. эти положения в отношении энергии дисперсионного взаимодействия практически не отличаются.

Равновесные расстояния r_0 центров звеньев CH_3 и CH_2 от ядер атомов водорода поверхностных гидроксильных ионов решетки гидроокиси магния принимались равными сумме соответствующих вандерваальсовых «радиусов».

Принятые значения этих вандерваальсовых радиусов для атомов водорода гидроксильных ионов и звеньев CH_3 и CH_2 молекул углеводородов и полученные из них радиусы значения равновесных расстояний центров звеньев CH_3 и CH_2 от наружной плоскости атомов водорода базисной грани гидроокиси магния z_0 для положений *A*, *B* и *C* над ней приведены в табл. 4.

Молекула бензола в целом, ввиду компактного и плоского ее строения, по-видимому, лежит плоско над вершинами вандерваальсовых сфер наружных частиц адсорбента [2, 3], в данном случае — атомов водорода. Следовательно, равновесное расстояние звена $\text{CH}_{\text{аром}}$, связанного в молекуле бензола, от наружной плоскости атомов водорода базисной грани гидроокиси магния для разных положений над этой гранью должно быть одинаковым и приблизительно равным сумме вандерваальсового радиуса атома водорода (1,2 Å) и половины вандерваальсовой толщины молекулы бензола (1,85 Å), т. е. равно около 3,05 Å.

Значения Φ_{ID} для разных положений над базисной гранью гидроокиси магния при $z = z_0$ были определены из логарифмических графиков зависимости соответствующих Φ_{ID} от z и приведены в табл. 5. Для

Таблица 4

Принятые значения вандерваальсовых радиусов и равновесных расстояний

Частица	Вандерваальсовый радиус частицы, Å	z_0 , Å	
		положение <i>A</i>	положение <i>B</i> и <i>C</i>
H	1,2	—	—
CH_3	2,0	3,2	2,65
CH_2	2,0	3,2	2,65

примера на рис. 3 показана зависимость $\lg \Phi_{iD}$ от $\lg z$ для звена С для положений А и В.

Расчет энергии дисперсионного взаимодействия целых молекул углеводородов с базисной гранью гидроокиси магния был произведен на допущении, что звенья достаточно больших молекул углеводородов с одинаковой плотностью покрывают все положения над гранью, и что каждое звено молекулы алифатического углеводорода принимает собственное равновесное расстояние $z = z_0$ для данного положения над гранью, а группы $\text{CH}_{\text{аром}}$ молекулы бензола во всех положениях находятся на расстоянии $z = 3,05 \text{ \AA}$, равном сумме половины вандерваальсовой толщины молекулы бензола и вандерваальсового радиуса атома водорода. Были получены средние значения энергии, дисперсионного взаимодействия Φ_{iD} соответствующих звеньев для положений А, В и С. Эти средние значения Φ_{iD} приведены в последнем столбце табл. 5. Для бензола над базисной гранью гидроокиси магния — $\Phi_D = 8,0 \text{ ккал/моль}$, а для *n*-гексана — $\Phi_D = 13,3 \text{ ккал/моль}$.

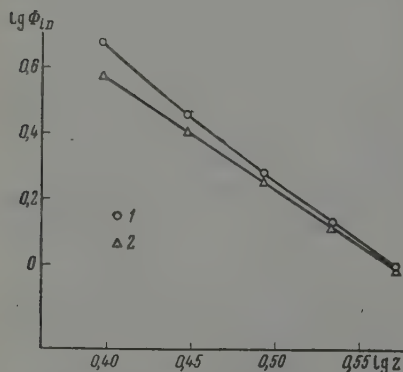


Рис. 3. Зависимость $\lg \Phi_{iD}$ от $\lg z$ звена CH_3 для положений: 1 — А и 2 — В над базисной гранью гидроокиси магния

Таблица
Значения Φ_{iD} при равновесных расстояниях в разных положениях, ккал/моль

Звено	Положение А	Положение В и С	Φ_{iD}
CH_3	1,72	3,04	2,0
CH_2	1,35	2,36	2,0
$\text{CH}_{\text{аром}}$	1,41	1,31	1,0

Таким образом, энергия дисперсионного взаимодействия молекулы бензола с базисной гранью гидроокиси магния меньше, чем для молекулы *n*-гексана, аналогичного случая взаимодействия этих молекул с базисной гранью графита [2, 3]. Следовательно, дисперсионное взаимодействие молекул бензола и *n*-гексана с базисной гранью гидроокиси магния не может быть ответственно за наблюдаемое на гидроокиси магния сильное повышение отношения теплот адсорбции бензола и *n*-гексана по сравнению с этим отношением при адсорбции этих паров на графите.

Выводы

Вычислены относительные значения энергии дисперсионного взаимодействия молекул бензола и *n*-гексана с базисной гранью гидроокиси магния. Показано, что дисперсионное взаимодействие этих молекул с базисной гранью гидроокиси магния не может быть ответственно за наблюдаемое на гидроокиси магния сильное увеличение отношения стандартных теплот адсорбции бензола и *n*-гексана по сравнению с этим отношением на неполярном адсорбенте — на графите.

ЛИТЕРАТУРА

- А. В. Киселев, Д. П. Пошкус, Коллоидн. ж., **22**, 25, 1960.
Н. Н. Авгуль, А. А. Исирикян, А. В. Киселев, И. А. Лыгина, Д. П. Пошкус, Изв. АН СССР, **1314**, 1957.
Н. Н. Авгуль, А. В. Киселев, И. А. Лыгина, Д. П. Пошкус, Изв. АН СССР, Отд. хим. н., **1196**, 1959.
А. В. Киселев, Д. П. Пошкус, Ж. физ. химии, **32**, 2824, 1958.
J. D. Bernal, H. D. Megaw, Proc. Roy. Soc., **A151**, 384, 1935.
H. E. Peth, H. D. Megaw, J. Optic. Soc. Amer., **44**, 744, 1954.
O. E. Radczewski, Tonindustrie Ztg. u. Keramische Rundschau, **77**, 291, 1953.
А. В. Киселев, В. И. Лыгин, Изв. АН СССР, Отд. хим. н., **412**, 1959.
А. П. Пошкус, А. В. Киселев, Ж. физ. химии, **34**, 2646, 1960.
R. Heller, J. Chem. Phys., **9**, 1954, 1941.
A. Müller, Proc. Roy. Soc., **A154**, 624, 1936.
F. London, Trans. Faraday Soc., **33**, 8, 1937.
Landolt-Börnstein, Tabellen, Aufl. 6, Bd. I, Teil. I. S. 397.
[13], Teil 3, S. 513.
[13], Teil 3, S. 532.
-

ENERGY OF DISPERSION INTERACTION OF BENZENE AND n-HEXANE
WITH MAGNESIUM HYDROXIDE SURFACE*D. P. Poshkus and A. V. Kiselev (Moscow)*

Summary

The relative values for the energy of dispersion interaction of benzene and n-hexane molecules with the basal plane of magnesium hydroxide have been calculated. It has been shown that such interaction cannot be responsible for the considerable increase observed in the ratio of the standard heats of adsorption of benzene and n-hexane on magnesium hydroxide over that on the non-polar adsorbent, graphite.

ЭЛЕКТРОСТАТИЧЕСКОЕ ПОЛЕ НАД БАЗИСНОЙ ГРАНЬЮ ГИДРООКСИ МАГНИЯ И ВЗАИМОДЕЙСТВИЕ С НИМ МОЛЕКУЛ БЕНЗОЛА И *n*-ГЕКСАНА

Д. П. Пошкус и А. В. Киселев

В предыдущей работе [1] нами был произведен расчет значений энергий дисперсионного взаимодействия молекул бензола и *n*-гексана с базисной гранью гидроокиси магния, и было показано, что это взаимодействие не может быть ответственным за наблюдаемое на гидроокиси магния сильное повышение отношения теплот адсорбции бензола и *n*-гексана, по сравнению с этим отношением для адсорбции на графите. В связи с этим представляло интерес рассмотреть энергию электростатического взаимодействия молекул бензола и *n*-гексана с электрическим полем над базисной гранью гидроокиси магния. Наложение именно электростатического взаимодействия на дисперсионное, как мы предполагали [2], вызывает сильное изменение отношения теплот адсорбции этих веществ на поверхности гидроокиси магния по сравнению с этим отношением для неполярного адсорбента — графита. Для этого необходимо рассмотреть электростатическое поле над базисной гранью гидроокиси магния.

Электростатическое поле. Дипольный момент гидроксильных ионов и детальный характер связи ионов магния с гидроксильными ионами в решетке гидроокиси магния неизвестны, и, следовательно, точный расчет электрического поля над гидроокисью магния в настоящее время является затруднительным. Поэтому нами была рассмотрена зависимость слагающей напряженности электрического поля F_z над базисной гранью гидроокиси магния, направленной перпендикулярно к этой грани, от величины дипольного момента гидроксильных ионов, от степени полярности связи ионов магния с гидроксильными ионами и от расстояния z от этой грани для двух положений над нею: над гидроксильным ионом и над центром треугольника из гидроксильных ионов. Напряженность поля F_z вычислялась как сумма напряженностей в рассматриваемой точке, создаваемых базисными плоскостями решетки гидроокиси магния, состоящими из одного сорта ионов (ионов магния и ионов гидроксила) дипольными гидроксильных ионов.

Напряженность электрического поля над базисной плоскостью одного сорта ионов F_{ze} (над бесконечной двумерной гексагональной сеткой этих ионов), как и в [3], нами вычислялась суммированием вкладов отдельных зарядов, находящихся в плоскости такой сетки до определенного расстояния от основания перпендикуляра, опущенного из рассматриваемой точки над плоскостью на эту плоскость (по 96 или 97 ионам, в зависимости от положения над сеткой). Вклад более отдаленных ионов определялся путем интегрирования, принимая однородное распределение заряда в остальных части плоскости.

Результаты расчета $F_{ze}/\frac{e}{a^2}$ над бесконечной двумерной гексагональной сеткой одного сорта ионов (a — константа сетки, e — заряд иона) для двух положений над нею: над ионом и над центром треугольника, образованного ионами, для ряда значений расстояния рассматриваемой точки над с

й до плоскости сетки, приведены в табл. 1. Зависимость $F_{ze}/\frac{\varepsilon}{a^2}$ от z/a афически изображена на рис. 1.

Таблица 1

Величины $F_{ze} / \frac{\varepsilon}{a^2}$ над бесконечной двумерной гексагональной сеткой точечных зарядов e

$\frac{z}{a}$	Положение		$\frac{z}{a}$	Положение	
	над зарядом	над центром треугольника из зарядов		над зарядом	над центром треугольника из зарядов
0,5	—	6,741	1,2	7,261	7,252
0,6	7,846	—	1,5	7,254	7,255
0,8	7,387	7,191	2,0	7,253	7,255
1,0	7,285	7,241	2,5	7,252	7,255
			∞	7,255	7,255

Напряженность электрического поля F_{zp} над двумерной гексагональной сеткой диполей гидроксильных ионов p , направленных перпендикулярно плоскости сетки, была вычислена следующими двумя способами.

1) Двумерная гексагональная сетка диполей гидроксильных ионов p , направленных перпендикулярно к плоскости этой сетки, заменялась двумя параллельными, находящимися на расстоянии l друг от друга, двумерными гексагональными сетками точечных зарядов, одной с зарядами $+e$, другой с зарядами $-e$, т. е. полю p мы заменили двумя точечными зарядами $+e$ и $-e$, находящимися на расстоянии l друг от друга, причем l приняли равным ине связи ОН (0,97 Å), а $|\varepsilon|$ определили из соотношения $|\varepsilon| = p/l$.

Значения F_{zp} над двумя параллельными, находящимися на расстоянии l друг от друга, двумерными гексагональными сетками одной с зарядами $+e$, другой с зарядами $-e$ я ряда значений расстояний z от рассматриваемой точки над этими сетками, до плоскости, проходящей параллельно и в середине сеток, мы вычислили суммированием значений F_{ze} в рассматриваемой точке над сетками, создаваемых в этой точке каждой сеткой в отдельности. Значения F_{ze} мы определили из с. 1. Результаты расчета $F_{zp}/\frac{p}{a^3}$ ($l = 0,97$ Å) и F_{zp}/p ($a = 3,11$ Å) приведены в табл. 2.

2) Диполи гидроксильных ионов рассматривались точечными. F_{zp} над двумерной гексагональной сеткой точечных диполей p , направленных перпендикулярно к плоскости сетки, как и при расчете F_{ze} над двумерной сеткой одного сорта зарядов, мы вычислили суммированием напряженностей полей F_z , создаваемых диполями, находящимися в плоскости сетки до определенного расстояния от основания перпендикуляра, опущенного из рассматриваемой точки над сеткой на ее плоскость, а вклад отдельных диполей определили интегрированием.

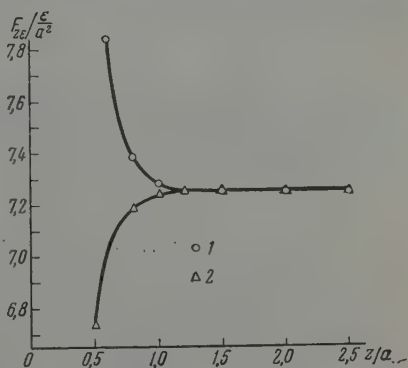


Рис. 1. Зависимость напряженности электрического поля $F_{ze}/\frac{\varepsilon}{a^2}$ от расстояния z/a над бесконечной двумерной гексагональной сеткой одного знака точечных зарядов для двух положений над сеткой: 1 — над зарядом, 2 — над центром треугольника из зарядов

Таблица 2

Величины F_{zp} над двумерной гексагональной сеткой диполей p ($l = 0,97 \text{ \AA}$)

$\frac{z}{a}$	z	Над диполем		Над центром треугольника из диполей	
		$F_{zp}/\frac{p}{a^3}$	$(F_{zp}/p) \cdot 10^{-23}$	$F_{zp}/\frac{p}{a^3}$	$(F_{zp}/p) \cdot 10^{-23}$
0,8	2,488	1,31	0,437	-0,626	-0,208
1,0	3,11	0,292	0,097	-0,135	-0,045
1,2	3,732	0,072	0,024	-0,030	-0,010
1,5	4,665	0,003	0,001	-0,003	-0,001
2,0	6,22	0,000	0,000	0,000	0,000

Результаты расчета $F_{zp} / \frac{p}{a^3}$ над бесконечной двумерной гексагональной сеткой точечных диполей p для ряда значений расстояния z рассматриваемой точки над сеткой от плоскости сетки для двух положений над нею: над диполем и над центром треугольника из диполей, приведены в табл. 3. В третьем и пятом столбцах табл. 3 приведены значения F_{zp}/p для базисной плоскости гидроокиси магния ($a = 3,11 \text{ \AA}$).

Таблица 3

Результаты расчета F_{zp} над бесконечной двумерной гексагональной сеткой точечных диполей p

$\frac{z}{a}$	Над диполем		Над центром треугольника из диполей	
	$F_{zp}/\frac{p}{a^3}$	$(F_{zp}/p) \cdot 10^{-23}$	$F_{zp}/\frac{p}{a^3}$	$(F_{zp}/p) \cdot 10^{-23}$
0,8	0,9834	0,328	-0,4544	-0,151
1,0	0,2267	0,075	-0,1077	-0,036
1,2	0,0536	0,018	-0,0240	-0,008
1,5	0,0054	0,002	-0,0025	-0,001
2,0	0,0009	0,000	-0,0002	0,000

Как видно из табл. 2 и 3, оба способа расчета F_{zp} над бесконечной двумерной сеткой диполей, направленных перпендикулярно к плоскости этой сетки, дают довольно близкие результаты.

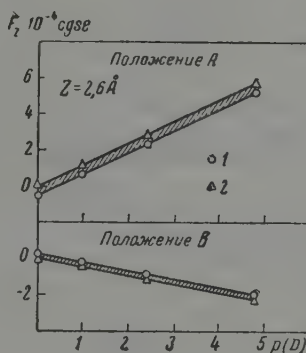
При расчете F_z над базисной гранью гидроокиси магния нами принималось, что эффективные отрицательные заряды гидроксильных ионов сосредоточены в центрах атомов кислорода *. Значения F_z над отдельными двумерными сетками определялись из графиков зависимости F_z над сеткой от расстояния между рассматриваемой точкой и плоскостью сетки. При учете F_z , создаваемой диполями гидроксильных ионов, мы использовали значения F_{zp}/p , полученные при замене диполя гидроксильного иона двумя точечными зарядами (приведенные в табл. 2).

Далее были рассчитаны зависимости напряженности электростатического поля F_z над одним базисным слоем решетки гидроокиси магния от дипольного момента p гидроксильных ионов, от гомеопolarityности связи ионов магния с ионами гидроксила и от расстояния z между рассматриваемой точкой над слоем и наружной плоскостью атомов водорода гидроксильных ионов для двух положений: над гидроксильным ионом (положение А) и над центром треугольника из гидроксильных ионов, под которым лежит ион магния (положение В). Значения F_z и

* Эффективные заряды ионов гидроксила и магния определялись для разных степеней гомеопolarityности связи между этими ионами.

нтром треугольника, образованного гидроксильными ионами, [под которым лежит ион гидроксила (положение C) при данном значении z практически совпали с соответствующими значениями для положения B . Вклады в F_z над базисной гранью решетки гидроокиси магния более удаленных слоев решетки практически равны нулю. Поэтому получен-

Рис. 2. Зависимость напряженности электрического поля F_z над базисной гранью гидроокиси магния при $z = 2,6 \text{ \AA}$ от дипольного момента p гидроксильных групп для двух крайних состояний решетки гидроокиси магния: 1 — чисто ионного и 2 — чисто гомеопольярного и для двух положений над гранью: для положения A (вверху) и для положения B (внизу)



е нами значения F_z над одним базисным слоем практически равны значениям F_z над базисной гранью всей решетки гидроокиси магния. На рис. 2 показана зависимость F_z над базисной гранью гидроокиси магния от дипольного момента гидроксильных групп p для двух крайних

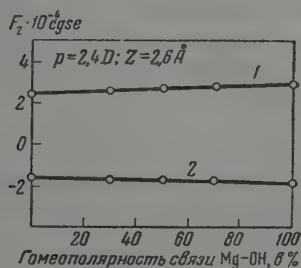


Рис. 3. Зависимость напряженности электрического поля F_z над базисной гранью решетки гидроокиси магния от степени гомеопольярности связи ионов магния с ионами гидроксила (в %): 1 — для положения A и 2 — для положения B над гранью при $z = 2,6 \text{ \AA}$ и $p = 2,4 \text{ D}$

стояний связи атомов магния с гидроксильными группами: чисто ионного и чисто гомеопольярного. Эта зависимость дана для положений A и B над базисной гранью решетки при $z = 2,6 \text{ \AA}$. При промежуточных значениях степени гомеопольярности связи атомов магния с гидроксильными группами в решетке гидроокиси магния кривые зависимости F_z от p при данном значении z ложатся в заштрихованной области. Как видно из рис. 2 для обоих положений над базисной гранью с ростом p изменяются линейно: в сторону положительных значений для положений A и в сторону отрицательных значений для положения B , причем при определенном (небольшом) значении p , зависящем от степени гомеопольярности связи ионов магния с гидроксильными ионами, напряженность поля F_z для обоих положений меняет знак.

На рис. 3 показана зависимость F_z над базисной гранью гидроокиси магния от степени гомеопольярности связи атомов магния с гидроксильными группами (для положений A и B над гранью) при $z = 2,6 \text{ \AA}$ и $p = 2,4 \text{ D}$. Как видно из рис. 3 эта зависимость выражена слабо.

На рис. 4 показана зависимость F_z над базисной гранью решетки гидроокиси магния от z при данном значении p для тех же двух положений над гранью: для положения A (вверху) и для положения B

(внизу) для двух крайних состояний связи атомов магния с гидроксильными группами: чисто ионного и чисто гомеоплярного. При промежуточных состояниях связи атомов магния с гидроксильными группами при данном p кривые зависимости F_z от z ложатся в заштрихованную полосу. Соответствующие значения p для данной полосы зависимости

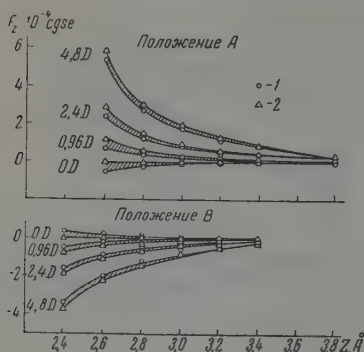


Рис. 4. Зависимость напряженности электрического поля F_z над базисной гранью решетки гидроокиси магния от z при данном значении p для двух положений над гранью: для положения А (вверху) и для положения В (внизу) для двух крайних состояний связи атомов магния с гидроксильными группами: 1 — чисто ионного и 2 — чисто гомеоплярного. Соответствующие значения p указаны слева от кривых

от z указаны на рисунке с левой стороны каждой полосы. Как видно из рис. 4, абсолютная величина $|F_z|$ для обоих положений над базисной гранью гидроокиси магния с ростом z быстро падает и приближается к нулю.

Как видно из рис. 2, 3 и 4 значения F_z для положений А и В имеют противоположные знаки при тех же значениях z , p и степени гомеоплярности связи атомов магния с гидроксильными группами, причем абсолютные значения $|F_z|$ для положения А приблизительно в два раза больше значений $|F_z|$ для положения В.

Таблица 4

Вклады отдельных базисных плоскостей в F_z над первым базисным слоем решетки гидроокиси магния: $z = 3,0$ Å, $p = 2,4$ D, связь между атомами магния и гидроксильными группами чисто ионная

Вклад	Расстояние от рассматриваемой точки до рассматриваемой плоскости, Å	Положение над слоем			
		Положение А		Положение В	
		положение над рассматриваемой плоскостью	$F_z \cdot 10^{-4}$, абс. эл.-ст. ед.	положение над рассматриваемой плоскостью	$F_z \cdot 10^{-4}$, абс. эл.-ст. ед.
Диполей первой плоскости гидроксидов	3,485	Над ионом	0,011	Над центром треугольника из ионов	—0,00
Зарядов первой плоскости гидроксидов	3,97	То же	—3,605	То же	—3,60
Плоскости ионов магния	5,01	Над центром треугольника из ионов	7,204	Над ионом	7,20
Зарядов второй плоскости гидроксидов	6,05	То же	—3,602	Над центром треугольника из ионов	—3,60
Диполей второй плоскости гидроксидов	6,534	»	0,000	То же	0,00
Суммарный вклад			0,008		—0,00

Для примера в табл. 4 приведены величины вкладов отрицательных зарядов и диполей первой и второй плоскостей гидроксильных ионов положительных зарядов плоскости ионов магния первого базисного слоя решетки гидроокиси магния в величины F_z над этим слоем (для положений A и B над ним) при $z = 3,0 \text{ \AA}$ и $p = 2,4D$ для случая чисто ионной связи между ионами магния и гидроксильными ионами. Как видно из табл. 4, F_z над базисным слоем, создаваемая диполями гидроксильных ионов второй плоскости, приблизительно равна нулю, т. е. дипольный момент гидроксильных ионов этой плоскости практически не играет роли при определении F_z над слоем.

Таким образом, для расчета F_z над базисной гранью гидроокиси магния необходимо знать главным образом дипольный момент поверхностных гидроксильных ионов. Если, например, принять, что дипольный момент поверхностных гидроксильных ионов порядка $1D$, что весьма вероятно для асимметрической координации гидроксильных ионов в решетке гидроокиси магния, и, следовательно, сильной их электростатической поляризации, то получаем, что поле над гидроксильными ионами является положительным и приблизительно в два раза сильнее, чем электрическое поле над центрами треугольников, образованными гидроксильными ионами, причем в этих последних положениях электрическое поле отрицательное. Таким образом электрическое поле над базисной гранью гидроокиси магния, по-видимому, является преимущественно положительным*.

О влиянии электростатического поля на энергию адсорбции. При равновесном расстоянии центров молекул углеводородов от базисной грани гидроокиси магния, $z = 3,0 - 3,2 \text{ \AA}$ и $p = 1D$, для положений A и B $|F_z|$ является величиной порядка 10^3 абс. эл.-ст. ед., в то время как над гранью (100) окиси магния при равновесном расстоянии центров молекул углеводородов от грани $z = 3,1 - 3,3 \text{ \AA}$ $|F_z|$ над ионами магния и над ионами кислорода является величиной порядка 10^4 абс. эл.-ст. ед., т. е. электрическое поле над базисной гранью гидроокиси магния в центрах звеньев адсорбированных молекул углеводородов, по-видимому, на порядок слабее, чем электрическое поле над теми же центрами над гранью (100) окиси магния. Так как энергия индукционного взаимодействия молекул углеводородов с электрическим полем над гранью (100) окиси магния, как показал проведенный нами расчет [4], составляет только несколько процентов от энергии дисперсионного притяжения, то энергия индукционного взаимодействия молекул углеводородов с электрическим полем над базисной гранью гидроокиси магния составляет, по-видимому, ничтожную долю от общей энергии притяжения. Кроме того, отношения энергий индукционного взаимодействия и энергий дисперсионного взаимодействия молекул бензола и n -гексана близки. Следовательно, индукционное взаимодействие молекул бензола и n -гексана с электрическим полем над базисной гранью гидроокиси магния (так и дисперсионное взаимодействие [1]), не может быть ответственным за наблюдаемое для гидроокиси магния сильное изменение отношения теплот адсорбции паров бензола и n -гексана по сравнению с этим отношением на графите.

Вместе с тем, в случае столь неоднородных и сильных электрических полей, какими являются поля над ионными решетками вблизи их поверхности, необходимо принять во внимание электростатическое взаимодействие с такими полями постоянных мультиполей молекул адсорбатов. В случае простых молекул последнее взаимодействие может вносить значительный вклад в общую энергию адсорбции [5, 6]. Энергия электростатического взаимодействия постоянных мультиполей неполярной молекулы углеводорода с электрическим полем, несколько раз изменяющим свой знак

* Надо, конечно, иметь в виду, что в слабое общее поле F_z входят большие вклады зарядов OH^- и Mg^{2+} , имеющие противоположные знаки, что уменьшает точность суммарной F_z .

в пределах пространства, занятого молекулой, определяется разностью энергий этого взаимодействия с полем отдельных ее звеньев, испытывающих противоположно направленные силы. Так как электрическое поле над базисной гранью гидроокиси магния, по-видимому, является преимущественно положительным, в то время как электрическое поле над гранью (100) окиси магния является знакопеременным [4], то энергия электростатического взаимодействия постоянных мультиполей сложных молекул углеводов с электрическим полем над базисной гранью гидроокиси магния, по-видимому, больше энергии этого взаимодействия с электрическим полем над гранью (100) окиси магния. Особенно ярко это должно проявиться в случае адсорбции молекул бензола из-за значительно более неоднородного (по сравнению с *n*-гексаном) распределения заряда в ней [7]. Это находится в согласии с соотношениями экспериментальных теплот адсорбции паров бензола и *n*-гексана на окиси и гидроокиси магния: стандартная теплота адсорбции бензола на гидроокиси магния приблизительно на 0,5 ккал/моль больше стандартной теплоты адсорбции *n*-гексана [2], в то время как на окиси магния стандартная теплота адсорбции бензола на 0,2 ккал/моль меньше стандартной теплоты адсорбции *n*-гексана [8]. а на графите стандартная теплота адсорбции бензола еще меньше стандартной теплоты адсорбции *n*-гексана (на 2,1 ккал/моль [8—10]).

Таким образом, проведенное в этой и предыдущей [1] работах исследование адсорбционных сил на гидроокиси магния показывает, что основной причиной изменения отношения теплот адсорбции бензола и *n*-гексана на ней, по сравнению с этим отношением на графите, может быть более сильное электростатическое взаимодействие постоянных мультиполей молекулы бензола с электрическим полем над базисной гранью гидроокиси магния. Однако количественный расчет энергии этого взаимодействия, ввиду отсутствия необходимых констант и сильной неоднородности электрического поля над решеткой гидроокиси магния, является затруднительным.

Выводы

1. Рассмотрена зависимость напряженности электрического поля над базисной гранью гидроокиси магния от величины дипольного момента гидроксильных ионов, от степени гомеоплярности связи ионов магния с ионами гидроксила и от расстояния от грани для положений над гидроксильным ионом и над центром треугольника из гидроксильных ионов. Напряженность электрического поля над базисной гранью гидроокиси магния слабо зависит от степени гомеоплярности связи ионов магния с ионами гидроксила и сильно зависит от величины дипольного момента гидроксильных ионов, причем главным образом от величины дипольного момента поверхностных гидроксильных ионов. С ростом этого дипольного момента напряженность поля для обоих положений изменяется приблизительно линейно. Напряженность поля над гидроксильными ионами имеет противоположный знак и приблизительно в два раза большую абсолютную величину, чем над центром треугольника из гидроксильных ионов. Электрическое поле быстро убывает с расстоянием.

2. Показано, что индукционное взаимодействие молекул бензола и *n*-гексана с базисной гранью гидроокиси магния не может быть ответственно за наблюдаемое на гидроокиси магния сильное изменение отношения теплот адсорбции бензола и *n*-гексана по сравнению с этим отношением на графите. Причиной этого изменения, по-видимому, является более сильное электростатическое взаимодействие постоянных мультиполей молекул бензола с электрическим полем над базисной гранью гидроокиси магния.

ЛИТЕРАТУРА

1. Д. П. Пошкус, А. В. Киселев, Ж. физ. химии, **34**, 2640, 1960.
2. А. В. Киселев, Д. П. Пошкус, Коллоидн. ж., **22**, 25, 1960.
3. J. K. Roberts, W. J. C. Orr, Trans. Faraday Soc., **34**, 1346, 1938.
4. А. В. Киселев, Д. П. Пошкус, Ж. физ. химии, **32**, 2824, 1958.
5. L. E. Drain, Trans. Faraday Soc., **49**, 650, 1953.
6. Т. Наукава, Bull. Chem. Soc. Japan, **30**, 236, 1957.
7. А. В. Киселев, Д. П. Пошкус, Докл. АН СССР, **120**, 834, 1958.
8. Н. Н. Авгуль, А. А. Искрикиян, А. В. Киселев, И. А. Лыгина, Д. П. Пошкус, Изв. АН СССР, Отд. хим. н., 1314, 1957.
9. Н. Н. Авгуль, Г. И. Березин, А. В. Киселев, И. А. Лыгина, Изв. АН СССР, Отд. хим. н., 1304, 1956.
10. Н. Н. Авгуль, Г. И. Березин, А. В. Киселев, И. А. Лыгина, Ж. физ. химии, **30**, 2106, 1956.

ELECTROSTATIC FIELD OVER THE BASAL PLANE OF MAGNESIUM
HYDROXIDE AND ITS INTERACTION WITH BENZENE AND
n-HEXANE MOLECULES

D. P. Poshkus and A. V. Kiselev (Moscow)

Summary

The dependence of the strength of the electrical field over the basal plane of magnesium hydroxide upon the dipole moment of the hydroxyl ions, upon the degree of polarity of the bond between magnesium and hydroxyl ions and upon the distance from the plane to the positions over the hydroxyl ions and over the center of the triangle of hydroxylions, has been considered. The strength of the electrical field is only weakly dependent upon the degree of polarity of the bond between the magnesium and hydroxyl ions and is greatly dependent upon the value of the dipole moment of the surface hydroxyl ions. The strength of the field grows approximately linearly with increase in the dipole moment for the case of both positions. The strength of the field over the hydroxyl ions is of opposite sign and about twice the absolute value as that over the center of the triangle of hydroxyl ions. The field drops quickly with the distance. The induction interaction of the benzene and *n*-hexane molecules with the basal plane of magnesium hydroxide has been shown not to be responsible for the considerable difference in ratio of the heats of adsorption of benzene and *n*-hexane on magnesium hydroxide and on graphite. The cause of the difference is probably the stronger electrostatic interaction of the permanent multipoles of the benzene molecule with the electrical field over the basal plane of magnesium hydroxide.

КИСЛОРОДНОЕ ПЕРЕНАПРЯЖЕНИЕ НА КОБАЛЬТОВОМ АНОДЕ

И. А. Гершкович и Я. И. Турьян

Механизм кислородного перенапряжения на кобальтовом аноде выяснен недостаточно.

Л. М. Волчкова, А. И. Красильщиков и Л. Г. Антонова [1] получили следующую экспериментальную зависимость между кислородным перенапряжением η на кобальтовом аноде, плотностью тока i и концентрацией щелочи $\{\text{OH}'\}$:

$$\eta = A + 0,68 \frac{RT}{F} \ln i - 0,7 \frac{RT}{F} \ln [\text{OH}'], \quad (1)$$

объясненную авторами [1–2] на основании предположения о лимитирующей стадии:



Эта лимитирующая стадия приводит к теоретическому уравнению [2]

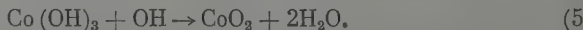
$$\eta = \text{const.} + 0,67 \frac{RT}{F} \ln i - 0,33 \frac{RT}{F} \ln [\text{OH}'], \quad (3)$$

которое, вопреки мнению авторов [2], значительно отличается по влиянию $\{\text{OH}'\}$ от экспериментального уравнения (1). Кроме того, выбор лимитирующей стадии (2), как это было показано одним из нас [3], вряд ли может быть согласован с величиной стандартного потенциала O'/OH' . Следует также отметить, что авторы [1], по-видимому, в результате недостаточной окисленности поверхности Со-анода или по причине загрязнений в электролите, наблюдали депассивацию анода в концентрированном растворе КОН даже при плотности тока 10^{-2} А/см^2 (80°C).

В предыдущей работе [4], нами было подробно изучено влияние плотности тока (при i , больших, чем в работе [1], и температуры на кислородное перенапряжение на хорошо окисленном кобальтовом аноде в 7,5 М КОН и было показано наличие следующей экспериментальной зависимости:

$$\eta = \text{const} + \frac{RT}{F} \ln i, \quad (4)$$

объясненной предположением о лимитирующей роли стадии:



Согласно этой схеме, кислородное перенапряжение на Со-аноде не должно зависеть от концентрации щелочи, что не согласуется с экспериментальными данными [1].

Представляло интерес продолжить предыдущее исследование, подробно изучив влияние плотности тока, температуры и концентрации щелочи в области малых значений i , аналогичных тем, которые использовались в работе [1]. В то же время, в отличие от работы [1], мы поставили перед собой задачу, как и в аналогичных исследованиях Ni-анода [5, 6], работать с предельно окисленной поверхностью анода, что достигалось про-

ожительной поляризацией анода большой плотностью тока ($\sim 1 \text{ А/см}^2$). Возможно полное окисление поверхности анода позволяет достигать значительно большей воспроизводимости состояния поверхности анода при изменении различных параметров, что, как известно, очень важно при изучении механизма кислородного перенапряжения.

Экспериментальная часть

Как и в предыдущей работе [4], перенапряжение изучалось на гальваническом катоде и в ряде опытов — на прокатанном кобальте. Интервал плотностей тока: $4 \cdot 10^{-6} - 1,4 \cdot 10^{-2} \text{ А/см}^2$. Исследование проводилось при 0, 12, 25, 40, 55 и 70° и в 2; 0,5; 1,0; 2,6; 4,9 и 7,5 М растворах КОН. Раствор электролита, приготовленный КОН марки «х. ч.», предварительно в течение нескольких суток электрохимически ишался.

Электродом сравнения во всех опытах служил ртутноокисный электрод в 7,5 М КОН, находящийся всегда при комнатной температуре. Как известно, для расчета кислородного перенапряжения проще сразу измерять потенциалы относительно водородного электрода в том же растворе. Однако такую методику при работе с кобальтовым анодом мы не рекомендуем, так как возможное проникновение к водородному электроду следов Co^{2+} сильно искажает его потенциал.

Для расчета кислородного перенапряжения, как и в предыдущей работе [4], мы провели отдельные измерения потенциала нашего ртутно-окисного электрода сравнения относительно водородного в растворах КОН различной концентрации при различной температуре. Затем были рассчитаны значения потенциала обратимого кислородного электрода относительно ртутно-окисного (табл. 1), после чего вычислялось кислородное перенапряжение. Другие подробности экспериментальной части работы описаны [4].

Т а б л и ц а 1

Потенциал обратимого кислородного электрода при различных концентрациях КОН различных температурах относительно ртутно-окисного электрода в 7,5 М КОН и комнатной температуре

КОН моль/л	0°	12°	25°	40°	55°	70°
0,2	+0,404	+0,400	+0,396	+0,392	+0,387	+0,384
0,5	0,396	0,384	0,378	0,371	0,365	0,361
1,0	0,389	0,374	0,364	0,356	0,351	0,346
2,6	0,349	0,341	0,335	0,328	0,322	0,315
4,9	0,327	0,321	0,314	0,305	0,298	0,292
7,5	0,312	0,305	0,297	0,289	0,280	0,273

Отдельные результаты по изучению зависимости кислородного перенапряжения от плотности тока, температуры и концентрации щелочи для одного из трех исследованных анодов представлены на рис. 1—8.

На всех трех электродах с различной поверхностью были получены рошо воспроизводимые результаты.

Обсуждение результатов

Из рис. 1, 2 и 3 видно, что с увеличением плотности тока при низкой концентрации щелочи и низкой температуре наблюдается нарушение линейной зависимости $\eta - \lg i$ за счет резкого увеличения η . Аналогичное явление наблюдается и на графиках $\eta - \lg [\text{ОН}']$ (рис. 4, 5 и 6): аномальный рост перенапряжения замечен тем сильнее, чем выше плотность тока ниже температура и концентрация щелочи. В совокупности эти наблюдения дают основания предполагать о влиянии на η омического падения напряжения. Расчет показывает, что это вызвано не падением напряжения между кончиком электрического ключа и видимой поверхностью элект-

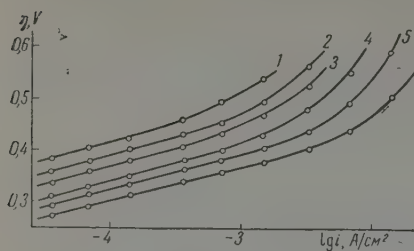


Рис. 1

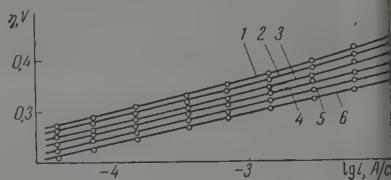


Рис. 2

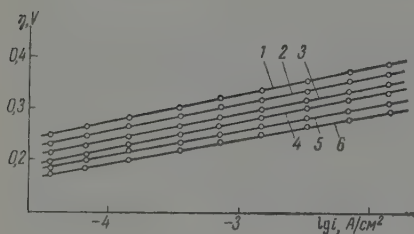


Рис. 3

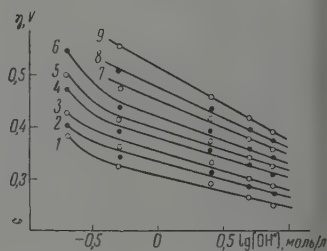


Рис. 4

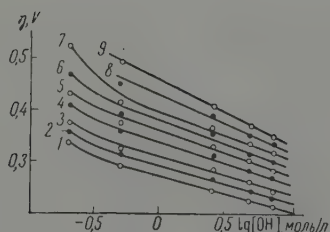


Рис. 5

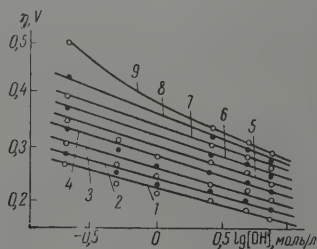


Рис. 6

Рис. 1. Зависимость $\eta - \lg i$ в 0,2 М КОН: 1—0°; 2—12°; 3—25°; 4—40°; 5—55°; 6—70°

Рис. 2. Зависимость $\eta - \lg i$ в 1,0 М КОН: 1—0°; 2—12°; 3—25°; 4—40°; 5—55°; 6—70°

Рис. 3. Зависимость $\eta - \lg i$ в 7,5 М КОН: 1—0°; 2—12°; 3—25°; 4—40°; 5—55°; 6—70°

Рис. 4. Зависимость $\eta - \lg [\text{OH}^-]$ при 0°: 1— $3,4 \cdot 10^{-5}$ А/см²; 2— $6,9 \cdot 10^{-5}$ А/см²; 3— $1,4 \cdot 10^{-4}$ А/см²; 4— $3,6 \cdot 10^{-4}$ А/см²; 5— $7,3 \cdot 10^{-4}$ А/см²; 6— $1,5 \cdot 10^{-3}$ А/см²; 7— $3,4 \cdot 10^{-3}$ А/см²; 8— $6,9 \cdot 10^{-3}$ А/см²; 9— $1,4 \cdot 10^{-2}$ А/см²

Рис. 5. Зависимость $\eta - \lg [\text{OH}^-]$ при 25°: 1— $3,4 \cdot 10^{-5}$ А/см²; 2— $6,9 \cdot 10^{-5}$ А/см²; 3— $1,4 \cdot 10^{-4}$ А/см²; 4— $3,6 \cdot 10^{-4}$ А/см²; 5— $7,3 \cdot 10^{-4}$ А/см²; 6— $1,5 \cdot 10^{-3}$ А/см²; 7— $3,4 \cdot 10^{-3}$ А/см²; 8— $6,9 \cdot 10^{-3}$ А/см²; 9— $1,4 \cdot 10^{-2}$ А/см²

Рис. 6. Зависимость $\eta - \lg [\text{OH}^-]$ при 70°: 1— $3,4 \cdot 10^{-5}$ А/см²; 2— $6,9 \cdot 10^{-5}$ А/см²; 3— $1,4 \cdot 10^{-4}$ А/см²; 4— $3,6 \cdot 10^{-4}$ А/см²; 5— $7,3 \cdot 10^{-4}$ А/см²; 6— $1,5 \cdot 10^{-3}$ А/см²; 7— $3,4 \cdot 10^{-3}$ А/см²; 8— $6,9 \cdot 10^{-3}$ А/см²; 9— $1,4 \cdot 10^{-2}$ А/см²

а, которое для исследованных сравнительно низких плотностей тока представляет очень малую величину. Более вероятно, что при поляризации кобальтового анода низкими плотностями тока, несмотря на предварительную поляризацию большой плотностью тока ($\sim 1 \text{ А/см}^2$), на электроде образуется поверхностная пленка гидроокиси с большим омическим сопротивлением. В виду пористости пленки сопротивление ее зависит от концентрации щелочи. Интересно отметить, что это явление не наблюдалось нами даже при работе только с большими плотностями тока в концентрированном растворе щелочи (7,5 М) и при применении вращающегося анода [4].

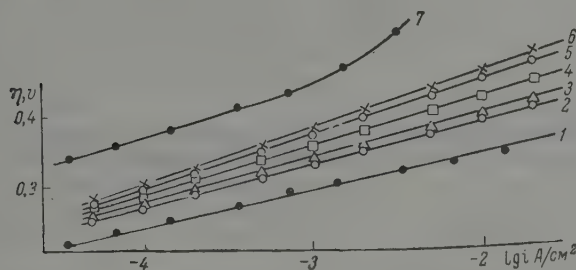


Рис. 7. Зависимость $\eta - \lg i$ при 25° : 1—галв. Со, 7,5 М КОН; 2—прокат. Со, 7,5 М КОН, угловой коэффициент $b = 0,060$; 3—прокат. Со, 5,0 М КОН, $b = 0,065$; 4—прокат. Со, 2,5 М КОН, $b = 0,070$; 5—прокат. Со, 0,2 М КОН, $b = 0,080$; 6—прокат. Со, 0,1 М КОН, $b = 0,085$; 7—галв. Со, 0,2 М КОН, $b = 0,070$

видимому, в последнем случае имела место значительно лучшая пассивация анода и, возможно, лучшее удаление газа из пор электрода. В то время можно констатировать, что, в отличие от данных [1], при всех перечисленных концентрациях щелочи мы не наблюдали (рис. 1, 2 и 3) резкого скачка перенапряжения, указывающего на заметную депассивацию анода. Сопротивление пористой пленки на гальваническом Со-аноде больше, чем на прокатанном, чем и можно объяснить отсутствием аномального роста η на прокатанном Со-аноде даже при низкой концентрации КОН (от $i = 1 \cdot 10^{-2} \text{ А/см}^2$ (рис. 7)). Интересно отметить, что большая пористость поверхности гальванического Со-анода, хотя и приводит к большому переходному сопротивлению, но в то же время обуславливает и большую истинную поверхность, чем у прокатанного Со-анода. Отсюда для концентрированных растворов КОН η на гальваническом Со-аноде больше η на прокатанном Со-аноде, а в разбавленных растворах, наоборот (рис. 7).

Угловые коэффициенты прямых $\eta - \lg i$ и $\eta - \lg [\text{ОН}']$ представлены в табл. 2 и 3 и на рис. 7, 8. На величинах этих угловых коэффициентов в какой-то мере сказалось омическое падение напряжения, чем и можно объяснить рост угловых коэффициентов $\eta - \lg i$ и $\eta - \lg [\text{ОН}']$ с понижением концентрации щелочи и температуры ($\eta - \lg i$) и ростом плотности тока и понижением температуры ($\eta - \lg [\text{ОН}']$). Особенно заметно возрастает угловой коэффициент $\eta - \lg [\text{ОН}']$ при переходе от прокатанного Со-анода к гальваническому (рис. 8, табл. 3).

Рассмотрим более подробно величины найденных угловых коэффициентов $\eta - \lg i$ и $\eta - \lg [\text{ОН}']$. Из табл. 2 видно, что для всех концентраций щелочи наблюдалось уменьшение углового коэффициента прямой $\eta - \lg i$ с ростом температуры. При больших плотностях тока [4] для первого температурного цикла мы также

Таблица 2

Угловой коэффициент прямой $\eta - \lg i$ при различных концентрациях КОН и различной температуре. Со-гальв.

с КОН моль/л	0°	12°	25°	40°	55°	70°
0,2	0,080	0,070	0,075	0,070	0,070	0,065
0,5	0,062	0,060	0,060	0,060	0,060	0,062
1,0	0,057	0,060	0,057	0,055	0,055	0,055
2,6	0,060	0,062	0,065	0,065	0,060	0,055
4,9	0,055	0,057	0,055	0,052	0,052	0,050
7,5	0,055	0,052	0,055	0,050	0,050	0,050

Таблица 3

Угловой коэффициент прямой $\eta - \lg [\text{OH}^-]$ при различных плотностях тока и различной температуре. Со-гальв.

$i, \text{A/cm}^2$	0°	12°	25°	40°	55°	70°
$3,4 \cdot 10^{-5}$	0,057	0,062	0,067	0,065	0,070	0,065
$6,9 \cdot 10^{-5}$	0,065	0,065	0,070	0,065	0,075	0,067
$1,4 \cdot 10^{-4}$	0,075	0,070	0,075	0,070	0,077	0,065
$3,6 \cdot 10^{-4}$	0,075	0,070	0,080	0,075	0,085	0,075
$7,3 \cdot 10^{-4}$	0,080	0,080	0,085	0,080	0,085	0,080
$1,5 \cdot 10^{-3}$	0,090	0,087	0,090	0,080	0,090	0,080
$3,4 \cdot 10^{-3}$	0,105	0,100	0,095	0,090	0,100	0,085
$6,9 \cdot 10^{-3}$	0,115	0,115	0,110	0,100	0,105	0,095
$1,4 \cdot 10^{-2}$	0,140	0,140	0,120	0,110	0,125	0,105

наблюдали подобное изменение углового коэффициента. Дальнейшие температурные циклы показали хорошо воспроизводимый рост углового

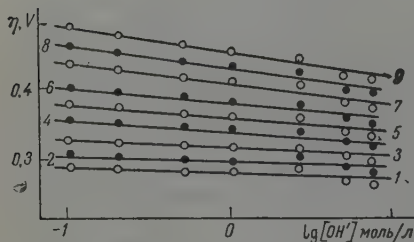


Рис. 8. Зависимость $\eta - \lg [\text{OH}^-]$ при i на прокат. Со: 1— $i = 5 \cdot 10^{-5} \text{ A/cm}^2$, угловой коэф. $b = -0,010$; 2— $i = 1 \cdot 10^{-4} \text{ A/cm}^2$, $b = -0,010$; 3— $i = 2 \cdot 10^{-4} \text{ A/cm}^2$, $b = -0,010$; 4— $i = 5 \cdot 10^{-4} \text{ A/cm}^2$, $b = -0,017$; 5— $i = 1 \cdot 10^{-3} \text{ A/cm}^2$, $b = -0,025$; 6— $i = 2 \cdot 10^{-3} \text{ A/cm}^2$, $b = -0,025$; 7— $i = 5 \cdot 10^{-3} \text{ A/cm}^2$, $b = -0,027$; 8— $i = 2 \cdot 10^{-2} \text{ A/cm}^2$, $b = -0,035$; 9— $i = 2 \cdot 10^{-2} \text{ A/cm}^2$, $b = -0,035$

коэффициента с ростом температуры в соответствии с уравнением (4). При низких плотностях тока, исследованных в настоящей работе, даже многократные температурные циклы показали уменьшение углового коэффициента с ростом температуры. Аналогичная картина наблюдалась Хиклингом и Хиллом [7], изучившими η только при двух температурах 20 и 70°. Как уже указывалось, уменьшение углового коэффициента $\eta - \lg i$ с ростом температуры можно объяснить влиянием омического сопротивления. Однако здесь, как и в первом температурном цикле [4], может иметь значение влияние и другого фактора: изменение состояния поверхности анода с изменением температуры. С последним, по-видимому, связано получение при высоких температурах и в концент-

ванных растворах щелочи угловых коэффициентов, несколько меньших $3 RT/F$ — величины, достаточно четко установленной в предыдущей работе [4].

Угловой коэффициент $\eta - \lg [\text{OH}']$ при низких плотностях тока на прокатанном Со-аноде, когда влияние омического падения напряжения значительно, близок к нулю (рис. 8). Такие же результаты были получены для прокатанного Со-анода в KOH и LiOH , о чем будет подробно общено в следующей работе.

Заметное же влияние $[\text{OH}']$ на η на гальваническом Со-аноде, аналогичное тому, что наблюдалось в [1], можно объяснить влиянием омического падения напряжения в порах пленки гидроксидной окиси.

Таким образом, весь экспериментальный материал, учитывая также работу [4], подтверждает предложенный ранее [4] механизм кислородного перенапряжения [уравнения (4), (5)].

В заключение сравним поляризационные кривые выделения кислорода на никелевом и кобальтовом анодах (рис. 9). Первая кривая взята из работы [3], а вторая построена на основании данных настоящего исследования и данных из нашей предыдущей работы [4]. Эти результаты, охватывающие очень широкий интервал плотностей тока, убедительно показывают значительное различие в механизме кислородного перенапряжения на никелевом и кобальтовом анодах. Если для Ni-анода характерно наличие нескольких участков поляризационной кривой, которым соответствует различный механизм кислородного перенапряжения [3], то для Со-анода в широком интервале плотностей тока наблюдается неизменность механизма кислородного перенапряжения. Весьма интересным является сопоставление величины кислородного перенапряжения на этих электродах. В литературе распространено мнение, что кислородное перенапряжение на кобальтовом аноде ниже, чем на никелевом аноде. Из рис. 9 видно, что это справедливо только для больших плотностей тока. При малых плотностях тока величины кислородного перенапряжения на Ni-Со-анодах имеют близкие значения.

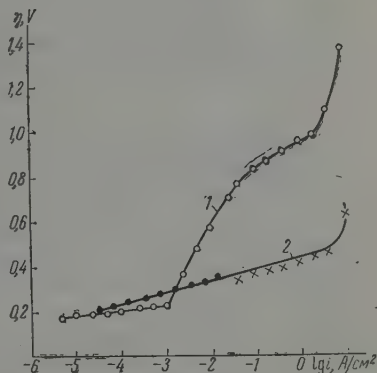


Рис. 9. Поляризационные кривые $\eta - \lg i$: 1 — на Ni- и 2 — на Со-анодах при 25° в $7,5 \text{ M KOH}$

Выводы

1. Исследовано кислородное перенапряжение на гальваническом и прокатанном кобальтовых анодах в интервале плотностей тока: $3,4 \cdot 10^{-5} - 1,4 \cdot 10^{-2} \text{ A/cm}^2$, при 0,12, 25, 40, 55 и 70° , в $[\text{OH}']$: 0,2; 0,5; 1,0; 2,6; 4,9 и 5 M растворах KOH . В отличие от исследования [1], работа проводилась на хорошо окисленном электроде, что позволило исключить заметную пассивацию анода при низких плотностях тока.
2. Обнаружено влияние на перенапряжение омического падения напряжения в поверхностной пленке гидроокиси, большее у гальванического, чем у прокатанного. При работе только с большими плотностями тока в концентрированном растворе KOH и с применением вращающегося анода [4] подобное явление не наблюдалось.
3. Экспериментальный материал может быть описан уравнением (4), согласно которому η не зависит от $[\text{OH}']$, что не согласуется с выводами [1].
4. Подтвержден ранее предложенный [4] механизм кислородного пе-

ренапряжения, основанный на замедленности стадии образования высшего окисла (5).

5. На основании настоящего и предыдущего [4] исследований показано, что в отличие от никелевого анода, механизм кислородного перенапряжения на кобальтовом аноде остается неизменным в чрезвычайно широком интервале плотностей тока от 10^{-5} до 10 А/см².

Лисичанский филиал Института
азотной промышленности
и продуктов органического синтеза.
Кишиневский государственный университет

Поступила
[10. XI. 1958]

ЛИТЕРАТУРА

1. Л. М. Волчкова, А. И. Красильщиков и Л. Г. Антонова, Тр. ГИАП, 1, 222, 1953.
2. А. И. Красильщиков, Л. М. Волчкова, Тр. ГИАП, 5, 343, 1956.
3. Я. И. Турьян, Ж. физ.-химии, 33, 948, 1959.
4. Я. И. Турьян, И. А. Гершкович, Ж. прикл. химии, 28, 600, 1956.
5. В. Н. Фисейский, Я. И. Турьян, Ж. физ. химии, 24, 567, 1950.
6. Я. И. Турьян, И. С. Гольденштейн, Ж. прикл. химии, 28, 379, 1955.
7. A. Nickling and S. Hill, Trans. Faraday Soc., 331, 550, 1950.

OXYGEN OVERVOLTAGE ON A COBALT ANODE

I. A. Gershkovich and Ya. I. Turyan (Severodonetsk)

Summary

Oxygen overvoltage on galvanic and rolled cobalt anodes has been investigated over the range of current densities $3.4 \cdot 10^{-5}$ — $1.4 \cdot 10^{-2}$ А/см² at 0.12, 25, 40, 55 and 70° C in 0.2, 0.5, 1.0, 2.6, 4.9 and 7.5 M KOH solutions. In contrast to (1) the investigation was carried out on a well oxidized electrode, obviating any notable depassivation of the anode at low current densities. The ohmic potential drop in the surface hydroxide film has been found to affect the overvoltage, more in the case of galvanic than in the case of rolled Co. No such phenomenon had been observed when working only with large current densities and concentrated KOH solutions, using a rotating anode (4). The experimental data may be described by Eq. (4), according to which η is independent of OH^- , a fact that is in disagreement with (1). The earlier proposed (4) mechanism of oxygen overvoltage based on the slow stage of the higher oxide formation (5) has been confirmed. Based on the present and previous (4) studies it has been shown that in contrast to the nickel anode the mechanism of oxygen overvoltage on a cobalt anode remains the same over an extraordinarily wide range of current densities from 10^{-5} to 10^{-2} А/см².

ЭЛЕКТРОЛИТИЧЕСКАЯ ДИССОЦИАЦИЯ В НЕВОДНЫХ СИСТЕМАХ

ХИ. СИСТЕМЫ, ОБРАЗОВАННЫЕ ИЗ АЛЛИЛОВОГО ГОРЧИЧНОГО МАСЛА И ПЕРВИЧНЫХ АЛИФАТИЧЕСКИХ АМИНОВ

С. П. Мискиджян

В предыдущих наших работах мы показали, что при взаимодействии аллилового горчичного масла с первичными, вторичными и третичными алифатическими аминами наряду с замещенными тиомочевинами [1] образуются роданистоводородные и роданистые аллиламины, которые, являясь электролитами, обуславливают значительную электропроводность растворов в этих неводных системах [2].

Интересно было выяснить, образует ли аллиловое горчичное масло с алифатическими аминами также роданистоводородные аллиламины, и обладают ли такие смеси проводимостью. Для этой цели мы решили изучить взаимодействие аллилового горчичного масла с такими первичными аминами как метиламин, этиламин, изопропиламин, а также с аммиаком.

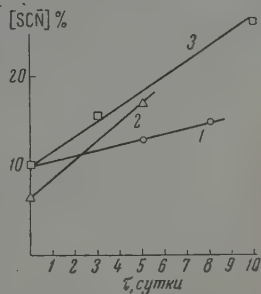
Аллиловое горчичное масло синтезировали по способу, описанному в наших прежних работах [2]; метиламин, этиламин получали из солянокислых соединений этих аминов путем добавления к ним концентрированной щелочи. Получающийся при этом газообразный амин пропускался через змеевик из стеклянной трубки диаметром 8 мм, длиной 80 см, опущенный в охлаждающую смесь из льда и соли с температурой -8° для охлаждения газообразного амина и удаления паров воды. Для окончательной сушки газообразный амин пропускался еще через хлоркальциевую трубку, после которой проходил через высокий столб аллилового горчичного масла.

При пропускании метиламина через аллиловое горчичное масло (до насыщения) наблюдалось заметное разогревание смеси и потемнение ее. Полученная таким образом смесь при стоянии затвердевает, дает положительную реакцию на SCN^- , обладает значительной электропроводностью $\chi_{60} > 10^{-3} \Omega^{-1} \text{ см}^{-1}$.

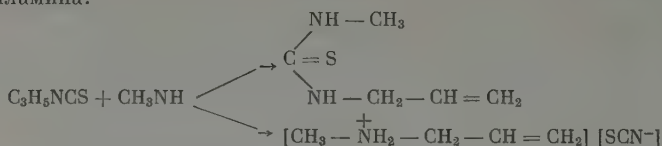
Если подвергнуть эту смесь нагреванию, то, как в ранее нами изученных системах [2], концентрация SCN^- заметно возрастает. На рисунке (1) приведена кривая зависимости концентрации SCN^- (в процентах соединения, анионом которого является SCN^-) от времени нагревания смеси при температуре $100 \pm 1^{\circ}$.

Из этих данных видно, что при нагревании течение 8 суток концентрация этого электролитного соединения достигает 15%.

Наличие столь высокой концентрации ионов SCN^- и высокой электропроводности смеси свидетельствуют о том, что здесь, как и в ранее нами изученных системах [2], протекают параллельные реакции, приводящие к образованию как замещенной тиомочевины, так и роданистоводородно-



го аллиламина:

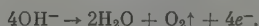
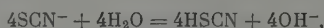


Пользуясь тем, что роданистоводородный аллилметиламин растворяется в горячей воде лучше, чем аллилметилтиомочевина, мы путем экстрагирования водой с последующей отгонкой ее под вакуумом (~ 20 мм) получили вязкую, бурого цвета жидкость, с содержанием 65% роданистоводородного аллиламина (по данным колориметрического измерения [2]).

Такую смесь мы подвергли исследованию в предложенном нами приборе для переноса вещества [2]. Условия опыта такие же, какие указаны в наших работах (2). При этом в анолите по мере прохождения тока возрастает концентрация SCN^- , в католите — $[\text{CH}_3 - \text{NH}_2 - \text{CH}_2 - \text{CH} = \text{C}_2]^+$.

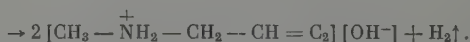
Полученные результаты анализа католита и анолита, а также явления, наблюдающиеся при электролизе [2], позволяют заключить, что при прохождении электрического тока у электродов протекают следующие электрохимические процессы:

у анода



При этом некоторое количество роданистоводородной кислоты окисляется выделяющимся кислородом до SO_4^{2-} , что легко обнаружить при помощи BaCl_2 :

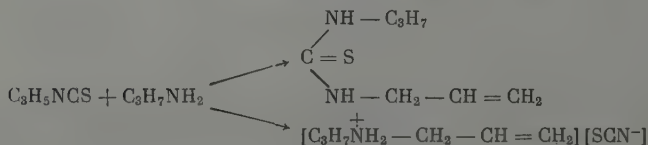
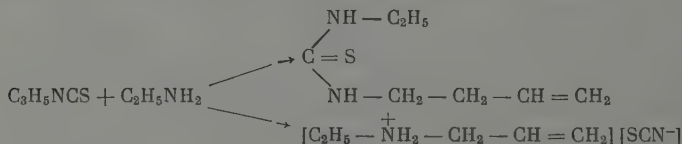
у катода

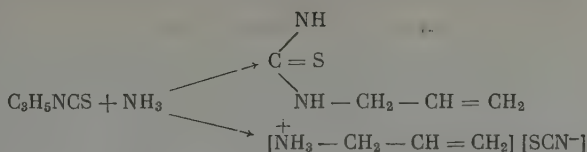


Катодит интенсивно окрашивается при добавлении фенолфталеина.

Аналогичным образом нами были изучены взаимодействие аллилового горчичного масла с этиламином и изопропиламином, а также с аммиаком. При смешивании компонентов также наблюдалось разогревание смесей. Все они хорошо проводят ток и давали положительные реакции на ион SCN^- .

На рисунке приведена кривая зависимости концентрации от времени нагревания смесей этиламин — аллиловое горчичное масло (2) и аммиак — аллиловое горчичное масло (3). Дальнейшее исследование показало, что при взаимодействии указанных веществ с аллиловым горчичным маслом протекают следующие параллельные реакции:





Получающиеся при этих реакциях электролитные соединения также подвергнуты электролизу. При этом было установлено, что у анода и катода протекают такие же электрохимические процессы, какие приены выше в случае электролиза роданистоводородного аллилметилена.

Выводы

1. Исследовано взаимодействие аллилового горчичного масла с алифатическими аминами (метиламином, этиламином, изопропиламином) и аммиаком.
2. Установлено, что при этом одновременно образуются как замещенные тиомочевины, так и роданистоводородные аллиламины. Последние являются электролитами.
3. При нагревании смесей часть замещенной тиомочевины превращается в роданистоводородный аллиламин.

Львовский медицинский институт

Поступила
11. II. 1959

ЛИТЕРАТУРА

- N. Z i n i n, Bull. phys. méthém. del'Acad. des sciences, de St. Petersburg, **10**, 346, 1852; A. W. H o f m a n n, Ber., I, 27, 1868; Н. С. К у р н а к о в, Собрание избранных работ, т. I, стр. 214, Изд-во АН СССР.
С. П. М и с к и д ж я н, Ж. общ. химии, **26**, 1046, 1956; **27**, 1755, 1957; **28**, 276, 1958; Ж. физ. химии **31**, 1614, 1957.

ELECTROLYTIC DISSOCIATION IN NON-AQUEOUS SYSTEMS. XII.

| *S. P. Miskidzhyan (L'vov)*

S u m m a r y

The interaction of allylic mustard oil with aliphatic amines (methylamine, ethylamine, isopropylamine) and ammonia has been investigated. It has been found that both substituted thioureas and allylamine thiocyanates are simultaneously formed. The latter are electrolytes. On heating the mixture part of the substituted thiourea is converted allylamine thiocyanate.

ОПРЕДЕЛЕНИЕ КОНСТАНТЫ ОБМЕНА НЕКОТОРЫХ КАТИОНОВ НА АКТИВИРОВАННОМ ПЛАТИНИРОВАННОМ УГЛЕ В АТМОСФЕРЕ ВОДОРОДА

*Б. П. Никольский, В. И. Парамонова
и А. Н. Мосевич*

Как известно из работ А. Н. Фрумкина и его школы [1—10] беззольный активированный платинированный уголь в атмосфере водорода или кислорода способен приобретать заряд и вследствие этого поглощать ионы раствора. По А. Н. Фрумкину в этих условиях на поверхности угля в водных растворах образуется двойной электрический слой, внешнюю обкладку которого составляют катионы (в водородной атмосфере) или анионы (в кислородной или в воздушной атмосфере). Катионы (или анионы) внешней обкладки двойного слоя при изменении состава раствора должны обмениваться с другими катионами (или анионами) раствора. Этот процесс представляет собой обменную адсорбцию. Поэтому платинированный уголь можно рассматривать как ионит, в котором обмен ионов происходит на высокоразвитой поверхности твердого тела. Если это так, то теория ионного обмена, развитая одним из нас [11—15], должна быть применима к обмену ионов на платинированном угле. Следовательно, обмен двух ионов между углем и раствором должен подчиняться уравнению изотемы обмена:

$$\frac{g_L^{1/z_L}}{g_M^{1/z_M}} = K_{L/M} \frac{\gamma_L^{1/z_L}}{\gamma_M^{1/z_M}} \frac{c^{1/z_L}}{c^{1/z_M}}, \quad (1)$$

где g_L и g_M — равновесные количества ионов L и M в миллиэквивалентах, поглощенных 1 г адсорбента; c_L , c_M , γ_L и γ_M — равновесные концентрации и коэффициенты активности ионов L и M в растворе; z_L и z_M — валентности ионов L и M; $K_{L/M}$ — константа обмена ионов L и M.

В литературе нет работ, посвященных изучению, с этой точки зрения, обмена ионов на платинированном угле. В настоящей работе мы ставили своей целью проверку приложимости уравнения (1) и определение констант обмена некоторых пар катионов на угле из нейтральных растворов их солей. По условиям наших опытов мы находили «кажущуюся» («концентрационную») константу $K'_{L/M}$, определяемую из уравнения:

$$K'_{L/M} = K_{L/M} \frac{\gamma_L^{1/z_L}}{\gamma_M^{1/z_M}}.$$

Кажущаяся константа обмена $K'_{L/M}$ должна оставаться в первом приближении постоянной при сохранении постоянства ионной силы раствора.

Экспериментальная часть

Принятая нами методика определения константы обмена применялась ранее [16, 17] для определения кажущейся константы обмена ионов на различных ионитах. Принцип ее заключался в том, что навеска поглотителя приводилась в адсорбционное равновесие с раствором смеси катионов определенной концентрации. Это достигалось последовательной многократной сменой исходного раствора над поглотителем (пропускание адсорбента исходным раствором). Основной трудностью применения этой методики к нашим условиям являлась необходимость проводить смену раствора при сохранении водородной атмосферы*.

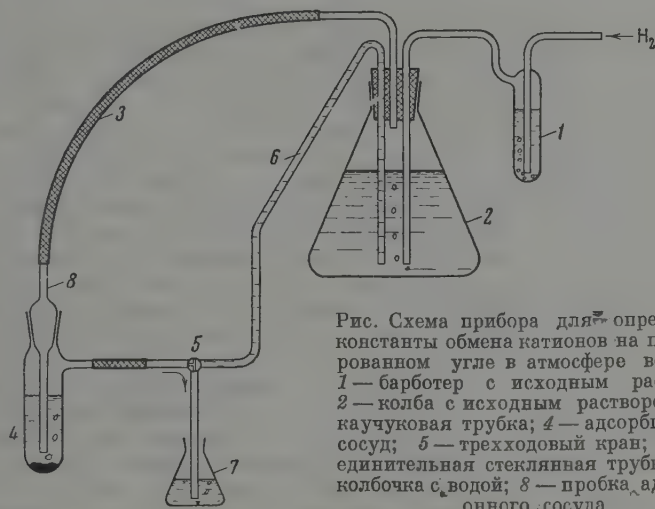


Рис. Схема прибора для определения константы обмена катионов на платинированном угле в атмосфере водорода: 1 — барботер с исходным раствором; 2 — колба с исходным раствором; 3 — каучуковая трубка; 4 — адсорбционный сосуд; 5 — трехходовый кран; 6 — соединительная стеклянная трубка; 7 — колбочка с водой; 8 — пробка адсорбционного сосуда

В своей работе мы применяли безольный уголь, полученный по способу, описанному в ряде работ [1, 3, 18, 19], а именно, прокаливанием фенолформальдегидной смолы последующим активированием полученного угля в токе CO_2 при 1000°C (до обжара — 49%) и платинированием (0,25% платины от веса угля). Зольность применявшегося в нашей работе угля составляла 0,05% от веса угля.

Опыты по определению константы обмена проводились в приборе, схема которого изображена на рисунке. Опыт проводился следующим образом. Исходный раствор, состав которого был известен, наливался в барботер 1, колбу 2 в адсорбционный сосуд 4. Водород, получавшийся электролитически, пропускаться через колбу 2 насыщения раствора. Для того чтобы избежать испарения воды в колбе 2 в процессе охлаждения через нее газа, водород предварительно пропускаться через барботер 1. Колбы 2 водород по трубке 3 переходил в адсорбционный сосуд, где помещалась навеска угля и тот же раствор. Сосуд 4 имел припаянную пробку 8 с опускающимся до дна носиком и боковой отвод. По боковому отводу в направлении, указанном стрелкой, водород выводился в атмосферу через колбочку 7 с водой. Через 2—3 часа пропускания водорода раствор из адсорбционного сосуда 4 через боковой отвод сливался в чистую колбочку. Как показали предварительные опыты, этого времени было достаточно для наступления адсорбционного равновесия. После этого соответствующим вращением трехходового крана 5 по трубке 6, служившей сифоном, в адсорбционный сосуд вводилась новая порция исходного раствора**.

Опыт показал, что необходимо сменить раствор над углем 7—8 раз для того, чтобы слитый с угля раствор был идентичен с исходным. Механически задержанный раствор, оставшийся в сосуде после сливания послед-

* Десорбция ионов осуществлялась в результате простой смены водородной атмосферы на воздушную. Происходящая перезарядка поверхности приводит к полному делению электролитически адсорбированных ионов в раствор.

** При переливании раствора сосуд 4 нужно было соответствующим образом наклонять, чтобы избежать проникновения раствора в трубку 3. Трубка 6 в течение всего опыта должна быть наполнена раствором.

ней порции жидкости, учитывался по весу. Сливавшиеся порции растворов анализировались на содержание в них кислоты. В первых слитых порциях раствора наблюдалось заметное его подкисление за счет обменного вытеснения адсорбированных на угле ионов водорода. Десорбция катионов производилась продуванием через сосуд воздуха, очищенного от пыли и углекислоты. Пробка 8 открывалась, и в сосуд вводился определенный объем раствора соляной кислоты (0,03—0,1 *N*). После часового продувания воздуха электростатически адсорбированные катионы переходили в раствор. Затем раствор анализировался на содержание интересующих нас катионов.

Мы определяли константы обмена следующих пар ионов: Ва — Са, Са — Cs, Mg — Cs и Са — Mg. Предварительными опытами было установлено, что в воздушной атмосфере эти катионы на угле не адсорбируются. Исходные растворы CsCl, BaCl₂, CaCl₂ и MgCl₂ приготавливались по весу и перекристаллизованных солей. Концентрация их в растворе проверялась аналитическим путем. Сливанием рассчитанных количеств этих растворов получали рабочие растворы. Опыты проводились при постоянной ионной силе равной 0,1. Растворы, содержащие цезий, метились радиоактивным изотопом цезий-134*. Барий определялся весовым методом в виде BaSO₄. Кальций и магний определялись объемным методом при помощи трилона Б и индикаторов — эриохрома черного Т (для определения магния в отсутствие кальция и суммы магния и кальция) и мурексида (для определения кальция) [20]. Точность определения катионов составляла от 3 до 10%.

Изготавливались рабочие растворы, содержащие исследуемые пары катионов в соотношении 1 : 3, 1 : 1 и 3 : 1. Поглощение этих катионов углем в атмосфере водорода производилось из растворов, содержащих соответственно одного иона, а также — из указанных выше смесей.

Навеска угля в наших опытах была 2 г; размеры частиц угля 1—2 мм. Объем каждой порции раствора ~30 мл. Расчет константы производился по формуле

$$K'_{L/M} = \frac{c_M^{1/2} g_L^{1/2}}{c_L^{1/2} g_M^{1/2}}$$

Точность расчета константы составляла для наших опытов 15—20%.

Результаты опытов приведены в табл. 1—4**.

Из таблиц видно, что независимо от природы катионов емкость поглощения угля для растворов с одинаковой ионной силой одинакова. Для наших образцов угля она составляла $0,078 \pm 0,006$ мг-экв/г. Полученные значения мало отличаются от данных, имеющихся в литературе [6].

Значения констант обмена для исследуемых пар катионов при взятых соотношениях концентраций сохраняют постоянство в пределах погрешности измерений. Наличие данных по константе обмена для пар ионов Са — Cs, Mg — Cs и Са — Mg дают возможность проверить обратимость адсорбции.

* Концентрация и радиоактивность исходных рабочих растворов были нам неизвестны. Концентрация цезия в интересующих нас растворах определялась измерением γ -активности раствора и сравнением ее с γ -активностью того же объема исходного рабочего раствора. Измерение активности проводилось в жидкостных кюветах на счетчике.

** В таблицах принята следующая система обозначений: c_a и c_b — концентрации ионов a и b в равновесном растворе в экв/л; g_a и g_b — равновесные количества поглощенных ионов a и b в мг-экв на 1 г угля; $K'_{a/b}$ — кажущаяся константа обмена ионов a и b ; g — суммарное количество мэкв ионов a и b , поглощенных 1 г угля ($g = g_a + g_b$); $H_{\text{экв}}$ — число мг-экв вытесненных ионов водорода в расчете на 1 г угля; под a и b подразумеваются обменивающиеся катионы.

Таблица 1

Определение константы обмена ионов Ba^{2+} и Cs^{+} из хлоридных растворов с ионной силой $I = 0,1$

c_{Ba}	c_{Cs}	g_{Ba}	g_{Cs}	$K'_{Ba/Cs}$	g	$H_{экв}$
—	0,1000	—	0,078	—	0,078	0,079
0,02222	0,06667	0,023	0,056	1,21	0,079	0,080
0,04000	0,04000	0,042	0,035	1,17	0,077	0,078
0,05460	0,01820	0,062	0,0175	1,10	0,0795	0,078
0,06667	—	0,076	—	—	0,076	0,077
$K'_{ср.} = 1,16 \pm 0,2$						

Таблица 2

Определение константы обмена ионов Ca^{2+} и Cs^{+} из хлоридных растворов с ионной силой $I = 0,1$

c_{Ca}	c_{Cs}	g_{Ca}	g_{Cs}	$K'_{Ca/Cs}$	g	$H_{экв}$
0,02222	0,06667	0,026	0,050	1,44	0,076	0,076
0,04000	0,04000	0,045	0,032	1,32	0,077	0,077
0,05460	0,01820	0,061	0,015	1,28	0,076	0,078
0,06667	—	0,077	—	—	0,077	0,076
$K'_{ср.} = 1,35 \pm 0,2$						

Таблица 3

Определение константы обмена ионов Mg^{2+} и Cs^{+} из хлоридных растворов с ионной силой $I = 0,1$

c_{Mg}	c_{Cs}	g_{Mg}	g_{Cs}	$K'_{Mg/Cs}$	g	$H_{экв}$
0,02222	0,06667	0,022	0,056	1,18	0,078	0,077
0,04000	0,04000	0,042	0,037	1,11	0,079	0,077
0,05460	0,01820	0,061	0,019	1,01	0,080	0,078
0,06667	—	0,079	—	—	0,079	0,079
$K'_{ср.} = 1,10 \pm 0,2$						

Таблица 4

Определение константы обмена ионов Ca^{2+} и Mg^{2+} из хлоридных растворов с ионной силой $I = 0,1$

c_{Ca}	c_{Mg}	g_{Ca}	g_{Mg}	$K'_{Ca/Mg}$	g	$H_{экв}$
0,05000	0,01667	0,062	0,016	1,13	0,078	0,076
0,03333	0,03333	0,045	0,031	1,20	0,076	0,077
0,01667	0,05000	0,024	0,053	1,17	0,077	0,079
$K'_{ср.} = 1,17 \pm 0,2$						

этих ионов на угле. В случае обратимости процесса адсорбции значения $K'_{Ca/Mg}$, определенное экспериментально, должно совпадать со значением этой величины, рассчитанной из соотношения $K'_{Ca/Cs} : K'_{Mg/Cs} = K'_{Ca/Mg}$ [12]. Из наших экспериментальных данных $K'_{Ca/Mg} = 1,17$ (см. табл. 4), а полученная расчетным путем величина $K'_{Ca/Mg} = 1,23$. Такое удовлетворительное совпадение этих величин показывает, что адсорбция исследованных нами ионов на платинированном угле в водородной атмосфере обратима. Основываясь на этом, мы считали себя в праве рассчитать константы обмена на платинированном угле для пар ионов $Ba—Cs$ и $Ba—Mg$ по соотношениям $K'_{Ba/Ca} = K'_{Ba/Cs} : K'_{Ca/Cs} = 0,86$ и $K'_{Ba/Mg} = K'_{Ba/Cs} : K'_{Mg/Cs} = 1,05$ (из данных табл. 1, 2 и 3).

При рассмотрении полученных экспериментальных и рассчитанных данных для констант обмена на угле обращает на себя внимание то обстоятельство, что все значения констант обмена близки к единице, т. е. отсутствует избирательность адсорбции на угле для какого-либо из выбранных нами катионов. Это отсутствие избирательности поглощения щелочных щелочноземельных металлов на платинированном угле отличает уголь как адсорбент от катионообменных смол, которые обладают значительной избирательной адсорбцией по отношению к этим ионам.

По данным А. М. Трофимова [21, 22] для сульфокатионитовой смолы константы обмена некоторых ионов имеют следующие значения $K_{Ba/Na} = 64,4$; $K_{Ca/Na} = 42,2$ и $K_{Ba/Ca} = 1,52$. Очевидно, что в случае ионообменных смол двухвалентные ионы щелочноземельных металлов поглощают значительно сильнее одновалентного иона щелочного металла, а в ряду щелочноземельных металлов предпочтительно адсорбируется ион металла с большим атомным весом. Такое положение связано с наличием в ионитах ионогенных групп. Поэтому на поглощение ионов ионитами должно оказывать влияние химическая природа ионов и сродство их к ионогенным группам, например, сродство Ba^{2+} к сульфогруппе в сульфокатионитах. Кроме того, обменное поглощение на синтетических смолах происходит во всем объеме ионита и связано с проникновением отдельных ионов в глубь зерен. Вследствие этого приобретает значение величина гидратной оболочки иона, а именно — ионы с меньшим радиусом (например Ba^{2+}) поглощаются смолой лучше более гидратированных ионов (например Ca^{2+}).

Механизм поглощения ионов платинированным углем отличается от поглощения на смолах. Уголь является таким поглотителем, где поглощенные ионы располагаются исключительно на его поверхности и удаляются с ней только в результате действия сил двойного электрического слоя*. Отсюда природа адсорбирующихся ионов не должна оказывать существенного влияния на их адсорбцию.

Для того чтобы выяснить, насколько величина гидратной оболочки металла бы повлиять на адсорбцию различных ионов, рассмотрим, насколько плотно в условиях наших опытов располагаются поглощенные ионы на поверхности угля. Если принять величину поверхности 1 г активированного угля равной 500 м^2 [6, 8], а радиусы гидратированных ионов $Cs^+ — 4,8$ Å, $Ba^{2+} — 6,3$ Å, $Ca^{2+} — 6,7$ Å и $Mg^{2+} — 7,7$ Å [23], то расчет показывает, что заполнение поверхности будет составлять от 7 до 10%. В случае равномерного распределения адсорбированных гидратированных ионов расстояние между ближайшими ионами будет составлять несколько ионных радиусов (~ 4). При такой степени заполнения поверхности можно предположить, что величина гидратной оболочки также не будет играть существенной роли в отношении избирательности адсорбции.

* Как уже указывалось, в данном исследовании специфическая адсорбция ионов на угле не имела места.

Как показал один из нас [12, 13], законы, управляющие обменом ионов, не зависят от механизма обмена и поэтому обмен ионов на смоле и платинированном угле подчиняется одному и тому же уравнению термодинамики (1). Однако различие в механизме обмена на этих поглотителях объясняет различие в численной величине констант обмена.

Интересно здесь же отметить, что изучение И. А. Тарковской [24] кинетики адсорбции на поверхности окисленного угля показало исключительно высокую избирательность иона Ca^{2+} относительно иона NH_4^+ ($K_{\text{Ca}/\text{NH}_4} \approx 200$). Это, по-видимому, следует объяснить тем, что адсорбция на окисленном угле осуществляется в основном (на 85—90 %) за счет определенных функциональных групп на его поверхности (карбоксильных или фенольных), хотя и является, как в случае платинированного угля, поверхностным процессом.

Выводы

1. Разработана методика определения кажущихся констант обмена катионов на беззольном активированном платинированном угле в водородной атмосфере.
2. При помощи этой методики определены константы обмена на угле пар катионов $\text{Ba} - \text{Cs}$, $\text{Ca} - \text{Cs}$, $\text{Mg} - \text{Cs}$ и $\text{Ca} - \text{Mg}$ в хлоридных растворах с ионной силой 0,1. Из этих данных рассчитаны также константы обмена $\text{Ba} - \text{Ca}$ и $\text{Ba} - \text{Mg}$.
3. Близкие к единице значения констант обмена для исследованных ионов свидетельствуют о малой избирательности поглощения этих ионов на угле. Это, по-видимому, можно объяснить отсутствием ионных групп на поверхности платинированного угля, а также тем, что из-за незначительного заполнения поверхности катионами на адсорбцию оказывает большого влияния величина гидратной оболочки иона.
4. Результаты настоящей работы показывают возможность распространения ионообменной теории на случай катионообменной адсорбции на поверхности платинированного угля, а также подтверждают электрохимический характер этой адсорбции. Таким образом, адсорбция различных катионов активированным платинированным углем в водородной атмосфере может характеризоваться константами обмена.

Ленинградский государственный университет
им. А. А. Жданова

Поступила
18.II.1959

ЛИТЕРАТУРА

- Б. П. Брунс, А. Н. Фрумкин, *Z. phys. Chem. (A)*, **141**, 141, 1929.
А. Н. Фрумкин, О. Зарубина, С. Д. Левина, *Ж. физ. химии*, **2**, 542, 1931.
Б. П. Брунс, Е. Позд, А. В. Городецкая, Ф. Я. Перельман, *Ж. физ. химии*, **3**, 97, 1932.
С. Д. Левина, А. Н. Фрумкин, А. Лунев, *Acta phys. URSS*, **3**, 397, 1935.
Б. П. Брунс, Р. Х. Бурштейн, Н. Федотов, М. Лившиц, *Acta phys. Chim. URSS*, **8**, 47, 1938; *Ж. физ. химии*, **11**, 7, 1938.
С. Петров, Р. Х. Бурштейн, Т. Киселева, *Ж. физ. химии*, **13**, 1156, 1939.
Е. Кучинский, Р. Х. Бурштейн, А. Н. Фрумкин, *Ж. физ. химии*, **14**, 441, 1940.
С. Д. Левина, *Успехи химии*, **9**, 196, 1940.
Д. Н. Стражеско, В. А. Лунёнок, Л. Л. Червяцова, *Сб. «Применение меченых атомов в аналитической химии»*, 107, 1955.
Д. Н. Стражеско, *Докл. АН СССР*, **102**, 775, 1955.
Б. П. Никольский, *Ж. Почвоведение*, № 2, 180, 1934.
Б. П. Никольский, В. И. Парамонова, *Успехи химии*, **8**, 1535, 1939.
Б. П. Никольский, Докт. диссер. Ленинград, 1939.
Б. П. Никольский, В. И. Парамонова, *Уч. Зап. ЛГУ, Сер. хим. н.*, № 12, 112, 1953.
Б. П. Никольский, *Сб. «Хроматография»*, Изд-во ЛГУ, 5, 1956.

16. В. И. Парамонова, Коллоидн. ж., 4, 651, 1938.
17. Б. П. Никольский, П. М. Чулков, Уч. Зап. ЛГУ, Сер. хим. н., 144, 1949.
18. М. М. Дубинин, Е. Д. Заверина, Ж. физ. химии, 23, 469, 1949.
19. Д. Н. Стражеско, Докт. диссер., Киев, 1951.
20. Р. Прибил, «Комплексы в химическом анализе», ИЛ, 1955, стр. 52—
21. А. М. Трофимов, Канд. диссер.; Ленинград, 1948.
22. А. М. Трофимов, Сб. «Хроматография», Изд-во ЛГУ, 15, 1956.
23. Цит. по Nachod F. C. a Wood W., J. Amer. Chem. Soc., 67, 629, 1945.
24. И. А. Тарковская, Автореферат канд. диссер., Киев, 1958.

DETERMINATION OF THE EXCHANGE CONSTANTS OF SOME CATIONS ON
ACTIVATED, PLATINIZED CARBON IN A HYDROGEN ATMOSPHERE

B. P. Nikol'ski, V. I. Paramonova and A. N. Mosovich (Leningrad)

S u m m a r y

The concentration exchange constants for a number of alkaline and alkaline earth cations on platinized ashless activated carbon have been determined with the aid of a developed procedure. The exchange constants were found to have values close to unity, bearing witness to the absence of selective sorption of the ions on the carbon. The results of study showed the possibility of extending the ion exchange theory to the case of cation exchange on a platinized carbon surface and also confirms the electrostatic character of adsorption for the ions.

КИНЕТИКА И МЕХАНИЗМ РЕАКЦИЙ В СРЕДАХ
КОНЦЕНТРИРОВАННЫХ СИЛЬНЫХ КИСЛОТIII. КИНЕТИКА ГИДРОЛИЗА ОКСИМА ЦИКЛОГЕКСАНОНА
В СРЕДАХ СОЛЯНОЙ И СЕРНОЙ КИСЛОТ

М. И. Винник и Н. Г. Зарахани

Известно, что при кислотном-каталитическом гидролизе амидов [1—5] оксимов [6] константа скорости имеет максимум в зависимости от кислотности среды. На основании экспериментальных данных считается, что и гидролизе упомянутых веществ реакционноспособными являются протонизованные молекулы. Однако, нет единого мнения о том, входит ли она в кинетическое уравнение для лимитирующей стадии, т. е. является реакция по порядку мономолекулярной или бимолекулярной. Несмотря на наличие в литературе нескольких гипотез для объяснения максимумов константы скорости от кислотности среды, природа этого явления до последнего времени оставалась мало понятной [7].

Эдвард и Микок [8] для объяснения экспериментальных данных по гидролизу бензидатов предположили, что лимитирующей является стадия взаимодействия между протонизованной формой реагента и молекулой воды. Концентрация непротонизованной формы BH^+ связана с кислотностью среды соотношением:

$$c_{\text{BH}^+} = \frac{K_B h_0}{1 + K_B h_0} c_0,$$

где c_0 — концентрация реагента; K_B — константа основности. Если $w = k_{\text{ист}} \cdot c_{\text{BH}^+} \cdot c_{\text{H}_2\text{O}}$, наблюдаемая мономолекулярная константа $k_{\text{эфф}}$ будет равна

$$k_{\text{эфф}} = \frac{w}{c_0} = k_{\text{ист}} \frac{K_B a_{\text{H}_2\text{O}}}{1 + K_B h_0} \frac{1}{f_{\text{H}_2\text{O}}},$$

где $f_{\text{H}_2\text{O}}$ — коэффициент активности воды. Опыты с бензидатами проводились в широком диапазоне кислотности среды, включая и кислотности, где реагент практически полностью протонизован. Если $K_B h_0 > 1$, то

$$k_{\text{эфф}} = k_{\text{ист}} \frac{K_B a_{\text{H}_2\text{O}}}{K_B h_0} \frac{1}{f_{\text{H}_2\text{O}}} = k_{\text{ист}} c_{\text{H}_2\text{O}}.$$

Согласно механизму, предложенному Эдвардом и Микокком, увеличение $k_{\text{эфф}}$ связано с ростом кислотности среды, а уменьшение константы скорости гидролиза в условиях полной ионизации реагента связано с уменьшением концентрации воды в реагирующей среде. Однако на самом деле, $k_{\text{эфф}}$ убывает гораздо быстрее, чем активность воды.

Для объяснения закономерностей гидролиза тиоацетамида и ацетамида Розенталь и Тейлор [9] также приняли, что лимитирующей является стадия взаимодействия между протонизованной формой реагента и молекулой воды. Авторы представляют уравнение для зависимости эффективной константы скорости от кислотности среды в следующем образе:

$$k_{\text{эфф}} = \frac{k_{\text{ист}} K_B h_0}{1 + K_B h_0} \frac{f_{\text{BH}^+} a_{\text{H}_2\text{O}}}{f_{\text{M}^*}} = k_{\text{ист}} K_B \frac{c_{\text{H}_2\text{O}}}{1 + K_B h_0} \frac{f_{\text{B}} f_{\text{H}_2\text{O}}}{f_{\text{M}^*}},$$

где f_{B} , f_{BH^+} , $f_{\text{H}_2\text{O}}$, f_{M^*} — коэффициенты активностей непротонизованных, протонизованных молекул реагента, гидроксоний-иона и активированного комплекса, соответственно.

Розенталь и Тейлор постулируют, что произведение коэффициентов активности $f_B f_{\text{H}_2\text{O}}/f_{\text{M}^*}$ изменяется пропорционально концентрации кислоты:

$$\frac{f_B f_{\text{H}_2\text{O}}}{f_{\text{M}^*}} = Bc,$$

где B — константа, зависящая от природы реагента и растворителя (в данном случае кислоты); c — концентрация кислоты в *моль/л*.

В условиях полной протонизации реагента:

$$\lg k_{\text{эфф}} = \lg K_B k_{\text{ист}} + \lg c_{\text{H}_2\text{O}} + Bc.$$

Действительно, в случае гидролиза тиоацетамида $\lg \frac{K_{\text{эфф}}}{c_{\text{H}_2\text{O}}}$ является линейной функцией от концентрации кислоты только в области кислотностей, где наблюдается увеличение $k_{\text{эфф}}$ с ростом h_0 . Это уравнение не объясняет максимума $k_{\text{эфф}}$ от кислотности среды.

Пауль и Лонг [10] считают, что уменьшение $k_{\text{эфф}}$ с ростом h_0 можно было бы объяснить, если принять гипотезу Цуккера — Гаммета [11] о постоянстве отношения $f_B f_{\text{H}_2\text{O}}/f_{\text{M}^*}$. В таком случае с ростом h_0 в условиях полной ионизации реагента $k_{\text{эфф}}$ должно падать, так как кислотность среды возрастает быстрее, чем концентрация гидроксоний-ионов. С тезисом о постоянстве $f_B f_{\text{H}_2\text{O}}/f_{\text{M}^*}$ вряд ли можно согласиться. Есть основание предполагать, что отношение $f_B f_{\text{H}_2\text{O}}/f_{\text{M}^*}$ должно изменяться с концентрацией кислоты таким же образом, как отношение $f_B f_{\text{H}_2\text{O}}/f_{\text{BH}^+}$ для индикаторов, применяемых при измерении функции кислотности, так как f_B и f_{BH^+} — коэффициенты активностей протонизованных частиц одного и того же заряда. На примере бромистоводородной, соляной [12] и плавиковой [13] кислот было показано, что сочетание коэффициентов активностей $f_B f_{\text{H}_2\text{O}}/f_{\text{BH}^+}$ не является постоянной величиной, а довольно-быстро растет при увеличении концентрации кислоты.

Таким образом, при помощи приведенных выше уравнений невозможно количественно объяснить имеющиеся данные по кинетике гидролиза амидов и оксимов. Для объяснения закономерностей гидролиза циклогексаноноксима в среде соляной кислоты мы предположили, что протонизованная форма оксима может ассоциироваться с анионом кислоты в соль, вследствие чего должна уменьшиться концентрация реакционноспособных протонизованных частиц.

Следует отметить, что для качественного объяснения максимума константы скорости от кислотности среды при гидролизе гипотеза о сольобразовании выдвигалась и ранее [1, 4], однако для количественной обработки экспериментальных данных эта гипотеза не была применена.

В настоящей работе исследована кинетика гидролиза циклогексаноноксима при различных температурах в средах соляной и серной кислот.

Экспериментальная часть

Р е а к т и в ы. Циклогексаноноксим готовился из циклогексанола и солянокислого гидроксилamina по описанной в литературе методике [14].

Кинетика гидролиза оксима изучалась спектрофотометрическим методом на спектрофотометре СФ-4. Опыты проводились в кварцевых кюветках, где температура поддерживалась с точностью $\pm 0,1^\circ$. Оксим вносился в раствор кислоты в виде кристалликов водного раствора; его концентрация в кислоте составляла $2 \cdot 10^{-4} - 1 \cdot 10^{-3}$ *моль/л*. Оказалось удобным проводить измерения при длине волны $\lambda = 222$ *мк*, где заметное поглощение оксима и где продукты реакции — циклогексанон и гидроксилamin практически не поглощают.

При концентрациях HCl и H_2SO_4 выше 0,1 *м* процесс практически необратим в сильно разбавленных растворах ($5 \cdot 10^{-4}$ *м*) равновесие сдвинуто в направлении образования оксима. Соотношение равновесных концентраций оксима и циклогексанола определялось по величинам начальной оптической плотности раствора D_0 и оптической плотности при окончании реакции D_∞ .

В случае обратимости кинетика расходования оксима может быть представлена уравнением:

$$-\frac{dc_{\text{RNOH}}}{dt} = k_{\text{эфф}} c_{\text{RNOH}} - k_2 c_{\text{NH}_2\text{OH}} c_{\text{RCO}} = k_{\text{эфф}} c_{\text{RNOH}} - k_2 (c_{\text{RNOH}}^0 - c_{\text{RNOH}})^2$$

c_{RNOH}^0 — начальная концентрация оксима; c_{RNOH} , c_{RCO} , $c_{\text{NH}_2\text{OH}}$ — текущие концентрации оксима, циклогексанона и гидроксилamina.

Если концентрацию оксима выразить через оптическую плотность:

$$D = \varepsilon c_{\text{RNOH}},$$

$$-\frac{dD}{dt} = k_{\text{эфф}} D - \frac{k_2}{\varepsilon} (D_0 - D)^2. \quad (1)$$

При интегрировании уравнения (1) получаем

$$k_{\text{эфф}} t = \frac{D_0 - D_{\infty}}{D_0 + D_{\infty}} \ln \frac{\left(\frac{D_0^2}{D_{\infty}} - D\right)}{D - D_{\infty}} \frac{D_{\infty}}{D_0}.$$

Таким образом, $\lg \frac{(D_0^2/D_{\infty}) - D}{D - D_{\infty}}$ является линейной функцией от времени t , а тангенс угла наклона прямой в координатах $\left(\lg \frac{(D_0^2/D_{\infty}) - D}{D - D_{\infty}}, t\right)$

представляет собою $\frac{1}{2,3} k_2 \frac{D_0^2 - D_{\infty}^2}{D_{\infty}}$, а $k_{\text{эфф}} = \frac{k_2 (D_0 - D_{\infty})^2}{\varepsilon D_{\infty}}$.

Если реакция необратима и $-dc_{\text{RNOH}}/dt = k_{\text{эфф}} c_{\text{RNOH}}$, то для построения логарифмической анаморфозы следует откладывать $\lg \frac{1}{D - D_{\infty}}$ относительно времени t , где D_{∞} — оптическая плотность продуктов реакции.

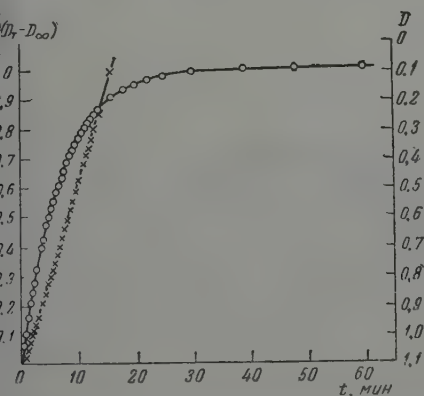


Рис. 1. Кинетическая кривая и ее логарифмическая анаморфоза гидролиза циклогексаноноксида в 2,49% H_2SO_4

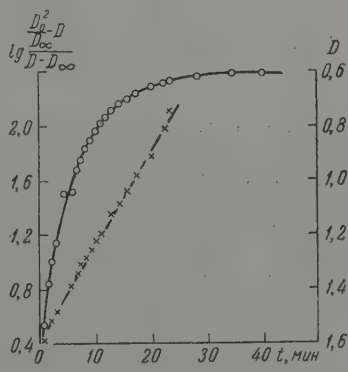


Рис. 2. Кинетическая кривая и ее логарифмическая анаморфоза гидролиза циклогексаноноксида в $4,64 \times 10^{-3}$ мол. HCl

Полученные результаты. На рис. 1, 2 представлены кинетические кривые и их логарифмические анаморфозы для гидролиза циклогексаноноксида в кислых средах. Опыт, приведенный на рис. 1, проведен в условиях, где обратимость процесса можно практически пренебречь; опыт на рис. 2 проведен с $4,64 \cdot 10^{-3} \text{ м}$ HCl , где равновесие достигается при 61% превращения оксима в циклогексанон. Экспериментальные данные по гидролизу оксима в среде соляной и серной кислот приведены в табл. 1—3. Константы скоростей при различных температурах подпадают под уравнение Аррениуса, однако энергия активации зависит от концентрации кислоты. В средах 75,21 и 69,9% H_2SO_4 , $E = 25$ ккал/моль; в 65,01%, $E = 22,2$ ккал/моль, а в 61,04; 50,02%, 40,75%, 65% и 19,99% энергии активации равны 20,8; 20,4; 20; 20,3 и

Константы скорости гидролиза циклогексаноноксима $k_{эфф}$ и обратной реакции k_2 в среде соляной кислоты при различных температурах

Моляльность HCl[m]	$t, ^\circ\text{C}$	$k_{эфф}, \text{мин.}^{-1}$	Моляльность HCl[m]	$t, ^\circ\text{C}$	$k_{эфф}, \text{мин.}^{-1}$	$\frac{k_2}{\text{моль/мин}}$
5,43	80	$25,9 \cdot 10^{-2}$	$8,54 \cdot 10^{-3}$	25	0,307	81
	70	$13,7 \cdot 10^{-2}$		15	0,128	
	60	$6,65 \cdot 10^{-2}$				
4,03	50	$2,73 \cdot 10^{-2}$	$6,5 \cdot 10^{-3}$	25	0,34	180
	80	$35,9 \cdot 10^{-2}$	$5,6 \cdot 10^{-3}$	25	0,331	
	70	$18,1 \cdot 10^{-2}$	$4,64 \cdot 10^{-3}$	25	0,333	
	60	$8,45 \cdot 10^{-2}$		15	0,139	
1,94		$9,1 \cdot 10^{-2}$	$3,7 \cdot 10^{-3}$	8	0,07	246
	50	$3,89 \cdot 10^{-2}$		25	0,291	
	25	$6,18 \cdot 10^{-3}$		15	0,140	
	40	$2,98 \cdot 10^{-2}$		8	0,07	
	50	$7,05 \cdot 10^{-2}$	$2,8 \cdot 10^{-3}$	15	0,138	
	60	$14,4 \cdot 10^{-2}$	$1 \cdot 10^{-3}$	25	0,194	
0,927				15	0,107	925
	70	$31,0 \cdot 10^{-2}$		8	0,058	
	25	$1,41 \cdot 10^{-2}$	$5 \cdot 10^{-4}$	25	0,125	
	40	$5,52 \cdot 10^{-2}$				
	50	$13,7 \cdot 10^{-2}$				
0,245	60	$27,4 \cdot 10^{-2}$				
	17,2	$2,07 \cdot 10^{-2}$				
	25	$4,57 \cdot 10^{-2}$				
	40	$17,25 \cdot 10^{-2}$				
9,3 $\cdot 10^{-2}$	50	$41,7 \cdot 10^{-2}$				
	25	$11,2 \cdot 10^{-2}$				
	40	$4,01 \cdot 10^{-1}$				
4,64 $\cdot 10^{-2}$	50,5	$8,85 \cdot 10^{-1}$				
	25	0,159				

20,3 ккал/моль, соответственно. В более разбавленных растворах видим энергия активации уменьшается. В случае 0,5 % H_2SO_4 , $E = 15,7$ ккал/моль.

В средах 4; 1,94, 0,927 m соляной кислоты кажущаяся энергия активации равна 17 ккал/моль, а при катализе $9,3 \cdot 10^{-4} m$ HCl, $E_{эфф} = 11$ ккал/моль.

Для того чтобы можно было сопоставить константы $k_{эфф}$ с функцией кислотности среды, была проведена экстраполяция констант для концентрированных растворов кислот (опыты проводились в интервале температур 50—97°) к температуре 25°. Оказалось, что как при катализе HCl, так и при катализе H_2SO_4 константа скорости имеет максимум в зависимости от кислотности среды (рис. 3, 4). Максимальное значение $k_{эфф}$ при 25° наблюдается в среде $1,365 \cdot 10^{-2} \%$ H_2SO_4 и в $5,6 \cdot 10^{-3} m$ HCl. Дальнейшее увеличение кислотности среды приводит к резкому уменьшению константы скорости гидролиза циклогексаноноксима. В табл. 4 и 5 представлены значения $k_{эфф}$ при 25° для растворов соляной и серной кислот, где наблюдается падение $k_{эфф}$ с ростом h_0 . Для этой области кислотностей как в случае HCl, так и в случае H_2SO_4 справедливо соотношение:

$$k_{эфф} \frac{a_{\text{HA}}}{h_0} = \text{const.}$$

Для соляной кислоты:

$$\lg k_{эфф} \frac{a_{\text{HCl}}}{h_0} = -2,06.$$

Для серной кислоты:

$$\lg k_{эфф} \frac{a_{\text{H}_2\text{SO}_4}}{h_0} = -4,2.$$

Таблица 2

Константы скорости гидролиза циклогексанооксима в среде серной кислоты при различных температурах

Моляльность H_2SO_4 [m]	$t, ^\circ\text{C}$	$k_{\text{эфф}} \cdot 10^3, \text{мин}^{-1}$	Моляльность H_2SO_4 [m]	$t, ^\circ\text{C}$	$k_{\text{эфф}} \cdot 10^3, \text{мин}^{-1}$
39,71	97	4,73	7,01	90	39,1
	90	2,66		80	17,4
	90	2,37			
	80	0,744		70	8,65
	70	0,228		60	3,56
30,93			4,3	50	1,46
	97	3,41			
	90,2	2,01		80	50,1
	80,5	0,718		70	19,9
	80	0,638		60	8,34
23,68	70	0,223	2,55	50	3,31
	97	4,89		80	66,7
	90	2,73		70	32,1
	80	1,01		60	11,5
18,94	70	0,333	1,11	50	5,47
	90	5,08		70	58,8
	80	2,47		60	25,1
	80	2,12		50	9,79
15,98	70	0,98	0,54	40	4,24
	60	0,293			
				70	95
	97	11,7		60	47,2
	90	7,0		50	19,6
10,87	80	2,71	0,26	40	8,58
	70	1,29			
				60	77,0
	90	24,3		50	30,1
	80	10		40	15,1
	70	4,8	0,052	25	3,96
	60	1,75			
	50	0,55		60	188
				50	100
				40	46,0
				25	11,55
				15	4,89

Таблица 3

Константы скоростей гидролиза циклогексанооксима ($k_{\text{эфф}}$) и обратной реакции (k_2) в разбавленных растворах серной кислоты при 25°C

Моляльность H_2SO_4	$k_{\text{эфф}}, \text{мин}^{-1}$	$k_2, \frac{\text{л}}{\text{моль} \cdot \text{мин}}$
0,0381	0,132	—
0,0297	0,147	19,14
0,02056	0,190	38,2
$0,983 \cdot 10^{-2}$	0,248	58,9
$0,523 \cdot 10^{-2}$	0,29	102,6
$0,139 \cdot 10^{-2}$	0,307	268,8
$6,88 \cdot 10^{-4}$	0,262	522,1
$4,54 \cdot 10^{-4}$	0,268	—
$6,32 \cdot 10^{-5}$	0,264	662,2
$1,43 \cdot 10^{-5}$	0,067	51,7

Константы скорости гидролиза циклогексаноноксима $k_{эфф, мин}^{-1}$ при различных концентрациях соляной к-ты и $T=25^{\circ}C$

Моляльность HCl	$k_{эфф, мин}^{-1}$	H_0	$lg a_{HCl}$	$lg k_{эфф} \frac{a_{HCl}}{I_0}$	Моляльность HCl	$k_{эфф, мин}^{-1}$	H_0	$lg a_{HCl}$	$lg k_{эфф} \frac{a_{HCl}}{I_0}$
$4.64 \cdot 10^{-2}$	0.159	1.49	-2.81	-2.12	1.940	$7.25 \cdot 10^{-8}$	-0.475	0.575	-2.02
$9.3 \cdot 10^{-2}$	0.112	1.05	-2.23	-2.13	4.03	$2.82 \cdot 10^{-8}$	-0.16	1.70	-2.01
0.245	0.0457	0.68	-1.43	-2.09	5.03	$1.82 \cdot 10^{-8}$	-1.605	2.32	-2.01
0.927	0.0141	-0.03	-0.27	-2.15					

Таблица 5

Константы скорости гидролиза циклогексаноноксима $k_{эфф} (мин^{-1})$ при различных концентрациях серной кислоты и $T=25^{\circ}C$

% H_2SO_4 по весу	$lg k_{эфф, мин}^{-1}$	H_0	$lg a_{H_2SO_4}$	$lg k_{эфф} \frac{a_{H_2SO_4}}{I_0 \cdot 4I_{H_2SO_4}}$	% H_2SO_4 по весу	$lg k_{эфф, мин}^{-1}$	H_0	$lg a_{H_2SO_4}$	$lg k_{эфф} \frac{a_{H_2SO_4}}{I_0 \cdot 4I_{H_2SO_4}}$
2.49	-1.4	+0.43	-3.29	-2.94	51.60	-3.50	-3.55	+3.11	-2.62
4.98	-1.7	+0.12	-2.67	-2.93	61.05	-4.05	-4.58	+4.48	-2.83
9.84	-2.06	-0.28	-1.95	-2.97	65.01	-4.30	-5.03	+5.14	-2.87
19.98	-2.47	-1.01	-0.82	-2.98	69.9	-4.75	-5.65	+5.97	-3.11
29.65	-2.63	-1.69	+0.29	-2.71	75.21	-5.00	-6.35	+6.8	-3.23
40.75	-2.98	-2.48	+1.68	-2.46	79.57	-5.10	-6.92	+7.52	-3.18

Примечание. Значения $a_{H_2SO_4}$ для растворов вплоть до 63% H_2SO_4 взяты из книги Гарнеда и Оуэна [15], для более концентрированных растворов из работы Абея [16].

Обсуждение результатов

Если ионизованная форма оксима находится в равновесии с солью $RNOH_2^+ + A^- \rightleftharpoons RNOH_2 \cdot A^-$, то оксим в растворе может находиться в трех формах: неионизованных частиц $RNOH$, протонизованных частиц $[RNOH_2]^+$ и соли $(RNOH_2 \cdot Cl^-)$ и $(RNOH_2 \cdot HSO_4^-)$. Обозначим константу протонизации оксима:

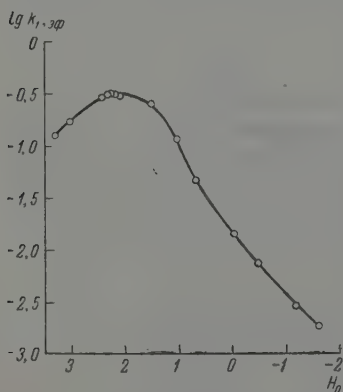
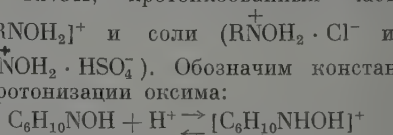


Рис. 3

Рис. 3. Зависимость логарифма константы скорости гидролиза циклогексаноноксима от функции кислотности HCl при $25^{\circ}C$

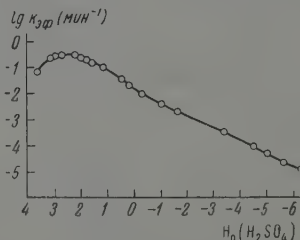


Рис. 4

Рис. 4. Зависимость логарифма константы скорости гидролиза циклогексаноноксима от функции кислотности H_2SO_4 при $25^{\circ}C$

рез

$$K_B = \frac{a_{\text{RNOH}} a_{\text{H}^+}}{a_{\text{RNOH}_2^+}},$$

константу солеобразования через

$$K_C = \frac{a_{\text{RNOH}_2^+} a_{\text{A}^-}}{a_{\text{соли}}},$$

где a_{A^-} — термодинамическая активность аниона кислоты. Неионизованная форма оксима не является реакционноспособной. Соль оксима, по-видимому, мало реакционноспособна или по крайней мере менее реакционноспособна, чем протонизованная частица $[\text{RNOH}_2]^+$. Основанием для такого вывода является наблюдаемое уменьшение константы скорости гидролиза $k_{\text{эфф}}$ при увеличении концентрации HCl или H_2SO_4 в области больших кислотностей, где именно и следует ожидать образования соли. Вопрос о реакционноспособности соли может быть окончательно решен после сопоставления эффективных констант скорости $k_{\text{эфф}}$ и различных значений кислотности среды с концентрациями протонизованных частиц $c_{[\text{RNOH}_2]^+}$. Если суммарная концентрация оксима:

$$c_0 = c_{\text{RNOH}} + c_{[\text{RNOH}_2]^+} + c_{\text{соли}},$$

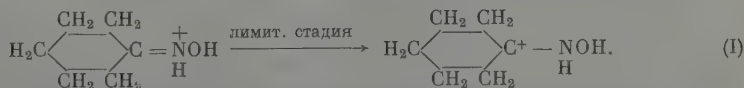
концентрация протонизованных частиц выражается уравнением:

$$c_{\text{RNOH}_2^+} = \frac{c_0}{1 + K_B \frac{f_{[\text{RNOH}_2]^+}}{a_{\text{H}^+} + f_{\text{RNOH}}} + a_{\text{A}^-} \frac{f_{[\text{RNOH}_2]^+}}{K_C f_{\text{соли}}}} = \frac{c_0}{1 + \frac{K_B}{h_0} + \frac{a_{\text{HA}}}{K_C h_0} \frac{f_{\text{RNOH}}}{f_{\text{соли}}}},$$

где $a_{\text{HA}} = a_{\text{H}^+} a_{\text{A}^-}$ — термодинамическая активность кислоты. Соотношение коэффициентов активностей двух незаряженных частиц оксима (f_{RNOH}) и соли ($f_{\text{соли}}$), по-видимому, не должно изменяться с концентрацией кислоты. Обозначив $K_C f_{\text{соли}} / f_{\text{RNOH}} = K'_C$, получим уравнение для зависимости концентрации протонизованных молекул оксима от активности кислоты и кислотности среды:

$$c_{\text{RNOH}_2^+} = \frac{c_0}{1 + \frac{K_B}{h_0} + \frac{a_{\text{HA}}}{K'_C h_0}}. \quad (3)$$

Лимитирующая стадия гидролиза оксимов может быть либо мономолекулярной, либо бимолекулярной. Мономолекулярность лимитирующей стадии можно представить актом изомеризации протонизованной формы оксима с переходом азота из четырехвалентного положительного трехвалентный незаряженный, а углерода из четырехвалентного трехвалентный положительный:



Так как при мономолекулярном механизме активированный комплекс (M_1^*) не отличается по составу и заряду от протонизованной молекулы RNOH_2^+ можно принять, что коэффициенты активностей $f_{\text{RNOH}_2^+}$ и $f_{M_1^*}$ равны. В таком случае для $k_{\text{эфф}}$ будет справедливо уравнение:

$$k_{\text{эфф}} = \frac{k_{\text{ист}}}{1 + \frac{K_B}{h_0} + \frac{a_{\text{HA}}}{K'_C h_0}} \frac{f_{\text{BH}^+}}{f_{M_1^*}} = \frac{k_{\text{ист}}}{1 + \frac{K_B}{h_0} + \frac{a_{\text{HA}}}{K'_C h_0}}. \quad (4)$$

Если концентрациями неионизованной и протонизованной форм можно пренебречь по сравнению с концентрацией соли $\left| 1 + \frac{K_B}{h_0} \ll \frac{a_{\text{HA}}}{K'_c h_0} \right|$, при мономолекулярности лимитирующей стадии эффективная константа скорости, активность кислоты и кислотность среды связаны соотношением:

$$k_{\text{эфф}} = \frac{k_{\text{ист}} K'_c h_0}{a_{\text{HA}}}.$$

Если лимитирующая стадия гидролиза представляет собой взаимодействие протонизованной молекулы RNHO_2^+ с молекулой воды (бимолекулярный механизм), то

$$k_{\text{эфф}} = \frac{k_{\text{ист}}}{1 + \frac{K_B}{h_0} + \frac{a_{\text{HA}}}{K'_c h_0}} \frac{a_{\text{H}_2\text{O}} f_{\text{BH}^+}}{f_{\text{M}_2^*}}.$$

В таком случае активированный комплекс включает ион RNOH^+ и молекулу воды. Коэффициенты активностей протонизованной частицы f_{BH^+} и активированного комплекса, состоящего из протонизованной частицы и молекулы воды $f_{\text{M}_2^*}$, вероятно, отличны. Однако следует ожидать, что при изменении кислотности среды отношение $f_{\text{BH}^+}/f_{\text{M}_2^*}$ будет мало изменяться, так как комплекс и протонизованная форма одинаково заряжены. Если $f_{\text{BH}^+}/f_{\text{M}_2^*} = \alpha$, то

$$\frac{k_{\text{эфф}}}{a_{\text{H}_2\text{O}}} = \frac{k_{\text{ист}}}{1 + \frac{K_B}{h_0} + \frac{a_{\text{HA}}}{K'_c h_0}} \alpha.$$

Если справедлив бимолекулярный механизм, то при условии $\left| 1 + \frac{K_B}{h_0} \ll \frac{a_{\text{HA}}}{K'_c h_0} \right|$:

$$\frac{k_{\text{эфф}}}{a_{\text{H}_2\text{O}}} = \frac{k_{\text{ист}} K'_c h_0}{a_{\text{HA}}} \alpha.$$

Полученные в настоящей работе данные по гидролизу циклогексанона оксима в присутствии серной и соляной кислот количественно укладываются в уравнение (5), где предполагается мономолекулярность лимитирующей стадии. Эти же данные позволяют сделать вывод о том, что при гидролизе оксимов реакционноспособной является ионизованная форма. Если ионизованная форма связывается в соль, уменьшается концентрация протонизованных частиц, и в итоге уменьшается эффективная константа скорости.

Согласно уравнению (4), максимальное значение $k_{\text{эфф}}$ будет наблюдаться при такой кислотности среды, где

$$\frac{K_B}{h_0^2} - \frac{1}{K'_c} \frac{1}{h_0} \frac{da_{\text{HA}}}{dh_0} + \frac{a_{\text{HA}}}{K'_c h_0^2} = 0.$$

Для гидролиза циклогексанона оксима, где максимальная скорость ($k_{\text{эфф. макс}}$) наблюдается в очень разбавленных растворах HCl и H_2SO_4 уравнение (7) упрощается. Так как для разбавленных растворов соляной кислоты $a_{\text{HCl}} = h_0^2$, то условие максимума может быть представлено уравнениями:

$$K_B K'_c = h_0^2_{\text{макс}}; \quad (8)$$

$$k_{\text{эфф. макс}} = \frac{k_{\text{ист}}}{1 + \frac{2h_0_{\text{макс}}}{K'_c}}, \quad (9)$$

h_0 макс — кислотность среды, которой соответствует максимальное значение константы скорости. Таким образом для расчета $k_{\text{ист}}$, K'_c и K_B решаются три уравнения (5), (8), (9). Для 25° значение $k_{\text{ист}}$, K'_c было определено по уравнению (5) из констант скоростей, непосредственно определенных при этой температуре. Для вычисления $k_{\text{ист}}$, K'_c и K_B при 15° и 8° была проведена экстраполяция величин $k_{\text{эфф}}$ к этим температурам. Значения a_{HCl} были взяты из книги [15], а функции кислотности приняты теми же, как и для 25°. Как видно из табл. 4, для 15° и 8° $k_{\text{эфф}} \frac{a_{\text{HA}}}{h_0}$ постоянно для кислотностей, больших h_0 макс.

Чтобы вычислить $k_{\text{ист}}$, K'_c и K_B , следует точно определить значение h_0 макс. К сожалению, при 8 и 15° максимум размыт, вследствие чего

Таблица 6

Определение значений $k_{\text{ист}}$, K'_c для 8 и 15°

$t, ^\circ\text{C}$	Моляльность HCl	$\lg k_{\text{эфф}}, \text{мин}^{-1}$	$\lg a_{\text{HCl}}$	H_0	$\lg k_{\text{эфф}} \frac{a_{\text{HA}}}{h_0}$	$\lg k_{\text{ист}}, K'_c$ среднее
15	$9,3 \cdot 10^{-2}$	-1,35	-2,25	1,05	-2,55	-2,54
15	0,245	-1,78	-1,45	0,68	-2,55	
15	0,927	-2,33	-0,24	0,02	-2,55	
15	1,940	-2,66	0,61	-0,47	-2,52	-2,85
8	$9,3 \cdot 10^{-2}$	-1,64	-2,25	1,05	-2,84	
8	0,245	-2,09	-1,46	0,68	-2,87	
8	0,927	-2,64	-0,23	0,02	-2,85	
8	1,940	-2,98	-0,62	-0,47	-2,86	

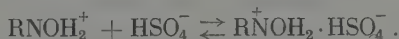
определяется с большой погрешностью. Неточное определение h_0 макс приводит к большим погрешностям при вычислении константы ионизации K_B .

Максимальное значение эффективной константы скорости $k_{\text{эфф. макс}}$ наблюдается при $h_0 = 5,5 \cdot 10^{-3}$ для 25°, при $h_0 = 3,7 \cdot 10^{-3}$ для 15° $h_0 = 2,8 \cdot 10^{-3}$ при 8°.

В табл. 7 приведены значения констант для трех температур.

Истинная энергия активации процесса $E_{\text{ист}} = 18 \pm 1$ ккал/моль, предэкспонент $A = 1,4 \cdot 10^{11}$ сек⁻¹. Теплоты протонизации и солеобразования в данном случае определяются с большой погрешностью, однако видно, что теплота солеобразования мала, протонизация экзотермична с теплотой порядка 11—13 ккал/моль.

В среде серной кислоты соль оксима может образовываться при взаимодействии иона RNOH_2^+ с анионом HSO_4^- :



HSO_4^{2-} является слабой кислотой, и соль типа $(\text{RNOH}_2^+)_2 \cdot \text{SO}_4^{2-}$, по-видимому, должна быть менее устойчивой, чем соль $\text{RNOH}_2 \cdot \text{HSO}_4^-$. Чтобы выразить концентрацию соли $\text{RNOH}_2 \cdot \text{HSO}_4^-$ через термодинамическую активность свободной кислоты $a_{\text{H}_2\text{SO}_4}$ и кислотность среды h_0 , следует учесть, что в качестве стандартного состояния для функции кислотности выбран бесконечно разбавленный раствор, где справедливо соотношение:

$$a_{\text{H}_2\text{SO}_4} = 4a_{\text{H}^+}^2 a_{\text{SO}_4^{2-}} = 4(c_{\text{H}_3\text{O}^+})^3; \quad (c_{\text{H}_3\text{O}^+} = 2c_{\text{SO}_4^{2-}}). \quad (10)$$

Константа равновесия диссоциации: $\text{HSO}_4^- \rightleftharpoons \text{H}^+ + \text{SO}_4^{2-}$ для 25°

$$\frac{a_{\text{H}^+} \cdot a_{\text{SO}_4^{2-}}}{a_{\text{HSO}_4^-}} = K_{\text{HSO}_4^-} = 1,2 \cdot 10^{-2} \text{ [15]}.$$

После подстановки значения $a_{\text{SO}_4^{2-}}$ в (10) получаем уравнение, связывающее термодинамические активности серной кислоты и аниона HSO_4^- :

$$a_{\text{H}_2\text{SO}_4} = 4K_{\text{HSO}_4^-} a_{\text{H}^+} a_{\text{HSO}_4^-} = 4K_{\text{HSO}_4^-} h_0 a_{\text{HSO}_4^-} \frac{f_{\text{BH}^+}}{f_{\text{B}}}.$$

В данном случае константа солеобразования будет равна:

$$K_c'' = K_c \frac{f_{\text{соли}}}{f_{\text{RNOH}}} 4K_{\text{HSO}_4^-}.$$

В табл. 5 сопоставлены $k_{\text{эфф}}$ для 25° с активностями и функцией кислотности среды для интервала концентраций серной кислоты от 2,5 до 79,57%. Как видно из табл. 5, в этом интервале удовлетворительно соблюдается соотношение (2), а величина:

$$K_c'' = K_c \frac{f_{\text{соли}}}{f_{\text{RNOH}}} 4K_{\text{HSO}_4^-} = 4K_{\text{HSO}_4^-} K_c = 4,5 \cdot 10^{-5}.$$

Итак, при гидролизе циклогексаноноксима в серной кислоте величины $k_{\text{ист}} K_c' = 0,94 \cdot 10^{-3}$. Для расчета $k_{\text{ист}}$ мы приняли, что в $1,36 \cdot 10^{-2}\%$ H_2SO_4 ($h_0 = 2,2 \cdot 10^{-3}$), где наблюдается максимальное ($k_{\text{эфф}} = 0,31$ мин⁻¹) значение скорости, соль образуется только за счет ассоциации RNO^+ и HSO_4^- . Так как для сильно разбавленных растворов серной кислоты $a_{\text{H}_2\text{SO}_4} = 4h_0^3$, то условие максимума (7) для 25° можно записать уравнение

$$k_{\text{эфф. макс}} = \frac{k_{\text{ист}}}{1 + \frac{12h_0^2 \text{ макс}}{K_c'}} = \frac{k_{\text{ист}}}{1 + \frac{12h_0^2 \text{ макс}}{4,5 \cdot 10^{-5}}}.$$

Для 25° константы гидролиза циклогексаноноксима в среде серной кислоты следующие: $k_{\text{ист}} = 0,52$ мин.⁻¹, $K_c' = 1,8 \cdot 10^{-2}$ и $K_B = 1 \cdot 10^{-2}$. Величины $k_{\text{ист}}$ и K_B , как и следовало ожидать, для соляной и серной кислот совпадают. Величина K_c' в ~ 10 раз меньше, чем в случае соляной кислоты. Судя по величинам констант солеобразования соли $\text{C}_6\text{H}_{10}\text{NOH}_2^+ \cdot \text{SO}_4^{2-}$ и $\text{C}_6\text{H}_{10}\text{NOH}_2^+ \cdot \text{HSO}_4^-$ при концентрациях до 10^{-2} моль/л в воде практически полностью диссоциированы.

Для подтверждения гипотезы о солеобразовании были проведены опыты по гидролизу оксима циклогексанола в растворах нейтральных солей (NaCl и LiCl) в соляной кислоте [7].

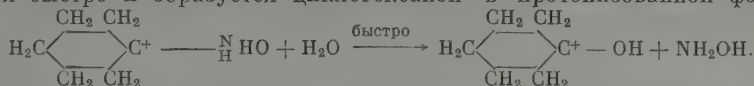
Добавки солей увеличивают активность аниона кислоты и, следовательно, степень солеобразования. В растворах солей также имеет место

соотношение: $k_{\text{эфф}} \frac{a_{\text{HA}}}{h_0} = \text{const}$, что указывает на справедливость гипотезы о солеобразовании. Эффективная энергия активации такая же, как и в растворах кислот без солей. Так, в растворе 1 N HCl и 3 N NaCl $E_{\text{эфф}} = 17,4$ ккал/моль. $K_1 = 6,12 \cdot 10^{-3}$ мин.⁻¹ при 25° ; $2,38 \cdot 10^{-2}$ мин.⁻¹ при 40° и $5,99 \cdot 10^{-2}$ мин.⁻¹ при 50° .

Таким образом, из приведенных результатов можно сделать вывод, что в растворах кислот оксимы могут находиться в виде непротонизованных, протонизованных частиц, и в виде недиссоциированных солей (ионных пар). Без учета солеобразования невозможно количественно объяснить кинетические данные по превращениям оксимов в кислых средах.

Гидролиз оксима циклогексанола представляет собой истинную мономолекулярную реакцию; лимитирующей стадией является процесс изомеризации протонизованной формы оксима. По-видимому, изомеризация в лимитирующем акте сопровождается переходом положительного заряда

азота на углерод [реакция (I)]. После изомеризации вода присоединяется быстро и образуется циклогексанон в протонизованной форме:



Если это так, то при механизме обратной реакции синтеза циклогексаноноксида из циклогексанона и гидроксиламина следует принять быстрое взаимодействие протонизованной формы циклогексанона с неионизованной формой гидроксиламина, где образуются ион с зарядом на атоме углерода и молекула воды.

Выводы

1. Спектрофотометрическим методом изучена кинетика гидролиза циклогексаноноксида в соляной кислоте (от $5 \cdot 10^{-4}$ до $5,43 \text{ M}$) и в серной кислоте (от $1,4 \cdot 10^{-5}$ до $39,7 \text{ M}$).
2. Полученные экспериментальные данные количественно объясняются, если принять, что протонизованные частицы оксима образуют с анионами кислоты недиссоциированную соль (ионную пару) типа $\text{RN}^+\text{OH}_2 \times \text{A}^-$. Вследствие солеобразования уменьшается концентрация реакционноспособных протонизованных частиц.

Академия наук СССР

Поступила

Институт химической физики

26. II. 1959

ЛИТЕРАТУРА

- A. Benrath, Z. anorg. Chem., **151** (1,2), 53, 1926.
 H. V. Euler, A. Olander, Z. phys. Chem., **131**, 107, 1928.
 T. W. Taylor, J. Chem. Soc., 2741, 1930.
 V. K. Kriebel, K. A. Holst, J. Amer. Chem. Soc., **60**, 2976, 1938.
 B. S. Rabinovitch, C. A. Winkler, Canad. J. Res., **20**, 73, 1942.
 М. И. Винник, Н. Г. Зарахани, И. М. Медведская, Н. М. Чирков., Докл. АН СССР, **126**, № 6, 1300, 1959.
 J. T. Edward, S. C. R. Meacock, J. Chem. Soc., 2000, 2009, 1957.
 D. Rosenthal, T. J. Taylor, J. Amer. Chem. Soc., **79**, 2684, 1957.
 F. A. Long, M. A. Paul, Chem. Revs., **57**, 935, 1957.
 L. Zucker, L. P. Hammett, J. Amer. Chem. Soc., **61**, 2791, 1939.
 М. И. Винник, Р. Н. Круглов, Н. М. Чирков, Ж. физ. химии, **30**, 827, 1956.
 Э. З. Утянская, Г. У. Степанянц, М. И. Винник, Н. М. Чирков, Докл. АН СССР, **124**, № 5, 1095, 1959.
 W. Hentzschel, J. Wisniewski, Liebigs Ann. Chem., **275**, 312.
 Г. Харнед, Б. Оуэн. Физическая химия растворов электролитов, ИИЛ, М., 1952.
 C. A. Bell, J. Phys. Chem., **50**, 260, 1946.

KINETICS AND MECHANISM OF REACTIONS IN CONCENTRATED ACID MEDIA

III. KINETICS OF HYDROLYSIS OF CYCLOHEXANONEOXIME IN HYDROCHLORIC AND SULFURIC ACID MEDIA

M. I. Vinnik and N. G. Zarakhani (Moscow)

Summary

The kinetics of hydrolysis of cyclohexanoneoxime in hydrochloric acid (from 10^{-4} M to 5.43 M) and in sulfuric acid (from $1.4 \cdot 10^{-5} \text{ M}$ to 39.7 M) have been determined spectrophotometrically. It has been shown that the apparent hydrolysis rate constant as a function of the acidity of the medium possesses a maximum. At the acid concentration where a fall in K_{ap} is observed with increase in acidity, in the case of both hydrochloric and sulfuric acids the relation: $K_{\text{ap}} \frac{a_{\text{HA}}}{h_0}$ holds. The experimental data may be quantitatively explained if one assumes that protonized oxime particles form a non-dissociated salt (ionic pair) of the type $\text{RNOH}_2 \cdot \text{A}^-$ with the anions of the acid. Owing to salt formation there is a fall in concentration of reactive protonized particles.

ЭЛЕКТРОХИМИЧЕСКОЕ ПОВЕДЕНИЕ ГЕРМАНИЯ

И. В. Боровков

Различные способы травления германия химическим путем, преимущественно принятые в технологии изготовления кристаллических диодов и триодов, не отвечают требованиям получения надежных характеристик для германиевых приборов.

Электрохимия германия в последние годы представлена рядом исследований. Изучению процесса анодного растворения германия в водных растворах посвящены работы [1—6].

Кинетика катодных процессов на германиевом электроде исследовалась авторами [3, 6—9]. Следует упомянуть о работе [10], в которой изучались электродные потенциалы германия в зависимости от концентрации растворенного кислорода и освещения. При помощи метода кривых заряджения определялась толщина окисного слоя на германии [11].

Несмотря на наличие вышеуказанных исследований граница раздела фаз германий — электролит изучена еще далеко недостаточно.

Целью нашего исследования являлось систематическое изучение электрохимического поведения германия без внешней поляризации, в катодной и анодной поляризациях в кислом, нейтральном и щелочном растворах (HCl , KCl , KOH) 1 N концентрации.

Экспериментальная часть *

Поляризационные измерения проводились в стеклянном приборе, аналогичном описанному ранее [12].

Прибор включался в электрическую схему с внешним сопротивлением $2,2 \cdot 10^7 \Omega$. Большое внешнее сопротивление обеспечивало стабильность силы поляризующего тока, так как внутреннее сопротивление ячейки составляло незначительные доли процента от внешнего.

Для исследования применялся германий n -типа с удельным сопротивлением $43 \Omega / \text{см}$. Стационарные потенциалы и потенциалы поляризованных электродов измерялись методом компенсации при помощи вспомогательного насыщенного каломельного электрода.

Стационарный потенциал и катодная поляризация изучались в атмосфере водорода, полученного электролизом и очищенного на палладированном асбесте.

Анодная поляризация велась в атмосфере азота, получаемого химическим путем и очищенного от кислорода щелочным раствором пирогаллола.

Для изучения катодной и анодной поляризаций применялся метод поляризационных кривых. Во всех опытах сохранялся следующий порядок измерений: вначале определялась величина стационарного потенциала в токе водорода до момента, когда он приобретал стабильное значение, что указывало на отсутствие кислорода воздуха. Установление стационарного значения потенциала требовало несколько часов. Затем включался

* В экспериментах по изучению германия принимали участие Н. З. Андреев, Т. П. Василевская и Е. Г. Кузьмина.

катодной поляризации. Воспроизводимость результатов катодной поляризации была недостаточной, а поэтому приходилось ставить десятки опытов вместо обычных трех-четырех. Из серии опытов выбирались совпадающие между собой. Катодные поляризационные кривые снимались в интервале плотностей тока от $0,5 \cdot 10^{-6}$ до $0,4 \cdot 10^{-3}$ А/см².

Кривые анодной поляризации снимались в интервале плотностей тока от $0,5 \cdot 10^{-6}$ А/см² до критических для каждого раствора, когда электрод выходил в пассивное состояние.

Следует обратить внимание на то, что критические значения плотности тока, при которых электрод переходит в пассивное состояние, в указанных выше работах не установлены;

Таблица 1

Электролит	pH	Рассчит.	Измер.
HCl	0	-0,042	-0,042
KCl	7	-0,336	-0,330
KOH	14	-0,630	-0,620

более того, в них указывается примерно на одинаковые возможности анодного растворения германия в различных электролитах, тогда как это не отвечает действительности.

Стационарные потенциалы германия. Представления о протекании сопряженных электрохимических реакций на поверхности однородного металла и применение законов электрохимической термодинамики к саморастворяющимся металлам позволило вывести зависимость величин стационарных потенциалов германия от концентрации ионов водорода, аналогичную уравнению, полученному Я. М. Колотыркиным [13]:

$$\varphi_{ст} = a + b \lg [H^+] = a - b \text{ pH}, \quad (1)$$

константа $a = -0,042$.

Опытные данные и рассчитанные по уравнению (1) удовлетворительно совпадают, что видно из таблицы.

Характер установления стационарного потенциала германия в атмосфере водорода показан на рис. 1.

Стационарные потенциалы германия незначительно сдвигаются в положительную сторону на 0,042 мВ при уменьшении pH на единицу.

Величины стационарных потенциалов не позволяют утверждать, что саморазложение германия в этих электролитах практически не происходит. В противном случае мы имели бы стационарные потенциалы значительно более отрицательные, чем равновесные потенциалы водорода, при которых компенсировалась бы реакция перехода ионов германия в раствор разрядом ионов водорода. Это тем более вероятно, если учесть реальную величину перенапряжения выделения водорода на германии. Таким образом единственной реакцией анодного процесса следует считать реакцию ионизации водорода, которая заменяет анодный процесс растворения германия. Меньший угол наклона прямой зависимости стационарного потенциала от концентрации ионов водорода, чем для водородного электрода, указывает на то, что ионизация водорода протекает с заметным перенапряжением.

Катодная поляризация. Как вытекает из многочисленных опытных данных, на многих электродах наблюдается линейная зависимость между величиной перенапряжения и логарифмом плотности

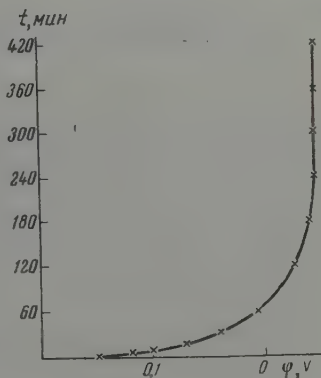


Рис. 1. Установление стационарного потенциала германия в HCl в атмосфере водорода

тока, т. е.

$$\eta = a + b \lg i.$$

В указанных электролитах перенапряжение выделения водорода германии находится в полном согласии с теорией замедленного разряда, так как угол наклона прямого участка кривой равен 0,11—0,12 V.

Участки кривых при малых плотностях тока не подчиняются уравнению Тафеля, что также находится в согласии с ранее известными данными выделения водорода на других катодах, где отмечалось, что перенапряжение увеличивается прямо пропорционально плотности тока, проходящей через электрод.

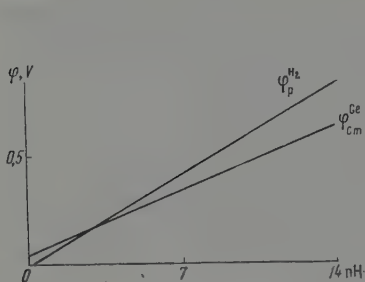


Рис. 2. Стационарные потенциалы германия в зависимости от pH

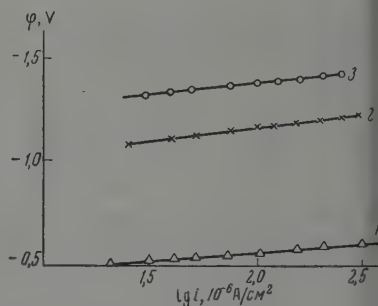


Рис. 3. Катодная поляризация германия в растворах HCl, KCl и KOH соответственно 1, 2, 3— в HCl, KCl и KOH

Учет коэффициента b в уравнении Тафеля, полученного из экспериментальных данных, позволяет рассчитать константу a для германия в соляной кислоте для стандартных условий, которая будет равна 1,0. Таким образом германиевый катод характеризуется довольно высокой электрохимической поляризацией.

Опытные данные показывают, что перенапряжение в кислых растворах растет с увеличением pH. В нейтральном растворе перенапряжение достигает максимального значения и при дальнейшем увеличении pH оно уменьшается.

Перенапряжение при сравнимых плотностях тока ($1 \cdot 10^{-4}$ А/см²) в растворах HCl, KCl, KOH соответственно равно: 0,56; 0,73 и 0,54, что изображено на рис. 4.

Уравнение перенапряжения для кислой области, учитывающее изменение концентрации ионов водорода, можно представить уравнением

$$\eta = a + 0,12 \lg i - 0,03 \lg [H^+],$$

которое хорошо совпадает с опытными данными.

Катодная поляризация восстанавливает гидроксильную или оксидную пленку по схеме:



Анодная поляризация. Скорость растворения германия должна быть связана с величиной потенциала электрода экспоненциальной зависимостью:

$$i_a = K e^{-\alpha \varphi / RT F}.$$

соотношение не соблюдается, если имеет место пассивация электрода. Следнее обстоятельство обнаружено во всех исследованных электродах, но при различной критической плотности тока. В цитированных работах отмечено лишь образование барьера напряжения для *n*-германия. Из кривых рис. 5 следует, что скачкообразное изменение потенциала поляризованного анода связано с переходом германия из активного состояния в пассивное; следнее обусловлено резким торможением анодного процесса ионизации металла вследствие образования адсорбционных пленок.

В наших опытах при плотности тока, близкой к критической, потенциал становится неустойчивым, поэтому потенциал выхода германия в пассивное состояние не было точно установить, так как в этом наблюдались так называемые подергивающие явления» (рис. 5, кривая 5).

Устойчивость пассивного состояния является характерной для германия, она снижает при последующих опытах критическую плотность тока анодного растворения, в то время как катодная поляризация не восстанавливает его до первоначального состояния.

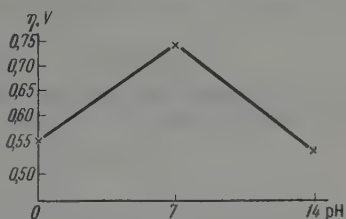


Рис. 4. Перенапряжение выделения водорода на германии в зависимости от pH

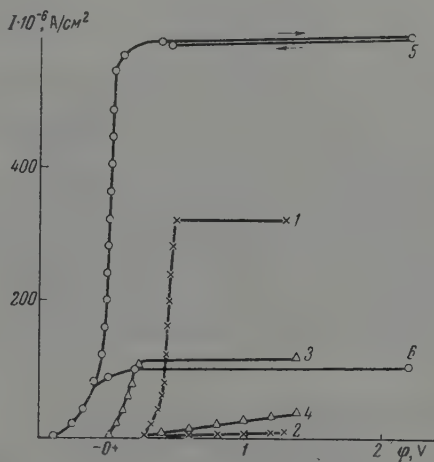


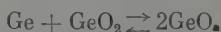
Рис. 5 Анодная поляризация германия соответственно: 1, 2 — HCl; 3 и 4 — KCl; 5 и 6 — KOH

На рис. 5 даны по две кривые для каждого электролита: одна с максимальной критической плотностью тока, отвечающая оптимальному случаю анодного растворения; другая — для случая, когда катодной поляризацией электрод не полностью восстановлен; остаточная пассивность вызывает резкое снижение критических плотностей тока. Существование остаточной пассивности и ее влияние на кинетику растворения германия объясняет электрохимическое поведение железа, изученное Б. Н. Кабаем и С. А. Розенцвейг [14].

Полученный коэффициент наклона прямых $\Delta\phi/\Delta \lg i$ по анодному растворению германия цитированных авторов по сравнению с данными этой работы

отличается, и они соответственно равны 0,12 и 0,15—0,16, что указывает на значительное торможение анодного процесса, вследствие пассивации.

Отмечено, что при высоких плотностях тока на поверхности германового анода образуется слой окислов белого и оранжевого цвета. Согласно гипотезе Йирзы [1] в результате вторичной реакции образуется GeO (оранжевого цвета) по следующей схеме:



По мере увеличения плотности тока увеличивается количество GeO_2 на поверхности электрода и равновесие смещается в сторону образования GeO .

Выводы

1. Стационарный потенциал германия изменяется с изменением концентрации ионов водорода линейно; эту зависимость можно выразить уравнением (1).

2. Кинетика выделения водорода на германии находится в полном согласии с теорией замедленного разряда и выражается уравнением Тафеля в представлениях Фольмера и Фрумкина.

3. Причина потери активности германиевого электрода заключается в неполном катодном восстановлении фазового окисла $\text{Ge}(\text{OH})_2^{2+}$ или GeO .

Поступила
2. III. 1959

ЛИТЕРАТУРА

1. F. J. Jirsa, *Z. anorgan. Chem.*, **268**, 84, 1952.
2. W. Brattain, C. Garret, *Bell. Syst. Tech. J.*, **34**, 129, 1955.
3. D. Turner, *J. Electrochem. Soc.*, **103**, 252, 1956.
4. Е. А. Ефимов, И. Г. Ерусалимчик, *Ж. физ. химии*, **32**, 443, 1958.
5. H. Gerischer, F. Beck, *Z. phys. Chem.*, **13**, 389, 1957.
6. J. B. Flynn, *J. Electrochem. Soc.*, **105**, 715, 1958.
7. Е. А. Ефимов, М. Г. Ерусалимчик, *Ж. физ. химии*, **32**, 1967, 1958.
8. V. R. Eglyi, Mino Green, *Nature*, **182**, 1592, 1958.
9. Mino Green, P. H. Robinson, *J. Electrochem. Soc.*, **106**, 259, 1959.
10. W. W. Harvey, H. C. Gates, *J. Appl. Phys.*, **29**, 1267, 1958.
11. J. Bardeleben, *Z. phys. Chem.*, **17**, 39, 1958.
12. Я. М. Колотыркин, Л. А. Медведева, *Ж. физ. химии*, **27**, 1344, 1953.
13. Я. М. Колотыркин, *Ж. физ. химии*, **25**, 1253, 1951.
14. Я. А. Розенцвейг, Б. Н. Кабанов, *Ж. физ. химии*, **22**, 511, 1214, 1948.

ELECTROCHEMICAL BEHAVIOR OF GERMANIUM

I. V. Borovkov (Leningrad)

Summary

The electrochemical behavior of germanium has been studied without external polarization and on anodic and cathodic polarization in IN acid (HCl), neutral (KCl) and alkaline (KOH) solutions. The stationary potentials of germanium have been found to change linearly with the concentration of ions in the air in accordance with the equation

$$\varphi_{\text{st}} = a + b \lg [\text{H}'] = a - b \text{pH}$$

The kinetics of hydrogen evolution on germanium are in complete agreement with the slow discharge theory. During anodic polarization germanium has a tendency to passivate. The latter is not eliminated by intensive and prolonged cathodic polarization. The residual passivation of germanium sharply lowers the critical anodic current densities in the subsequent runs.

КИНЕТИКА ГИДРИРОВАНИЯ ОЛЕФИНОВ
НА КОБАЛЬТ-АЛЮМОМОЛИБДЕНОВОМ КАТАЛИЗАТОРЕ

И. В. Калечиц и Инъ Юань-генъ

В последнее время, в связи с вовлечением в переработку сернистых нефтей, быстро развивается процесс гидроочистки [1], в результате которого происходит гидрогенолиз сернистых соединений, снижающих качество нефтепродуктов; ароматические или олефиновые углеводороды при этом желательно сохранить. Разница в скоростях гидрирования ароматических углеводородов и гидрогенолиза сернистых соединений достаточно велика, вследствие чего подбор катализаторов и условий процесса для селективной гидроочистки ароматических углеводородов не представляет затруднений [2]. Задача гидроочистки продуктов крекинга еще не решена, и ее решение усложняется отсутствием данных по кинетике гидрирования олефинов и гидрогенолиза тиофена в условиях гидроочистки. Кинетика гидрирования олефинов даже в отсутствие сернистых соединений в условиях, близких к промышленным, и на промышленных катализаторах изучалась [3].

Описана кинетика гидрирования диизобутилена [3] при сравнительно низком давлении (3 *атм*).

В работе [4] приведены кинетические расчеты гидрирования олефинов на катализаторе $WS_2 - NiS$ при повышенном давлении 3,7—13,6 *атм*, они не носили характера специального кинетического исследования; только лишь данные опытов на пилотной установке были обработаны по уравнению для псевдомономолекулярных реакций, чтобы сравнить константы скоростей гидрирования олефинов и диолефинов. Поэтому представлялось интересным изучить кинетику гидрирования олефинов на более распространенном промышленном катализаторе гидроочистки $Co - MoO_3 - Al_2O_3$ с тем, чтобы иметь данные для сравнения с кинетикой гидрогенолиза сернистых соединений.

Экспериментальная часть

Кобальт-алюмомолибденовый катализатор содержал 0,8% Co, 0,5% Mo и 5% Al_2O_3 .

Установка для гидрирования под давлением имела обычную конструкцию и состояла из буферов для хранения водорода, жидкостного насоса, мерников, реактора, отстойника и системы регулировочных вентилей. Реактор выполнен из нержавеющей стали, внутренний диаметр 14,5 мм, внешний—50,5 мм, высота 350 мм. Катализатор помещался в специальные вкладыши из нержавеющей стали. Слой катализатора во вкладыше имел отношение высоты к диаметру (4÷5) : 1, что предотвращало проскок вещества мимо катализатора. Высокие линейные скорости за счет применения вкладышей нивелировали эффект диффузии. Точность регулировки температуры реактора была ± 0,5°, и лишь иногда имели место отклонения до 2°.

Применялись три вида сырья с содержанием 10, 20 и 36% олефинов (I, II, III). Сырье II представляло собой фракцию C_7 , выделенную из синтина перегонкой над металлическим натрием. Фракция содержала, по данным спектрального анализа, 10% нормального гептана, 18% нормальных гептенов и 18% малоразветвленных гептанов и гептенов. Сырье I получено смешением II с чистым гептаном, сырье III — смешением II с концентратом олефинов, выделенном из II хроматографическим методом. В ходе опыта определялся показатель преломления гидрогенизата с точностью 0,00001. Если разница показателей преломления почасовых проб была не выше

0,00003, пробы сливались и анализировались. Остаточное количество олефинов определялось бромид-броматным методом.

Опыты проведены с катализатором крупностью 29—35 меш. Их результаты и данные расчета сведены в табл. 1. Подача сырья и водорода пересчитывалась на чмолей в час. Подача водорода включает измеряемое количество отдуваемого водорода плюс его потребление, высчитанное по превращению олефинов. По составу сырья катализатора рассчитывались парциальные давления компонентов на входе в каталитическую зону и по выходе из нее. Чтобы возможно точнее замерять давление процес-

Таблица

Кинетика гидрирования олефинов над катализатором $\text{CoMoO}_4\text{—Al}_2\text{O}_3$

Давление, атм	Вес катали- затора, г	Подача сырья, моль/час	Подача водо- рода, моль/час	Содержание оле- финов, %		Скорость гид- рирования, моль/час	Средние парциальные давления, атм			Скорость гид- рирования, и кат. мод./ и кат. мод./
				в сырье	в ката- лизате		p_{H_2}	p	p_{H}	
Температура 250° С										
9,87	8,00	0,073	0,0549	19,09	15,69	0,00127	0,700	3,33	5,84	0,00013
22,4	8,00	0,139	0,651	19,09	17,41	0,00234	0,730	3,23	18,47	0,00028
22,4	8,00	0,145	0,713	19,09	16,92	0,00315	0,683	3,12	16,62	0,00038
22,4	8,00	0,168	0,875	20,39	18,67	0,00289	0,705	2,92	18,80	0,00036
22,4	8,00	0,115	0,660	20,39	18,69	0,00196	0,652	2,69	19,08	0,00024
48,2	0,088	0,0424	0,416	20,20	19,98	0,0000933	0,896	3,56	43,7	0,00106
48,2	8,00	0,290	3,589	20,39	16,90	0,01012	0,672	2,93	44,6	0,00126
22,4	8,00	0,250	0,920	36,01	33,32	0,00672	1,67	3,15	17,62	0,00084
22,4	8,00	0,131	0,757	10,20	7,68	0,00300	0,294	3,02	19,10	0,00044
22,4	8,00	0,171	1,015	10,35	8,60	0,00299	0,307	2,94	19,18	0,00037
21,7	8,00	0,0430	1,0319	10,20	8,64	0,00671	0,690	6,64	5,38	0,00008
Температура 375° С										
6,00	0,600	0,141	0,0732	20,20	18,89	0,00185	0,774	3,18	2,04	0,00308
9,87	0,088	0,134	0,165	20,20	19,24	0,00129	0,873	3,56	5,44	0,0146
9,87	0,600	0,506	0,731	20,20	18,70	0,00759	0,787	3,26	5,82	0,0126
9,87	0,600	0,551	0,790	20,20	18,16	0,0112	0,782	3,30	5,80	0,0187
22,4	0,088	0,165	0,918	20,20	18,23	0,00325	0,657	2,76	19,00	0,0369
22,4	0,088	0,162	0,852	20,20	18,11	0,00339	0,687	2,80	18,83	0,0385
48,2	0,088	0,462	5,66	20,20	18,02	0,0101	0,696	2,95	44,6	0,1150
22,4	0,088	0,226	1,22	10,20	9,19	0,00228	0,342	3,17	18,91	0,0259
22,4	0,088	0,256	0,855	36,54	34,41	0,00545	1,84	3,35	17,24	0,0619
37,7	0,088	0,544	0,541	10,20	9,69	0,00278	1,88	17,05	18,80	0,0316

прецизионные манометры дополнительно градуировались на поверочном прессе. Их точность составляла 0,03—0,04 атм. Так как глубина реакции была незначительной, парциальные давления различались также мало, и за эффективную величину парциального давления каждого компонента принималось среднее арифметическое парциальных давлений на входе и выходе. Превращение относилось к единице веса катализатора.

Полученные данные использовались для определения дифференциального кинетического уравнения. Обычно дифференциальные кинетические уравнения выводятся на основе уравнения адсорбции Лэнгмюра, но последнее, как известно, предполагает однородность поверхности адсорбента и отсутствие сил взаимодействия адсорбированных молекул, что мало вероятно применительно к катализаторам [5]. М.И. Темкин и В.Л. Пыжов [6] вывели степенное уравнение для реакции синтеза аммиака. Степенные уравнения с дробными показателями были предложены для многих реакций, среди которых можно указать на ряд близких к рассматриваемой нами: гидрирование азота на железных катализаторах [7], гидрогенолиз этана [8] и циклопропана [9], синтез метанола [10], гидрирование бутена [11]. Применение степенных уравнений удобно для расчетов, так как дает одно выражение, в то время как при выводе уравнений на основе уравнения адсорбции Лэнгмюра нужно выбрать все возможные варианты зависимости скорости от парциальных давлений компонентов в разных степенях и определить наиболее подходящий, т. е. дающий наименьшие отклонения.

Нине приводится пример расчета уравнения по данным табл. 1 для 250°.

Если обозначить парциальные давления олефинов, парафинов и водорода соответственно p_{H_2} , p_{C_3} и p_{H} , то дифференциальная скорость гидрирования олефинов выразит-

немем:

$$v_u = k p_u^\alpha p_s^\beta p_H^\gamma \quad (1)$$

— константа скорости реакции, а α , β и γ — искомые показатели степени. Логарифмирование (1) дает

$$\lg v_u = \alpha \lg p_u + \beta \lg p_s + \gamma \lg p_H + \delta, \quad (2)$$

$\delta = \lg k$.

Используя экспериментальные величины v_u , p_u , p_s и p_H (табл. 1), вычисляют их логарифмы и по методу наименьших квадратов составляют уравнения:

$$11\delta - 2,000\alpha + 5,706\beta + 13,687\gamma = -37,629; \quad (3)$$

$$-2,000\delta + 0,7821\alpha - 1,007\beta - 2,478\gamma = 7,007; \quad (4)$$

$$+ 5,706\delta - 1,007\alpha + 3,702\beta + 6,925\gamma = 19,721, \quad (5)$$

$$13,687\delta - 2,478\alpha + 6,925\beta + 17,809\gamma = -54,924. \quad (6)$$

Совместное решение уравнений (3) — (6) дает численные значения величины $0,393$, $\beta = -0,312$, $\gamma = 1,024$ и $\delta = -4,4614$. Таким образом, искомое дифференциальное уравнение гидрирования олефинов при 250° имеет вид:

$$v_u = 3,46 \cdot 10^{-5} p_u^{0,39} p_H^{1,02} / p_s^{0,31}. \quad (7)$$

Относительные погрешности величины предэкспоненциального члена уравнения (7) составили 23,4% при 250° и 15,0% при 375° С. Эти погрешности не больше обычных приводимых в литературе [12].

Для определения зависимости скорости реакции от температуры и вычисления энергии активации были проведены опыты при разных температурах и при равном давлении 22,4 атм. Дифференциальная скорость гидрирования вычислялась же, как выше. Данные приведены в табл. 2.

Таблица 2

Влияние температуры на скорость гидрирования олефинов над катализатором $\text{CoMoO}_4\text{—Al}_2\text{O}_3$

	Вес катализатора, г	Подача сырья, моль/час	Подача водорода, моль/час	% олефинов		Парциальные давления, атм			Скорость гидрирования, v_u моль/час/г
				в сырье	в катализате	p_u	p_s	p_H	
5	0,088	1,183	6,23	20,20	17,85	0,682	2,90	18,84	0,316
5	0,088	0,430	2,18	20,20	17,85	0,702	3,00	18,72	0,115
5	0,088	0,395	2,23	20,20	17,34	0,634	2,75	19,05	0,128
4	0,088	0,165	0,918	20,20	18,23	0,657	2,76	19,00	0,0369
5	0,088	0,162	0,852	20,20	18,11	0,687	2,80	18,83	0,0385
0	0,088	0,104	0,561	20,20	19,36	0,693	2,82	18,91	0,00993
0	0,600	0,430	2,21	20,20	18,83	0,713	2,94	18,76	0,00982
0	0,600	0,0403	0,183	20,20	16,09	0,733	3,33	18,36	0,00277
0	8,00	0,648	3,37	19,09	16,37	0,642	2,98	18,80	0,00220
0	8,00	0,139	0,651	19,09	17,41	0,730	3,23	18,47	0,000292
0	8,00	0,145	0,713	19,09	16,92	0,683	3,12	18,62	0,000394
0	8,00	0,168	1,043	20,39	18,67	0,705	2,92	18,82	0,000361
0	8,00	0,115	0,775	20,39	18,69	0,652	2,69	19,08	0,000244

Известно, что при каталитических реакциях на пористых катализаторах кинетические закономерности могут в той или иной степени искажаться затрудненностью диффузии вещества в порах. Со времени первых работ по диффузионной кинетике Я. Б. Завидовича [13] и Е. В. Тиле [14] разработано много методов оценки роли диффузии, например, обобщающие работы [15—17]).

Для оценки роли диффузии использовались простые расчетными методами, описанными в статье Вейца и Пратера [17].

Формула для вычисления модуля диффузии

$$\Phi = \frac{r^3}{D^* c V} \frac{dn}{dt} \quad (8)$$

— радиус частиц катализатора; D^* — эффективный коэффициент диффузии реагирующего вещества; c — концентрация; V — объем катализатора; dn/dt — скорость

реакции; в нашем случае может быть записана:

$$\varphi = \frac{p^2 RT}{D^* p} v d,$$

где p — универсальная газовая константа; T — абсолютная температура; d — толщина катализатора, p — парциальное давление.

Подставляя в (9) выражение эффективного коэффициента диффузии олефинов

$$D_u^* = D_H^* \frac{1}{p} \left(\frac{M_H}{M_u} \right)^{1/2} \left(\frac{T}{298} \right)^{3/2},$$

получаем расчетную формулу:

$$\varphi = \frac{p^2 R}{D_H^*} \left(\frac{M_u}{M_H} \right)^{1/2} \left(\frac{298}{T} \right)^{3/2} d v_u 298.$$

Так, например, для случая гидрирования олефинов при 375° (табл. 1) $D_H^* = 0,0062$ см²/сек, $p = 0,0309$ см; $M_u = 98$; $v_u = 0,0369$ моль/час·г; $T = 648^\circ$ К, $d = 0,75$ г/см². Подставляя эти величины в формулу (11), получаем $\varphi = 0,137$. По графику, приведенному Вейцем и Пратером [17], этой величине соответствует фактор диффузии $\eta = 1,0$, т. е. в данном случае диффузия не влияет на скорость реакции, процесс протекает в кинетической области. В приведенном примере эффективный коэффициент диффузии олефинов вычислялся из предположения обычной диффузии. Носитель катализатора — оксид алюминия — имеет средний радиус пор 40 Å. Используя приближенную формулу Уилера [18], можно рассчитать, что свободный пробег молекул в пределах применимых нами давлений составит от 20 до 160 Å, т. е. наряду с обычной диффузией может иметь место и кнудсеновская диффузия. В этом случае величина φ для рассмотренного примера возрастает до 0,455, но ей также соответствует фактор диффузии $\eta = 1,0$.

В отдельных случаях, для проверки расчетного метода, фактор диффузии η вычислялся по методу треугольника, также описанному в статье Вейда и Пратера [18].

Обсуждение результатов

Обработка данных табл. 1 дает следующие дифференциальные уравнения скорости гидрирования олефинов, не осложненного присутствием тиафена:

$$v_u = 3,46 \cdot 10^{-5} p_u^{0,39} p_H^{1,02} / p_s^{0,31} \quad (250^\circ);$$

$$v_u = 4,0 \cdot 10^{-3} p_u^{0,60} p_H^{1,06} / p_s^{0,49} \quad (375^\circ), \quad (12)$$

Сравнение этих формул показывает, что парциальное давление парафина оказывает влияние на скорость гидрирования. Влияние парциальных давлений компонентов существенно различно при низких и высоких температурах. Влияние температуры на скорость реакции по данным табл. 1 выражено графически на рисунке. Соединение всех точек прямой линией дает некоторый разброс, который устраняется, если допустить излом при 290° (пунктирная линия). Прямолинейная зависимость величины $\lg v$ от величины, обратной температуре позволяет вычислить энергии активации на основе уравнения Аррениуса. Если в уравнении Аррениуса:

$$k = k_0 e^{-E/RT}, \quad (13)$$

подставить k из уравнения $v = kf(p)$, получим

$$v = k_0 f(p) e^{-E/RT}. \quad (14)$$

Так как в наших опытах величина p не менялась, можно принять $k_0 f(p) = v_0$ и получить

$$v = v_0 e^{-E/RT} \quad (15)$$

или

$$\lg v = \lg v_0 - \frac{E}{4,576 \cdot T}. \quad (16)$$

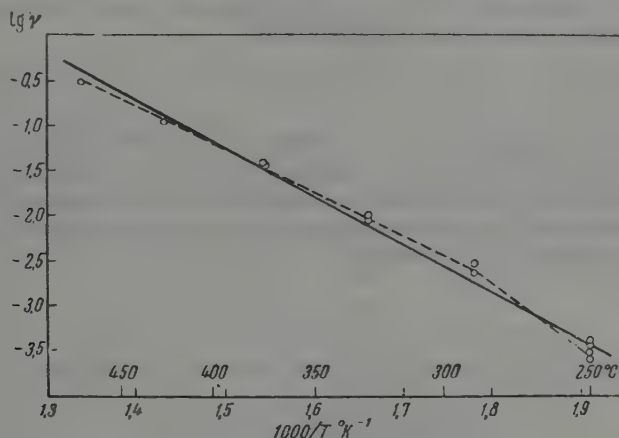
Если не принимать во внимание излом, то уравнение (16) принимает вид (от 250 до 475°C):

$$\lg v_u = 6,833 - \frac{5376}{T}, \quad (17)$$

величина кажущейся энергии активации составляет 24,5 ккал/моль. Для участка после излома (от 290 до 475°C) зависимость скорости от температуры выражается уравнением:

$$\lg v = 6,027 - \frac{4849}{T}, \quad (18)$$

кажущаяся энергия активации 22,2 ккал/моль. Уравнение (18) дает гораздо меньшие отклонения от экспериментальных величин, чем уравнение (7). Наличие излома в графике $\lg v = f(1/T)$ указывает либо на появление диффузионных ограничений, либо на некоторое изменение порядка



Зависимость скорости гидрирования олефинов от температуры

реакции. Первая причина маловероятна, так как для 375° фактор диффузии $\eta = 1,00$, вторая более вероятна и согласуется с изменением показателей степеней в кинетических уравнениях (7) и (12).

В работе [3], на основе изучения кинетики гидрирования диизобутилена на таблетированном ($3,2 \times 3,2$ мм) никелевом катализаторе, было получено кинетическое уравнение из уравнения адсорбции Лэнгмюра. Уэллер [12] пересчитал данные авторов [3] и получил уравнения, в которые не входит p_s .

Интересно отметить, что, пересчитав данные [3] описанным выше методом, мы получили уравнения:

$$v_u = 1,73 \cdot 10^{-2} p_u^{0,47} p_H^{0,60} / p_s^{0,24} \quad (206^\circ); \quad (19)$$

$$v_u = 2,32 \cdot 10^{-2} p_u^{0,48} p_H^{0,70} / p_s^{0,18} \quad (275^\circ); \quad (20)$$

$$v_u = 2,24 \cdot 10^{-2} p_u^{0,50} p_H^{0,77} / p_s^{0,02} \quad (325^\circ). \quad (21)$$

Этот пересчет показывает, что только при 325° парциальное давление продукта реакции не влияет на скорость процесса. Сравнивая уравнения (19), (20) и (21) с уравнениями (7) и (12) можно отметить аналогию, они различаются лишь показателями степени. Однако авторы работы [3] не учитывали влияния диффузии. Расчет ϕ по их данным дал величину 3,92, что соответствует фактору диффузии 0,72. Известно, что диффузия обычно понижает порядок реакции [17], чем и можно объяснить малое влияние p_s в формулах (19) — (21).

Используя метод Квана [8] и вычисленные нами уравнения скоростей реакции, можно сделать некоторые предположения о механизме процесса.

По Квану [8], если из элементарных стадий процесса



где знак звездочка (*) означает хемосорбированное состояние, стадия (2) является контролирующей, то суммарная скорость реакции выражается уравнением:

$$-\frac{dp_A}{dt} = kp_A \theta^{-\alpha} \quad (2)$$

где α и k — константы, а θ — часть поверхности, занятая молекулами

По уравнению адсорбции Фрейндлиха

$$\theta_A = \left(\frac{p_e}{p_s} \right)^{1/n}, \quad (2)$$

где p_s и n — константы, а p_e — эффективное парциальное давление. Так как стадия (23) протекает быстрее (22), p_A и концентрация хемосорбированного А на поверхности катализатора не достигают равновесия. Поэтому константа равновесия стадии (23) выражается формулой, в которой p_A должно быть заменено p_e :

$$k' = \frac{p_B}{p_e p_D}. \quad (2)$$

Исключая из формул (25) — (27) величины θ и p_e , получаем

$$-\frac{dp_A}{dt} = kp_A \left(\frac{p_D}{p_B} \right)^{\alpha/n} (p_s - k')^{\alpha/n} \quad (2)$$

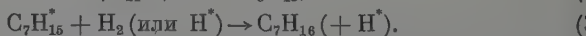
или, объединяя коэффициенты,

$$-\frac{dp_A}{dt} = k'' p_A \left(\frac{p_D}{p_B} \right)^{\alpha/n} \quad (2)$$

Сравнивая формулу (29) с нашими уравнениями (7) и (12), нетрудно метить их аналогии, если А, В, D соответственно обозначают водород, парафин и олефин. Отсюда следует вывод, что контролирующей ступенью гидрирования олефинов является хемосорбция водорода. Это легко понять так как обычно наблюдается, что олефины адсорбируются гораздо легче водорода и препятствуют его адсорбции и хемосорбции.

В нашем случае величина α/n возрастает с 0,35 при 250° до 0,55 при 375°, что указывает на то, что скорость хемосорбции водорода возрастает с температурой быстрее, чем скорость десорбции.

Таким образом, гидрирование олефинов можно представить себе состоящим из следующих элементарных актов:



Две звездочки у C_7H_{14} обозначают дублетную хемосорбцию олефина.

Выводы

1. Изучена кинетика гидрирования олефинов на катализаторе $CoMoO_4 \cdot Al_2O_3$. Показано, что в области температур 250—375° скорость реакции описывается уравнением

$$v_u = kp_H \left(\frac{p_u}{p_s} \right)^n,$$

е n — дробная величина, составляющая 0,35 при 250° и 0,55 при 375°. Энергия активации гидрирования олефинов составляет 22,2 ккал/моль области 290—475°.

2. На основе анализа кинетических закономерностей высказано предположение о механизме реакции гидрирования олефинов, по которому контролирующим этапом является хемосорбция водорода.

Восточно-сибирский филиал АН СССР

Иркутск

Академия наук Китайской

Народной республики

Институт нефти, г. Дальний

Поступила

6. III. 1959

ЛИТЕРАТУРА

1. J. B. McKinley, *Catalysis*, 5, 405, edit. P. H. Emmett, Reinhold, Publ. Co, N. Y., 1957.
2. И. В. Калечиц, Инъ Юань-гень, Тр. Вост. Сиб. фил. АН СССР. Серия хим., вып. 26, 108, 1959.
3. J. L. Tschernitz, J. L. Bornstein, R. B. Beckmann, O. A. Hogen, *Trans. Amer. Inst. Chem. Engrs*, 42, 883, 1946.
4. E. I. Hoffman, E. W. Lewis, E. F. Wadley, *Industr. Engng. Chem.*, 49, 656, 1957.
5. М. И. Темкин, Проблемы кинетики и катализа, 6, 54, 1949.
6. М. И. Темкин, В. И. Пыжов, Ж. физ. химии, 13, 851, 1939.
7. О. Ф. Шеглов, Г. К. Боресков, М. Г. Слинко, Докл. АН СССР, 105, 123, 1955.
8. T. Kwan, *J. Phys. Chem.*, 60, 1033, 1956.
9. J. E. Benson, T. Kwan, *J. Phys. Chem.*, 60, 1601, 1956.
10. В. И. Чередниченко, М. И. Темкин, Ж. физ. химии, 31, 1072, 1957.
11. Г. Д. Любарский, С. К. Ермакова, С. Я. Пшежецкий, Ж. физ. химии, 31, 1492, 1957.
12. S. Weller, *J. Amer. Inst. Chem. Eng.*, 2, 59, 1956.
13. Я. Б. Зельдович, Ж. физ. химии, 13, 163, 1939.
14. E. W. Thiele, *Industr. Engng. Chem.*, 31, 916, 1939.
15. Г. К. Боресков, Проблемы кинетики и катализа, 6, 404, 1949.
16. В. А. Ройтер, Хим. наука и пром-сть, 2, 210, 1957.
17. P. B. Weisz, C. D. Prater, *Advances Catal.* 144, 1954.
18. Э. Уилер. Катализ, Вопросы теории и методы исследования, ИИЛ, М., 1955, стр. 497.

KINETICS OF OLEFIN HYDROGENATION OVER A COBALT ALUMOMOLYBDENATE CATALYST

I. V. Kalechits and In Yuen-gen (Irkutsk)

Summary

The rate of hydrogenation of C_7 fraction of olefins over a $\text{CoMoO}_4\text{-Al}_2\text{O}_3$ catalyst within the temperature limits 250—375° has been shown to be described by the equation

$$r = K \cdot P_H \left(\frac{P_u}{P_s} \right)^n$$

where n is a fractional number (0.35 and 0.55 at 250 and 375°, respectively). According to Kwan's concept this type of equation is in agreement with the mechanism in which the lowest stage of reaction is chemisorption of hydrogen.

ИССЛЕДОВАНИЕ СИСТЕМ *n*-ПАРАФИНОВЫХ УГЛЕВОДОРОДОВ

*Н. А. Нечитайло, А. В. Топчиев, Л. М. Розенберг
и Е. М. Терентьева*

Твердые нефтяные парафины являются очень сложными многокомпонентными системами. Главную часть их составляют нормальные длинноцепочечные алканы от $C_{17}H_{36}$ и выше, в меньшем количестве находятся разветвленные углеводороды и циклические соединения с длинными боковыми цепями [1—5].

Одной из основных трудностей разделения нефтяных углеводородов как и вообще многокомпонентных смесей, является то, что входящие в их состав компоненты образуют разнообразные сложные системы, преимущественно с твердыми растворами. Изучение основных закономерностей поведения смесей индивидуальных углеводородов позволяет, во-первых, отыскивать пути разделения нефтяных углеводородов и, во-вторых, оценивать степень чистоты препаратов как синтезированных, так и выделенных из нефтяных фракций.

Знание диаграмм состояния двойных систем также важно при идентификации соединений, выделенных из узких нефтяных фракций, так как последние весьма часто являются двойными смесями углеводородов.

До настоящего времени, согласно литературным данным, изучалось довольно большое число систем *n*-парафинов, причем, главным образом, системы, состоящие из углеводородов с цепями, содержащими от 7 до 16 атомов углерода [6—10].

Систем парафинов с более длинными цепями к началу нашей работы в 1956 г. было изучено сравнительно немного [11—14], и литературный материал по системам *n*-алканов с длинными цепями не охватывал всю совокупности компонентов, входящих в состав твердых нефтяных парафинов.

Значительная часть литературных данных, к сожалению, несколько обесценивается тем, что исследования диаграмм состояния носили случайный характер. В некоторых случаях отсутствие дифференциальной записи в термическом анализе не позволило авторам обнаружить целый ряд особенностей фазовых переходов при изменении температуры и концентрации.

Нами было изучено термическим и микроструктурным методами в семь диаграмм состояния систем *n*-парафинов: $C_{30}-C_{32}$, $C_{30}-C_{34}$, $C_{30}-C_{36}$, $C_{28}-C_{30}$, $C_{22}-C_{30}$, $C_{20}-C_{30}$, $C_{22}-C_{26}$, $C_{18}-C_{20}$.

Выбор для исследования именно данных систем определялся следующими соображениями: а) перечисленные системы ранее не изучались; б) различие компонентов систем по структуре, соотношению длин цепей и характеру фазовых превращений в твердом состоянии позволяло выяснить влияние этих факторов на тип диаграмм состояния.

Вещества и методы. Специально для данной работы были синтезированы по Кольбе [15] и Вюрцу [16] следующие *n*-парафины: октадекан $C_{18}H_{38}$, эйкозан $C_{20}H_{42}$, докозан $C_{22}H_{46}$, гексакозан $C_{26}H_{54}$, триаконтан $C_{30}H_{62}$, дотриаконтан $C_{32}H_{66}$, тетратриаконтан $C_{34}H_{70}$ и гексатриаконтан $C_{36}H_{74}$. Синтезированные углеводороды очищались многократной перекристаллизацией из ряда растворителей. Конечный продукт перекристаллизовывался из этилового спирта. Кривые нагревания и охлаждения

и записывались при помощи автоматического фоторегистрирующего пирометра Рнакова. Применялась дифференциальная платино-золото-палладиевая термопара. Веска при записи составляла 0,05 г. Для наблюдения микроструктуры препаратов использовался поляризационный микроскоп с нагревательным столиком [17].

Известно, что все *n*-парафины с длинными цепями обладают полиморфизмом [3—21]. Высшие парафины, от C_{28} и выше, находятся при комнатной температуре в моноклинной модификации, которая при нагревании переходит в гексагональную. Углеводороды, содержащие 24 и меньшее число углеродных атомов в цепи, кристаллизуются в обычных условиях в триклинной форме, которая при нагревании также переходит в гексагональную.

Низкотемпературные модификации обозначаются обычно буквой β , высокотемпературные — α . По данным ряда авторов [12, 21] $C_{26}H_{54}$ может быть при комнатной температуре как в моноклинной, так и в триклинной модификациях, в зависимости, видимо, от условий получения. Переход из низкотемпературной β -модификации в α -форму у C_{22} , C_{24} , C_{26} и т. д. является обратимым процессом, т. е. данные углеводороды обладают энантиотропными полиморфными формами.

В литературе есть указания, что абсолютно чистые углеводороды C_{18} , C_{18} и C_{20} обладают полиморфизмом [14, 21], но незначительные примеси вызывают у них появление монотропных полиморфных превращений.

По кривым нагревания были определены температуры фазовых переходов синтезированных нами *n*-парафинов.

Весьма близкое совпадение приведенных выше температур плавления и, в особенности, температур полиморфных превращений с литературными данными (за исключением C_{26}) свидетельствует о достаточно высокой степени чистоты углеводородов.

Были сняты также дебаегранмы синтезированных парафинов при комнатной температуре. Для C_{18} , C_{20} и C_{22} была зафиксирована триклинная структура; для C_{24} , C_{26} , C_{32} , C_{34} и C_{36} — моноклинная. На рентгенограмме C_{26} отмечались интенсивные флексы, характерные для моноклинной формы, и значительно менее четкие линии, относящиеся к триклинной модификации.

Таблица 1

Температуры фазовых переходов синтезированных углеводородов

Парафин	Температура, °C		<i>n</i> -Парафин	Температура, °C	
	плавления	полиморфн. превращ.		плавления	полиморфн. превращ.
C_{18}	28,0	—	C_{30}	66,2	59,0
C_{20}	37,5	—	C_{32}	69,5	64,0
C_{22}	44,0	41,0	C_{34}	73,0	68,9
C_{24}	56,5	48,5	C_{36}	74,0	73,0

Этот факт может быть обусловлен следующими причинами. Возможно, что синтезированный нами углеводород $C_{26}H_{54}$, встречающийся, как указано выше в моноклинной и триклинной структурах, был получен нами в виде смеси обеих форм, преобладающим моноклинной модификации, которая, вероятно, для него более характерна. Не исключено, что миристиновая кислота, использованная нами в электрохимическом методе получения C_{26} , несмотря на многократную очистку, содержала некоторое количество примеси лауриновой кислоты, давшей в конечном продукте углеводород C_{24} , обладающий триклинной структурой.

Экспериментальная часть

Системы: $C_{30} - C_{32}$, $C_{30} - C_{34}$, $C_{30} - C_{36}$. На рис. 1, 2, 3 представлены диаграммы состояния данных систем. Числовые значения температур фазовых переходов, по которым построены диаграммы, были нами ранее опубликованы [22, 23]*. Во всех системах образуются непрерывные твердые растворы. При охлаждении расплава, выделяющиеся кристаллы (формы) образуют серию непрерывных твердых растворов, соответственно обозначаемых как α -твердый раствор. При понижении температуры,

* В настоящей статье таблицы температур фазовых переходов даны только для систем, результаты анализа которых мы ранее не публиковали. Для систем $C_{30} - C_{32}$, $C_{30} - C_{34}$, $C_{30} - C_{36}$ и $C_{20} - C_{30}$ см. список литературы, ссылки [22 и 23].

вследствие полиморфизма компонентов, α -твердый раствор переходит в прерывный твердый раствор, образованный β -модификациями, которые устойчивы при более низких температурах.

При дальнейшем охлаждении β -твердый раствор не изменяется. Таким образом, все три системы с непрерывными твердыми растворами, которые претерпевают в твердом состоянии I тип превращений по Роббину.

Система $C_{30} - C_{20}$. Система является эвтектической (рис. 1). Как мы уже выше указывали, углеводороды C_{20} и C_{30} обладают различными

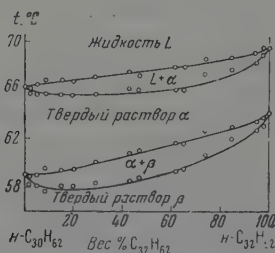


Рис. 1

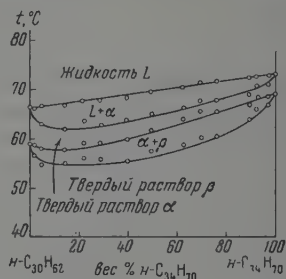


Рис. 2

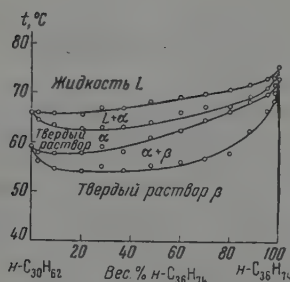


Рис. 3

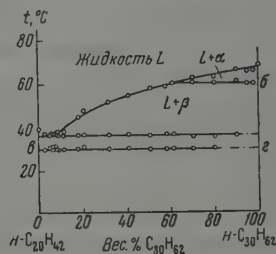


Рис. 4

Рис. 1. Диаграмма состояния системы $n\text{-C}_{30}\text{H}_{62} - n\text{-C}_{32}\text{H}_{64}$

Рис. 2. Диаграмма состояния системы $n\text{-C}_{30}\text{H}_{62} - n\text{-C}_{34}\text{H}_{70}$

Рис. 3. Диаграмма состояния системы $n\text{-C}_{30}\text{H}_{62} - n\text{-C}_{36}\text{H}_{74}$

Рис. 4. Диаграмма состояния системы $n\text{-C}_{20}\text{H}_{42} - n\text{-C}_{30}\text{H}_{62}$; а — б — обратимое полиморфное превращение $n\text{-C}_{30}\text{H}_{62}$; в — г — необратимое превращение $n\text{-C}_{20}\text{H}_{42}$ (наблюдается только при охлаждении)

типами полиморфизма. Во всех смесях, содержащих от 61,0 до 10 триаконтана, на кривых нагревания и охлаждения четко отмечался эффект, соответствующий полиморфному превращению избыточного триаконтана (линия аб). Почти во всей области концентраций (кроме смесей, держащих 95,0 и 98,0% триаконтана) на термограммах наблюдался эффект, соответствующий кристаллизации и плавлению эвтектики.

При температуре $29-30^\circ$, т. е. ниже температуры кристаллизации эвтектики, на термограммах отмечается экзотермический эффект перехода метастабильной α -модификации эйкозана в стабильную β -форму (линия вг).

Состав эвтектики E: 93 вес.% эйкозана и 7,0 вес.% триаконтана.

Система $C_{22} - C_{30}$. Система эвтектического типа (рис. 5). Температуры фазовых переходов по результатам термического анализа даны в бл. 2.

Таблица 2

Результаты термического анализа системы $C_{22}H_{42} - C_{30}H_{62}$
(по кривым нагревания)

Вес. % C_{30}	Температура, °C				
	Переход в твердом состоянии	Полиморфное превращение C_{22}	Плавление эвтектики	Полиморфное превращение C_{30}	Плавление кристаллов избыточного компонента
1,5	—	41,1	44,0		
5,0		40,1	43,5		
8,0		40,0	43,5		
10,0	30,9	40,2	43,2		
12,0	30,4	40,2	43,8		
13,0	31,0	40,0	43,9		
14,0	31,0	40,0	43,6		
15,0	30,2	39,8	43,7		
17,0	30,5	40,3	43,5		45,0
18,0	31,0	39,3	43,5		45,2
20,0	30,6	40,7	43,7		46,5
25,0	30,6	40,5	43,5		47,2
30,0	30,0	40,4	44,0		50,9
40,0	30,0	39,2	44,5		52,3
50,0	30,2		45,0		56,3
53,0	30,2		45,0		56,5
55,0	30,1		44,8	56,7	57,0
60,0	30,2		44,0	56,6	58,0
70,0	30,5		44,6	57,6	60,1
80,0			44,8	57,6	62,2
90,0			44,2	57,6	63,8
95,0			44,2	57,5	64,0
98,0			44,3	57,4	65,4

ния ab , так же как в системе $C_{20} - C_{30}$ соответствует энантиотропному превращению триакоктана. Эвтектика E образована α -модификацией до-

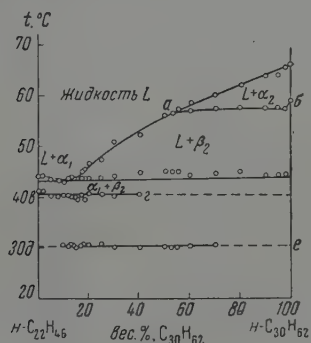


Рис. 5

Рис. 5. Диаграмма состояния системы $n-C_{22}H_{46} - n-C_{30}H_{62}$; $a - b$ — обратимое полиморфное превращение $n-C_{30}H_{62}$; $c - d$ — обратимое полиморфное превращение $n-C_{22}H_{46}$; $e - f$ — фазовый переход в твердом состоянии

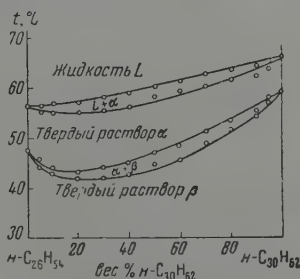


Рис. 6

Рис. 6. Диаграмма состояния системы $n-C_{26}H_{54} - n-C_{30}H_{62}$

озана и β -формой триакоктана. Эвтектическая температура лежит при $3 - 44^\circ$. Состав эвтектики — 86,5 вес.% докозана и 13,5 вес.% триакоктана. При температуре около 40° на кривых нагревания и охлаждения

смесей, содержащих от 40 и выше процентов докозана имеется эффект сопутствующий переходу α -формы докозана в β -модификацию (линия eg на рис. 5). При температуре 30,5° отмечался обратимый эффект, при котором мы не установили.

Система $C_{26} - C_{30}$. Система с непрерывными рядами твердых растворов (рис. 6 и табл. 3).

Таблица 3

Результаты термического анализа системы $C_{26}H_{54} - C_{30}H_{62}$
(по кривым охлаждения)

Вес. % C_{30}	Температура кристаллизации, °C		Температура превращения, °C	
	начало	конец	начало	конец
5,0	56,2	55,0	45,6	44,3
10,0	56,9	55,3	44,1	42,9
20,0	57,1	55,1	43,2	42,2
30,0	58,1	55,5	44,1	42,0
40,0	58,9	56,0	45,0	42,5
50,0	60,1	58,0	47,1	44,8
60,0	61,1	59,0	48,2	45,5
70,0	62,5	60,5	51,0	48,8
80,0	63,1	61,4	53,2	51,5
90,0	64,2	62,5	55,2	54,1
95,0	65,0	63,5	57,8	57,0

Вид линий фазового перехода в твердом состоянии допускает существование минимума, лежащего вблизи 10% C_{30} . Однако вопрос о существовании минимума нами не уточнялся.

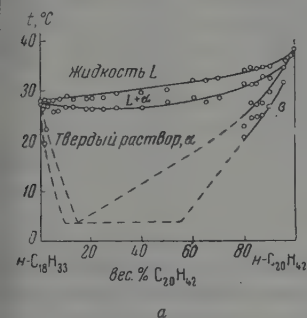
Система $C_{18} - C_{20}$. Диаграмма состояния этой системы приведена на рис. 7. Результаты термического анализа помещены в табл. 4.

Таблица 4

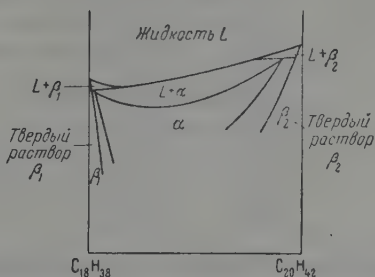
Результаты термического анализа системы $C_{18}H_{38} - C_{20}H_{42}$

Вес. % C_{20}	Температура, °C			
	Превращение в твердой фазе		Плавление	
	начало	конец	начало	конец
1,5	19,8	22,9	26,5	28,1
3,0	4,3		26,8	28,3
5,0	4,3		26,0	28,3
7,0	4,4		26,2	28,0
10,0	3,9		27,0	28,5
13,0	3,0		26,8	28,5
18,0	2,9		26,5	28,4
20,0	2,9		26,3	28,8
25,0	2,5		26,4	28,8
30,0	2,5		26,8	29,5
40,0	2,8		26,9	29,5
50,0	3,4		27,5	30,0
60,0	8,6		28,5	32,0
65,0	8,8		27,7	32,0
70,0			28,5	32,3
80,0	20,4	22,09	31,0	33,7
83,0	22,4	27,8	31,2	34,4
85,0	24,8	26,9	31,2	34,2
87,0	25,0	27,3	32,6	34,4
90,0	26,6	29,4	32,2	34,5
96,0	31,5	34,5		35,3
98,0	—	—		36,4

Так как оба компонента в индивидуальном состоянии не обладают полиморфизмом, то из расплава при охлаждении выделяются устойчивые модификации. Однако в присутствии друг друга C_{18} и C_{20} образуют метастабильные α -модификации, причем эти фазы настолько «стабилизируются», что образованный ими твердый раствор существует в широкой области концентраций и температур. Следует отметить, что существование омежуточной узкой области трехфазного равновесия вблизи ординат чистых компонентов экспериментально очень трудно обнаружить. Фазовые



а



б

Рис. 7. а — диаграмма состояния системы $n-C_{18}H_{38} - n-C_{20}H_{42}$; б — схематическое изображение фазовых равновесий в системе $n-C_{18}H_{38} - n-C_{20}H_{42}$ вблизи ординат чистых компонентов

равновесия в этих областях схематически показаны на рис. 7,б. Свойства чистых компонентов и проведенные термические и рентгеноструктурные исследования показали, что непрерывного ряда твердых растворов в системе не существует. Твердый раствор при понижении температуры, по-видимому, испытывает превращение по эвтектической схеме (штриховая линия). Однако экспериментально прослеживается лишь небольшое превращение в твердом состоянии. Особенно резко оно обрывается вблизи ординаты октадекана.

Система $C_{22} - C_{26}$. Выше мы указывали, что синтезированный нами C_{26} согласно рентгенограмме являлся двухфазной системой с преобладанием компонента моноклинной структуры. Присутствие компонента с триклинной структурой существенно отразилось на результатах термического анализа, вследствие чего все части диаграммы состояния одиночны (рис. 8, табл. 5).

На дифференциальной записи достаточно четко выступали эффекты, связанные с выделением из расплава α -фаз компонентов. Характер линий квидуса и солидуса аналогичен таковым в системах $C_{30} - C_{32}$, $C_{30} - C_{34}$ и т. д. и характерен для непрерывного ряда твердых растворов. Однако экотемпературные эффекты на термограммах были недостаточно отчетливы. Соответствующие им точки на диаграмме имеют значительный разрыв. Очень странно, что на термограммах совершенно отсутствовали эффекты, соответствующие фазовому превращению, связанному с полиморфизмом C_{22} (пунктирные линии от температуры полиморфного превращения).

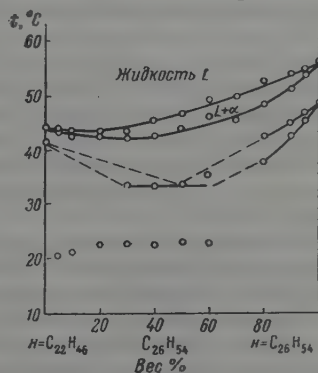


Рис. 8. Диаграмма состояния системы $n-C_{22}H_{46} - n-C_{26}H_{54}$

Таблица 5

Результаты термического анализа системы $C_{22}H_{46}$ — $C_{26}H_{54}$
(по кривым нагревания)

Вес. % C_{26}	Температура, °C			
	Переходы в твердом состоянии		Плавление	
	начало	конец	начало	конец
5,0	20,5		43,0	43,6
10,0	21,0		42,5	43,5
20,0	21,8		42,5	43,5
30,0	22,8		42,7	45,2
40,0	22,8		42,7	45,2
50,0	23,2		44,0	46,8
60,0	23,0		46,2	49,2
70,0	25,4		45,8	49,9
80,0	38,0	42,4	48,9	52,6
90,0	42,5	45,0	51,8	54,2
95	46,0	47,2	54,0	55,0

щения C_{22}). По-видимому, необходимо получение более индивидуальных препаратов C_{26} для полного выяснения диаграммы состояния данной системы.

Обсуждение результатов

Изучение состава различных природных органических веществ, являющихся сложными многокомпонентными системами, вызывает необходимость изыскания рациональных путей определения характера фазовых равновесий в подобных системах. Эти пути лежат, по-видимому, в области имеющегося экспериментального материала определенной области физико-химического анализа органических систем с целью выяснения новых закономерностей поведения компонентов двойных и тройных систем.

Первая попытка обобщения экспериментального материала по физико-химическому анализу двойных систем n -парафиновых углеводородов была сделана в 1948 г. В. М. Кравченко [24], который предполагал, что диаграммы состояния определяется соотношением длин молекул компонентов, образующих данную систему.

Однако вопрос о зависимости между типом диаграмм состояния и свойствами молекул компонентов представляется в настоящее время более сложным.

Отметим, что целый ряд данных по фазовым равновесиям в двойных системах не согласуется с выводами В. М. Кравченко. Еще Н. Н. Ефимов [25] указывал, что широкие обобщения в области изучения типов диаграмм состояния могут быть сделаны лишь на основании представления о кристаллической структуре органических соединений. В связи с этим укажем на ряд теоретических работ А. И. Китайгородского [26], в которых трактуется возможность образования непрерывных твердых растворов органических соединений вообще, и n -парафинов в частности с точки зрения идей органической кристаллохимии.

Полученный нами экспериментальный материал по двойным системам n -парафинов, а также и литературные данные, показывают, что решающим фактором при образовании системы того или иного типа является структура компонентов.

Рассмотрим с этой точки зрения некоторые экспериментальные данные. Компоненты систем C_{30} — C_{32} , C_{30} — C_{34} и C_{30} — C_{36} находятся в обычных условиях в моноклинной модификации (β), которая при нагревании переходит вблизи точки плавления в гексагональную (α). Таким образом все α -фазы компонентов этих систем (устойчивые при высо-

температурах) и все β -фазы (стабильные при низких температурах) обладают соответственно изоморфными структурами. Благодаря этому, выходящие из расплава α -фазы дают непрерывный ряд твердых растворов. При понижении температуры достигается температура энантиотропных превращений компонентов и непрерывный α -твердый раствор переходит в непрерывный ряд твердых растворов на основе β -модификаций.

То же самое имеет место в системе $C_{26} - C_{30}$.

В табл. 6 дается отношение длин цепей в изучавшихся нами системах*.

Системы $C_{30} - C_{32}$, $C_{30} - C_{34}$, $C_{30} - C_{36}$ и $C_{26} - C_{30}$ имеют одинаковые типы диаграмм состояния, в то время как величина коэффициента A , характеризующая отношение длин цепей компонентов (табл. 6), колеблется в значительных пределах.

Таблица 6

Отношение длин цепей компонентов изученных систем

системы	$C_{30}-C_{32}$	$C_{30}-C_{34}$	$C_{26}-C_{30}$	$C_{30}-C_{36}$	$C_{22}-C_{26}$	$C_{26}-C_{30}$	$C_{22}-C_{26}$	$C_{18}-C_{20}$
$= A$	1,07	1,14	1,16	1,21	1,32	1,53	1,16	1,11

По теоретическим соображениям, подробно изложенным в работах И. Китайгородского, фазы разных структур не могут образовать непрерывного ряда твердых растворов. Действительно, в системе $C_{22} - C_{30}$ фазы обоих компонентов, по-видимому, изоморфны [18—20], но гексагональная α -модификация триаоктана устойчива лишь при температурах выше $58-59^\circ \text{C}$. Ниже этой температуры стабильна моноклинная β -форма триаоктана, которая образует эвтектику с гексагональной α -формой докозана.

Система $C_{20} - C_{30}$ также эвтектическая. Эвтектика образована модификацией докозана (гексагональная или, по некоторым данным, ромбическая структура) и β -модификацией триаоктана (моноклинная структура).

Фазовые равновесия в системе $C_{18} - C_{20}$ носят довольно сложный характер. При сравнительно небольшом различии в длинах цепей компонентов ($A = 1,11$) и изоморфности структур индивидуальных компонентов (триклинные формы) непрерывного ряда твердых растворов не наблюдается вследствие особенностей фазового поведения углеводородов (рассматривалось выше в экспериментальной части).

Интересно, что отношение длин цепей компонентов в данной системе лежит в пределах колебаний этого коэффициента (табл. 6) для изученных нами систем с непрерывными твердыми растворами, однако здесь образования непрерывных твердых растворов не наблюдается. Эти факты показывают неправильность рассмотрения типа диаграмм состояния в зависимости только от соотношения длин цепей компонентов.

Особенно интересные данные можно было надеяться получить при изучении системы $C_{22} - C_{26}$, так как при сравнительно небольшом различии длин цепей и изоморфности α -фаз компонентов β -фазы их обладают различной структурой. Однако, как указывалось выше, диаграмма состояния этой системы не ясна.

Для полноты рассмотрения вопроса о зависимости типа диаграмм состояния от структуры компонентов сошлемся на выполненную недавно работу (при участии одного из нас) по рентгеноструктурному и термическому анализу систем $C_{18} - C_{19}$ и $C_{19} - C_{20}$ [28], где было показано отсутствие непрерывных твердых растворов в данных системах, так как

* При вычислении длины молекул мы принимали величину периода вдоль цепи (расстояние между углеродными атомами через один) равной $2,54 \text{ \AA}$. Эта величина принята в органической кристаллохимии.

компоненты систем «четный парафин + нечетный парафин» обладают различными структурами*.

Образования эвтектик в системах n -парафинов, по-видимому, следует ожидать в двух случаях: а) в системах, компоненты которых обладают различной структурой; б) в системах, компоненты которых обладают изоморфной структурой, но имеется значительное различие в длинах цепей. Вероятно, что в этом частном случае можно руководствоваться соображениями, высказанными В. М. Кравченко.

Изучение диаграмм состояния систем с монотропными превращениями (C_{18} — C_{20} и др.), в которых метастабильные фазы «стабилизируются» [29] в значительном интервале температур и концентраций при добавлении компонентов друг к другу, дает основание полагать, что указываемое в литературе [30, 13, 20] разнообразие фазовых переходов в n -алканах средней длины цепи обусловлено именно способностью примесей стабилизировать неустойчивые фазы этих соединений. Поэтому упоминаем Гоффманом [20] «медленные» фазовые переходы, а также некоторые другие превращения в твердом состоянии могут быть объяснены по нашему мнению наличием примесей, стабилизирующих неустойчивые фазы в системах с монотропными превращениями компонентов. Область существования и характер стабилизированных фаз зависят, конечно, от свойств переходного компонента и примеси, что и объясняет противоречивость экспериментальных данных о фазовых переходах в C_{16} , C_{18} и C_{20} .

Исследование диаграмм состояния систем с твердыми растворами приводит также к весьма важному выводу о невозможности применения в ряде случаев термического анализа для определения степени чистоты n -парафинов. Линии ликвидуса в системах C_{30} — C_{32} , C_{30} — C_{34} и других приближаются к прямым. Это значит, что взаимное добавление компонентов вызывает весьма малое изменение точки плавления.

Это обстоятельство показывает, что весьма трудно судить о степени чистоты препаратов n -парафинов по определениям точек плавления и затвердевания, проведенным капиллярным методом при помощи термометра, так как в этом случае почти невозможно определить начало и конец кристаллизации, а полученная средняя температура будет весьма мало отличаться от температуры плавления чистого углеводорода, несмотря на значительное содержание в нем второго компонента. Точка полиморфного превращения испытывает значительно большее понижение температуры кристаллизации при добавлении второго компонента (см. рис. 1 —

Выводы

1. Экспериментально изучены 8 диаграмм состояния систем n -парафинов.
2. В системах n -парафинов образуются твердые растворы или эвтектики. Молекулярные соединения не наблюдаются.
3. Установлено, что решающим фактором при образовании n -парафинами того или иного типа систем является структура компонентов.
4. В двойных системах «четный парафин + четный парафин» и «четный парафин + нечетный парафин» могут образоваться непрерывные твердые растворы, если оба компонента обладают изоморфными структурами. В этом частном случае главную роль, вероятно, играет соотношение длин цепей компонентов. В системах «четный парафин + нечетный парафин» вследствие различия структур не образуется непрерывных твердых растворов.
5. Системы эвтектического типа образуются в двух случаях: а) при взаимодействии компонентов с различной структурой, б) при взаимодействии компонентов со значительным различием в длинах цепей.

* См. также работы [9] и [14].

Очевидно, легче всего разделить те смеси *n*-парафинов, компоненты которых в каком-либо интервале температур и концентраций образуют тектику.

6. В системах с непрерывными твердыми растворами линии ликвидуса приближаются к прямым, поэтому в ряде случаев установить степень чистоты *n*-парафинов термическим методом невозможно.

7. Выказано предположение, что описанное в литературе многообразие фазовых переходов в углеводородах C_{16} , C_{18} и C_{20} обусловлено присутствием примесей, которые «стабилизируют» в той или иной степени метастабильные фазы данных углеводородов.

Академия наук СССР
Институт нефтехимического синтеза
Москва

Поступила
10. III. 1959

ЛИТЕРАТУРА

- R. A. Brown, F. M. Melpolder, T. S. Young, *Petrol. Process*, **7**, 204, 1952.
- M. J. O'Neal, Jr, T. P. Weir, Jr, *Analyt. Chem.*, **23**, 830, 1951.
- W. R. Turner, D. S. Brown, D. V. Harrison, *Ind. Eng. Chem.*, **47**, 6, 1219, 1955.
- R. W. Moulton, W. K. Loor, *Petrol. Refiner*, **24**, 4, 161, 1945.
- А. В. Топчиев, Л. М. Розенберг, Е. М. Терентьева, Н. А. Нечитайло, Сб. «Состав и свойства высокомолекулярной части нефти». Изд-во АН СССР, 1958, стр. 208.
- В. М. Кравченко, *Ж. прикл. химии*, **22**, 491, 1949.
- С. А. Юганова, Кандидатская диссертация. Центр. н.-и. ин-т авиац. топлив и масел, 1950.
- W. F. Seyer, *J. Amer. Chem. Soc.*, **60**, 826, 1938.
- R. Salzgeber, *C. R.*, **240**, 1642, 1955.
- J. Smittenberg, H. Hoog, R. Henkes, *J. Amer. Chem. Soc.*, **60**, 18, 1938.
- W. M. Mazee, *I. Inst. Petrol.*, **35**, 97, 1949.
- S. H. Piper, A. C. Chibnall, S. J. Hopkins, A. Pollard, J. A. B. Smith, E. F. Williams, *Biochem J.*, **25**, 2072, 1931.
- J. C. Smith, *J. Chem. Soc.*, 737, 1932.
- W. M. Mazee, *Analyt. chem. acta*, **17**, 97, 1957.
- H. Kolbe, *Lieb. Ann.*, **69**, 257, 1849.
- Wurtz, *Ann.*, **96**, 364, 1855.
- Г. Б. Равич, В. А. Вольнова, Г. Г. Цуринов, Изв. Сектора физ.-хим. анализа ИОНХ АН СССР, **25**, 41, 1954.
- A. Müller, *Proc. Roy. Soc., A*, **138**, 514, 1932.
- A. Müller, *Proc. Roy. Soc., A*, **127**, 805, 1930.
- J. D. Hoffman, B. F. Decker, *J. Phys. Chem.*, **57**, 520, 1953.
- A. A. Schaerer, C. J. Busso, A. E. Smith, Z. B. Skinner, *J. Amer. Chem. Soc.*, **77**, 2017, 1955.
- Н. А. Нечитайло, Л. М. Розенберг, Е. М. Терентьева и А. В. Топчиев, Докл. АН СССР, **116**, 613, 1957.
- А. В. Топчиев, Н. А. Нечитайло, Л. М. Розенберг и Терентьева, Докл. АН СССР, **117**, 629, 1957.
- В. М. Кравченко, Сб. работ по физ. химии, Изд-во АН СССР, М.—Л., 1947, стр. 329.
- Н. Н. Ефремов, Изв. Сектора физ.-хим. анализа ИОНХ АН СССР, **24**, 63, 1941.
- А. И. Китайгородский, *Ж. Кристаллография*, АН СССР, **2**, 456, 1957.
- А. И. Китайгородский, Докл. АН СССР, **113**, 604, 1957.
- А. И. Китайгородский, Ю. В. Мнюх и Н. А. Нечитайло, *Ж. Кристаллография*, **3**, 298, 1958.
- L. Kofler, *Thermo-mikro-methoden zur Kennzeichnung organischer Stoffe und Stoffgemische*, Innsbruck, 1954.
- A. Müller, W. B. Saville, *J. Chem. Soc.*, **127**, 599, 1925.

INVESTIGATION OF *n*-PARAFFINIC HYDROCARBON SYSTEMS

N. A. Nechitailo, A. V. Topchiev, L. M. Rosenberg
E. M. Terent'eva (Moscow)

Summary

A study has been made of 8 diagrams of state of *n*-paraffinic hydrocarbons by differential-thermal and macrostructural methods. It has been shown that the type of diagram of state of the *n*-paraffin system is mainly determined by the structure of the components. The predominant part in isomorphous structures is probably played by the ratio of the chain lengths of the components.

ВЛИЯНИЕ ДОБАВОК УГЛЕКИСЛЫХ КАЛИЯ И НАТРИЯ НА ВОССТАНОВЛЕНИЕ ОКИСЛОВ И ФЕРРИТОВ НИКЕЛЯ И КОБАЛЬТА ГРАФИТОМ

М. Г. Журавлева, В. Н. Богословский и Г. И. Чуфаров

Углекислые соли калия и натрия оказывают ускоряющее действие на процесс восстановления ряда окислов и соединений [1, 2]. Каталитическое действие небольших добавок открывает возможности интенсификации некоторых процессов металлургии. В настоящей работе исследовано влияние добавок углекислых солей калия и натрия на восстановление закиси никеля и кобальта и ферритов этих металлов.

Закись никеля была получена разложением азотнокислого никеля при температуре 1100°C на воздухе, а закись кобальта термической диссоциацией Co_2O_3 при 950° в атмосфере азота. Для получения феррита эквимольная смесь закиси никеля и кобальта с окисью железа отжигалась при температуре 1200° в течение 30 час. Рентгеноструктурный анализ полученных ферритов показал, что они однофазны и параметры решеток соответствуют известным в литературе.

В качестве восстановителя был взят ачесоновский графит, предварительно прокаленный в вакууме при 1100° .

Углекислые соли калия и натрия добавлялись в количестве 1% от веса окисла или феррита, а графит в количестве, в три раза превышающем необходимое для восстановления до металла. Все составные части подвергались совместному растиранию. Для каждого опыта бралась навеска смеси 0,5 г. Опыты проводились с применением кварцевых пружинных весов, которые позволяли фиксировать убыль веса в процессе восстановления. Газообразные продукты восстановления непрерывно откачивались из реакционного пространства. Двуокись углерода при этом улавливалась в ловушке, охлаждаемой жидким азотом, и количество ее периодически определялось по давлению, создаваемому в известном объеме при размораживании. Убыль веса и количество двуокиси углерода позволяло вычислять скорость процесса в граммах отнятого кислорода в минуту [3].

Восстановление закиси никеля графитом резко замедляется к 50% восстановлению при 700° (рис. 1). В присутствии 1% углекислого калия и натрия скорость увеличивается и восстановление доходит до конца. Ускоряющее действие добавок углекислых калия и натрия приблизительно одинаково.

Закись кобальта восстанавливается при более высокой температуре, чем закись никеля, и кинетические кривые не имеют максимума (рис. 1). Добавка 1% углекислого калия или натрия в несколько раз увеличивает скорость восстановления закиси кобальта при 800° , причем ускоряющее действие углекислого калия большее, чем натрия.

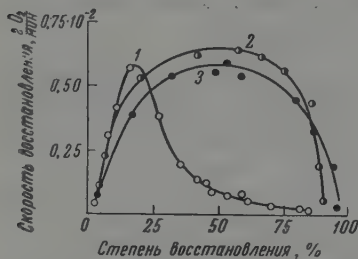


Рис. 1. Восстановление NiO графитом при 700° : 1 — без добавок; 2 — с добавкой Na_2CO_3 ; 3 — добавкой K_2CO_3

Сильное ускоряющее действие оказывают добавки этих солей на восстановление феррита никеля. Они не только увеличивают скорость процесса, но и заметно снижают температуру начала восстановления. В присутствии добавок феррит никеля восстанавливается уже при 800°, а при ° скорость восстановления его с добавкой 1% углекислого калия приблизительно в сто раз больше, чем без добавки (рис. 3). Добавка углекислого натрия ускоряет процесс восстановления в меньшей степени, чем добавка углекислого калия.

Восстановление феррита кобальта сильно ускоряется в присутствии углекислого калия. С добавкой 1% углекислого калия феррит кобальта

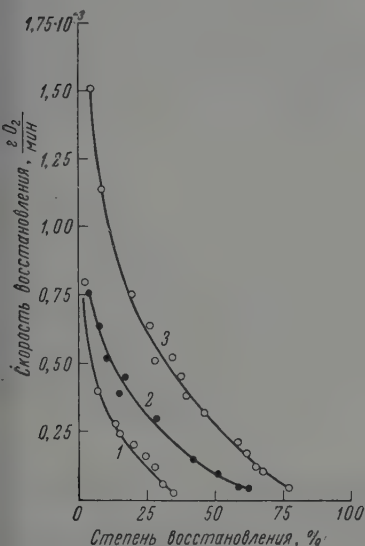


Рис. 2. Восстановление CoO графитом при 800°: 1 — без добавок; 2 — с добавкой Na_2CO_3 ; 3 — с добавкой K_2CO_3 .

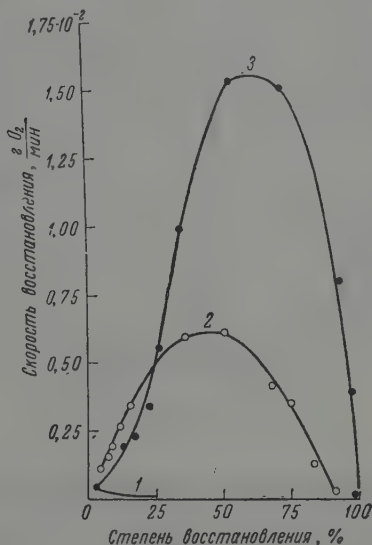


Рис. 3. Восстановление феррита никеля графитом при 950°: 1 — без добавок; 2 — с добавкой Na_2CO_3 ; 3 — с добавкой K_2CO_3 .

восстанавливается уже при 800°, тогда как без добавки восстановление и этой температуре не происходит. При температуре 950° скорость восстановления с добавкой углекислого калия возрастает в десятки раз (рис. 4). Углекислый натрий не оказывает такого сильного ускоряющего действия.

Из приведенного экспериментального материала видно, что наблюдается некоторое различие в кинетике процесса, связанное с природой восстанавливаемого окисла и природой добавок. Влияние последних не сводится только к увеличению скорости восстановления. Иногда они могут вызывать изменение характера процесса. Так, восстановление ферритов афитом в вакууме в присутствии углекислого калия протекает с ускорением, на кинетических кривых отсутствует минимум скорости, который наблюдается при восстановлении без добавок.

Аналогичные исследования восстановления феррита никеля без добавок были проведены ранее [3]. Они показали, что восстановление протекает с образованием металлического никеля, параметр решетки которого степенно увеличивается за счет внедрения железа, образующегося при дальнейшем восстановлении (рис. 5, кривая 1). Между 35 и 50% восстановления параметр решетки твердого раствора никель — железо не ме-

няется. На этом этапе исходный феррит полностью превратился в магнетит, и происходит перестройка решетки последнего в вюстит путем реиционной диффузии железа в окисной фазе. После 50% восстановления, когда по данным фазового анализа весь магнетит превращается в вюстит, происходит дальнейшее увеличение параметра решетки металлической фазы. Железо, выделяющееся при восстановлении вюстита, переходит в металлическую фазу, увеличивая параметр твердого раствора никель-железо.

Рентгеноструктурный анализ продуктов восстановления феррита никеля с добавками показал, что фаза с решеткой типа шпиннели, т. е. феррит, присутствует на всех стадиях восстановления вплоть до 70%.

Фаза с решеткой типа хлористого натрия, отвечающая в нашем случае вюститу или твердому раствору $\text{Fe}(\text{Ni})\text{O}$, впервые обнаруживается в небольших

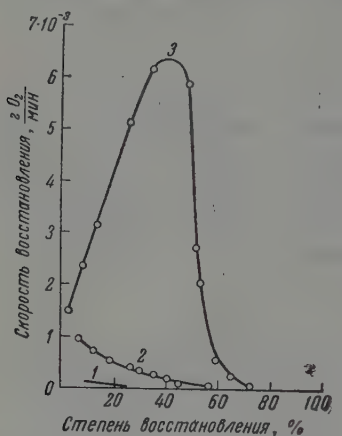


Рис. 4

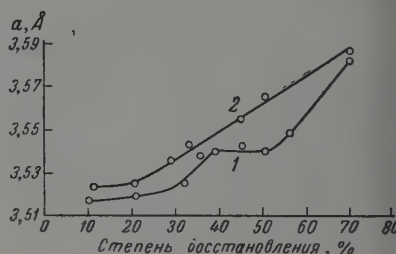


Рис. 5

Рис. 4. Восстановление феррита кобальта графитом при 950° : 1 — без добавок; 2 — с добавкой Na_2CO_3 ; 3 — с добавкой K_2CO_3 .

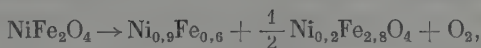
Рис. 5. Изменение параметра решетки металлической фазы в продуктах восстановления феррита никеля графитом: 1 — без добавок; 2 — с добавкой 1% K_2CO_3 .

личествах при 51% восстановления. В образце, восстановленном на 71%, эта фаза является преобладающей. Металлическая фаза, образующаяся при восстановлении феррита никеля с добавками, представляет собой твердый раствор железа в никеле. Изменение параметра решетки этой фазы показано на рис. 5 (кривая 2). Как видно из рисунка, параметр решетки металлической фазы при восстановлении с добавками выше, чем при восстановлении без добавок, что свидетельствует о более высоком содержании в ней железа. До 20% восстановления параметр решетки лишь незначительно превышает таковой для чистого никеля. По данным относительно зависимости параметра решетки твердых растворов никель — железо [4] от содержания в них железа, можно заключить, что на этом этапе содержание железа составляет 5–7%. Начиная от 20% восстановления, параметр решетки металлической фазы непрерывно увеличивается с ростом степени восстановления, что указывает на повышение содержания в ней железа. При 70% восстановления значение параметра решетки достигает величины, близкой к величине, полученной при восстановлении образца без добавок и соответствующей максимальному значению 3,587, наблюдаемому для растворов никель — железо.

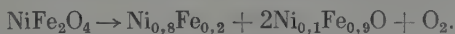
Итак, при восстановлении феррита никеля графитом с добавками наблюдается более высокое содержание железа в металлической фазе. Вюстит появляется на более поздней стадии восстановления (при 51%) тогда как при восстановлении без добавок к этому периоду перестрой

магнетита в вюстит заканчивается полностью. При восстановлении с добавками небольшие количества магнетита обнаружены даже в образце, восстановленном на 71%. Все это свидетельствует о том, что при восстановлении в присутствии добавок солей калия скорость объемной диффузии ионов в твердой фазе отстает от скорости взаимодействия восстановителя с окислом. На первых стадиях восстановления, когда скорость процесса незначительна, ионы железа, образующиеся на поверхности, диффундируют главным образом внутрь решетки феррита. В металлическую фазу переходят преимущественно ионы никеля, а исходная шпинельная фаза обогащается железом, приближаясь по составу к магнетиту. При росте скорости восстановления концентрация ионов железа на поверхности не успевает снижаться за счет объемной диффузии, и основная доля их начинает переходить в металлическую фазу, что сопровождается увеличением параметра решетки последней. Перестройка магнетита в вюстит, происходящая путем объемной диффузии ионов железа, в этом случае задерживается, и вюстит образуется на более поздней стадии восстановления. Кроме того, концентрация ионов металла в объеме шпинельной фазы не успевает выравниваться, что приводит к искажениям решетки, которые не позволяют измерять параметры последней.

Фазовый состав твердых продуктов восстановления и параметр металлической фазы указывают на то, что при восстановлении феррита никеля с добавками число ионов железа, переходящее в металлическую фазу, больше, чем при восстановлении без добавок при одном и том же проценте восстановления. Так, при 50% восстановления с добавкой 1% углекислого калия металлическая фаза состоит из Ni_xFe_y , где $x/y = 3/2$, а окисная фаза приближается по составу к магнетиту. На основании этого можно записать



т. е. в металлическую фазу переходит 30 ат. % железа. При восстановлении без добавок получается вюстит и металлический раствор с отношением $x/y = 4$. Поэтому процесс превращения соответствует уравнению:



В металлическую фазу в этом случае переходит 10 ат. % железа.

При восстановлении окислов графитом восстановителем является газообразная окись углерода, образующаяся путем взаимодействия двуокиси углерода с углеродом. Таким образом, это сложный гетерогенный процесс, включающий в себя не только взаимодействия, происходящие на поверхности окисла и графита, но и кристаллохимические превращения в твердой фазе. Ускоряющее действие добавок может быть связано с одной из указанных стадий или с несколькими из них.

Имеющийся экспериментальный материал позволяет сделать некоторые предположения о возможном механизме этого действия. Восстановление одного и того же окисла или феррита протекает неодинаково в присутствии различных добавок. Одна и та же добавка может по-разному влиять на восстановление различных окислов. Следовательно, действие добавок связано с самой реакцией восстановления [5].

С другой стороны, исследования кристаллохимических превращений в твердой фазе показали, что при восстановлении феррита никеля графитом с добавками наблюдаются некоторые отличия. Ступенчатость процесса, характерная для восстановления феррита никеля и окислов железа графитом в вакууме [3, 6], в данном случае не проявляется. Это можно объяснить тем, что в присутствии добавок ускоряется химическое взаимодействие восстановителя с окислом, т. е. сама реакция восстановления. Вследствие ускорения химического взаимодействия изменяется соотношение

скорости отнятия кислорода и скорости объемной диффузии понов в твердой фазе, роль последней снижается, и процесс протекает многозонально.

Примененные в качестве добавок углекислые соли калия и натрия при температурах проведения опытов диссоциируют, а остающиеся окислы калия и натрия обладают заметной летучестью и адсорбируются из газовой фазы на реакционной поверхности восстанавливаемого окисла. Эти взаимодействия изменяется концентрация электронного и дырочного газа, которые выполняют функции положительных и отрицательных носителей кристалла [7] и участвуют в образовании химической связи адсорбированных молекул окиси углерода, являющихся, по существу, восстановителями, т. е. вступающих во взаимодействие с кислородом твердой фазы. Отсюда следует, что введение указанных добавок приводит к изменению реакционной способности окислов, ферритов, и, следовательно, к изменению скорости процесса.

Имеются прямые экспериментальные данные, показывающие изменение энергии активации процесса восстановления в присутствии добавок углекислого калия. Так, значение кажущейся энергии активации для реакции восстановления ильменита окисью углерода уменьшается с 16 000 кал/моль без добавок, до 13 200 кал/моль с добавкой углекислого калия [8].

Выводы

Добавки углекислых солей калия и натрия ускоряют процесс восстановления закиси никеля и кобальта и их ферритов графитом в вакууме. Особенно сильное каталитическое действие оказывают добавки углекислого калия на восстановление ферритов.

Ускоряющее действие добавок связано с самой реакцией восстановления, изменение скорости которой влияет на течение кристаллохимических превращений, как это показывают результаты рентгеноструктурного анализа твердых фаз и кинетики процесса.

Механизм действия исследованных добавок связан с изменением концентрации электронного и дырочного газов в кристаллах окислов и ферритов, приводящим к повышению их реакционной способности.

Уральский филиал АН СССР

Ин-т металлургии

Поступила

10. III. 1959

ЛИТЕРАТУРА

1. Б. Д. Авербух и Г. И. Чуфаров, Ж. физ. химии, 30, 1739, 1956.
2. С. С. Лисняк, Е. П. Татиевская, Г. И. Чуфаров, Докл. АН СССР, 116, 656, 1957.
3. В. Н. Богословский, М. Г. Журавлева, Г. И. Чуфаров Докл. АН СССР, 123, 87, 1958.
4. A. F. Bradley, A. H. Yuu, A. Taylor, Philos. Mag., 23, 545, 1937.
5. В. И. Архаров, В. Н. Богословский, М. Г. Журавлева, Г. И. Чуфаров, Ж. физ. химии, 29, 272, 1955.
6. Г. И. Чуфаров, Е. П. Татиевская, М. Г. Журавлева, Б. Д. Авербух, С. С. Лисняк и В. Н. Богословский, Бюлл. Центрального института информации черной металлургии, № 18 (350), 10, 1958.
7. Ф. Ф. Волькенштейн, Успехи химии, 27, 1304, 1958.
8. В. К. Антонов, Тр. Ин-та химии Уральского фил. АН СССР, вып. 2, 81, 1958.

EFFECT OF ADDITIONS OF POTASSIUM AND SODIUM CARBONATE ON THE GRAPHITE REDUCTION OF OXIDES AND FERRITES OF NICKEL AND COBALT

M. G. Zhuravleva, V. N. Bogoslovski, G. I. Chufarov (Sverdlovsk)

Summary

The addition of potassium and sodium carbonates accelerates the reduction of nickelous and cobaltous oxides and ferrites by graphite in vacuum. The accelerating effect is connected with the reduction proper, a change in the rate of which affects the course of crystal-chemical transformations, as shown by X-ray analysis of the solid phase and by the kinetics of the process. The mechanism of action of the additions is associated with change in concentration of the electronic and hole gases in the oxide and ferrite crystals leading to increase in their reactivity.

ИМПУЛЬСНЫЙ МЕТОД ОПРЕДЕЛЕНИЯ КОНСТАНТ СКОРОСТЕЙ ЭЛЕМЕНТАРНЫХ ИОННО-МОЛЕКУЛЯРНЫХ ПРОЦЕССОВ*

В. Л. Тальрозе и Е. Л. Франкевич

Реакции ионов с молекулами, впервые обнаруженные в ионизационной камере масс-спектрометра, в последние годы привлекают внимание исследователей, как весьма важная ступень в цепи превращений, происходящих в веществе под действием ионизирующего излучения [1—3].

Уже первые работы, посвященные систематическому изучению ионно-молекулярных процессов, таких, например, как $\text{CH}_4 + \text{CH}_4^+ \rightarrow \text{CH}_5^+ + \text{CH}_3$ [4], показали, что сечения этих процессов велики и часто превосходят газокинетические. Масс-спектрометрические исследования ионно-молекулярных процессов, сопровождающихся переходом протона или атома H, показали, что эти процессы, если они не эндотермичны, идут без энергии активации [4—7].

В последнее время были определены сечения многих таких процессов [6—9]. Суть применявшегося в этих работах метода измерения сечений состоит в следующем. На рис. 1 изображена схематически ионизационная камера масс-спектрометра. Электроны, испускаемые катодом 1, ускоряются и ионизируют газ в камере 2. Давление в камере поддерживается равным $10^{-6} - 10^{-4}$ мм рт. ст. При этом давлении образовавшиеся ионы с заметной вероятностью (0,1—10%) сталкиваются с молекулами, образуя вторичные ионы. Ионы из камеры вытягиваются электрическим полем, создаваемым между выталкивающим электродом 3 и камерой. Определение сечений ионно-молекулярных реакций производится на основании формулы:

$$\sigma = I_2/I_1 (\ln)^{-1},$$

где I_2 и I_1 — измеряемые токи вторичных и первичных, участвующих в реакции ионов; l — длина пути вторичных ионов в ионизационной камере или, что то же самое, полное число столкновений первичного иона за время пребывания в ионизационной камере с молекулами, имеющими концентрацию, равную единице, рассчитанное на единичное сечение столкновений [10]; n — концентрация в камере молекул, участвующих в реакции.

Концентрации молекул в ионизационной камере обычно вычисляются по давлению, измеренному в напускной системе. Напуск газа в камеру производится через калиброванную диафрагму.

Наименее надежно вычисление пути первичного иона в камере l . За путь

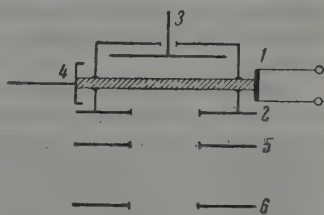


Рис. 1. Схема ионизационной камеры масс-спектрометра: 1 — катод; 2 — камера; 3 — выталкивающий электрод; 4 — коллектор электронов; 5 — фокусирующий электрод; 6 — ускоряющий электрод

* Доложено на VIII Менделеевском съезде по общей и прикладной химии [14], м. также [15].

ионов в камере Стевенсон и Шисслер [8] принимали расстояние по перпендикуляру от электронного пучка до выходной ионной щели ионизационной камеры. Филд, Франклин и Ламп [7, 10] рассчитывали более точно величину l , учитывая криволинейность траектории первичных ионов в ионизационной камере. Помимо ошибки, вносимой неточным знанием расстояния от места образования иона до выходной щели, при этих расчетах должна возникать небольшая систематическая ошибка в определении зависимости σ от напряженности электрического поля в камере, поскольку расстояние от электронного пучка до входной щели зависит от этой напряженности.

Существенная особенность этого метода состоит также в том, что в зоне, где происходит ионно-молекулярная реакция, всегда имеется электрическое поле, сообщаемое ионам кинетическую энергию, на 1—3 порядка превосходящую тепловую энергию, соответствующую температуре стенок камеры и газа в ней (400—500° К). Между тем наиболее интересно знать величину сечения именно при энергиях ионов, характерных для обычных условий протекания реакций под действием ионизирующих излучений и даже в тлеющем разряде, т. е. при температуре в несколько сот градусов Цельсия*. Поэтому в таких измерениях специально изучают зависимость сечения от энергии, полученной ионом в вытягивающем электрическом поле, $\sigma = f(E)$, при названных выше относительно высоких значениях этой энергии находят зависимость сечения от энергии (скорости) ионов и затем производят сравнительно далекую экстраполяцию к тепловым энергиям.

Такая далекая экстраполяция, очевидно, сопряжена с серьезным риском ошибки, особенно, если учесть, что вид зависимости сечения от скорости иона v может, в принципе, иметь различный характер. Так, простые соображения, основанные на представлении о том, что ионно-молекулярная реакция есть взаимодействие иона с наведенным им диполем, еще не указывают, например, однозначно на зависимость типа $\sigma \sim 1/v$ (см., например, [11]). Действительно, экспериментальные определения вида этой зависимости Стевенсоном и Шисслером [8] для реакций ионов A^+ , M^+ и CO^+ с молекулой H_2 и некоторых других реакций дали зависимость $\sigma \sim 1/v$; с другой стороны, Филд, Франклин и Ламп [7] для ряда ионно-молекулярных реакций углеводородов (например, $C_2H_3^+ + C_2H_4$) нашли удивительную, но хорошо выполняющуюся зависимость вида $\sigma \sim 1/v^2$.

Следует заметить, наконец, что можно в принципе ожидать случая, когда характер зависимости σ от скорости может меняться при переходе от одного интервала скоростей к другому. Так, например, в случае взаимодействия ион—диполь, рассматриваемого Гиомузисом и Стевенсоном [11] и дающего $\sigma \sim 1/v$, следует ожидать перехода к другой зависимости $\sigma \sim 1/v^2$, когда, по мере падения σ с ростом скорости, σ достигает некоторого критического поперечного сечения (в обозначениях [11] — πr_c^2).

Наконец, следует думать, что σ может являться функцией не только относительной скорости поступательного движения иона, но и колебательной, вращательной и электронной температуры как молекулы, так и иона. В реакциях при высоких давлениях, для расчета брутто-скоростей которых, в конечном счете, и необходимо знание элементарных констант, мы всегда имеем значительно более равновесную картину распределения энергии между степенями свободы, нежели в опытах по измерению сечения обычным методом. В этих опытах быстрый, иногда в той или иной степени возбужденный ион летит мимо тепловой «во всех отношениях» молекулы.

В настоящей работе излагается новый масс-спектроскопический метод определения констант скоростей ионно-молекулярных реакций. Это

* Если не говорить о специальных случаях «горячих» ионов, получающих дополнительную энергию уже в элементарном акте диссоциативной ионизации.

метод, по-видимому, лучше всего назвать импульсным. Сущность метода состоит в прямом измерении кинетики идущей в ионизационной камере ионно-молекулярной реакции в отсутствие в камере электрического поля. Производится периодическая ионизация газа в ионизационной камере короткими электронными импульсами. Во время ионизации вытягивающее электрическое поле в камере отсутствует, и первичные ионы, образующиеся на пути электронного пучка, имеют тепловые скорости, определяемые лишь температурой стенок камеры [12]*.

Через время задержки t_3 после ионизации первичные и образовавшиеся при их столкновениях с молекулами вторичные ионы вытягиваются из ионизационной камеры коротким импульсом напряжения в анализатор, где происходит их разделение по массам.

Рассмотрим процесс образования ионов при импульсной ионизации. Изменение средней концентрации вторичных ионов n_2^+ в камере при отсутствии гибели ионов выражается следующим образом:

$$\frac{dn_2^+}{dt} = kn_1^+, \quad (1)$$

где n_1^+ и n_0 — средние концентрации первичных ионов и молекул в камере; k — константа скорости реакции.

В промежуток времени после импульса ионизации, пока первичные ионы, образовавшиеся на пути электронного пучка, не достигли стенок камеры, это уравнение справедливо. Через время задержки t_3 средняя концентрация вторичных ионов в камере будет

$$n_2^+ = kn_1^+ n_0 t_3. \quad (2)$$

На опыте измеряются не концентрации, а средние токи ионов, выходящие из некоторой рабочей области камеры. Вероятности вытягивания из камеры ионов разной массы, вообще говоря, различны. Однако при изучении ионно-молекулярных реакций перехода протона или атома H массы первичных и вторичных ионов отличаются лишь на 1 атомную единицу массы, и различие в вероятностях вытягивания этих ионов весьма мало. Различие в вероятности вытягивания ионов может быть обусловлено также различием в начальных скоростях ионов. Однако измерения, сделанные авторами [2], показали, что вторичные ионы не обладают существенной избыточной начальной кинетической энергией даже в тех случаях, когда они образуются в весьма экзотермических реакциях. Таким образом, если вероятности вытягивания ионов одинаковы, можно считать, что

$$I_2^T = k_T I_1 n_0 t_3, \quad (3)$$

где I_1 — средний ток первичных ионов, а I_2^T — средний ток вторичных ионов, образовавшихся при столкновениях тепловых ионов с молекулами, k_T — константа скорости для реакции тепловых ионов.

Формула (3), вообще говоря, приближенна, так как измеряемый ток I_1 соответствует концентрации непрореагировавших первичных ионов, которая меньше начальной их концентрации. Однако экспериментально показано, что при давлениях $\sim 10^{-4}$ мм рт. ст. лишь небольшая часть первичных ионов вступает в реакцию, и пренебрежение этой величиной не вносит существенной ошибки.

От момента ионизации до начала вытягивания, т. е. в течение времени t_3 , электрическое поле в камере отсутствует, и образование вторичных ионов происходит в реакциях тепловых ионов с молекулами. С момента включения вытягивающего импульса в ионно-молекулярных реакциях участвуют ионы, ускоренные в электрическом поле.

* Это утверждение справедливо лишь для тех ионов, которые не получают в процессе ионизации начальной кинетической энергии.

Очевидно, что средний ток вторичных ионов, образовавшихся в вытягивании, выражается следующей формулой:

$$I_2^E = k_E I_1 n_0 t_B,$$

k_E — эффективная константа скорости для реакции ионов, реагирующих в ускоряющем их электрическом поле.

За время действия ионизирующего импульса t_H также образуется некоторое количество вторичных ионов, которые создадут ток

$$I_2^H = \frac{1}{2} k_H I_1 n_0 t_H.$$

Константа скорости в (5) может отличаться от тепловой из-за потенциала объемного заряда, возникающего в камере при прохождении через нее электронов. Токи I_2^E , I_2^H и I_2^T войдут как слагаемые в полный средний ток вторичных ионов, регистрируемый на выходе масс-спектрометра

$$I_2 = I_1 n_0 \left(\frac{1}{2} k_H t_H + k_T t_B + k_E t_B \right).$$

Если построить график зависимости отношения ионных токов I_2 от t_B , то получится прямая с угловым коэффициентом $k_T n_0$. Отсюда вытекает возможность экспериментального определения констант скоростей ионно-молекулярных реакций с участием тепловых ионов.

До сих пор, рассматривая образование ионов в ионизационной камере масс-спектрометра, мы предполагали, что ионные токи пропорциональны усредненным по объему камеры концентрациям соответствующих ионов. Однако уравнения (3) — (6) не будут верны в том случае, если пространственные распределения концентраций первичных и вторичных ионов в камере не одинаковы. В принципе, происхождение такого различия можно понять, исходя из следующего рассуждения. После импульса ионизации первичные ионы движутся только от области своего образования, так что через некоторое время их концентрация там будет весьма мала. Концентрация же вторичных ионов может возрастать, так как они, образуясь «на периферии», приходят частично в область образования первичных ионов. Таким образом, в этой области в некоторый промежуток времени создастся повышенная, по сравнению со средней, относительная концентрация вторичных ионов. Если ионы будут вытягиваться именно отсюда, то в результате получится завышенное значение константы скорости реакции.

В экспериментальной части настоящей работы будет показано, что различие в распределении концентраций первичных и вторичных ионов оказывается малым и слабо влияет на измеряемые константы скоростей.

Выбор длительностей импульсов. Из уравнения (6) видно, что длительность ионизирующих и вытягивающих импульсов не влияет на наклон прямой $I_2/I_1 = f(t_B)$. Однако ионизацию не имеет смысла делать слишком продолжительной, так как ионы, далеко отошедшие от места своего образования за время t_H , все равно не будут участвовать в реакциях во время задержки t_B .

В наших экспериментах было выбрано $t_H = 1$ мксек. За это время ионы с массой ~ 16 атомных единиц, обладающие средней скоростью, соответствующей 400°K (температура камеры при наших измерениях), пройдут ~ 1 мм, что составляет $\sim 1/8$ часть пути ионов в камере.

Время прохождения ионами со средней тепловой скоростью расстояния от места своего образования до стенки определяет максимальное время задержки: $t_B = 8$ мсек.

Длительность вытягивающих импульсов определяется временем, необходимым для вытягивания из камеры самых дальних ионов, движущихся «от выходной щели». Расчет дает для времени вытягивания ионов 16 атомных единиц массы полем $\sim 10 \text{ V/см}$, $t_B = 2,5$ мсек.

Экспериментальная часть

Описание прибора. Исследование ионно-молекулярных реакций проводилось на масс-спектрометре с секторным магнитным полем. В основных чертах этот прибор был описан ранее [13], где он применялся для определения потенциалов появления первичных и вторичных ионов. Изменения в приборе, связанные со спецификой импульсного метода, коснулись лишь ионного источника. Схема источника представлена на рис. 2. Все электроды источника и ионизационная камера изготовлены из инвентивного никрома толщиной 0,3 мм. Отверстия в электродах 4 и 3 закрыты медной фольгой с отверстиями диаметром 120 мк; прозрачность сетки ~70%. Исследуемый газ подавался в ионизационную камеру через медную диафрагму с отверстиями диаметром 20 мк.

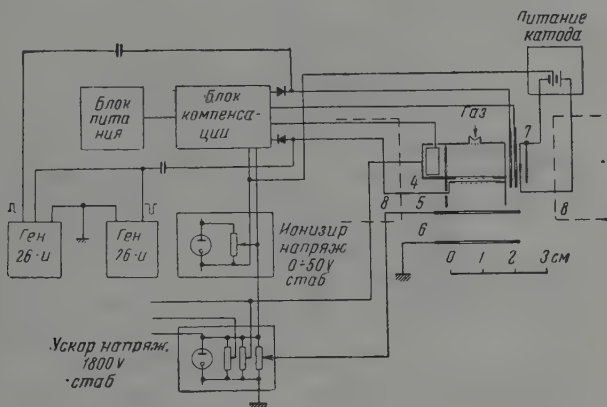


Рис. 2. Схема ионного источника: 1 — фокусирующий электрод; 2 — запирающий электрод; 3 — вытягивающая сетка; 4 — ионизационная камера; 5 — фокусирующий ионы электрод; 6 — ускоряющий электрод; 7 — катод с экраном; 8 — полоса доп. магнита; 9 — питание катода; 10 — блок питания; 11 — блок компенсации; 12, 13 — генератор 26-И; 14 — ионизирующее напряжение 0-50 V таб.; 15 — ускор. напряжение 1800 V таб.

Ионный источник действует следующим образом. Электроны с вольфрамового катода 7, накалываемого постоянным током, поступают в ионизационную камеру 4 через щель фокусирующего электрода 1 и запирающего электрода 2. Электронный пучок фокусируется продольным магнитным полем напряженностью ~200 эрст. создаваемым специальным магнитом 8.

Ионизация газа производится в течение времени $t_{\text{и}}$. Пока ионизации нет, на диафрагму 2 подается смещение такой величины, что практически самые быстрые электроны не проходят внутрь камеры. Затем на эту же диафрагму от генератора типа 26-И подается положительный импульс, отпирающий электронный луч. Этот же импульс запускает второй генератор типа 26-И, который через время задержки t_z подает отрицательный вытягивающий импульс на вытягивающую сетку 3.

Частота повторения импульсов была выбрана 10^4 сек^{-1} .

Чтобы ионы не вытягивались из камеры под действием небольшого провисающего поля, создаваемого разностью потенциалов между ускоряющим электродом 6 и сеткой 3, на сетку 3 подавалось постоянное положительное относительно камеры смещение, компенсирующее провисающее поле.

Для повышения чувствительности регистрирующей схемы использовался вторично-электронный умножитель жалюзийного типа ФЭУ-30 «Экран» с коэффициентом усиления 10^4 при напряжении между диодами 200 V.

На рис. 3 показана схема вакуумной системы масс-спектрометра. Измерение давления в ионизационной камере производилось при помощи ионизационного манометра, присоединенного непосредственно к камере. Температура стенок камеры, определяющая скорость движения ионов, измерялась при помощи термометры T (рис. 3) никром-константан.

Опыты. Исследованию ионно-молекулярных реакций предшествовала настройка масс-спектрометра. При непрерывной ионизации и непре-

рывном вытягивании ионов прибор настраивался на фоновую линию 18 атомных единиц массы. Затем электронный луч запырался путем пода на диафрагму 2 (рис. 2) отрицательного смещения. После этого включала импульсная ионизация. Далее, убиралось постоянное вытягивающее напряжение и, если ионный ток при этом полностью не исчезал, на вытягивающую сетку 3 подавалось постоянное положительное смещение, компенсирующее провисающее в область ионизации поле. Затем включалось импульсное вытягивание. Амплитуда вытягивающих импульсов U_B выбиралась такой величины, чтобы ионный ток был максимальным*.

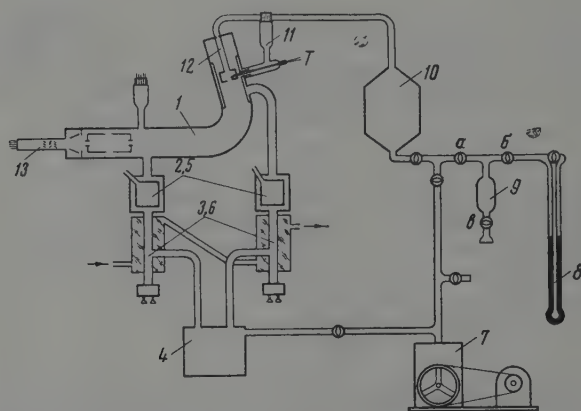


Рис. 3. Схема вакуумной системы масс-спектрометра: 1 — труба анализатора; 2, 5 — ловушки с жидким азотом; 3, 6 — масляные диффузионные насосы; 4 — форвакуумный насос; 7 — форвакуумный насос; 8 — манометр напускной системы; 9 — малый напускной объем; 10 — большой напускной объем; 11 — лампа ионизационного манометра; 12 — напускная диафрагма; 13 — вторично-электронный умножитель; T — термодар

Следует отметить, что весьма чувствительным показателем компенсации электрического поля в ионизационной камере является зависимость тока первичных ионов от времени задержки. При наличии электрического поля в камере напряженностью 1 В/см первичные ионы с массой 16 атомных единиц будут иметь скорость $\sim 4 \cdot 10^5$ см/сек и пройдут расстояние от места своего образования до стенки за 1,5 мсек.

Однако на опыте при выборе соответствующего компенсирующего напряжения ток первичных ионов был почти постоянным до $t_a = 3$ мс, а затем медленно падал. Практически полностью ионный ток исчез при $t_a = 11$ мсек. Это говорит о том, что скорости, которые могут получать ионы в оставшихся в камере полях, если они существовали, не превышали тепловых более, чем на 30%.

Длительность вытягивающих импульсов t_B выбиралась такой, чтобы все образовавшиеся ионы успевали выйти из камеры. Типичная эколо-

* Наличие максимума при увеличении U_B объясняется двумя противоположно действующими факторами: с одной стороны, растет область, из которой вытягиваются ионы, с другой стороны, начинает сказываться дефокусирующее действие вытягивающего поля.

** Кроме поля, провисающего через щель, в камере могут, в принципе, быть электрические поля, обусловленные контактными потенциалами и зарядом поверхности камеры.

ментальная зависимость ионного тока от длительности вытягивающего импульса приведена на рис. 4. Видно, что при $t_b = 5$ мсек. практически все ионы вытягиваются. Это время хорошо согласуется с расчетным. В наших опытах использовались следующие значения: $t_b = 4,5$ мсек., $U = 45 \div 75$ В, $t_{и} = 1$ мсек., $t_3 = 1 \div 7$ мсек., энергия ионизирующих электронов 40 эВ.

Нами измерялась константа скорости образования иона метония реакции $\text{CH}_4 + \text{CH}_4^+ \rightarrow \text{CH}_5^+ + \text{CH}_3^*$. Типичная зависимость отношения ионных токов CH_5^+ и CH_4^+ от времени задержки представлена на рис. 5. Опыты производились при различных давлениях в ионном источнике. Результаты сведены в табл. 1.

В табл. 2 представлены результаты измерения скорости реакции образования CH_5^+ при различных длительностях вытягивающих импульсов.

Увеличение длительности вытягивающих импульсов эквивалентно расширению «рабочей области» ионизационной камеры, т. е. вытягиванию ионов все более широкой области. Если бы распределения концентраций первичных вторичных ионов резко различались, это привело бы к резкой зависимости измеренной константы скорости от t_b . Результаты наших опытов, представленные в табл. 2, показывают, что «поля концентраций» ионов в камере различаются, по-видимому, слабо.

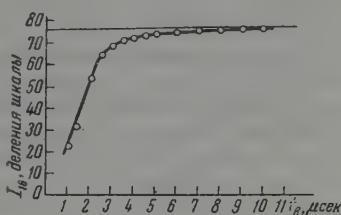


Рис. 4. Зависимость ионного тока от длительности вытягивающих импульсов: $t_b = 1$ мсек., $p = 9 \cdot 10^{-4}$ мм рт. ст.; $T = 375^\circ \text{K}$

Таблица 1

p — давление в камере, T — температура камеры, n_0 — рассчитанная концентрация молекул в камере, α — наклон прямой $I_2/I_1 = f(t_b)$

$p \cdot 10^4$, мм рт. ст.	T , °K	$n_0 \cdot 10^{-12}$, см $^{-3}$	$\alpha \cdot 10^{-4}$, сек. $^{-1}$	$k_T \cdot 10^{10}$ см 3 моль $^{-1}$ сек $^{-1}$
4,0	357	10,8	1,24	11,5
5,0	367	13,1	1,5	11,5
5,1	386	12,8	1,47	11,5
6,05	390	14,9	1,79	12,0
7,4	361	19,8	2,3	11,6
8,5	356	23	2,57	11,2
$k_{T_{CP}} = 11,6 \cdot 10^{-10}$ см 3 моль $^{-1}$ сек $^{-1}$				

Таблица 2

t_b , м сек	$p \cdot 10^4$, мм рт. ст.	T , °K	$n_0 \cdot 10^{-12}$, см $^{-3}$	$\alpha \cdot 10^{-4}$, сек. $^{-1}$	$k_T \cdot 10^{10}$, см 3 моль $^{-1}$ сек $^{-1}$
3	8,8	349	24,4	2,58	10,6
4	8,45	349	23,4	2,58	11,0
5	8,2	350	22,6	2,58	11,4
7	7,9	350	21,8	2,58	11,8

Измерялась также константа скорости реакции $\text{H}_2\text{O} + \text{H}_2\text{O}^+ \rightarrow \text{H}_3\text{O}^+ + \text{OH}$. Результаты серии независимых опытов представлены в табл. 3.

* В этих экспериментах принимал участие студент ЛПИ Ю. А. Андреев.

Таблица 3

$p \cdot 10^4$, мм рт. ст.	T , °K	$n_0 \cdot 10^{-12}$, см $^{-3}$	$\alpha \cdot 10^4$, сек. $^{-1}$	$k_T \cdot 10^{10}$, см 3 моль $^{-1}$ сек $^{-1}$
9,1	411	21,3	1,82	8,55
9,1	411	21,3	1,83	8,6
9,3	408	21,9	1,86	8,5
9,4	410	22,1	1,86	8,4
				$k_T = 8,5 \cdot 10^{-10}$ см 3 моль $^{-1}$ сек $^{-1}$

Одна из экспериментальных прямых $I_2/I_1 = f(t_3)$ представлена рис. 6.

Точность определения константы скорости определяется в основном точностью измерения давления в камере и точностью измерения вре-

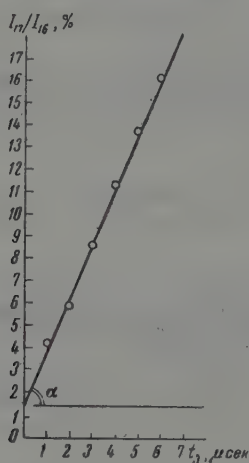


Рис. 5

Рис. 5. Зависимость $I_2/I_1 = f(t_3)$ для реакции $\text{CH}_4 + \text{CH}_4^+ \rightarrow \text{CH}_5^+ + \text{CH}_3$; $T = 356^\circ\text{K}$, $t_{\text{в}} = 4,5$ мсек.; $\text{tg } \alpha = (nv)$

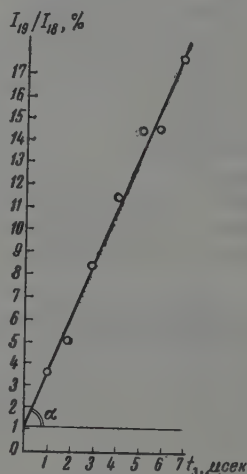


Рис. 6

Рис. 6. Зависимость $I_2/I_1 = f(t_3)$ для реакции $\text{H}_2\text{O} + \text{H}_2\text{O}^+ \rightarrow \text{H}_3\text{O}^+ + \text{OH}$; $T = 408^\circ\text{K}$; $t_{\text{в}} = 4,5$ мсек.; $p = 9,3 \cdot 10^{-4}$ мм рт. ст.

задержки t_3 . Используемый нами для измерения давления ионизационный манометр обеспечивает точность абсолютных измерений $\pm 1\%$. Время задержки известно с точностью 10%. Таким образом, точность определения константы скорости в наших экспериментах $\sim 25\%$.

В заключение следует подчеркнуть принципиальное различие в физическом смысле величин, которые определяются в результате применения принятого в настоящее время метода и метода, разработанного автором.

В первом методе определяются эффективные сечения ионно-молекулярных реакций при сравнительно высоких энергиях. Из-за того, что вид зависимости сечения от скорости для «тепловой» области надежно неизвестен, является недостаточно обоснованной не только экстраполяция величин сечения к тепловым скоростям, но и само вычисление константы скорости реакции в тепловой области по экстраполированному сечению, поскольку для такого вычисления также необходимо знать зависимость сечения

ности при тепловых скоростях. Между тем для расчета брутто-скоростей реакций, в которых имеются ионно-молекулярные элементарные процессы, необходимо знать именно константы скоростей этих процессов. В предложенном авторами методе эксперимент непосредственно дает константы скоростей ионно-молекулярных процессов при температуре ионизационной камеры. Эти константы могут быть непосредственно использованы для названного выше расчета.

Представляет интерес сравнить измеренные нами значения констант скоростей со значениями, полученными Филдом, Франклином и Лампом методом экстраполяции сечений, измеренных при больших скоростях по отношению к тепловым скоростям. Значения, полученные этими авторами, $k_5^+ = 2,8 \cdot 10^{-9} \text{ см}^3/\text{моль сек}$ [10] и $K_{D_2O} = 2,2 \cdot 10^{-9} \text{ см}^3/\text{моль сек}$. [9] при $T = 423 \pm 10^\circ \text{ K}$, примерно в 2,5 раза превышают полученные нами. Это могло бы, например, означать, что в области малых скоростей поправка перестает быть справедливым закон $\sigma \sim 1/v^2$, по которому производили экстраполяцию авторы [9, 10].

Мы полагаем, однако, что такое заключение было бы преждевременным, особенно, если учесть принципиальную и техническую разницу методов измерений, которая может привести просто к другой, более правильной абсолютной величине k в нашем методе.

Прямой ответ в связи с этим должно дать намеченное авторами измерение зависимости этих констант скоростей от температуры ионизационной камеры. Заметим еще, что использование предложенного метода в сочетании с ранее описанной автоматической квазимонохроматизацией электронов [13] и измерениями вблизи потенциала ионизации дадут возможность определить зависимость константы скорости от возможного внутреннего возбуждения первичного иона.

Выводы

1. Разработан импульсный метод измерения констант скоростей элементарных ионно-молекулярных реакций для тепловых энергий.
2. Рассмотрены принципиальные преимущества этого метода перед ныне применяемым методом определения эффективных сечений таких реакций.
3. Измерены константы скоростей реакции $\text{CH}_4 + \text{CH}_4^+ \rightarrow \text{CH}_5^+ + \text{CH}_3$ ($k_5^+ = 11,6 \cdot 10^{-10} \text{ см}^3 \text{ моль}^{-1} \text{ сек}^{-1}$) и $\text{H}_2\text{O} + \text{H}_2\text{O}^+ \rightarrow \text{H}_3\text{O}^+ + \text{OH}$ ($k_T = 8,5 \cdot 10^{-10} \text{ см}^3 \text{ моль}^{-1} \text{ сек}^{-1}$) при температурах, соответственно, 370 ± 20 и 410° K энергии ионизирующих электронов 50 eV.

Академия наук СССР
Институт химической физики

Поступила
13. III. 1959

ЛИТЕРАТУРА

1. G. G. Meisels, W. H. Hamill, R. R. Williams, Jr., J. Chem. Phys., **25**, 790, 1956.
2. В. Л. Тальрозе, Е. Л. Франкевич, Тр. I Всесоюзного совещания по радиационной химии, 1957 г., М., Изд-во АН СССР, 1958, стр. 13—18.
3. D. P. Stevenson, J. Phys. Chem., **61**, 1453, 1957.
4. В. Л. Тальрозе, А. К. Лябимова, Докл. АН СССР, **86**, 909, 1952.
5. В. Л. Тальрозе, Е. Л. Франкевич, Докл. АН СССР, **111**, 376, 1956.
6. D. O. Schissler, D. P. Stevenson, J. Chem. Phys., **24**, N 4, 1956; **23**, N 7, 1955.
7. F. H. Field, J. L. Franklin, F. W. Lampe, J. Amer. Chem. Soc., **78**, 5697, 1956.
8. D. P. Stevenson, D. O. Schissler, J. Chem. Phys., **29**, 282, 1958.
9. F. W. Lampe, F. H. Field, J. L. Franklin, J. Amer. Chem. Soc., **79**, 6132, 1957.

10. F. H. Field, J. L. Franklin, F. W. Lampe, J. Amer. Chem. Soc., **79**, 2497, 1957.
11. G. Giomousis, D. P. Stevenson, J. Chem. Phys., **29**, 294, 1958.
12. В. Л. Тальрозе, Е. Л. Франкевич, Ж. техн. физ., **29**, 497, 1956.
13. Е. Л. Франкевич, В. Л. Тальрозе, ПТЭ, № 2, 48, 1957.
14. В. В. Тальрозе, Е. Л. Франкевич, Рефераты докладов и сообщений № 12, VIII Менделеевский съезд, стр. 59, 1958.
15. В. Л. Тальрозе, Е. Л. Франкевич, Изв. АН СССР, сер. хим., № 7, 1319, 1959.

IMPULSE METHOD FOR DETERMINING THE RATE CONSTANTS OF ELEMENTARY ION-MOLECULE REACTIONS

V. L. Tal'roze and E. L. Frankevich (Moscow)

Summary

A new impulse method has been developed for measuring the rate constants of ion-molecule reactions, in which direct observation of the reaction kinetics is carried out in the ionization chamber of a mass spectrometer. By this method the rate constants have been determined of the reactions



and



the values $11.6 \cdot 10^{-10}$ cm³/mol. sec at 370° K and $8.5 \cdot 10^{-10}$ cm³/mol. sec at 410° K, respectively being obtained.

ОПРЕДЕЛЕНИЕ КОЭФФИЦИЕНТОВ КОНДЕНСАЦИИ ОКИСЛОВ
ЛИТИЯ, БЕРИЛЛИЯ, БОРА, КРЕМНИЯ И СВИНЦА

Л. П. Фирсова и Ан. Н. Несмеянов

В ряде ранее опубликованных работ [1—5] были приведены данные о давлению пара окислов лития, бериллия, бора, кремния и свинца, вычисленные из экспериментальных результатов измерения скоростей эффузии и испарения по формуле:

$$p, \text{ ат} = 2,2553 \cdot 10^{-3} G (T/M)^{1/2},$$

где $G(\text{г/см}^2 \text{ сек})$ — скорость испарения или эффузии, M — молекулярный вес компонента пара, T — температура. Величины, полученные в результате такой обработки без учета коэффициентов конденсации соответствующих веществ, дают лишь нижний предел истинных давлений компонентов пара и верхний предел теплот сублимации. Для уточнения данных по теплотам испарения и давлению пара окислов лития, бериллия, бора, кремния, свинца необходимо знать величины коэффициентов конденсации этих окислов. Поскольку литературные данные о коэффициентах конденсации исследованных в настоящей работе окислов отсутствуют, нами было проведено экспериментальное определение этих величин.

Экспериментальная часть

Методика измерения коэффициентов конденсации. Коэффициент конденсации окислов бериллия и свинца был определен сопоставлением результатов измерения скоростей испарения с открытой поверхности в вакуум и данных по давлению пара, равновесного с исследованными окислами, полученных методом Кнудсена (табл. 1).

Таблица 1

Сравнение результатов измерений давления пара окислов бериллия и свинца, полученных методами Кнудсена и Лэнгмюра

Вещество	Метод измерения	$T, ^\circ\text{K}$	$p'_{\text{эксп}}, \text{ ат}$	$p''_{\text{рассч}}, \text{ ат}$	$\Delta p = p' - p'', \text{ ат}$	$\Delta p/p'', \%$
Окись бериллия	Испарение с поверхности	2128	$3,89 \cdot 10^{-8}$	$3,41 \cdot 10^{-8}$	$0,48 \cdot 10^{-8}$	14,1
		2153	$5,14 \cdot 10^{-8}$	$5,40 \cdot 10^{-8}$	$0,26 \cdot 10^{-8}$	4,8
		2183	$8,61 \cdot 10^{-8}$	$8,55 \cdot 10^{-8}$	$0,06 \cdot 10^{-8}$	0,7
	Эффузионный метод	2373	$1,49 \cdot 10^{-6}$	$1,45 \cdot 10^{-6}$	$0,04 \cdot 10^{-6}$	2,8
		2573	$1,53 \cdot 10^{-5}$	$1,68 \cdot 10^{-5}$	$0,15 \cdot 10^{-5}$	8,9
Окись свинца	Испарение с поверхности	939	$4,26 \cdot 10^{-7}$	$4,21 \cdot 10^{-7}$	$0,05 \cdot 10^{-7}$	1,2
		964	$1,04 \cdot 10^{-6}$	$8,94 \cdot 10^{-7}$	$1,44 \cdot 10^{-7}$	16,1
		1014	$3,24 \cdot 10^{-6}$	$1,08 \cdot 10^{-6}$	$7,56 \cdot 10^{-6}$	70,0
	Эффузионный метод	1117	$1,43 \cdot 10^{-4}$	$8,13 \cdot 10^{-5}$	$6,20 \cdot 10^{-5}$	76,0
		1121	$1,01 \cdot 10^{-4}$	$8,91 \cdot 10^{-5}$	$1,20 \cdot 10^{-5}$	13,4

Примечание: в столбце $p'_{\text{рассч.}}$ приведены величины, вычисленные по уравнениям $\lg p = A - B/T \cdot 10^{-4}$, полученным методом наименьших квадратов из совместно обработанных экспериментальных данных метода Кнудсена и метода Лэнгмюра.

Для определения коэффициентов конденсации окислов лития, бора и кремния давление пара этих веществ измерялось по методу Кнудсен с применением эффузионных отверстий различных площадей и сопротивлений потоку газа (вариации размеров площади осуществлялись как изменением радиусов отверстий, так и изменением глубины их канала). Величины давления пара, полученные в этих опытах, приведены в табл. 2.

Таблица 1

Коэффициенты конденсации окислов лития, бора, кремния

Окисел	$A', \text{см}^2$	$p', \text{ат}$	$A'', \text{см}^2$	$p'', \text{ат}$	$T, ^\circ\text{К}$	$p'/p'', \%$	$\alpha_{\text{конд}}$
Li_2O	$4,07 \cdot 10^{-3}$	$2,15 \cdot 10^{-6}$	$2,55 \cdot 10^{-4}$	$2,16 \cdot 10^{-6}$	1400	99,48	$6,47 \cdot 10^{-1}$
	$4,07 \cdot 10^{-3}$	$2,1 \cdot 10^{-6}$	$2,76 \cdot 10^{-2}$	$2,08 \cdot 10^{-6}$	1400	103,23	$6,40 \cdot 10^{-1}$
	$4,07 \cdot 10^{-3}$	$2,1 \cdot 10^{-6}$	$2,13 \cdot 10^{-2}$	$2,05 \cdot 10^{-6}$	1400	104,88	$3,21 \cdot 10^{-1}$
	$2,55 \cdot 10^{-4}$	$2,16 \cdot 10^{-6}$	$2,76 \cdot 10^{-2}$	$2,08 \cdot 10^{-6}$	1400	103,77	$6,41 \cdot 10^{-1}$
	$4,07 \cdot 10^{-3}$	$3,82 \cdot 10^{-6}$	$2,55 \cdot 10^{-4}$	$3,83 \cdot 10^{-6}$	1432	99,66	$9,83 \cdot 10^{-1}$
	$3,93 \cdot 10^{-3}$	$1,09 \cdot 10^{-5}$	$2,55 \cdot 10^{-4}$	$1,10 \cdot 10^{-5}$	1473	99,10	$1,18 \cdot 10^{-1}$
B_2O_3	$1,66 \cdot 10^{-3}$	$1,28 \cdot 10^{-5}$	$6,36 \cdot 10^{-5}$	$1,36 \cdot 10^{-5}$	1462	94,03	$2,22 \cdot 10^{-1}$
	$1,66 \cdot 10^{-3}$	$1,28 \cdot 10^{-5}$	$1,27 \cdot 10^{-2}$	$1,26 \cdot 10^{-5}$	1462	98,33	$5,73 \cdot 10^{-1}$
	$6,36 \cdot 10^{-5}$	$1,36 \cdot 10^{-5}$	$1,27 \cdot 10^{-2}$	$1,26 \cdot 10^{-5}$	1462	106,52	$2,72 \cdot 10^{-1}$
SiO_2	$1,01 \cdot 10^{-2}$	$1,17 \cdot 10^{-6}$	$5,39 \cdot 10^{-4}$	$1,44 \cdot 10^{-6}$	1739	81,23	$3,62 \cdot 10^{-1}$
	$1,01 \cdot 10^{-2}$	$4,64 \cdot 10^{-7}$	$5,39 \cdot 10^{-4}$	$6,36 \cdot 10^{-7}$	1692	72,94	$2,23 \cdot 10^{-1}$

Примечание: площадь сечения камеры $S = 1,131 \text{ см}^2$.

Для дополнительной оценки величины коэффициентов конденсации окислов бериллия, бора и свинца исследовалась также зависимость измеряемой величины давления пара от времени. Эксперименты, целью которых

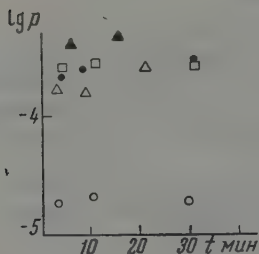


Рис. 1. Зависимость измеряемой величины давления пара от времени измерения для окислов бериллия, бора и свинца: \circ — окись бериллия, $\Delta t = 7$ мин., $T = 2605^\circ \text{К}$, $A = 2,74 \cdot 10^{-3} \text{ см}^2$; \blacktriangle — окись бора, $\Delta t = 7$ мин., $T = 1570^\circ \text{К}$, $A = 1,75 \cdot 10^{-3} \text{ см}^2$; \bullet — окись бора, $\Delta t = 7$ мин., $T = 1560^\circ \text{К}$, $A = 1,75 \cdot 10^{-3} \text{ см}^2$; \square — окись бора, $\Delta t = 7$ мин., $T = 1552^\circ \text{К}$, $A = 6,36 \cdot 10^{-5} \text{ см}^2$; \triangle — окись свинца $\Delta t = 10$ мин., $T = 1151^\circ \text{К}$, $A = 9,73 \cdot 10^{-4} \text{ см}^2$.

являлось выяснение характера этой зависимости, проводились следующим образом. В течение 2—4 мин. эффузионная камера нагревалась до заданной температуры. Короткая ($\Delta t = 7$ —10 мин.) экспозиция, одинаковая для всех опытов одной серии, начиналась через различные промежутки времени (t_i) с момента достижения в камере заданной температуры. Величины давлений пара веществ, полученные в результате проведенных опытов, наносились на график $\lg p_i - t_i$, по характеру которого можно, по крайней мере, качественно судить о величине коэффициента конденсации (p сунок).

Обработка экспериментальных данных. Поскольку в пределах ошибок опытов результаты эффузионных измерений и данные, полученные по методу Лэнгмюра, совпадали (табл. 1), можно считать, что коэффициенты конденсации для окислов бериллия и свинца близки к единице. Более точные количественные выводы относительно

чины коэффициента конденсации сделать в данном случае нельзя, так как, во-первых, велик разброс экспериментальных данных, во-вторых, p_{Kn} близко к равновесному давлению, но не равно ему.

Относительно точности получаемых в подобных экспериментах значений коэффициентов конденсации так же, как и относительно надежности соответствующих величин, получаемых при сравнении результатов эффузионных опытов с разными площадями отверстий, нужно сказать, что она в огромной степени зависит от способа измерения температуры. Несмотря на сравнительно частое применение указанных методов [6—8] для определения коэффициентов конденсации, в литературе мало уделено внимания этому вопросу. Наиболее правильным, несомненно, является измерение непосредственно температуры поверхности испаряющегося вещества. Весьма грубым можно считать в подобных случаях измерение температуры массы веществ, так как температура испаряющей поверхности в опытах с отверстиями различных диаметров при одной и той же температуре массы для окислов сильно зависит от площади отверстия. Поэтому для определения коэффициентов конденсации указанным способом необходимо либо измерять непосредственно температуру поверхности, либо вводить поправки, учитывающие зависимость разницы в температурах массы и поверхности вещества от диаметра эффузионного отверстия. В настоящей работе использовались оба способа измерения температуры. Обработка результатов эффузионных измерений с различными эффузионными отверстиями производилась по формуле:

$$\alpha = \frac{p'A' - p''A''}{S(p'' - p')} , \quad (1)$$

где p' и p'' — кажущиеся давления при эффузионных отверстиях площадью A' и A'' (см²), соответственно, S — сечение камеры Кнудсена (величины A' , A'' и S даны с учетом коэффициентов Клаузинга). Результаты проведенного расчета даны в табл. 2. Из них следует, что коэффициент конденсации окислов бора и лития близок к единице, у двуокиси кремния несколько отличается от единицы. Формула (1) является следствием соответствующих выражений, полученных Россманом и Ярвудом, применимых только в области очень малых отношений A/S и недостаточно точных учитывающих зависимость p_{Kn} от геометрических параметров камер и т. д. Поэтому формула (1) имеет приближенный характер и позволяет лишь качественно судить о коэффициенте конденсации.

Опыты по определению зависимости p_{Kn} от t_i (минуты) также дали возможность получить качественную оценку величин коэффициентов конденсации. Характер зависимости кажущегося давления от времени измерения (рисунок) показывает, что равновесное давление пара окислов бора, бериллия и свинца устанавливается в камере Кнудсена очень быстро, и это свидетельствует о близости коэффициента конденсации к единице. Понижение давления пара в опытах при малом t_i (минуты) относительно невелико и, кроме того, может явиться следствием неравномерности нагрева вещества в камере в условиях этих опытов.

Таким образом, в результате проведенных экспериментов удалось показать, что коэффициенты конденсации всех исследованных окислов, кроме двуокиси кремния, близки к единице. Отличие коэффициентов от единицы столь мало, что может, по-видимому, не учитываться при расчете давления пара из экспериментальных величин, полученных с точностью не более 20—30%. Относительно коэффициента конденсации окиси кремния нельзя еще сделать окончательного вывода, поскольку оценка сделана всего одним методом и точность измерений очень мала.

Небольшое отличие коэффициентов конденсации окислов от единицы вполне вероятно. Принимая во внимание многоступенчатый механизм испарения и конденсации, предложенный рядом авторов [9—12], мож-

но предполагать, что для окислов, испарение которых сопровождается почти всегда глубокими изменениями структуры и даже состава молекул (главным образом за счет диссоциации и полимеризации молекул), конденсация и испарение затруднены, и коэффициент конденсации должен быть меньше единицы.

Выводы

Различными методами сделана оценка коэффициентов конденсации окислов лития, бериллия, бора, кремния и свинца.

Московский государственный университет
им. М. В. Ломоносова

Поступила
13. III. 1959

ЛИТЕРАТУРА

1. Ан. Н. Несмеянов, Л. П. Бельх, Ж. физ. химии, **34**, 842, 1960.
2. Ан. Н. Несмеянов, Л. П. Фирсова, Ж. физ. химии, **34**, 1032, 1960.
3. Ан. Н. Несмеянов, Л. П. Фирсова, Ж. физ. химии, **34**, 1200, 1960.
4. Ан. Н. Несмеянов, Л. П. Фирсова, Е. П. Исакова, Ж. физ. химии, **34**, 1699, 1960.
5. Л. П. Фирсова, Ан. Н. Несмеянов, Ж. физ. химии, **34**, 1907, 1960.
6. R. Speiser, J. Speiser, J. Spretnak, Vacuum Metallurgy, Boston, 1957, стр. 155.
7. R. Thorn, G. Winslow, J. Chem. Phys., **26**, 186, 1957.
8. K. Motzfeldt, J. Phys. Chem., **59**, 139, 1955.
9. O. Knacke, I. Stranski, Progr. Metal Phys., **6**, 181, 195.
10. O. Knacke, I. Stranski, G. Wolff, Z. phys. Chem., **198**, 157, 1951.
11. B. Clappitt, D. German, J. Phys. Chem., **62**, 438, 1958.
12. J. Hirth, G. Pound, J. Chem. Phys., **26**, 1216, 1957.

DETERMINATION OF THE COEFFICIENTS OF CONDENSATION OF LITHIUM, BERYLLIUM, BORON, SILICON AND LEAD OXIDES

L. P. Firsova and An. N. Nesmeyanov (Moscow)

Summary

The coefficients of condensation of lithium, beryllium, boron, silicon and lead oxides have been evaluated by comparison of the experimental data on the vapor pressures of the compounds obtained by the Langmuir and Knudsen methods. The values for the condensation of the oxides are close to unity.

КРИОСКОПИЧЕСКОЕ ИССЛЕДОВАНИЕ СИСТЕМ $\text{SnCl}_4\text{—RCOON}$

Т. Н. Сужаркова, И. Г. Литвяк и Т. Ф. Валежанина

На диаграммах физико-химического анализа жидкой фазы систем $\text{SnCl}_4\text{—RCOON}$ [1—7] получают отражение соединения $\text{SnCl}_4\cdot 3\text{RCOON}$, но не отражается образование соединений $\text{SnCl}_4\cdot 2\text{RCOON}$. Комплексные соединения состава $\text{SnCl}_4\cdot 2\text{RCOON}$ были до нас получены в индивидуальном состоянии только для бензойной [8] и уксусной [2, 3] кислот. Одному

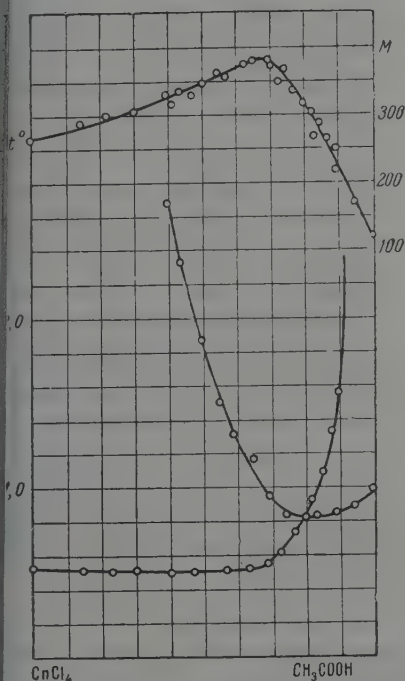


Рис. 1. Зависимость депрессии и молекулярного веса от состава системы $\text{SnCl}_4\text{—CH}_3\text{COON}$; криоскопический растворитель— C_6H_6

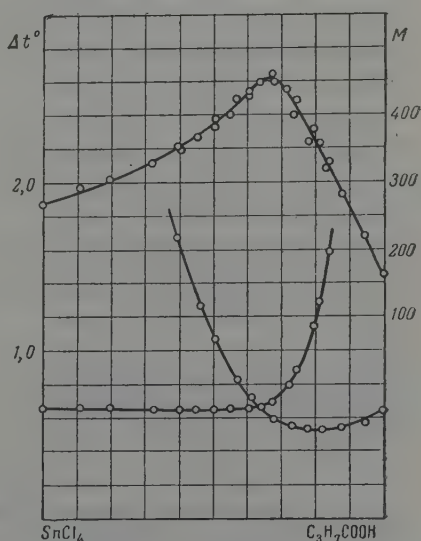


Рис. 2. Зависимость депрессии и молекулярного веса от состава системы $\text{SnCl}_4\text{—C}_3\text{H}_7\text{COON}$; криоскопический растворитель— C_6H_6

из авторов совместно с Э. Ярмухамедовой [9] удалось на основании криоскопических измерений в CCl_3COON показать существование соединения $\text{SnCl}_4\cdot 2\text{NH}_2\text{CH}_2\text{COON}$, а затем выделить это соединение в свободном состоянии. Так как комплексные соединения $\text{SnX}_4\cdot 2\text{RCOON}$ являются неэлектролитами, то криоскопический метод особенно удобен для исследования образования этих соединений.

В связи с этим мы предприняли криоскопическое исследование систем $\text{SnCl}_4\text{—RCOON}$.

Экспериментальная часть

Хлорное олово готовилось непосредственным действием сухого хлора на металлическое олово. Полученный продукт кипятился над металлическим оловом до полного удаления свободного хлора и затем трижды перегонялся над P_2O_5 ; фракция, кипящая при $109,5^\circ$ и давлении 692 мм, запаивалась в ампулы в специальном приборе, из которого предварительно при помощи P_2O_5 удалялась влага. Бензойная кислота (возникшая) фирмы Кальбаум трижды перекристаллизовывалась из воды, т. пл. 121° . Остальные карбоновые кислоты сушились над прокаленным $CuSO_4$, перегонялись

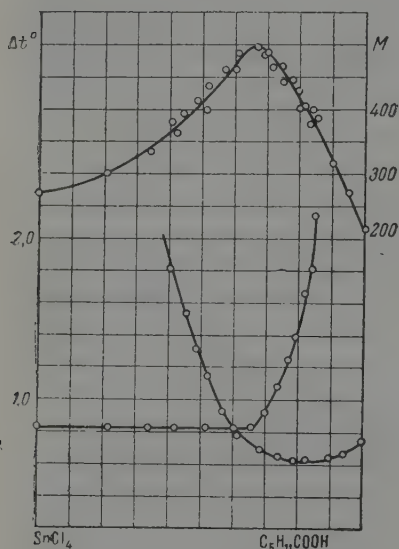


Рис. 3. Зависимость депрессии и молекулярного веса от состава системы $SnCl_4 - C_5H_{11}COOH$; криоскопический растворитель — C_6H_6 .

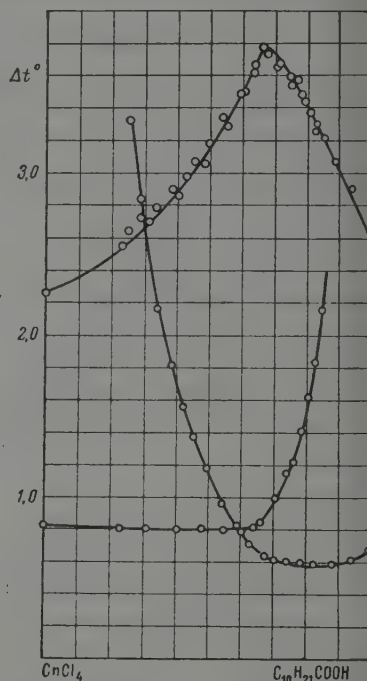
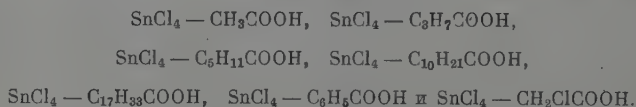


Рис. 4. Зависимость депрессии и молекулярного веса от состава системы $SnCl_4 - C_{10}H_{21}COOH$; криоскопический растворитель — C_6H_6 .

и затем фракционированно вымораживались. Полученные препараты характеризовались константами: $CH_2ClCOOH$ — т. пл. $62,9^\circ$; CH_3COOH — $16,67^\circ$; C_3H_7COOH ($-4,5^\circ$); $C_5H_{11}COOH$ (-3°); $C_{10}H_{21}COOH$ — $69,5^\circ$; $C_{17}H_{33}COOH$ — 14° . Бензол «для криоскопии» очищался серной кислотой, затем щелочным раствором $KMnO_4$ и металлической ртутью, после чего сушился над металлическим натрием и перегонялся. Лучшая фракция бензола подвергалась фракционированному вымораживанию и перегонке: т. пл. — $5,5^\circ$.

Криоскопическому исследованию были подвергнуты следующие системы:



Результаты измерений представлены в виде диаграмм депрессия — состав и молекулярный вес — состав на рис. 1—7. Из рассмотренных

ис. 1—6 видно, что по мере прибавления карбоновых кислот (CH_3COOH , H_5COOH , $\text{C}_3\text{H}_7\text{COOH}$, $\text{C}_5\text{H}_{11}\text{COOH}$, $\text{C}_{10}\text{H}_{21}\text{COOH}$ и $\text{C}_{17}\text{H}_{33}\text{COOH}$) к бензольному раствору хлорного олова депрессия остается постоянной, почти 33 мол. % хлорного олова, а затем растет. Такая зависимость депрессии от состава показывает, что в комплексное соединение входит одна молекула хлорного олова. При обратном введении реагентов, т. е. по мере прибавления все возрастающих количеств хлорного олова к бензольному раствору карбоновой кислоты депрессия сначала падает, достигает своего минимального значения в области концентраций 25—30 мол. % хлорного олова и затем резко возрастает.

Такой ход кривой зависимости депрессии от состава свидетельствует о взаимодействии компонентов системы и о том, что в состав комплексного соединения входит больше одной молекулы карбоновой кислоты. Если бы взаимодействие между хлорным оловом и карбоновыми кислотами происходило подело и останавливалось на стадии образования соединения 1:2, то минимальная депрессия являлась бы 1/2 первоначальной депрессии. Так как, однако, при прибавлении хлорного олова к бензольному раствору карбоновой кислоты (вследствие избытка кислоты по сравнению с хлорным оловом) создаются благоприятные условия для образования соединений 1:3 и 1:4 (более богатых содержанием карбоновой кислоты), которые являются электролитами, то депрессия в точке эквивалентности соответственно равнялась бы $\frac{2}{3}$ или $\frac{3}{4}$ первоначальной депрессии. В изученных системах минимальное значение депрессии лежит между первоначальным значением и 1/2 этой депрессии. Это объясняется тем, что в системах, образуемых хлорным оловом с карбоновыми кислотами, возникает несколько соединений, которые находятся между собой в сложном, сопряженном равновесии.

На рис. 1—6 представлены также диаграммы молекулярный вес — состав. Из этих диаграмм видно, что кривые молекулярного веса проходят через максимум, положение которого приходится на 33—35 мол. % хлорного олова, отражая образование соединения 1:2.

По мере прибавления монохлоруксусной кислоты к бензольному раствору хлорного олова имеет место непрерывный рост депрессии, при добавлении же хлорного олова к раствору монохлоруксусной кислоты в бензоле происходит сначала очень незначительное падение депрессии, а затем рост ее. Эти кривые, так же как и кривая зависимости молекулярного веса от состава, указывают на взаимодействие компонентов, которое не идет до конца (рис. 7).

Молекулярные веса CH_3COOH , CH_2ClCOOH , $\text{C}_6\text{H}_5\text{COOH}$, $\text{C}_3\text{H}_7\text{COOH}$, $\text{C}_5\text{H}_{11}\text{COOH}$, $\text{C}_{10}\text{H}_{21}\text{COOH}$, измеренные в бензоле, отвечают димерному строению.

Таким образом, криоскопическое исследование показало, что при взаимодействии хлорного олова с карбоновыми кислотами образуются соединения $\text{SnCl}_4 \cdot 2\text{RCOOH}$.

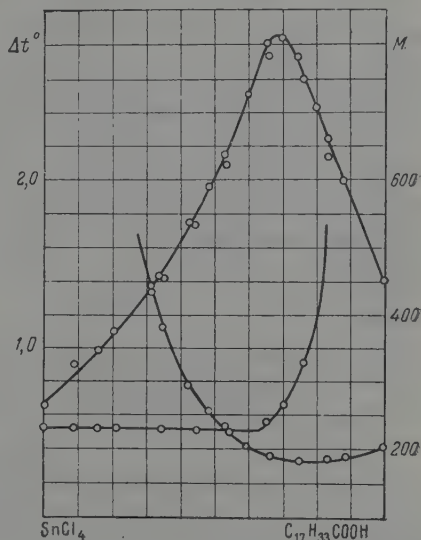


Рис. 5. Зависимость депрессии и молекулярного веса от состава системы $\text{SnCl}_4 - \text{C}_{17}\text{H}_{33}\text{COOH}$; криоскопический растворитель — C_6H_6

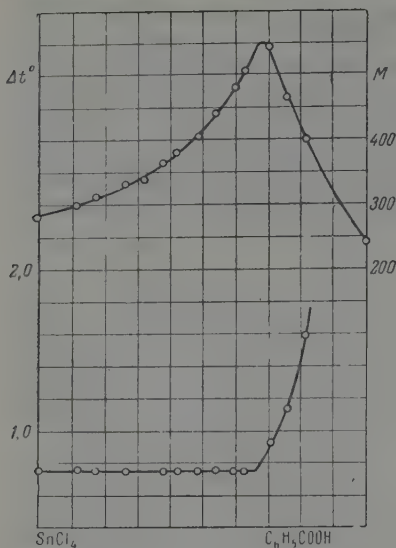


Рис. 6. Зависимость депрессии и молекулярного веса от состава системы $\text{SnCl}_4 - \text{C}_6\text{H}_5\text{COOH}$; криоскопический растворитель — C_6H_6

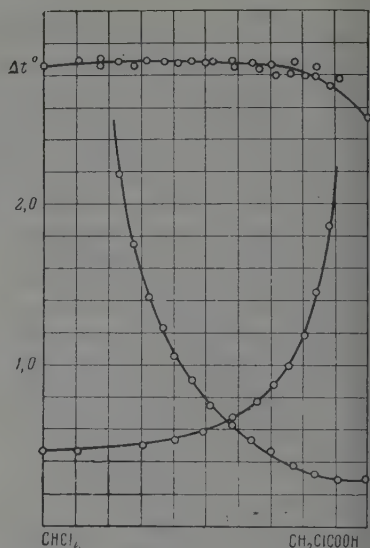


Рис. 7. Зависимость депрессии и молекулярного веса от состава системы $\text{SnCl}_4 - \text{CH}_2\text{ClCOOH}$; криоскопический растворитель — C_6H_6

Выводы

1. Криоскопическим методом исследованы системы $\text{SnCl}_4 - \text{CH}_3\text{COOH}$, $\text{SnCl}_4 - \text{C}_6\text{H}_5\text{COOH}$, $\text{SnCl}_4 - \text{C}_3\text{H}_7\text{COOH}$, $\text{SnCl}_4 - \text{C}_5\text{H}_{11}\text{COOH}$, $\text{SnCl}_4 - \text{C}_{10}\text{H}_{21}\text{COOH}$, $\text{SnCl}_4 - \text{C}_{17}\text{H}_{33}\text{COOH}$ и $\text{SnCl}_4 - \text{CH}_2\text{ClCOOH}$. Установлено, что на диаграммах депрессия — состав и молекулярный вес — состав отражается образование соединений $\text{SnCl}_4 \cdot 2\text{RCOOH}$. Соединения такого состава получены и описаны в литературе для бензойной, уксусной и амноуксусной кислот.

2. Установлено, что молекулярные веса карбоновых кислот (CH_3COOH , $\text{C}_6\text{H}_5\text{COOH}$, CH_2ClCOOH , $\text{C}_3\text{H}_7\text{COOH}$, $\text{C}_5\text{H}_{11}\text{COOH}$ и $\text{C}_{10}\text{H}_{21}\text{COOH}$) в бензоле отвечают димерному строению.

Академия наук КазССР
Институт химии

Поступила
13. III. 1959

ЛИТЕРАТУРА

1. J. D. Stranathan, J. Strong, J. Phys. Chem., **31**, 1420, 1927.
2. М. Усанович, Е. Калабановская, Ж. общ. химии, **17**, 1235, 1948.
3. М. Усанович, Е. Калабановская, Изв. Сектора платины. ИОН АН СССР, вып. 21, 230, 1948.
4. Т. Сумарокова, Ф. Яковлева, Изв. Сектора платины. ИОНХ АН СССР, вып. 25, 85, 1950.
5. Ф. Яковлева, Т. Сумарокова, Изв. АН КазССР, Сер. хим., **6**, 39, 1951.
6. Ф. Яковлева, Т. Сумарокова, Изв. АН КазССР, Сер. хим., **6**, 54, 1951.
7. М. И. Усанович, Н. Шиханова, Изв. Сектора платины. ИОНХ АН СССР, вып. 25, 92, 1950.
8. P. Pfeiffer, Organische Molekülverbindungen, Stuttgart, 1922, стр. 81, 90.
9. Т. Сумарокова, Э. Ярмухамедова, Ж. общ. химии, **26**, 3295, 1951.

CRYOSCOPIC STUDY OF $\text{SnCl}_4 - \text{RCOOH}$ SYSTEMS

T. N. Sumarokova, I. G. Litviak and T. F. Valezhanina (Alma-Ata)

Summary

Systems formed by tin (IV) chloride and carboxylic acids have been investigated by the cryoscopic method. The existence of compounds of the type $\text{SnCl}_4 \cdot 2\text{RCOOH}$ has been established.

О КРИОСКОПИЧЕСКОМ ИССЛЕДОВАНИИ РЕАКЦИЙ
КОМПЛЕКСООБРАЗОВАНИЯ

Т. Н. Сумарокова, Т. В. Медведева и И. Г. Литвяк

Исследованиям взаимодействия пиридина с карбоновыми кислотами посвящено много работ. А. Б. Басков [1] по диаграмме плавкости установил существование соединения бензойной кислоты с пиридином эквимолекулярного состава. Тсакалотос [2] измерил вязкость и плотность системы пиридин — масляная кислота и сделал заключение об образовании соединения $2C_5H_5N \cdot 3C_2H_5COOH$. Изотерма вязкости системы пиридин — уксусная кислота проходит через максимум при 78 мол. % кислоты. В. В. Удольников и Р. П. Айрапетова [3] произвели измерения электропроводности, вязкости и плотности системы пиридин — муравьиная кислота и на основании полученных результатов пришли к выводу о существовании соединения $C_5H_5N \cdot 3HCOOH$. К. Цветкова [4] исследовала плавкость систем $C_5H_5N - CH_2ClCOOH$, $C_5H_5N - CCl_3COOH$ и установила наличие соединений $C_5H_5N \cdot 2CH_2ClCOOH$, $C_5H_5N \cdot 2CCl_3COOH$ и $C_5H_5N \cdot CCl_3COOH$. Е. А. Бектуров и М. П. Усанович [5, 6] исследовали систему $C_5H_5N - CH_2ClCOOH$ во времени методами физико-химического анализа жидкой фазы. Авторы пришли к выводу об образовании соединений $C_5H_5N \cdot CH_2ClCOOH$ и $C_5H_5N \cdot 2CH_2ClCOOH$. Наиболее детально исследованию подвергалась система $C_5H_5N - CH_3COOH$. А. С. Наумова [7] насчитывает 26 работ, посвященных изучению различных свойств системы $C_5H_5N - CH_3COOH$. Из этих работ вытекает возможность существования соединений: $C_5H_5N \cdot CH_3COOH$, $C_5H_5N \cdot 3CH_3COOH$, $C_5H_5N \cdot 4CH_3COOH$, $3C_5H_5N \cdot 2CH_3COOH$, $2C_5H_5N \cdot 3CH_3COOH$. А. С. Наумова на основании измерений электропроводности пришла к выводу о несомненном существовании соединений $C_5H_5N \cdot 4CH_3COOH$ и $2C_5H_5N \cdot 3CH_3COOH$. Суиринген и Росс [8] изучили систему $C_5H_5N - CH_3COOH$ методом термического анализа и заключили об образовании соединений $C_5H_5N \cdot CH_3COOH$ и $C_5H_5N \cdot 4CH_3COOH$. Существование соединения $C_5H_5N \cdot CH_3COOH$ подтверждено работой Пушина и Риковского [9]. Лахшман изучил спектры комбинационного рассеяния смесей пиридина с уксусной [10], масляной и пропионовой [11] кислотами и пришел к заключению о существовании соединений $C_5H_5N \cdot 4RCOOH$. На рентгенограммах растворов пиридина в $HCOOH$, CH_3COOH и C_2H_5COOH отражается взаимодействие компонентов [12]. Гурвиц, Михальник и Погорельская [13] исследовали взаимодействие пиридина с уксусной кислотой в разбавленных бензольных растворах методом определения диэлектрической поляризации. Авторы сделали вывод об образовании соединений: $C_5H_5N \cdot CH_3COOH$, $C_5H_5N \cdot 2CH_3COOH$, $C_5H_5N \cdot 3CH_3COOH$ и $C_5H_5N \cdot 4CH_3COOH$. Мержецкий [14] исследовал интенсивность линий спектров комбинационного рассеяния растворов пиридина в уксусной кислоте. Он обнаружил новую линию при 1003 см^{-1} , интенсивность которой максимальна для смеси эквимолекулярного состава. Л. Собчик и Я. К. Сыркин [15] изучили диэлектрическую поляризацию систем, образуемых пиридином с уксусной, пропионовой, хлоруксусной, бензойной, трихлоруксусной и пикриновой кислотами. Авторы сделали заключение, что в неполярных растворителях (бензоле) не происходит электростатической диссоциации комплексов соединений и что они образуются лишь за счет водородной связи. И. А. Шека [16, 17], разработавший метод физико-химического анализа, основанный на измерении диэлектрических свойств, пришел к выводу, что в относительно разбавленных растворах бензола (0,1—1 моль/л) образуется эквимолекулярное соединение, в концентрированных же растворах существует соединение $C_5H_5N \cdot 2CH_3COOH$. Венкатесан и Сурьянараян [18] произвели измерения электропроводности, вязкости, удельного объема и показателя преломления системы $C_5H_5N - CH_3COOH$ и установили, что максимальные значения свойств приходятся на 83 мол. % кислоты.

Таким образом, из литературных данных с несомненностью вытекает существование соединений $C_5H_5N \cdot CH_3COOH$ и $C_5H_5N \cdot 2CH_3COOH$. В то же самое время некоторые исследователи пришли к выводу о существовании соединений, более богатых содержанием карбоновой кислоты.

Желая разобраться в этих противоречиях и установить истинную картину, мы решили подвергнуть криоскопическому исследованию систему

$C_5H_5N - CH_3COOH$. Кроме того, мы решили таким же способом изучить взаимодействие в системе $C_5H_5N - RCOOH - SnCl_4$, рассчитывая получить дополнительные сведения о поведении двойных систем $C_5H_5N - RCOOH$, а также синтезировать новые комплексные соединения хлорного олова.

В настоящей работе приводятся результаты криоскопического исследования системы $C_5H_5N - CH_3COOH$ и $C_5H_5N - CH_3COOH - SnCl_4$ произведенное в бензоле, и системы $C_5H_5N - CH_2ClCOOH - SnCl_4$ в уксусной кислоте.

Экспериментальная часть

Бензол, уксусная и монохлоруксусная кислоты, а также хлорное олово готовились согласно [19]. Пиридин марки «ч» подвергался перегонке и сушке над КОН, после чего трижды перегонялся. Фракция, кипящая при $112,2^\circ$ и давлении 698 мм, собиралась и запаивалась в ампулы.

Экспериментальная работа состояла в криоскопическом исследовании, проводимом по методике, описанной в других работах [20—23], синтезе соединений и их анализе.

Система $C_5H_5N - CH_3COOH - SnCl_4$ (криоскопический растворитель — бензол).

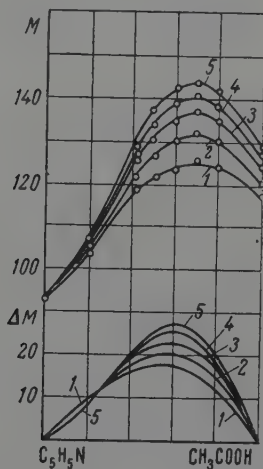


Рис. 1

1. Рис. 1 Зависимость молекулярного веса от состава системы $C_5H_5N - CH_3COOH$; 1 — изоконцентра — 0,025 моль/1000 г; 2—0,050; 3—0,075; 4—1,00; 5—1,25; криоскопический растворитель — C_6H_6

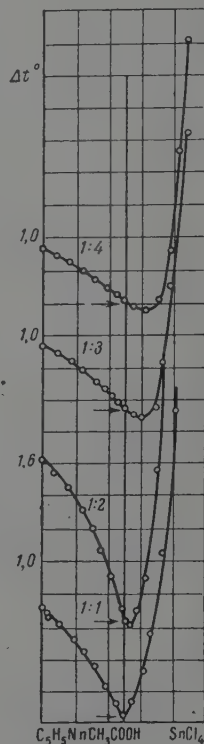


Рис. 2

2. Рис. 2. Зависимость депрессии от состава системы $C_5H_5N - CH_3COOH - SnCl_4$; криоскопический растворитель — C_6H_6

тель — бензол). Результаты криоскопического исследования двойной системы $C_5H_5N - CH_3COOH$ представлены в виде диаграммы молекулярный вес — состав (рис. 1). Из рассмотрения рисунка видно, что кривые зависимости молекулярного веса (изоконцентраты) вогнуты к оси состава, что указывает на взаимодействие компонентов. Ма

мимальное отклонение величины молекулярного веса от аддитивной (изоконцентраата I) приходится на эквимолекулярный состав, т. е. отражает образование соединения $C_5H_5N \cdot CH_3COOH$. При переходе от изоконцентраты I к изоконцентрате 5 наблюдается сдвиг максимума в сторону CH_3COOH . Это связано, по-видимому, с существованием в более концентрированных растворах также и соединения $C_5H_5N \cdot 2CH_3COOH$. В связи с тем, что в литературе содержатся указания на образование в системе $C_5H_5N - CH_3COOH$ соединений различного состава, мы решили подвергнуть криоскопическому титрованию соответствующие смеси пиридина с уксусной кислотой (1 моль C_5H_5N на 1, 2, 3 и 4 моля CH_3COOH) чистым оловом. Результаты криоскопических измерений представлены на рис. 2. Из рисунка видно, что по мере прибавления хлорного олова к раствору пиридина и уксусной кислоты (смесь состава 1 : 1) в бензоле наблюдается падение депрессии почти до нуля, после чего депрессия резко возрастает. Падение депрессии объясняется тем, что хлорное олово уходит из раствора пиридин и уксусную кислоту в виде плохо растворимого комплексного соединения $SnCl_4 \cdot CH_3COOH \cdot C_5H_5N$. Об образовании комплексного соединения такого состава свидетельствует сингулярная точка на кривой зависимости депрессии от состава, соответствующая минимальной величине депрессии $0,060^\circ$ и приходящаяся на эквимолекулярное отношение компонентов.

На кривых криоскопического титрования смесей 1 : 2, 1 : 3 и 1 : 4 сингулярная точка при 50 мол. % исчезает, но появляется минимум. При переходе от смеси 1 : 2 к смеси 1 : 4 наблюдается уплощение минимума и сдвиг его в сторону хлорного олова.

Во всех случаях при криоскопическом титровании смесей пиридина с уксусной кислотой (в отношении 1 : 1, 1 : 2, 1 : 3, 1 : 4) хлорным оловом не место образование осадков. Для установления состава этих осадков мы произвели синтез соединений в тех же условиях, т. е. к бензольным растворам смесей пиридина с уксусной кислотой (стехиометрические отношения 1 : 1, 1 : 2, 1 : 3 и 1 : 4) по каплям на холоду добавляли рассчитанное количество хлорного олова. Выпавшие при этом осадки отделялись маточного раствора, промывались бензолом, высушивались в вакуум-аппарате над P_2O_5 и затем анализировались на содержание в них олова и хлора.

Приводим результаты анализов этих осадков.

Смесь состава: $SnCl_4 : C_5H_5N : CH_3COOH - 1 : 1 : 1$.

Найдено %: Sn — 29,98; 30,08; 29,89; 30,28;

Cl — 35,25; 35,37; 35,32; 35,51.

Смесь состава: 1 : 1 : 2.

Найдено %: Sn — 29,95; 30,05; 29,88; 30,04; 29,82; 29,94;

Cl — 35,30; 35,05; 35,98.

Смесь состава: 1 : 1 : 3

Найдено %: Sn — 30,22; 29,70; 29,90;

Cl — 35,77; 35,87; 35,64; 35,70.

Смесь состава: 1 : 1 : 4.

Найдено %: Sn — 29,68; 29,93; 29,90;

Cl — 35,42; 35,57; 35,75; 35,50.

$SnCl_4 \cdot CH_3COOH \cdot C_5H_5N$. Вычислено %: Sn — 29,94; Cl — 35,48.

Результаты анализа показывают, что во всех случаях при действии хлорного олова на смеси пиридина и уксусной кислоты различного состава в осадок выпадает одно и то же вещество, представляющее собою комплексное соединение $SnCl_4 \cdot CH_3COOH \cdot C_5H_5N$. Это соединение плохо растворяется в органических растворителях, плавится при 128° , при более сильном нагревании разлагается с выделением CH_3COOH .

Результаты криоскопического исследования системы $\text{SnCl}_4 - \text{C}_5\text{H}_5\text{N} \cdot \text{CH}_3\text{COOH}$ (рис. 2) могут найти себе объяснение в подсчете числа частиц до реакции (в исходных растворах) и после реакции (в точке эквивалентности). При подсчете числа частиц мы исходили из следующих фактов: 1) образования соединения $\text{SnCl}_4 \cdot \text{CH}_3\text{COOH} \cdot \text{C}_5\text{H}_5\text{N}$ во всех случаях и выпадения его в осадок, 2) существования только димерных молекул уксусной кислоты в разбавленных бензольных растворах [19] и 3) отсутствия электролитической диссоциации соединений пиридина с уксусной кислотой в бензоле, т. е. существования молекулярных соединений пиридина с уксусной кислотой [15], подтверждаемого нашими криоскопическими измерениями молекулярных весов.

Ниже мы приводим уравнения реакций, записанные в предположении существования различных соединений пиридина с уксусной кислотой (1 : 1, 1 : 2, 1 : 3 и 1 : 4) и соответствующие этим реакциям отношения депрессии в точке эквивалентности к первоначальной депрессии:

1. а) $\text{C}_5\text{H}_5\text{N} \cdot \text{CH}_3\text{COOH} + \text{SnCl}_4 \rightarrow \text{SnCl}_4 \cdot \text{CH}_3\text{COOH} \cdot \text{C}_5\text{H}_5\text{N} \rightarrow \text{осадок}, \Delta t_{\text{э}} = 0,06^\circ$.
2. а) $\text{C}_5\text{H}_5\text{N} \cdot 2\text{CH}_3\text{COOH} + \text{SnCl}_4 \rightarrow \text{SnCl}_4 \cdot \text{CH}_3\text{COOH} \cdot \text{C}_5\text{H}_5\text{N} + \frac{1}{2} (\text{CH}_3\text{COOH})_2$,
 $\Delta t_{\text{э}} = \frac{1}{2} \Delta t_{\text{н}}$.
- б) $\text{C}_5\text{H}_5\text{N} \cdot \text{CH}_3\text{COOH} + \frac{1}{2} (\text{CH}_3\text{COOH})_2 + \text{SnCl}_4 \rightarrow \text{SnCl}_4 \cdot \text{CH}_3\text{COOH} \cdot \text{C}_5\text{H}_5\text{N} + \frac{1}{2} (\text{CH}_3\text{COOH})_2, \Delta t_{\text{э}} = \frac{1}{3} \Delta t_{\text{н}}$.
3. а) $\text{C}_5\text{H}_5\text{N} \cdot 3\text{CH}_3\text{COOH} + \text{SnCl}_4 \rightarrow \text{SnCl}_4 \cdot \text{CH}_3\text{COOH} \cdot \text{C}_5\text{H}_5\text{N} + (\text{CH}_3\text{COOH})_2, \Delta t_{\text{э}} = \text{const}$.
- б) $\text{C}_5\text{H}_5\text{N} \cdot 2\text{CH}_3\text{COOH} + \frac{1}{2} (\text{CH}_3\text{COOH})_2 + \text{SnCl}_4 \rightarrow \text{SnCl}_4 \cdot \text{CH}_3\text{COOH} \cdot \text{C}_5\text{H}_5\text{N} + (\text{CH}_3\text{COOH})_2, \Delta t_{\text{э}} = \frac{2}{3} \Delta t_{\text{н}}$.
- в) $\text{C}_5\text{H}_5\text{N} \cdot \text{CH}_3\text{COOH} + (\text{CH}_3\text{COOH})_2 + \text{SnCl}_4 \rightarrow \text{SnCl}_4 \cdot \text{CH}_3\text{COOH} \cdot \text{C}_5\text{H}_5\text{N} + (\text{CH}_3\text{COOH})_2, \Delta t_{\text{э}} = \frac{1}{2} \Delta t_{\text{н}}$.
4. а) $\text{C}_5\text{H}_5\text{N} \cdot 4\text{CH}_3\text{COOH} + \text{SnCl}_4 \rightarrow \text{SnCl}_4 \cdot \text{CH}_3\text{COOH} \cdot \text{C}_5\text{H}_5\text{N} + \frac{3}{2} (\text{CH}_3\text{COOH})_2$,
 $\Delta t_{\text{э}} = \frac{3}{2} \Delta t_{\text{н}}$.
- б) $\text{C}_5\text{H}_5\text{N} \cdot 3\text{CH}_3\text{COOH} + \frac{1}{2} (\text{CH}_3\text{COOH})_2 + \text{SnCl}_4 \rightarrow \text{SnCl}_4 \cdot \text{CH}_3\text{COOH} \cdot \text{C}_5\text{H}_5\text{N} + \frac{3}{2} (\text{CH}_3\text{COOH})_2, \Delta t_{\text{э}} = \text{const}$.
- в) $\text{C}_5\text{H}_5\text{N} \cdot 2\text{CH}_3\text{COOH} + (\text{CH}_3\text{COOH})_2 + \text{SnCl}_4 \rightarrow \text{SnCl}_4 \cdot \text{CH}_3\text{COOH} \cdot \text{C}_5\text{H}_5\text{N} + \frac{3}{2} (\text{CH}_3\text{COOH})_2, \Delta t_{\text{э}} = \frac{3}{4} \Delta t_{\text{н}}$.
- г) $\text{C}_5\text{H}_5\text{N} \cdot \text{CH}_3\text{COOH} + \frac{3}{2} (\text{CH}_3\text{COOH})_2 + \text{SnCl}_4 \rightarrow \text{SnCl}_4 \cdot \text{CH}_3\text{COOH} \cdot \text{C}_5\text{H}_5\text{N} + \frac{3}{2} (\text{CH}_3\text{COOH})_2, \Delta t_{\text{э}} = \frac{3}{5} \Delta t_{\text{н}}$.

Из рассмотрения уравнений реакций 1—4 видно, что депрессия в точке, отвечающей эквимолекулярному отношению, должна составлять строго определенную долю первоначальной депрессии, зависящую от состава соединения пиридина с уксусной кислотой.

1. При криоскопическом титровании смеси $\text{C}_5\text{H}_5\text{N} \cdot 2\text{CH}_3\text{COOH}$ хлоридом олова депрессия должна быть равна $\frac{1}{2}$ первоначальной (уравнение 2) в предположении о существовании соединения $\text{C}_5\text{H}_5\text{N} \cdot 2\text{CH}_3\text{COOH}$ и первоначальной, в предположении о существовании в растворе соединения $\text{C}_5\text{H}_5\text{N} \cdot \text{CH}_3\text{COOH}$ (уравнение 2б). Опыт показывает, что в точке эквивалентности депрессия (за вычетом депрессии, создаваемой растворимостью соединения $\text{SnCl}_4 \cdot \text{CH}_3\text{COOH} \cdot \text{C}_5\text{H}_5\text{N}$ и равной $0,06^\circ$) близка к $\frac{1}{3}$ первоначальной:

$$\Delta t_{\text{выч}} = 1,635^\circ \cdot \frac{1}{3} = 0,545^\circ; \quad \Delta t_{\text{эксп}} = 0,655^\circ - 0,06^\circ = 0,595^\circ.$$

Отсюда вытекает, что экспериментально найденная величина депрессии совпадает с рассчитанной в предположении о существовании эквимолекулярного соединения пиридина с уксусной кислотой. В то же самое время эти данные показывают, что в растворе не существует соединения $\text{C}_5\text{H}_5\text{N} \cdot 2\text{CH}_3\text{COOH}$, так как в этом случае депрессия должна равняться $\frac{1}{2}$ первоначальной.

2. При криоскопическом титровании смеси $C_5H_5N:3CH_3COOH$ хлоридом оловом депрессия должна оставаться постоянной, в предположении о существовании соединения $C_5H_5N \cdot 3CH_3COOH$ (уравнение 3а), равняться $2/3$ первоначальной, в предположении о существовании соединения $C_5H_5N \cdot 2CH_3COOH$ (уравнение 3б), и, наконец, равна $1/2$ первоначальной, в предположении о существовании соединения $C_5H_5N \cdot CH_3COOH$ (уравнение 3в). Опыт показывает, что в точке, отвечающей эквивалентному соотношению компонентов, депрессия равна $1/2$ первоначальной:

$$\Delta t_{\text{выч}} = 1,070^\circ \cdot 1/2 = 0,535^\circ;$$

$$\Delta t_{\text{эмп}} = 0,590^\circ - 0,06^\circ = 0,530^\circ.$$

Следовательно, и в этом случае в бензольном растворе существует соеди-

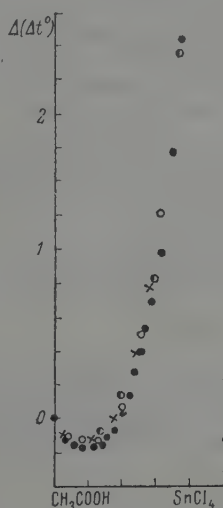


Рис. 3

3. Рис. 3. Зависимость депрессии от состава системы $CH_3COOH — SnCl_4$; криоскопический растворитель — C_6H_6

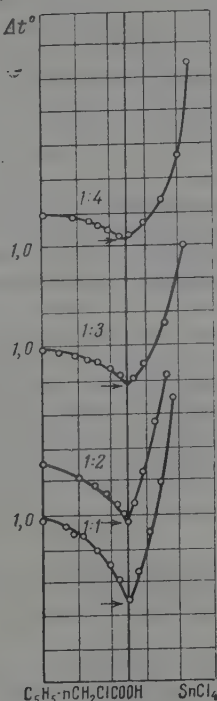


Рис. 4

Рис. 4. Зависимость депрессии от состава системы $C_5H_5N — CH_2ClCOOH — SnCl_4$; криоскопический растворитель — C_6H_6

ение пиридина с уксусной кислотой 1 : 1 и не существуют соединения 2 : 2 и 1 : 3.

3. При криоскопическом титровании смеси $C_5H_5N : 4CH_3COOH$ хлоридом оловом депрессия должна равняться $3/2$ первоначальной, в предположении о существовании соединения $C_5H_5N \cdot 4CH_3COOH$ (уравнение 4а), оставаться постоянной, в предположении о существовании соединения $C_5H_5N \cdot 3CH_3COOH$ (уравнение 4б), равняться $3/4$ первоначальной, в предположении о существовании соединения $C_5H_5N \cdot 2CH_3COOH$ (уравнение 4в) и, наконец, равняться $3/5$ первоначальной, в предположении о существовании соединения пиридина с уксусной кислотой $C_5H_5N \cdot CH_3COOH$ (уравнение 4г). Опыт показывает, что в точке, отвечающей эквимольному отношению компонентов в системе $C_5H_5N — CH_3COOH — SnCl_4$)

депрессия равна $3/5$ первоначальной:

$$\Delta t_{\text{выт}} = 0,940^\circ \cdot \frac{3}{5} = 0,564^\circ;$$

$$\Delta t_{\text{нсп}} = 0,600^\circ - 0,06^\circ = 0,540^\circ.$$

Мы видим, что и в данном случае в растворе существует соединение эквимолекулярного состава и не существуют соединения $1:2$, $1:3$ и $1:4$.

Наличие минимума депрессии на кривых 2, 3 и 4 (рис. 2) и его постепенный сдвиг в сторону хлорного олова при переходе от смеси $1:2$ к смеси $1:4$ происходит вследствие связывания избыточной, не вошедшей в реакцию уксусной кислоты хлорным оловом. Кривая криоскопического титрования уксусной кислоты хлорным оловом проходит через размытый минимум при 20 мол. % хлорного олова [19]. В связи с этим мы пересчитали состав (для смесей $C_5H_5N:2CH_3COOH-SnCl_4$; $C_5H_5N:3CH_3COOH-SnCl_4$; $C_5H_5N:4CH_3COOH-SnCl_4$) в области концентраций 50—100 мол. % хлорного олова на двойную систему $CH_3COOH-SnCl_4$ и вычислили изменение депрессии для всех случаев. Эти результаты мы сопоставили с изменением депрессии в двойной системе $CH_3COOH-SnCl_4$ (рис. 3). На этом рисунке видно, что точки, относящиеся к смесям $1:2$, $1:3$ и $1:4$, повторяют ход депрессии системы $CH_3COOH-SnCl_4$.

Такое совпадение зависимости депрессии от концентрации подтверждает наше толкование постепенного сдвига минимума депрессии в сторону хлорного олова при переходе от смеси $1:2$ к смеси $1:4$.

Все полученные нами данные показывают, что в растворе уксусной кислоты и пиридина в бензоле существует только одно соединение, отвечающее эквимолекулярному составу. Соединения $1:2$, $1:3$ и $1:4$ существуют в разбавленных бензольных растворах.

Таким образом, на примере криоскопического титрования смесей пиридина с уксусной кислотой хлорным оловом показано новое применение этого метода.

Система $C_5H_5N-CH_2ClCOOH-SnCl_4$ (криоскопический растворитель — уксусная кислота). Взаимодействие в системе $C_5H_5N-CH_2ClCOOH-SnCl_4$ изучалось путем криоскопического титрования смесей пиридина с монохлоруксусной кислотой (в отношении $1:1$, $1:2$, $1:3$ и $1:4$) хлорным оловом и анализа образующихся при этом осадков.

Приводим результаты анализа осадков.

Смесь состава: $SnCl_4:C_5H_5N:CH_2ClCOOH-1:1:2$.

Найдено %: Sn — 24,96; 24,39; 24,83; 24,66; 24,44; 24,19; Cl — 43,14.

Смесь состава: $-1:1:3$.

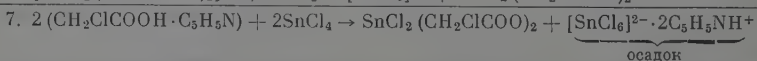
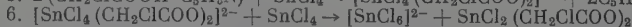
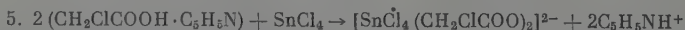
Найдено %: Sn — 24,23; 24,56; 24,31; 24,34; 24,26; Cl — 42,93.

Смесь состава: $-1:1:4$.

Найдено %: Sn — 24,38; 24,89; 24,61; 24,02; 24,14; 24,29; Cl — 42,68.

$[SnCl_6] \cdot (C_5H_5NH)_2$. Вычислено %: Sn — 24,14; Cl — 43,26.

Анализ осадков показывает, что во всех случаях при смешении хлорного олова со смесями пиридина с монохлоруксусной кислотой образовалось одно и то же соединение, отвечающее формуле $[SnCl_6]^{2-} \cdot (C_5H_5NH)^+$. Образование такого соединения может быть объяснено сольволизом протекающим по уравнениям:



Криоскопическое титрование смесей пиридина с монохлоруксусной кислотой (в отношении $1:1$, $1:2$, $1:3$ и $1:4$) хлорным оловом в уксусной кислоте представлено на рис. 4. Из рисунка видно, что по мере приба-

ния все возрастающих количеств хлорного олова к раствору смеси пиридина с монохлоруксусной кислотой 1 : 1 в уксусной кислоте депрессия резко падает до 50 мол. %, после чего сильно возрастает. Аналогичный ход депрессии наблюдается и при криоскопическом титровании смесей пиридина с монохлоруксусной кислотой, находящихся в отношении 1 : 2, 1 : 3 и 1 : 4. Сопоставление кривых зависимости депрессии от состава показывает, что по мере увеличения содержания монохлоруксусной кислоты в смесях с пиридином относительное падение депрессии до точки эквивалентности уменьшается.

Ход кривых зависимости депрессии от состава и положение сингулярной точки на диаграммах также объясняется наличием сольволиза. Действительно, при рассмотрении уравнений реакций 5, 6 и 7 видно, что хлорное олово вступает во взаимодействие с $C_5H_5N \cdot CH_2ClCOOH$ в эквимолекулярном отношении, т. е. положение сингулярной точки должно приходиться на 50 мол. %. Депрессия в точке эквивалентности должна отвечать $1/2$ первоначальной, так как число частиц уменьшается вдвое при выпадении соединения $[SnCl_6]^{2-} (C_5H_5NH)_2^+$ в осадок.

Именно такую картину мы и имеем в действительности. При криоскопическом титровании $C_5H_5N : CH_2ClCOOH$ хлорным оловом в точке эквивалентности, приходющейся на 50 мол. %, депрессия равна $0,500^\circ$, первоначальная депрессия отвечает величине $0,960^\circ$. Воспользовавшись приемом, описанным при рассмотрении системы хлорное олово — пиридин — уксусная кислота, мы рассчитали величины депрессии в точке эквивалентности для смесей пиридина с монохлоруксусной кислотой в отношении 1 : 2, 1 : 3 и 1 : 4, в предположении о существовании различных соединений.

Расчет депрессии в точке эквивалентности, в предположении о существовании только одного соединения $C_5H_5N \cdot CH_2ClCOOH$ и выпадения в осадок соединения $[SnCl_6]^{2-} (C_5H_5NH)_2^+$ дан в таблице*.

Эти данные свидетельствуют о правильности наших соображений о наличии сольволиза и об отсутствии в растворе соединений пиридина с монохлоруксусной кислотой состава 1 : 2, 1 : 3 и 1 : 4. Расчет также показывает, что если принять существование этих соединений, то депрессия должна возрастать по мере прибавления хлорного олова к смесям пиридина с монохлоруксусной кислотой. В действительности же имеет место падение депрессии, которое возможно лишь при условии существования в растворе только эквимолекулярного соединения $C_5H_5N \cdot CH_2ClCOOH$.

Обсуждение результатов

Мы изучили криоскопическим методом двойную систему $C_5H_5N - CH_3COOH$ и тройную систему $C_5H_5N - CH_3COOH - SnCl_4$ в криоскопическом растворителе — бензоле.

При этом мы установили, что при действии хлорного олова на смесь пиридина с уксусной кислотой (в бензоле) образуется соединение $SnCl_4 \cdot CH_3COOH \cdot C_5H_5N$, принадлежащее к новому типу комплексных соединений $SnCl_4$.

Строение этого соединения можно себе представить двояким способом. $SnCl_4 \cdot CH_3COOH \cdot C_5H_5N$ может представлять собою смешанное комплексное соединение хлорного олова, в котором во внутренней сфере присоединены уксусная кислота и пиридин. В этом случае координационное

* Молекулярный вес $CH_2ClCOOH$ в уксусной кислоте отвечает мономеру.

число Sn^{4+} равно 6 и соединение $\text{SnCl}_4 \cdot \text{CH}_3\text{COOH} \cdot \text{C}_5\text{H}_5\text{N}$ является основной комплексной кислотой, способной присоединять во внешней сфере одну молекулу основания.

2. $\text{SnCl}_4 \cdot \text{CH}_3\text{COOH} \cdot \text{C}_5\text{H}_5\text{N}$ является электролитом $[\text{SnCl}_4 \cdot \text{CH}_3\text{COOH} \cdot \text{C}_5\text{H}_5\text{NH}^+]$. В этом случае координационное число Sn^{4+} равно 5.

Не располагая в настоящее время другими данными, характеризующими строение этого соединения, мы не можем дать предпочтение той или иной предположению.

Криоскопическое исследование системы $\text{C}_5\text{H}_5\text{N} - \text{CH}_3\text{COOH} - \text{SnCl}_4$ произведенное в бензоле, показало, что из большого набора соединений пиридина с уксусной кислотой, описанных в литературе, в разбавленных бензольных растворах существует только одно соединение эквимолекулярного состава $\text{C}_5\text{H}_5\text{N} \cdot \text{CH}_3\text{COOH}$. Наши данные хорошо согласуются с данными И. А. Шеки [16, 17], пришедшему к такому же выводу на основании изучения диэлектрических свойств системы $\text{C}_5\text{H}_5\text{N} - \text{CH}_3\text{COOH}$.

На примере системы $\text{C}_5\text{H}_5\text{N} - \text{CH}_3\text{COOH} - \text{SnCl}_4$ продемонстрирован новый криоскопический метод установления состава соединений двойной системы А — В действием на нее третьего вещества (С), способного к образованию соединений с компонентами А и В.

Воспользовавшись этим методом, мы подвергли криоскопическому исследованию систему $\text{C}_5\text{H}_5\text{N} - \text{CH}_2\text{ClCOOH} - \text{SnCl}_4$ в криоскопическом растворителе — уксусной кислоте.

Криоскопическое исследование этой системы показало, что таким методом можно устанавливать состав соединений в двойной системе даже в присутствии более сложных процессов (сольволиз).

Таким образом, приведенные нами данные наглядно иллюстрируют большие возможности криоскопического метода исследования реакций комплексобразования.

Выводы

1. Изучено взаимодействие в системе $\text{C}_5\text{H}_5\text{N} - \text{CH}_3\text{COOH} - \text{SnCl}_4$. Установлено существование соединения $\text{SnCl}_4 \cdot \text{CH}_3\text{COOH} \cdot \text{C}_5\text{H}_5\text{N}$. Это соединение плохо растворяется в органических растворителях, плавится при 128° .

2. Криоскопическим методом изучены системы $\text{C}_5\text{H}_5\text{N} - \text{CH}_3\text{COOH}$ и $\text{C}_5\text{H}_5\text{N} - \text{CH}_2\text{ClCOOH} - \text{SnCl}_4$ (в бензоле) и система $\text{C}_5\text{H}_5\text{N} - \text{CH}_2\text{ClCOOH} - \text{SnCl}_4$ (в уксусной кислоте). Подтверждено существование соединения $\text{SnCl}_4 \cdot \text{CH}_3\text{COOH} \cdot \text{C}_5\text{H}_5\text{N}$ и показано, что в системе $\text{C}_5\text{H}_5\text{N} - \text{CH}_2\text{ClCOOH} - \text{SnCl}_4$ имеет место сольволиз.

3. Предложен метод установления состава соединений в двойной системе А — В действием на нее третьего вещества (С), способного взаимодействовать с компонентами А и В (или одним из них). Метод построен на криоскопических измерениях.

Академия наук КазССР
Институт химии

Поступила
13. III. 1959

ЛИТЕРАТУРА

1. А. В. Басков, ЖРФ-ХО, 47, 1533, 1915.
2. D. E. Tsakalotos, Bull. Soc. chim. (4), 3, 234, 1908.
3. В. В. Удовенко, Р. П. Айрапетова, Ж. общ. химии, 17, 425, 1947.
4. Н. К. Цветкова, Автореферат кандидатской диссертации, Ростов, 1953.
5. Е. А. Бектуров, М. И. Усанович, Вестн. АН КазССР, 8, 83, 1957.
6. Е. А. Бектуров, Кандидатская диссертация, Алма-Ата, 1957.
7. А. С. Наумова, Ж. общ. химии, 19, 1922, 1949.
8. L. Swearingen, R. Ross, J. Phys. Chem., 38, 1085, 1934.
9. N. A. Puštin, J. J. Rikovsky, Z. phys. Chem., 161, 336, 1936.
10. R. R. Lakshmanan, J. Indian Inst. Sci., A 36, 97, 1954.
11. R. R. Lakshmanan, J. Indian Inst. Sci., A 36, 218, 1954.

- R. R. Lakshmanan, Proc. Indian Acad. Sci., A 43, 152, 1956.
J. Hurwic, J. Michalczyk, K. Pogorzelska, Roczn. chem., 31, 265, 1957.
R. Mierzecki, Current Sci., 25, 200, 1956.
L. Sobczyk, J. K. Syrkín, Roczn. chem., 30, 200, 1956.
И. А. Шека, Ж. общ. химии, 27, 848, 1957.
И. А. Шека, Автореферат докторской диссертации, Киев, 1952.
W. K. Venkatesan, C. V. Suryanarayana, J. Phys. Chem., 60, 77, 1956.
Т. Сумарокова, И. Литвяки Т. Валежанина, Ж. физ. химии, 34, 2723, 1960.
В. В. Удовенко, Ж. общ. химии, 11, 276, 1941.
Я. А. Фиалков, И. Д. Музыка, Изв. Сектора физ.-хим. анализа. ИОНХ АН СССР, 19, 314, 1949.
М. Усанович, Т. Н. Сумарокова, Ю. Невская, Докл. АН СССР, 98, 617, 1954.
Т. Н. Сумарокова, И. Г. Арсенов, Ж. физ. химии, 32, 1153, 1958.

ON THE CRYOSCOPIC METHOD OF INVESTIGATING COMPLEXATION REACTIONS

T. N. Sumarokova, T. V. Medveleva and I. G. Litvak (Alma-Ata)

S u m m a r y

Using the systems $\text{SnCl}_4 - \text{CH}_3\text{COOH} - \text{C}_5\text{H}_5\text{N}$ in benzene and $\text{SnCl}_4 - \text{CH}_2\text{COOH} - \text{C}_5\text{H}_5\text{N}$ in acetic acid as examples it has been shown that the cryoscopic method of physicochemical analysis may find wide application in studies of complexation reactions. A method has been proposed for determining the composition of compounds in the binary system $A - B$ by the action upon the latter of a third substance C capable of reacting with one or both of the components A and B .

ИНГИБИРУЮЩИЙ ЭФФЕКТ И СТРОЕНИЕ ИНГИБИТОРОВ

IV. ИНГИБИРОВАННАЯ ПОЛИМЕРИЗАЦИЯ АКРИЛОНИТРИЛА

З. А. Силицына и Х. С. Багдасарян

В предыдущих работах этой серии [1, 2] методом ингибирования полимеризации исследована реакционная способность различных ароматических соединений по отношению к полиметилакрилатному и поливинилацетатному радикалам. В настоящей работе аналогичное исследование проведено для полиакрилонитрильного радикала.

Экспериментальная часть

Метод исследования ингибированной полимеризации заключался в измерении начальной скорости полимеризации акрилонитрила в растворе диметилформамида (концентрация акрилонитрила 3,05 моль/л) в присутствии различных ингибиторов и в определении средней длины образующихся полимерных цепей вискозным методом. Скорость полимеризации определялась дилатометрическим методом при глубине полимеризации, меньшей 6%. В этих условиях полимеризация протекала гомогенно. Все опыты проводились при 50° в отсутствие воздуха в вакуумных условиях. Инициатором служил динитрил азоизомасляной кислоты. Методика заполнения дилатометра и дозировки инициатора и ингибитора описана нами ранее [3].

Таблица 1

Полимеризация акрилонитрила в диметилформамиде (концентрация мономера 3,05 моль/л) при 50°; инициатор — динитрил азоизомасляной кислоты

c , моль/л·10 ³	V , моль/л·сек·10 ⁴	$[\eta]$, дл/г	$\frac{V}{V_c} \cdot 10^4$
32,0	2,50	0,36	4,35
30,0	2,42	0,38	4,43
16,6	1,75	0,43	4,31
7,50	1,20	0,56	4,45
1,875	0,605	0,74	4,42
0,275	0,226	0,83	4,40

Образовавшийся полимер осаждался из раствора добавлением смеси эфира и гептана в равных объемах. Измерение вязкости проводилось при 25° в растворе диметилформамида для различных концентраций полимера. Характеристическая вязкость определялась линейной экстраполяцией величины $\eta_{уд}/C$ к нулевой концентрации полимера. Средняя длина полимерных цепей P вычислялась по формуле [4]:

$$[\eta] = 3,92 \cdot 10^{-4} (53,0P)^{0,75} \text{ дл/г.}$$

Уравнение (1) действительно для нефракционированных полимеров при образовании полимерных молекул путем диспропорционирования.

Акрилонитрил промывался 0,5%-ным раствором NaOH, затем водородом нейтральной реакции, сушился хлористым кальцием и разгонялся на колонке, т. кип. 78°. Диметилформамид сушился хлористым кальцием и разгонялся на колонке, т. кип. 153°.

В табл. 1 собраны результаты опытов по полимеризации акрилонитрила.

Как видно из табл. 1, отношение скорости полимеризации V к квадратному корню из концентрации инициатора с представляет постоянную величину.

На рис. 1 нанесен график зависимости $\lg [\eta]$ от M^2/V (M — концентрация мономера). В области достаточно малых значений M^2/V , где можно пренебречь реакцией передачи цепи, указанная зависимость должна быть линейной с наклоном, равным показателю степени в уравнении (1) [6]. Представленная на рис. 1 зависимость отклоняется от прямолинейной,

очевидно, является результатом наложения на квадратичный закон образования полимерных молекул реакции передачи цепи через молекулы мономера или диметилформамида. На рис. 2 нанесена зависимость $1/P$ от V/M^2 согласно уравнению [6]:

$$= \frac{1}{2} (1 + \lambda) \frac{k_0}{k_p^2} \frac{V}{M^2} + \frac{k_M}{k_p} + \frac{k_S S}{k_p M}, \quad (2)$$

где λ — доля диспропорционирования в бимолекулярном обрыве, k_p — константа скорости роста цепи, k_M и k_S — константы скорости передачи цепи через молекулы мономера и растворителя, M и S — концентрации мономера и растворителя, k_0 — суммарная константа скорости бимолекулярного обрыва.

Если обрыв происходит путем диспропорционирования, то $\lambda = 1$, для вычисления P можно применить уравнение (1). Тогда из наклона прямой находим

$$\frac{k_p}{k_0^{1/2}} = 0,075.$$

Величину $k_p/k_0^{1/2}$ можно найти также из скорости распада динитрила изомаасляной кислоты. Приняв для константы скорости распада $k_{\text{рас}}$ при 50° величину $1,98 \cdot 10^{-6} \text{ сек}^{-1}$ [7], а для эффективности иницирования f величину 0,7, из уравнений:

$$V = \frac{k_p}{k_0^{1/2}} V_{\text{ин}}^{1/2} M \quad (3)$$

$$V_{\text{ин}} = 2k_{\text{рас}} f c \quad (4)$$

и значения $V/c^{1/2}$ (табл. 1) находим

$$\frac{k_p}{k_0^{1/2}} = 0,086.$$

Попытка измерить скорость иницирования при помощи дифенилгидразила оказалась неудачной, так как выяснилось, что дифенилгидразил реагирует с акрилонитрилом как в присутствии воздуха, так и в вакууме с образованием желтого продукта, спектр поглощения которого в области 350—500 мμ практически совпадает со спектром дифенилгидразина.

Опыты по ингибированию полимеризации акрилонитрила проводились при концентрации динитрила азоизомасляной кислоты 0,075 моль/л. Добавление следующих веществ (в скобках указана их концентрация моль/л) не снижает ни скорости полимеризации, ни молекулярного веса полимеров: дифенилпикрилгидразин (0,0005), анилин (0,22), нафталин (0,20), фенантрен (0,10), *м*-динитробензол (0,10), *сим.м.* тринитробензол (0,004).

Сим.м. тринитробензол в присутствии акрилонитрила и диметилформамида образует окрашенное в вишневый цвет соединение, причем окраска

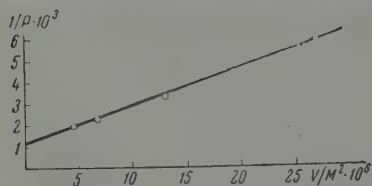


Рис. 2. Зависимость $1/P$ от V/M^2 для полимеризации акрилонитрила в растворе диметилформамида при 50°

раза больше, чем в работе [9]. Это различие, по-видимому, следует приписать различной природе применявшихся растворителей, а не образованию какого-либо молекулярного соединения.

Эффект ингибирования был обнаружен при добавлении в реакционную систему антрацена, хинона и диметиланилина. Все данные, относящиеся к этим опытам, собраны в табл. 2.

Таблица 2

Ингибированная полимеризация акрилонитрила в растворе диметилформамида при 50° . Концентрация мономера 3,05 моль/л, концентрация динитрила азоизомасляной кислоты 0,075 моль/л

Ингибитор	Концентрация ингибитора, $\frac{\text{моль}}{\text{л}} \cdot 10^4$	$V, \frac{\text{моль}}{\text{л} \cdot \text{сек}} \cdot 10^4$	$[\eta], \frac{\text{дл}}{\text{г}}$	P
Без ингибитора	—	120	0,56	302
Антрацен	0,30	43,9	0,39	187
»	0,48	23,0	0,30	132
Хинон	0,50	58,0	0,51	260
»	1,00	28,8	0,35	166
Диметиланилин	48,0*	81,3	0,33	149

* Концентрация мономера 2,87 моль/л.

Обсуждение результатов

Полученное нами значение $k_p/k_0^{1/2}$ при 50° можно сопоставить с величиной 0,051 для 25° , найденной Оньюном [10] при полимеризации акрилонитрила в массе. Следует заметить, что Оньюн нашел значительное отклонение от квадратичного закона для обрыва цепей. В другой работе [11] вычислялось по формуле Клиленда и Стокмайера [12] для фракционированных полимеров. Пересчет для нефракционированных полимеров (обрыв — диспропорционирование) приводит для $k_p/k_0^{1/2}$ к величине 0,086 при 50° .

Рассмотрение данных по ингибированной полимеризации начнем с выделения величины g согласно равенству [13]:

$$g = \frac{FV_0k_0}{BM_0k_p^2} \quad (5)$$

где F и B определяются равенствами:

$$F = \frac{1 - (V/V_0)^2}{V/V_0}, \quad (6)$$

$$B = \left(\frac{1}{P} - \frac{1}{P'} \right)_{V/M^2} \quad (7)$$

V_0 — скорость полимеризации в отсутствие ингибитора при той же скорости иницирования, M_0 — концентрация мономера в отсутствие ингибитора и $(P' — средняя длина полимерных цепей в отсутствие ингибитора при том же значении величины V/M^2).$

В зависимости от того, происходит ли при ингибированной полимеризации образование полимерной молекулы из одного полимерного радикала (механизм $1 \rightarrow 1$) или из двух полимерных радикалов (механизм $2 \rightarrow 1$), величина g не может превосходить 1 или 2, указанные предельные значения достигаются при отсутствии реакции регенерации цепи.

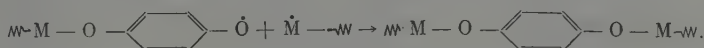
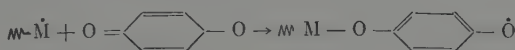
Если $M \approx M_0$, то, используя уравнения (6), (7) и (2), уравнение (5) можно записать в следующем виде:

$$g = \frac{\left(1 + \frac{V_0}{V}\right) \left(\frac{P'}{P_0} - 1\right)}{\left(\frac{P'}{P} - 1\right)}, \quad (8)$$

где P_0 — средняя длина полимерных цепей для неингибированной полимеризации при той же скорости иницирования.

Если при ингибировании полимерные молекулы образуются по механизму $1 \rightarrow 1$, так же как и в отсутствие ингибитора, то P , P' и P_0 можно вычислить по уравнению (1). В этом случае g равно 1,80 для хинона и 1,74 для антрацена, тогда как из теории следует, что $g \leq 1$. Если полимерные молекулы образуются как по механизму $1 \rightarrow 1$, так и по механизму $2 \rightarrow 1$, то в уравнение (1) необходимо ввести множитель, учитывающий оба механизма образования полимерных молекул. Способ вычисления этого множителя будет рассмотрен в другом месте. Здесь мы ограничимся лишь указанием, что согласие с теоретически возможным значением g достигается лишь, если допустить, что как в отсутствие ингибитора, так и в присутствии ингибитора образование полимерных молекул происходит по механизму соединения (механизм $2 \rightarrow 1$).

В соответствии с этим выводом вероятны следующие реакции, например, при ингибировании хиноном:



В случае диметиланилина для g получены значения 0,070 (диспропорционирование) или 0,23 (соединение). Значения g , меньшие единицы, указывают на протекание реакции регенерации цепи.

Величина B , вычисляемая согласно уравнению (7), связана с константами элементарных реакций уравнением:

$$B = \beta \frac{k_X x}{k_p M}, \quad (8)$$

где x — концентрация ингибитора, k_X — константа скорости реакции полимерного радикала с молекулой ингибитора, β — коэффициент, величина которого заключена между 1 и 2 в зависимости от типа вторичных реакций при ингибировании. Если при ингибировании полимерные молекулы образуются по механизму соединения, то $\beta = 1$.

При вычислении B согласно уравнению (7) величина P' находилась по графику рис. 2, а P , вычисленное по уравнению (1) из найденного значения $[\eta]$, умножалось на множитель 1,30, соответствующий переходу от механизма $1 \rightarrow 1$ к механизму $2 \rightarrow 1$.

В табл. 3 приведены значения k_X/k_p и k_X при 50° для ингибированной полимеризации винилацетата (ВА), акрилонитрила (АН), метилметакрилата (ММ) и метилакрилата (МА) по данным настоящей работы и предыдущих работ этой серии, а также работ Кайса [14, 15]. Величины $(k_p)_{50^\circ}$ для ВА (1720) и МА (1000) и $(k_p)_{44^\circ}$ для ММ (400) вычислены по уравнениям для k_p , предложенным одним из авторов [16]. Для АН предложены различные значения k_p , нами принято $(k_p)_{50^\circ} = 1000$.

Таблица 3

Константы k_X/k_p и k_X для некоторых ингибиторов при 50°

	ВА	МА	АН	ММ
Бензохинон				
k_X/k_p	—	0,93* [15]	0,91	5,5* [14]
k_X	—	810	910	2200
Антрацен				
k_X/k_p	21	0,1	2,67	~0 [17]
k_X	36000	100	2670	~0
m-Динитробензол				
k_X/k_p	66	0,031	0	0,05* [14]
k_X	113000	31	0	2

* Температура 44° .

В табл. 3 полимерные радикалы записаны в порядке убывания их «общей» реакционной способности. При отсутствии полярного эффекта константы должны убывать в этом порядке для всех ингибиторов. Полярный эффект вызывает отклонения от этой закономерности. С электроноакцепторной молекулой бензохинона с наибольшей скоростью реагирует полиметилметакрилатный радикал, обладающий наименьшей электроноакцепторной способностью среди исследованных радикалов. Динитробензол не реагирует с полиакрилонитрильным радикалом, что можно связать с сильной электроноакцепторной способностью обеих молекул. Полиакрилонитрильный радикал реагирует с электронодонорной молекулой антрацена с значительно большей скоростью, чем это следует из его положения в ряду «общей» реакционной способности.

Выводы

Величина $k_p/k_0^{1/2}$ для акрилонитрила при 50° , найденная из сопоставления скорости полимеризации со скоростью инициирования, равна 0,0. Исследовано ингибирующее действие девяти ароматических соединений.

а полимеризацию акрилонитрила при 50°. Дифенилпикрилгидразин, анилин, нафталин, фенантрен, *m*-динитробензол и *симм.* тринитробензол не снижают ни скорости полимеризации, ни молекулярного веса полимеров. Эффект ингибирования в этих же условиях обнаружен для антрацена, хинона и диметиланилина. Сопоставление константы k_x для реакций различных полимерных радикалов с бензохиноном, антраценом и *m*-динитробензолом показывает значение полярного фактора для этих радикальных реакций.

Физико-химический институт
им. Л. Я. Карпова
Москва

Поступила
14. III. 1959

ЛИТЕРАТУРА

1. З. А. Синицына, Х. С. Багдасарьян, Ж. физ. химии, **32**, 2663, 1958.
2. З. А. Синицына, Х. С. Багдасарьян, Ж. физ. химии, **34**, 1110, 1960.
3. З. А. Синицына, Х. С. Багдасарьян, Ж. физ. химии, **32**, 1319, 1958.
4. P. Ouyon, J. Polymer Sci., **22**, 13, 1956.
5. Х. С. Багдасарьян, Ж. физ. химии, **21**, 25, 1947.
6. Х. С. Багдасарьян, Ж. физ. химии, **22**, 1181, 1948; Диссертация, Физ.-хим. ин-т им. Л. Я. Карпова, Москва, 1950.
7. J. Van Hook, A. Tobolsky, J. Phys. Chem., **62**, 257, 1958.
8. P. Fielding, R. Le Fèvre, J. Chem. Soc., 2813, 1950.
9. G. Kortum, Z. phys. Chem., **42**, 53, 1939.
10. P. Ouyon, J. Polymer Sci., **22**, 19, 1956.
11. N. Srinivasan, M. Santappa, Makromolek. Chem., **26**, 80, 1958.
12. P. Cleland, W. Stockmayer, J. Polymer Sci., **17**, 473, 1955.
13. Х. С. Багдасарьян, Ж. физ. химии, **32**, 2614, 1958.
14. J. Kice, J. Amer. Chem. Soc., **76**, 6274, 1954.
15. J. Kice, J. Polymer Sci., **19**, 123, 1956.
16. Х. С. Багдасарьян, Теория радикальной полимеризации, Изд-во АН СССР, Москва, 1959.
17. З. А. Синицына, Диссертация, Физ.-хим. ин-т им. Л. Я. Карпова, Москва, 1958.

THE INHIBITING EFFECT AND STRUCTURE OF INHIBITORS

IV. INHIBITED POLYMERIZATION OF ACRYLONITRILE

Z. A. Sinytsyna, Kh. S. Bagdasaryan (Moscow)

Summary

The polymerization kinetics of acrylonitrile in dimethylformamide solution at 50° have been investigated. The value $K_p K_t^{1/2}$ is equal to 0.075. It has been found that diphenylpicrylhydrazine, aniline, naphthalene, phenanthrene, *m*-dinitrobenzene and trinitrobenzene at a concentration $\sim 0.5 \cdot 10^{-2}$ mole/l do not lower the polymerization rate nor the molecular weight of the polymers. A fall in the rate and molecular weights were found for the case of anthracene, quinone and dimethylaniline. Comparison of the K_x constants for the reactions of various polymer radicals with benzoquinone, anthracene and *m*-dinitrobenzene revealed the significance of the polar factor for these radical reactions.

ИССЛЕДОВАНИЕ ЭВТЕКТИЧЕСКОГО ПЛАВЛЕНИЯ СИСТЕМ,
СОСТОЯЩИХ ИЗ ОРГАНИЧЕСКИХ СОЛЕЙ И КИСЛОТ*М. Х. Глузман и В. П. Рубцова*

В процессе изучения температур плавления эвтектик бинарных систем в состав которых входят в качестве одного компонента тугоплавкие, не плавящиеся или разлагающиеся при нагревании органические соли или молекулярные соединения, было сделано наблюдение, что легче всего образуются низкоплавкие эвтектики, когда вторым компонентом является органическая кислота. При смешении в пробирке 2—5 г компонентов наблюдается весьма заметное понижение температуры. Так, например, в системе молочнокислый кальций — хлоруксусная кислота температура понизилась с 29 до 21°C, а в системе левоулиновокислый кальций — хлоруксусная кислота с 21 до 16°C; при этом идет весьма заметное плавление. Это явление можно использовать для идентификации высокоплавких неплавящихся солей путем подбора кислот, дающих с солями эвтектики плавящиеся в удобном для наблюдения интервале температур.

Пользуясь ранее разработанным нами контактным методом определения температур плавления эвтектик [1—4], мы выбрали в качестве тестов ряд кислот, дающих с идентифицируемыми солями эвтектики, плавящиеся в пределах 10—120° (табл. 1). Чистота солей проверялась титрованием навески, порядка 0,04—0,05 г в 20 мл безводной уксусной кислоты 0,1 *N* хлорной кислотой в присутствии индикатора кристаллвиолета. Такой метод титрования солей (№ 1—5, 7, 10—13) ранее разработан Н. А. Измайловым и Н. П. Дзубой [5], остальные соли таким методом анализировались нами впервые. Исключение составляют щавелевокислый аммоний и триоксиглутаровокислый натрий, чистота которых определялась другими способами, так как они плохо растворяются в ледяной уксусной кислоте. Соли, отмеченные № 17—24, представляют собой чистые вещества фармакопейного достоинства. Определение температур плавления эвтектик проводилось с солями, высушенными до постоянного веса и содержащими кристаллизационную воду. Цифры, помещенные под чертой, относятся к кристаллогидратам солей.

В тех случаях, когда эвтектики плавились при температурах ниже комнатной, определение проводилось на специальном столике, описание которого дано в статье одного из нас [6].

Из таблицы видно, что совпадаемость параллельных определений не превышает 1—2°C. Для идентификации солей этим способом можно пользоваться кристаллогидратами, не прибегая к обезвоживанию.

Так как между кислотами и солями возможно химическое взаимодействие, мы поставили задачу выяснить, принадлежат ли наблюдаемые эвтектики бинарным системам взятых для исследования компонентов или возможным продуктам их взаимодействия. Для этой цели рассмотрим, при каких температурах должны плавиться эвтектики исследованных систем при наличии или отсутствии химического взаимодействия.

Обозначим исходные соль и кислоту индексом 1, а полученные в результате взаимодействия новые соль и кислоту — индексом 2. Мыслимы три возможности.

Таблица 1

Идентификация солей и молекулярных соединений методом определения температур плавления эвтектик

Наименование солей	% -ное содержание	Температура плавления эвтектик при контактировании с кислотами				
		миндальная кислота, т. пл. 118°	малеиновая кислота, т. пл. 131°	кротоновая кислота, т. пл. 70°	фенилуксусная кислота, т. пл. 75°	монохлоруксусная кислота, т. пл. 61—62°
Натрий салицилово-кислый	100,10	115,3 114,8 113,3 114,3	115,1 114,9 115,4 115,9	26,0 25,0 18,0 17,7	22,0 23,0 18,3	23,0 23,0
Натрий бензойно-кислый	100,20	117,4 118,0 114,5 114,5	116,9 117,9 115,9 116,9	56,2 56,7 50,3 50,3	10,0 11,0	Ниже 23
Кальций молочнокислый	99,50	118	111,3 111,8 112,3 113,3	—	65,7 66,4 66,4	17,5 19,0 15
Натрий лимоннокислый трехзамещенный	99,80	115,9 114,9 111,3 110,3	101,6 101,6 101,0 99,0	14,5 15,0	75,0 68,5 70,5	17,5 19,0
Натрий муравьиново-кислый	100,40	115,8 115,8 112,3 113,5	116,4 116,4	—	63,3 62,9 64,1 62,9	25,0
Натрий миндально-кислый	99,96	118,0 118,0 116,9 115,9	96,6 96,6 91,6 92,6	68,5 67,5 65,3 66,8	65,2 65,0	20,0
Литий салицилово-кислый	99,68	118,0	120,4 120,4	33,5 34,0 35,0 34,0	24,0 23,0	—
Натрий триоксиглутарово-кислый		112,8 112,3	91,5 93,5 93,5	—	—	10,0 9,0 10,0
Аммоний щавелево-кислый		102,0 102,0 98,3 97,6	99,6 98,6 94,5 92,5	—	61,9	33,4
2-амино-бензолсульфамидо-натрий-тиазол (норсульфазол-натрий)	99,30	106,0 104,0 100,0 100,0	93,5 94,5 91,7	—	54,0 56,0	30,5 30,0
1-фенил-2,3-диметил-5-пиразолон-4-метиламинметил-сернистокислый натрий (анальгин)	100,50	80,5 81,0	77,0 77,0 76,5 76,5	—	43,2 45,5	—
Двойная соль 3,7-диметил-ксантиннатрия с салицилово-кислым натрием (диуретин)	100,50	114,9 113,5 109,2 109,7	119,4 119,0 111,3 112,3	—	51,3 51,3 41,0 42,0	6,0

Таблица 1 (продолжение)

№	Наименование солей	% -ное содержание	Температура плавления эвтектик при контактировании с кислотами				
			миндальная кислота, т. пл. 118°	малеиновая кислота, т. пл. 131°	кровоно-вая кислота, т. пл. 70°	фенилук-сусная кислота, т. пл. 75°	монохлоруксусная кислота, т. пл. 61—62°
13	Сульфанил-ацет-амид-натрия	99,92	107,7 102,0	97,6 98,6	—	45,2	—
14	Кальций левули-новокислый	100,04	118,0	—	22,0 22,0 18,0 18,5	24,5 23,5 17,0 18,0	—
15	Натрий фенилук-суснокислый	99,54	116,3	116,3	—	15,0	—
16	Кальций фенилук-суснокислый	99,89	118,0	116,3 128,4 128,4	36,0 14,0 14,5	16,0 32,0 32,0	—
17	1,3-иметилксан-тин-натрий (тео-филлин-натрий)	—	—	99,6 99,6	—	—	—
18	Двойная соль 1,3-диаметил-ксан-тина с этилен-диамином (эу-филлин)	—	—	112,2 112,7	—	—	—
19	Диэтилбарбиту-рат-натрий (ме-динал)	—	102,0 101,5	—	—	69,0 69,5	—
20	Висмут салицило-вокислый основ-ной	—	—	—	—	49,2 49,7	—
21	Натриевая соль этилизоамил барбитуровой кислоты (барба-мил)	—	104,0 104,0	117,4 117,4	—	—	—
22	Лактат 2-этокси-6,9-диаминоак-ридин (риванол)	—	—	—	—	45,1 46,1	—
23	Кофеин-бензойно-кислый натрий	—	—	91,6 92,1	45,0 46,0	—	—
24	Бензолсульфохло-рамид-натрий + +3H ₂ O (хлорамин Б)	—	96,6 98,6	99,6 99,6	—	—	—

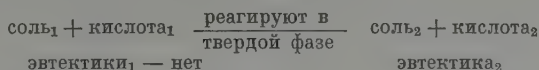
1. Соль и кислота дают эвтектику без химического взаимодействия

$$\begin{array}{c} \text{соли}_1 + \text{кислота}_1 \xrightarrow[\text{эвтектика}_1]{\text{взаимодействия}} \text{нет} \quad \text{I} \quad (\text{соли}_2 + \text{кислота}_2 \text{ не образовались}) \\ \text{эвтектика}_2 \end{array}$$

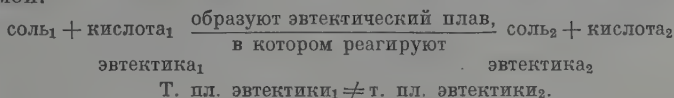
$$\text{Т. пл. эвтектики}_1 \neq \text{т. пл. эвтектики}_2$$

2. Соль и кислота вступают в твердой фазе в реакцию обмена, и наблюдаемая т. пл. эвтектики принадлежит уже образовавшейся в результа

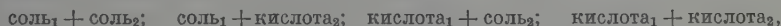
взаимодействия новой системе соль + кислота:



3. Соль и кислота, неспособные к взаимодействию в твердой фазе, образуют эвтектику и реагируют в плаве. В этом случае температура плавления эвтектики вновь образующейся системы должна отличаться от наблюдаемой:



Помимо этого, в случае взаимодействия возможно образование четырех эвтектик бинарных систем:



и четырех эвтектик трехкомпонентных и одной — четырехкомпонентной систем.

Мы изучили три системы кислота + соль и определили температуры плавления эвтектик всех бинарных систем, могущих образоваться в результате сочетания. В табл. 2 сведены полученные результаты.

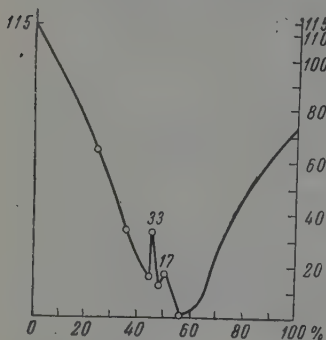
Таблица 2

№	Компоненты	Т. пл. эвтектик (в градусах)
Система I		
1	Натрий бензойнокислый	Фенилуксусная кислота 11,0; 10,0
2	Натрий фенилуксуснокислый	Бензойная кислота 122
3	Натрий бензойнокислый	Натрий фенилуксуснокислый 115 не пл.
4	Фенилуксусная кислота	Бензойная кислота 51,5; 52,5
5	Натрий бензойнокислый	Бензойная кислота 122
6	Натрий фенилуксуснокислый	Фенилуксусная кислота 15,0; 16,0
Система II		
1	Натрий салициловокислый	Фенилуксусная кислота 22,0; 23,0
2	Натрий фенилуксуснокислый	Салициловая кислота 155
3	Натрий салициловокислый	Натрий фенилуксуснокислый 150 не пл.
4	Фенилуксусная кислота	Салициловая кислота 66,5; 67,5
5	Натрий салициловокислый	Салициловая кислота 154
6	Натрий фенилуксуснокислый	Фенилуксусная кислота 15,0; 16,0
Система III		
1	Кальций левулиновокислый	Фенилуксусная кислота 23,5; 24,5
2	Кальций левулиновокислый	Левулиновая кислота 19,5; 16—18,0
3	Кальций левулиновокислый	Кальций фенилуксуснокислый 58 размягч.
4	Фенилуксусная кислота	Левулиновая кислота 14; 12—13
5	Кальций фенилуксуснокислый	Левулиновая кислота 7,8; 6,7
6	Кальций фенилуксуснокислый	Фенилуксусная кислота 32,0; 32,0

Из таблицы видно, что реакции взаимного обмена не имели места, так как в системах, содержащих фенилуксусную кислоту и натрий бензойнокислый или салициловокислый, смеси могущих образоваться в результате химического взаимодействия фенилуксуснокислого натрия и бензойной или салициловой кислот (системы I и II, табл. 2) плавятся при т. пл. истых кислот. Следовательно, наблюдаемые температуры плавления эвтектик систем натрий бензойнокислый + фенилуксусная кислота (11—

12°) и натрий салициловокислый + фенилуксусная кислота (22—23°) относятся к системам без химического взаимодействия в твердой фазе. Реакция в эвтектическом плаве также не имела места, так как при нагревании застывшего плава смесей фенилуксусной кислоты + натрий бензоат или салицилат наблюдается лишь т. пл. фенилуксусной кислоты (75°) а не т. пл. эвтектик систем фенилуксуснокислый натрий + фенилуксусная кислота (15—16°) или фенилуксусная и бензойная кислоты (51,5—52,5°).

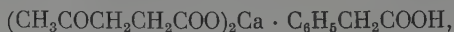
Несколько сложнее судить о наличии химического взаимодействия в системе фенилуксусная кислота + левулиновокислый кальций (т. пл. эвтектики 23—24°), так как т. пл. эвтектики могущей образоваться в результате реакции обмена системы кальций фенилсалицилат + левулиновая кислота (7—8°), лежащая ниже температуры плавления эвтектики исходной системы. В связи с этим мы построили диаграмму состояния системы левулиновокислый кальций + фенилуксусная кислота, пользуясь термическим методом (рисунок). Система оказалась удобной для изучения в том смысле, что левулинат кальция, одна из немногих солей, плавится при относительно низкой температуре, 110—114°. Правда, составлению точной диаграммы состояния мешают частые переохлаждения и стекло-



образование, все же на диаграмме можно обнаружить несколько точек, указывающих на наличие химического взаимодействия в плаве компонентов.

Отчетливо видна сингулярная точка с температурой плавления 33°, отвечающая левулиновой кислоте, и эвтектика системы левулиновокислый кальций + левулиновая кислота (18—19°). Появление левулиновой кислоты и эвтектики ее с левулинатом кальция возможно лишь в результате реакции двойного обмена между фенилуксусной кислотой и левулиновокислым кальцием. Такое вытеснение левулиновой кислоты закономерно, так как константа диссоциации фенилуксусной кислоты равна $5,2 \cdot 10^{-5}$, а левулиновой — $2,55 \cdot 10^{-5}$. При этом следует, однако, учесть, что константы диссоциации этих кислот определены для водных растворов, а здесь идет речь о химическом взаимодействии в плаве компонентов.

Одновременно было обнаружено образование кислой соли состава:



плавящейся при 17° и имеющей состав 1:1.

На диаграмме системы кальций левулиновокислый + фенилуксусная кислота эвтектика с температурой плавления 23° не обнаружена, так как эта система с химическим взаимодействием. Метод же контактного плавления имеет то преимущество перед термическим, что появление эвтектики наблюдается при соприкосновении компонентов в твердом состоянии, а не в плаве. Поэтому он позволяет обнаружить эвтектику и самих исходных компонентов [7].

Выводы

1. Обнаружена способность органических солей к образованию со многими органическими кислотами бинарных систем, характеризующихся низкотемпературными эвтектиками.
2. Предложен метод идентификации солей и молекулярных соединений путем определения температур плавления эвтектики бинарных систем, состоящих из идентифицируемой соли и кислотных тестов.

3. Построена диаграмма состояния системы левулиновокислый кальций + фенилуксусная кислота и установлено наличие химического взаимодействия.

Поступила
18. III. 1959

ЛИТЕРАТУРА

- М. Х. Глузман, А. Л. Гершунс, Я. Е. Гегузин, Ж. прикл. химии, 26, 1223, 1953.
М. Х. Глузман, В. П. Рубцова, Ж. аналит. химии, 11, 640, 1956.
М. Х. Глузман, В. П. Рубцова, Ж. общей химии, 27, 704, 1957.
М. Х. Глузман, В. П. Рубцова, Аптечное дело, № 1, 10, 1957.
Н. А. Измайлов, Н. П. Дзюба, Тр. ХНИХФИ, 2, 1957.
М. Х. Глузман, Труды научно-исследовательского института химии ХГУ, 18, 254, 1957.
М. Х. Глузман, А. Л. Гершунс, Л. С. Палатник, Д. Е. Плоткина, Р. С. Мильнер, ЭНФХ, 27, вып. 10, 1304, 1953.

EUTECTIC MELTING OF SYSTEMS OF ORGANIC SALTS AND ACIDS

M. Kh. Gluzman and V. P. Rubtsova (Kharkov)

Summary

Organic salts have been found capable of forming with many organic acids binary systems characterized by low melting eutectics. A method has been proposed for identifying salts and molecular compounds by determining the melting points of the eutectics of binary systems consisting of the unknown salt and of acid tests. A diagram of state of calcium levulinate + phenylacetic acid has been plotted and the presence of chemical interaction has been established.

ОБ АССОЦИИ ИОНОВ В РАСТВОРАХ

VI. РАСТВОРЫ CaCl_2 В СМЕСЯХ БУТАНОЛА С ГЕКСАНОМ

А. М. Сухотин и Е. М. Рыжков

Систематическое исследование влияния диэлектрической проницаемости смешанного растворителя на электропроводность 1-1-валентных электролитов [1—6] позволило установить ряд характерных особенностей изотерм электропроводности и связать их с влиянием различных факторов на равновесие между ионами и ионными парами. Среди этих факторов главную роль играет изменение ионных коэффициентов активности в результате межионного взаимодействия и возрастание диэлектрической проницаемости раствора по мере увеличения его концентрации.

Изучение электропроводности растворов 2-1-валентных солей в растворителях с низкой диэлектрической проницаемостью представляет значительный интерес уже потому, что линейные симметричные молекулы этих солей не имеют дипольного момента и поэтому должны гораздо слабее, чем ионные пары, взаимодействовать со свободными ионами и влиять на диэлектрическую проницаемость раствора. Это относится, правда, только к молекулам, в которых ионы связаны электростатической связью.

Минеральные соли, состоящие из гетерополярных молекул, в подобных условиях не изучались. Исследования болаформных электролитов [7—14] имеют лишь косвенное отношение к нашей задаче, так как сложное строение катиона и пространственное разделение его зарядов делает этот случай специфическим и требует особого подхода к объяснению ассоциации таких катионов с анионами [9].

Наша работа посвящена изучению электропроводности растворов хлористого кальция в бутаноле (диэлектрическая проницаемость 17,3) и его смесях с гексаном, имеющих диэлектрическую проницаемость, равную 4,77; 2,85 и 2,16.

Связь между ионами в молекулах CaCl_2 даже в газовой фазе гетерополярна [15]. Ионный характер связи в молекулах сохраняется безусловным и в растворе, где ионы Ca^{2+} сольватированы молекулами спирта [16].

Экспериментальная часть

Методика измерения электропроводности и диэлектрической проницаемости, а также способ очистки компонентов растворителя описаны ранее [3]. Там же приводилась схема физических свойств смесей бутанола с гексаном.

Очистка хлористого кальция производилась путем его двукратной перекристаллизации и сушки при 250—300°. Затем гранулированная соль прокаливалась до полного обезвоживания в кварцевом сосуде при 700—750° в токе сухого азота, содержащего хлористый водород. Содержание основного компонента в полученной соли было не менее 99,5%.

Все операции с хлористым кальцием производились в сухой камере, содержавшей в качестве осушителя фосфорный ангидрид.

Обсуждение результатов

Результаты измерений электропроводности и диэлектрической проницаемости растворов хлористого кальция в смесях бутанола с гексаном при 25° приведены в таблице.

Молярная электропроводность (μ) и диэлектрическая проницаемость (D) растворов CaCl_2 в смесях бутанола с гексаном при 25°

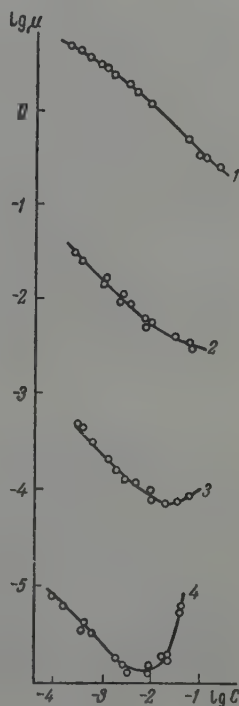
100% $n\text{-C}_4\text{H}_9\text{OH}$			40% $n\text{-C}_4\text{H}_9\text{OH}$			25% $n\text{-C}_4\text{H}_9\text{OH}$		12,65% $n\text{-C}_4\text{H}_9\text{OH}$		
$c \cdot 10^4$, моль/л	$\mu \cdot 10$, $\Omega^{-1} \text{ см}^2$		$c \cdot 10^4$, моль/л	$\mu \cdot 10^2$, $\Omega^{-1} \text{ см}^2$	D	$c \cdot 10^4$, моль/л	$\mu \cdot 10^2$, $\Omega^{-1} \text{ см}^2$	$c \cdot 10^4$, моль/л	$\mu \cdot 10^2$, $\Omega^{-1} \text{ см}^2$	D
330	2,42		669	3,16	4,45	602	8,54	436	6,16	2,15
400	3,21		638	3,43	4,45	365	7,61	409	5,46	2,15
500	3,47		285	4,00	4,55	205	7,21	227	1,93	2,15
601	5,06		95,7	5,41	4,65	103	8,94	208	1,82	2,15
710	12,4		84,8	5,40	4,65	90,0	9,66	178	1,85	2,15
807	11,9		80,3	5,72	4,65	42,9	11,7	96,0	1,48	2,15
948,4	16,6		36,7	8,58	4,70	35,5	12,9	91,2	1,35	2,15
1074	18,9		23,8	10,5	4,70	20,0	15,9	32,8	1,35	2,15
1215	25,0		23,7	10,3	4,70	13,1	20,6	27,1	1,58	2,15
1344	28,9		10,6	15,7	4,75	6,19	30,4	19,0	1,78	2,15
1492,8	32,0		10,1	14,6	4,75	3,42	43,0	6,20	3,34	2,15
1651,5	38,3		3,68	25,8	4,75	3,24	45,7	3,98	4,07	2,15
1820,3	45,6		2,57	31,0	4,75			3,80	3,82	2,15
1997	51,9							1,26	6,29	2,15
								0,95	7,84	2,15

Изотермы молярной электропроводности CaCl_2 (рисунок) в общих чертах подобны аналогичным кривым для 1-1-валентных электролитов [1—4]. Линейный участок изотерм в области малых концентраций, имеющий коэффициент наклона $-1/2$, свидетельствует о применимости закона разведения Оствальда и, следовательно, о том, что в растворах с низкой диэлектрической проницаемостью осуществляется только первая ступень диссоциации CaCl_2 :



Для вычисления из кондуктометрических данных значений степени диссоциации CaCl_2 на ионы CaCl^+ и Cl^- и соответствующей константы равновесия необходимо знать подвижности этих ионов. Определить подвижности ионов в смешанных растворителях при помощи правила Вальдена из данных для растворов в чистом бутаноле не представляется возможным, так как в бутаноле при малых концентрациях становится заметной вторая ступень диссоциации и ионный состав раствора усложняется.

Молярная электропроводность растворов CaCl_2 в смесях бутанола с гексаном: 1—бутанол, $D = 17,3$; 2—10 вес.% бутанола, $D = 4,77$; 3—25 вес.% бутанола, $D = 2,85$; 4—12,65 вес.% бутанола, $D = 2,16$



По аналогии с другими электролитами [3] ориентировочно примем суммарное значение λ_0 ионов CaCl^+ и Cl^- в бутаноле равным $16,0 \Omega^{-1} \text{ см}^2$. Оценив величины λ_0 для изученных смесей бутанола с гексаном по правилу Валь-

дена, можно вычислить значения $K_{\text{дисс}} = [\text{CaCl}^+] [\text{Cl}^-] / [\text{CaCl}_2]$. Для смесей, содержащих 40, 25 и 12,65 вес. % бутанола, они равны, соответственно: $4,1 \cdot 10^{-11}$; $5,2 \cdot 10^{-15}$; $3,9 \cdot 10^{-19}$. Эти величины значительно меньше констант диссоциации 1-1-валентных солей в растворителях того же состава [3]. Применение полученного одним из нас [6, 17] уравнения для описания зависимости $K_{\text{дисс}}$ от D приводит к следующим значениям расстояния максимального сближения ионов a : 4,50; 5,70 и 5,90 Å, соответственно.

На примере щелочногалогенидных и четвертичных аммониевых солей было установлено правило, согласно которому, чем ниже значение $K_{\text{дисс}}$ соли в данном растворителе, тем больше минимум изотермы смещен в область высоких концентраций [6]. Это правило, оправдывающееся при сравнении щелочных галогенидов с CaCl_2 , находит объяснение в теории согласно которой минимумы на изотерме появляются вследствие изменения потенциальной энергии свободных ионов, вызванного их взаимодействием [6].

Остановимся еще на одной особенности растворов CaCl_2 . Ранее нами было показано, что возрастание диэлектрической проницаемости раствора, связанное с увеличением концентрации ионных пар, приводит к увеличению степени (и константы) диссоциации солей и к резкому подъему изотермы после минимума [3]. Для растворов LiBr в смеси, содержавшей 40% бутанола и 60% гексана, этот фактор оказался доминирующим. Учет изменений диэлектрической проницаемости и $K_{\text{дисс}}$ позволил полностью объяснить ход изотермы проводимости этой системы. В случае изученных растворов CaCl_2 мы имеем обратный пример почти полного отсутствия влияния растворенной соли на диэлектрическую проницаемость. Таблица показывает, что диэлектрическая проницаемость растворов хлористого кальция в смеси, содержащей 40% бутанола, даже не несколько уменьшается с ростом концентрации соли. Это вызвано, вероятно, связыванием некоторого количества молекул спирта в сольватный комплекс иона Ca^{2+} . Благодаря симметричной координации дипольных моменты этих молекул взаимно компенсируются, и их вклад в общую ориентационную поляризацию раствора уменьшается.

Отсутствие минимума на изотерме для 40%-ной смеси и сравнительно медленный подъем после минимума двух других изотерм еще раз свидетельствует о важной роли возрастания диэлектрической проницаемости раствора, а существование минимумов на двух изотермах наглядно показывает, что изменение диэлектрической проницаемости не является единственным фактором, определяющим ход изотермы.

Выводы

1. Измерена электропроводность растворов хлористого кальция в бутаноле и его смесях с гексаном, имеющих диэлектрическую проницаемость 4,77; 2,85 и 2,16. Для двух систем изучена, кроме того, диэлектрическая проницаемость растворов.

2. Кондуктометрические данные показывают, что в средах с низкой диэлектрической проницаемостью хлористый кальций диссоциирует как 1-1-валентный электролит.

3. Особенности изотерм электропроводности изученных растворов CaCl_2 могут быть поняты, если принять во внимание относительно низкие значения констант диссоциации и отсутствие дипольного момента у молекул этой соли.

ЛИТЕРАТУРА

1. Ch. A. Kraus, R. M. Fuoss, J. Amer. Chem. Soc., 55, 21, 1933.
2. А. М. Сухотин, З. Н. Тимофеева, Ж. физ. химии, 33, 1602, 1739, 1959.
3. А. М. Сухотин, Е. М. Рыжков, Ж. физ. химии, 34, 762, 1960.
4. Е. М. Рыжков, А. М. Сухотин, Ж. физ. химии, 33, 2414, 1959.
5. А. М. Сухотин, Ж. физ. химии, 34, 2405, 1960.
6. А. М. Сухотин, Вопросы теории растворов электролитов в средах с низкой диэлектрической проницаемостью. Госхимиздат, 1959.
7. R. M. Fuoss, D. Edelson, J. Amer. Chem. Soc., 73, 269, 1951.
8. R. M. Fuoss, V. F. Chu, J. Amer. Chem. Soc., 73, 949, 1951.
9. R. M. Fuoss, F. M. Sacks, J. Electrochem. Soc., 99, 483, 1952.
10. P. Goldberg, R. M. Fuoss, Proc. Natl. Acad. Sci. U. S. A., 38, 758, 1952.
11. H. Eisenberg, R. M. Fuoss, J. Amer. Chem. Soc., 75, 2914, 1953.
12. J. C. Nichol, R. M. Fuoss, J. Phys. Chem., 77, 198, 1955.
13. O. V. Brody, R. M. Fuoss, J. Phys. Chem., 60, 156, 1956.
14. O. V. Brody, R. M. Fuoss, J. Amer. Chem. Soc., 79, 1530, 1957.
15. П. А. Акишин, В. П. Спиридонов, Кристаллография, 2, 475, 1957.
16. Б. Н. Меншуткин, Изв. С.-Петерб. политехнич. ин-та, 5, 355, 1906.
17. А. М. Сухотин, Ж. физ. химии, 31, 792, 1957.

IONIC ASSOCIATION IN SOLUTIONS

VI. SOLUTIONS CaCl_2 IN BUTANOL-HEXANE MIXTURES*A. M. Sukhotin and E. M. Ryzhkov (Leningrad)*

Summary

The electroconductivity of calcium chloride solutions in butanol and in its mixtures with hexane of dielectric constant 4.77, 2.85 and 2.16 were determined. For two systems determinations were also made of the dielectric constant. Conductimetric data showed that in media with low dielectric constants calcium chloride dissociated as a 1-1 valent electrolyte. The specificities of the electroconductivity isotherms of the CaCl_2 solutions may be understood if one takes into account the low values for the dissociation constants and the absence of a dipole moment of the molecules of that salt.

ИССЛЕДОВАНИЕ ЭЛЕКТРОДНЫХ СВОЙСТВ АНИОНИТОВЫХ
МЕМБРАН*Е. А. Матерова и З. С. Алагова*

В последние десять лет появилось большое число работ по исследованию электродных свойств мембран из ионообменных смол. Такие мембраны, в отличие от изученных Маршаллом и Сольнером [1, 2] мембран из глин, коллодия и других веществ, ведут себя как обратимые электроды в достаточно широком интервале концентраций соответствующего электролита и могут найти применение для измерения активности электролитов. Строго доказано наличие водородной функции и функции щелочных металлов [3, 4] у мембран из сильноокислотных катионитов, и имеются результаты по поведению таких мембран в растворах двух- и поливалентных катионов [5, 6]. Совершенно недостаточно исследованы мембранные электроды из анионообменных смол. В настоящее время изучены полимеризационные аниониты сильноосновного типа, а также монофункциональные и полифункциональные аниониты с активными группами различной основности. Исследование их электрохимических свойств открывает новые возможности получения электродов, обратимых к анионам, для которых либо неизвестно вообще обратимых электродов, либо получение их связано с большими трудностями.

Одной из первых работ по применению мембран для измерения активности анионов является исследование Сольнера и Грегора [7], применивших для этой цели проаминовые коллодиевые пленки. Мембранные потенциалы таких пленок измерялись в растворах KCl , $MgCl_2$, KJO_3 и $LiCl$ в интервале концентраций 0,001—0,4 М с применением в качестве электродов сравнения каломельных полуэлементов. Экспериментальные результаты сравнивались с рассчитанными по уравнению Нернста с использованием активностей отдельных ионов. Величины, близкие к теоретическим значениям потенциалов, были получены только в растворах хлористого магния. В работе Синха [8] впервые были изучены электроды из разного типа анионообменных смол. Мембраны изготовлялись по методу Вилли и Петнода прессованием порошка анионообменной смолы при 120—130° с полистиролом в качестве связки. Изучались хлорная и сульфатная функции в растворах KCl , $NaCl$, $MgCl_2$ и Na_2SO_4 соответственно. Хлорная функция выполнялась только в разбавленных растворах ($<0,05$ М). Анионитовые мембраны с сульфатной функцией давали отступления от теоретического значения э.д.с. в еще более разбавленных растворах. Хлорная и сульфатная функции также исследовались в работе одного из авторов [3] для мембранных электродов из вофатита I в растворах соляной и соответственно серной кислот. Была получена линейная зависимость электродвижущей силы от логарифма активности (молярности) для растворов, содержащих от нескольких тысячных до нескольких десятых моля кислоты на литр. Базу [9] исследовал анионитовые мембраны, полученные тем же методом, что и Синха, в растворах KBr и KNO_3 . Бромная функция выполнялась в растворах KBr приблизительно в интервале концентраций 0,001—0,08 М, а в случае NO_3^- -иона совпадение между теоретическими и экспериментальными значениями э.д.с. имело место только в растворах $<0,01$ М. Готтлиб и Сольнер [10] предложили новый способ изготовления анионитовых мембран путем адсорбции сильноосновного полиэлектролита на коллодий своей мембране определенной пористости. Измерения э.д.с. с этими мембранами проводились в растворах хлористого калия в интервале концентраций 0,01—2,0 М. Авторы получили хорошее совпадение рассчитанных и экспериментальных э.д.с. приблизительно до 0,4 М раствора. Парсонс [11] применил анионообменные мембраны в качестве индикаторных электродов при титровании сульфата ацетатом бария.

В настоящей работе была поставлена задача исследовать электродные свойства анионитов различной основности и химической природы в рас-

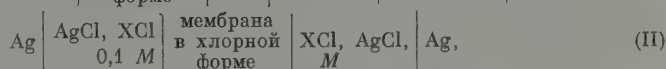
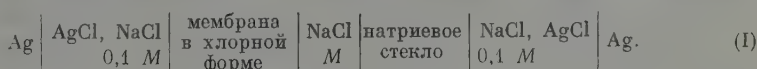
орах галогенидов. В отличие от распространенной методики, в которой обычно используются цепи с переносом и расчет теоретической э.д.с. производится с применением условных величин — коэффициентов активности отдельных ионов, в настоящей работе исследование хлорной, бромной, фторной функций анионитовых мембран выполнено вполне строго.

Мембранные электроды изготавливались из различного типа смол: В-17, ОАЛ, АВ-16, ЭДЭ-10П, АН-2Ф, ММГ-1.

Экспериментальная часть

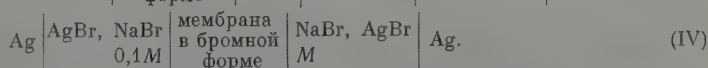
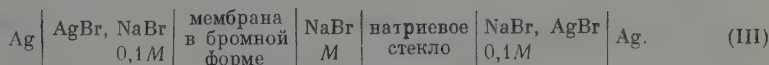
Мембраны изготавливались из пасты смолы и полистирола (в виде тонких порошков) органическим растворителем по методике, описанной ранее [4]. Приклеенные к полипропиленовым трубкам мембраны высушивались на воздухе в течение нескольких дней для удаления органического растворителя, затем вымачивались в 0,1 М растворе соответствующего электролита до равенства потенциалов внешней и внутренней стороны мембраны. Наиболее удобными для работы оказались мембраны, содержащие 25% смолы и 75% связующего вещества (полистирола), так как они сочетают достаточную механическую прочность с сравнительно небольшим сопротивлением ($\leq 10^4 \Omega/\text{см}^2$). Для изучения хлорной функции электроды готовились из смол, насыщенных ионами хлора. Бромные мембранные электроды и некоторые фторные получены из бромных электродов вымачиванием в 1,0 М растворе бромистого натрия и фтористого натрия соответственно. Другая часть фторных электродов изготавливалась из смол, реверденных во фтор-форму.

Хлорная функция мембранных электродов изучалась при помощи следующих гальванических элементов:

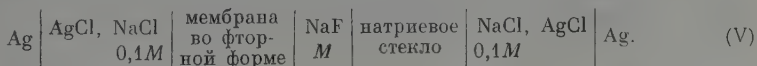


X = K⁺, Na⁺, H⁺. M — переменная концентрация электролита.

Бромная функция изучалась при помощи элементов с бромсеребряными электродами:



Для изучения фторной функции составлялся гальванический элемент:



Если мембранный электрод ведет себя как обратимый по отношению к соответствующему аниону, э. д. с. элементов (II) и (IV) должна равняться нулю; э. д. с. же элементов (I), (III), (V) может быть выражена обычным уравнением для элемента с переноса:

$$E = E^\circ - 2\vartheta \lg a_{\pm \text{MA}},$$

где MA = NaCl, NaBr или NaF; $\vartheta = 2,303 RT/F$; a_{\pm} — средняя активность электролита; E° — э. д. с., которая определяется концентрацией внутреннего раствора и в наших опытах сохраняется постоянной.

Если представить графически э. д. с. гальванических элементов (I), (III) и (V) к функции логарифма средней активности электролита, то для обратимых электродов должна получиться прямая с угловым коэффициентом, равным 2ϑ . Все измерения проводились в растворах, концентрация которых выражалась числом молей на кг растворителя (M). В качестве электрода сравнения использовались хлорсеребряный, бромсеребряный и натриевый стеклянный электрод*. Измерения э.д.с. цепи с мембранным электродом проводились на обычной потенциометрической установке. При измерении стеклянных электродов в цепь включался усилитель с электрометрической лампой. Точность измерений составляла 0,2—0,5 mV. Как правило, исследовалось 10—12 электродов из каждой смолы.

* Состав стекла: 25% Na₂O, 61% SiO₂, 9% B₂O₃ и 5 Al₂O₃ [12].

Все опыты проведены при комнатной температуре. При неизменной концентрации внутреннего раствора (0,1 M) потенциал мембранного электрода устанавливался в течение часа. В случае очень разбавленных и концентрированных растворов равновесие устанавливалось в течение 3—4 час.

Поскольку внутренняя часть мембранного электрода (раствор и электрод сравнения) оставалась неизменной, э. д. с. рассмотренных элементов в дальнейшем условно будет называться мембранным потенциалом.

Экспериментальные данные. Результаты измерений мембранных потенциалов при помощи гальванических элементов (III), (V) представлены на рис. 1—3 в виде зависимости э. д. с. от отрицательного логарифма средней активности электролита. Числа по оси ординат относятся к нижней кривой, а каждая из последующих кривых дает поглядности изображения смещена вверх на 40 мВ относительно предыдущей. Результаты измерений мембранных потенциалов при помощи гальванических элементов (II) и (IV) представлены в табл. 1—4.

Таблица 3

Результаты измерений мембранных потенциалов в растворах хлористого натрия [элемент (II)]

MNaCl, моль/кг	Электроды из смол					
	AB-17	OAL	ЭДЭ-10П	AB-16	АН-2Ф	ММГ-1
	E, mV					
0,001—0,2*	0,0—0,5					
0,5	2,0	2,3	1,3	1,2	1,2	1,3
1,0	3,2	4,4	3,2	2,8	3,6	3,0

* Измерения E в интервале концентраций $0,001—0,2 M$ производились в 0,001; 0,005; 0,01 и 0,05; 0,1; 0,2 M .

Хлорная функция анионитовых мембран исследована в растворах KCl, NaCl и HCl. Из рис. 1 видно, что для электродов из всех смол пределах погрешности измерений получена линейная зависимость потенциала от логарифма средней активности хлористого натрия в концентрации

Таблица 2

Результаты измерений мембранных потенциалов в растворах хлористого калия [элемент (II)]

MKCl, моль/кг	Электроды из смол					
	AB-17	OAL	ЭДЭ-10П	AB-16	АН-2Ф	ММГ-1
	E, mV					
0,001—0,2	0,0—0,5					
0,5	2,1	2,3	1,2	1,2	1,4	1,5
1,0	3,7	3,5	2,8	2,0	2,0	2,0
2,0	5,8	11,0	5,0	4,5	3,0	4,0
3,5	16,3	16,0	12,0	10,7	12,0	11,1

ном интервале 0,005—0,5 M , причем угловой коэффициент прямой соответствует теоретическому. Нужно отметить, что небольшие отклонения

Таблица 3

Результаты измерений мембранных потенциалов в растворах соляной кислоты [элемент (II)]

M_{HCl} , моль/кг	Электроды из смол					
	AB-17	OAL	ЭДЭ-10П	AB-16	АН-2Ф	ММГ-1
	E, mV					
0,001—0,1	1,0—1,5					
0,2	1,6	3,5	1,6	1,5	2,0	1,4
0,5	15,0	17,5	8,4	9,0	7,0	7,0
1,0	36,5	48,3	12,8	11,6	16,4	16,0
3,0	92,0	—	57,8	41,0	—	—

Таблица 4

Результаты измерений мембранных потенциалов в растворах бромистого натрия [элемент (IV)]

M_{NaBr} , моль/кг	Электроды из смол					
	AB-17	OAL	ЭДЭ-10П	AB-16	АН-2Ф	ММГ-1
	E, mV					
0,001—0,2	0,0—0,5					
0,5	2,5	4,1	2,3	2,1	1,7	2,2
1,0	7,5	9,9	3,6	3,9	4,1	3,8

теоретической э.д.с. наблюдаются уже в 0,5 *M* растворе. В табл. 1—3 приводятся результаты измерений мембранных потенциалов в растворах $LiCl$, $NaCl$ и HCl при помощи гальванического элемента (II). Как уже указывалось, э.д.с. такого элемента, если мембранный электрод обладает теоретической хлорной функцией, должна быть равна нулю. Из табл. 1 и также видно, что в растворах хлоридов для всех электродов получена теоретическая хлорная функция в интервале концентраций 0,001—0,5 *M*. В 0,5 *M* растворе заметны небольшие отклонения, которые с ростом концентрации внешнего раствора возрастают. В растворах соляной кислоты (табл. 3) э. д. с. элемента (II) в разбавленных растворах составляет 0—1,5 mV вместо нуля, а в 0,5 *M* растворе отклонения уже достигают 0 mV. Этот факт можно объяснить, по-видимому, легкостью проникновения водородных ионов в мембрану по сравнению с ионами калия и натрия.

Бромная функция мембранных электродов исследовалась в растворах бромистого натрия при помощи гальванических элементов (III) и (IV). Как видно из рис. 2, для всех смол в интервале концентраций 0,005—0,2 *M* получена линейная зависимость потенциала электродов от логарифма средней активности бромистого натрия. В 0,5 *M* растворе отклонения достигают уже 2—4 mV. Результаты, приведенные в табл. 4 для э.д.с. элемента (IV), тоже указывают на существование теоретической бромной функции в растворах бромистого натрия в интервале концентраций 0,001—0,2 *M*. В качестве электрода сравнения в элементе (III) использовался натриевый стеклянный электрод. Поскольку этот электрод не исследовался в растворах бромистого натрия, предварительно была снята калибровочная кривая его в этих растворах, которая показала, что стеклянные электроды

дают натриевую функцию в растворах NaBr с той же точностью и в тех же пределах концентраций, что и в NaCl.

Фторная функция мембран исследовалась в растворах NaF при помощи гальванического элемента (V). Как видно из рис. 3, для всех электродов

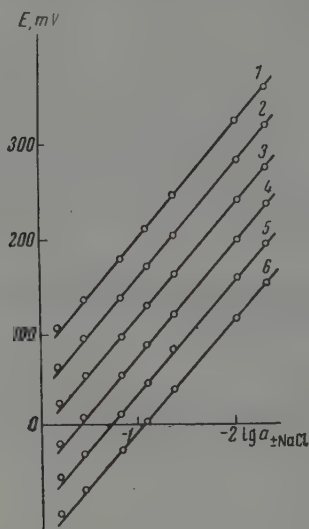


Рис. 1

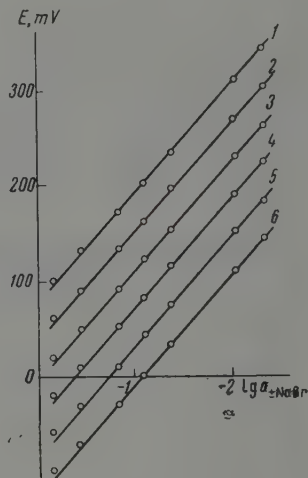


Рис. 2

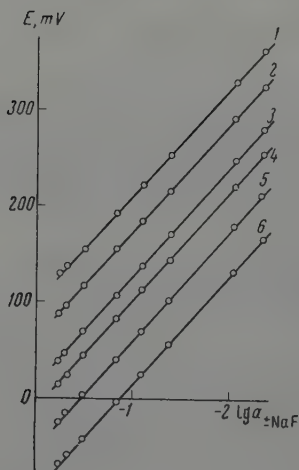


Рис. 3

Рис. 1. Зависимость $E_{(I)}$ от $-\lg a_{\pm NaCl}$: 1—ММГ-1; 2—АН-2Ф; 3—ЭДЭ-10П; 4—АВ-16; 5—ОАЛ; 6—АВ-17

Рис. 2. Зависимость $E_{(II)}$ от $-\lg a_{\pm NaBr}$: 1—ММГ-1; 2—АН-2Ф; 3—ЭДЭ-10П; 4—АВ-16; 5—ОАЛ; 6—АВ-17

Рис. 3. Зависимость $E_{(V)}$ от $-\lg a_{\pm NaF}$: 1—ММГ-1; 2—АН-2Ф; 3—ЭДЭ-10П; 4—АВ-16; 5—ОАЛ; 6—АВ-17

получена линейная зависимость потенциала электродов от логарифма средней активности фтористого натрия в интервале концентраций 0,005–0,8 M, причем угловой коэффициент прямых соответствует теоретическому. Отклонения начинаются в ~1,0 M растворе и составляют 2–4 мВ. При измерениях в растворах фтористого натрия в качестве внутреннего р

вора был применен 0,1 *M* раствор NaCl и соответственно хлорсеребряный электрод. Результаты опытов показали, что при этом изменяются только абсолютные величины потенциалов для электродов из разных смол, а зависимость э. д. с. от логарифма средней активности фтористого натрия во внешнем растворе линейна и имеет теоретическую величину наклона, соответствующую фторной функции. При изучении фторной функции в качестве электрода сравнения был применен натриевый стеклянный электрод, который был выдержан в течение недели в насыщенном растворе NaF, а затем прокальброван по растворам NaCl, при этом калибровочная кривая осталась такой же, как до вымачивания. Электроды, изготовленные из фторной формы смолы, ведут себя так же, как обменные, полученные из мембран в хлорной форме путем замещения хлор-иона на фтор-ион. Следовательно, нет необходимости обязательно изготавливать электроды из смолы, переведенной в соответствующую форму для получения электродов, обратимых к данному иону.

Сопоставление результатов для потенциалов мембранных электродов в растворах галогенидов позволяет сделать некоторые обобщения. Мембранные электроды из всех исследованных смол можно применять для измерения активности в растворах бромидов в интервале концентраций 0,001—0,2 *M*; в растворах хлоридов — в интервале концентраций 0,001—0,5 *M* и в растворах фторидов — в интервале 0,005—0,8 *M*, т. е. концентрационный интервал, где выполняется электродная функция, зависит от природы аниона. Отклонения начинаются для концентраций, при которых заметным становится перенос через мембрану катиона, поэтому чем подвижнее анион, тем позже наступают отклонения. Природа смолы также влияет на величину мембранных потенциалов. Концентрационный интервал, в котором мембранные электроды ведут себя как идеально обратимые, для электродов из всех смол одинаков, но абсолютные величины отклонений экспериментальной э. д. с. от теоретической при одной и той же концентрации внешнего раствора значительно больше для электродов из анионитов АВ-17 и ОАЛ (табл. 2—4), чем для электродов из других смол. Как показали ориентировочные опыты в смешанных растворах, для исследованных одновалентных анионов (F^- , Cl^- , Br^-) различные аниониты не обнаруживают заметной специфичности.

Выводы

1. Исследованы электродные свойства мембран из различных анионообменных смол в растворах хлоридов, бромидов и фторидов.

2. Показано, что мембранные электроды из всех исследуемых смол дают теоретическую электродную функцию в растворах фторидов в интервале концентраций 0,005—0,8 *M*, в растворах хлоридов в интервале концентраций 0,001—0,5 *M* и в растворах бромидов в интервале 0,001—0,2 *M*.

Ленинградский государственный
университет им. А. А. Жданова

Поступила²
19. III. 1959

ЛИТЕРАТУРА

1. T. R. E. Kressman, J. Appl. Chem., 4, 123—129, 1954.
2. M. Kahlweit, Z. phys. Chem., 6, 45, 1956.
3. Е. А. Матерова, Ф. А. Кожаккина, Б. П. Николький, Ж. физ. химии, 29, 105, 1955.
4. Ф. А. Белинская, Е. А. Матерова, Вестн. ЛГУ, № 16, вып. 3, 1957.
5. D. Hutchings, R. J. P. Williams, Discuss. Faraday Soc., № 21, 192, 1956.
6. S. K. Sinha, J. Indian Chem. Soc., 31, 572, 577, 1954.
7. K. Sollner, H. P. Gregor, J. Phys. Chem., 54, 330, 335, 1950.
8. S. K. Sinha, Science and Culture, 18, № 11, 1953; J. Indian Chem. Soc., 31, 8, 1954.

9. A. S. Basu, Science and Culture, **21**, 447, 1956.
10. M. H. Gottlieb, R. Neinoi, K. Sollner, J. Phys. Chem., **61**, № 2, 1957.
11. J. S. Parsons, Analyt. Chem., **30**, 1262, 1958.
12. М. М. Шульц, Л. Г. Айо, Вестн. ЛГУ, № 8, 153, 1955.

A STUDY OF THE ELECTRODE PROPERTIES OF ANION
EXCHANGING MEMBRANES

E. A. Materova and Z. S. Alagova (Leningrad)

S u m m a r y

The electrodic behavior of membranes made of various anion exchanging resins has been investigated. It has been shown that in a certain concentration range the membrane electrodes are reversible to F^- , Cl^- and Br^- ions.

ЭЛЕКТРОКАПИЛЯРНЫЕ КРИВЫЕ НА РТУТИ ЭТАНОЛОВЫХ РАСТВОРОВ ХЛОРИСТОГО ВОДОРОДА И ИОДИСТОГО НАТРИЯ

Г. А. Корчинский

В настоящее время строение двойного электрического слоя в основном исследуется в водных растворах. Спиртовые растворы исследованы сравнительно мало. В частности, почти совсем не изучались спиртовые растворы, содержащие ионы водорода.

С целью заполнения этого пробела нами изучались методом электрокапиллярных измерений системы: этанол — хлористый водород, этанол — иодистый натрий. Этим методом можно получить данные, выражающие изменение поверхностного натяжения в зависимости от поляризации металла, и на основании этих данных рассчитать дифференциальную емкость двойного электрического слоя. Кроме того, при помощи уравнения Гиббса, имеющего вид:

$$d\sigma = - \sum \Gamma_i d\mu_i, \quad (1)$$

можно рассчитать адсорбцию i -го компонента, где σ — поверхностное натяжение на границе раздела двух фаз; Γ — количество грамм-молекул адсорбированного вещества на 1 см^2 поверхности; μ — химический потенциал. Это уравнение, как показал А. Н. Фрумкин, применимо к равновесию на границе раствор — ртуть, и в этом случае принимает вид:

$$d\sigma = - e d\varphi - \sum \Gamma_i d\mu_i, \quad (2)$$

— заряд единицы поверхности металла; φ — потенциал поляризации.

Экспериментальная часть

Электрокапиллярные измерения производились при помощи капиллярного электрометра типа Гуи [1] с различными капиллярами, диаметр которых был в пределах от 20 до 50 μ .

Ртуть очищалась методом многократного пропускания через колонку, заполненную подкисленным азотной кислотой 5%-ным раствором $\text{Hg}(\text{NO}_3)_2$. После этого ртуть еще раз тщательно промывалась дистиллированной водой и перегонялась. Хлористый водород получали при взаимодействии хлористого натрия с серной кислотой. Образовавшийся HCl направлялся в две склянки Тищенко, заполненные серной кислотой, а затем через хлоркальциевую трубку в плоскодонную, до половины заполненную этанолом колбу с длинной шейкой. Содержание HCl определялось по приливи в весе этанола. Последующие растворы готовились методом разбавления. Количество HCl в растворе дополнительно проверялось титрованием.

Этанол абсолютировался при помощи CuSO_4 кипячением с обратным холодильником в течение 6 час.; затем отгоняли и снова операцию повторяли. Остаточная влага удалялась десятичасовым кипячением этанола над металлическим кальцием, полученный этанол имел $d_{20}^{20} 0,7893$. Все остальные соли очищались перекристаллизацией в дистиллированной воде, затем прокаливались.

Калибровочным раствором служил 1N раствор Na_2SO_4 . Измерение калибровочной кривой производилось относительно нормального каломельного электрода. Измерения электрокапиллярных кривых этаноловых растворов производились относительно электрода, состоящего из 0,2 N NH_4NO_3 этанолового раствора, насыщенного KCl и Hg_2Cl_2 . А. Н. Фрумкин показал, что такой электрод сравнения имеет устойчивый потенциал. Измерения производились при $25^\circ \pm 1^\circ$ в закрытом сосуде, который соединялся через промежуточный сосуд, заполненный 0,2 N NH_4NO_3 , а промежуточный со-

суд с основным соединялся через стеклянную трубку, с вложенной в нее фильтровальной бумагой. один конец которой хорошо смачивался исследуемым раствором, а другой конец — $0,2 \text{ N NH}_4\text{NO}_3$. В основной сосуд через резиновую пробку вводился капилляр электрометра и конец соединительной трубки. В дополнительный сосуд вводился другой конец трубки и конец электрода сравнения. Воспроизводимость результатов с одним и тем же капилляром были до $0,5 \text{ дин/см}$, а с различными капиллярами — 1 дин/см . Эти погрешности обусловлены главным образом сравнительно меньшей подвижностью мениска в спиртовом растворе, чем в водном. Кроме того, эта подвижность также зависит от диаметра капилляра. В связи с этим мы производили измерения с различными капиллярами, а затем брали среднее значение.

Для этаноловых растворов NaJ нами проведены электрокапиллярные измерения в интервале концентраций от $0,005$ до 2 N и потенциалов от $-0,4$ до $-1,6 \text{ V}$.

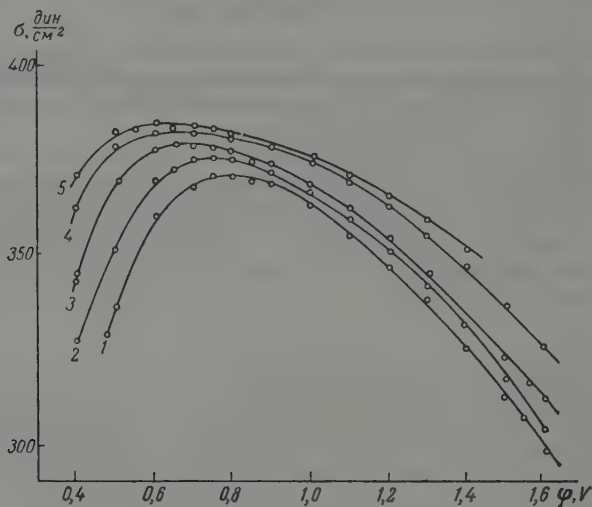


Рис. 1. Электрокапиллярные кривые этаноловых растворов йодистого натрия: 1— 2 N ; 2— 1 N ; 3— $0,1 \text{ N}$; 4— $0,01 \text{ N}$; 5— $0,005 \text{ N}$

от $-0,4$ до $-1,6 \text{ V}$. При больших отрицательных потенциалах в разбавленных растворах йодистого натрия наблюдалась осцилляция столбика ртути. По-видимому, это связано с возникновением в определенной части капилляра обедненного ионами пространства вследствие их адсорбции. На основании экспериментальных данных построены электрокапиллярные кривые (рис. 1), выражающие зависимость поверхности натяжения от потенциала ртути. Каждая электрокапиллярная кривая отвечает определенной концентрации йодистого натрия в этиловом спирте. Из рис. видно, что с увеличением концентрации йодистого натрия максимум соответствующей электрокапиллярной кривой понижается и одновременно сдвигается в сторону большего катодного потенциала ртути. По форме кривая становится все более симметричной. Кривая, выражающая зависимость между потенциалом при максимуме электрокапиллярной кривой и концентрацией раствора имеет параболическую форму.

Результаты электрокапиллярных измерений для системы этиловый спирт — хлористый водород изображены на рис. 2. Электрокапиллярные кривые в случае этаноловых растворов HCl, как видно из рис. 2, имеют свои особенности, по сравнению с электрокапиллярными кривыми растворов NaJ.

По форме электрокапиллярные кривые хлористого водорода более асимметричны, и ход катодной части кривой менее крутой, чем катодная

часть в случае йодистого натрия. Понижение максимума электрокапиллярной кривой HCl в два и более раза меньше, чем понижение максимума электрокапиллярной кривой в этаноловых растворах NaJ. При больших катодных потенциалах в разбавленных этаноловых растворах HCl наблюдается разрыв столбика ртути.

Максимум электрокапиллярной кривой для системы этанол — хлористый водород сильно сдвинут влево, т. е. в сторону меньшего катодного потенциала, по сравнению с максимумом электрокапиллярной кривой системы этанол — йодистый натрий. Причем интересно отметить, что этот сдвиг для всех растворов одинаковой концентрации NaJ и HCl является постоянным и равен 0,28 V, иначе говоря, в равноконцентрированных этано-

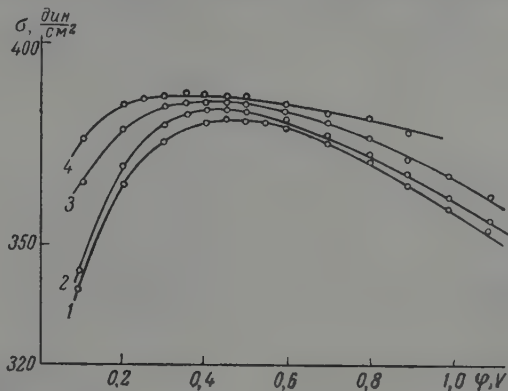


Рис. 2. Электрокапиллярные кривые этаноловых растворов хлористого водорода: 1—2N; 2—1N; 3—0,1N; 4—0,01 N

ловых растворах сдвиг максимума электрокапиллярной кривой HCl в сторону меньшего катодного потенциала относительно максимума электрокапиллярной кривой NaJ равен постоянной величине.

Обсуждение результатов

Наблюдаемые особенности катодной части ветвей кривых в случае растворов хлористого водорода главным образом зависят от свойств ионов водорода в этаноловых растворах. Можно предположить, что ион водорода окружен сольватной оболочкой, которая, во-первых, уменьшает взаимодействие с электрическим полем, во-вторых, препятствует иону водорода плотную подойти к поверхности металла и тем самым максимально повысить поверхностное натяжение. Этот вывод следует из анализа дифференциальной емкости двойного электрического слоя, вычисленной графическим методом на основе электрокапиллярных кривых и изображенной на рис. 3.

Если мы возьмем значение емкости на 0,18 V влево и вправо от максимума электрокапиллярной кривой и на основании этих данных вычислим отношение расстояний, на которые подходят анионы d_a и катионы d_k , то получим для 1N раствора $d_k/d_a = 3$, в то время как эта величина для разбавленных водных растворов равна двум [2].

Следует отметить, что с уменьшением концентрации этаноловых растворов HCl величина d_k/d_a растет. Отсюда следует, что ион водорода в этаноловых растворах значительно сольватирован. Для этаноловых растворов NaJ эта величина будет 2,4 и почти не изменяется с изменением концентрации. Правда, в связи с особенностью данных кривых рис. 4, пришлось

интервал влево и вправо от максимума взять на 0,1 V. По-видимому, водород сильнее сольватирован, чем ион натрия.

Из рис. 3 видно, что кривые зависимости емкости двойного электрического слоя от потенциала ртути в разбавленных растворах имеют максимум, значение которого отвечает 0,52 V. Эта величина почти совпадает с данными для водных растворов [3].

В концентрированных растворах минимум емкости двойного электрического слоя не наблюдается. Таким образом с ростом концентрации хлористого водорода диффузная структура двойного электрического слоя исчезает.

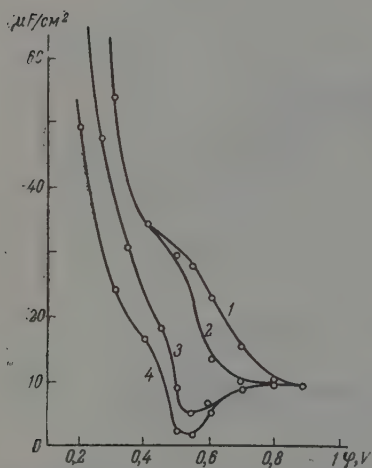


Рис. 3. Зависимость дифференциальной емкости от потенциала для этаноловых растворов хлористого водорода: 1 — 2N; 2 — 1N; 3 — 0,1N; 4 — 0,01N

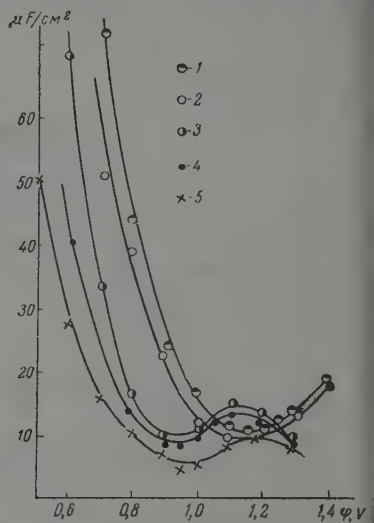


Рис. 4. Зависимость дифференциальной емкости от потенциала для этаноловых растворов йодистого натрия: 1 — 2N; 2 — 1N; 3 — 0,1N; 4 — 0,01N; 5 — 0,005N

Совсем иная картина наблюдается в этаноловых растворах йодистого натрия. Все растворы NaJ имеют минимум дифференциальной емкости (рис. 4). Для концентрированных растворов кривые имеют такую же форму, как для 0,1 N метанолового раствора KF [4]. Однако с уменьшением концентрации эта форма кривой нарушается: наблюдается минимум двойного электрического слоя; причем минимум сильно смещается в сторону меньшего катодного потенциала, а на месте минимума появляется максимум.

По-видимому, это вызывается тем, что при данных $\varphi_{\text{макс}}$ ион натрия подходит на минимальное расстояние от поверхности металла, с одной стороны и, с другой стороны, наличием аниона с высокой специфической адсорбцией, которая имеет, очевидно, некоторое влияние на катодную часть кривой. Высокой специфической адсорбцией NaJ объясняется то, что с увеличением концентрации на один и тот же порядок HCl и NaJ пограничное натяжение уменьшается в два с лишним раза больше для NaJ, чем для HCl, а сдвиг $\varphi_{\text{мин}} \text{HCl}$ относительно $\varphi_{\text{мин}} \text{NaJ}$ для 0,01N растворов составляет 0,43 V, и минимум емкости имеет значение гораздо больше для растворов NaJ.

Здесь следует отметить, что мы пренебрегали диффузионным потенциалом на границе раздела раствор—раствор, поскольку он мал и находится в пределах погрешностей данного метода измерения. Например, расчет

формуле Гендерсона для растворов 0,01*N* хлористого водорода дают значения 0,0149 В, для йодистого натрия 0,01 *N* — 0,0139 В.

Из опытных данных видно, что минимум емкости с ростом концентрации резко увеличивается, а затем стремится к предельной величине, а это значит, что активные центры поверхности ртути, начиная с 1*N* раствора, полностью заполнены адсорбированными ионами. Во всех случаях значение минимума емкости в этаноловых растворах значительно меньше, чем в водных растворах. Это находится в хорошем согласии с представлением о строении двойного электрического слоя.

Дифференциальная емкость также зависит от адсорбции ионов и концентрации растворов. Особый интерес представляет адсорбционный потенциал для выяснения природы двойного электрического слоя. Количественное значение этого потенциала для растворов кислот различных концентраций было вычислено из максимума электрoкапиллярной кривой [6] при помощи уравнения:

$$\psi_1 = \Phi_{\text{макс}} + \frac{RT}{F} \ln a_{\pm} + \Phi_0, \quad (3)$$

— адсорбционный потенциал; $\Phi_{\text{макс}}$ — потенциал максимума электрoкапиллярной кривой; a_{\pm} — средняя активность ионов; Φ_0 — потенциал нормального водородного электрода, отнесен к электроду, в котором скачок потенциала в двойном слое равен нулю.

Такие расчеты применялись [6] и показали, что специфическое влияние поверхности ртути на возникновение адсорбционных потенциалов не очень велико.

Позже А. Н. Фрумкин, исходя из термодинамики электрoкапиллярных явлений, доказал применимость таких расчетов для концентрированных растворов [7].

Мы не имеем пока возможности определить непосредственно ψ_1 -потенциал из наших данных, но мы можем определить угловой коэффициент $\partial\psi_1/\partial \ln a_{\pm}$, что является удобным методом проверки строения двойного электрического слоя, в данном случае для этаноловых растворов.

Мы производили измерения против постоянного электрода сравнения, поэтому уравнение (3) можно записать:

$$\psi_1 = \Phi_{\text{макс}}^{(1)} + \Phi_n + \varepsilon_d,$$

$\Phi_{\text{макс}}^{(1)}$ — максимум электрoкапиллярной кривой, измеренный против постоянного электрода сравнения; Φ_n — потенциал электрода сравнения; ε_d — диффузионный потенциал.

Отсюда угловой коэффициент в первом и втором случаях:

$$\frac{\partial \psi_1}{\partial \ln a_{\pm}} = \frac{\partial \Phi_{\text{макс}}}{\partial \ln a_{\pm}} + \frac{RT}{F}, \quad (4)$$

$$\frac{\partial \psi_1}{\partial \ln a_{\pm}} = \frac{\partial \Phi_{\text{макс}}^{(1)}}{\partial \ln a_{\pm}}.$$

Таким образом для определения углового коэффициента в нашем случае необходимо определить только величину $\partial \Phi_{\text{макс}}^{(1)} / \partial \ln a_{\pm}$.

Если известен угловой коэффициент, то можно вычислить $(\partial \Gamma_K / \partial \Gamma_A)_{a_{\pm}}$ из уравнения [8]:

$$\frac{\partial \psi_1}{\partial \ln a_{\pm}} = - \frac{RT}{F} \frac{1 + (\partial \Gamma_K / \partial \Gamma_A)_{a_{\pm}}}{1 - (\partial \Gamma_K / \partial \Gamma_A)_{a_{\pm}}}. \quad (5)$$

Из рис. 5 и уравнения (4) видно, что между ψ_1 -потенциалом для этаноловых растворов HCl и NaJ и логарифмом средней активности ионов раствора существует линейная зависимость, правда, начиная с концентрации 0,01 N HCl, эта закономерность, очевидно, нарушается. Как мы видели, сдвиг максимума электрокапиллярной кривой (при $c_{NaJ} = c_{HCl}$) растворов HCl и NaJ и, по-видимому, равный постоянной величине потенциал тоже должен увеличиваться на одинаковую величину, однако это только приближенно соблюдается в разбавленных растворах. Очевидно, это связано с тем, что при переходе от разбавленных растворов к концентрированным изменяются термодинамические свойства [8].

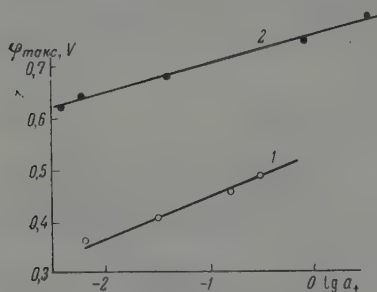


Рис. 5. Зависимость максимума электрокапиллярной кривой от логарифма средней активности ионов раствора: 1—HCl; 2—NaJ

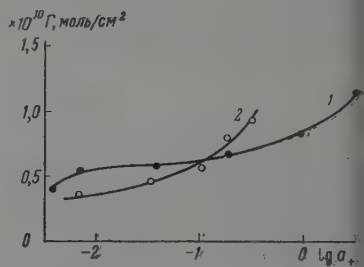


Рис. 6. Зависимость адсорбции молекул на незаряженной поверхности ртути: 1 — йодистого натрия; 2 — хлористого водорода

Для растворов NaJ угловой коэффициент из опытных данных получается равным $-0,9 RT/F$, а для HCl — $1,29 RT/F$. Откуда из уравнения (5) для HCl $(d\Gamma_K/d\Gamma_a)_{a\pm} = 0,12$. Это значит, что при сдвиге потенциала положительную сторону вблизи точки нулевого заряда на 8 анионов в поверхностном слое появляется только один анион, т. е. эффект почти в 8 раз меньше, чем в водных растворах [7].

Различные свойства растворов NaJ и HCl объяснялось, главным образом с точки зрения способности данных веществ к адсорбции.

Поэтому, чтобы количественно сравнить адсорбционные способности этих веществ из этаноловых растворов на поверхности незаряженной ртути, при помощи уравнения (2) мы рассчитали величину адсорбции. Эти данные представлены на рис. 6. Коэффициенты активности для данных растворов были получены графической интерполяцией данных [8,9].

Как видно, в равноконцентрированных растворах адсорбция NaJ гораздо больше, чем HCl. Кроме того, кривая адсорбции йодистого натрия имеет свою особенность: сначала адсорбция сильно растет с ростом логарифма активности, начиная от 0,01 до 1N рост становится незначительным, а затем адсорбция снова сильно возрастает, в то время как адсорбция хлористого водорода возрастает монотонно. Замечательно то, что эти изменения наблюдаются в тех же пределах концентраций, в которых они имеют место для дифференциальной емкости двойного электрического слоя. Поэтому мы можем сделать вывод, что смещение минимума емкости двойного электрического слоя вызывается адсорбцией.

В заключение выражаю глубокую благодарность проф. А. В. Памфилову за руководство работой и доц. Е. Г. Иванчевой за ценные замечания.

Выводы

1. Произведены электрокапиллярные измерения этаноловых растворов в интервале концентраций 0,005—2 *N* йодистого натрия и хлористого водорода.
2. В равноконцентрированных этаноловых растворах сдвиг максимума электрокапиллярной кривой хлористого водорода относительно максимума электрокапиллярной кривой йодистого натрия равен постоянной величине 0,28 В.
3. Рассчитана графическим методом [дифференциальная емкость двойного электрического слоя. Показано, что минимум емкости разбавленных растворов HCl лежит при значении потенциала 0,52 В, а при более высоких концентрациях минимум исчезает. Значение минимальной емкости растет с ростом концентрации и в случае растворов NaJ стремится к предельной величине и зависит от адсорбции аниона.
4. Величина адсорбции HCl из этаноловых растворов больше, чем из водных. Не существует линейной зависимости между величиной адсорбции и логарифмом активности ионов, а следовательно, не имеется прямой зависимости между величиной адсорбции и адсорбционным потенциалом.
5. Найдена линейная зависимость между величиной адсорбционного потенциала и логарифмом активности ионов хлористого водорода и йодистого натрия.
6. Исследования показывают, что этаноловые растворы имеют ряд общих свойств с водными растворами, но количественное значение этих свойств различное.

Винницкий педагогический институт

Поступила
23. III. 1959

ЛИТЕРАТУРА

1. А. Н. Фрумкин, Электрокапиллярные явления и электродные потенциалы, Одесса, 1919.
2. Б. В. Эршлер, Ж. физ. химии, 20, 679, 1946.
3. М. А. Ворсина и А. Н. Фрумкин, Ж. физ. химии, 17, 295, 1943; 19, 171, 1945.
4. S. Mine, J. Jastrzbska, Roczn. chem., 31, 735, 1957.
5. З. А. Иофа, А. Н. Фрумкин, Ж. физ. химии, 18, 268, 1944.
6. В. С. Гуренков, Ж. физ. химии, 30, 1830, 1956.
7. А. Н. Фрумкин, Ж. физ. химии, 30, 2066, 1956.
8. М. А. Измайлов и Е. Ф. Иванова, Ж. физ. химии, 29, 1614, 1955.
9. Справочник химика, Госхимиздат, т. 3, 1952.

ELECTROCAPILLARY CURVES ON MERCURY OF ETHANOL SOLUTIONS OF HYDROGEN CHLORIDE AND SODIUM IODIDE

G. A. Korchinskii (Vinnitsa)

Summary

Electrocapillary measurements have been made of ethanol solutions of various concentrations of NaJ and HCl. The shift in maximum of the HCl curve with respect to that of NaJ at $C_{NaJ} = C_{HCl}$ has been shown to be of constant value = 0.28 V. The differential capacity minimum of the electrical double layer has been found to lie at a potential of 0.52V. in the case of dilute HCl solutions and to disappear in the case of concentrated solutions. All solutions of NaJ possess a differential capacity minimum that depends upon the adsorption of the ions. For the ethanol HCl and NaJ solutions a linear dependence has been revealed between the value of the adsorption potential and the logarithm mean ionic activity of the solutions. The adsorption on an uncharged mercury surface has been calculated and it has been shown that ethanol and aqueous solutions have a number of properties in common.

АДСОРБЦИОННЫЕ ЯВЛЕНИЯ В СИСТЕМЕ ВОДОРОД — УГЛЕКИСЛОТА — ОКИСЬ УГЛЕРОДА — ВОДЯНОЙ ПАР.

III. АДСОРБЦИЯ ОКИСИ УГЛЕРОДА

*Л. Г. Антонова, Т. Г. Фильченкова, Ф. И. Ивановский
и А. И. Красильников*

В предыдущей статье [1] были описаны опыты по исследованию потенциала адсорбции сухого и влажного водорода и углекислого газа на меди и кобальте при 250 и 300°. Исследование было выполнено методом измерения электрохимического потенциала пористой металлической пленки в среде исследуемого газа с использованием специальных сортов нагретого стекла в качестве твердого электролита.

В настоящей статье мы описываем опыты по исследованию электрохимического потенциала адсорбции окиси углерода на различных металлах, причем методика исследования была сохранена прежняя [1]. Воспроизводимость измерений составляла приблизительно ± 25 mV. Точность замера ± 1 mV.

Экспериментальная часть

Опыты по адсорбции окиси углерода проводились применительно к реакции конверсии окиси углерода с водяным паром. Взаимодействие окиси углерода с водяным паром был посвящен ряд исследований, главным образом на окисно-железном [2—5] и отчасти на кобальтовом [6] катализаторе. В последнее время эта реакция была исследована также и на более активных окисных катализаторах смешанного типа [7].

Очистка окиси углерода в наших опытах достигалась пропусканием при 350° через печь с восстановленной медью, далее через печь с медью, осажденной на силикагеле, при 250°, через сосуд для вымораживания при температуре около -70° , через аскарит, через активированный уголь, силикагель. В начале измерений кривые потенциал—время имеют несколько ломаный характер, но выравниваются через 1,5—2 часа от начала опыта.

Опыты на кобальте. Опыты по адсорбции окиси углерода проводились на пленке из кобальта при 250°. На кобальте в атмосфере окиси углерода легко устанавливается значение электрохимического потенциала около -750 mV против воздушно-серебряного электрода сравнения. Таким образом окись углерода из всех исследованных нами газов является наиболее энергичным, после водорода, восстановителем.

В отличие от углекислого газа на меди [1] и аналогично этилену на меди [8], адсорбированная на кобальте окись углерода не десорбируется полностью в атмосфере водорода при 250° и, очевидно, прочно удерживается поверхностью кобальта.

На рис. 1 дана общая картина адсорбции газов на кобальте при 250°.

Опыты на железе. Опыты по адсорбции окиси углерода на железе проводились при 425°. Электрохимический потенциал адсорбции окиси углерода при этом оказывается весьма близким к потенциалу на кобальте.

На обоих металлах (железо и кобальт), несмотря на различие температуры (425 и 250°), потенциал оказывается равным около -750 mV против воздушно-серебряного электрода сравнения.

В атмосфере водорода на железе не происходит заметной десорбции окиси углерода и сохраняется потенциал, соответствующий окиси углерода. Мы уже отмечали выше сходное обстоятельство в отношении кобаль-

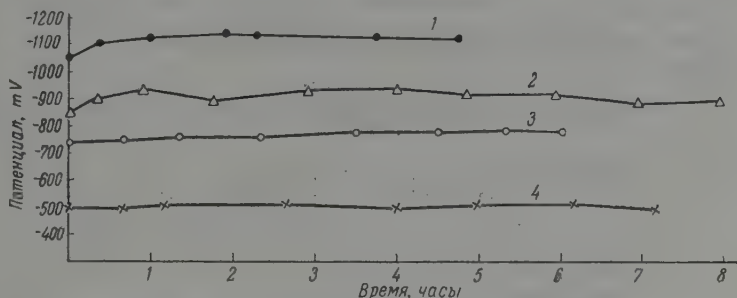


Рис. 1. Адсорбция газов на кобальте при 250°: 1 — H₂; 2 — H₂ после CO; 3 — CO; 4 — CO₂

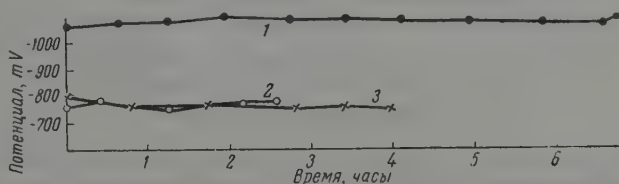


Рис. 2. Адсорбция водорода и окиси углерода на железе при 425°: 1 — H₂; 2 — H₂ после CO; 3 — CO

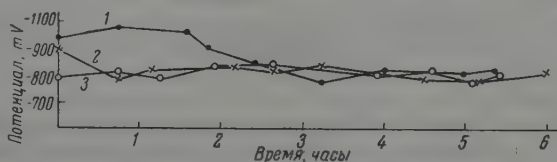


Рис. 3. Адсорбция окиси углерода на никеле при 425°; кривые 1, 2, 3 соответствуют различным опытам

та. Однако на железе этот факт выражен в еще более значительной степени. Особенно ясно это видно на сводном графике на рис. 2 для железа.

Опыты на никеле. Опыты по адсорбции окиси углерода на никеле проводились также при 425°. Результаты показаны на рис. 3.

Электрохимический потенциал адсорбции окиси углерода на никеле около -800 mV) близок к значениям потенциала на железе и кобальте.

Опыты на серебре. Опыты по адсорбции окиси углерода на серебре проводились также при 425°. Результаты показаны на рис. 4.

Серебряная пленка, в отличие от пленок других металлов, получалась восстановлением азотнокислого серебра не водородом, а сегнетовой солью (серебряное зеркало). Окись углерода адсорбировалась на такой пленке непосредственно после ее изготовления, а также после предварительной адсорбции водорода. Результаты в обоих случаях оказались практически одинаковыми. Наоборот, в случае адсорбции водорода на свежей плен-

ке и после предварительной адсорбции окиси углерода результаты оказались различными (рис. 4).

Потенциал адсорбции окиси углерода на серебре равен около 800 mV против воздушно-серебряного электрода сравнения.

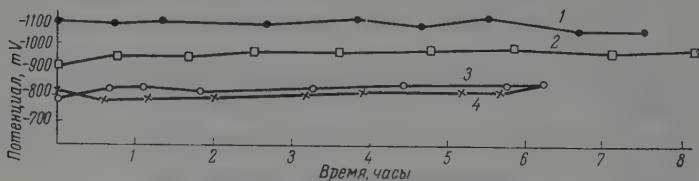


Рис. 4. Адсорбция водорода и окиси углерода [на серебре при 425°: 1 — H₂; 2 — H₂ после CO; 3 — CO после H₂; 4 — CO]

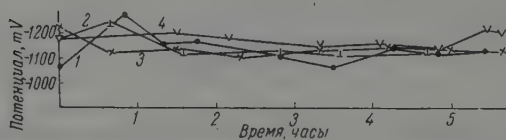


Рис. 5. Адсорбция окиси углерода на меди при 425°; кривые 1, 2, 3, 4 отвечают различным опытам

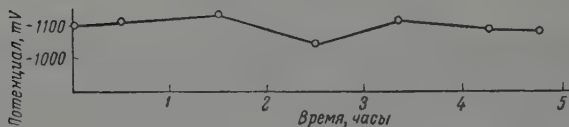


Рис. 6. Адсорбция окиси углерода на меди при 425° после адсорбции азота

Опыты на меди. Несколько неожиданными оказались результаты опытов по адсорбции окиси углерода на меди. Эти опыты были проведены при 425°. Результаты этих опытов показаны на рис. 5.

Как видно на этом рисунке, электрохимический потенциал адсорбции окиси углерода на меди (около — 1100 mV) весьма заметно отличается от потенциала на железе и кобальте (около — 750 mV).

Следует отметить, что потенциал при адсорбции окиси углерода на меди был сравнительно близок к потенциалу при адсорбции водорода на этом металле [1].

Нами были поставлены следующие дополнительные опыты. После восстановления в токе водорода пленка прогревалась при 425° в токе чистого азота. При этом устанавливался электрохимический потенциал адсорбции азота на меди, т. е. около — 400 mV. Затем пленка прогревалась при 425° в атмосфере окиси углерода. В этом случае, так же как и в других опытах с окисью углерода на меди, устанавливалось значение потенциала около — 1100 mV.

Результаты одного из таких опытов показаны на рис. 6. Сравнение рис. 5 и 6 показывает, что потенциал при адсорбции окиси углерода на меди после адсорбции водорода и после адсорбции азота практически одинаков.

Наличие у окиси углерода двух различных значений потенциала при сорбции (-1100 мВ на меди и около -800 мВ на остальных металлах)водит на мысль о том, что здесь сказывается сложная электронная структура окиси углерода.

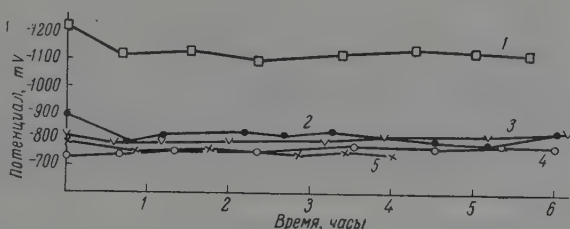


Рис. 7. Адсорбция окиси углерода на различных металлах: 1 — на Cu при 425° ; 2 — на Ni при 425° ; 3 — на Ag при 425° ; 4 — на Co при 250° ; 5 — на Fe при 425° .

Таким образом, из всех исследованных металлов несколько особняком стоит медь. Эти соотношения особенно наглядно видны на сводном графике (рис. 7), где показаны значения потенциала адсорбции окиси углерода различных металлах.

Обсуждение результатов

Во всех исследованных нами до сего времени случаях адсорбция газа на металле при повышенной температуре сопровождалась наличием определенного скачка электрохимического потенциала. Как правило, величина подобного скачка потенциала приблизительно соответствует обычно наблюдаемым значениям скачка электродного потенциала на границе металла с раствором. Хорошая воспроизводимость полученных результатов говорит о равновесном характере наблюдаемых скачков потенциала при использовании стекла в качестве твердого электролита.

Эти экспериментальные данные не могут быть объяснены без представления о том, что адсорбированный на металле газ находится в равновесии с газовыми ионами, растворенными в стекле или адсорбированными на поверхности стекла.

Наблюдаемый скачок потенциала должен определяться именно этим равновесием и принципиально не должен зависеть от какого-либо науглероживания или иного возможного изменения поверхности металла.

Уже неоднократно высказывалась мысль о том, что каталитическая активность металла сводится к его способности ионизировать адсорбированный на нем газ [9—14]. Следствием таких представлений являются отдельные попытки поставить каталитическую активность в непосредственную связь с электронной структурой металла [11].

Следует, однако, отметить, что способность к ионизации адсорбированных молекул газа определяется в общем случае не только электронной структурой металла, но также и природой газа и прочностью адсорбционной связи газа с поверхностью этого металла [15]. Действительно, энергия электронного перехода от металла к газу, или в обратном направлении, зависит не только от работы выхода электрона, но и от сродства азотной молекулы к электрону и от энергии адсорбционной связи азота с металлом. Поэтому электрохимический потенциал является наиболее типичной характеристикой каталитических особенностей адсорбента.

Выполненные в данной работе измерения дают представления о ионизации адсорбированного на металле газа в присутствии стекла, т. е., по видимому, на поверхности раздела металл—стекло.

Весьма возможно, что окись углерода является промежуточным соединением, способным, в зависимости от природы металла, адсорбироваться как с присоединением, так и с отщеплением электронов. Действительно, окись углерода, с одной стороны, является весьма сильным восстановителем, в особенности, например, на меди (рис. 7), и легко вступает во взаимодействие с кислородом; с другой стороны, хорошо известны также и реакции взаимодействия окиси углерода с водородом.

Весьма важным является тот факт, что потенциал адсорбции окиси углерода на меди оказывается приблизительно на 300 mV более отрицательным, чем на всех остальных исследованных металлах (железо, кобальт, никель, серебро).

По-видимому, именно в сложной электронной структуре окиси углерода и в избирательном характере адсорбционного сродства и следует искать пути к объяснению этого факта. Действительно, медь обычно рекомендуется как специфический катализатор для соединения CO с кислородом, а никель и железо — для взаимодействия ее с водородом.

Выводы

1. Был исследован электрохимический потенциал адсорбции окиси углерода на кобальте при 250° и на железе, никеле, серебре и меди при 425°.
2. Исследования проводились методом измерения потенциала пористой металлической пленки в среде исследуемого газа с использованием стекла в качестве твердого электролита, по отношению к воздушно-серебряному электроду сравнения.
3. Потенциал при адсорбции окиси углерода на меди оказывается приблизительно на 300 mV более отрицательным, чем на всех остальных исследованных металлах.
4. Дано предварительное обсуждение полученных результатов.

Государственный институт
азотной промышленности

Поступила
25. III. 1959

ЛИТЕРАТУРА

1. Л. Г. Антонова, Ф. И. Ивановский, Т. Г. Фильченкова, А. И. Красильщикова, Ж. физ. химии, **33**, 416, 1959.
2. В. А. Ройтер, С. С. Гаухман, Н. П. Писаржевская, Т. М. Гвалдия, Ж. прикл. химии, **18**, 439, 1945.
3. Н. Б. Кулькова и М. И. Темкин, Ж. физ. химии, **23**, 695, 1949.
4. F. G. Gaupichler, Industr. Engng Chem., **30**, 578, 1938.
5. C. Radovania, A. Lotteri, J. Soc. Chem. Ind., **56**, 394, 1937.
6. Н. В. Добровольская и Б. П. Брунс, Тр. ГИАП, Госхимиздат, **104**, 1956.
7. Ф. И. Ивановский, Г. Е. Брауде и Т. А. Семенова, Тр. ГИАП, Госхимиздат, **8**, 76, 1957.
8. Л. Г. Антонова, А. И. Красильщикова, Тр. ГИАП, Госхимиздат, **292**, 1957.
9. Л. В. Писаржевский, Избранные труды. Изд-во АН УССР, Киев, 1938.
10. В. А. Ройтер, Ж. физ. химии, **4**, 457, 1933.
11. G. M. Schwaab, Trans. Faraday Soc., **42**, 689—1946.
12. С. З. Рогинский, Проблемы кинетики и катализа, **8**, 110, 1955.
13. А. Н. Теренин, Проблемы кинетики и катализа **8**, 17, 1955.
14. М. И. Темкин, Сб. Вопр. хим. кинет., катал. и реакц. способн., Изд-во АН СССР, М., 1955, стр. 484.
15. Г. К. Боресков, Сб. Гетерог. катализ в химической промышленности, Госхимиздат, М., 1955, стр. 5.

ADSORPTION PHENOMENA IN THE SYSTEM HYDROGEN—CARBON
DIOXIDE — CARBON MONOXIDE—WATER VAPOR. II.

*L. G. Antonova, T. G. Fil'chenkova, F. P. Ivanovskii,
A. N. Krasil'shchikov (Moscow)*

Summary

The electrochemical adsorption potential of carbon monoxide on cobalt at 250° and iron, nickel, copper and silver at 425° was investigated. The determinations were made potential measurements of a porous metallic film in an atmosphere of the gas using ss as solid electrolyte and the air — silver electrode as reference electrode. The adsorption potential of carbon monoxide on copper was found to be 300 mV more negative than all the other metals. A preliminary discussion of the results has been presented.

НОВЫЕ ДАННЫЕ О ВТОРИЧНОЙ СТРУКТУРЕ У ПОРОШКОВ ВЕЩЕСТВ, КРИСТАЛЛИЗУЮЩИХСЯ ПО ТИПУ СФАЛЕРИТА (АЛМАЗА)

Ю. П. Симанов

В работах [1, 2] сообщалось о наблюдавшихся на рентгенограммах порошков кубических кристаллов «избыточных» лишних линиях, которые можно было индифицировать в решетке с $a=4a_0$, где a_0 — постоянная основной решетки. Но систематического сравнения результатов для исследованных веществ (галоидные соли щелочных металлов и металлы группы золота) и трех применявшихся анодов проведено не было.

Целью настоящей работы явилось: 1) установить с несомненностью, что «избыточные» линии не являются паразитными, т. е. происходящими от загрязненности излучения трубки, и что их нельзя приписать присутствию примесей к исследуемому элементу или химическому соединению; 2) провести систематическое сопоставление результатов индифицированных всех полученных снимков, — для чего и были выбраны вещества, кристаллизующиеся в одном типе (сфалерита).

Экспериментальная часть

Веществами, подвергшимися исследованию, явились: С (алмаз), Ge, Sn (серое), GaAs, InSb; GaSb; ZnSe; ZnTe; CdTe; InAs; ZnS (природные клеофан и сфалерит); In_2Te_3 . Так как не имелось вполне надежных гарантий, как в смысле спектральной чистоты рентгеновского излучения (съемки производились на электронных трубках типа БСВ с Cu, Ni, С, Fe, Сг анодами) *, так и в смысле полного отсутствия примесей к исследуемым веществам, то мы произвели сопоставление всех снимков, исходя из следующих элементарных соображений. Если в спектре испускания данного анода, кроме «рабочих» линий K_α и K_β , присутствуют паразитные линии **, причина которых или в недостаточной чистоте самого металла анода, или в осаждении на последнем продуктов распыления фокусирующей колпачка, то отражениям, происходящим от наличия паразитного излучения, можно ошибочно придать самостоятельное значение, характеризующее кристаллическую структуру исследуемого материала и иногда даже приписать им запрещенные (сверхструктурные) индексы. Действительно, пусть на снимке мы визируем весьма слабую линию, для которой угол отблеска равен θ . Если длина рабочей волны λ_α , а длина волны паразитного излучения, которое в действительности породило эту линию, то

$$\lg a - \lg \frac{\lambda_\alpha}{2} + \lg \sin \theta = \lg \frac{a}{d_{cc}} = \lg \sqrt{h_{cc}^2 + k_{cc}^2 + l_{cc}^2} = \lg \sqrt{S_{cc}};$$

$$\lg a - \lg \frac{\lambda_\pi}{2} + \lg \sin \theta = \lg \frac{a}{d} = \lg \sqrt{h^2 + k^2 + l^2} = \lg \sqrt{S},$$

где d_{cc} — межплоскостное расстояние, вычисленное для линии, которую мы проиндифицировали с запрещенными индексами (h_{cc} , k_{cc} , l_{cc}), не зная

* На хромовом излучении была получена лишь незначительная часть рентгенограмм, так как гетановые окошки сильно поглощают характеристические хромовые лучи, вследствие чего применение трубок БСВ-Сг мало эффективно.

** Линии L-серии вольфрама катодной нити, иногда присутствующие в излучении даже совершенно новых трубок БСВ, исключались при первичной обработке результатов промера снимков.

паразитной природе; соответственно d, h, k, l — природные межплоскостные расстояния и обычные индексы, разрешенные структурным фактором. Вычитая (2) из (1) и переходя от логарифмов к числам, будем иметь

$$S_{cc} = S \frac{\lambda_{\pi}}{\lambda_{\alpha}}. \quad (3)$$

Иногда число S_{cc} иногда возможно представить в виде суммы трех квадратов. Отсюда видно, что для того чтобы паразитной линии в случае разных анодов возможно было приписать одни и те же индексы, должно быть выполнено условие:

$$\frac{\lambda_{\pi_1}}{\lambda_{1K_{\alpha}}} = \frac{\lambda_{\pi_2}}{\lambda_{2K_{\alpha}}} = \frac{\lambda_{\pi_3}}{\lambda_{3K_{\alpha}}} = \dots \quad (4)$$

Вероятность выполнения такого требования, естественно, быстро падает с числом примененных анодов.

Однако, если мы ограничимся лишь рентгенограммами одного вещества, хотя и с применением разных анодов, мы можем принять за «сверхструктурные» линии присутствующих случайно примесей. Но, когда линия, которой мы придали индексы (h_{cc}, k_{cc}, l_{cc}), повторяется на снимках различных веществ, то объяснить ее присутствие тривиальными загрязнениями становится невозможным. Из результатов индирования каждого снимка 14 исследованных веществ на различных анодах была составлена сводная таблица *. Эта таблица заканчивается там, где разница значений $\lg \sqrt{S}$ для двух рядом лежащих значений S^{**} падает на 5 единиц четвертого десятичного знака, учитывая, что разница между вычисленными и измеренными значениями $\lg \frac{a}{d} = \lg \sqrt{S}$ в конце таблицы в неблагоприятных случаях достигает 2—3 единиц четвертого знака, что делает продолжение таблицы неэффективным.

Рассматривая сводную таблицу, мы установили:

Из всех 17 значений $S = h^2 + k^2 + l^2$, начиная от 1 и кончая 26 ***, на снимках разных веществ и для разных анодов отмечены (в среднем каждая линия на 25 снимках) 14 линий с такими S^{****} . С уверенностью нам удалось констатировать лишь присутствие трех линий: 1) (100), — по видимому, из-за вуали, в которой тонут чрезвычайно слабые линии с малыми h ; 2) (300) — ввиду того, что эта линия попадает в близкое соседство с сильной линией (111) β ; 3) (233) — из-за ее близости к линии (333) β . Для соединений, имеющих сравнительно большую постоянную a , и на относительно жестком излучении (Cu и Ni) можно еще с уверенностью констатировать присутствие по крайней мере еще трех линий: (234), (125), (25), имеющих в основной решетке запрещенные индексы. Далее, на большем или меньшем числе снимков (в среднем на 17) отмечены (опять-таки различных веществ и для различных анодов) 11 линий, которые можно индировать в удвоенной решетке ($K=2$) с тремя целыми индексами (нечетными), разрешенными структурным фактором решетки сфалерита. Таким образом, не прибегая к учетверению решетки, мы смогли проиндировать всего 28 линий (кроме «законных») в решетке типа сфалерита.

* В ней средние значения $\lg \frac{a}{d}$ брались только из таких отдельных значений, которые отличались друг от друга не более чем на двойную ошибку отсчета на компараторе. Принимая во внимание исключительную слабость и нерезкость «избыточных» линий, ошибка в отсчете могла достигать 0,1 мм, т. е. 6' при кассете с $D = 57,3$ мм.

** S подразумевается для учетверенной решетки (см. ниже).

*** Значения S , соответствующие «законным» линиям, в это число не входят. Однако мы включили в нее (для элементов C, Si, Ge и соединений GaAs и InSb) триплеты 02, 222, 024, запрещенные в решетке алмаза и чрезвычайно слабые в решетке сфалерита.

**** Числа, стоящие индексами у значений $\lg \frac{a}{d}$ в I столбце, означают количество снимков, на которых замерена соответствующая линия.

Сводная таблица значений $\lg \frac{a}{d}$

$\lg \frac{a}{d}$	hkl	K	$\lg \sqrt{S} - \lg K$	$\Delta \lg \sqrt{S}$	Примечания
0,0383 ₁₄	133	4	0,0383	0,0111	4 вещества, 3 анода + + 1 монокром. 3 вещества, 3 анода
0,0890 ₅	112	2	0,0881	0,0089	
0,1144 ₂₄	333	4	0,1136	0,0155	
0,1303 ₈	234	4	0,1291	0,0074	
0,1353 ₈	125	4	0,1365	0,0140	
0,1405 ₇					
0,1468 ₄					Только на Fe-аноде
0,1504 ₃₂	110	1	0,1505	0,0057	
0,1549 ₂					
0,1568 ₂	225	4	0,1572	0,0064	
0,1634 ₁₃	035	4	0,1637	0,0063	
0,1700 ₁₄	135	4	0,1699	0,0062	3 вещества, 3 анода
0,1737 ₇					
0,1768 ₃₄	300	2	0,1761	0,0060	
0,1819 ₃	016	4	0,1820	0,0058	
0,1855 ₂					
0,2046 ₄	126	4	0,2042	0,0052	Только на Fe-аноде
0,2105 ₁₅	145	4	0,2095	0,0051	
0,2143 ₁₆	335	4	0,2146	0,0050	
0,2173 ₄					
0,2199 ₃₂	113	2	0,2197	0,0049	
0,2290 ₅	136	4	0,2293	0,0048	Только для GaSb
0,2479 ₃	017	4	0,2474	0,0044	
0,2512 ₁₃	117	4	0,2517	0,0044	
0,2559 ₁₃	023	2	0,2559	0,0042	
0,2567 ₉					
0,2602 ₇	027	4	0,2600	0,0041	3 вещества, 2 анода + + 2 монокром.
0,2646 ₇	127	4	0,2641	0,0040	
0,2674 ₅					
0,2723 ₁₅	123	2	0,2721	0,0039	
0,2762 ₅	227	4	0,2758	0,0038	
0,2780 ₃					2 вещества, 3 анода
0,2802 ₂	037	4	0,2796	0,0037	
0,2835 ₂₅	137	4	0,2833	0,0036	
0,2874 ₃					
0,2889 ₄					
0,2905 ₁₄	056	4	0,2906	0,0035	2 вещества, 2 анода только для ZnS
0,2945 ₄	156	4	0,2941	0,0034	
0,3009 ₃₂	200	1	0,3010	0,0083	
0,3042 ₃	018	4	0,3044	0,0033	
0,3078 ₈	118	4	0,3077		
0,3107 ₂₃	337	4	0,3109		для C, Si, Ge, GaAs, In S
0,3142 ₁₉	014	2	0,3142	0,0032	
0,3170 ₃	128	4	0,3173		
0,3204 ₂₃	356	4	0,3204	0,0031	
0,3225 ₃					
0,3263 ₁₈	114	2	0,3266	0,0030	2 вещества, 3 анода
0,3305 ₄	038	4	0,3296		
0,3332 ₁₅	138	4	0,3325		
0,3387 ₂₀	133	2	0,3384	0,0029	
0,3434 ₁₃	257	4	0,3439	0,0028	
0,3463 ₅					вещества, 3 анода + + 1 монокром.
0,3496 ₂₂	210	1	0,3495	0,0027	
0,3530 ₄	900	4	0,3521		
0,3553 ₁₀	910	4	0,3548		
0,3574 ₁₄	911	4	0,3574		
0,3604 ₉	124	2	0,3601	0,0025	2 вещества; 2 анода + + 1 монокром.
0,3628 ₈	029	4	0,3626		
0,3653 ₁₁	129	4	0,3651		
0,3682 ₃					

(продолжение)

$\lg \frac{a}{d}$	hkl	K	$\lg \sqrt{S} - \lg K$	$\Delta \lg \sqrt{S}$	Примечания
0,3703 ₂₅	233	2	0,3702	0,0024	6 веществ; 4 анода + + 1 монокром.
0,3731 ₃	229	4	0,3726	0,0024	
0,3758 ₆	039	4	0,3750		
0,3778 ₁₄	139	4	0,3774		
0,3818 ₁₃	258	4	0,3821	0,0023	
0,3842 ₇	239	4	0,3845		
0,3868 ₁₃					4 вещества; 4 анода + + 1 монокром.
0,3892 ₂₉	112	1	0,3891		
0,3913 ₃	049	4	0,3913		
0,3934 ₉	149	4	0,3935	0,0022	
0,3953 ₂₁	339	4	0,3957		
0,3983 ₁₃	500	2	0,3980		
0,4006 ₂₀	0.1.10	4	0,4001		
0,4027 ₃	1.1.10	4	0,4022	0,0021	
0,4066 ₃	510	2	0,4065		
0,4124 ₃	159	4	0,4126		
0,4144 ₁₇	511	2	0,4147	0,0020	
0,4167 ₁₃	0.3.10	4	0,4186		
0,4190 ₂₀	1.3.10	4	0,4166		
0,4248 ₃	2.3.10	4	0,4244	0,0019	
0,4263 ₁₄	1.7.8	4	0,4264		
0,4283 ₁₅	359	4	0,4282		
0,4305 ₁₅	234	2	0,4302		
0,4320 ₄	1.4.10	4	0,4320		
0,4337 ₂	3.3.10	4	0,4338	0,0018	
0,4347 ₈					4 вещества; 4 анода + + 1 монокром. только для InSb
0,4358 ₄					
0,4376 ₁₇	125	2	0,4376		
0,4390 ₂₃	11.0.0	4	0,4393		
0,4408 ₇	11.1.0	4	0,4411		
0,4429 ₂₂	11.1.1	4	0,4429		
0,4569 ₅	11.3.1	4	0,4565	0,0016	
0,4586 ₁	522	2	0,4583		
0,4601 ₂	469	4	0,4598	0,0016	
0,4632 ₁₁					5 веществ, 4 анода
0,4648 ₂₄	530	2	0,4647		
0,4665 ₇	11.4.0	4	0,4663		
0,4672 ₂	11.4.1	4	0,4678		
0,4686 ₁₆	11.3.3	4	0,4694		
0,4709 ₂₄	531	2	0,4710		
0,4728 ₄	11.4.2	4	0,4725		
0,4739 ₈	569	4	0,4740		
0,4803 ₃	12.1.1	4	0,4801		
0,4817 ₅	11.5.1	4	0,4816		
0,4834 ₂₁	6.1.0	2	0,4831		
0,4848 ₅	12.2.1	4	0,4845		
0,4862 ₃₀	11.5.2	4	0,4860	0,0014	
0,4889 ₁₈	611	2	0,4889		
0,4903 ₂	12.3.0	4	0,4902		
0,4915 ₁₅	12.3.1	4	0,4917		
0,4933 ₁₄	11.5.3	4	0,4931		
0,4958 ₂₄	12.3.2	4	0,4959		
0,4971 ₂	11.6.1	4	0,4972	0,0013	
0,4998 ₂₈	3.1.0	1	0,5000		
0,5015 ₈	12.4.1	4	0,5013		
0,5029 ₆	12.3.3	4	0,5027		
0,5036 ₉	991	4	0,5040		
0,5055 ₉	621	2	0,5054		
0,5066 ₁₃	10.8.1	4	0,5066		
0,5076 ₇	11.6.3	4	0,5080		
0,5105 ₃₄	541	2	0,5106		
0,5121 ₁₁	13.0.0	4	0,5119		
0,5133 ₅	13.1.0	4	0,5131	0,0012	
0,5142 ₁₄	13.1.1	4	0,5144		

(продолжение)

$\lg \frac{a}{d}$	hkl	K	$\lg \sqrt{S} - \lg K$	$\Delta \lg \sqrt{S}$	Примечания
0,5155 ₅	533	2	0,5157	0,0012	Для C, Si, Ge, GaAs, In
0,5166 ₁	13.2.0	4	0,5169		
0,5180 ₂	13.2.1	4	0,5182		
0,5245 ₃	13.3.1	4	0,5243		
0,5258 ₁	630	2	0,5256		
0,5265 ₁₂	12.6.1	4	0,5269		
0,5283 ₂	13.3.2	4	0,5280		
0,5305 ₃₂	631	2	0,5304		
0,5314 ₃	13.4.0	4	0,5315		
0,5326 ₁	13.4.1	4	0,5327		
0,5337 ₁₈	13.3.3	4	0,5338		
0,5359 ₇	13.4.2	4	0,5361		
0,5373 ₆	10.9.3	4	0,5373		
0,5395 ₁₈	222	1	0,5396		
0,5405 ₉	12.7.0	4	0,5407		
0,5419 ₂	13.5.0	4	0,5418		
0,5428 ₁₄	13.5.1	4	0,5429		
0,5443 ₁₂	7.0.0	2	0,5441	0,0011	
0,5450 ₈	14.1.0	4	0,5451		
0,5465 ₁₀	14.1.1	4	0,5462		
0,5487 ₃₃	7.1.0	2	0,5485		
0,5509 ₁₉	12.7.3	4	0,5506		
0,5517 ₂₁	13.5.3	4	0,5517		
0,5529 ₁	711	2	0,5528		
0,5545 ₁₃	14.3.1	4	0,5549		
0,5568 ₁₃	320	1	0,5570		
0,5599 ₁	11.9.1	4	0,5600		
0,5611 ₈	720	2	0,5611		
0,5629 ₁₂	14.3.3	4	0,5681		
0,5652 ₂₈	721	2	0,5652		
0,5666 ₉	13.7.0	4	0,5671		
0,5683 ₁₉	13.7.1	4	0,5681		
0,5710 ₉	14.5.1	4	0,5711	0,0010	
0,5731 ₃₃	321	1	0,5731	0,0010	
0,5758 ₁₂	15.1.1	4	0,5759		
0,5767 ₁₉	722	2	0,5769		
0,5777 ₄	15.2.0	4	0,5778		
0,5785 ₄	15.2.1	4	0,5788		
0,5808 ₃₄	7.3.0	2	0,5807		
0,5824 ₄₅	15.3.0	4	0,5825		
0,5834 ₁₉	15.3.1	4	0,5834		
0,5844 ₁₃	731	2	0,5844		
0,5862 ₁₈	15.3.2	4	0,5862		
0,5870 ₈				4 вещества; 3 анода	
0,5885 ₁₉	14.6.3	4	0,5889		0,0069
0,5905 ₁₉	15.3.3	4	0,5907		
0,5920 ₁₅	650	2	0,5917		
0,5933 ₇	14.7.1	4	0,5934		
0,5951 ₆	732	2	0,5952		
0,5976 ₁	15.5.1	4	0,5977		
0,6047 ₁	13.9.1	4	0,6046		
0,6058 ₃	810	2	0,6055		0,0008
0,6068 ₁₂	15.6.1	4	0,6070		
0,6088 ₂₅	811	2	0,6088		
0,6110 ₆	13.7.7	4	0,6112		
0,6121 ₂₁	7.3.3	2	0,6120		
0,6133 ₈					
0,6153 ₃₄	410	1	0,6152	3 вещества; 4 анода + + 1 монокром.	
0,6166 ₉	16.3.3	4	0,6168		
0,6176 ₅	15.5.5	4	0,6176		
0,6184 ₁₃	821	2	0,6184		
0,6199 ₁₉	15.7.2	4	0,6199		
0,6215 ₁₈	653	2	0,6215		
0,6239 ₂₀	15.7.3	4	0,6238		
0,6260 ₁₇	15.6.5	4	0,6261		

(продолжение)

$\lg \frac{a}{d}$	hkl	K	$\lg \sqrt{S} - \lg K$	$\Delta \lg \sqrt{S}$	Примечания
0,6276 ₁₈	411	1	0,6276	0,0007	Для C, Si, Ge, GaAs
0,6418 ₁	17.3.3	4	0,6415		
0,6423 ₄	832	2	0,6422		
0,6435 ₂₃	15.9.2	4	0,6436		
0,6449 ₁₀	752	2	0,6450		
0,6507 ₁₄	420	1	0,6505		
0,6523 ₄	17.5.3	4	0,6525		
0,6534 ₁₇	900	2	0,6532		
0,6543 ₆	18.1.1	4	0,6544		
0,6559 ₁₆	9.1.0	2	0,6559		
0,6571 ₂₁	17.5.4	4	0,6572		
0,6577 ₇	15.9.5	4	0,6578		
0,6585 ₁₀	9.1.1	2	0,6585		
0,6595 ₁₀	18.3.1	4	0,6598		
0,6611 ₃₅	421	1	0,6611	0,0006	7 веществ; 4 анода + 1 монокристалл.
0,6629 ₁₁	17.7.1	4	0,6630		
0,6638 ₁₉	920	2	0,6637		
0,6660 ₃₁	921	2	0,6662		
0,6681 ₂₉	17.7.3	4	0,6681		
0,6699 ₁₀	18.5.1	4	0,6699		
0,6711 ₁₁	332	1	0,6712		
0,6761 ₂₈	9.3.0	2	0,6761		
0,6775 ₁₈	19.1.1	4	0,6779		
0,6785 ₁₈	931	2	0,6785		
0,6796 ₅	19.2.1	4	0,6796		
0,6811 ₂₀					
0,6824 ₁₇	19.3.1	4	0,6827		3 вещества, 3 анода
0,6831 ₆	18.5.2	4	0,6832		
0,6840 ₇					
0,6851 ₂₃	932	2	0,6856		
0,6872 ₆	19.3.3	4	0,6873		
0,6918 ₃	19.5.1	4	0,6918		
0,6925 ₃	940	2	0,6924		
0,6935 ₁₃	19.5.2	4	0,6935		
0,6946 ₂₇	941	2	0,6946		
0,6963 ₁₈	19.5.3	4	0,6963		
0,6972 ₁₆	9.3.3	2	0,6968		
0,6991 ₃₄	500	1	0,6990		
0,7006 ₈	15.13.3	4	0,7006		
0,7014 ₁₂	10.1.0	2	0,7012		
0,7023 ₈					2 вещества, 4 анода
0,7032 ₂₅	10.1.1	2	0,7033		
0,7047 ₂₂	19.7.1	4	0,7048		
0,7063 ₂₅	19.7.2	4	0,7064		
0,7074 ₆	5.1.0	1	0,7075		

В учетверенной решетке этого типа ($K=4$) можно проиндексировать еще 9 линий, помимо уже упомянутых 28, а всего 117 линий, что составляет почти точно половину всех наблюдаемых нами избыточных линий. Что касается до остальных 119 линий, то их можно разбить на такие группы:

1) 96 линий можно индексировать в учетверенной решетке со смешанными индексами hkl . Здесь уместно еще раз сказать, что мы оборвали таблицу там, где слишком малая разница между соседними значениями $\lg \sqrt{S}$ делает индексирование в учетверенной решетке ненадежным.

2) Для 23 линий (для них заполнен только первый столбец) соответствующие им значения S нельзя представить в виде суммы трех квадратов, а если исходить из восьмерной решетки. Следует отметить, что для 12 из них* мы имеем достаточное разнообразие анодов и веществ, на сним-

* Соответствующих значениям $\lg \frac{a}{d}$: 0,1405; 0,1468; 0,1768; 0,2674; 0,3463; 0,3868; 0,4347; 0,4632; 0,5870; 0,6133; 0,6811; 0,6840.

ках которых они наблюдались (не менее, чем на трех анодах и для 3—4 веществ). Это разнообразие позволяет признать, что и здесь перед нами не паразитные линии и не линии случайных примесей или загрязнений. Для пяти строк * эта уверенность значительно меньше. Наконец, шесть остальных строк явно соответствуют или примесям, или паразитным излучениям **.

Представляло интерес убедиться в наличии тех же избыточных линий на снимках, полученных на излучении, монохроматизированном отражением от изогнутого кристалла кварца (отражающая плоскость $(10\bar{1}1)$). Несколько таких снимков C, Si, Ge, ZnSe (естественно, отличающихся от обычных значительно ослабленным фоном от силошного излучения) было сделано у трубки с медным анодом ***. Если бы за появление «избыточных» линий в какой-то степени были ответственны высшие гармоники характеристических линий, присутствующие в сплошном спектре, то на монохроматизированных снимках благодаря тому, что кварц отражает $\lambda/2$ под тем же углом, что и λ , линии, индицируемые с законными индексами в удвоенной решетке (или с запрещенными — в основной) оказались бы сильнее, чем на монохроматизированных снимках. Однако на опыте этого не наблюдалось.

Отмеченные нами «избыточные» линии нельзя объяснить эффектом «окольного возбуждения» Реннингера [3], так как в случае гранецентрированных решеток эффект этот не может вызвать появления ни одной запрещенной линии ****.

Природа этих линий, слишком слабых для их фотометрирования и даже для воспроизведения на позитивах, остается пока невыясненной. Формально можно принять их за следствие упорядоченного распределения дефектов того или иного рода, незначительно изменяющих отражательную способность плоских сеток, на которых они размещены. Если бы удалось найти и установить внешние факторы, управляющие числом «избыточных» линий, а может быть, и появлением или исчезновением групп с определенными индексами на снимках одного и того же вещества, произведенных в строго одинаковых условиях, то это было бы первым шагом к объяснению описанного явления.

Большая часть промеров снимков выполнена О. Н. Симановой, которой мы выражаем искреннюю признательность.

Выводы

1. Произведено сопоставление результатов промеров рентгенограмм порошков: C (алмаз), Ge, Si, Sn (серое), GaAs, GaSb, InAs, JnSb, ZnS (природные сфалерит и клеофан), ZnSe, ZnTe, CdTe, In_2Te_3 . Применялись аноды Cu, Ni, Co, Fe, Cr. На всех снимках отмечены весьма слабые линии, запрещенные соответствующим структурным фактором.

2. Большинство этих линий (210 из общего числа 223) можно приписать целочисленные индексы (hkl) в 4-кратной решетке. При этом о д

* Соответствующих значениям $\lg \frac{a}{d}$: 0,2780; 0,2874; 0,3225; 0,3682; 0,7023.

** Они замечены либо для одного только вещества, либо для излучения одного только анода.

*** Поскольку в наших условиях экспозиция для таких снимков значительно превышала 100 час., то большого числа их нельзя было выполнить.

**** Эффект «окольного возбуждения» состоит в появлении запрещенной структурным фактором линии в результате двух последовательных отражений от плоскостей с запрещенными индексами $h_1k_1l_1$ и $h_2k_2l_2$. Индексы окольного возбужденной линии при этом будут: $(h_1 - h_2, k_1 - k_2, l_1 - l_2)$. Но для гранецентрированных решеток все три разности будут всегда одновременно четными или нечетными. Однако этим эффектом можно объяснить появление запрещенной линии (222) для алмаза (кремния и германия).

аковые триплеты (hkl) встречаются на большом количестве снимков от 5 до 30) разных веществ, полученных на р а з н ы х анодах.

3. Ответственными за появление «избыточных» линий, индицируемых в «кратной» решетке, можно формально считать упорядоченно (периодически) распределенные дефекты того или иного рода, незначительно влияющие на отражательную способность соответствующих плоских слоев.

За предоставление образцов для исследования приносим благодарность проф. Н. А. Горюновой и проф. С. Д. Четверикову, а также аспиранту Т. Корнеевой и доц. Н. Л. Покровскому.

Московский государственный университет
им. М. В. Ломоносова

Поступила
26.III.1959

ЛИТЕРАТУРА

- М. М. Попов, Ю. П. Симанов, С. М. Скуратов, М. Н. Суздальцева, Ж. общ. химии, **10**, 2028, 1940.
М. М. Попов, Ю. П. Симанов, С. М. Скуратов, М. Н. Суздальцева, Изв. Сектора физ.-хим. анализа ИОНХ АН СССР, **16**, вып. 1, 1943.
M. R e p p i n g e r, Z. Phys., **106**, 141, 1937.

NEW DATA ON THE SECONDARY STRUCTURE OF POWDERS CRYSTALLIZING ACCORDING TO THE SPHALERITE TYPE

Yu. P. Simanov (Moscow)

S u m m a r y

On X-ray powder diagrams of substances crystallizing according to the sphalerite type obtained with tubes containing different anodes (Fe, Co, Ni, Cu) in addition to the lines referring to the corresponding structural factors very faint lines have been discerned to which may be ascribed whole number indices (hkl) provided the edges of the unit (cubic) cell be multiplied by a factor of 4.

КИНЕТИЧЕСКИЙ МЕТОД ПРИМЕНЕНИЯ МЕЧЕНЫХ АТОМОВ ДЛЯ ИССЛЕДОВАНИЯ СЛОЖНЫХ ХИМИЧЕСКИХ И БИОХИМИЧЕСКИХ ПРОЦЕССОВ

Х. ИССЛЕДОВАНИЕ СКОРОСТЕЙ ОБРАЗОВАНИЯ И РАСХОДОВАНИЯ ЭТИЛЕНА ПРИ КРЕКИНГЕ ПРОПАНА

*Н. И. Медведева, М. Б. Нейман, Е. С. Торсуева
и И. П. Кравчук*

В 1931 г. Райс [1] показал, что термический распад углеводородов и других органических соединений можно объяснить с точки зрения цепной теории. Теория Райса подвергалась многократной проверке и была экспериментально обоснована. Цепные схемы распада позволяют количественно предсказать химический состав продуктов крекинга при различных температурах.

Ряд опубликованных работ показывает хорошее согласие состава получающихся при крекинге продуктов с рассчитанным по теории Райса, по крайней мере, для небольшой глубины превращения. Недавно цепная теория была распространена также на случай крекинга олефинов [2].

В большинстве работ по крекингу углеводородов рассматриваются лишь процессы, происходящие на первых стадиях крекинга, и обычно не учитываются вторичные процессы. Так, согласно Райсу, при крекинге пропана основными продуктами являются водород и пропилен, с одной стороны, и метан и этилен — с другой. Предполагалось, что найденный в продуктах реакции этан образуется в результате рекомбинации метильных радикалов.

Между тем не исключена возможность образования этана в результате вторичной реакции гидрирования этилена. На необходимость учета вторичных реакций уже давно обратил внимание А. В. Фрост [3], который показал, что образующийся при крекинге пропилен тормозит реакцию. Поэтому реакция на всем протяжении должна быть описана уравнением учитывающим торможение продуктами, которое лишь на небольшой глубине превращения переходит в уравнение первого порядка.

В дальнейшем в работах А. Д. Степуховича [4, 5] было показано, что кроме пропилена, и другие непредельные продукты крекинга, например изобутилен, аллен, также тормозят реакцию.

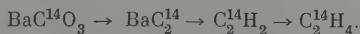
Задача изучения вторичных реакций при крекинге углеводородов может быть значительно облегчена путем применения метода меченых атомов. Этот метод был применен С. З. Рогинским с сотрудниками [6, 7] для качественного изучения вторичных реакций каталитического крекинга углеводородов.

В настоящей работе мы использовали количественный кинетический метод применения меченых атомов [8, 9] для исследования поведения этилена при крекинге пропана.

Экспериментальная часть

Методика. На рис. 1 представлена схема вакуумной установки для крекинга пропана. Крекинг проводился в статических условиях в кварцевом реакционном сосуде 15 объемом 725 мл, помещенном в горизонтальной трубчатой печи 23. Температуру печи контролировалась при помощи градуированной термопары хромель-алюмель.

Для решения поставленной задачи — изучить поведение этилена, образующегося при крекинге пропана, и определить скорости образования и расходования этилена — мы подвергали крекингу пропан, к которому заранее был добавлен меченый этилен $C_2^{14}H_4$ в количестве 1% по давлению. Пропан, синтезированный нами из бромистого пропана через магниорганическое соединение, содержал 0,5% этана и 1% пропилена. Этилен, меченый радиоактивным углеродом C^{14} , синтезировался из $BaC^{14}O_3$ по следующей схеме [10]:



Средняя активность введенного в пропан этилена составляла 38,8 мюри/моль. Начальное давление смеси в реакционном сосуде во всех опытах было одно и то же: 54 мм рт. ст. Изменение давления во время реакции отмечалось по U-образному ртутному манометру. Продукты крекинга вымораживались в стеклянных ловушках 10,

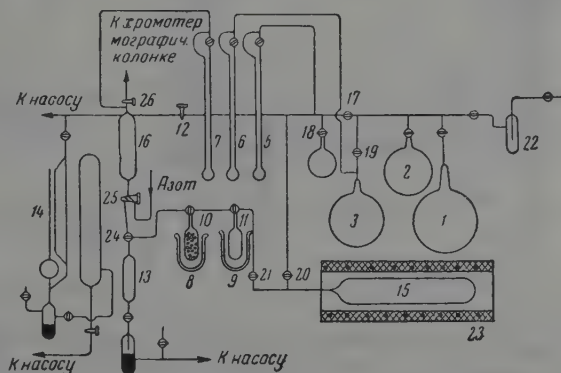


Рис. 1. Схема вакуумной установки для крекинга пропана с добавкой меченого этилена: 1, 2, 3, 4 — колбы для хранения газов; 5, 6, 7 — ртутные U-образные манометры; 8, 9 — сосуды Дьюара с жидким азотом; 10 — ловушка с силикагелем; 11—22 — ловушки; 12, 17—21, 24—26 — краны; 13 — устройство для перевода продуктов реакции из ловушек 10, 11 в сосуд 16; 14 — манометр Мак-Леода; 15 — реакционный сосуд; 16 — сосуд для хранения продуктов реакции; 23 — печь

11, содержащих силикагель и охлаждаемых жидким азотом. После вымораживания продукты реакции поджимались ртутью из ловушек в сосуд 16, из которого они поступали на хроматографическую колонку (рис. 2), наполненную силикагелем МСМ-1.

Для разделения продуктов реакции был применен метод хроматермографии [11, 12]. Из колонки газы поступали в интерферометр, регистрировавший выход каждого компонента смеси.

На рис. 3 дана характерная кривая разделения продуктов крекинга пропана: по оси абсцисс отложено время или пропорциональное ему количество прошедшего через колонку азота, по оси ординат — отсчет по интерферометру.

Количество каждого компонента смеси после разделения определялось по высоте пика данного компонента на кривой, для чего предварительно были сняты градуировочные кривые для отдельных продуктов реакции. Точность измерения составляла 10—15%. Продукты крекинга пропана — метан, этан, этилен, пропилен и непрореагировавший пропан — после разделения на колонке сжигались поочередно в кварцевой трубке над окисью меди, нагретой до ярко-красного каления. Получающаяся при сжигании углекислота улавливалась баритовой водой. Из карбоната бария приготавливались образцы для измерения активности на торцовом счетчике. Коэффициент счетности был принят равным 0,1.

Результаты измерений. Пользуясь описанной выше методикой, мы изучали крекинг пропана с добавкой меченого этилена до 20—25% превращения при температурах 580, 554, 532 и 510°.

На рис. 4 представлены кинетические кривые распада пропана, содержащего 0,5% этана и 1% меченого этилена при четырех температурах. Результаты опытов по определению зависимости времени превращения от

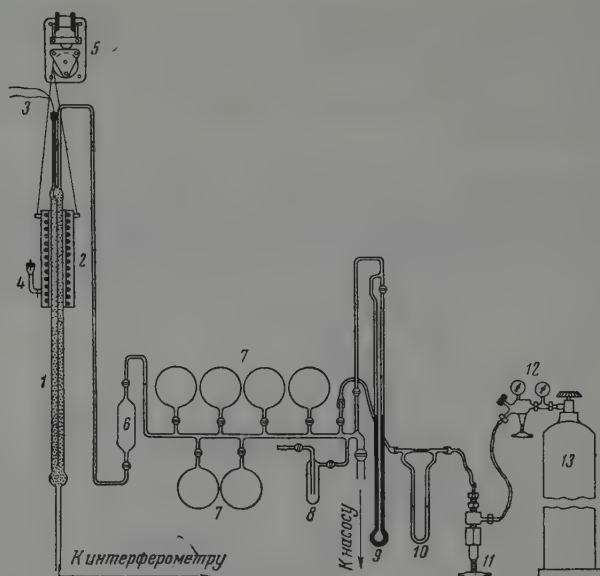


Рис. 2. Хроматографическая колонка для разделения продуктов крекинга: 1 — колонка с силикагелем; 2 — печь; 3 — термопара, 4 — терморегулятор; 5 — мотор Уоррена; 6 — сосуд для смеси газов; 7 — колбы для хранения газов; 8 — ловушка; 9 — ртутный U-образный манометр; 10 — реометр; 11 — вентиль; 12 — редуктор; 13 — баллон с азотом

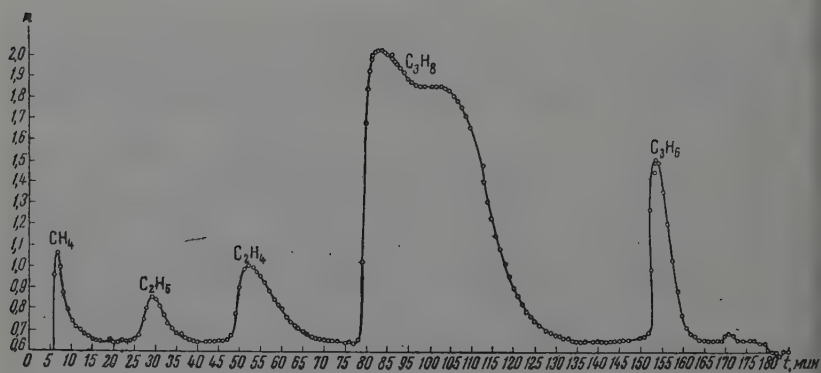


Рис. 3. Кривая хроматермографического разделения продуктов крекинга пропана (опыт № 27)

температуры в координатах $\lg t$ и $1/T$ приведены на рис. 5. Каждая прямая на рисунке отвечает определенной глубине превращения пропана. Энергия активации суммарного процесса крекинга пропана изменяется от 65500 кал/моль для 3% превращения пропана до 72500 кал/моль для 7% превращения.

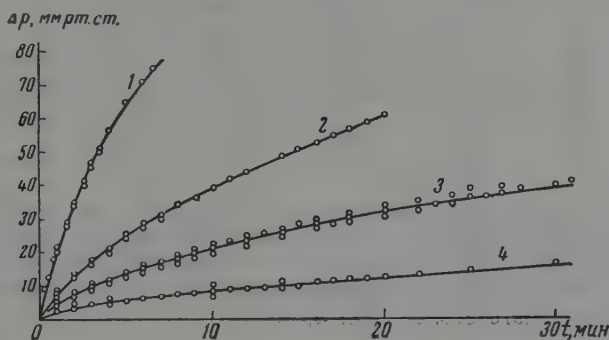


Рис. 4. Кинетические кривые реакции термического разложения пропана: 1—580°; 2—554°; 3—532°; 4—510°

Радиометрический анализ продуктов показал, что, кроме этилена, большой удельной активностью обладает этан. Активность других продуктов, подвергавшихся анализу, — метана, пропилена и пропана — оказалась настолько малой, что ее не приходится принимать в расчет.

На рис. 6 дано изменение удельной активности этилена (кривая 1) и этана (кривая 2) с глубиной крекинга для четырех серий опытов при разных температурах *. Удельная активность этилена α падает вследствие разбавления меченого этилена образующимся при крекинге неактивным этиленом. Удельная активность этана β в начальный момент времени равна нулю, так как в исходной смеси содержится немеченый этан; затем β растет, проходя через максимум. Максимум удельной активности этана лежит на кривой изменения удельной активности этилена; в соответствии с общей теорией кинетического метода из этого следует, что этан образуется непосредственно из этилена. Баланс активности, введенной в исходную смесь с этиленом, и измеренной в продуктах реакции, хорошо сходится на первых стадиях превращения пропана; начиная примерно с 10–12% превращения, во всех четырех сериях опытов при различных температурах заметна некоторая потеря активности: можно думать, что часть активности в этих опытах принадлежит продуктам, которые не анализировались нами **. В табл. 1 приведены данные по балансу активно-

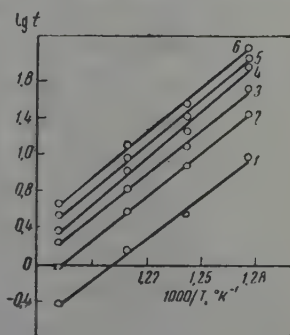


Рис. 5. Влияние температуры на скорость термического разложения пропана: 1 — $\Delta p = 10$; 2 — $\Delta p = 20$; 3 — $\Delta p = 30$; 4 — $\Delta p = 40$; 5 — $\Delta p = 50$; 6 — $\Delta p = 60$ мм рт. ст.

* В последней серии опытов при 510° удельная активность введенного этилена несколько меньше, чем в остальных опытах.

** Радиометрический анализ газов, собранных из хроматографической колонки после пропилена («хвост»), свидетельствует о наличии активности этих продуктов при 0–25% превращения пропана.

Таблица 10

Баланс активности продуктов крекинга пропана

580°		554°		532°		510°	
% превр.	$\Sigma I, \mu\text{кю}$	% превр.	$\Sigma I, \mu\text{кю}$	% превр.	$\Sigma I, \mu\text{кю}$	% превр.	$\Sigma I, \mu\text{кю}$
0	1,90	0	1,90	0	1,90	0	1,65
2,7	2,15	3,7	2,10	2,7	1,98	4,2	1,54
5,1	1,83	5,8	1,86	7,4	1,65	6,2	1,60
8,0	1,85	7,8	1,88	8,9	2,04	6,9	1,55
11,7	1,77	9,6	1,69	10,2	1,67	9,6	1,60
14,2	1,87	12,4	1,68	14,4	1,52	10,7	1,30
21,8	1,61	17,0	1,43	19,8	1,47	14,0	1,26

сти при температурах 580, 554, 532 и 510°. В первом столбце указан процент превращения пропана, во втором столбце — общая активность ΣI у всех продуктов крекинга, выраженная в микрокури. На рис. 7 представлены экспериментальные кривые накопления этилена (1) и этана (2) в ходе реакции термического разложения пропана.

Обсуждение результатов

Описанные выше опыты позволяют решить вопрос о происхождении этана при крекинге пропана. Такая зависимость удельной активности этана и этилена, как изображено на рис. 6, должна иметь место, если един

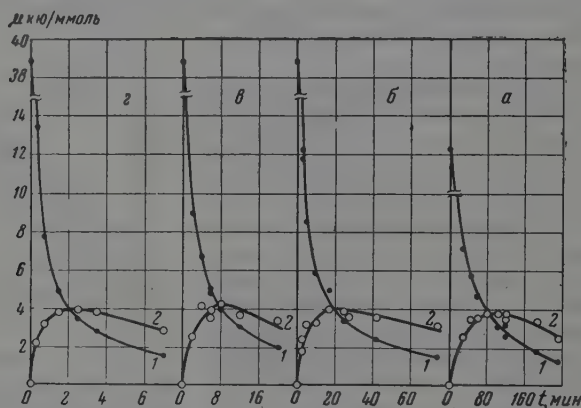


Рис. 6. Изменение удельной активности: 1 — этилена, 2 — этана в ходе реакции для четырех серий опытов при разных температурах: а — 510°; б — 532°; в — 564°; г — 580°

ственным предшественником этана является этилен. Как следует из кинетического метода, в этом случае применима формула:

$$\frac{d\beta}{dt} = \frac{w(\alpha - \beta)}{[C_2H_6]}, \quad (1)$$

где w — скорость образования этана из этилена.

В начальный момент времени $\beta = 0$, $\alpha > \beta$ и $d\beta/dt > 0$. При максимальном значении β должно соблюдаться условие $\alpha = \beta$, что мы и наблюдали.

Учитывая, что скорость расходования этана в условиях наших опытов мала, мы можем при помощи кинетического метода рассчитать скорость

образования этана из этилена [13]:

$$w = \frac{1}{\alpha} \frac{dI_{C_2H_6}}{dt}, \quad (2)$$

где $I_{C_2H_6} = \beta[C_2H_6]$ есть общая активность этана.

Таблица 2

Скорость образования этана из этилена

580°			554°			532°			510°		
т, мин.	$w \cdot 10^3$	$\frac{\text{ммоль}}{\text{сек}}$	т, мин.	$w \cdot 10^3$	$\frac{\text{ммоль}}{\text{сек}}$	т, мин.	$w \cdot 10^3$	$\frac{\text{ммоль}}{\text{сек}}$	т, мин.	$w \cdot 10^3$	$\frac{\text{ммоль}}{\text{сек}}$
1	3,3		2	7,2		5	3,3		30	7,1	
1,5	3,7		4	7,7		10	2,5		46	8,3	
2	3,9		6	8,7		15	2,9		60	9,0	
2,5	4,0		8	8,4		20	3,4		80	8,1	
3,5	3,6					25	3,1		105	6,4	
4,5	2,9					30	2,7		120	8,1	
						35	2,8		183	6,8	
						40	2,9				
						50	3,1				
						60	3,1				

В табл. 2 приведены рассчитанные по формуле (2) скорости образования этана из этилена, выраженные в миллимолях в секунду. Табл. 2 показывает, что для каждой серии опытов при данной температуре скорость образования этана из этилена остается постоянной в ходе реакции (до 15—20% превращения пропана). Разброс значений w не превышает погрешности измерений. Сравнение средних значений скорости образования этана из этилена w со скоростью накопления этана $d[C_2H_6]/dt$, полученной из экспериментальной кривой $[C_2H_6] = f(t)$, убеждает нас в том, что этан практически не образуется из этилена. Скорость накопления этана в ходе реакции, измеренная экспериментально, совпадает со скоростью образования этана из этилена, рассчитанной при помощи кинетического метода (табл. 3).

Это подтверждает сделанный нами вывод о том, что при крекинге пропана на малых глубинах превращения (до 20%) этан образуется главным образом в результате вторичной реакции из этилена. Следует заметить, что увеличением глубины реакции расхождение между количеством превращенного этилена и образовавшегося этана начинает превышать ошибки измерений. Это указывает на возможность образования других продуктов из этилена на более глубоких стадиях крекинга.

На основании радикально-цепной схемы крекинга углеводородов можно представить следующий путь образования этана из этилена:

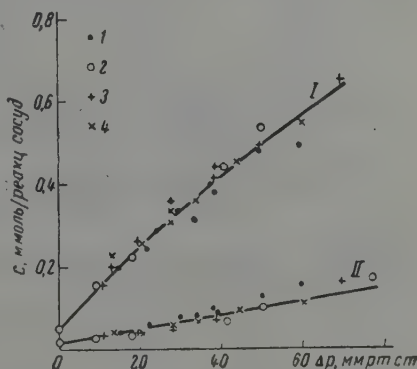
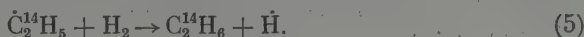


Рис. 7. Накопление: I — этилена и II — этана в опытах по крекингу пропана при разных температурах: 1 — 580°; 2 — 554°; 3 — 532°; 4 — 510°

Таблица 3

Сравнение скоростей образования этана из этилена

$$w_{\text{ср}} = \frac{1}{\alpha} \frac{dI_{\text{C}_2\text{H}_4}}{dt} \text{ и скоростей накопления этана}$$

в ходе реакции $d[\text{C}_2\text{H}_6]/dt$

	580°	554°	532°	510°
$w_{\text{ср}} = \frac{1}{\alpha} \frac{dI_{\text{C}_2\text{H}_4}}{dt};$ м.моль/сек	$3,6 \cdot 10^{-4}$	$8,0 \cdot 10^{-5}$	$3,0 \cdot 10^{-5}$	$7,7 \cdot 10^{-6}$
$\frac{d[\text{C}_2\text{H}_6]}{dt}$, м.моль/сек	$3,4 \cdot 10^{-4}$	$8,7 \cdot 10^{-5}$	$3,2 \cdot 10^{-5}$	$9,0 \cdot 10^{-6}$

Реакция (3) протекает легко, с энергией активации $E \leq 5000$ кал/моль [14]. Далее этильные радикалы $\dot{\text{C}}_2\text{H}_5$ отрывают атомы H от насыщенных молекул C_3H_8 или H_2 .

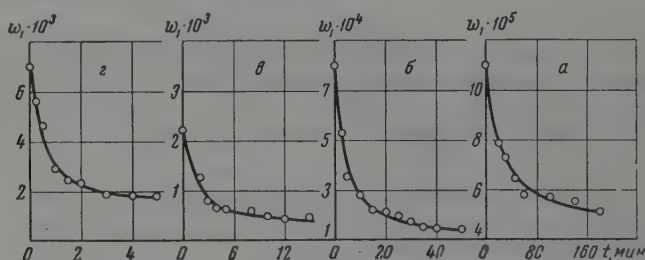


Рис. 8. Скорость образования этилена при крекинге пропана (м.моль/сек): а — 510°; б — 532°; в — 554°; г — 580°

Кинетический метод позволяет рассчитать скорость образования этилена при крекинге пропана:

$$w_1 = -[\text{C}_2\text{H}_4] \frac{d \ln \alpha}{dt} \quad (6)$$

На рис. 8 приведены скорости образования этилена w_1 , рассчитанные для четырех серий опытов, при разных температурах (без учета расхода этилена в ходе реакции).

Температурный ход начальной скорости образования этилена (рис. 9) приводит к энергии активации этого процесса $E = 62500$ кал/моль. Знание скорости w_1 образования этилена позволяет оценить концентрации нормальных пропильных радикалов. Как следует из схемы Райса $n\text{-C}_3\text{H}_7$ -радикалы распадаются с образованием этилена и метильного радикала:



Скорость этого процесса, равная скорости образования этилена, может быть выражена уравнением:

$$w_1 = k_0 e^{-E/RT} [n\text{-}\dot{\text{C}}_3\text{H}_7] \quad (8)$$

Для расчета $[n\text{-}\dot{\text{C}}_3\text{H}_7]$ мы взяли значение $E = 28000$ кал/моль в соответствии с энергией разрыва связи $\text{CH}_3\cdots\text{CH}_2 - \dot{\text{C}}\text{H}_2$, равной около 26000 кал/моль [15].

В табл. 4 приведены концентрации нормальных пропильных радикалов при 580°. Знание скорости элементарного процесса (3) или, что то же самое, скорости расходования этилена w_2 , позволяет оценить концентрацию атомов Н в зоне термического разложения пропана. w_2 мы определяем как разность скорости образования этилена w_1 и суммарного накопления этилена со временем $d[C_2H_4]/dt$:

$$w_2 = -[C_2H_4] \left[\frac{d \ln \alpha}{dt} - \frac{d[C_2H_4]}{dt} \right] \quad (9)$$

Однако оценка значений w_2 по разности двух близких по величине скоростей не может быть сделана достаточно точно.

Учитывая, что в нашем случае этилен расходуется главным образом на образование этана, мы использовали для оценки концентрации атомов водорода по реакции (3) скорость w образования этана из этилена, считая ее равной скорости w_2 — расходования этилена:

$$w_2 = w = f k_0 e^{-E/RT} [C_2H_4] [\dot{H}].$$

Подставляя $f = 0,01$; $k_0 = 10^{-10}$ см³сек⁻¹ molec.⁻¹; $E = 5000$ кал/моль, получили значения $[\dot{H}]$, приведенные в табл. 5.

Таблица 4

Концентрация $[n-C_3H_7]$ при крекинге пропана $T = 580^\circ$

% превращения пропана	$[n-C_3H_7] \cdot 10^{-10}$, molec./см ³
2	4,9
3,5	4,1
6	2,6
10	2,4
13,1	1,7
15,7	1,6

Таблица 5

Концентрация $[\dot{H}]$ при крекинге пропана, $T = 580^\circ$

% превращения пропана	$[\dot{H}] \cdot 10^{-10}$ атом/см ³
3,5	4,2
6	2,9
8	2,3
10	2,0
13	1,6
16	1,3
18	1,2
20	1,1

Выводы

1. При крекинге пропана этилен не является конечным продуктом, превращается в этан.
2. При помощи кинетического метода применения меченых атомов рассчитаны скорости образования этилена и этана, а также показан путь для учета скорости расходования этилена. На основании этих расчетов показано, что практически весь этан образуется из этилена.
3. Произведена оценка концентрации нормальных пропильных радикалов и атомов водорода в зоне крекинга пропана при температуре 580°.

Академия наук СССР
Институт химической физики

Поступила
26. III. 1959

ЛИТЕРАТУРА

- Р. О. Ризе, J. Amer. Chem. Soc., 53, 1959, 1931.
В. В. Воеводский, Докл. АН СССР, 94, 909, 1954.
А. И. Диндес, А. В. Фрост, Докл. АН СССР, 3, 510, 1934.
А. Д. Степучович, Ж. физ. химии, 24, 513, 1950.

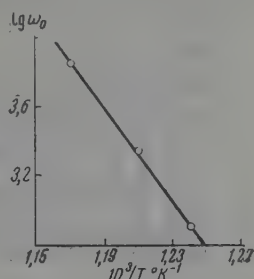


Рис. 9. Температурный ход начальной скорости образования этилена при крекинге пропана

5. А. Д. Степухович, Докл. АН СССР, 90, 213, 1953.
6. С. З. Рогинский, Е. А. Андреев, Т. И. Андрианова, Б. В. Клименок, О. В. Крылов, М. М. Сахаров, Докл. АН СССР, 96, 781, 1954.
7. Т. И. Андрианова, Ж. физ. химии, 29, 2048, 1955.
8. М. Б. Нейман, Ж. физ. химии, 28, 1235, 1954.
9. М. Б. Нейман, Н. И. Медведева, Е. С. Торсуева, Докл. АН СССР, 115, 347, 1957.
10. Л. Я. Марголис, Б. В. Клименок, О. А. Головина, Докл. АН СССР, 86, 313, 1952.
11. А. А. Жуховицкий, О. В. Золотарева, В. А. Соколов, Н. М. Туркельтауб, Докл. АН СССР, 77, 435, 1951.
12. Н. И. Медведева, Е. С. Торсуева, Тр. Комиссии по аналитической химии, 6, 88, 1955.
13. А. Ф. Луковников, М. Б. Нейман, Ж. физ. химии, 29, 1410, 1955.
14. E. W. R. Steacie, «Atomic and Free Radical Reactions», New York, 1954, стр. 88—89.
15. П. Н. Семенов, О некоторых проблемах химической кинетики и реакционной способности, Изд-во АН СССР, Москва, Издание 2-е, 1958, стр. 88—89.

KINETIC TRACER ATOM TECHNIQUE IN THE STUDY OF INVOLVED CHEMICAL AND BIOCHEMICAL PROCESSES

IX. RATE OF FORMATION AND CONSUMPTION OF ETHYLENE IN THE CRACKING OF PROPANE

*N. I. Medvedeva, M. B. Neiman,
E. S. Torsueva and I. P. Kravchuk (Moscow)*

Summary

The rate of accumulation of ethylene, ethane and methane in the thermal decomposition of propane has been determined over a wide range of temperatures. To the propane was added a small amount of ethylene labelled with radioactive carbon. In the course of the process measurements were made of the change in specific activities of C_2H_4 and CH_4 . With the aid of the kinetic isotope method the rate of formation and consumption of ethylene was calculated and it was shown that practically the whole of the ethylene is formed from hydrogenation of ethylene. An estimation has been made of the concentration of atomic hydrogen and propyl radicals in various stages of the reaction.

ИССЛЕДОВАНИЕ ТЕРМОДИНАМИЧЕСКИХ СВОЙСТВ ДВОЙНЫХ МЕТАЛЛИЧЕСКИХ СИСТЕМ МЕТОДОМ ЭЛЕКТРОДВИЖУЩИХ СИЛ

VI. СИСТЕМА ЖЕЛЕЗО — СУРЬМА В ТВЕРДОМ СОСТОЯНИИ

В. А. Гейдерих, А. А. Вечер и Я. И. Герасимов

В настоящей статье методом э. д. с. исследованы термодинамические функции системы железо — сурьма.

В литературе обычно приводится диаграмма состояния системы, построенная по данным Н. С. Курнакова и Б. П. Константинова [1]. На с. 1 приводится эта диаграмма, в которой линия ликвидуса и температура перитектической реакции исправлены по нашим данным для э. д. с. жидком состоянии [2].

При температурах ниже 620° диаграмма состояния включает следующие фазовые области:

1) α -Твердый раствор сурьмы в железе. Границы существования α -фазы точно не определены, данные различных авторов сильно расходятся. По данным Хэгга и Геллера, приведенным в книге Хапсена [3], растворимость сурьмы в железе при $400-700^\circ$ приблизительно составляет 2,5—4 ат. %

2) Гетерогенная область (α - + ϵ -фазы) от 3 до 42 ат. % Sb.

3) ϵ -Фаза (42—48 ат. % Sb). Нами приняты границы существования фазы, указанные Н. В. Агеевым и Е. С. Макаровым [4]. По их данным, ϵ -фаза представляет собой раствор железа в мнимом соединении Sb, фазу бертоллидного характера. В гексагональной (типа NiAs) решетке FeSb часть октаэдрических пустот занята избыточными атомами железа (раствор внедрения). В дальнейшем нами употребляется формула $\text{Fe}_{0,52}\text{Sb}_{0,48}$. Этой формулой мы условно обозначаем сплав, содержащий 48 ат. % железа и представляющий собой наиболее богатую сурьмой фазу.

4) Гетерогенная область (ϵ -фаза + FeSb₂) от 48 до 66,7 ат. % Sb.

5) Гетерогенная область (FeSb₂ + Sb) от 66,7 до 100 ат. % Sb.

Экспериментальная часть

Примененный нами в работе метод электродвижущих сил описан подробно в ряде статей (например, [6, 7]), в том числе и в статье двух из авторов [8]. Нами изучались термодинамические функции для реакции, происходящей в ячейке:



состоящей в переносе железа из электрода сравнения (чистое железо) электрод — сплав железа с сурьмой. Если исследуемый электрод представляет собой гомогенный сплав, то знание величины э. д. с. дает возможность вычислить парциальное молярное изменение термодинамического потенциала железа ($\Delta\mu_{\text{Fe}}$) при его переходе в сплав с сурьмой исследуемого состава по формуле: $\Delta\mu_{\text{Fe}} = -zFE$, где z — валентность токообразующего иона, F — число Фарадея, E — э. д. с. ячейки (I). Изучая зависимость э. д. с. от температуры, мы получаем возможность найти пар-

циальные молярные изменения энтропии и теплосодержания для того же процесса. Если одним из электродов ячейки является гетерогенный сплав, то из величины э. д. с. вычисляется интегральное изменение термодинамического потенциала в результате химической реакции между железом и менее богатой железом фазой гетерогенного сплава; например, для ячейки



уравнение реакции будет:



Мы собирали ячейки либо в U-образных кварцевых трубках, либо в фарфоровых тиглях, помещаемых внутрь кварцевого прибора, в котором

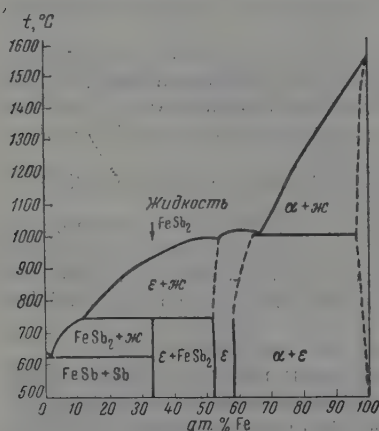


Рис. 1. Диаграмма плавления системы железо — сурьма

инертная атмосфера создается до начала нагревания и поддерживается в течение опыта слабым током азота, очищенного от кислорода пропусканием через кварцевую трубку с металлической медью приблизительно при 500°. Электроды укреплялись в концах токоотводов из молибденовой проволоки диаметром 1 мм.

Измерения велись при температурах 400—600° для сплавов области $\text{FeSb}_2 + \text{Sb}$ и при 500—700° для сплавов других областей диаграммы состояния.

Величина э. д. с. измерялась потенциометром ПНТБ-1 с зеркальным гальванометром М-25-5, температура измерялась платино-платинородиевой термопарой с точностью до 1°. Постоянство температуры обеспечивалось специальным терморегулятором в пределах 1—2°.

Каждый опыт продолжался 100—120, иногда до 200 час. Такая длительность опытов обусловлена медленностью установления равновесия в твердых электродах-сплавах. Удачными считались опыты, в ходе которых значения э. д. с. ячейки воспроизводились в пределах ошибок опыта при прохождении температурного интервала вверх и вниз.

Составы сплавов, относящихся к гомогенной области ϵ -фазы, определялись аналитически после опыта; составы гетерогенных сплавов рассчитывались из взятых навесок металлов без аналитической проверки, так как в этом случае небольшое изменение валового состава (в пределах данной фазовой области) не влияет на величину э. д. с.

Значения э. д. с. хорошо воспроизводятся и в каждом опыте при возвращении к пройденным температурам (обычно не хуже, чем в пределах 1 mV) и от опыта к опыту (в пределах 2—3 mV).

Величины э. д. с., установившиеся при данной температуре, наносились на график зависимости э. д. с. (E) от абсолютной температуры (T). Во всех случаях зависимость E от T оказывалась линейной в пределах ошибок опыта. Уравнение прямой линии $E = f(T)$ может быть получено непосредственно из графика, однако для областей $\text{FeSb}_2 + \text{Sb}$ и $\text{FeSb}_2 + \epsilon$ -фаза получалось посредством обработки методом наименьших квадратов совокупности значений э. д. с. для всех исследованных температур и для всех сплавов, относящихся к данной гетерогенной области, за исключе-

тем резко выпадающих значений, полученных в явно неудачных сериях измерений.

Наихудшая воспроизводимость была при изучении сплавов области $\text{Sb}_2 + \varepsilon$ -фаза. Это, а также некоторое отклонение для этих сплавов от линейной зависимости E от T (не выходящее за пределы ошибок опыта), говорят в пользу предположения Фурнье [9] о каком-то превращении в фазе системы $\text{Fe} - \text{Sb}$ при 620° .

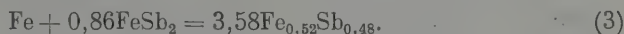
Изучение термодинамических свойств системы $\text{Fe} - \text{Sb}$ мы начали с гетерогенной области $\text{FeSb}_2 + \text{Sb}$. Результаты для этой области были уже опубликованы нами [10]. В ячейке (II) происходит реакция (1). Зависимость э. д. с. ячейки (II) от абсолютной температуры выражается уравнением:

$$E = 0,1497 - 0,040 \cdot 10^{-3} T \text{ (вольт)}. \quad (2)$$

Измерение э. д. с. ячейки



по термодинамику реакции:



Зависимость э. д. с. ячейки (III) от T выражается уравнением:

$$E = -0,033 + 0,0953 \cdot 10^{-3} T \text{ (вольт)}. \quad (4)$$

Внутри ε -фазы исследованы сплавы трех различных составов. Соответствующие уравнения для $E - T$ -зависимости приведены ниже:

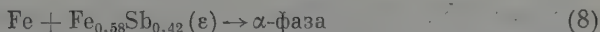
$$N_{\text{Fe}} = 0,528, \quad E = -0,0054 + 0,051 \cdot 10^{-3} T \text{ (вольт)}; \quad (5)$$

$$N_{\text{Fe}} = 0,544, \quad E = -0,0313 + 0,067 \cdot 10^{-3} T \text{ (вольт)}; \quad (6)$$

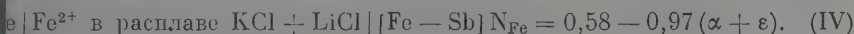
$$N_{\text{Fe}} = 0,557, \quad E = -0,0278 + 0,053 \cdot 10^{-3} T \text{ (вольт)}. \quad (7)$$

Уравнения получены из графиков $E - T$.

Термодинамику реакции образования насыщенного твердого раствора урумы в α -железе (α -фаза) из находящейся с ним в равновесии ε -фазы и железа



можно исследовать, измеряя э. д. с. ячейки



Величина э.д.с. ячейки (IV) составляет всего приблизительно 2 мВ, т.е. порядка величины ошибок опыта. Температурный коэффициент э.д.с. положителен. Ввиду большой относительной величины ошибок уравнение

$$E = -0,0006 + 0,0028 \cdot 10^{-3} T \text{ (вольт)} \quad (9)$$

является лишь приближительным.

Исходя из полученных данных, парциальные молярные величины для железа были рассчитаны следующим образом

$$E = A + BT, \quad (10)$$

где A и B — полученные экспериментально числовые коэффициенты

$$\Delta \mu_{\text{Fe}} = -zFE = -46132 (A + BT); \quad (11)$$

$$\Delta S_{\text{Fe}} = - \frac{1}{T} \frac{d\Delta \mu_{\text{Fe}}}{dT} = 46132 B, \quad (12)$$

$$\Delta H_{\text{Fe}} = \Delta \mu_{\text{Fe}} - T \frac{d\Delta \mu_{\text{Fe}}}{dT} = -46132 A. \quad (13)$$

Интегральные величины могут быть рассчитаны при помощи уравнения Гиббса — Дюгема, например, в форме

$$\Delta Z = N_{\text{Sb}} \int_0^{N_{\text{Fe}}/N_{\text{Sb}}} \Delta \mu_{\text{Fe}} d\left(\frac{N_{\text{Fe}}}{N_{\text{Sb}}}\right), \quad (14)$$

где ΔZ — интегральное изменение термодинамического потенциала при образовании 1 г-ат сплава из железа и сурьмы, N_{Fe} и N_{Sb} — мольные доли железа и сурьмы. Интегрирование уравнения (14) было произведено графически. Парциальные величины для сурьмы были найдены также

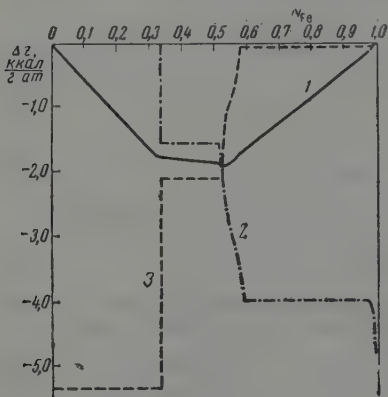


Рис. 2. Парциальные и интегральные изменения изобарно-изотермического потенциала в системе железо — сурьма при 830°K: 1 — ΔZ ; 2 — $\Delta \mu_{\text{Sb}}$; 3 — $\Delta \mu_{\text{Fe}}$

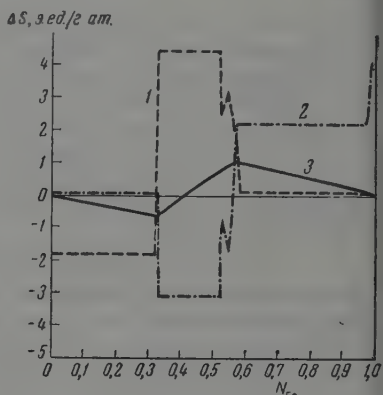
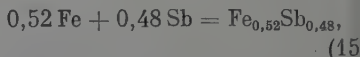


Рис. 3. Парциальные и интегральные изменения энтропии образований сплавов в системе железо — сурьма при 830°K: 1 — ΔS_{Fe} ; 2 — ΔS_{Sb} ; 3 — ΔS

из уравнения Гиббса — Дюгема. Зависимости парциальных величин обоих компонентов и интегральных величин от состава сплавов для 830°K представлены на рис. 2—4.

ΔZ , ΔS и ΔH — образования антимоидов железа (FeSb_2 и $\text{Fe}_{0,52}\text{Sb}_{0,48}$ из железа и сурьмы — приведены в табл. 1. Величины для FeSb_2 [реакция (1)] получены непосредственно из уравнения (2), а величины для образования $\text{Fe}_{0,52}\text{Sb}_{0,48}$ (ε-фаза) по реакции:



уравнение которой может быть получено комбинированием уравнений реакций (1) и (3) по схеме

$$(15) = \frac{(3) + 0,86(1)}{3,58}, \quad (16)$$

получены расчетом из экспериментально полученных уравнений (2) и (4). Величины в табл. 1 отнесены к 1 г-ат образовавшегося сплава.

При оценке точности полученных данных мы принимаем за основу максимальные отклонения экспериментальных точек от найденных уравнений, отбрасывая отдельные особенно выпадающие результаты, получен-

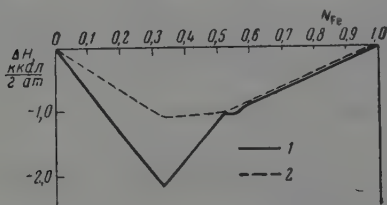


Рис. 4. Теплоты образования сплавов системы железо — сурьма. 1 — наши данные; 2 — данные [11, 12]

Таблица 1

Термодинамические функции образования антимонидов железа из железа и сурьмы при 830°K

Антимонид	$\Delta Z_{830^\circ K}, \frac{\text{ккал}}{\text{г-ат}}$	$\Delta S_{830^\circ K}, \frac{\text{в. ед.}}{\text{г-ат}}$	$\Delta H_{830^\circ K}, \frac{\text{ккал}}{\text{г-ат}}$
FeSb ₂	-1,80	-0,6	-2,3
Fe _{0,52} Sb _{0,48}	-1,86	+0,8	-1,2

не в явно неудачных сериях измерений. Величины этих отклонений для тех областей диаграммы состояния приводятся в табл. 2.

Таблица 2

Фазовая область	E, mV	$\frac{dE}{dT}, \text{mV/}^\circ\text{K}$	$\Delta Z, \text{кал/г-ат}$	$\Delta S, \text{в. ед./г-ат.}$	$\Delta H, \text{кал/г-ат}$
FeSb ₂ + Sb	2	0,01	30	0,1	100
FeSb ₂ + ε [яч(III)]	3	0,04			
Fe _{0,52} Sb _{0,48} (по [14])	—	—	20	0,8	250
ε-фаза	0,5	0,01	30	0,2	250
α + ε	2	Трудно оценить	100	—	—

Кербер и Эльсен [11, 12] измерили методом смешения жидких металлов калориметре теплоты образования сплавов системы Fe — Sb, относящиеся к комнатной температуре. На рис. 4 эти данные показаны пунктиром.

При $N_{\text{Fe}} < 0,5$ данные Кербера и Эльсена отличаются от найденных нами. Причины этого расхождения заключаются, по-видимому, в следующем.

Н. С. Курнаков и Н. С. Константинов [1] обнаружили, что при быстром охлаждении сплавы состава FeSb₂ застывают в виде трехфазной смеси кристаллов FeSb₂, ε-фазы и сурьмы, причем реакция образования FeSb₂ из ε-фазы и сурьмы полностью протекает лишь в течение 90-часового отжига при 710°. В калориметре Кербера и Эльсена эта реакция не успевала пройти целиком, поэтому ими были получены заниженные данные. Сами Кербер и Эльсен [11, 13] учитывают возможность таких погрешностей своего метода, а Вагнер [13] указывает, что ошибки «метода смешения» могут быть особенно существенны при определении теплот образования соединений, плавящихся инконгруэнтно. Полученные нами в данной работе величины теплоты образования ε-фазы, плавящейся конгруэнтно, подтверждают нашу точку зрения, так как для ε-фазы наши данные в пределах точности измерений совпадают с данными Кербера и Эльсена.

Энтропия образования ε-фазы, в отличие от других фаз системы, положительна (0,8 в. ед./г-ат). По-видимому, это можно связать с уменьшением упорядоченности расположения атомов в решетке из-за внедрения избыточных атомов железа в решетку минимума соединения FeSb.

Выводы

Методом электродвижущих сил изучена зависимость термодинамических функций образования сплавов системы Fe — Sb от состава при температурах 400—700°С. Для 830°K величины, полученные для термодинамических функций образования сплавов из железа и сурьмы, приведены

в табл. 1 и на рис. 2—4. Обсуждена вероятная причина несовпадения полученной нами величины ΔH образования FeSb_2 с величиной, полученной калориметрически Кербером и Эльсеном.

Московский государственный университет
им. М. В. Ломоносова

Поступила
28 III 1959

ЛИТЕРАТУРА

1. Н. С. Курнаков, Н. С. Константинов, в кн. Н. С. Курнаков, Собр. избр. работ, изд-во АН СССР, 2, 1939, стр. 60.
2. А. А. Вечер, В. А. Гейдерих, Я. И. Герасимов, Ж. физ. химии (в печати).
3. M. Hansen, Constitution of binary alloys, 1958, стр. 709.
4. Н. В. Агеев, Е. С. Макаров, Изв. АН СССР, Сер. хим., № 2, стр. 87, 1943.
5. Е. С. Макаров, Строение твердых фаз с переменным числом атомов в элементарной ячейке, 1947, стр. 42.
6. L. L. Seigle, M. Cohen, B. L. Averbach, J. Metals, 4, 1320, 1952.
7. R. A. Oriani, J. Electrochem., 103, 194, 1956.
8. А. А. Вечер, Я. И. Герасимов, Ж. физ. химии, 32, 2835, 1958.
9. P. Fournier, Rev. chim. ind., 44, 195, 1935. (цитировано по Chem. Abstracts, 29, 7260).
10. В. А. Гейдерих, Я. И. Герасимов, А. А. Вечер, Докл. АН СССР, 120, 1274, 1958.
11. W. Oelsen, Z. Elektrochem., 43, 530, 1937.
12. F. Körber, W. Oelsen, Mitt. Kaiser Wilhelm Inst. Eisenforsch., Düsseldorf, 19, 209, 1937.
13. F. Körber, Stahl und Eisen, 56, 1401, 1936.
14. К. Ватнер, Термодинамика сплавов, 1957, стр. 99, 102.

ELECTROMOTIVE FORCE STUDIES OF THE THERMODYNAMIC PROPERTIES OF BINARY METALLIC SYSTEMS.

VI. THE SYSTEM IRON-ANTIMONY IN THE SOLID STATE

V. A. Geiderikh, A. A. Vechev and Ya. I. Gerasimov (Moscow)

Summary

The dependence of the thermodynamic functions of formation of Fe — Sb alloys upon the composition at 400—700°C has been investigated by the electromotive force method. The values of the thermodynamic functions for 830°K are presented in Table 1 and on Figs. 2—4. The probable reason has been discussed for the disagreement between the results for ΔH of FeSb_2 formation obtained by us and those obtained calorimetrically by Körber and Oelsen.

РАДИОХИМИЧЕСКОЕ ИЗУЧЕНИЕ ОТРАВЛЕНИЯ СЕРОЙ
КОБАЛЬТОВОГО КАТАЛИЗАТОРА ОКИСЛЕНИЯ АММИАКА

Л. О. Апельбаум, Ю. И. Березина
и М. И. Темкин

Закись-окись кобальта Co_3O_4 может служить промышленным катализатором окисления аммиака в окись азота, взамен обычно применяемых платиновых сплавов [1]. В отличие от последних, кобальтовый катализатор травляется соединениями серы. Изучение отравления кобальтового катализатора серой представляет не только теоретический интерес, но существенно также и с точки зрения практического использования этого катализатора. Ниже излагаются результаты исследования действия серы на кобальтовый катализатор. Для облегчения определения малых количеств серы опыты проводились с радиоактивной серой, что позволило использовать радиохимическую методику.

Из полученных ранее данных [1] следует, что SO_2 и H_2S в эквивалентных количествах производят одинаковое отравляющее действие. В этой работе сера вводилась в газовую смесь в виде H_2S . Если в качестве отравляющей добавки взять SO_2 , то это требует дополнительного обогрева коммуникаций, так как при смешении SO_2 с воздушно-аммиачной смесью образуется сульфит аммония, осаждающийся при комнатной температуре на стенках аппаратуры. При работе с H_2S это осложнение отпадает.

Экспериментальная часть

Исследование проводилось в проточной системе при атмосферном давлении без предварительного подогрева воздушно-аммиачной смеси. На рисунке представлена схема установки. В воздушно-аммиачную смесь, которая получалась смешением газообразного NH_3 с воздухом, через микрометр 9 из ртутного газометра 7 вводили H_2S , меченный S^{35} . Для облегчения дозировки H_2S разбавляли в газометре сухим, не содержащим кислорода азотом; над ртутью смесь $\text{H}_2\text{S} + \text{N}_2$ сохранялась без изменений в течение более 6 дней. После окончания опыта по отравлению одновременно прекращали подачу H_2S и воздушно-аммиачной смеси.

Катализатор в виде таблеток помещали в реакционную трубку 2 из кварца с площадью сечения $2,3 \text{ см}^2$. Расход воздушно-аммиачной смеси был равен 460 л/час , что отвечает нагрузке 200 л/час на 1 см^2 сечения трубки; содержание NH_3 в смеси равнялось $10-10,6$ объема. %. Эти величины отвечают применяемым в промышленных аппаратах атмосферного давления. В промышленных аппаратах при указанной нагрузке достаточной катализатора высотой 3 см [1], но так как в данных опытах диаметр таблеток (4 мм) был сравним с диаметром реакционной трубки, то толщину слоя пришлось увеличить до 5 см , чтобы избежать проскока аммиака. Для снижения потерь тепла через боковые стенки реакционной трубки в ходе реакции трубка в той части, где находился катализатор, была снабжена нихромовой обмоткой, которая нагревалась током до температуры, близкой к температуре катализатора (что устанавливалось визуально по цвету накала). Эта же обмотка использовалась для разжигания катализатора при пуске установки. Температура катализатора в стационар-

ных условиях определяется в основном содержанием NH_3 в смеси. В описываемых опытах она была близка к 700° и специально не измерялась. Выход NO определяли методом эвакуированных колб [2].

Способ получения H_2S , меченного S^{35} , и метод определения концентрации серы в смесях, поступающих из газометра на отравление, были аналогичны описанным ранее [3], за тем исключением, что осаждение иона SO_4^{2-} проводилось солянокислым бензидином [4].

Для определения содержания серы в таблетках катализатора таблетки выдерживали в течение 12 час. в 50%-ном растворе HNO_3 , содержавшем 0,05 г Na_2SO_4 . Затем раствор подогревали до появления слабо-розового

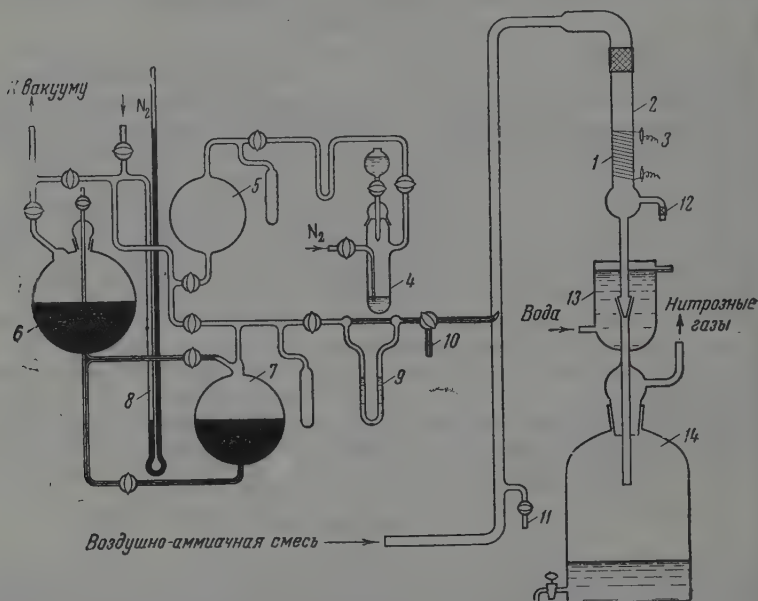


Рис. Схема установки: 1 — катализатор; 2 — реакционная трубка; 3 — нагревательная обмотка; 4 — прибор для получения H_2S , меченного S^{35} ; 5 — колба-сборник для H_2S ; 6, 7 — ртутный газометр; 8 — манометр; 9 — микроореометр для подачи сероводорода в воздушно-аммиачную смесь; 10 — отбор проб для анализа смеси $\text{H}_2\text{S} + \text{N}_2$; 11, 12 — отбор проб для определения выхода NO ; 13 — холодильник; 14 — сборник азотной кислоты

окрашивания, охлаждали и отфильтровывали. Таблетки промывали водой. Фильтрат и промывные воды упаривали досуха, остаток растворяли в воде и ион SO_4^{2-} осаждали солянокислым бензидином. Контрольные опыты показали, что в этих условиях сера полностью извлекается из катализатора.

В некоторых опытах определялось содержание серы в различных слоях катализатора. Для этого катализатор после отравления вынимали из контактной трубки послойно при помощи пинцета.

Данные, характеризующие распределение серы в таблетке катализатора, были получены следующим образом. После опыта отравления из реакционной трубки вынимали 3—5 самых верхних таблеток и лезвием бритвы отделяли наружный слой. Далее по описанной выше методике раздельно определяли содержание серы в наружном слое и в остальной части этих таблеток.

Таблица 1

Образец катализатора № 1

№ опыта	Время от начала опыта, часы	Концентрация серы в воздушно-аммиачной смеси, мг/м ³	Выход NO, %*	№ опыта	Время от начала опыта, часы	Концентрация серы в воздушно-аммиачной смеси, мг/м ³	Выход NO, %*
2	3	0	97,1	11	4	0	96,6
	4	1,4	—		5	0,137	—
	5	1,4	84,6		7	0,137	90,7
	7	1,4	86,6		9	0,137	91,6
	8,5	1,4	85,5		11	0,137	90,7
	9	0	—	10	4	0	97,5
	11	0	93,8		5	0,087	—
	15	0	95,0		6	0,087	96,2
	24	0	97,0		7	0,087	94,8
3	12	0	96,2	12	9	0,087	95,0
	13	0,162	—		10	0,087	94,8
	14	0,162	90,8		4	0	96,2
	15	0,162	89,9		5	0,052	—
	16	0,162	91,4		6	0,052	95,4
	17	0,162	90,8		8	0,052	95,8
					10	0,052	95,7

* Величины выхода NO до отравления являются средними нескольких анализов, проведенных за время от начала опыта до начала подачи H₂S.

Таблица 2

Образец катализатора № 2

№ опыта	Время от начала опыта, часы	Концентрация серы в воздушно-аммиачной смеси, мг/м ³	Выход NO, %*	№ опыта	Время от начала опыта, часы	Концентрация серы в воздушно-аммиачной смеси, мг/м ³	Выход NO, %*
8	3	0	95,5	9	12	0,087	92,0
	4	0,142	—		13	0,087	92,6
	6	0,142	91,8	7	10	0	94,7
	7	0,142	89,5		13	0,041	—
	9	0,142	92,8		14	0,041	94,5
	10	0,142	93,2		15	0,041	94,8
9	4	0	95,5		16	0,041	95,2
	6	0,087	—		20	0,041	94,6
	7	0,087	92,5		23	0,041	94,2
	8	0,087	91,5				

* См. примечание к табл. 1.

Опыты по изучению отравления проводились с двумя образцами катализатора.

Образец катализатора № 1 представлял собой таблетки цилиндрической формы размером 4×4 мм, спрессованные из чистой закись-окиси кобальта Co₂O₄. Удельная поверхность таблеток, измеренная по низкотемпературной адсорбции азота, после 10—17 час. работы (что отвечало продолжительности описываемых ниже опытов) была близка к 0,8 м²/г.

Образец катализатора № 2 представлял собой таблетки образца № 1, до опытов по отравлению непрерывно проработавшие в качестве катализатора окисления аммиака 1 месяц в промышленном аппарате. Удельная поверхность этих таблеток была близка к 0,4 м²/г.

Результаты опытов, проведенных с образцами катализаторов № 1 и № 2, по определению минимальной концентрации сероводорода в воздуш-

Таблица 3

№ опыта	Содержание серы в катализаторе											
	Средний выход NO до отравления, %	Концентрация серы в воздушной смеси, мг/м ³	Время отравления, часы	Средний выход NO при отравлении, %	Общее количество серы в газовой смеси, мг*	Количество серы в катализаторе, мг*	III слой					
							I слой		II слой		III слой	
							вес, г	S, мг/г	вес, г	S, мг/г	вес, г	S, мг/г
Катализатор № 1												
13	97,0	0,550	9,0	88,6	2280	1266	2,1	79,5	11,4	74,7	3,5	76,5
14	97,0	0,550	0,75	88,0	190	168	2,4	20,7	44,2	9,5	3,5	5,1
3	96,2	0,162	4,0	90,7	298	246	2,85	15,8	16,25	10,45	2,9	10,7
11	96,6	0,137	6,0	91,0	378	322	2,86	17,7	15,4	14,4	3,6	13,6
10	97,5	0,087	5,0	95,2	200	181	2,72	40,8	13,8	8,2	5,5	6,9
12	96,2	0,052	5,0	95,6	119	113	2,70	7,5	15,1	5,16	4,15	3,6
Катализатор № 2												
8	95,2	0,142	6	91,8	392	180	2,7	8,65	15	8,5	3,3	9,0
9	95,5	0,087	7	92,1	280	145	3,25	4,50	11,8	6,8	6,0	6,85
7	94,7	0,041	10	94,7	189	92	3,1	4,30	13,3	4,3	4,5	5,0

* мг/г = 10⁻⁶ г.

аммиачной смеси, при которой начинается уменьшение выхода NO, приведены в табл. 1 и 2. Каждый опыт проводили с новой порцией катализатора.

Из табл. 1 и 2 видно, что заметное отравление кобальтового катализатора начинается при концентрации серы в воздушно-аммиачной смеси 0,04—0,05 мг/м³. Выход NO при действии яда снижается до постоянного значения за время, не превышающее 1 час, и не меняется при более длительном отравлении. После прекращения подачи H₂S выход NO постепенно увеличивается до первоначального значения 96—97%. Таким образом, отравление является обратимым. Снижение выхода NO при отравлении незначительно мало возрастает при увеличении концентрации серы в газовой фазе.

В табл. 3 приведены данные по содержанию серы в различных слоях катализатора по ходу воздушно-аммиачной смеси. Из таблицы видно, что общее количество серы, задержанное катализатором, приближенно пропорционально концентрации серы в газовой фазе.

Таблица 4

№ опыта	Образец катализатора	Число таблеток	Вес, г		Содержание серы, мг/г		Содержание серы в мг на 1 г Co ₂ O ₄	
			поверхн. слой	остаток	поверхн. слой	остаток	поверхн. слой	остаток
12	№ 1	5	0,2344	0,4180	5,0	2,2	21,3	5,3
10	№ 1	5	0,1778	0,4445	4,7	3,2	36,4	7,2
11	№ 1	5	0,1970	0,4664	8,4	6,6	42,4	14,1
7	№ 2	3	0,1180	0,2834	0,8	0,3	6,8	1,0

Данные, характеризующие распределение серы в таблетке катализатора, приведены в табл. 4. Из таблицы следует, что при продолжительности отравления 5—10 час. основная масса серы (около 65%) сосредоточена у наружной поверхности таблеток в слое, объем которого составляет около 0,3 объема таблетки.

Обсуждение результатов

В опытах по отравлению катализатора сера вводилась в газовую смесь в виде H₂S; несомненно, однако, что в условиях реакции окисления аммиака сероводород не может сохраняться, так как легко окисляется. При температуре реакции около 700° сернистый ангидрид сильно диссоциирует, так что сера должна содержаться в газовой фазе в виде SO₂ и частично SO₃, поскольку Co₂O₄ катализировать окисление SO₂ в SO₃. Упругость диссоциации CoSO₄ при 700° настолько велика, что образование из сульфата кобальта при концентрациях SO₂, имевшихся в опытах по отравлению, невозможно. Отравление должно быть приписано хемосорбции SO₂ (или SO₃) поверхностью катализатора без образования новой фазы. Можно предположить образование ионов SO₄²⁻ в поверхностном слое и в этом смысле говорить об образовании поверхностного сульфата. Этот процесс обратим, т. е. поверхностный сульфат диссоциирует и выделяет SO₂ (или SO₃) в газовую фазу. Равновесная концентрация SO₂ в газовой фазе тем больше, чем большая часть поверхности покрыта серой. Реакция окисления NH₃ на кобальтовом катализаторе протекает во внешней диффузионной области [1]. Это означает, что реакция происходит на наружной поверхности таблеток, проникая в глубь ее лишь на расстояние порядка диаметра пор. В опытах по отравлению серой, описанных выше, внешняя диффузия аммиака по-прежнему сохраняла роль лимитирующей стадии процесса. Это доказывается наличием устойчивого тепло-

вого баланса катализатора при подаче холодной воздушно-аммиачной смеси и отсутствием проскака аммиака за катализатором при отравлении. Отравление проявлялось только в изменении селективности действия катализатора, т. е. в увеличении выхода N_2 за счет уменьшения выхода NO . Падение общей каталитической активности при отравлении может быть обнаружено путем определения предельных нагрузок. Опыты показали, что отравленный катализатор «гаснет» при меньших скоростях воздушной аммиачной смеси, чем неотравленный [1].

Для теории действия каталитических ядов представляет интерес вопрос о степени покрытия поверхности катализатора серой, приводящее к отравлению. Эта величина не может быть получена непосредственно из опытных данных, так как установлено, что сера распределяется по таблетке неравномерно. Поскольку реакция протекает у наружной поверхности, нужно найти концентрацию серы у наружной поверхности таблетки; эта величина должна быть больше не только средней концентрации серы в таблетках, но и средней концентрации в наружном слое конечной толщины, которая была найдена в опытах. При решении этой задачи будем исходить из следующих положений.

Поглощение серы поверхностью таблеток происходит весьма быстро; например, в опыте 14 (табл. 3) за 45 мин. из 190 мг серы в газовой фазе на катализаторе задержалось 168 мг. При этом время соприкосновения газа с катализатором составляло около 0,01 сек. Можно предполагать, что в начальном периоде скорость поглощения серы катализатором определяется скоростью диффузии H_2S (или SO_2) к наружной поверхности таблеток, которая происходит не намного медленнее, чем диффузия аммиака. В дальнейшем между серой в наружном слое таблеток и в газовой фазе устанавливается равновесие. Рост количества поглощенной серы, продолжающийся в течение ряда часов, должен быть приписан диффузии серы в глубь таблеток, по-видимому, вдоль поверхности пор.

В самых первых по ходу газа таблетках, которые использовались для определения концентрации серы в наружном слое, задерживается лишь небольшая часть серы, содержащейся в газовой смеси. Например, в опыте 11 за 6 час. задержалось в первых пяти таблетках 4% от общего количества пропущенной серы (см. табл. 3 и 4). Это позволяет считать, что в поверхностном слое первых по ходу газа таблеток мы имеем постоянную концентрацию серы (равновесную по отношению к газовой фазе).

Задача о диффузии в тело цилиндрической формы имеет весьма сложное решение. В нашем случае задача значительно упрощается благодаря тому, что диффузия не проникает на большую глубину. Действительно, опытные данные показывают, что при времени отравления порядка 5–6 час. сера в катализаторе содержится в основном в поверхностном слое, толщина которого составляет приблизительно 0,1 от радиуса таблетки.

В тех случаях, когда диффузия проникает на небольшое расстояние от поверхности, независимо от формы тела, для приближенного расчета можно ограничиться рассмотрением одномерной задачи диффузии в слое бесконечно большой глубины. Соответствующее дифференциальное уравнение, при условии постоянства концентрации диффундирующего вещества на поверхности, имеет следующее решение [5]:

$$c = c_0 [1 - \Phi(u)];$$

$$u = \frac{x}{\sqrt{4Dt}};$$

$$\Phi(u) = \frac{2}{\sqrt{\pi}} \int_0^u e^{-u^2} du,$$

где c — концентрация диффундирующего вещества, x — расстояние от поверхности, c_0 — значение c при $x = 0$, t — время, D — коэффициент

диффузии. Содержание серы в слое толщиной x к моменту времени t ($S(x, t)$), можно вычислить следующим образом:

$$S(x, t) = a \int_0^x c dx = ac_0 x \left[1 - \Phi(u) - \frac{e^{-u^2}}{u\sqrt{\pi}} \right], \quad (4)$$

здесь a — внешняя поверхность таблетки. Общее содержание серы в таблетке можно определить как значение $S(x, t)$ при $x \rightarrow \infty$. Из уравнения (4) следует, что

$$S(\infty, t) = ac_0 \sqrt{\frac{4Dt}{\pi}}. \quad (5)$$

Отношение m содержания серы в слое толщиной x и во всей таблетке можно вычислить из уравнения:

$$m = \frac{S(x, t)}{S(\infty, t)} = u\sqrt{\pi} [1 - \Phi(u)] - [e^{-u^2} - 1]. \quad (6)$$

Средняя концентрация серы в слое толщиной x :

$$\overline{c(x, t)} = \frac{S(x, t)}{ax} = c_0 \left[1 - \Phi(u) - \frac{e^{-u^2} - 1}{u\sqrt{\pi}} \right]. \quad (7)$$

Отсюда

$$\frac{\overline{c(x, t)}}{c_0} = 1 - \Phi(u) - \frac{e^{-u^2} - 1}{u\sqrt{\pi}}. \quad (8)$$

Правильность принятых при расчете предположений можно проверить следующим образом. Из уравнения (5) следует, что общее количество серы в таблетках верхнего слоя катализатора должно быть пропорционально \sqrt{t} . В табл. 3 приведены результаты опытов 13 и 14, проведенных в течение 45 и 540 мин., причем все остальные условия были одинаковы. Из таблицы видно, что количество серы, поглощенной в первом по ходу газа слое, в опыте 14 больше, чем в опыте 13, в 3,8 раза. Соответствующее отношение корней квадратных из времени равно 3,5. Таким образом уравнение (5) выполняется.

Из опытных данных, приведенных в табл. 4, непосредственно получаем величины m (табл. 5). Подставляя в уравнение (6) эти значения m , находим (подбором) значение u , удовлетворяющее этому уравнению [численные величины $\Phi(u)$ имеются в справочниках]. Используя опытные значения $\overline{c(x, t)}$, приведенные в табл. 4 и вычисленные значения u , при помощи уравнения (8) определяем c_0 . Полученные таким путем величины приведены в табл. 5.

Таблица 5

№ опыта	Образец катализатора	m	x , см	u	c_0 , мг/г	Степень покрытия поверхности серой	$D \cdot 10^8$, см ² /сек
12	№ 1	0,695	0,0280	0,57	28,2	0,11	3,3
10	№ 1	0,595	0,0220	0,45	35,4	0,14	3,3
11	№ 1	0,560	0,0220	0,41	54,8	0,22	3,3
7	№ 2	0,725	0,0216	0,60	10,3	0,08	0,9

Примем, что сера на катализаторе содержится в виде SO_4^{2-} . Тогда из значения плотности CoSO_4 , равной 3,71, считая в первом приближении, что объем, занимаемый молекулой CoSO_4 , имеет форму куба, находим, что площадь, занимаемая одним атомом серы, равна $1,7 \cdot 10^{-15}$ см². На основ

этого было вычислено покрытие поверхности катализатора серой в различных опытах. Соответствующие величины приведены в табл. 5. Ввиду приближенности расчета величины площади поверхности, приходящейся на один атом серы, эти величины могут отличаться от истинных примерно в два раза.

В опытах 7 и 12 отравление не было заметно, в опыте 10 выход NO уменьшился на 2,3%, в опыте 11 на 5,6% (см. табл. 3). Заметное отравление имеет место, следовательно, при покрытии около 0,1 поверхности.

Вычисленные по уравнению (2) значения эффективных коэффициентов диффузии в различных опытах даны в табл. 5. По порядку величины они близки к найденным для диффузии газов в металлах [6]. Коэффициент диффузии для образца с поверхностью $0,4 \text{ м}^2/\text{г}$ меньше, чем для образца с поверхностью $0,8 \text{ м}^2/\text{г}$. Это согласуется с предположением, что диффузия происходит вдоль поверхности пор.

Из уравнения (5) видно, что общее количество серы, поглощенное таблеткой, должно быть пропорционально \sqrt{D} . Из опытных данных (см. табл. 3, опыты 8 и 11) следует, что при прочих равных условиях количество серы, поглощенное таблетками катализатора № 1, превышает соответствующее количество для таблеток катализатора № 2 в 1,8 раза. Этот результат находится в согласии с тем, что коэффициент диффузии серы в образце № 1 превышает в три раза коэффициент диффузии серы в образце № 2.

Выводы

1. Изучено отравление серой кобальтового катализатора окисления аммиака. Опыты проводились в проточной системе при атмосферном давлении, в условиях, близких к условиям работы промышленных аппаратов. Сера вводилась в виде сероводорода, меченного S^{35} .

2. Реакция на отравленном катализаторе протекает во внешней диффузионной области, поэтому отравление проявляется только в изменении селективности действия катализатора.

3. Отравление серой обратимо. Заметное снижение выхода наблюдается при концентрациях серы в газовой смеси от $0,04\text{--}0,05 \text{ мг}/\text{м}^3$.

4. Содержание серы в таблетках растет пропорционально квадратному корню из времени. Это показывает, что скорость поглощения серы определяется скоростью ее диффузии в глубь таблеток.

5. Заметное снижение выхода NO происходит при покрытии серой около 0,1 наружной поверхности катализатора.

6. Эффективный коэффициент диффузии серы в таблетках Co_3O_4 с удельной поверхностью $0,8 \text{ м}^2/\text{г}$ равен $3 \cdot 10^{-8} \text{ см}^2/\text{сек}$.

Физико-химический институт
им. Л. Я. Карпова

Поступила
30. III. 1959

ЛИТЕРАТУРА

1. М. И. Темкин, Н. М. Морозов, В. М. Пыжев, Л. О. Апельбаум, Л. И. Лукьянова, В. А. Демидкин, Сб. «Проблемы физической химии», № 2, стр. 14, Госхимиздат, М., 1959.
2. Попович, Контроль производства азотной кислоты, нитратов и аммиачных солей, ОНТИ, 1934.
3. Ю. И. Булатникова, Л. О. Апельбаум, М. И. Темкин, Ж. физ. химии, 32, 2717, 1958.
4. J. V. N i e d e r l, Industr. and Eng., Chem., Analyt. Ed., 12, 428, 1940.
5. Р. Б э р р е р, Диффузия в твердых телах, ИИЛ, М., 1948, стр. 23.
6. См. [5], стр. 243.

RADIOCHEMICAL STUDY OF THE SULFUR POISONING OF AMMONIA—
OXIDATION, COBALT CATALYSTS*L. O. Apel'baum, Yu. I. Berezina and M. I. Temkin (Moscow)*

S u m m a r y

A study has been made of the poisoning of an ammonia, oxidation cobalt catalyst. Experiments made in a flow system at atmospheric pressure and under conditions approaching those in industrial reactors. Sulfur was added in the form of hydrogen sulfide labelled with S^{35} . The reaction on a poisoned catalyst proceeds in the external diffusion region; hence the poisoning is manifested only in a change in the selectivity of the catalyst. The sulfur poisoning is reversible. A noticeable fall in yield is observed at sulfur concentrations in the gas mixture of 0.04—0.05 mg/m³. The sulfur content of the catalyst pellets is proportional to the square root of time. This shows that the rate of absorption of sulfur is determined by the rate of its diffusion in the bulk of the pellet. A noticeable decrease in the yield of NO occurs when the sulfur covers about 0.1 of the catalyst surface. The effective diffusion coefficient of sulfur in Co_3O_4 pellets with specific surface area of 0.8 m²/g is $3.10 \cdot 10^{-8}$ cm².sec⁻¹.

ВЫДЕЛЕНИЕ ВОДОРОДА НА ГЕРМАНИЕВОМ КАТОДЕ

Е. А. Ефимов и И. Г. Ерусалимчик

Согласно Браттейну и Гарретту [1], реакция электрохимического выделения водорода на германии *p*-типа протекает с потреблением неосновных носителей тока — электронов. Поэтому на поляризационных кривых должен наблюдаться ток насыщения, связанный с диффузией электронов из глубины полупроводника к его поверхности. Экспериментальные проверки этого предположения дали противоречивые результаты.

Браттейн и Гарретт обнаружили катодный ток насыщения для германия *p*-типа в 0,1 *N* КОН. Однако он был ограничен временными эффектами и менее резко выражен по сравнению с предельным током диффузии дырок для процесса анодного растворения германия *n*-типа.

В противоположность Браттейну и Гарретту авторы настоящей работы не наблюдали какого-либо различия в ходе поляризационных кривых ($\eta - \lg I$), снятых на германии *p*- и *n*-типа в интервале плотностей тока $10^{-5} - 10^{-1}$ А/см² после длительной предварительной поляризации [2].

Флинн [3] также не обнаружил тока насыщения для германиевого катода *p*-типа в 1,35 *N* КОН. Он полагал, что наводороживание электродов в процессе электрохимической реакции и связанное с этим возрастание скорости поверхностной рекомбинации мешает появлению на поляризационных кривых четко выраженного предельного тока диффузии электронов.

С целью дальнейшего изучения этого явления нами был использован метод быстрого снятия кривых потенциал — ток, позволяющий производить поляризационные измерения в условиях незначительного наводороживания электрода.

Экспериментальная часть

В проведенных опытах напряжение на электролизер подавалось от специального генератора пилообразных импульсов, позволяющего изменять период подачи напряжения с 30 до 10^{-4} сек. Запуск генератора пилообразных колебаний и генератора развертки осциллографа ЭНО-1 производился синхронно. Изображение кривых $\eta - I$ фотографировалось непосредственно с экрана осциллографа ЭНО-1.

Потенциал германиевого электрода измерялся в 0,1 *N* HCl в интервале плотностей тока $10^{-3} \div 3 \cdot 10^{-2}$ А/см² при 20° против водородного электрода в том же растворе (рис. 1). Кривая 1 соответствует германию *n*-типа, кривая 2 — *p*-типа. Время снятия кривых — 3 сек. Перед измерением потенциала германиевый электрод протравливался в травителе типа СР-и не подвергался предварительной поляризации. Идентичные кривые были получены при уменьшении скорости снятия до 0,03 сек.

Как видно из рис. 1, при потенциалах более отрицательных, чем -0,6 В, кривые $\eta - I$ для германиевого катода *p*- и *n*-типа не совпадают. При $I = 3 \cdot 10^{-2}$ А/см² поляризация электрода *p*-типа возрастает на 0,3 по сравнению с германием *n*-типа.

При медленном методе снятия кривых [2], т. е. при измерении потенциала после предварительной катодной поляризации электрода до постоянного потенциала, не наблюдалось расхождения кривых для *p* и *n*-типа.

на германия (кривая 3). Интересно отметить, что в этом случае значение перенапряжения водорода на обоих типах германия практически совпадает с данными кривой 1, т. е. с поляризацией германия *n*-типа.

Если увеличить время снятия кривых 1 и 2 (рис. 1) с 3 до 15 сек., кривая 2 будет приближаться к кривой 1.

Таким образом различие в кинетике процесса электролитического выделения водорода на германии *p*- и *n*-типа проявляется при плотностях тока выше $3 \cdot 10^{-3}$ А/см² только в начальный, очень короткий период времени. Расхождение кривых 1 и 2 очень невелико, и, по нашему мнению, может быть связано с затруднением в диффузии электронов из глубины поверхности германия *p*-типа. На кривой 2 нет ясно выраженного тока насыщения, так отчетливо заметного для процесса анодного растворения германия *n*-типа [4]. Поэтому наблюдаемое явление можно связать только с наводороживанием поверхности германиевого катода в процессе электролиза.

Адсорбция водорода на поверхности германия, по-видимому, имеет характер хемосорбции [5] и, по данным Элліса [6], ведет к резкому увеличению поверхностной рекомбинации.

Потенциал нулевого заряда [7] германия близок к $-0,6$ В. Поэтому при $> 3 \cdot 10^{-3}$ А/см² поверхность германиевого катода имеет отрицательный заряд. Это соответствует изгибу зон на поверхности полупроводника вниз. Для германиевого катода *p*-типа такой изгиб зон приводит к некоторому уменьшению поверхностной концентрации дырок. Следовательно, увеличению сопротивления поверхностного слоя. Последнее обстоятельство вызывает появление дополнительного скачка потенциала в слое вблизи границы с электролитом, который включается в измеряемую величину потенциала. На германии *n*-типа, как легко видеть, такое искривление зон не ведет к обеднению поверхностного слоя основными носителями тока.

Адсорбция водорода на германии увеличивает число центров рекомбинации и генерации носителей тока. Генерация носителей тока на вновь образованных из-за выделения водорода примесных уровнях увеличивает проводимость поверхностного слоя полупроводника и тем самым ликвидирует дополнительный скачок потенциала, наблюдаемый для ненаводороживаемой поверхности германия *p*-типа. Кроме того, генерация неравновесных носителей тока возможна также из-за появления дефектов кристаллической решетки при внедрении в нее водорода.

Предельный ток диффузии электронов германия *p*-типа не наблюдается в случае других восстановительных реакций. На рис. 2 показаны $\varphi-I$ кривые для раствора $0,1$ N HCl + $0,1$ N $(\text{NH}_4)_2\text{S}_2\text{O}_8$, снятые за 3 сек. на германии *n*- (кривая 1) и *p*- (кривая 2) типа, кривая 3 соответствует процессу выделения водорода в $0,1$ N HCl на германии *n*-типа. Кривые 1 и 2 имеют общий предельный ток, связанный с диффузией персульфат-иона к катоду, и несколько расходятся в области, отвечающей реакции выделения водорода. Кривая 2 не имеет предельного тока диффузии электронов. Это опровергает мнение Флинна [3] о том, что отсутствие предельного тока диффузии является характерной особенностью лишь реакции выделения водорода.

Таким образом полученные экспериментальные данные не позволяют делать вывод о существовании тока насыщения электронов для процесса выделения водорода на германии *p*-типа. Следует отметить, что при очень высоких плотностях тока (больше 10^{-1} А/см²) на кривых зависимости пере-

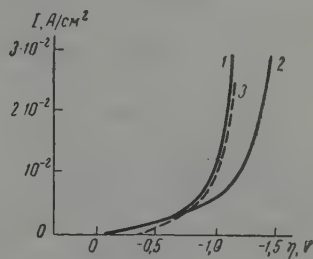


Рис. 1. Кривые $\eta - I$, снятые на германиевом катоде быстрым методом

напряжения водорода от логарифма плотности тока наблюдается аномальное возрастание потенциала, практически одинаковое как для германия *p*-, так и *n*-типа (рис. 3, кривые 1 и 2). Такого изгиба кривых не наблюдается на электроде из поликристаллического вырожденного германия с $\rho < 0,001 \text{ } \Omega \cdot \text{см}$, который фактически не обладает свойствами полупроводника (кривая 3). Это указывает на то, что резкий рост потенциала при плотностях тока $> 10^{-1} \text{ А/см}^2$ связан со специфическими полупроводниковыми свойствами электрода.

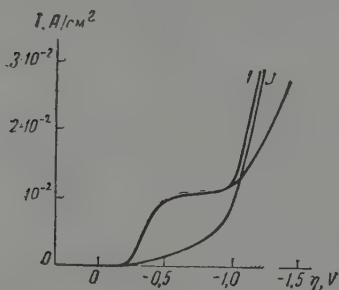


Рис. 2

Рис. 2. Восстановление персульфат-иона на германиевом катоде

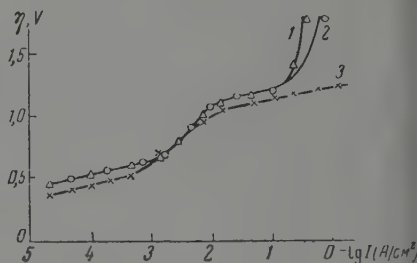


Рис. 3

Рис. 3. Кривые $\eta - \lg I$, снятые на германиевом катоде с предварительной поляризацией электрода

никовыми свойствами электрода. Аналогичный изгиб кривых $\eta - \lg I$ наблюдается для процесса выделения водорода на кремнии при очень низких плотностях тока [8].

При токе меньше 10^{-1} А/см^2 зависимости $\eta - \lg I$ для поликристаллического германия и монокристалла *p*- и *n*-типа близки. Небольшое снижение перенапряжения на поликристаллическом германии может быть связано с облегчением выделения водорода на ребрах и гранях отдельных кристаллов.

Выводы

1. Методом быстрых и медленных поляризационных измерений показано, что перенапряжение при выделении водорода на германиевом катоде *p*-типа при потенциалах более отрицательных, чем $-0,6 \text{ В}$ (потенциал нулевого заряда германия), несколько уменьшается при наводороживании электрода.

Высказано предположение, что это явление связано с изгибом энергетических зон на поверхности полупроводника из-за адсорбции и внедрения в кристаллическую решетку атомов водорода.

2. Найдено, что при плотностях тока выше 10^{-1} А/см^2 наблюдается резкий аномальный рост потенциала германиевого катода *p*- и *n*-типов. Такое явление не наблюдается на вырожденном полупроводнике, что позволяет объяснить его омическим падением потенциала в обедненном слое на поверхности германия и в массе полупроводника.

3. Показано, что диффузия электронов из глубины германия *p*-типа к его поверхности не является процессом, лимитирующим скорость электрохимической реакции не только в случае выделения водорода, но и в случае восстановления персульфат-иона.

ЛИТЕРАТУРА

1. W. Brattain, C. Garrett, Bell system Techn. J., 34, 129, 1955.
2. Е. А. Ефимов и И. Г. Ерусалимчик, Ж. физ. химии, 32, 1957, 1958.
3. J. Flynn, J. Electrochem., 105, 715, 1958.
4. D. Turner, J. Electrochem. Soc., 103, 252, 1956. Е. А. Ефимов и И. Г. Ерусалимчик, Ж. физ. химии, 32, 413, 1958.
5. J. Law, J. Phys. Chem., 59, 543, 1955.
6. S. Ellis, J. Appl. Phys. 28, 1262, 1957.
7. Е. А. Ефимов и И. Г. Ерусалимчик, Ж. физ. химии, 33, 441, 1959.
8. Е. А. Ефимов и И. Г. Ерусалимчик, Докл. АН СССР, 124, 609, 1959.

HYDROGEN EVOLUTION ON A GERMANIUM CATHODE

E. A. Efimov and I. G. Erusalimchik (Moscow)

Summary

The use of the method of rapid polarization measurements disclosed the phenomenon of the fall in hydrogen overvoltage on the p — type of germanium at potentials below — 0.6 V, associated with a bending of the energy zones on the surface during adsorption and inclusion of hydrogen in the crystal lattice. The ohmic fall in potential in the impoverished layer on the germanium surface becomes especially noticeable at current densities above 10^{-1} a/cm². A study of the reduction of persulfate on a p - type germanium cathode showed that the diffusion of electrons from the depth of the semiconductor to its surface is not the rate limiting process of the electrochemical reaction.

ТЕМПЕРАТУРНАЯ ЗАВИСИМОСТЬ СКОРОСТИ ВЗАИМНЫХ ПЕРЕХОДОВ МОНОКЛИННОЙ И КУБИЧЕСКОЙ МОДИФИКАЦИЙ ЧЕТЫРЕХБРОМИСТОГО УГЛЕРОДА

Г. В. Сакович

Известно, что скорость полиморфных переходов как в прямом, так и в обратном направлениях, вблизи температур перехода T_n становится очень малой. С количественной стороны температурная зависимость скорости таких процессов не описывается уравнением Аррениуса [1].

Не дает удовлетворительных результатов и применение к этим процессам уравнений, полученных на основании развития представлений теории испарения и конденсации, которые были предложены в последнее время Хартшорном [2].

Ранее нами [3] на примере полиморфных переходов нитрата аммония была показана по данным работ Б. В. Ерофеева и Н. И. Мицкевича [4—7] удовлетворительная применимость для описания температурной зависимости скорости прямых и обратных переходов уравнений:

$$k = B_1 e^{-E_1/R(T-T_n)} \quad (1)$$

$$k = B_2 e^{-E_2/R(T_n-T)} \quad (2)$$

соответственно.

Представляло интерес исследовать применимость данных уравнений для описания температурной зависимости скорости полиморфных переходов других веществ.

В качестве объекта для исследования был выбран четырехбромистый углерод. Выбор данного соединения в качестве объекта исследования был определен также желанием опробировать уравнения (1) и (2) для расчета температуры перехода, поскольку в литературе приведены несовпадающие данные относительно этой величины (46,1; 46,2; 46,6; 46,9 и 46,91°С [8]).

Экспериментальная часть

Для проведения опытов нами было использовано готовое соединение. Перед употреблением четырехбромистый углерод был очищен возгонкой в присутствии активированного угля и нагреванием на водяной бане. При таких температурных условиях исключено термическое разложение $СВг_4$ [9]. Изучение кинетики переходов проводили дилатометрическим методом. Навеска четырехбромистого углерода (5,84 г) помещалась в расширенную часть дилатометра, которая имела развитую поверхность для улучшения условий теплообмена. В качестве дилатометрической жидкости нами использовалась вода. При диаметре капилляра, равном 2,08 мм, максимальное изменение положения мениска воды в капилляре, вследствие прошедшего превращения, составляло 35,5 мм.

При разработке методики проведения опытов мы учли имеющиеся в литературе [4] указания на значительное влияние режима предварительной обработки образцов на скорость их последующего превращения. В случае опытов по определению скорости прямого перехода дилатометр с веществом помещался в термостат при 46°, где выдерживался в течение 30 мин. Затем он быстро переносился в рядом стоящий второй термостат, температура которого соответствовала температуре опыта. Температура термостата в течение опыта поддерживалась постоянной с точностью $\pm 0,05^\circ$.

После того как завершился опыт по прямому переходу, о чем судили по прекращению изменения положения мениска воды в капилляре в течение 0,5—2 час в зависимо-

от температуры опыта, дилатометр переносился в первый термостат, который нагревался от температуры опыта до 70° на протяжении 1,5 часа. После этого нагрев термостата прекращался. Термостат вместе с дилатометром медленно охлаждался до 48° . Обычно для этого было достаточно 3—4 час. Дилатометр переносился во второй термостат, имеющий температуру опыта ниже температуры перехода, и изучался обратный процесс. Нами были определены коэффициент и скорость термического расширенияержимого в дилатометре в области температур как выше, так и ниже температуры перехода. Эти данные в дальнейшем были использованы для внесения необходимых поправок в результаты опытов.

На рис. 1 и 2 представлены кривые полного превращения как прямого, так и обратного переходов при разных температурах. Как можно видеть,

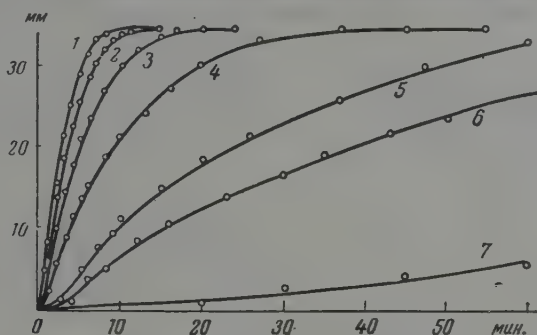


Рис. 1. Зависимость количества моноклинной модификации SVg_4 (в миллиметрах шкалы дилатометра), превратившегося в кубическую модификацию, от времени при температурах: 1— $49,2$; 2— $48,7$; 3— $48,2$; 4— $47,7$; 5— $47,4$; 6— $47,3$; 7— $47,2^\circ$ С

кривые превращения имеют S-образный вид, указывающий на неодновременное вступление в реакцию всего исходного вещества. Последнее можно связать с локализацией процесса на межфазовой поверхности и раз-

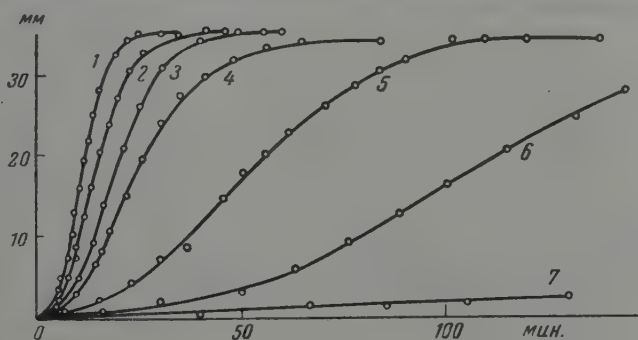


Рис. 2. Зависимость количества кубической модификации SVg_4 (в миллиметрах шкалы дилатометра), превратившегося в моноклинную модификацию, от времени при температурах: 1— $45,7$; 2— $45,95$; 3— $46,1$; 4— $46,2$; 5— $46,4$; 6— $46,5$; 7— $46,6^\circ$ С.

тием ее во времени. В случае обратного перехода такой характер превращения кубической модификации в моноклинную подтверждается прямыми микроскопическими наблюдениями [8].

Обращает на себя внимание более выраженный S-образный характер кривых полного превращения в случае обратных переходов по сравнению с кривыми полного превращения в случае прямых переходов. Про-

цесс обратного перехода экзотермичен [9]. В связи с этим он проявляет определенную аналогию с процессами термического разложения эндотермических соединений. Выделяющееся тепло, как показал Хартшо [8], определяет дедритный рост новой, моноклинной фазы, что, в свою очередь, обуславливает высокий темп развития межфазовой поверхности, где локализован процесс. Возможно, что выделяющееся тепло вызывает и нелинейный рост реакционных ядер и связанное с этим также высокое развитие реакционной зоны.

Из приведенных данных можно видеть, что на скорость полиморфных превращений существенное влияние оказывает температура, причем пр...

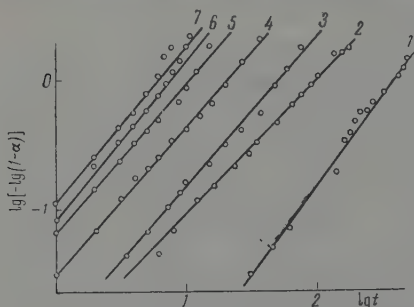


Рис. 3. Зависимость $\lg [-\lg(1-\alpha)]$ от логарифма времени для переходов кубической модификации SbBr_3 в моноклинную модификацию. Нумерация соответствует рис. 1

да приводит к значительному изменению скорости как прямого, так и обратного превращения. Область температур, в которой скорость превращения может быть измерена, ограничена $2-3^\circ$ как в большую, так и в меньшую сторону от температуры перехода. Это обусловлено большим значением температурного коэффициента скорости, что является характерной особенностью процессов полиморфных переходов многих веществ.

Для количественной оценки влияния температуры на скорость

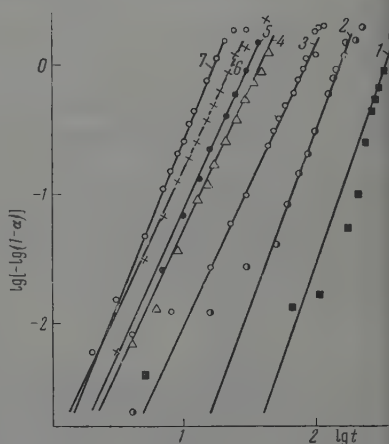


Рис. 4. Зависимость $\lg [-\lg(1-\alpha)]$ от логарифма времени для переходов кубической модификации SbBr_3 в моноклинную модификацию. Нумерация соответствует рис. 2.

превращений были рассчитаны значения констант скорости. Кинетический анализ мы проводили при помощи уравнения

$$\alpha = 1 - e^{-bt^n},$$

где α — доля прореагировавшего вещества за время t , b и n — постоянные.

На рис. 3 и 4 приведены графики зависимости доли прореагировавшего вещества от времени в координатах $\lg [-\lg(1-\alpha)] - \lg t$. Прямолинейный характер зависимости доли прореагировавшего вещества от времени в указанных координатах служит критерием применимости уравнения (3) в дважды прологарифмированном виде. В нашем случае ур...

ение (3) описывало процессы полиморфных переходов не менее чем на 90 %.

Расчет значений констант скорости реакций первого порядка производили по соотношению [10]:

$$k = nb^{1/n} \quad (4)$$

Полученные кинетические данные представлены в табл. 1 и 2.

Отмеченное выше различие в характере кривых полного превращения для прямого и обратного переходов нашло свое отражение в значениях показателя n . В случае прямых переходов параметр n имеет значения, приблизительно равные единице, а в случае обратных переходов — несколько больше двух. Большие значения показателя n в случае обратных переходов

Таблица 1

Кинетические данные по превращению
моноклинной модификации CBr_4
в кубическую модификацию
(прямой переход)

$t_{\text{оп}}, ^\circ\text{C}$	n	$\lg b$	k
49,2	1,20	—0,59	0,379
48,7	1,23	—0,71	0,323
48,2	1,15	—0,81	0,229
47,7	1,14	—1,15	0,112
47,4	1,14	—1,61	0,042
47,3	1,03	—1,70	0,024
47,2	1,40	—3,25	0,007

Таблица 2

Кинетические данные по превращению
кубической модификации CBr_4
в моноклинную модификацию
(обратный переход)

$t_{\text{оп}}, ^\circ\text{C}$	n	$\lg b$	k
45,7	2,44	—2,69	0,155
45,95	2,14	—2,60	0,132
46,1	2,20	—2,97	0,098
46,2	2,15	—3,08	0,079
46,4	2,15	—3,81	0,036
46,5	2,70	—5,58	0,023
46,6	2,86	—7,16	0,009

дов подтверждают высказанные ранее соображения относительно повышенной локализации процесса превращения кубической модификации в моноклинную модификацию.

Обращает на себя внимание хорошее постоянство значений n для каждого из видов переходов, независимо от температуры опыта. Это может служить признаком того, что изменение температурных условий не влияет на механизм превращений.

На рис. 5 приведены графики зависимости $\lg k$ от $1/T$ как для прямого, так и обратного переходов. Нелинейная зависимость константы скорости от температуры в рассматриваемых координа-

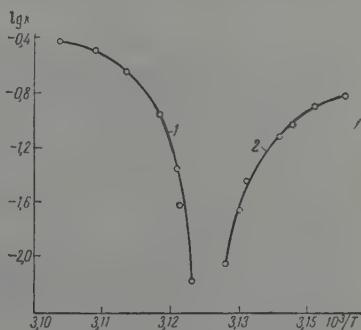


Рис. 5. Температурная зависимость константы скорости: 1 — прямого и 2 — обратного переходов CBr_4

тах указывает на неприменимость уравнения Аррениуса. Предполагая наличие для процессов прямого перехода температуры начала, совпадающей с температурой полиморфного превращения, мы рассчитывали таковую по уравнению

$$T_{\text{II}} = \frac{(T_2 - T_1) T_3 \lg \frac{k_3}{k_1} - (T_3 - T_1) T_2 \lg \frac{k_2}{k_1}}{(T_2 - T_1) \lg \frac{k_2}{k_1} - (T_3 - T_1) \lg \frac{k_2}{k_1}} \quad (5)$$

В качестве температур T_1 , T_2 и T_3 и соответствующих им значений констант скорости нами были взяты три произвольные температуры в порядке их возрастания и отвечающие им значения констант скорости на кривой 1

(рис. 5). В результате проведенного расчета для T_n было получено значение, равное $320,1^\circ \text{K}$ или $46,9^\circ \text{C}$.

На рис. 6 приведен график зависимости $\lg k$ от $1/T - 320,1^\circ$ (линия 1). Как можно видеть, экспериментальные точки хорошо ложатся на прямую, что указывает на применимость уравнения (1) для описания температурной зависимости скорости перехода моноклинной модификации четырехбромистого углерода в кубическую модификацию. В то

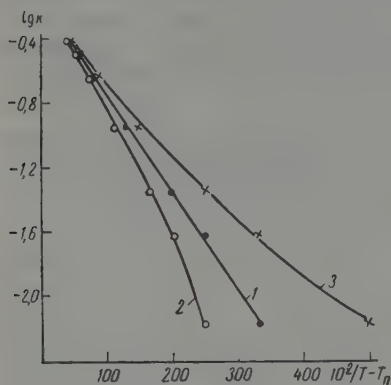


Рис. 6

Рис. 6. Применимость уравнения (1) для описания температурной зависимости константы скорости прямого перехода при значениях T_n , равных: 1 — $320,1^\circ \text{K}$; 2 — $320,0^\circ \text{K}$; 3 — $320,2^\circ \text{K}$.

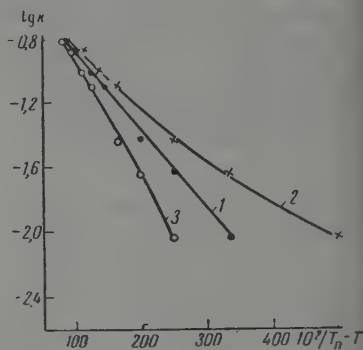


Рис. 7

Рис. 7. Применимость уравнения (2) для описания температурной зависимости константы скорости обратного перехода при значениях T_n , равных: 1 — $320,1^\circ \text{K}$; 2 — $320,0^\circ \text{K}$; 3 — $320,2^\circ \text{K}$.

же время на основании применения уравнения (1) можно рассчитать с довольно высокой степенью точности значения температуры перехода. Насколько это так, можно видеть из представленных на рис. 6 графиков зависимости логарифма константы скорости от обратной разности температур, где в качестве T_n взяты температуры, отличающиеся от рассчитанной на $0,1^\circ$ в большую и меньшую стороны, т. е. от $1/T - 320,0$ (линия 2) и от $1/T - 320,2$ (линия 3). Приведенные графики не дают линейной зависимости. Имеет место одностороннее отклонение экспериментальных точек, особенно в области низких температур. Это позволяет принять, что найденное расчетным способом значение температуры энтальпийного превращения четырехбромистого углерода отличается от истинного значения данной величины не более чем на $\pm 0,1^\circ$.

Определенное выше значение T_n было использовано нами для оценки применимости уравнения (2). На рис. 7 представлены: график зависимости логарифма константы скорости процесса обратного перехода от $1/320,1^\circ - T$ и для сравнения графики зависимости логарифма константы скорости от $1/320,0^\circ - T$ и $1/320,2^\circ - T$. Экспериментальные точки хорошо ложатся на прямую при значениях T_n , равных $320,1^\circ \text{K}$, что указывает на применимость уравнения (2) для описания температурной зависимости скорости перехода кубической модификации в моноклинную модификацию в изученной области температур.

Сравнение графиков, представленных на рис. 7, показывает, что и для описания температурной зависимости скорости обратного перехода уравнением (2) также возможно установить значение температуры энтальпийного

обратного перехода четырехбромистого углерода. Это значение совпадает со значением T_p , находимым из исследования кинетики прямого перехода, отличается от истинного значения температуры перехода не более чем на $\pm 0,1^\circ$.

Выводы

1. Изучена dilatометрическим методом температурная зависимость скорости прямого и обратного полиморфного превращения четырехбромистого углерода вблизи температурной точки перехода.
2. Найдена хорошая применимость уравнений (1) и (2) для описания температурной зависимости скорости прямого и обратного переходов, соответственно.
3. Показано, что данные уравнения могут быть использованы для расчетов температуры полиморфного перехода на основании экспериментальных данных по температурной зависимости скорости как прямого, так и обратного переходов.

Поступила
21. XI. 1958

ЛИТЕРАТУРА

1. В. К. Першке и А. И. Попов, Ж. общ. химии, 7, 363, 1937.
2. Н. Х. Хартшорн, Новые исследования по кристаллографии и кристаллохимии, Сб. I, Рост кристаллов, ИИЛ, М., 1950, стр. 112.
3. Г. В. Сакович, Ж. физ. химии, 33, 636, 1959.
4. Б. В. Ерофеев и Н. И. Мицкевич, Ж. физ. химии, 24, 1235, 1950.
5. Б. В. Ерофеев и Н. И. Мицкевич, Ж. физ. химии, 26, 848, 1952.
6. Б. В. Ерофеев и Н. И. Мицкевич, Ж. физ. химии, 26, 1613, 1952.
7. Б. В. Ерофеев и Н. И. Мицкевич, Ж. физ. химии, 27, 118, 1953.
8. N. H. Hartshorne and P. Swift, J. Chem. Soc., 3705, 1955.
9. K. J. Frederick and J. H. Hildebrand, J. Amer. Chem. Soc., 61, 1555, 1939.
10. Г. В. Сакович, Уч. зап. Томск. ун-та, № 26, 103, 1955.

THE TEMPERATURE DEPENDENCE OF THE MUTUAL TRANSITIONS OF MONOCLINIC AND CUBIC MODIFICATIONS OF CARBON TETRABROMIDE

G. V. Sakovich (Tomsk)

Summary

Data have been presented on the temperature dependence of the rate of direct and reverse polymorphous transitions of carbon tetrabromide obtained by a dilatometric method. The equations $K = B_1 e^{-\frac{E_1}{R(T-T_p)}}$ and $K = B_2 e^{-\frac{E_2}{R(T_p-T)}}$ describe respectively the temperature dependence of the direct and reverse reactions. The equations may be used for calculating the temperatures of enantiomorphous transitions from the experimental data on the temperature dependence of both the direct and reverse transitions.

ЭЛЕКТРОДНЫЕ ПОТЕНЦИАЛЫ МОНОКРИСТАЛЛА СЕРЕБРА

В. Н. Никулин и М. З. Цыпин

Экспериментальные и теоретические исследования ряда авторов [1—4] показали, что значение электродного потенциала зависит от кристаллографического направления. Однако такая точка зрения не является единственной [5, 6].

Не вдаваясь в обсуждение деталей, можно утверждать, что роль и значение кристаллографической характеристики электрода в ряде случаев недостаточно ясны. Лишь дальнейшее накопление экспериментального материала позволит сделать правильную оценку влияния этого фактора в каждом конкретном случае.

Настоящая работа имеет своей целью исследовать зависимость электродного потенциала монокристалла серебра от кристаллографического направления и состава электролита.

Экспериментальная часть

Выращивание монокристаллов серебра и подготовка электродов описаны нами ранее [7].

Измерение статических и динамических потенциалов производилось компенсационным методом при помощи высокоомного потенциометра типа ПИТВ и зеркального гальванометра ГЗС-53. Электродом сравнения служил насыщенный каломельный полуэлемент. Электроды, потенциал которых измерялся, имели рабочую поверхность, равную 6 см^2 , остальная часть электрода покрывалась полимеризованным бакелитовым лаком.

Таблица 1

Статические потенциалы

Электролит	Время, минуты	Потенциалы, вольты				
		индекс грани			литое серебро	прокатное серебро
		111	100	110		
Раствор AgCN 20 г/л KCN 30 г/л	0,0	-0,429	-0,440	-0,442	-0,436	-0,460
	5	-0,436	-0,444	-0,446	-0,441	-0,461
	10	-0,438	-0,445	-0,449	-0,442	-0,461
	15	-0,438	-0,443	-0,451	-0,443	-0,460
	20	-0,439	-0,443	-0,451	-0,443	-0,460
	30	-0,439	-0,443	-0,452	-0,444	-0,461
	40	-0,440	-0,444	-0,458	-0,445	-0,460
	50	-0,441	-0,445	-0,452	-0,446	-0,460
	60	-0,440	-0,444	-0,452	-0,446	-0,461
Раствор $\text{Na}_2\text{S}_2\text{O}_3 \cdot 10\text{H}_2\text{O}$, 900 г/л	0,0	-0,144	-0,125	-0,146	-0,149	-0,120
	10	-0,150	-0,131	-0,152	-0,158	-0,129
	15	-0,154	-0,136	-0,157	-0,159	-0,134
	20	-0,159	-0,141	-0,161	-0,163	-0,141
	25	-0,163	-0,147	-0,165	-0,166	-0,150
	30	-0,168	-0,152	-0,169	-0,171	-0,161
	40	-0,172	-0,161	-0,173	-0,175	-0,168
	50	-0,176	-0,168	-0,171	-0,179	-0,175
	60	-0,179	-0,174	-0,180	-0,181	-0,178
	90	-0,183	-0,181	-0,182	-0,183	-0,182

Таблица 2

Потенциалы при анодной поляризации

Электролит	Плотность тока, $A/\text{дм}^2$	Потенциалы, вольты				
		индекс грани			литое серебро	прокатное серебро
		111	100	110		
Р-р AgCN 20 г/л 30 г/л	0,30	-0,387	-0,394	-0,352	-0,390	-0,394
	0,60	-0,341	-0,348	-0,261	-0,342	-0,336
	0,80	-0,303	-0,308	-0,201	-0,303	-0,301
	0,90	-0,281	-0,290	-0,172	-0,280	-0,283
	1,00	-0,252	-0,261	-0,125	-0,254	-0,264
	1,05	-0,234	-0,247	-0,102	-0,230	-0,258
	1,10	-0,216	-0,229	-0,076	-0,208	-0,240
	1,15	-0,195	-0,209	-0,045	-0,182	-0,224
	1,20	-0,175	-0,170	-0,008	-0,149	-0,207
	1,25	-0,157	+0,039	+0,270	-0,080	-0,207
	1,30	+0,141	+0,360	+0,670	-0,022	-0,162
Р-р $\text{Na}_2\text{S}_2\text{O}_3 \cdot 10\text{H}_2\text{O}$, 0 г/л	0,00	-0,144	-0,125	-0,146	-0,149	-0,120
	1,4	+0,010	+0,010	+0,004	+0,001	+0,078
	2,8	+0,055	+0,077	+0,046	+0,065	+0,144
	4,2	+0,102	+0,133	+0,110	+0,125	+0,182
	5,6	+0,147	+0,152	+0,195	+0,180	+0,214
	7,0	+0,188	+0,171	+0,250	+0,234	+0,244
	8,4	+0,226	+0,183	+0,237	+0,274	+0,273
	9,8	+0,265	+0,201	+0,336	+0,330	+0,313
	11,2	+0,303	+0,227	+0,390	+0,372	+0,450

Результаты измерений потенциалов в растворе цианидов [8] и растворе сульфата натрия приведены в табл. 1 и 2.

Статические стационарные потенциалы серебра, измеренные в других электролитах, приведены в табл. 3.

Таблица 3

Статические потенциалы

Соста в электролита	Потенциал, вольты		
	индекс грани		
	111	100	110
1 N AgNO_3	+0,798	+0,796	+0,795
0,1 N KOH	+0,162	+0,143	+0,170
0,1 N H_2SO_4	+0,257	+0,285	+0,260
Фосфатщелочн. бу- фер pH = 6,9	+0,445	+0,310	+0,415

Данные значения потенциалов отнесены к потенциалу нормального водородного электрода.

Приведенные в таблицах значения потенциалов серебра убедительно показывают, что потенциал последнего несомненно зависит от кристаллографического направления и структуры поверхности электрода.

В большей или меньшей мере разница в потенциалах для различных граней имеет место для всех электролитов, в которых производилось измерение.

Приведенные в табл. 1, 2, 3 значения потенциалов показывают, что эти различия в большей степени проявляются в условиях поляризации и неэлектростатического состояния.

Например, в случае измерения потенциалов различных граней в растворе 1 N AgNO_3 , которые можно рассматривать как равновесные, эта разница достигает 2—3 мВ; при поляризации электродов и измерении потенциалов в других электролитах она достигает десятков и сотен милливольт.

Можно допустить, что в случае равновесных потенциалов их величина определяется плотностью упаковки — чем более плотная упаковка граней, тем положительнее потенциал.

Однако в общем случае величина, знак и соотношение потенциалов граней различных индексов в различных электролитах будут не одинаковыми.

Приведенные выше результаты показывают, что электродные потенциалы серебра определяются не только силами взаимодействия в кристаллической решетке, но также и силами взаимодействия ион-атомов с молекулами или ионами электролита. Было бы односторонне и ошибочно объяснять разницу в потенциалах различных граней монокристалла только различием межатомных и межплоскостных расстояний. В каждом конкретном случае параметры и упаковка различных граней, несомненно, оказывают влияние на электродный потенциал, но в различных электролитах это влияние будет различным.

Выводы

1. Электродный потенциал серебра зависит от кристаллографического направления.

2. Величина, знак и соотношение потенциалов различных граней монокристалла серебра зависит от природы электролита, в котором производят измерение потенциала.

3. Для правильной оценки влияния кристаллографического фактора в каждом конкретном случае необходимо учитывать как силы взаимодействия в кристаллической решетке, так и силы взаимодействия иона с окружающей средой.

Казанский химико-технологический
институт им. С. М. Кирова

Поступила
8.IV.1959

ЛИТЕРАТУРА

1. П. П. Павлов, Зап. Новороссийск. о-ва естествоиспыт. 25, 83, 1904.
2. Г. С. Воздвиженский, В. А. Дмитриев и Е. В. Ржевская, Ж. физ. химии, 29, 250, 1955.
3. W. S. Traeger, W. D. Robertson, J. Electrochem. Soc., 102, 86, 1955.
4. Н. С. Ахметов, Тр. Каз. химико-технологического ин-та, вып. 19-20, 1954, 1955.
5. G. A. Hullett, J. Amer. Chem. Soc., 27, 49, 1905.
6. В. К. Семенченко, Поверхностные явления в металлах и сплавах. Техтеориздат, Москва, 1957.
7. В. Н. Никулин, Ж. физ. химии, 33, 1360, 1959.
8. Н. П. Федотьев, С. Я. Грилехес, Электрохимическое травление, полирование и оксидирование металлов, Машгиз, Москва — Ленинград, 1957.

ELECTRODE POTENTIALS OF A SILVER MONOCRYSTAL

V. N. Nikulin, and M. Z. Tsypin (Kazan')

Summary

Data have been presented on the dependence of the electrode potential of a silver monocrystal upon the crystallographic direction. It has been shown, furthermore, that the size, sign and ratio of the electrode potentials for different facets are not the same in different electrolytes. On the basis of the results obtained it has been concluded that in assessing the effect of the crystal characteristics of the electrode upon the potential account must be taken not only of the ion — atom interaction forces in the crystal lattice but also of ion — atom interaction with the surrounding medium.

ТЕПЛОТА АДСОРБЦИИ УГЛЕВОДОРОДОВ НА ОКСИД МАГНИЯ

А. А. Исириян и А. В. Киселев

В серии наших работ произведено экспериментальное и теоретическое исследование адсорбции углеводородов на неполярном адсорбенте — графитированной саже [1—3]. Представляет интерес аналогичное исследование для полярных адсорбентов. Одним из простейших случаев является сорбция на грани (100) простых кубических решеток, например, на оксид магния. Ее адсорбционные свойства изучались в ряде работ; в частности, [4] исследовались изотермы адсорбции паров *n*-гексана и диклогексана. Гравиметрических определений теплот адсорбции углеводородов на оксид

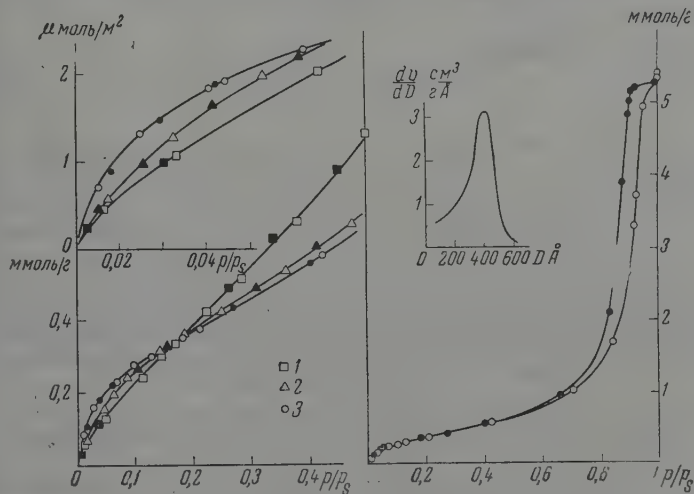


Рис. 1. Изотермы адсорбции: 1 — паров бензола; 2 — *n*-гексана, 3 — *n*-октана на оксид магния. Справа наверху — кривая распределения объема пор по их диаметру. Здесь и далее черные точки — десорбция

магния в литературе мы не нашли. В [5] исследовалась адсорбция паров *n*-бутана, *n*-гептана, бензола и других паров на различных оксидах, том числе и на оксиде магния, причем для некоторых из этих систем изотермы снимались при двух температурах, что позволило авторам рассчитать изостерические теплоты и энтропию адсорбции.

В [6—8] была исследована структура ряда образцов оксидов и гидроксидов магния адсорбционно-структурным и электронно-микроскопическим методами. Изотермы адсорбции паров *n*-гексана и бензола на оксиды и гидроксиды магния исследовались в [9]; в [2, 10—12] были сделаны теоретические расчеты энергии адсорбции этих углеводородов на оксиды и гидроксиды магния. В [2] для сопоставлений с теоретическими расчетами предположительно были использованы измеренные нами теплоты адсорбции *n*-

гексана и бензола на окиси магния. В настоящей статье приводятся полностью и обсуждаются результаты измерений изотерм и дифференциальных теплот адсорбции паров бензола, *n*-гексана и *n*-октана на одном из образцов окиси магния.

Экспериментальная часть

Опыты и результаты. Характеристики углеводородов приводились в [13—15]. Однороднокрупнопористая окись магния была получена из крупнопористой гидроксидной окиси магния прокаливанием в вакууме при 1000° в течение 6 час. [6]*. Определение удельной поверхности s этого

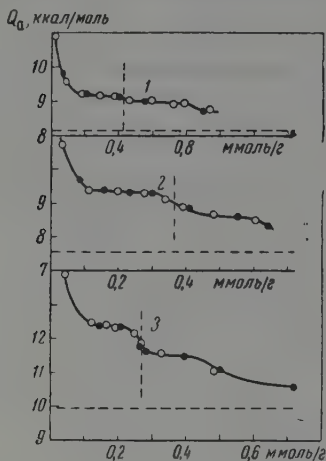


Рис. 2

Рис. 2. Дифференциальные теплоты адсорбции: 1 — паров бензола, 2 — *n*-гексана и 3 — *n*-октана на окиси магния. Горизонтальные пунктиры — теплоты конденсации. Вертикальные пунктиры — места наиболее резкого спада теплоты адсорбции при переходе от преимущественного заполнения первого слоя к преимущественному заполнению второго

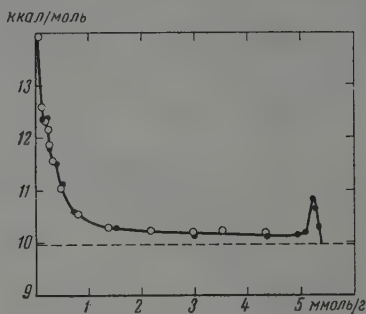


Рис. 3

Рис. 3. Полная кривая дифференциальной теплоты адсорбции пара *n*-октана на окиси магния. Горизонтальный пунктир — теплота конденсации

в [13, 14]. Результаты приведены на Фрис. 1—3. Адсорбция паров *n*-гексана и бензола исследовалась лишь до образования приблизительно двух адсорбционных слоев, а адсорбция паров *n*-октана — вплоть до насыщения, что позволило найти максимум теплоты десорбции вблизи насыщения и рассчитать по десорбционной ветви изотермы кривую распределения объема пор по размерам (рис. 1).

Обсуждение результатов

О емкости монослоя и о величине площади, занимаемой молекулой адсорбата в плотном монослое. Получение абсолютных величин адсорбции (отнесенных к единице поверхности) требует точного определения удельной поверхности s , что в свою очередь, опирается на величину площади, занимаемой адсорбированной молекулой в плотном монослое ω_0 . Во многих случаях, однако, мы еще не можем определить величины ω_0 и s с нужной точностью

* Прокаливание этого образца при 1400° практически уже не изменяет адсорбционных свойств его поверхности [9].

Методы обработки изотерм адсорбции с использованием уравнений Лэнгмюра, БЭТ или различных их модификаций с целью получения величин емкости монослоя a_m или энергетических характеристик изучаемых систем, не могут нас удовлетворить полностью, так как часто полученные такими путями величины противоречивы. Это связано, во-первых, с тем, что константы этих уравнений получают вложенный в них при выводе физический смысл (емкости плотного монослоя a_m и константы равновесия) только для сильной адсорбции на однородной поверхности, когда горизонтальные взаимодействия адсорбат — адсорбат по сравнению с вертикальными взаимодействиями адсорбат—адсорбент относительно малы [16], и, во-вторых, с тем, что площадь, занимаемая молекулой адсорбата

Таблица 1

Константы уравнений БЭТ и Хюттига для изотерм адсорбции паров бензола, *m*-гексана и *n*-октана на окиси магния

Адсорбат	Уравнение БЭТ			Уравнение Хюттига		
	интервал относительных давлений пара, p/p_s	емкость монослоя, a_m , $\frac{\text{ммоль}}{\text{г}}$	Константа равновесия, C	интервал относительных давлений пара, p/p_s	емкость монослоя, a_m , $\frac{\text{ммоль}}{\text{г}}$	константа равновесия, C
Бензол	0,1—0,4	0,545	5,3	—	—	—
Гексан	0,03—0,4	0,39	14	0,04—0,2	0,435	12
Октан	0,1—0,4	0,36	19	0,04—0,12	0,345	25

плотном монослое, ω_0 , зависит от упаковки, определяемой взаимно притяжением силовых центров адсорбата и адсорбента, их геометрическими и энергетическими свойствами. При адсорбции на графитированных сажах практически однородной поверхностью, состоящей преимущественно из треугольных граней графита, величина $\omega_0 = 16,2 \text{ \AA}^2$ для азота соответствует разумным значениям ω_0 для плоско ориентированных молекул ряда углеводородов, в частности для бензола $\omega_0 = 40 \text{ \AA}^2$ [1]. В случае же адсорбции на силикагеле с гидратированной поверхностью, когда уравнение БЭТ формально хорошо описывает адсорбцию паров азота и бензола, величина $\omega_0 = 16,2 \text{ \AA}^2$ для азота соответствует для бензола $\omega_0 \approx 50 \text{ \AA}^2$ [14]. В работах [5, 9] отмечено, что при адсорбции на окиси магния упаковка молекул азота определяется структурой решетки и ω_0 отличается от $16,2 \text{ \AA}^2$. К такому же заключению приводят результаты обработки полученных в этой работе изотерм при помощи уравнений БЭТ и Хюттига [17], приведенные в табл. 1. Правда, наш образец окиси магния, вследствие еще значительной неоднородности поверхности, не является, с точки зрения физического смысла этих уравнений, вполне благоприятным объектом для проведения таких сопоставлений, однако в указанных пределах p/p_s эти уравнения формально хорошо выполняются*.

В табл. 2 сопоставлены величины ω_0 для углеводородов, определенные разными методами.

Явно заниженная величина ω_0 для адсорбции бензола на окиси магния вновь указывает на то, что величина $\omega_0 = 16,2 \text{ \AA}^2$ для адсорбции азота на окиси магния является заниженной**.

* Уравнение БЭТ выполняется при этом в более широком интервале p/p_s в противоположность данным авторов [5], отбрасывших для систем углеводороды — окис магния лучшую выполнимость уравнения Хюттига. Это также указывает лишь на формальный характер применимости указанных уравнений и в данном случае.

** В работе [18] было установлено, что при формальном применении метода БЭТ уменьшением константы C величина ω_0 не уменьшается, а возрастает: для бензола переход от адсорбции на графитированной саже к адсорбции на окиси магния связан резким уменьшением константы C .

Таблица 2

Сопоставление величин ω_0 для углеводородов, определенных разными методами

Углеводороды	Толщина молекулы, Å	из плотности жидкости и толщины молекулы	Значение ω_0 , Å ²					
			из адсорбции при определении с методом БЭТ по адсорбции пара азота при $\omega_0 = 16,2$ Å ²					
			на графитированной саже		на окиси магния		на силикагеле	
			по БЭТ	по спаду теплот адсорбции	по БЭТ	по спаду теплот адсорбции	по БЭТ	по спаду теплот адсорбции
Бензол	3,7	40	40,3	40,1	36	46	49	—
n-Гексан	4,0—5,0	54—43	51,5	50,3	51	55	59	73
n-Октан	4,0—5,0	68—54	61,0	63,9	58	77	—	—

Для оценки a_m можно пользоваться и другим методом. В случае резкого спада дифференциальной теплоты адсорбции паров (рис. 2, кривая 3) можно принять, что до этого спада адсорбция происходит преимущественно в первом слое, а после него преимущественно во втором. Это хорошо оправдывается в случае адсорбции сильно адсорбирующихся углеводородов на поверхности графитированных саж. В этом случае место резкого спада теплоты адсорбции приблизительно соответствует емкости монослоя. Полученные отсюда величины ω_0 для адсорбции на графитирован-

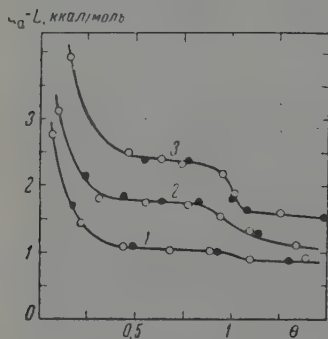


Рис. 4. Чистые теплоты адсорбции: 1 — паров бензола; 2 — *n*-гексана и 3 — *n*-октана на окиси магния в зависимости от заполнения поверхности. Емкости монослоев определены по местам вертикальных пунктиров на рис. 2

ной саже приведены в столбце 4; они довольно близки к полученным по БЭТ. В случае адсорбции на окиси магния кривые теплот адсорбции имеют четливый спад, хотя и гораздо менее резко выраженный, чем в случае графитированной сажи вследствие меньшей энергии адсорбции изолированных молекул [2], что снижает верхнюю часть кривой теплоты, и наличия капиллярной конденсации в порах, что повышает нижнюю часть этой кривой [14]. Величины ω_0 , оцененные по местам спада теплот адсорбции отмеченным на рис. 2 вертикальными пунктирами, приведены в столбце 6. Они превышают приблизительно на 10—20% соответствующим образом определенные величины из теплот адсорбции на графитированной саже.

Нам кажется, что способ определения емкости монослоя из измерений дифференциальных теплот адсорбции заслуживает внимания, так как является совершенно независимым от предположений теории БЭТ. В предыдущих работах мы отмечали небольшие ступенеобразные спады кривых дифференциальных теплот адсорбции *n*-гексана и *n*-гептана даже на еще более слабо адсорбирующем *n*-алканы широкопористом силикагеле и связывали их с завершением образования первого слоя. На кривых дифференциальных теплот адсорбции углеводородов на окиси магния (рис. 2 и 4) эти ступени выражены более ярко. Особенно резкий спад теплоты адсорбции (около 0,8 ккал/моль) наблюдается в случае *n*-октана, менее резкий

спад (около $0,4 \text{ ккал/моль}$) для адсорбции *n*-гексана. В случае бензола этот спад едва заметен, он граничит с точностью измерения (около $0,1 \text{ ккал/моль}$). Чем резче спад теплоты, тем уже границы перехода от преимущественной адсорбции в первом слое к преимущественной адсорбции во втором слое (рис. 4). Величины площадей молекул в плотном монослое, полученные из кривых дифференциальных теплот адсорбции (табл. 2), значительно больше тех, которые эти молекулы занимают на поверхности графита, но несколько меньше, чем на поверхности кремнезема (при формальном определении по БЭТ емкостей монослоя углеводородов и величины удельной поверхности из адсорбции азота при $\omega_0 = 16,2 \text{ \AA}^2$ [13, 14]).

В [19] обсуждался вопрос о несоответствии площадей, занятых молекулами в плотном монослое, вычисленных из плотности жидкости и полученных из адсорбции тех же молекул на окиси магния. Авторы предположили, что адсорбированные молекулы занимают некоторые предпочтительные положения на грани (100) кристалла окиси магния, и нашли соответствие с этим в данных своих опытов. В нашем случае дело идет об адсорбции сравнительно крупных молекул углеводородов, размеры которых во много раз превышают размеры элементов кристаллической решетки окиси магния. Естественно, на поверхности кристалла окиси магния трудно выделить площадку для «сильной» адсорбции большой молекулы с тем, чтобы не захватить и части поверхности со «слабой» адсорбцией. Поэтому крупные молекулы как бы выравнивают энергетический рельеф однородной части поверхности и адсорбируются, по-видимому, без особого предпочтения какого-либо участка поверхности [9, 10, 12], так что их расположение не должно сильно отличаться от получаемого из ван-дер-ваальсовых размеров в жидкости. Иначе обстоит дело в случае адсорбции небольших молекул, в частности, квадрупольных молекул азота на окиси магния, которые могут предпочтительно адсорбироваться в двух положениях. Атомы молекулы азота могут располагаться либо над двумя ближайшими ионами кислорода, либо над двумя ионами магния, в зависимости от преобладания либо энергии кулоновского взаимодействия свободной пары электронов молекулы азота с ионами магния (в первом положении), либо энергии дисперсионного взаимодействия (во втором положении). Как в одном, так и в другом положении молекула азота будет занимать площадь, равную около $17,7 \text{ \AA}^2$, что приблизительно на 10% больше принятой нами величины при определении удельной поверхности образца по адсорбции пара азота. Если ввести соответствующую поправку в величину удельной поверхности образца (считая метод БЭТ применимым), то молекулярные площади адсорбированных углеводородов соответственно увеличатся и приблизятся к величинам площадей, занимаемым ими на графитированной саже [1, 11], оцененным из величин поверхности по азоту методом БЭТ при $\omega_0 = 16,2 \text{ \AA}^2$.

Стандартные величины теплоты и энтропии адсорбции. На рис. 4 приведены кривые зависимости чистых дифференциальных теплот адсорбции $Q_a - L$ от степени заполнения θ , где $\theta = a/a_m$ определялись через величины a_m , полученные из кривых зависимости теплоты адсорбции от величины адсорбции a , приведенных на рис. 2. Теплоты адсорбции *n*-октана и *n*-гексана в средней части заполнения монослоя практически постоянны, и их стандартные значения (при $\theta = 0,5$) могут быть определены достаточно надежно, независимо от некоторой неточности в оценке a_m . Они хорошо согласуются с теплотой адсорбции *n*-гептана на окиси магния, полученной в [5]. Величины стандартных теплот адсорбции *n*-алканов на окиси магния удовлетворительно описываются линейной зависимостью:

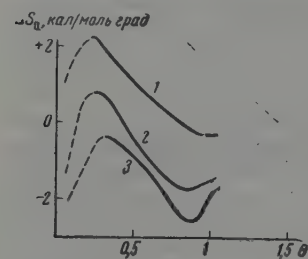
$$Q^0 = 0,4 + 1,5n \text{ ккал/моль},$$

где n — число атомов углерода в молекуле *n*-алкана. Эта зависимость близка к вычисленной теоретически в [2, 10].

Дегидратация гидроокиси магния, так же как и дегидратация силикагеля [8, 20, 21], приводит к снижению теплоты адсорбции бензола [9]. В [22] была теоретически оценена энергия кулоновского взаимодействия гидроксильной группы с мультиполями молекулы бензола, объясняющая повышение теплоты адсорбции бензола на силикагеле с гидратированной поверхностью и на гидроокиси магния по сравнению с теплотой адсорбции его на дегидратированном силикагеле [8, 20, 21] и на дегидратированной с поверхности гидроокиси магния [9, 12]*.

На рис. 5 приведены дифференциальные энтропии адсорбции для исследованных систем (стандартное состояние — нормальная жидкость). Отмеченные пунктиром начальные участки кривых соответствуют адсорбции на резко неоднородной части поверхности окиси магния, по мере заполнения которой наблюдается рост энтропии. Дальнейшая адсорбция приводит к характерному для адсорбции на однородных поверхностях [1, 11] падению энтропии вплоть до образования первого адсорбционного слоя, вблизи завершения которого кривая проходит через минимум. При образовании второго слоя также наблюдается падение энтропии, но менее резкое.

Рис. 5. Дифференциальные энтропии адсорбции: 1 — паров бензола; 2 — *n*-гексана и 3 — *n*-октана на окиси магния в зависимости от заполнения поверхности



до насыщения позволили вычислить работу и теплоту смачивания этого крупнопористого образца, которые составили соответственно: 48,3 и 84,5 эрг/см². Работа и теплота смачивания силикагеля *n*-гептаном составляют 34 и 65 эрг/см² [13], причем для гексана были получены очень близкие величины, следовательно, они должны быть такими же и для октана. Таким образом интегральные величины работы и теплоты адсорбции *n*-алканов на окиси магния больше, чем на силикагеле, в соответствии с большей энергией взаимодействия неполярных молекул углеводородов с поверхностью окиси магния по сравнению с таковой в случае двуокиси кремния**.

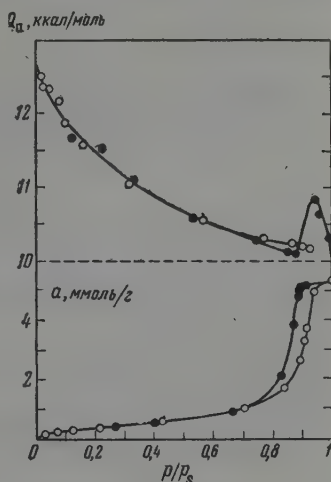
Из рис. 3 видно, что в области больших p/p_s получен максимум теплоты десорбции (теплота адсорбции в этом интервале заполнения не определена). Это явление подробно изучено нами для адсорбции на более тонкопористых образцах силикагелей, где оно проявляется более ярко [13, 14, 23—25]. Из рис. 6, на котором сопоставлены изотерма теплоты адсорбции и самой адсорбции, видно, однако, что и в случае весьма крупнопористой окиси магния это явление имеет те же характерные черты: максимум теплоты адсорбции (десорбции) соответствует заключительной стадии заполнения (первой стадии опорожнения) пор: резкому изменению кривизны мениска жидкости в устьях уже заполненных пор, что влечет за собой сильное сжатие (по пути адсорбции) или растяжение (при десорбции) жидкого адсорбата в порах, связанное с выделением (при адсорбции) или поглощением

* В [20] дегидратированный образец кремнезема содержал еще довольно значительное количество гидроксильных групп на поверхности (около 3 $\mu\text{моль/м}^2$), поэтому чистая теплота адсорбции бензола была близкой к чистой теплоте адсорбции гексана. Более полная дегидратация поверхности [8, 21] привела к дальнейшему снижению теплоты адсорбции бензола.

** Дегидратация поверхности силикагеля приводит даже к небольшому снижению теплоты адсорбции *n*-гексана [21].

при десорбции) тепла при незначительном изменении величины самой адсорбции. Так как такое же явление кроме силикагелей и пористой окиси магния было наблюдаемо и в случае тонкопористых углей [26, 27] и, наоборот, не было отмечено в случае рыхлых и пористых порошков кварца [24, 25] и силики [11], то можно с уверенностью сказать, что оно не зависит от природы твер-

рис. 6. Сопоставление изотерм зависимости теплоты адсорбции (вверху) и самой адсорбции (внизу) от относительного давления пара октана на крупнопористой окиси магния



дого тела, но определяется лишь размерами и распределением пор, т. е. имеет чисто капиллярноконденсационный характер.

Менее детальное исследование изотермы адсорбции в области относительных давлений 0,3—0,5 не позволило точно определить место начала гистерезиса. По-видимому, оно лежит около $p/p_s=0,4$. Определение величины адсорбционной пленки s' по методу капиллярной конденсации, как это было сделано в [14], дало около $110 \text{ м}^2/\text{г}$ как по теплоте, так и по работе адсорбции.

Выводы

1. В калориметре с постоянным теплообменом измерены теплоты и изотермы адсорбции паров бензола, *n*-гексана и *n*-октана на однородно-крупнопористой окиси магния, прокаленной при 1000° .
2. Обсуждены вопросы определения удельной поверхности адсорбентов разной природы. Рассмотрена возможность оценки емкости монослоя по месту резкого спада кривой дифференциальной теплоты адсорбции, соответствующего переходу от преимущественной адсорбции в первом слое к преимущественной адсорбции во втором.
3. Определены стандартные величины теплоты и энтропии адсорбции углеводов на окиси магния; теплоты адсорбции близки к вычисленным ранее теоретически.
4. Из опытных данных определены абсолютные величины работы и теплоты смачивания. Кривая дифференциальной теплоты десорбции в области завершения капиллярной конденсации имеет отчетливый максимум того же происхождения, что и в ранее исследованных случаях адсорбции на силикагелях и углях.

ЛИТЕРАТУРА

1. Н. Н. Авгуль, Г. И. Березин, А. В. Киселев, И. А. Лыгина, Изв. АН СССР, Отд. хим. н., 1304, 1956; 1024, 1957; 787, 1959.
2. Н. Н. Авгуль, А. А. Исириян, А. В. Киселев, И. А. Лыгина, Д. П. Пошкус, Изв. АН СССР, Отд. хим. н., 1314, 1957.
3. Н. Н. Авгуль, А. В. Киселев, И. А. Лыгина, Д. П. Пошкус, Изв. АН СССР, Отд. хим. н., 1196, 1959.
4. R. I. Razuok, R. S. Mikhail, J. Phys. Chem., 61, 886, 1957.
5. G. D. L. Schreiner, C. Kemball, Trans. Faraday Soc., 49, 190, 292, 1953.
6. А. В. Киселев, П. Е. Неймарк, Д. П. Пошкус, М. А. Пионтковская, Изв. АН СССР, Отд. хим. н., 234, 1958.
7. А. В. Киселев, В. И. Лыгин, Изв. АН СССР, Отд. хим. н., 412, 1958.
8. А. В. Киселев, в Сб. The Structure and Properties of Porous Materials London 1958, стр. 195.
9. А. В. Киселев, Д. П. Пошкус, Коллоидн. ж., 21, 590, 633, 1959; 22, 25, 1960.
10. А. В. Киселев, Д. П. Пошкус, Ж. физ. химии, 32, 2824, 1958.
11. A. V. Kiselev, Proc. Second Congress on Surface Activity. London, 1957, 2, p. 168, 179.
12. Д. П. Пошкус, А. В. Киселев, Ж. физ. хим., 34, 2640, 2646, 1960.
13. А. А. Исириян, А. В. Киселев, Докл. АН СССР, 110, 1009, 1956; Ж. физ. химии, 31, 2127, 1957.
14. А. А. Исириян, А. В. Киселев, Ж. физ. хим., 32, 679, 1958.
15. А. А. Исириян, А. В. Киселев, Б. А. Фролов, Ж. физ. химии, 33, 389, 1959.
16. А. В. Киселев, Коллоидн. ж., 20, 338, 1958; А. В. Киселев, Н. В. Ковалева, В. А. Силицын, Е. В. Храпова, Коллоидн. ж., 20, 444, 1958.
17. G. F. Hüttig, Monatsch. Chem., 78, 177, 1948.
18. А. В. Киселев, Ю. А. Эльтеков, Ж. физ. химии, 31, 250, 1957.
19. W. C. Walker, A. C. Zettlemoyer, J. Phys. Chem., 57, 182, 1953.
20. А. А. Исириян, А. В. Киселев, Докл. АН СССР, 115, 343, 1957.
21. Л. Д. Белякова, А. В. Киселев, Сб. Получение, структура и свойства сорбентов, стр. 180, Ленинград, 1959.
22. А. В. Киселев и Д. П. Пошкус, Докл. АН СССР, 120, 834, 1958.
23. А. А. Исириян, Сб. Методы исследования структуры высокодисперсных и пористых тел. Изд-во АН СССР, 1958, стр. 85.
24. A. V. Kiselev, Proc. Second Congress on Surface Activity, London, 1957, 2, p. 189.
25. А. А. Исириян, А. В. Киселев, Докл. АН СССР, 119, 731, 1958.
26. R. A. Weebe, V. Millard, J. Cinariski, J. Amer. Chem. Soc., 75, 839, 1953; J. Phys. Chem., 58, 468, 1954.
27. Н. Н. Авгуль, Г. И. Березин, А. В. Киселев, И. А. Лыгина, Г. Г. Муттик, Ж. физ. химии, 31, 1111, 1957.

HEATS OF ADSORPTION OF HYDROCARBONS ON MAGNESIUM OXIDE

A. A. Isirikian and A. V. Kiselev (Moscow)

Summary

The heats and isotherms of adsorption of benzene, n-hexane and n-octane vapors on uniformly wide pored magnesium oxide heated at 1000°C have been determined in a calorimeter with constant heat exchange. The problem of determining the specific surface area of adsorbents of varying nature has been discussed. The possibility of evaluating the monolayer capacity with the aid of the sharp drop in the differential heats of adsorption curve, corresponding to transition from predominately first to predominately second layer adsorption has been examined. The standard values for the heats and entropies of hydrocarbon adsorption on magnesium oxide have been determined. The heats of adsorption approached those calculated theoretically. The absolute values of the work and heat of wetting have been calculated from the experimental data. The differential heat of adsorption curve in the region of completion of capillary condensation has a distinct maximum of the same origin as that in the previously investigated cases of adsorption on porous silica gels and carbons.

ВЛИЯНИЕ РАЗЛИЧНЫХ РАСТВОРИТЕЛЕЙ НА ХАРАКТЕР СПЕКТРОВ ПОГЛОЩЕНИЯ ДИФЕНИЛАМИНА И ЕГО НЕКОТОРЫХ ПРОИЗВОДНЫХ*

П. М. Бугай

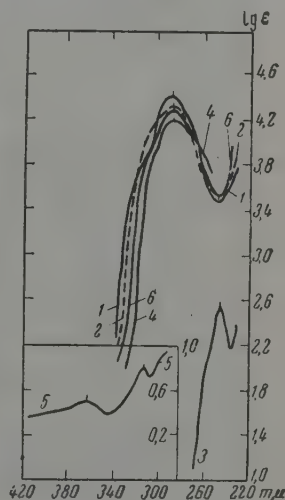
Исследование спектров поглощения дифениламина, 4-оксидифениламина и 4-метоксидифениламина проводилось в нейтральных [1—4], кислых [5, 6] и в щелочных растворителях. Полученные результаты приведены на рис. 1—6 и в табл. 1.

Из полученных спектров поглощения видно, что дифениламин и 4-метоксидифениламин способны образовывать соли аммонийного типа с концентрированными серной и фосфорной кислотами. В ледяной уксусной кислоте кислые соли образуются в незначительных количествах. 4-Оксидифениламин в серной и уксусной кислотах почти не образует солей аммонийного типа (рис. 1, 3 и 5).

Типичными полосами спектров поглощения для аммонийных солей являются полосы, которые показаны на рис. 1. На рис. 1—5 кривыми 3 спектров поглощения; эти кривые значительно смещаются в коротковолновую область и у них резко понижается интенсивность поглощения. Подобного явления у 4-оксидифениламина не наблюдается (рис. 3).

Алкоголят натрия в этаноле почти не реагирует с дифениламином и его метоксипроизводным, тогда как с 4-оксидифениламином он

рис. 1. Кривые спектров поглощения дифениламина, полученные в момент его растворения: 1 — в этаноле; 2 — в петролейном эфире; 3 — в концентрированной H_2SO_4 ; 4 — в ледяной CH_3COOH ; 5 — в концентрированной H_3PO_4 ; 6 — в $\text{C}_2\text{H}_5\text{OH} + 2\text{MC}_2\text{H}_5\text{ONa}$



химически взаимодействует и образует, как обычно, соединения типа солята и хиноидное производное, что подтверждают и спектры поглощения (рис. 1, 3, 5 и данные табл. 1).

После длительного стояния (от 20 до 60 суток) сернокислые, уксуснокислые и фосфорнокислые растворы, — при доступе к этим растворам кислорода воздуха, — дают окрашенные растворы дифениламина, 4-оксидифениламина и 4-метоксидифениламина, спектры поглощения которых являются не только в ультрафиолетовой, но и в видимой областях (рис. 2, 4 и 6 и данные табл. 1).

* Данная статья является частью доклада, изложенного на VIII Менделеевском съезде.

Таблица 1

Максимумы спектров поглощения производных дифениламина в различных растворителях

№ рисунков	Вещество	Этанол		Цетротейный эфир		Концентр. H_2SO_4		Ледяная CH_3COOH		Концентр. H_3PO_4		Этанол + 2M алкого- лит	
		Кривая I		Кривая 2		lg ϵ	λ , м μ	lg ϵ	λ , м μ	lg ϵ	λ , м μ	lg ϵ	λ , м μ
		lg ϵ	λ , м μ	lg ϵ	λ , м μ								
1	Дифениламин	4,38	286	4,35	285	2,54	254	4,21	284	0,74 0,50	311 360	4,47	283
2	Дифениламин, при длительном стоянии растворов					Кривая 3,03 2,88 2,85* 2,40*	254 318 360	Кривые 4,26 2,85* 1,67	3,4 284 331 585	Кривая 0,80* 0,70	5 360 620		
3	4-Оксидифениламин	3,79 4,20	244 282	4,08	278	4,26	285	4,10 2,90*	280 330	1,12 0,96	365 700	3,20* 4,00 3,00	243 297 500
4	4-Оксидифениламин, при длительном сто- янии растворов					Кривая 4,37 4,28 3,60	256 320 660	Кривые 3,62 2,90* 3,10 3,36	2,3 288 325 360 615	Кривая 1,88 1,94	4 385 740		
5	4-Метоксидифенил- амин	3,84 4,34	241 284	4,19	280	2,72	265	4,14	282	1,25*	365	4,49	284
6	4-Метоксидифенил- амин, при длитель- ном стоянии раство- ров					Кривая 3,50 3,40 2,49 2,31 2,29	286 318 370 600 700	Кривые 4,15 3,25* 2,67	2,3 282 322 620	Кривая 1,88 1,97	4 385 760		

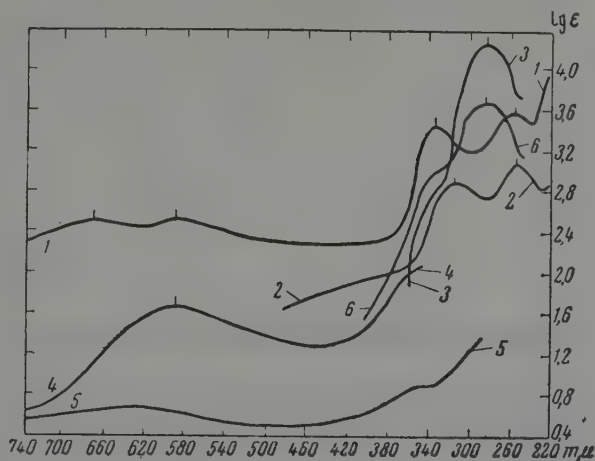


Рис. 2. Кривые спектров поглощения дифениламина, полученные при различных условиях воздействия концентрированных кислот в присутствии кислорода воздуха: 1 — сернокислый раствор нагревался 60 час. на водяной бане; 2 — сернокислый раствор снимался через 28 суток; 3 — уксуснокислый раствор снимался через 35 суток; 4 — уксуснокислый раствор снимался через 60 суток; 5 — фосфорнокислый раствор снимался через 42 суток; 6 — фосфорнокислый раствор через 42 суток разбавлен в 100 раз этанолом

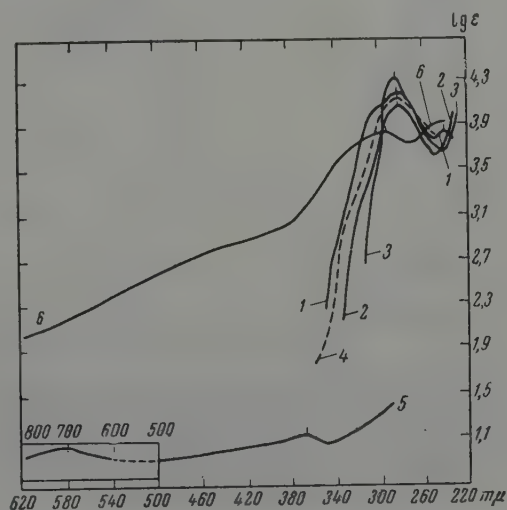


Рис. 3. Кривые спектров поглощения 4-окси-дифениламина, полученные в момент его растворения: 1 — в этаноле; 2 — в петролейном эфире; 3 — в концентрированной H_2SO_4 ; 4 — в ледяной CH_3COOH ; 5 — в концентрированной H_3PO_4 ; 6 — в $C_2H_5OH + 2M C_2H_5ONa$

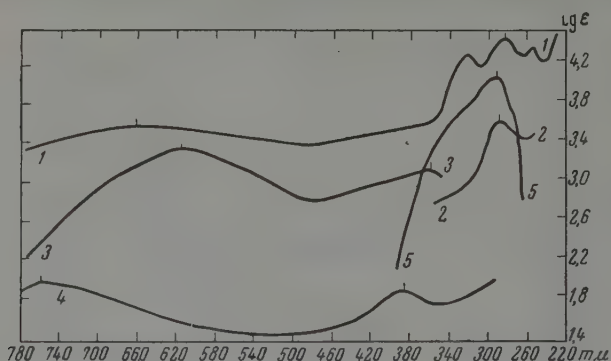


Рис. 4. Кривые спектров поглощения 4-оксидифениламина, полученные при различных условиях воздействия концентрированных кислот в присутствии кислорода воздуха: 1 — сернистый раствор снимался через 36 суток; 2 — уксуснокислый раствор снимался через 20 суток; 3 — уксуснокислый раствор снимался через 32 суток; 4 — фосфорнокислый раствор снимался через 36 суток; фосфорнокислый раствор через 36 суток разбавлен в 100 раз этанолом

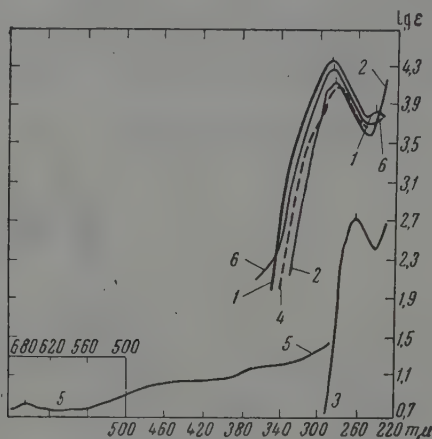
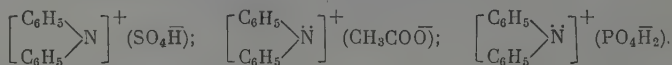


Рис. 5. Кривые спектров поглощения 4-метоксидифениламина, полученные в момент его растворения: 1 — в этаноле; 2 — в петролейном эфире; 3 — в концентрированной H_2SO_4 ; 4 — в ледяной CH_3COOH , 5 — в концентрированной H_3PO_4 ; 6 — в $\text{C}_2\text{H}_5\text{OH} + 2 \text{ M } \text{C}_2\text{H}_5\text{ONa}$

Здесь устанавливается идентичность взаимодействия и образования типовых производных дифениламина в различных кислотных растворах при длительном стоянии этих растворов, например, для дифениламина:



Это подтверждается характерными полосами в области 315—340 мμ, а затем полосами в длинноволновой области при 585—660 мμ. Конечные

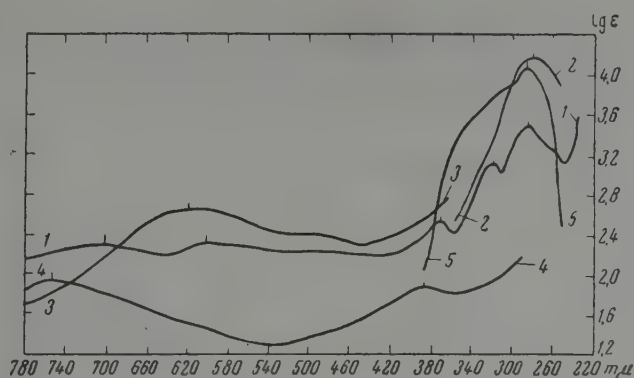


Рис. 6. Кривые спектров поглощения 4-метокси-дифениламина, полученные при различных условиях воздействия концентрированных кислот в присутствии кислорода воздуха: 1 — сернистый раствор снимался через 25 суток; 2 — уксуснокислый раствор снимался через 20 суток; 3 — азотнокислый раствор снимался через 32 суток; 4 — фосфорнокислый раствор снимался через 36 суток; 5 — фосфорнокислый раствор через 70 суток разбавлен в 100 раз этанолом

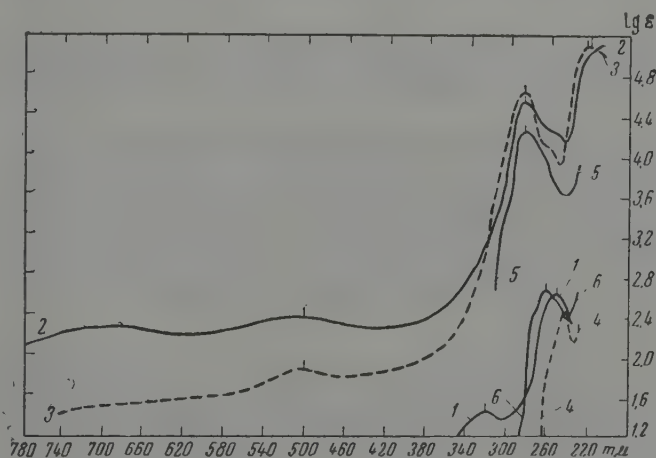
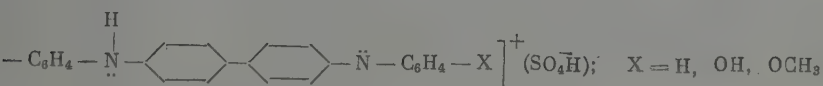


Рис. 7. Кривые спектров поглощения производных дифениламина в концентрированной H_2SO_4 , полученные в различных условиях: 1 — дифениламин снимался через 67 суток; 2 — 4-оксидифениламин снимался через 250 суток; 3 — 4-метоксидифениламин снимался через 250 суток (сняты в атмосфере азота); 4 — дифениламин; 5 — 4-оксидифениламин; 6 — 4-метоксидифениламин (снимались в момент растворения)

ное смещение полос в ту или иную область связано с влиянием растворителя и степенью окисления данных веществ.

Может также происходить конденсация промежуточных азениевых диенинов с образованием окрашенных бензидиновых солей тоже азениевого типа:



Таким образом при длительном воздействии кислот, в присутствии кислорода воздуха происходит образование продуктов более сложного типа. При этом появляется окраска у всех растворов, а это приводит к значительному изменению характера спектра поглощения у всех веществ по сравнению со спектрами нейтральных растворителей.

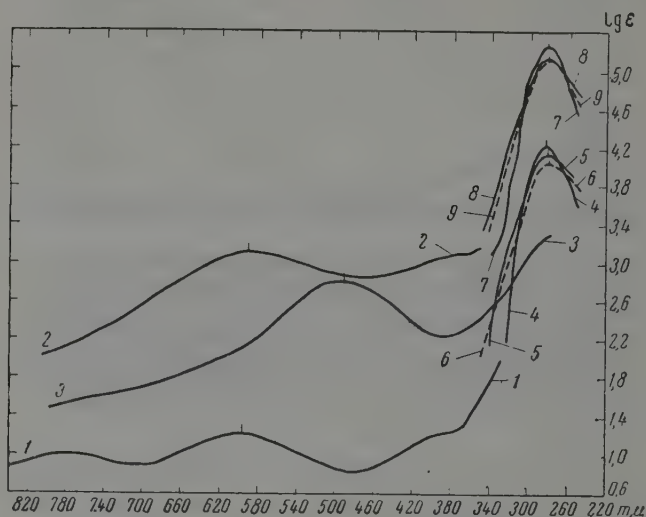


Рис. 8. Кривые спектров поглощения производных дифениламина в ледяной уксусной кислоте, полученные в различных условиях: 1 — дифениламин; 2 — 4-оксидифениламин; 3 — 4-метоксидифениламин (кривые снимались с доступом кислорода воздуха, при нагревании на водяной бане 28 час.); 4 — дифениламин; 5 — 4-оксидифениламин; 6 — 4-метоксидифениламин (кривые снимались в момент растворения); 7 — дифениламин; 8 — 4-оксидифениламин; 9 — 4-метоксидифениламин (кривые снимались в атмосфере азота, растворы находились 250 суток)

При разбавлении окрашенных растворов в уксусной и фосфорной кислотах в 20—100 раз этанолом или водой наблюдается значительный гидролиз этих солей, и спектры поглощения дают кривые, похожие на кривые спектров, полученных в этанольном растворах (кривые на рис. 2, 4, и на рис. 1, 3 и 5).

С целью установления процесса окисления и роли кислорода воздуха в окислительных реакциях мы исследовали спектры поглощения растворов некоторых производных дифениламина в концентрированной серной кислоте и ледяной уксусной кислоте, выдержанных длительный период в атмосфере азота.

На рис. 7 и 8 представлены кривые спектров поглощения, а в табл. 1 и 3 — данные о максимумах полос поглощения дифениламина и его производных в указанных выше кислотах и условиях.

Для сравнения спектров поглощения приводятся кривые, полученные как в момент растворения веществ в растворителях, так и после длительного стояния этих растворов (рис. 7 и 8, кривые от 4 до 9).

Из рис. 7 видно, что в концентрированной серной кислоте, даже в атмосфере азота, при длительном стоянии растворов (от 67 до 250 суток) происходит окисление веществ. Здесь серная кислота сама является окислителем (кривые, 1, 2 и 3).

Таблица 2

Максимумы полос поглощения *

Вещество	Через сколько суток снят спектр раствора	К рис. 7			Через сколько суток снят спектр раствора	К рис. 8			
		в концентр H_2SO_4		в атмосфере азота		в ледяной CH_3COOH		в ледяной CH_3COOH	
		в атмосфере азота				в атмосфере азота		при доступе кислорода воздуха	
		lg ϵ	λ , м μ			lg ϵ	λ , м μ	lg, ϵ	λ , м μ
фениламин	67	2,65 1,45	256 320	250	5,25	286	—	—	
фениламин	—	—	—	Нагревали 28 час.	—	—	1,25** 1,25 1,00	385 595 780	
Оксидифениламин	250	5,07* 4,53 2,40 2,33	220 285 500 680	250	5,15	282	—	—	
Оксидифениламин	—	—	—	Нагревали 28 час.	—	—	3,10**	365	
Метоксибифенил-мин	250	5,10 4,60 1,85	220 236 500	250	5,15	283	3,14 —	592 —	
Метоксибифенил-ин	—	—	—	Нагревали 28 час.	—	—	3,25 2,80	285 490	

* Данные о максимумах полос поглощения для этих веществ, полученных в момент их растворения в тех или иных растворителях, приводятся в табл. 1.

** Центры изгиба на кривых спектров поглощения.

Таблица 3

Максимумы полос поглощения (к рис. 9)

№ кривой	Вещество	Через сколько суток снят спектр раствора	В концентрированной H_2SO_4	
			lg ϵ	λ , м μ
1	Дифенилбензидин	В момент растворения	4,35 2,92 2,80 2,56 2,78	255 307 345 540 710
2	Дифенилбензидин	25	4,38 2,98* 2,78 2,95	255 320 395 630
3	Дифенилбензидин	40	4,35 3,55 3,05	255 320 640
4	Дифениламин	Нагревали 80 час. на водяной бане	3,95 3,45 2,06 2,15	248 320 612 790
5	Дифениламин окислен в HNO_3	—	4,20 3,90 3,70 3,90	260 320 445 760
6	Дифениламин	Нагревали 60 час.	3,58 3,43 2,50 2,50	256 335 590 670
7	Дифениламин	28	3,03 2,88 2,11*	254 318 356

* Центр изгиба на кривых спектров поглощения.

На рис. 8 приводятся кривые спектров поглощения 1, 2 и 3 дифениламина и его производных, полученных из растворов ледяной уксусной кислоты, после 28 час. нагревания на водяной бане в присутствии кислорода воздуха. Эти кривые спектров (1, 2 и 3) указывают на глубокие изменения, которые происходят с веществами при данных условиях. Как видно из этого рисунка, кривые спектров поглощения

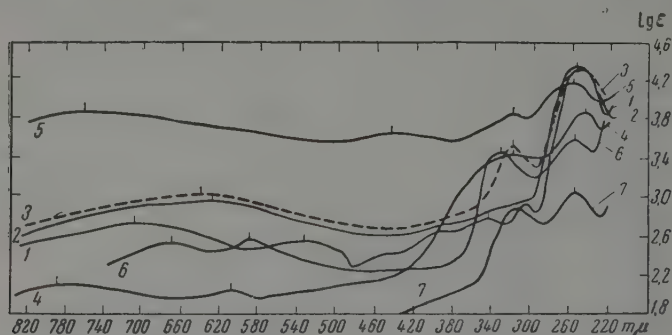


Рис. 9. Кривые спектров поглощения дифенилбензидина и дифениламина в концентрированной H_2SO_4 , полученные при различных условиях: 1 — дифенилбензидин снимался в момент растворения; 2 — дифенилбензидин снимался через 25 суток; 3 — дифенилбензидин снимался через 40 суток; 4 — сернокислый дифениламин окислялся кислородом воздуха при нагревании на водяной бане 80 час., продукт выделен эфиром и снят в H_2SO_4 ; 5 — дифениламин окислен HNO_3 , выделенное вещество снято в растворе H_2SO_4 ; 6 — сернокислый дифениламин нагревался на водяной бане 60 час. при доступе кислорода воздуха, и этот раствор снимался; 7 — сернокислый раствор дифениламина снимался через 28 суток

4, 5 и 6, а также 7, 8 и 9, т. е. в момент растворения и в атмосфере азота (после 250 суток стояния растворов), своим характером не отличаются, и растворы не окрашиваются. Только полученные кривые спектров поглощения уксуснокислых растворов, находящихся в атмосфере азота, стоят значительно выше по интенсивности поглощения, чем эти же вещества в момент растворения.

В подтверждение того, что при окислении дифениламина в кислотных растворах образуются бензидиновые производные и их соли, мы отдельно синтезировали дифенилбензидин [7] и исследовали его спектры поглощения в концентрированной серной кислоте при различных сроках стояния этих растворов (рис. 9, 1, 2 и 3).

Полученные кривые спектров поглощения мы сопоставили с кривыми спектров дифениламина, окисленного кислородом воздуха, при нагревании сернокислого раствора на водяной бане несколько десятков часов (кривые 4 и 6) и без нагревания, стоявших много суток (кривая 7), а также окисленного азотной кислотой и снятого в концентрированной серной кислоте (кривая 5).

Из сопоставления спектров поглощения видно, что они являются идентичными. В ультрафиолетовой области они имеют одинаковые полосы с максимумами поглощения при 254—256 $\text{m}\mu$ и при 318—320 $\text{m}\mu$, а в длинноволновой области кривые спектров имеют один и тот же характер, хотя они и отличаются своими полосами по длинам волн и числу полос. Это объясняется тем, что дифениламин не сразу и не полностью превращается в бензидиновые производные.

Производные бензидинового типа получали Виланд и Мюллер [7]

ерман и Мицевич [8] при воздействии сильных окислителей на дифенил-ин и его производные.

Все исследуемые вещества очищались до постоянства точки плавления, соответствующей литературным данным. 4-Оксидифениламин и 4-токсидифениламин синтезировались по нашему методу [9].

Спектрографические исследования проводились на спектрофотометре D-4.

Выводы

1. В петролейном эфире дифениламин и некоторые его производные казывают истинный спектр поглощения, тогда как в этанольном растворе наблюдаем спектр поглощения сольватированных веществ.

2. В концентрированных серной и фосфорной кислотах как в более сильных кислотах, во всех случаях образовались, в большей или меньшей мере, соли аммонийного типа, тогда как в ледяной уксусной кислоте такие соли образовывались в малой степени или вовсе не обнаруживались.

3. В алкогольной среде происходили значительные изменения спектра поглощения только в том случае, если в наличии были свободные группы.

4. При длительном стоянии всех кислотных растворов исследуемых веществ, при доступе кислорода воздуха, происходило окисление веществ образование окрашенных солей азениевого типа.

5. Установлено, что в атмосфере азота в уксуснокислых растворах окисление не наблюдается, тогда как в концентрированной серной кислоте вещества окисляются самой кислотой.

6. Спектры поглощения дифенилбензидина в концентрированной серной кислоте являются идентичными со спектрами дифениламина, окисленного разными способами, — кислородом воздуха в сернокислом растворе или азотной кислотой.

Харьковский политехнический институт
им. В. И. Ленина

Поступила
25. IV. 1959

ЛИТЕРАТУРА

- Н. А. Валяшко и Г. М. Дружинин, ЖРХО, 45, 2023, 1913.
S. Kato, J. Sameno, Scient. Papers Inst. Phys. Chem. Res. (Tokyo), 33, № 729—30, 209, 1937.
П. М. Бугай, Тр. Харьковск. политехн. ин-та, 4, 65, 1954.
П. М. Бугай, Тр. Харьковск. политехн. ин-та, 13, 15, 1957.
П. М. Бугай, Ж. общ. химии, 27, 3234, 1957.
П. М. Бугай, Материалы X Всесоюзного совещания по спектроскопии, т. I, 245, 1957.
H. Wieland, Ber., 46, 3296, 1913; H. Wieland u. K. Müller, Ber., 46, 330, 1913.
F. Kahrmann u. St. Miesewicz, Ber., 45, 2641, 1912.
П. М. Бугай, Тр. Харьковск. политехн. ин-та, 4, 99, 1954.

EFFECT OF VARIOUS SOLVENTS ON THE ABSORPTION SPECTRA OF DIPHENYLAMINE AND SOME OF ITS DERIVATIVES

P. M. Bugai (Kharkov)

Summary

True absorption spectra of the substances investigated are obtained in petroleum ether solutions, whereas in ethanol the spectrum of the solvated compounds is observed. In the stronger acids such as sulfuric and hydrochloric in all cases salts of the ammonium type were formed to a greater or less extent, whereas in acetic acid such salts formed either to a very slight degree or not at all. Considerable change in the absorption spectra took place in alcoholic medium only in the presence of free hydroxyl groups. On prolonged standing of the acid solutions of the substances investigated in the presence of air oxidation always took place with the formation of colored salts of the benzidine series. As one may expect no oxidation takes place in a nitrogen atmosphere in acetic acid solutions, but in concentrated sulfuric acid oxidation does take place due to the action of the acid itself. The absorption spectra of diphenylbenzidine obtained in concentrated sulfuric acid solutions under various conditions are identical with the spectra of diphenylamine oxidized in various ways by sulfuric acid or nitric acid solutions.

МЕТОД ПРОВЕРКИ ДАННЫХ О РАВНОВЕСИИ МЕЖДУ ЖИДКОСТЬЮ И ПАРОМ В ТРОЙНЫХ СИСТЕМАХ С НЕЛЕТУЧИМ КОМПОНЕНТОМ

В. Б. Коган

Тройные системы с нелетучим компонентом широко распространены в практике. Условия равновесия между жидкостью и паром в таких системах подчиняются общим термодинамическим закономерностям, описывающим условия равновесия трехкомпонентных двухфазных систем. Поэтому для проверки данных о равновесии между жидкостью и паром в двухфазных системах могут быть использованы известные методы [1, 2]. Особое место занимают системы, жидкая фаза которых представляет собой раствор, насыщенный нелетучими веществами. Такие системы часто встречаются в процессах выпарки и других технологических процессах.

А. В. Сторонкиным с сотрудниками [3—5] были рассмотрены закономерности, характеризующие условия термодинамического равновесия трехкомпонентных трехфазных систем, и выявлена связь между характером изменения составов сосуществующих жидкой и паровой фаз. Однако для использования полученных уравнений с целью проверки данных равновесия между жидкостью и паром необходимо знать составы всех фаз, давление и температуру, что связано с необходимостью полного экспериментального исследования рассматриваемой системы.

В настоящей статье предлагается метод проверки данных о равновесии между жидкостью и паром в системах, жидкая фаза которых является насыщенным раствором нелетучего вещества в бинарном растворителе.

Обозначим через x_1 , x_2 и x_3 — молярные доли соответственно компонентов растворителя и нелетучего вещества в жидкой фазе, а через y_1 и y_2 — молярные доли первого и второго компонентов в паре.

Для паровой и жидкой фаз можно написать уравнения Гиббса:

$$V^p dP = S^p dT + y_1 d\mu_1 + y_2 d\mu_2,$$

$$V^j dP = S^j dT + x_1 d\mu_1 + x_2 d\mu_2 + x_3 d\mu_3,$$

где V^p и V^j , S^p и S^j — молярные объемы и энтропии паровой и жидкой фаз; T — температура; P — давление и μ_1 , μ_2 , μ_3 — химические потенциалы компонентов.

В системах, жидкая фаза которых насыщена нелетучим веществом

$$d\mu_3 = 0.$$

Поэтому уравнения (1) приобретают следующий вид:

$$V^p dP = S^p dT + y_1 d\mu_1 + y_2 d\mu_2 \text{ и } V^j dP = S^j dT + x_1 d\mu_1 + x_2 d\mu_2$$

Если ввести относительные концентрации первого и второго компонентов:

$$x'_1 = \frac{x_1}{x_1 + x_2} = \frac{x_1}{1 - x_3} \text{ и } x'_2 = 1 - x'_1 = \frac{x_2}{1 - x_3},$$

то, принимая во внимание, что

$$y_1 + y_2 = 1, \quad (5)$$

из уравнений (3) следует

$$\left(V^{\text{п}} - \frac{V^{\text{ж}}}{1-x_3}\right) dP - \left(S^{\text{п}} - \frac{S^{\text{ж}}}{1-x_3}\right) dT = (y_1 - x'_1)(d\mu_1 - d\mu_2). \quad (6)$$

Если пренебречь молярным объемом жидкости по сравнению с молярным объемом пара и принять, что паровая фаза ведет себя как идеальный газ, то дифференциалы химических потенциалов могут быть выражены через парциальные давления уравнениями:

$$d\mu_1 = RT d \ln p_1 \text{ и } d\mu_2 = RT d \ln p_2. \quad (7)$$

Заменяя молярный объем пара при помощи уравнения Клапейрона, из уравнения (6) получаем при $T = \text{const}$

$$d \ln p = (y_1 - x'_1) d \ln \frac{p_1}{p_2}. \quad (8)$$

Если в уравнении (8) выразить P и y_1 через парциальные давления:

$$P = p_1 + p_2 \text{ и } y_2 = \frac{p_1}{p_1 + p_2} \quad (9)$$

то после простых преобразований получается уравнение:

$$x'_1 d \ln p_1 + (1 - x'_1) d \ln p_2 = 0, \quad (10)$$

по форме аналогичное уравнению Дюгема — Маргулеса для бинарной системы. Этому уравнению можно придать другой вид, если ввести коэффициенты активности компонентов, определяемые уравнениями:

$$\gamma_1 = \frac{y_1 P}{P_1^0 x'_1} \text{ и } \gamma_2 = \frac{y_2 P}{P_2^0 x'_2}, \quad (11)$$

где P_1^0 и P_2^0 — давления паров чистых первого и второго компонентов при температуре смеси.

Сочетая уравнения (9), (10) и (11), получаем

$$x'_1 d \lg \gamma_1 + (1 - x'_1) d \lg \gamma_2 = 0. \quad (12)$$

В этой форме уравнение Дюгема — Маргулеса может применяться для проверки данных о равновесии при постоянных температуре или давлении, подобно аналогичному по форме уравнению, используемому для проверки данных о равновесии между жидкостью и паром в бинарных системах [6]. При применении уравнения (12) к изобарным данным игнорируется только изменение коэффициентов активности с температурой, так как давление из этого уравнения исключено.

Для иллюстрации применимости уравнения (12) для проверки данных о равновесии между жидкостью и паром в тройных системах, жидкая фаза которых является насыщенным раствором нелетучего вещества, по литературным данным о равновесии при атмосферном давлении, были рассчитаны и сопоставлены коэффициенты активности летучих компонентов в системах этиловый спирт — вода — нитрат калия [7], этиловый спирт — вода — хлористый натрий [8] и этиловый спирт — вода — хлористая ртуть [8]. Проверка заключалась в расчете коэффициента активности воды γ_2 при помощи уравнения:

$$\lg \gamma_2 = - \int_0^x \frac{x'_1}{1 - x'_1} d \lg \gamma_1 + C, \quad (13)$$

где C — постоянная интегрирования и x — произвольное значение x'_1 , и в сравнении рассчитанных значений с опытными.

По физическому смыслу уравнения (13) константа интегрирования C равна логарифму коэффициента активности воды в насыщенном растворе нелетучего компонента в воде. Для наглядности сопоставления условно принималось $C = 0$. При этом расчетные и опытные величины должны

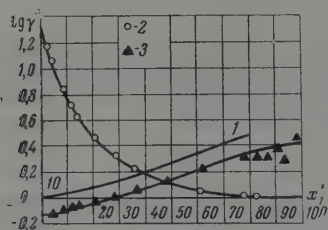


Рис. 1

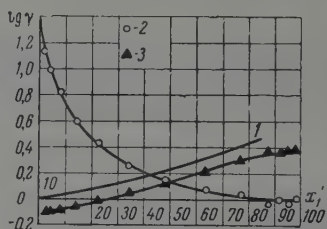
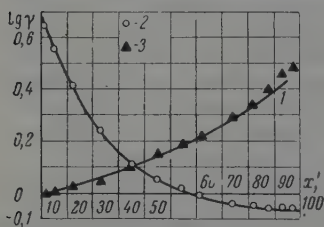


Рис. 2

Рис. 1. Проверка данных о равновесии между жидкостью и паром в системе этиловый спирт — вода — нитрат калия: 1 — расчетная кривая; 2 — этанол; 3 — вода

Рис. 2. Проверка данных о равновесии между жидкостью и паром в системе этиловый спирт — вода — хлористый натрий: 1 — расчетная кривая; 2 — этанол; 3 — вода

ложиться на две кривые, идущие эквидистантно. Результаты произведенных расчетов приводятся на рис. 1, 2 и 3. Интегрирование производилось не во всем диапазоне концентраций, так как по мере приближения x'_1 к единице погрешности графического интегрирования резко возрастают.



Легко видеть, что проверка в этой области концентраций может быть произведена путем расчета γ_1 по значениям γ_2 при помощи уравнения, аналогичного уравнению (13).

Рис. 3. Проверка данных о равновесии между жидкостью и паром в системе этиловый спирт — вода — хлористая ртуть: 1 — расчетная кривая; 2 — этанол; 3 — вода

Из рис. 1, 2 и 3 видно, что изображенные на них кривые во всех случаях хорошо согласуются с закономерностью, диктуемой уравнением (12).

Таким образом, приведенное сопоставление подтверждает применимость уравнения (12) для проверки данных о равновесии между жидкостью и паром в трехкомпонентных системах, жидкая фаза которых является насыщенным раствором нелетучего вещества.

Выводы

1. Выведено уравнение, аналогичное по форме уравнению Дюгема — Маргулеса для бинарных систем, связывающее коэффициенты активности и относительные концентрации компонентов бинарного растворителя трехкомпонентных систем, жидкая фаза которых является насыщенным раствором нелетучего вещества.

2. На примере систем, образованных этиловым спиртом, водой и соответственно нитратом калия, хлористым натрием и хлористой ртутью показана применимость выведенного уравнения для проверки данных о равновесии между жидкостью и паром в системах указанного типа.

ЛИТЕРАТУРА

- W. V. G. Krishnamurty, O. Venkata Rao, J. Scient. and Industr. Res., В С 14; В, 188, 1955.
В. Б. Коган, Ж. физ. химии, 32, 1095, 1958.
А. В. Сторонкин, Вестн. ЛГУ, № 8, 169, 1954.
А. В. Сторонкин, М. М. Шultz, Вестн. ЛГУ, № 11, 153, 1954.
А. В. Сторонкин, Л. Э. Симанавичус, Вестн. ЛГУ, № 22, 103, 1957.
Справочник по равновесию между жидкостью и паром, ГХИ, 1957.
R. M. Rieder, A. R. Thompson, Industr. and Engng Chem., 42, 379, 1950.
A. J. Johnson, W. F. Furter, Canad. J. Technol., 34, 413, 1957.
-

METHOD OF TESTING LIQUID — VAPOR EQUILIBRIUM DATA
IN TERNARY SYSTEMS WITH A NON-VOLATILE COMPONENT

V. B. Kogan (Leningrad)

Summary

For three component systems the liquid phase of which is a saturated solution of a non-volatile substance the following equation analogous to the Duheim — Margulis equation for binary systems has been obtained, correlating the activity coefficients of the volatile components (γ_1 and γ_2) with their relative content in the solution (x_1 and $x_2 = 1 - x_1$) $x_1' d \lg \gamma_1 + (1 - x_1') d \lg \gamma_2 = 0$. The equation may be employed in testing vapor — liquid equilibrium data in ternary systems of the above type, which has been confirmed on the examples of the systems ethanol — water — potassium nitrate, ethanol — water — sodium chloride and ethanol — water — mercury chloride, on which equilibrium data were obtained from the literature.

МЕТОДЫ И ТЕХНИКА ФИЗИКО-ХИМИЧЕСКОГО ИССЛЕДОВАНИЯ

УНИВЕРСАЛЬНЫЙ ПРИБОР ДЛЯ ВЫСОКОЧАСТОТНОГО ФИЗИКО-ХИМИЧЕСКОГО АНАЛИЗА И ТИТРОВАНИЯ РАСТВОРОВ

В. И. Ермаков

За последние годы в практике химических лабораторий получил распространение метод высокочастотного (В.Ч.) анализа растворов с бесконтактным измерением их электропроводности и диэлектрической проницаемости. Описываемые в связи с этим в литературе [1—3] приборы могут выполнять подобные задачи только одним из трех имеющихся способов: методом Z , Q , F -метра [4]. Некоторые из них, обладая в какой-то мере совмещенными функциями, являются довольно сложными по устройству и, будучи укомплектованы фабричными блоками, оказываются громоздкими установ-

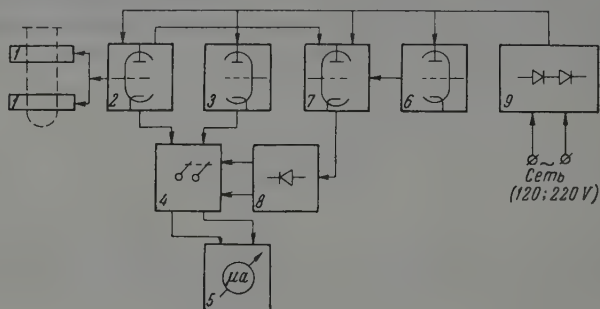


Рис. 1. Блок-схема прибора для высокочастотного анализа растворов. 1 — измерительная ячейка; 2 — высокочастотный генератор; 3 — вторая половина лампы L_1 (рис. 2), являющаяся элементом измерительного моста; 4 — переключатель рода работы: $Q(z)$ или F ; 5 — индикаторный прибор; 6 — эталонный генератор; 7 — смеситель частоты; 8 — дискриминатор F -метра; 9 — источник питания

ками [5]. Ниже предлагается прибор для высокочастотных исследований, дающий возможность производить измерения всеми тремя названными способами и простой по конструкции. Блок-схема прибора приведена на рис. 1, а на рис. 2 — его принципиальная электрическая схема. Прибор имеет следующие узлы: а) измерительный генератор; б) генератор сравнения; в) блок питания; г) индикаторный прибор.

а) Блок измерительного генератора выполнен на двойном триоде (лампа L_1), левая половина которого образует вместе с колебательным контуром LC_n собственно высокочастотный генератор по схеме Эзау. Правая половина L_1 является частью балансной схемы — моста, образованного сопротивлениями $R_1 R_2 R_3$ и внутренним сопротивлением R_i левого триода, а также R_i правого триода. Этот мост служит для определения затухания колебаний в контуре, т. е. величины Q . Таким образом лампа L_1 выполняет две функции: является генераторной лампой и в то же время оказывается элементом мостовой схемы. Такая комбинация упрощает схему Q -метра и делает ее более стабильной.

Объект, подлежащий исследованию, помещается в ячейку C_n емкостного типа, включенную параллельно катушке колебательного контура. Поскольку в этом случае отсутствует индуктивная связь с колебательным контуром генератора, — кроме ра-

ты по методу $Q(z)$ -метра имеется возможность производить измерения малых изменений диэлектрической постоянной растворов, так как они будут вызывать расстройку измерительного генератора, что можно фиксировать при помощи эталонного генератора.

б) Блок генератора сравнения выполнен также на двойном триоде (лампа L_2) того же типа, что и L_1 . Это позволяет использовать однотипные лампы для эталонного измерительного генераторов, что является известным преимуществом описываемого прибора.

Правая половина L_2 образует генератор сравнения, а левая ее половина представляет собой смеситель частоты измерительного и опорного генераторов и служит одновременно в качестве усилителя низкой частоты (частоты биений).

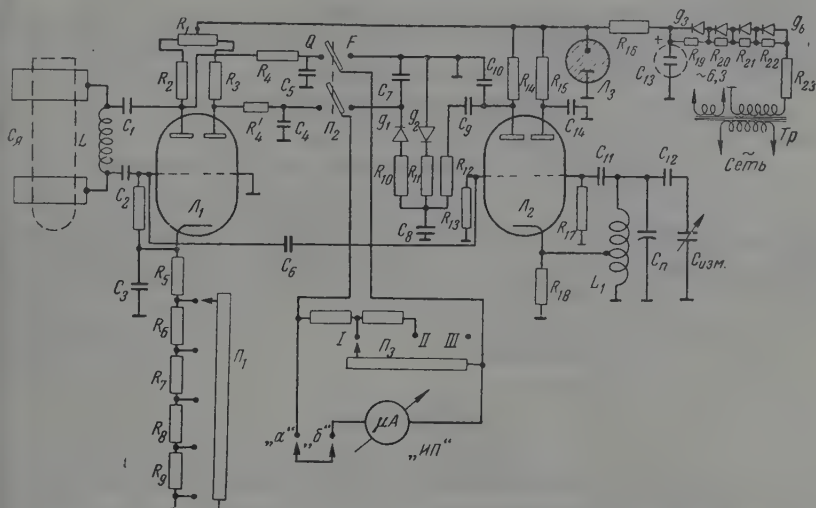


Рис. 2. Принципиальная электрическая схема прибора для высокочастотного анализа растворов

R_1 —5 TΩ; R_2 —6,8 TΩ; R_3 —10 TΩ; R_4 —20 TΩ; R_4' —15 TΩ; R_5 —100 Ω; R_6 —100Ω; R_7 —220 Ω; R_8 —220 Ω; R_9 —470 Ω; R_{10} —2 TΩ; R_{11} —2 TΩ; R_{12} —10 TΩ; R_{13} —1 MΩ; R_{11} —0,1 MΩ; R_{15} —20 TΩ; R_{16} —5 TΩ; R_{17} —50 TΩ; R_{18} —10 MΩ; R_{19} —0,1 MΩ; R_{20} —0,1 MΩ; R_{21} —0,1 MΩ; R_{22} —0,1 MΩ; R_{23} 100 Ω; C_1 —82 pF; C_2 —82 pF; C_3 —10T pF; C_4 —10T pF; C_5 —10T pF; C_6 —0,5 pF; C_7 —0,5 μF; C_8 —100 pF; C_9 —10T pF; C_{10} —100 pF; C_{11} —100 pF; C_{12} —30 pF; C_{13} —20μF; C_{14} —10T pF; L_1 —6H15П; L_2 —6H15П; «ИП»—50 μA.

В зависимости от того, в каком положении находится переключатель Π_2 , прибор работает либо как $Q(z)$ метр, либо как F -метр (соответственно Π_2 — в левом или правом положении).

в) Блок питания прибора представляет собой простейший выпрямитель по однополупериодной схеме с германиевыми диодами в качестве вентиля и ячейкой фильтра и стабилизации выпрямленного напряжения. Последняя собрана по реостатной образной схеме. На ее выходе вместо второго конденсатора фильтра поставлен газоразрядный стабилизатор напряжения, который в данном случае не только заменяет собой упомянутый конденсатор, но и сглаживает медленные изменения питающего напряжения.

г) Индикаторный прибор «ИП» имеет шкалу, которая содержит две градуировки, на из них имеет градуировку в единицах Q или обратных омах (для $Q(z)$ метра), которая, поскольку детектируемая цепь $C_8C_9C_{10}R_{11}R_{12}$ оказывается частотно-зависимой, в единицах частоты: g_4 , kz_4 (для F -метра). Для удобства работы и повышения точности и чувствительности прибора в нем предусматривается возможность пользования основным индикатором с большей чувствительностью по току, включаемым через клеммы «а» и «б» последовательно с «ИП».

Методика работы с прибором

а) Измерение $Q(z)$. При определениях, связанных с преимущественным изменением активной (или, вообще, комплексной) проводимости объекта, целесообразно работать методом $Q(z)$ -метра. При этом:

1. Переключатель P_2 должен находиться в левом положении.
2. Сосуд с исследуемым объектом помещается в измерительную ячейку.
3. Переключатель чувствительности P_1 устанавливается в положение, при котором стрелка индикаторного прибора «ИП» оказывается в пределах шкалы. При этом в начале измерений, переключатель P_3 , шунтирующий «ИП», должен быть в положении I , чтобы случайные броски тока не повредили измерительного прибора. При помощи сопротивления R_1 стрелка прибора «ИП» плавно устанавливается на любом удобном для работы месте шкалы, — условном нуле.
4. Проводят титрование и одновременно записывают показания индикатора «ИП». Переключатель P_3 должен находиться в положении, при котором отклонения стрелки прибора имеют удобную для отсчета величину.

б) Измерение F

Если в ходе анализа растворов их проводимость меняется незначительно или же латентно знать происходящие при этом изменения диэлектрической постоянной объекта то работают по методу F -метра.

Для этого:

1. Переключатель P_2 устанавливается в правое положение.
2. Переключатель P_3 находится в положении I . В дальнейшем, если отклонения стрелки «ИП» малы, P_3 устанавливают в положение II или III .
3. При помощи подстроечного конденсатора C_n стрелка индикаторного прибора «ИП» устанавливается на любом, удобном для последующих измерений месте.
4. Титрование проводят одним из двух возможных способов: а) по отклонениям стрелки прибора «ИП» при неизменном положении измерительного конденсатора $C_{изм}$. Этот способ целесообразен при малых сдвигах частоты генератора. б) по показаниям $C_{изм}$. В этом случае стрелка индикаторного прибора «ИП» всякий раз устанавливается в положение условного нуля.

Химико-технологический
институт им. Д. М. Менделеева
Москва

Поступила
30. XII. 1959

ЛИТЕРАТУРА

1. В. А. Заринский и Д. И. Копкин, Ж. аналит. химии, 9, 1, 29, 1954.
А. Г. Шафигуллин, Применение физических методов в химической кинетике Таткнигоиздат, 1955.
2. K. Anderson, E. Bettis, D. Revinson. Analyt. Chem., 22, 742, 1950.
J. L. Hall, Analyt. Chem., 24, 1236 (1952); 24, 1245, 1952.
3. В. И. Ермаков, В. Н. Маслов, О. Г. Столяров. Коллоидн. ж., 19, 2, 1957; В. И. Ермаков. Заводск. лаборатория, № 2, 1960.
4. О. Л. Капцан и В. А. Тепляков, Ж. аналит. химии, 8, 132, 1953.
5. В. И. Ермаков, П. А. Загорец, Вестн. техн. эконом. информ. (в печати)

UNIVERSAL APPARATUS FOR HIGH FREQUENCY PHYSICOCHEMICAL ANALYSIS AND TITRATION OF SOLUTIONS

V. I. Ermakov (Moscow)

Summary

A universal apparatus has been developed for the purpose of physicochemical analysis (and high frequency titration) of solutions, based on measurement of their high frequency electroconductivity and small changes in the dielectric constant.

ДИСКУССИЯ

ОБ ЭКВИВАЛЕНТНОЙ ЭЛЕКТРИЧЕСКОЙ СХЕМЕ
ОЗОНАТОРОВ (ОТВЕТ НА СТАТЬЮ В. В. ЯСТРЕБОВА
«К ВОПРОСУ ОБ ЭКВИВАЛЕНТНОЙ ЭЛЕКТРИЧЕСКОЙ
СХЕМЕ ОЗОНАТОРОВ»)

Ю. М. Емельянов и Ю. В. Филиппов

В статье [1] В. В. Ястребова приводится ряд возражений по поводу основного положения электрической теории озонаторов [2—6] — эквивалентной электрической схемы озонатора. Вместо нее автор предлагает «новую» эквивалентную схему озонатора, которая представляет собой электрическую систему трех последовательно включенных конденсаторов, средний из которых шунтируется двумя тиратронами и сопротивлением. Эта «эквивалентная схема озонатора» — по мнению автора — «дает возможность практического моделирования работы озонатора как электрического прибора».

Следует отметить, что вся статья В. В. Ястребова основана на элементарном непонимании автором принципиального различия между эквивалентной схемой какого-либо аппарата и его моделью. Кроме того, автор неясно представляет себе основные электрические процессы, протекающие в озонаторе.

Основные возражения В. В. Ястребова против предложенной нами эквивалентной схемы сводятся к тому, что она «не передает физической стороны явления», «не может быть воспроизведена экспериментально и является чисто умозрительной». Подобные возражения можно было бы привести против любой эквивалентной схемы, так как из самого определения эквивалентной схемы следует, что она вовсе не обязана передавать физическую сторону явления, не обязательно должна воспроизводиться экспериментально и по своей сущности является «умозрительной», пригодной лишь для проведения и упрощения расчетов режима работы действительных электрических цепей. Определение понятия эквивалентной схемы гласит: «Эквивалентная схема — комбинация простых элементов электрической цепи, замещающая при расчетах часть действительной электрической цепи. Эквивалентная схема замещает в расчетных схемах цепей то или иное устройство, только как источник или потребитель электрической энергии, но не является его моделью» [7].

Предложенная нами эквивалентная схема отвечает всем этим требованиям. Она дает возможность теоретически рассчитать основные электрические характеристики озонаторов, а именно: внешние статические и динамические вольтамперные характеристики [2—4], активную мощность [5] и коэффициент мощности [6]. Рассчитанные электрические характеристики количественно согласуются с экспериментальными данными и позволяют производить точный и полный расчет как лабораторных, так и промышленных озонаторов. Поэтому, по меньшей мере, странно звучит утверждение В. В. Ястребова о том, что предложенная нами эквивалентная схема не дает ничего нового для расчетов.

Не выдерживает критики и возражение В. В. Ястребова против введения нами в эквивалентную схему источника напряжения с э.д.с., равной $\pm V_r$. Автор утверждает, что этот источник напряжения введен в эквивалентную схему лишь формально, и что он не передает физической стороны явления, так как в озонаторе нет никаких собственных источников э.д.с. Здесь следует отметить два момента. Во-первых, если бы даже напряжение горения $\pm V_r$, отображая постоянство напряжения на разрядном промежутке, было введено в эквивалентную схему озонатора лишь формально, то и тогда это было бы вполне допустимо и оправдано. В эквивалентной схеме мы имеем право заменить источником постоянной э.д.с. нелинейное активное сопротивление (разрядный промежуток озонатора), на котором во время горения разряда поддерживается постоянное напряжение. Во-вторых, В. В. Ястребов не понял, что представляет собой напряжение горения V_r в реальном озонаторе и какова его физическая сущность. Напряжение горения разряда V_r — максимальное напряжение, до которого может быть заряжен разрядный промежуток озонатора (средний конденсатор C_n в эквивалентной схеме (рис. 1, а) без его пробоя. Если попытаться зарядить его до напряжения, более

высокого чем V_T , то разрядный промежуток (конденсатор C_n) пробивается, и напряжение на нем уменьшается до V_T . Таким образом разрядный промежуток озонатора во время горения разряда представляет собой реальный конденсатор емкостью C_n , постоянно заряженный до напряжения V_T . Очевидно, В. В. Ястребов просто не разобрался в сути работы озонатора, если считает, что конденсатор, постоянно заряженный до напряжения V_T , нельзя представить в электрической эквивалентной схеме в виде постоянной э. д. с., равной V_T .

Голословно и неправильно также утверждение Ястребова о том, что наша эквивалентная схема озонатора (рис. 1) «не дает возможности объяснить другие типы кривых тока, наблюдавшиеся при изучении реальных озонаторов». Согласно электрической теории озонаторов, развитой на основе нашей эквивалентной схемы, форма кривой тока,

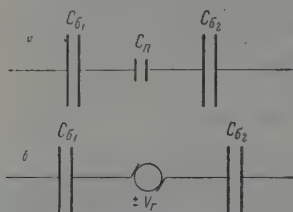


Рис. 1. Эквивалентная схема озонатора: а — без разряда; в — с разрядом

протекающего через озонатор, определяется напряжением на зажимах озонатора V_0 , напряжением горения разряда V_T , емкостью разрядного промежутка C_n и диэлектрических барьеров озонатора C_{δ} . В зависимости от соотношения этих величин могут быть получены все наблюдавшиеся на опыте формы кривых тока, в том числе и приводимые В. В. Ястребовым.

Остановимся теперь на второй, «позитивной» части статьи В. В. Ястребова. В ней автор пытается предложить новую, по его мнению, более удачную эквивалентную схему озонатора. Однако он и здесь совершает ту же ошибку, что и при критике предложенной нами эквивалентной схемы — путает эквивалентную схему с моделью озонатора. Предложенная им электрическая система является лишь одной из возможных моделей озонаторов*. Она не может служить в качестве эквивалентной схемы, так как

содержит кроме простых элементов (емкости, сопротивления, индуктивности и источники напряжения) также тиратроны. Таким образом В. В. Ястребов заменяет один нелинейный элемент (разрядный промежуток озонатора) другим (разрядным промежутком тиратрона). Подобная замена не дает ничего нового ни для расчета, ни для понимания электрических процессов, протекающих в озонаторе, и не может быть признана удачной.

Разряд в озонаторе, происходящий между диэлектрическими поверхностями при атмосферном давлении, обладает рядом специфических особенностей, в частности, в нем большую роль играют поверхностные явления. Совершенно другие характеристики и особенности имеет разряд в тиратроне, являющийся одной из форм тлеющего разряда между металлическими электродами.

Исследование процессов на модели какого-либо прибора предполагает изучение точной копии тех процессов, которые протекают в моделируемом аппарате. А какие процессы, протекающие в реальном озонаторе, воспроизводит «модель» В. В. Ястребова? В этой «модели» разряд в разрядном промежутке озонатора заменяется активным сопротивлением, включенным последовательно с тлеющим разрядом (тиратроном). Совершенно естественно, что осциллограммы кривых напряжения на C_n (рис. 1 в работе [1]), полученные в этих условиях, должны отличаться от кривых напряжения на разрядном промежутке озонатора. И совершенно непонятно, на каком основании В. В. Ястребов считает, что полученные им в тлеющем разряде осциллограммы опровергают наши представления о форме кривой напряжения на разрядном промежутке озонатора. Тлеющий разряд в тиратроне не стал разрядом в озонаторе от того, что последовательно с ним были включены конденсаторы.

В. В. Ястребов пытается установить качественную зависимость формы кривой тока озонатора от напряжения смещения на сетках тиратронов и величины сопротивления, включенного последовательно с ними. Однако, совершенно ясно, что эти параметры «модели» В. В. Ястребова не находят себе никакой, хотя бы самой отдаленной аналогии среди параметров, определяющих форму кривой тока озонатора. Не случайно поэтому

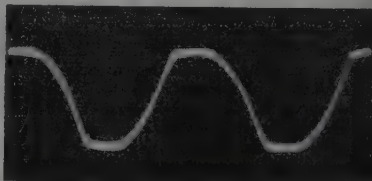


Рис. 2. Фотография осциллограммы кривой напряжения на разрядном промежутке озонатора во время работы озонатора

*.Можно было бы предложить множество подобных моделей с другими формами разряда (газотроны, стабилизаторы напряжения с коронным или тлеющим разрядом, искровые или дуговые разрядные промежутки и т. п.), в том числе и более удачных для «моделирования» работы озонатора, но смысл их по-прежнему будет заключаться лишь в подмене одной формы разряда другой.

статье В. В. Ястребова отсутствуют даже намеки на количественную обработку полученных им осциллограмм.

В. В. Ястребов считает преимуществом своей «эквивалентной схемы» (модели) возможность непосредственной осциллографической регистрации напряжения на $C_{гп}$, соответствующего, по его мнению, напряжению на разрядном промежутке озонатора. Выше было показано, что эти величины не имеют между собой ничего общего. Кроме того, само утверждение В. В. Ястребова о том, что в реальных озонаторах напряжение горения $V_{г}$ не может регистрироваться непосредственно, — неправильно. При выборе соответствующей методики такие измерения вполне возможны. На рис. 2 приведена осциллограмма кривой напряжения на разрядном промежутке, полученная нами экспериментально. Как видно из осциллограммы, кривая напряжения имеет вид, соответствующий выводам электрической теории озонаторов. Плоские вершины этой кривой подтверждают постоянство напряжения на разрядном промежутке во время горения разряда.

Из изложенного выше следует, что:

- 1) возражения В. В. Ястребова против предложенной нами эквивалентной схемы озонатора совершенно неправильны и основаны на непонимании им принципиального различия между эквивалентной схемой и моделью;
- 2) предложенная В. В. Ястребовым электрическая система не является эквивалентной схемой озонатора, а представляет собой лишь неудачную модель озонатора.

Московский государственный
университет им. М. В. Ломоносова

Поступила
7. X. 1959

ЛИТЕРАТУРА

- В. В. Ястребов, Ж. физ. химии, 34, 2393, 1960.
Ю. В. Филиппов, Ю. М. Емельянов, Ж. физ. химии, 31, 896, 1957.
Ю. М. Емельянов, Ю. В. Филиппов, Ж. физ. химии, 31, 1628, 1957.
Ю. В. Филиппов, Ю. М. Емельянов, Ж. физ. химии, 32, 2817, 1958.
Ю. М. Емельянов, Ю. В. Филиппов, Ж. физ. химии, 33, 1042, 1959.
Ю. В. Филиппов, Ю. М. Емельянов, Ж. физ. химии, 33, 1780, 1959.
Б. С. Э., т. 48, 353, 2-е изд.

ПИСЬМА В РЕДАКЦИЮ

РАЗДЕЛЕНИЕ НЕКОТОРЫХ УГЛЕВОДОРОДНЫХ ГАЗОВЫХ СМЕСЕЙ МЕТОДОМ ДИФФУЗИИ ЧЕРЕЗ НЕПОРИСТЫЕ ОРГАНИЧЕСКИЕ МЕМБРАНЫ

С. Ш. Бык и Р. П. Кирсанова

В работе Веллера и Стейнера [1] было показано, что мембраны из полистирола обладают повышенной проницаемостью по отношению к водороду и гелию, которая, по их данным, в 15—20 раз превышает проницаемость полистирола по отношению к CH_4 , C_2H_4 и другим углеводородным газам. Целью выполненной нами работы было выяснить возможность диффузионного выделения водорода из его смесей с углеводородами C_1 — C_4 при помощи полимерных мембран. Первый этап исследования состоял в определении проницаемости мембран из полиизопренового каучука (СКИ), силоксанового каучука (СКТ) и полистирола по отношению к H_2 , CH_4 и C_2H_4 . Второй этап исследования состоял в проведении опытов по разделению при помощи мембраны, показавшей оптимальную водородопроницаемость. Измерения газовой проницаемости мембран и опыты по разделению проводились на лабораторной диффузионной установке объемным методом. Конструкция установки позволяла осуществлять процесс диффузии при перепадах давлений до 15 атм и сохранять постоянство состава диффундирующей смеси на стороне высокого давления. Анализы газовых потоков проводились масс-спектрометрическим и хроматографическим методами.

Таблица 1

Материал мембран	Газ	Константа проницаемости $P \cdot 10^7$, в см ³ ·см/см ² ·атм·сек
Полиизопреновый каучук (СКИ)	H_2	3,48
	CH_4	1,51
	C_2H_4	8,76
Силоксановый каучук (СКТ)	H_2	8,86
	CH_4	13,55
	C_2H_4	39,30
	C_3H_8	86,10
Полистирол	CO_2	47,60
	H_2	1,57
	CH_4	0,042

падах давлений до 15 атм и сохранять постоянство состава диффундирующей смеси на стороне высокого давления. Анализы газовых потоков проводились масс-спектрометрическим и хроматографическим методами.

В табл. 1 приведены полученные нами значения газопроницаемости при 20°.

Опыты по разделению* проводились при помощи мембран из полистирола толщиной 0,1 мм при перепаде давления $\Delta P = 15$ атм и 20°. Разделению подвергались три смеси: две искусственные смеси $\text{CH}_4 + \text{H}_2$, содержащие 22 и 20,4 объем. % H_2 , и одна производственная метановодородная фракция, содержащая 27,3 % H_2 ; 61,3 % CH_4 ; 0,3 % C_2H_4 ; 3,7 % C_3H_8 ; 2,6 % C_2H_6 и 4,3 % C_4H_{10} . В табл. 2 приведены результаты опытов по разделению.

Проведенным исследованием показано, что в результате одноступенчатого диффузионного процесса через мембраны из полистирола содержание водорода возрастает от 20 до 85—88 объем. %.

Таблица 2

Состав исходной смеси H_2 , %	Содержание H_2 в продукте, %
22	88
20,4	86
Производственная фракция (27,3)	90

ЛИТЕРАТУРА

1. S. Weller, W. Steiner, Chem. Engng Progr., 46, 585, 1950.

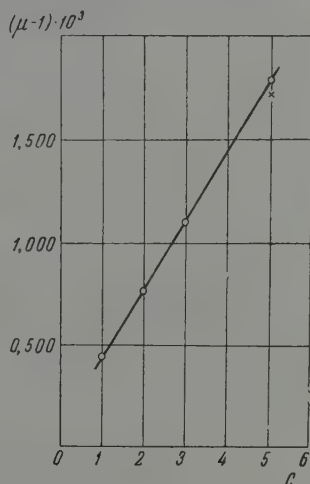
* Разделение проводилось в потоке, при неизменяемом составе газовой смеси, находящейся под давлением 15 атм и вступающей в контакт с мембраной. Приведенные в табл. 2 данные представляют собой средние значения трех серий опытов.

ИСПРАВЛЕНИЕ ПОКАЗАТЕЛЯ ПРЕЛОМЛЕНИЯ НОРМАЛЬНОГО ПЕНТАНА

Е. Ф. Ящиков

При измерении показателя преломления паров *n*-пентана* в широком интервале длин волн при помощи интерферометра типа Жамена я получил величину показателя преломления, равную $\mu_D = 1,001772$, что существенно отличается от значения, указанного в таблицах Ландольта-Бернштейна [1] $\mu_D = 1,001711$.

Сравнивая полученный результат с данными Фриберга [2] для метана, этана, пропана в газовой фазе, видно, что полученное значение показателя преломления для паров



афик, показывающий зависимость показателя преломления предельных углеводородов в газовой фазе от числа углеродных атомов в молекуле натрия желтой линии Na: кружки ($C = 1, 2, 3$) — данные [2]; кружки ($C=5$) — данные этой работы; косой крест — данные [1]

пентана лежит на прямой, экстраполированной по точкам, отвечающим данным Фриберга (рисунок), для метана, этана и пропана.

На основании этого можно утверждать, что полученное число, даваемое для показателя преломления паров *n*-пентана в таблицах Ландольта-Бернштейна, надо изменить числом

$\mu_D = 1,001772$ для $t = 0^\circ \text{C}$ и давления $p = 760 \text{ мм рт. ст.}$

Академия наук СССР

Институт элементоорганических соединений

Поступила

5. III. 1959

ЛИТЕРАТУРА

Landolt - B e r n s t e i n, Phys.-Chem. Tabellen, ч. II, стр. 976, табл. № 182с. Berlin, 1923.

Sten Friberg, Messungen der Refraction und Dispersion in gasförmigen Kohlenwasserstoffen, Lund, 1933.

* *n*-пентан получен из лаборатории акад. Б. А. Казанского.

О КРИВИЗНЕ ФАЗОВЫХ ЛИНИЙ В ТРОЙНОЙ ТОЧКЕ

М. П. Мохнаткин

Как известно, равновесие трех фаз чистого вещества характеризуется тройной точкой (например, равновесие лед — вода — пар, рисунок). Запишем дифференциальные уравнения фазовых переходов вдоль кривых равновесия (основной закон [1]):

$$(\Delta\Phi)' = 0; \quad (\Delta\Phi)'' = 0; \quad (\Delta\Phi)''' = 0; \quad (\Delta\Phi)^n = 0,$$

где $(\Delta\Phi)'$; $(\Delta\Phi)''$ и т. д. — полные производные.

Рассмотрим первое дифференциальное уравнение применительно к трем линиям равновесия в тройной точке:

$$\Delta\Phi_T^{12} + \Delta\Phi_P^{12} \left(\frac{dP}{dT} \right)_{12} = 0,$$

$$\Delta\Phi_T^{23} + \Delta\Phi_P^{23} \left(\frac{dP}{dT} \right)_{23} = 0,$$

$$\Delta\Phi_T^{31} + \Delta\Phi_P^{31} \left(\frac{dP}{dT} \right)_{31} = 0,$$

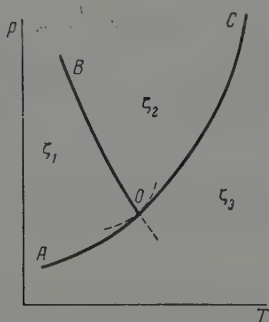
где $(\Delta\Phi)^{12} = (\Phi_1 - \Phi_2)$ — разность удельных термодинамических потенциалов веществ в различных фазах, $\Delta\Phi_T$, $\Delta\Phi_P$ и т. п. — частные производные.

Скачок энтропии $(\Delta\Phi_T)$ можно исключить, путем сложения уравнений (2):

$$(V_1 - V_2) \left(\frac{dP}{dT} \right)_{12} + (V_2 - V_3) \left(\frac{dP}{dT} \right)_{23} + (V_3 - V_1) \left(\frac{dP}{dT} \right)_{31} = 0,$$

где $\Delta V = \Delta\Phi_P$ или после замены $(V_1 - V_2) = (V_1 - V_3) + (V_3 - V_2)$ имеем

$$(V_3 - V_1) \left[\left(\frac{dP}{dT} \right)_{31} - \left(\frac{dP}{dT} \right)_{21} \right] + (V_3 - V_2) \left[\left(\frac{dP}{dT} \right)_{21} - \left(\frac{dP}{dT} \right)_{23} \right] = 0,$$



Отсюда получаем уравнение для производных в тройной точке [2]:

$$\frac{\left(\frac{dP}{dT} \right)_{21} - \left(\frac{dP}{dT} \right)_{23}}{\left(\frac{dP}{dT} \right)_{21} - \left(\frac{dP}{dT} \right)_{13}} = \frac{V_3 - V_1}{V_3 - V_2} > 0,$$

которое полностью соответствует фазовой диаграмме для обычного льда: $(dP/dT)_{21} < 0$ (рисунок).

Если $(dP/dT)_{21} > 0$, то кривая плавления в этом случае пойдет круче, чем кривая испарения и кривая возгонки: неравенство (5) выполняется, если

$$\left(\frac{dP}{dT} \right)_{21} > \left(\frac{dP}{dT} \right)_{23}; \quad \left(\frac{dP}{dT} \right)_{21} > \left(\frac{dP}{dT} \right)_{13}.$$

Рассмотрим второе дифференциальное уравнение в тройной точке:

$$\Delta\Phi_{TT}^{12} + 2\Delta\Phi_{PT}^{12} \left(\frac{dP}{dT} \right)_{12} + \Delta\Phi_{PP}^{12} \left(\frac{dP}{dT} \right)_{12}^2 + \Delta\Phi_P^{12} \left(\frac{d^2P}{dT^2} \right)_{12} = 0,$$

$$\Delta\Phi_{TT}^{23} + 2\Delta\Phi_{PT}^{23} \left(\frac{dP}{dT} \right)_{23} + \Delta\Phi_{PP}^{23} \left(\frac{dP}{dT} \right)_{23}^2 + \Delta\Phi_P^{23} \left(\frac{d^2P}{dT^2} \right)_{23} = 0,$$

$$\Delta \Phi_{TT}^{31} + 2\Delta \Phi_{PT}^{31} \left(\frac{dP}{dT} \right)_{31} + \Delta \Phi_{PP}^{31} \left(\frac{dP}{dT} \right)_{31}^2 + \Delta \Phi_P^{31} \left(\frac{d^2 P}{dT^2} \right)_{31} = 0.$$

После сложения и замены производных из уравнения (2) имеем

$$(V_1 - V_2) \left(\frac{d^2 P}{dT^2} \right)_{12} + (V_2 - V_3) \left(\frac{d^2 P}{dT^2} \right)_{23} + (V_3 - V_1) \left(\frac{d^2 P}{dT^2} \right)_{31} = 0. \quad (7)$$

Отсюда получаем уравнения для кривизны фазовых линий в тройной точке:

$$\frac{\left(\frac{d^2 P}{dT^2} \right)_{21} - \left(\frac{d^2 P}{dT^2} \right)_{23}}{\left(\frac{d^2 P}{dT^2} \right)_{12} - \left(\frac{d^2 P}{dT^2} \right)_{13}} = \frac{V_3 - V_1}{V_3 - V_2} > 0. \quad (8)$$

Сопоставление уравнений (5) и (8) показывает, что разности первых производных фазовых линий в тройной точке относятся между собой, как разности вторых производных в этой точке:

$$\frac{\left(\frac{dP}{dT} \right)_{21} - \left(\frac{dP}{dT} \right)_{23}}{\left(\frac{dP}{dT} \right)_{12} - \left(\frac{dP}{dT} \right)_{13}} = \frac{\left(\frac{d^2 P}{dT^2} \right)_{21} - \left(\frac{d^2 P}{dT^2} \right)_{23}}{\left(\frac{d^2 P}{dT^2} \right)_{12} - \left(\frac{d^2 P}{dT^2} \right)_{13}} = \frac{V_3 - V_1}{V_3 - V_2} > 0. \quad (9)$$

Если $(V_3 - V_1) > (V_3 - V_2)$ (числитель больше знаменателя) или $V_2 > V_1$ (плотность жидкости меньше плотности твердого тела), то из уравнения (9) следует, что $(dP/dT)_{12} > (dP/dT)_{23}$. Кривизна линии сублимации при этом будет больше, чем кривизна линии испарения в тройной точке: $(d^2 P/dT^2)_{12} > (d^2 P/dT^2)_{23}$ (для положительной кривизны). Если $(V_3 - V_1) < (V_3 - V_2)$ или $V_2 < V_1$, так что для обычного льда, например, $(dP/dT)_{21} < 0$ (рисунок), то кривизна линии сублимации (OA) в тройной точке в этом случае будет меньше, чем кривизна линии испарения (OC):

$$\left(\frac{d^2 P}{dT^2} \right)_{12} < \left(\frac{d^2 P}{dT^2} \right)_{23} \quad \text{и т. д.}$$

Таким образом доказано, что кривизна фазовых линий в тройной точке определяется изменением плотности вещества при переходе из одной фазы в другую.

Саратовский педагогический
институт

Поступила
14. III. 1960

ЛИТЕРАТУРА

1. М. П. Мохнаткин, Ж. физ. химии, 30, 2825, 1956.
2. Г. А. Лоренц, Лекции по термодинамике, ГТТИ, 1941, стр. 74.



АНАТОЛИЙ ФЕДОРОВИЧ КАПУСТИНСКИЙ

(Некролог)

26 августа 1960 г. советская химическая наука понесла тяжелую утрату — после продолжительной болезни скончался один из крупнейших химиков-неоргаников член-корреспондент Академии наук СССР, профессор, доктор химических наук Анатолий Федорович Капустинский.

Анатолий Федорович Капустинский родился 29 декабря 1906 г. в г. Житомире. В 1923 г. он поступил в Московский государственный университет, который окончил в 1929 г. Большое влияние на формирование А. Ф. Капустинского как ученого оказал его учитель, почетный академик И. А. Каблуков, благодарности которому А. Ф. Капустинский сохранял до конца своей жизни.

Научная деятельность А. Ф. Капустинского началась очень рано — его первая работа «К вопросу о структуре кристаллогидратов» появилась в журнале «Zeitschrift für physikalische Chemie» в 1929 г. Темой его дипломной работы было «Изучение термической диссоциации сернистого кадмия». Таким образом, уже в студенческие годы у А. Ф. Капустинского сложилось то научное направление, развитию которого он посвящал в дальнейшем свою жизнь — исследования в области кристаллохимии и термохимии неорганических соединений.

По окончании химического факультета Московского государственного университета А. Ф. Капустинский 12 лет (с 1929 по 1941 г.) работал под руководством академика Э. В. Брицке в термической лаборатории Института прикладной минералогии, сначала в должности лаборанта, затем он становится аспирантом, старшим научным сотрудником, заведующим лабораторией и сектором. В этой лаборатории им проводятся получившие всемирную известность экспериментальные исследования по термодинамике окислов и сульфидов. В широко поставленных и блестяще осуществленных экспериментах им были определены с высокой точностью термодинамические характеристики реакций, играющих исключительно важную роль в металлургии, химической технологии и геологических процессах. В широком интервале температур были исследованы равновесия водорода с сульфидами железа, олова, кадмия, висмута и сурьмы, термической диссоциации сульфидов меди, серебра, мышьяка, цинка, марганца, реакции железа с водяным паром, диссоциации серного ангидрида и целый ряд других равновесий, имеющих огромное теоретическое и прикладное значение.

Отличительной чертой указанных работ является высокое качество эксперимента, сочетающееся с оригинальностью применяемой методики. Так, например, для определения температуры разложения окиси никеля был применен совершенно новый метод — изучение эмиссии электронов с поверхности никелевой проволоки. Для нахождения парциального давления водорода в газовых смесях была применена палладиевая перегородка, пропускающая только водород и задерживающая другие газы. Для измерения малых изменений давления газа был изобретен манометр, в котором давление отсчитывалось положением капли ртути, передвигающейся в горизонтальном капилляре.

Для изучения равновесия окисления сернистого газа была сконструирована остроумнейшая установка, в которой нагреваемая током платиновая проволоочка являлась одновременно печью, катализатором и термометром. Полученные А. Ф. Капустинским термодинамические данные приводятся как наиболее надежные во всех справочниках и монографиях.

Во время работы в Институте прикладной минералогии А. Ф. Капустинский проявил себя не только как блестящий экспериментатор, но и как выдающийся теоретик. В 1933 г. им было предложено общее уравнение для энергии кристаллической решетки, получившее название уравнения Капустинского. Это уравнение нашло в дальнейшем широчайшее применение в самых различных областях науки. В 1933 и 1936 гг. вышли свет книги А. Ф. Капустинского «Физическая химия металлургических процессов» и «Термодинамика химических реакций и ее применение в неорганической технологии». Эти книги, глубокие по содержанию, написанные исключительно ясным и простым языком, полностью сохранили свое значение и в настоящее время, спустя почти тридцать лет после их создания.

В 1934 г. А. Ф. Капустинский был избран профессором физической химии химического факультета Горьковского государственного университета, где им были организованы кафедра и лаборатория физической химии.

В 1935 г. А. Ф. Капустинский командировается за границу для ознакомления с постановкой научно-исследовательской работы и преподавания химии в Европе и в Америке. Он несколько месяцев работал в США в лаборатории известного американского физико-химика, почетного члена АН СССР Г. Льюиса. В лаборатории Льюиса А. Ф. Капустинский исследовал равновесие реакции восстановления хлорида меди дейтерием, который был открыт незадолго до этого. В данной работе впервые были обнаружены значительные различия в термодинамических свойствах изотопов — водорода и дейтерия.

С 1937 по 1941 г. А. Ф. Капустинский работает заведующим кафедрой физической химии Московского института стали. Во время Великой Отечественной войны он заведует кафедрой физической химии Казанского университета. В 1943 г. он избирается заведующим кафедрой общей и неорганической химии Московского ордена Ленина химико-технологического института им. Д. И. Менделеева, где он и работал до конца своей жизни. В 1939 г. А. Ф. Капустинский был избран членом-корреспондентом Академии наук СССР по Отделению математических и естественных наук. В 1941 г. он возглавил лабораторию термохимии в Институте общей и неорганической химии им. П. С. Курнава Академии наук СССР.

В эти годы круг научных интересов А. Ф. Капустинского охватывает вопросы теории растворов электролитов и физико-химического анализа. Здесь А. Ф. Капустинский явился продолжателем традиций Д. И. Менделеева, И. А. Каблукова и Н. С. Курнава. В 1941 г. им была установлена зависимость энтропии ионов в растворе от зарядов и радиусов, в 1942 г. аналогичная задача была решена для теплоемкостей ионов в растворе. Основное внимание в этих работах уделялось рассмотрению взаимодействий ионов с растворителем как главного фактора, определяющего природу растворов. Данное направление теоретического и экспериментального изучения растворов электролитов получило значительное развитие в последующих работах А. Ф. Капустинского и его сотрудников — К. Б. Яцимирского, О. Я. Самойлова, С. И. Драгунова, М. С. Стахановой, И. И. Липилиной, И. М. Селивановой, Б. М. Якушевского, И. Рузавина.

В области физико-химического анализа А. Ф. Капустинским и его сотрудниками были также решены ряд вопросов, имеющих принципиальное значение. Так, методами физико-химического анализа впервые было доказано образование соединений между йодом и йодом. Был разработан совершенно новый метод физико-химического анализа сплавов металлов, основанный на измерении энергии активации разложения переспав водорода при каталитическом действии сплава. Изучение систем бензола с галогензамещенными метанами выявило новый класс химических соединений — продуктов присоединения бензола к органическим веществам, названных кристаллобензолами.

Большой вклад внес А. Ф. Капустинский в химию комплексных соединений. Ему принадлежит оригинальная теория строения гетерополиоксидов. В 1946 г. А. Ф. Капустинским совместно с К. Б. Яцимирским впервые в Советском Союзе была начата систематическая разработка термохимии комплексных соединений, эти исследования стали основой нового научного направления.

Весьма обширны работы А. Ф. Капустинского, посвященные периодическому закону и периодической системе Д. И. Менделеева. В 1948 г. на сессии Отделения химических наук АН СССР А. Ф. Капустинский выступил с докладом, содержащим изложение открытого им правила термохимической логарифмики. Данное правило впервые позволило наметить количественную связь теплот образования соединений с важнейшими характеристиками элементов в периодической системе — порядковыми номерами и валентностью. Правило термохимической логарифмики получило дальнейшее развитие и применение во многих работах. В других исследованиях этого цикла А. Ф. Капустинским была выявлена периодичность энтропий ионов и простых тел, были выдвинуты новые представления о структуре периодической системы.

А. Ф. Капустинский много работал в области геохимии. Его уравнение для энергии кристаллической решетки нашло широчайшее применение для решения разнообраз-

ных вопросов, касающихся образования химических соединений в земной коре. В работе «К теории Земли» он высказал и обосновал важные идеи о прогрессивном уменьшении химических различий элементов при углублении внутрь Земли, вплоть до полного исчезновения химической индивидуальности в центральной части нашей планеты, и о малой величине теплоемкости центриферы Земли.

Одной из самых любимых отраслей науки у А. Ф. Капустинского была история химии. Им опубликовано много исследований в этой области, которые читаются как увлекательные рассказы, восстанавливающие перед нашими глазами всю обстановку возникновения важнейших химических открытий и облик их творцов — Д. И. Менделеева, М. В. Ломоносова, Г. И. Гесса, Д. П. Коновалова, Н. С. Курнакова, И. А. Каблукова, И. Пруста, А. Авогадро, В. Рамзая и многих других. В 1957 г. А. Ф. Капустинский был избран председателем Национального объединения советских историков химии.

А. Ф. Капустинский был выдающимся педагогом. На протяжении многих лет своей профессорской деятельности в высших учебных заведениях он читал целый ряд курсов. Сюда относятся курсы общей и неорганической химии, физической химии, химической термодинамики, теоретических основ современной неорганической химии, методики научного исследования, химии изотопов, истории химии в России. Его лекции были великолепны по форме, оригинальны и глубоко по содержанию.

Выступая на международных конгрессах и конференциях (Сан-Франциско, Будапешт, Париж, Варшава), А. Ф. Капустинский всегда достойно представлял советскую науку.

А. Ф. Капустинский активно работал до последнего дня жизни. Будучи тяжело больным, он руководил кафедрой, диссертационными работами, каждый мог получить у него совет и консультацию. В последние месяцы жизни он подготовил к печати ряд исследований.

Советское правительство высоко оценило заслуги А. Ф. Капустинского — он был награжден орденом Трудового Красного Знамени и медалями.

Перестало биться сердце выдающегося ученого-химика, прекрасного педагога и патриота своей Родины.

Светлая память об Анатолии Федоровиче Капустинском навсегда сохранится в сердцах тех, кто его знал.

С. И. Дракин, А. А. Кудрявцев, М. М. Селиванова и М. С. Стаханова

СОДЕРЖАНИЕ т. XXXIV ЗА 1960 г.

ВЫПУСК I

О. М. Полторак. Термодинамика дисперсных систем	3
И. И. Фрейман и В. А. Титов. Диффузия электролитического водорода через железные пластинки и механизм перенапряжения водорода на железе	23
М. Е. Манжелей и Л. В. Войтенко. Электровосстановление акриловой кислоты	27
А. Н. Кузнецов. Кинетика и механизм восстановления окислов никеля водородом	32
П. О. Мелешко. Исследование зависимости линейной скорости кристаллизации от толщины слоя	39
З. А. Комаров, Е. А. Черникова, Г. Р. Квятковская и Е. А. Пиганова. Влияние примеси некоторых окислов к окиси алюминия на каталитическую активность последней в реакции разложения изопропилового спирта	43
З. В. Ястребов. Физико-химия концентрированного озона. VIII	46
З. М. Вдовенко и Д. Н. Суглобов. Изучение растворов солей уранила в органических растворителях при помощи инфракрасных спектров поглощения	51
А. Богдановский и А. И. Шлыгин. О механизме электроокисления спиртов и альдегидов на платине. III	57
А. М. Сухотин. Об ассоциации ионов в растворах. IV	63
С. Бадагов. Рефракция водородной связи в неорганических соединениях	68
З. Г. Плюснин и Е. П. Бабин. Закономерности замещения атомов водорода в бензольном ядре алкильными группами. VI	78
Г. К. Белащенко. Теория влияния примесей на самодиффузию	83
А. А. Аксельруд. Теория диффузионного извлечения веществ из пористых тел. II	86
О. Каган. О кинетике кипения чистой жидкости	92
П. Д. Заалишвили. Применение интерполирующего полинома эрмита для передачи физико-химических данных. I	102
А. А. Беркенгейм. О скорости распространения ультразвука в растворах фенола в воде	105
О. К. Давтян. О применении теории групп в квантовой химии. I	108
И. И. Кристалик. Скорости элементарных стадий и механизм катодного выделения водорода. II	117
А. А. Измайлов и В. С. Черный. Термодинамические свойства электролитов в неводных растворах. VII	127
З. П. Татарinov и В. Ф. Фурсенко. Электропроводность сильно разбавленных растворов Na_2HPO_4 и K_2HPO_4	135
З. Т. Славянский. Природа валентных сил связи в структуре стекла и их роль в процессе вязкого течения	138
А. В. Карякин. Сенсibilизация окисления и тушение флуоресценции кислородом органических веществ	144
О. М. Полукarov. Исследование строения и магнитных характеристик электролитических осадков ферромагнитных металлов и сплавов в зависимости от условий их получения. II	150
П. Мискиджьян. Электролитическая диссоциация в неводных системах. VIII	157
П. Папко. Каталитическое окисление аммиака в неводных растворах. I	162
Д. Папоушек и Я. Кучирек. «Структурные вклады» в значения вторых производных термодинамических потенциалов жидкостей	168
О. И. Лейпунский. О зависимости от давления скорости горения черного пороха	17

Методы и техника физико-химического исследования

Л. А. Шапунов, С. И. Кричмар и Э. Г. Сумбаев. Фотоэлектрический прибор для люминесцентных определений	182
Н. А. Недумов. Высокотемпературный метод бесконтактной термографии	184
А. М. Бродский, Р. А. Калинин и К. П. Лавровский. Метод исследования механизма быстрых реакций в турбулентном реакторе при помощи меченых атомов	192
С. П. Детков. К дифференциальному эффузионному методу определения давления пара	196
К. В. Зотов и А. А. Трапезников. Применение метода уравнивания пластины для исследования поверхностного натяжения растворов полукolloидных веществ при медленном установлении равновесия	200
Ю. В. Филиппов и Ю. Н. Житнев. Озонаторы из пластмасс	209

Дискуссия

Ю. С. Варшавский, А. Я. Кипнис и А. Б. Шейнин. Еще раз о приближенном уравнении Ван-дер-Ваальса	211
М. А. Решетников. Некоторые вопросы изотермического равновесия растворов — пар по ван-дер-Ваальсу и по Льюису	212
Г. М. Флоранович. К вопросу о механизме катодного восстановления павелевой кислоты на ртути	216
Н. В. Коровин. К вопросу о перенапряжении металлов группы железа	219
М. Г. Гоникберг. К вопросу о механизме реакций диенового синтеза	225

Письма в редакцию

С. Д. Кайтмазов и А. М. Прохоров. Спектр электронного парамагнитного резонанса свободного радикала, полученного облучением H_2O_2 ультрафиолетовым светом	227
Д. Н. Усачев и А. Т. Ваграмян. Об условиях электролитического получения сплавов хрома с другими элементами	229
А. Н. Мурип. К вопросу о коэффициенте использования различных методов разделения изотопов	231
Х. С. Багдасарян и Р. И. Милютинская. Новый метод исследования радикальной реакционности органических соединений	234
С. Г. Майрановский и Л. Д. Бергельсон. О восстановлении геометрических изомеров некоторых производных 1,2-дибромэтилена на ртутном капельном электроде	236

ВЫПУСК 2

В. М. Татевский и Ю. Г. Папулов. Связь энергии образования молекулы из свободных атомов с ее строением. I.	241
Е. А. Укше. К теории электроосаждения металлов из комплексных растворов	259
В. Г. Плюснин, Е. П. Бабин, М. И. Насаккина и Н. М. Родигин. Закономерности замещения атомов водорода в бензольном ядре алкильными группами. VII	267
М. Т. Борок. Окисление микроконцентраций окиси азота в двуокиси азота озоном в газовом потоке	272
Г. А. Аксельруд. Теория диффузионного извлечения веществ из пористых тел. III	278
Л. А. Игонин, Э. Г. Гинцберг, Н. А. Красулина, С. И. Басс и В. А. Каргин. Исследование оксibenзиламинов, полученных на основе фенола и его одноядерных производных	287
О. К. Давтян. О применении теории групп в квантовой химии. II	295
В. И. Лозгачев. Метод изотопного обмена для измерения давления насыщенного пара и коэффициентов диффузии. II	306
Н. А. Измайлов и В. С. Черный. Термодинамические свойства электролитов в неводных растворах. VIII	319
С. Я. Френкель, А. В. Топчиев, Б. А. Крепцель и Ю. Я. Гольдфарб. Исследование полидисперсности полимеров методом неустановившегося седиментационного равновесия. II	327
П. П. Шорыгин, М. А. Гейдериш и Т. И. Амбруш. Влияние заместителей на свойства ароматических нитрилов и сульфонов	335
Н. Кувыркин, О. Н. Бреусов, А. В. Новоселова и К. Н. Семенов. О полиморфизме хлористого бериллия	343

Р. Н. Козленко и С. П. Мискиджян. Исследование двойных жидких неводных систем методом измерения э. д. с. I	349
М. А. Герович. О природе электрического эффекта на границе раствор — воздух при образовании полимолекулярных пленок конденсированных ароматических углеводородов	356
И. А. Касаткина, Г. К. Боресков и П. Н. Соколов. Влияние добавок сульфата калия на подвижность кислорода пятиокиси ванадия	360
И. Ф. Лантратов и О. Ф. Моисеева. Электропроводность растворов расплавленных солей. I	367
А. Кудрявцева и Н. М. Чирков. Кинетика реакции обмена хлора в изомерных β -хлоркродоновых кислотах. III	375
Е. Хомутов. О состоянии протонов в водных растворах	380
И. Папко. О кинетике взаимодействия аммиака и озона, растворенных в четыреххлористом углероде	387
А. Мясников. Электропроводность n -полупроводников при хемосорбции молекул, атомов и радикалов	395
И. Милютинская и Х. С. Багдасарьян. Исследование механизма радикальных реакций. VI	405
Н. Маслов и А. В. Оводова. Выпрямление электрического тока на границе ионитных мембран	413
Е. Клейнер. Расчет прочности или растворимости комплексов в окрашенных растворах по данным фотометрических измерений	416
Б. Рабинович. Влияние замещения водорода дейтерием на скорость звука и сжимаемость жидкостей	423
С. Саркисов. Изменение параметров решеток твердых растворов от состава и правило Вегарда	432
В. Белогуров. О поверхностном натяжении германия, кремния и алмаза	440
К. Потапов. Распад ионов CO^+ и CO_2^+ при соударениях с атомами неона и гелия	444
В. Болдырев и Ю. А. Захаров. Об анизотропии скорости термического разложения твердых веществ. I	446
Ф. Пальгуев и З. С. Волченкова. Электропроводность и числа переноса системы $\text{CeO}_2 - \text{ZrO}_2$	452

Методы и техника физико-химического исследования

Е. Левина. Возможности масс-спектрометрического метода в изучении термодинамики испарения	456
Т. Август, В. С. Батруков и К. В. Чмутов. Новая модель хроматографического коллектора	460
Н. Кавтарадзе и В. И. Лыгин. Вакуумная кювета для изучения инфракрасных спектров поглощения твердых тел в атмосфере различных газов и широкой области температур	462
С. Сытилин. Схема потенциостата, обеспечивающего постоянство потенциала поляризации рабочего электрода	464
Т. Санжаровский. Расчет внутренних напряжений в гальванических покрытиях по изгибу плоского катода	466
М. Ветюков, С. Н. Скольников, Р. Г. Чувильев и А. Н. Новиков. Крутильно-маятниковый вискозиметр с автоматическим отсчетом	470

Дискуссия

М. Новаковский. К вопросу о равновесном и стационарном потенциале водородного катода	473
--	-----

Письма в редакцию

В. Гурьев. О молекулярных ионах n -парафинов	475
Г. Болховитинов. О связи между чувствительностью к удару и температурой вспышки взрывчатых веществ	476
Б. Казанский и Ю. И. Печерская. Электронный парамагнитный резонанс в облученной окиси алюминия	477

Рецензии

А. Эльтеков и А. В. Киселев. Рецензия на сборник «Структура и свойства пористых материалов».	478
В. Астахов. Рецензия на книгу Ульриха Шиндевольфа «Физическая ядерная химия»	480

Х р о н и к а

- В. Я. Аносов и другие. Крестовников А. Н. (К 60-летию со дня рождения) 482
 Я. И. Герасимов и М. Х. Карапетьянц. Киреев В. А. (К 60-летию со дня рождения) 484

ВЫПУСК 3

- В. М. Татевский и Ю. Г. Папулов. Связь энергии образования молекулы из свободных атомов с ее строением. II 489

- Д. А. Бочвар и Н. П. Гамбарян. Метод электронного газа и определение разности электростатических потенциалов атомов 505
 Г. А. Корсуновский. Механизм электронного обмена при фотоокислении воды на полупроводниках 510
 С. И. Папко. Каталитическое окисление аммиака в неводных растворах. II 518
 Б. В. Дерягин, С. С. Духин и В. А. Лисиченко. Кинетика прилипания минеральных частиц к пузырькам при флотации. II 524
 А. В. Сторонкин и А. И. Русанов. Термодинамическая теория критических явлений в трехкомпонентных системах. I 530
 Э. А. Соловьева. Изучение скорости адсорбции поверхностноактивных веществ на поверхности металла 537
 Л. М. Волчкова, В. Д. Плещинов и А. И. Красильщиков. Влияние механических деформаций на электродный потенциал меди . . 543
 Л. В. Кармилова, Н. С. Ениколопан и А. Б. Налбандян. Кинетика и механизм окисления метана. I 550
 Е. А. Укше и С. П. Степанов. Исследование электродных процессов в расплавленных солях 559
 А. Н. Ефремов. Искажающее влияние приэлектродного слоя на измерения диэлектрических параметров в звуковом диапазоне 565
 Д. М. Чижилов и В. П. Счастливы. К вопросу взаимосвязи электропроводности и диаграмм состояния оксидных расплавов 572
 Ю. Г. Сивер. Нестационарные электродные процессы в перемешиваемых средах. II 577
 Д. С. Циклис, Л. И. Шендерей и А. Н. Кофман. Фазовые равновесия в системе ацетальдегид — двуокись углерода 585
 Е. Н. Юрыгина, П. П. Алиханов, Е. А. Израилевич, П. Н. Маночкина и А. И. Шатенштейн. Кинетика дейтерообмена изомеров монодейтеротолуола, монодейтеродифенила и монодейтеронафталина с жидким бромистым водородом и раствором амида калия в жидком аммиаке 587
 А. И. Шатенштейн. Сопоставление закономерностей дейтерообмена и других реакций 594
 А. Ф. Беляев и Р. Х. Курбангалина. Влияние начальной температуры на величину критического диаметра нитроглицерина и тротила . 603
 Э. И. Фур. Релаксационный механизм распространения горения в гетерогенных экзотермических системах 611
 Г. М. Бартенев. Фазовые переходы второго рода и λ -кривые 618
 Ю. В. Плесков. Метод разделения двух процессов, одновременно протекающих на электроде 623
 В. Н. Толмачев и Г. Г. Ломакина. Спектрофотометрическое исследование реакций взаимодействия 1,8-диокси-2-(2-оксиназобензол)-3,6-нафталиндисульфата натрия с ионами кадмия и ртути 627
 И. В. Мелихов и М. С. Меркулова. К вопросу соосаждения ионов двухвалентных металлов с солями типа NaC 633
 А. В. Макаров и Г. М. Панченков. Растворимость трехфтористого бора в анизоле, фенетоле β, β' -дихлордиэтиловом эфире (хлорексе) и серной кислоте 639
 Е. М. Шусторович и М. Е. Дяткина. Вычисление двухцентровых молекулярных интегралов, включающих d -орбиты 644
 Я. Коутецкий, В. Гануш и С. Г. Майрановский. Полярнографические каталитические волны водорода, вызываемые органическими катализаторами. I 651

Методы и техника физико-химического исследования

- И. Г. Гринман и Г. С. Козлов. Об отделении фарадеевского тока от емкостного в дифференциальной полярографии 661
 Е. Е. Баронн, К. А. Ковырзина, И. М. Розман, Е. Е. Андреевцев и В. М. Шония. Пластмассовые сцинтилляторы на основе полистирола. III 665

А. Т. Санжаровский. К методике расчета внутренних напряжений в гальванических покрытиях	668
М. Л. Баскин. Физико-химический и количественный анализ посредством поглощения электронов. (Метод известных добавок и различных излучателей)	670
В. П. Фронтасев и Л. С. Шрайбер. Методика прецизионных измерений показателя преломления жидкостей рефрактометром ИРФ-23 (типа Пульфриха) в интервале температур от 0 до 100°С	675

Д и с к у с с и я

А. Тузи, Митуя и Такеко Обаяши. Поведение платиновых электродов. I	679
А. И. Федорова и Т. М. Ржищева. Об образовании и устойчивости β-фазы системы палладий — водород в водных растворах	684

П и с ь м а в р е д а к ц и ю

В. П. Лебедев и Э. А. Тросман. Каталитическая активность платины, нанесенной на кадмий	687
И. А. Авруцкая, В. Г. Хомяков и М. И. Фиошин. Восстановление нитроциклогексана на капельном ртутном катоде	691
К. А. Карашарли и П. Р. Стрелков. Термодинамические свойства дициклогексилдодекана	693
В. Б. Голубев, Ю. М. Боярчук и В. Б. Евдокимов. Магнетохимия активных центров. Стабилизация свободных радикалов на поверхности и электронный парамагнитный резонанс в солях хингидрона	696
В. Ф. Киселев. О связи поверхностной энергии кремнезема с его дисперсностью	698

Х р о н и к а

А. И. Розенберг. Памяти Евгения Никитича Гапона	700
---	-----

ВЫПУСК 4

Владимир Ильич Ленин (К 90-летию со дня рождения)	705
---	-----

В. М. Татевский и Ю. Г. Папулов. Связь энергии образования молекулы из свободных атомов с ее строением. III	708
Е. И. Колобов. К вопросу о строении кристаллических полимеров	716
И. А. Алексеева, В. Г. Плюснин, Е. П. Бабин и Г. А. Алексеева. Закономерности замещения атомов водорода в бензольном ядре алкильными группами. VIII	726
А. П. Рудков. К вопросу о рациональных путях изучения теплоемкостных свойств водных растворов электролитов	734
Е. З. Нанобашвили. Влияние молибдата натрия на каталитический распад перекиси водорода в присутствии бихромата	742
А. В. Сторонкин и А. И. Русанов. Термодинамическая теория критических явлений в трехкомпонентных системах. II	749
З. А. Соловьева и А. Т. Ваграмян. О роли самоприспособления в поляризационных измерениях при электроосаждении металлов	754
В. В. Сараева, Б. Я. Ладыгин и Нам Чан Сун. Радиоллиз и радиационное окисление диизопропилового эфира	759
А. М. Сухотин и Е. М. Рыжков. Об особенностях изотерм электропроводности 1—1-валентных солей в растворах с низкой диэлектрической проницаемостью	762
Д. С. Циклис, Л. И. Шендерей и А. Н. Кофман. Растворимость ацетальдегида в сжатых газах	768
Н. И. Кобозев, И. А. Семиохин и В. Г. Синдюков. Физико-химическое исследование электросинтеза концентрированной перекиси водорода из элементов. I	773
М. Ф. Лантратов. Исследование термодинамических свойств жидких металлических растворов. Система калий — свинец	782
Н. У. Койда. О применении теории подобия при фильтрации жидкости	789
В. Д. Безуглый и Е. Ю. Новик. Полярографическое исследование терефталевой кислоты	795
С. П. Мискиджьян. Электролитическая диссоциация в неводных системах. XI	802
В. И. Малкин и В. В. Покидышев. Измерение чисел переноса катиона в расплавах $\text{Na}_2\text{O} \cdot \text{MgO} \cdot 4\text{SiO}_2$ и $\text{Na}_2\text{O} \cdot \text{SrO} \cdot 4\text{SiO}_2$	805

В. А. Дарин, Д. Н. Наследов и Ф. М. Тартаковская. Получение полупроводниковой двуокиси титана на титане при малых давлениях кислорода	809
П. П. Отопков и А. М. Евсеев. Теплота образования и физические свойства полупроводниковых интерметаллических соединений	815
Р. А. Яковлева и Т. Н. Резухина. Теплоемкость вольфраматов кальция, марганца и кобальта при высоких температурах	819
Е. А. Михайлова, Э. Н. Смирнова, В. А. Петухова и Б. А. Казанский. Влияние химического строения алкилбензолов на их способность адсорбироваться на силикагеле	824
Н. Д. Томашов, Е. Н. Палеолог и А. З. Федотова. Электрохимическое и коррозионное поведение полупроводников в растворах электролитов. I	833
А. Н. Несмеянов и Л. П. Белых. Измерение давления насыщенного пара твердой окиси лития	841
А. В. Командин и А. К. Бонедкая. Диэлектрическая проницаемость некоторых органических соединений в широком интервале температур	845
Л. А. Казицина, О. А. Реутов и З. Ф. Бучковский. Инфракрасные спектры поглощения двойных диазониевых солей	850
В. Ф. Фокин. Влияние муравьиной кислоты на поглощение и флуоресценцию триафлавина	856
А. Е. Шипов и Р. Д. Сабирова. Механизм первичного акта термического распада хлорметанов. II	860
С. И. Дракин, Ю. К. Голубкова и Э. П. Ушакова. Электродиффузия в разбавленных растворах свинца и ртути в металлическом калии	866
А. А. Баландин, И. Д. Рождественская. Определение энергий связи H, D, C, O и N с окисью цинка кинетическим методом	872
М. Т. Дмитриев, С. Я. Пшежецкий. Радиационное окисление азота V	880
Ю. П. Егоров, И. А. Ромадан, В. А. Шляпочников и Н. И. Шуйкин. Исследования строения радикалов у веществ, полученных при алкилировании ароматических углеводородов спиртами в присутствии трехфтористого бора	888
Б. Б. Дамаскин, Н. В. Николаева-Федорович и Р. В. Иванова. Изучение адсорбции анионов сульфокислот жирного ряда на ртутном электроде и влияние этих анионов на кинетику электродных процессов	894
А. Г. Усманов и А. Н. Бережной. Применение метода подобия при исследовании процессов переноса массы	907

Методы и техника физико-химического исследования

С. И. Скляренко, И. В. Смирнов, Л. Б. Беляева и Е. А. Малышева. Микровискозиметр	921
Г. С. Супин. Электролиз раствора йодистого тетраметиламмония	925

Дискуссия

С. И. Жданов. К вопросу о полярографии нитратов	928
А. Н. Фрумкин. О статье А. Митуй и Т. Обаяши «Разрушение платинового анода в кислых растворах»	931

Письма в редакцию

Ф. Б. Моин и В. У. Шевчук. О влиянии температурных условий на скорости проскака ламинарных пламен	932
С. С. Аликберов, Л. П. Шкловер, А. С. Сыромятников и Т. М. Щербакова. Взаимная растворимость в системе тетрагидрид кремния — ацетонитрил	935

Рецензии

С. С. Бацанов. Замечания по поводу книги Хюккеля	937
--	-----

Хроника

Н. Е. Брежнева, Д. П. Добычин и Г. М. Жаброва. С. З. Рогинский (К 60-летию со дня рождения)	939
Профессор Альфред Эджертон (Некролог)	941

ВЫПУСК 5

А. Киреев. Термодинамика химических равновесий в одноатомных реакциях	945
А. Поспелов. Анодное окислирование магния в растворах щелочи	957
С. Шантарович и Б. В. Павлов. Термический крекинг метана	960
М. Родигин, Е. П. Бабин и В. Г. Плюснин. Закономерности замещения атомов водорода в бензольном ядре алкильными группами. IX.	966
А. Славинская, В. Е. Казакевич, С. А. Каменецкая, В. М. Чердынченко и С. Я. Пшежецкий. Скорость горения азото-кислородных смесей	973
В. Сторонкин и А. И. Русанов. Термодинамическая теория критических явлений в трехкомпонентных системах. III	977
М. Рыжков и А. М. Сухотин. Электрохимическое исследование растворов HCl в растворителях с низкой диэлектрической проницаемостью	983
В. Кармилова, Н. С. Епиколопан, А. Б. Налбандян. Кинетика и механизм окисления метана. II	990
Л. Розенфельд, Е. Н. Ландеваи Е. И. Калинина. Анодное окисление циркония	995
Н. Севрюгова, О. В. Уваров и Н. М. Жаворонков. Коэффициенты разделения изотопов бора при равновесном испарении фтористого бора	1004
И. Турьян и Г. Ф. Серова. Полярографическое исследование кинетики образования роданистых комплексов никеля в водном растворе	1009
Н. Еременко, Ю. В. Найдич и А. А. Носович. Поверхностная активность кислорода в жидких сплавах медь — кислород	1018
Ф. Иванова и Н. А. Измайлов. Термодинамические свойства электролитов в неводных растворах. IX	1021
Н. Палеолог, Н. Д. Томашов и А. З. Федотова. Электрохимическое и коррозионное поведение полупроводников в растворах электролитов. II	1027
Н. Несмеянов и Л. П. Фирсова. Измерение давления насыщенного пара борного ангидрида	1032
А. Иофа и Г. Н. Томашова. О совместном действии сульфидов и органических соединений на кислотную коррозию и хрупкость железа	1036
С. Богданов. Исследование аэрозолей, образующихся в радиационно-химических реакциях	1044
С. Гречишкин. Исследование взаимодействий между атомами в хлоратах методом ядерного квадрупольного резонанса	1050
С. Духин. Кинетика прилипания минеральных частиц к пузырькам при флотации. III	1053
А. Лошкарев и В. И. Черненко. Тормозящее действие нафтолов на процесс разряда ионов свинца и величина активационного барьера	1060
М. Колесников. О методе определения отношения констант скоростей в бимолекулярных необратимых последовательных реакциях	1069
В. Карпачев и Э. М. Карасик. О теплоте плавления некоторых неорганических солей	1072
А. Кузнецов, Л. С. Загайнова, Г. П. Иванова и М. П. Клевцова. Исследование электрокапиллярных явлений на сплавах теллур — золото	1077
М. Емельянов и Ю. В. Филиппов. Электрическая теория озонаторов. VII	1083
Ф. Капустинский, И. И. Стрелков, В. Е. Ганенко, А. В. Алапина, М. С. Стаханова, Н. М. Селиванова. Низкотемпературная теплоемкость, энтропия, тепло образования и свободная энергия образования швелевокислого свинца	1088
А. Вяхирев, Н. П. Черняев и А. И. Брук. Влияние параметров опыта на хроматографическое разделение веществ в газовой или паровой фазах. III	1096
В. Софьяна и Н. Г. Павловская. Равновесные состояния в системах Ti — H и Zr — H при низких давлениях	1104
А. Синицына и Х. С. Багдасарьян. Ингибирующий эффект и строение ингибиторов. III	1110
И. Левин, М. Е. Простаков и В. П. Кочергин. Анодное пассивирование белой жести в растворах натриевой щелочи	1117
М. Колотыркин. К вопросу о поведении электродного потенциала при переходе электрода от пассивного к активному состоянию	1121

Методы и техника физико-химического исследования

- П. Ф. Похил, В. М. Мальцев и Л. Н. Гальперин. Установка для определения температуры по высоте факела пламени пороха 1137
- Б. В. Иоффе. Измерение показателей преломления смесей летучих жидкостей на рефрактометрах Пульфриха 1138
- С. И. Склярёвко, И. В. Сырнов, Л. Б. Беляева и Е. А. Малышева. Простой прибор для создания давлений заданной величины до 200 атмосфер 1139
- Я. П. Гохштейн. Приставка к осциллографическому полярографу ГЕОХИ (1) для определения мгновенной разности потенциалов между исследуемым и вспомогательным электродами 1138
- А. М. Чайкин и А. Е. Шилов. Способы подачи реагентов в струю газа низкого давления 1140
- А. Ф. Воробьев, Н. М. Привалова и С. М. Скуратов. Калориметр для измерения энтальпий разложения твердых веществ 1142
- В. П. Вендилло, Ю. М. Емельянов и Ю. В. Филиппов. Расчет лабораторных озонаторов 1143

Письма в редакцию

- А. М. Евсеев. Расчет вращательной суммы состояний для молекул в жидкости 1148

ВЫПУСК 6

- П. К. Мигаль и В. А. Циплякова. К изучению кинетики адсорбции водорода и кислорода и их взаимодействия на платине 1153
- С. И. Кричмар. О теории анодной заточки инструмента 1161
- Н. А. Славинская, С. А. Каменецкая, С. Я. Пшежецкий и Л. А. Васильев. Влияние ионизирующего излучения на кинетику окисления и воспламенения бутана 1168
- Л. В. Кармилова, Н. С. Ениколомян, А. Б. Налбандян и Н. Н. Семенов. Кинетика и механизм окисления метана. III. 1176
- В. Н. Еременко, Ю. В. Найдич и А. А. Носонович. Межфазная активность кислорода в системах жидкий металл — твердый окисел 1186
- А. Н. Мальцев, Н. И. Кобозев, Т. В. Семенова и Е. И. Карпова. Некоторые структурные вопросы гидрогенизационного катализа. III 1190
- Ан. Н. Несмеянов, Л. П. Фирсова и Е. П. Исакова. Измерение давления насыщенного пара окиси свинца 1200
- Ф. Г. Эльдаров. Теплопроводность неводных растворов солей 1203
- А. В. Сторонкин и А. И. Русанов. Термодинамическая теория критических явлений в трехкомпонентных системах. IV. 1212
- Л. С. Соловьева. Определение кинетических характеристик поверхностной реакции в процессе горения газов 1218
- Т. И. Попова и Т. А. Крюкова. Полярографические максимумы 1 рода 1226
- Я. И. Турьян, Ю. С. Милявский и Б. П. Жанталай. Полярографическое определение коэффициента активности иона кадмия 1234
- Н. Л. Покровский и Д. С. Тиссен. Свойства металлических растворов. VI 1238
- Л. Т. Бугаенко, Е. П. Калязин и Н. А. Бах. Радиационная химия хлорокислородных соединений. I 1243
- И. Р. Кричевский, Н. Е. Хазанова и Ю. В. Цеханская. Критические явления в системе гексаметиленмин — вода. III 1250
- А. Т. Вагрямян, А. И. Красовский, Ю. С. Петрова и З. А. Соловьева. Роль пассивирования в процессе электроосаждения металлов 1253
- Ю. А. Толмачева и А. Т. Давыдов. Исследование обмена сульфат-ионов на анионите Н — О в динамических условиях на хлорид и йодидионы 1260
- Е. В. Ступоченко, Е. В. Самойлов, А. С. Плешанов и И. Б. Рождественский. Термодинамические функции воздуха при высоких температурах 1263
- Н. Е. Алексеевский, А. В. Дубровин и Г. Э. Карстенс. Применение масс-спектрометров с неоднородным магнитным полем для газового анализа 1273
- Г. М. Панченков, З. В. Грязнова. Дейтероводородный обмен и реакция крекинга кумола на алюмосиликатных катализаторах 1280

Л. Антоновский и И. В. Березин. Применение трития для определения относительных констант скоростей отрыва атомов водорода органических соединений	1286
А. Хромова. Кинетика реакций хлоридов стронция, бария и свинца с парами брома	1294
И. Фур. Релаксационный механизм распространения горения в гетерогенных экзотермических системах. II	1299
А. Кудрявцева и Н. М. Чирков. Кинетика реакции обмена хлора в изомерных β -хлоркетоновых кислотах. IV	1307
С. Ипкевич и П. Г. Стрелков. Термодинамические исследования при низких температурах. IX	1312
И. Смирнова и Б. Ф. Ормснт. Кварцевые высоковакуумные печи с вращающейся диафрагмой для определения поверхностного натяжения при высоких температурах и др. исследований	1316
Д. Решетов. Об униполярных зарядах аэрозолей	1320
И. Козорезов. К вопросу о кинетических уравнениях реакции алкилирования бензола и его гомологов непредельными углеводородами	1326
А. Журавлев и А. А. Кужелюк. Электродвижущие силы при некоторых каталитических восстановительных реакциях	1331
А. Баландин и И. Д. Рождественская. О влиянии поверхностного восстановления окиси хрома на ее каталитические свойства	1336
А. Кузнецов, М. П. Клевцова, Л. С. Загайнова, Л. С. Вайнтрауб, Т. А. Коробова. Исследование контактных разностей потенциалов между Sn и сплавами Sn — Te и электрокапиллярных явлений на сплавах Sn — Te	1345
В. Корвин. О катодной поляризации при электроосаждении сплава медь — никель	1351
В. Громов. Десорбция микроколичеств стронция и цезия с монтмориллонита и каолинита	1357
Н. Качинская. Теплоты испарения цикланов	1364
В. Удовенко и Л. П. Александрова. Давление пара трехкомпонентных систем	1366

Методы и техника физико-химического исследования

С. Меркулов и А. В. Климушев. О компонентном анализе бинарных систем по ослаблению γ -излучения	1373
С. Сытилин. Прибор для графического дифференцирования при помощи круга для ускорения обработки кинетических кривых	1377

Дискуссия

Б. Здановский. Об аддитивности логарифмов вязкости жидких смесей	1380
Я. Дейч. Еще раз об изучении жидких систем по отклонению логарифма вязкости от аддитивности	1382

Письма в редакцию

К. Семенченко. О связи между термодинамической устойчивостью системы и кинетикой идущих в ней процессов	1384
---	------

ВЫПУСК 7

П. Бабин, В. Г. Плюснин, М. И. Насакина и Н. М. Родигин. Закономерности замещения атомов водорода в бензольном ядре алкильными группами. X	1389
И. Грибова, С. А. Каменецкая, А. В. Панкратов, А. Я. Апин и С. Я. Пшежецкий. Критический диаметр и скорость детонации жидких растворов озона	1395
М. Рыжков и А. М. Сухотин. Электрохимическое исследование растворов HCl в растворителях с невысокой диэлектрической проницаемостью. II	1402
В. Сторонкин и А. И. Русанов. Термодинамическая теория критических явлений в трехкомпонентных системах. V	1407
Г. Эльдаров. Теплопроводность неводных растворов солей. II	1414
Р. Кричевский и Г. А. Сорина. Фазовые равновесия жидкость — газ в системах циклогексан — двуокись углерода и циклогексан — закись азота	1420

Ан. Н. Несмеянов, Н. Э. Хандомирова, В. Д. Виленский, Е. А. Бирин и Е. А. Борисов. О влиянии окисных пленок на скорость испарения	1425
М. А. Лошкарев и Е. И. Дубяго. Кинетика катодного выделения висмута. I	1430
Н. И. Кобозев. О механизме катализа. III	1443
Л. А. Нисельсон. О классификации процессов разделения	1460
Л. А. Ларин и Э. А. Иофа. Исследование механизма усиленной коррозии железа у трехфазной границы	1471
М. И. Шахпаронов. К теории растворов. X	1478
А. Д. Степухович и Ю. П. Наумов. Кинетика и механизм крекинга парафиновых углеводородов	1488
В. Н. Еременко. Термодинамические свойства компонентов в жидких растворах системы алюминий — цинк	1495
В. П. Скрипов и В. М. Костин. Теплоемкость расслаивающихся растворов триэтилмина в легкой и тяжелой воде	1503
И. А. Багодская, Л. Д. Ковба и А. И. Оше. Исследование влияния диффундирующего атомарного водорода на кинетику электрохимического выделения его	1508
Х. С. Багдасарьян. К вопросу об относительной реакционности радикалов	1517
Б. В. Страхов, В. П. Егоров, В. П. Лебедев и Н. И. Кобозев. Физико-химия концентрированного озона. IX	1524
И. М. Колесников. Вывод уравнения кинетики реакции гидрирования бензола водородом в присутствии палладиевых катализаторов	1528
Б. Ф. Марков и Н. Х. Туманова. Исследование превращения гидратных форм солей в растворе методом электропроводности	1534
Н. А. Измайлов и Т. В. Можарова. Термодинамические свойства электролитов в неводных растворах. X	1543
Н. В. Мохов и Н. В. Кирш. Рентгенографическое исследование изменений размеров флуктуаций концентрации в системе сероуглерод — метиловый спирт в зависимости от температуры	1553
Н. Л. Ярым-Агаев. Термодинамические свойства смесей расплавленных солей. I	1556
Н. П. Гнусин. Теория моделирования электрических полей в электролитах	1563
Н. С. Ениколопан и И. М. Бельговский. О каталитическом окислении метана и метилового спирта	1571
З. С. Друтман. Физико-химический анализ систем, образованных спиртами с органическими кислотами. III	1581
П. В. Гельд и А. К. Красовская. Механизм сульфидной коррозии железа. I	1585
А. Ю. Намиот. О растворимости газов в воде под давлением	1593
О. К. Скарре, М. О. Герешкевич и Т. С. Шелехова. Изучение влияния природы катиона на подвижность атомов кислорода в анионе в водных растворах. I	1599
М. М. Кусаков и Д. Н. Некрасов. Капиллярный гистерезис при подъеме жидкости в капиллярах переменного сечения	1602
А. А. Дьяков и Т. И. Костюсова. Исследование зависимости перенапряжения водорода на алюминии от состояния его поверхности и концентрации кислоты	1610
О. К. Кудра и Н. В. Гудович. Изучение катодной поляризации в свинцовых пирофосфатных растворах	1616
В. В. Обухов-Денисов, Т. А. Сидоров, Ф. З. Файзулов и В. П. Черемисинов. Колебательный спектр стеклообразного бериллия	1622
А. М. Шкодин. Кислотно-основные равновесия в безводной уксусной кислоте. II	1625

Методы и техника физико-химического исследования

С. П. Детков. К прямому методу определения давления пара	1634
М. П. Белячиков, Ю. В. Плесков и В. Г. Поминов. Установка с вращающимся дисковым электродом	1638

Дискуссия

А. В. Сторонкин. По поводу статьи Д. С. Коржинского «Экстремальные состояния в системах с вполне подвижными компонентами»	1643
Д. С. Коржинский. Дополнительные замечания об экстремальных состояниях (ответ А. В. Сторонкину)	1645

Письма в редакцию

Х. Карапетянц и Янь Госенъ. О приближенном расчете свойств веществ, отличающихся по изотопному составу	1647
К. Семенченко. О физической природе фазовых переходов II рода	1649
Г. Энтелис, В. Я. Шляпнито, О. Н. Карпухин и О. В. Нестеров. Хемилюминесценция в реакциях хлорангидридов кислот с аминами и кетонами	1651
А. Исприкий. Автопрессование сажи и кажущийся сорбционный гистерезис	1652
П. Гохштейн и А. Я. Гохтейн. Осциллографическая полярграфия. Уравнение нисходящей ветви полярграфической волны и его приложения	1654

ВЫПУСК 8

В. Соловьев и А. Н. Баратов. Зависимость нижних концентрационных пределов воспламенения газозооных смесей от молекулярной структуры горючего компонента	1661
П. Бабин, В. Г. Плюсин, М. И. Насакина и Н. М. Роди- гин. Закономерности замещения атомов водорода в бензольном ядре алкильными группами. XI	1671
В. Сторонкин и А. И. Рusanов. Термодинамическая теория критических явлений в трехкомпонентных системах. VI	1677
Г. Стромберг и А. И. Картушинская. Полярграфическое изучение неорганических окислительно-восстановительных систем. I	1684
В. Гурвич. Определение теплот сублимации металлов на основании измерений аномальной дисперсии методом Рождественского	1691
Н. Несмеянов, Л. П. Фирсова и Е. П. Исакова. Измерение давления насыщенного пара твердой окиси свинца методом потока Р. Кричевский, Н. Е. Хазанова и Л. П. Смирнов. Кинетические явления в системе гексаметиленмин — вода. IV	1702
В. Страхов, В. П. Лебедев и Н. И. Кобозев. Физико-химия концентрированного озона. X	1706
А. Измайлов и Т. В. Можарова. Термодинамические свойства электролитов в неводных растворах. XI	1709
П. Гнусин. Экспериментальная проверка условия моделирования электрических полей в электролитах	1717
В. Гельд и А. К. Красовская. Механизм сульфидной коррозии железа. II	1721
М. Данчевская и Н. И. Кобозев. Катализ парами металлов. I	1728
И. Шахпаров, X. А. Баламутова, С. Л. Лельчук, Е. П. Михеев, Л. В. Шутова, Л. Ф. Глушкова и М. Е. Мартынова. Исследование давления и плотности пара в системах, содержащих кремнийорганические соединения. I	1734
П. Попков, Н. Л. Климасенко и А. Т. Ваграмян. Поляризация при электроосаждении никеля, кобальта и железа на твердом и жидком катоде	1741
П. Добычин и Ц. М. Клибанова. Модельное изучение регенерации алюмосиликатных катализаторов крекинга. III	1745
А. Лошкарев и Б. И. Томилов. Исследование кинетики электрохимических окислительно-восстановительных реакций. I	1753
П. Васильев, Е. К. Золотарев, А. Ф. Капустинский, К. П. Мищенко, Е. А. Подгорная и К. Б. Яцимирский. Наиболее вероятные значения химических теплот, энергий и энтропий гидратации отдельных ионов при бесконечном разбавлении и 25° С	1763
О. Пилюк, А. М. Евсеев и Я. И. Герасимов. Термодинамические свойства сплавов системы хром — тантал	1768
М. Флид. Кинетика и механизм каталитических превращений ацетилена	1773
Б. Наринский. Термодинамическая обработка опытных данных по равновесию жидкость — пар в системе кислород — аргон	1778
Е. Хомутов. О параметре α -кинетических уравнений реакции электролитического выделения водорода и других электродных реакций	1788
П. Машовец и В. Г. Комичев. Исследование цилиндрического и шарового биполярных электродов	1795
А. Петров и Б. А. Колчаев. Исследование очистки вещества от двух примесей методами, основанными на различии состава фаз при кристаллизации	1802
А. Васильева, Я. И. Герасимов и Ю. П. Симанов. Термодинамическое исследование реакции восстановления трехокси вольфрама WO ₃ (α) водородом	1811

Р. И. Артым. К вычислению термодинамических функций идеальных газов по спектроскопическим данным	1810
Н. А. Фигуровский, Т. А. Комарова и Ю. И. Романьков. Влияние температуры на кристаллизацию солей калия из растворов	1820
В. Н. Кострюков и Г. Х. Морозова. Термодинамические исследования при низких температурах. X	1830
А. М. Трофимов и Л. Н. Степанова. Радиохимическое исследование обмена ионов на набухающих полимерах	1830
Е. М. Шусторович и М. Е. Дяткина. Некоторые молекулярные интегралы с участием $3d$ —, $4s$ — и $4p$ — орбит. II	1840
А. М. Евсеев. Радиальная функция распределения атомов в жидкости.	1840
В. И. Рыков. О температурной зависимости теплоты испарения неассоциированной жидкости	1850
В. Г. Манжелый. Исследование явления диффузии в некоторых органических жидкостях с большим молярным объемом	1850
В. Я. Леонидов, Т. Н. Резухина и А. И. Березникова. Теплоемкость уранатов (VI) кальция и бария при высоких температурах.	1860
Н. Е. Брежнева, С. Н. Озиранер и В. Н. Розанова. Адсорбция катионов осадком оксиацетата железа	1860

Методы и техника физико-химического исследования

Д. И. Лейкис и Л. Л. Кноц. О возможности обнаружения концентрированной поляризации путем измерения импеданса электрода	1872
В. А. Бакаев. Калориметр с устанавливающимся тепловым потоком и автоматический компенсатор	1875

Дискуссия

А. П. Торопов и Г. А. Бродская. О величинах A и E , входящих в уточненную формулу для расчета вязкости жидкостей Г. М. Панченкова.	1879
Г. М. Панченков. Остатке А. П. Торопова и Г. А. Бродской. «Об уточненной ф-ле расчета вязкости жидкостей Г. М. Панченкова»	1883

Письма в редакцию

Лю-Шоу-жун, Г. М. Будов и С. И. Жданов. К вопросу о порядке ионов лантана на ртутном катоде	1885
---	------

Хроника

А. В. Памфилов, К. Г. Хомяков и Н. И. Кобозев. Евгений Иванович Шпитальский	1887
---	------

ВЫПУСК 9

Н. И. Кобозев, Н. Е. Еремин, М. Г. Терехова и А. Н. Мальцев. Физико-химия концентрированного озона. IX	1893
А. Н. Мосевич, В. И. Никольский, В. И. Парамонова и Е. Л. Мордберг. Изучение адсорбции ионов на платинированном угле путем смены газовой атмосферы	1900
Ан. Н. Несмеянов и Л. П. Фирсова. Определение давления пара, равновесного с твердой двуокисью кремния	1907
Н. П. Гнусин, Н. И. Никонович и В. А. Галаганов. Экспериментальная проверка правильности вида критериальных уравнений электрических полей в электролитах	1911
Э. А. Баламутова, М. И. Шахпаронов, С. Л. Дельчук, Л. Ф. Глушкова. Исследование давления и плотности пара в системах, содержащих кремнийорганические соединения. II	1916
П. Р. Кричевский, Н. Е. Хазанова и Л. Р. Линиш. Критические явления в системе гексаметиленмин — вода. V	1920
А. В. Сторонкин и М. М. Шульц. Некоторые вопросы термодинамики многокомпонентных гетерогенных систем. II	1928
И. А. Роговая и М. Г. Каганер. Установка для определения сжимаемости газов при давлениях до 200 атм и температурах от 0 до 200° С	1933
Н. П. Суворов. Уравнение состояния для воды	1938
А. Г. Стромберг и В. Д. Богословский. Полярографическое изучение органических окислительно-восстановительных систем	1947
О. Г. Дерягина, Е. Н. Палеолог и Н. Д. Томашов. Электрохимическое и коррозионное поведение полупроводников в растворах электролитов. III	1952

3. Д. Моисеев и М. Б. Нейман. Оценка концентрации атомарного водорода и длины цепи при термическом разложении ацетальдегида.	1960
1. Л. Макаров и К. К. Евстропьев. Термодинамическое исследование системы $KBr - KJ - H_2O$ при $25^\circ C$	1967
И. Б. Рабинович, В. И. Мурзин и Л. С. Жилкин. Изотопный эффект в вязкости дейтероглицерина и этилендейтерогликоля	1973
Г. А. Тетерин и О. А. Еспн. Одновременное определение диффузии, переноса и подвижности ионов в расплавленных силикатах кобальта	1976
3. Б. Миллер, П. И. Левин, Г. П. Конарева, М. Б. Нейман и Н. С. Ениколопан. Применение кинетического изотопного метода для исследования окисления метана в присутствии нитрометана	1980
1. Д. Соколова и В. А. Соколов. Поверхностное натяжение расплавленных солей. I	1987
3. Н. Вигдорович и А. Н. Крестовников. Об относительном расположении линий фазовых равновесий на диаграммах состояния двухкомпонентных систем	1991
И. Ф. Волькенштейн и Ш. М. Коган. Понятие «квазиизолированной» поверхности в теории хемосорбции	1996
М. Г. Каганер. Исследование разделения смеси азот — гелий диффузией через пористые перегородки	2005
3. И. Рыков. О скрытой теплоте парообразования неассоциированной жидкости	2013
М. М. Дубинин, М. М. Вишнякова, Е. Г. Жуковская, Е. А. Леонтьев, В. М. Лукьянович и А. И. Сарахов. Исследование пористой структуры твердых тел сорбционными методами. V	2019
А. А. Баладин, А. И. Кукина и Э. А. Малахова. Каталитическое разложение ди- <i>n</i> -бутилсульфида на α -Fe	2030
Ижан Чжи-бин, В. И. Кравцов и Я. В. Дурдин. Кинетика электродных процессов, протекающих на твердых электродах. I	2041
Р. Н. Нурмухаметов, Д. Н. Шигорин и Н. С. Докунин. Лионизация растворов тионидо при низких температурах	2055
Р. Д. Шаповалова, Н. П. Михайлова и Я. И. Герасимов. Некоторые физические свойства вольфрамов. I	2060
А. В. Командин, Р. Д. Шаповалова и Н. П. Михайлова. Некоторые физические свойства вольфрамов. II	2063
В. И. Цветкова, А. П. Фирсов и Н. М. Чирков. Определение истинных констант скоростей распада понов алкоксония при взаимодействии алифатических спиртов с хлористым водородом	2066
Э. И. Левитина. Изучение процесса пассивирования цинка в хромовокислых растворах	2075
Г. А. Игнатьева и К. И. Филиппова. Изучение α - и β -сподуменов методом инфракрасной спектроскопии	2082
М. А. Герович, Р. И. Каганович и В. В. Соболев. Адсорбция понов на монослоях. IV	2091
Г. И. Богуславский и Б. Б. Дамаскин. Определение точек нулевого заряда на амальгаме таллия методом измерения дифференциальной емкости	2099
В. С. Сотников и А. С. Балановский. Адсорбция понов некоторых металлов при травлении и промывке кремния	2110

Методы и техника физико-химического исследования

А. Т. Санжаровский. К методике исследований внутренних напряжений в гальванических покрытиях	2115
--	------

Письма в редакцию

В. Я. Аносов. Два замечания к книге В. Я. Аносова «Геометрия химических диаграмм двойных систем»	2119
И. М. Щербаков и Н. Н. Рязанцев. К вопросу о краевом угле малых капель	2120
К. И. Матвеев, О. В. Уваров и Н. М. Жаворонков. Коэффициенты разделения изотонов хлора при равновесном испарении Cl_2	2123
А. М. Колчин, В. Ф. Малахов и Г. М. Панченко. Изотопный масс-спектрометрический анализ бора методом термояонной эмиссии	2124
М. А. Проскурина и В. А. Шарпатый. О промежуточных продуктах радиолитиза воды	2126
Ф. А. Кузнецов, Т. П. Резухина и А. П. Голубенко. Определение теплоты образования Ce_2O_3 методом сжигания в калориметрической бомбе	2129

Хроника

- И. С. Галингер, С. С. Уразовский, П. П. Будников, Л. И. Каданер и А. И. Горбанев. (Андрей Никитич Сысоев). 2130

ВЫПУСК 10

- А. Гудо. Комплексные органометаллические модели каталазы 2137
- А. П. Карнаухов и А. В. Киселев. К теории корпускулярной структуры адсорбентов. II 2146
- Э. А. Баламутова, М. И. Шахпаронов, А. Л. Томов, Е. П. Михеев, М. Е. Мартынова и Л. Ф. Глушкова. Исследование давления и плотности пара в системах, содержащих кремнийорганические соединения. III 2156
- И. Р. Кричевский, Н. Е. Хазанова и Г. М. Светлова, Р. С. Панина. Общее давление пара над растворами триэтиламин — вода в критической области 2160
- А. В. Сторонкин и М. М. Шульд. Некоторые вопросы термодинамики многокомпонентных гетерогенных систем. III 2167
- С. С. Васильев. Кинетический анализ ценных реакций. IV 2174
- В. В. Болдырев, А. В. Сафулина, А. В. Болдырева и Б. И. Трескова. Об анизотропии скорости термического разложения твердых веществ. II 2184
- Ф. Ф. Чешко, В. В. Бочарова, Л. К. Бидыло, О. И. Шевченко и В. И. Науменко. Физико-химические исследования чувствительности бензольного кольца к поляризующим воздействиям среды (растворители и силовое поле) I 2190
- Г. К. Юрченко и Г. А. Богданов. Определение тепловых эффектов разложения пермолибата стронция 2198
- И. Б. Рабинович, А. А. Лобашев и В. И. Кучерявый. Отрицательный изотопный эффект в вязкости дейтеросоединений 2202
- В. И. Кравцов, Чжан Чжи-бин. Кинетика электродных процессов, протекающих на твердых электродах. II 2205
- Г. М. Панченков, А. С. Казанская и В. А. Печейкин. Об обменной способности алюмосиликатных катализаторов крекинга 2217
- Э. В. Матизен и Н. В. Кускова. Теплоты смещения системы триэтиламин — вода 2223
- Н. И. Гальперин и Н. Н. Зеленецкий. Равновесие жидкость — пар для смесей дифенилоксидэтилсалицилатиментол — ментон при повышенных давлениях 2230
- А. Г. Мержанов и Р. И. Дубовицкий. Квазистационарная теория теплового взрыва самоускоряющихся реакций 2234
- Д. М. Шуб, Г. С. Тюриков и В. И. Веселовский. Фото и радиационно-химическое разложение перекиси водорода в присутствии окиси железа 2245
- В. А. Пазухин, Э. В. Лукашенко. О применимости уравнения Давия для расчета скорости вакуумной дистилляции сплавов 2254
- В. И. Ермаков. Замечания относительно кривых: высокочастотная электропроводность — состав растворов 2258
- К. Б. Яцимирский и Г. А. Крестов. Энтропия кристаллической решетки соединений, образованных одноатомными ионами со структурой инертного газа 2263
- Н. Д. Томашов и Р. М. Альтовский. Исследование механизма электрохимической коррозии титана. II 2268
- А. В. Воронов. Особые термодинамические точки обратимых химических реакций 2275
- З. А. Ализаде. Об оксисо-енольной таутомерии 2284
- И. Б. Рабинович и П. Н. Николаев. Изотопный эффект в термодинамических свойствах жидких смесей 2289
- П. П. Шорыгин и З. Б. Алауне. Оптические исследования взаимного влияния атомных групп в молекулах органических соединений 2299
- Я. П. Гохштейн, Л. А. Генкина и А. М. Демкин. Кинетика катодной и анодной поляризации для растворов ниобия в различных средах 2308
- А. Д. Степуховичи Л. В. Деревенских. О составе продуктов и механизме термического распада этана 2315
- Р. Р. Догонадзе, В. Г. Левич, Ю. А. Чизмаджев. Теория электрохимической защиты. II 2320
- Е. И. Смагина, В. С. Куцев и Б. Ф. Ормонт. Исследование равновесия в системе $Zr-N$ при высоких температурах 2328
- А. Л. Ротинян и Молоткова. Катодная поляризация при образовании сплава железо — кобальт. Метод поляризационных кривых 2336

Б. А. Арбузов и М. К. Сафкина. Изучение реакции изометризации эфиров алкиларсиновых кислот термографическим методом	2344
А. Г. Морачевский, Н. П. Леонтьев. Равновесие жидкость — пар в тройной системе ацетон — хлороформ — этиловый спирт	2347
Ю. М. Голутвин и Т. М. Козловская. О теплотах образования силицидов ванадия	2350

Методы и техника физико-химического исследования

П. Фейш и Ю. Энгельгарт. Новый метод количественного расчета хроматографических пиков с учетом поправок на теплопроводность	2362
О. С. Ксенжек. Метод определения поляризационных характеристик электродов	2363
Э. Э. Финкель. Измерение радиоактивности паров бензина и бензола, меченных тритием или углеродом-14.	2365

Дискуссия

Л. В. Дубнов. К вопросу о потерях в детонационной волне	2367
---	------

Письма в редакцию

В. Ф. Орешко. Защитное действие воды при радиоллизе крахмала	2369
Г. М. Панченков, Е. М. Кузнецова, Р. С. Филиппова и В. Ф. Малахов. О новом способе разделения изотопов бора	2370
В. С. Гурман, Е. И. Яковенко и В. И. Паписова. Влияние фазовых переходов в матрице на гибель радикалов, образующихся при фотоллизе замороженного 25%-ного раствора H_2O_2 в воде	2372
Г. М. Панченков, А. С. Казанская, С. П. Петросян. Об устойчивости H-формы алюмосиликатного катализатора	2373
П. А. Кирков. Влияние воды на дифференциальную емкость двойного слоя в бутиловом спирте	2375

Хроника

М. С. Тунина и Р. И. Касимова. Совещание по критическим явлениям и флуктуациям в растворах	2378
И. А. Христиансен. Сводка физико-химических обозначений и терминов	2381

ВЫПУСК 11

В. В. Ястребов. К вопросу об эквивалентной электрической схеме озонатора	2393
Л. С. Палатник, Г. Р. Виногоров и М. Б. Каган. Исследование многокомпонентных гетерогенных жидких систем методом замера масс фаз. II.	2396
М. А. Мостославский. К вопросу о механизме фотохимической изомеризации органических соединений, содержащих одну этиленовую связь	2405
И. В. Крылова, В. А. Огарев и Н. И. Кобозев. Влияние электронных свойств носителя на фоточувствительность платиновых катализаторов	2408
Н. А. Измайлов. Подсчет химических энергий сольватации и гидратации ионов из величин электродвижущих сил цепей с переносом и без переноса	2414
П. Ф. Андреев, Э. М. Рогозина и Ю. М. Рогозин. Экстракция урана из горной породы под влиянием ультразвука	2429
С. Д. Громаков. Методы расчета свойств поликомпонентных систем любой мерности по данным для двойных систем. I.	2431
К. Б. Яцимирский, Г. А. Крестов. Энтропия решетки соединений с многоатомными ионами	2448
М. Я. Васильев, Д. Б. Балашов и Л. Н. Мокроусов. Исследование изотермической сжимаемости взрывчатых веществ при давлениях до 22000 кг/см^2	2454
П. В. Алексеев и А. М. Евсеев. Исследование термодинамических свойств системы	2460
А. Н. Квятковский, О. А. Есин и М. А. Абдеев. Определение изобразного потенциала реакции прямого восстановления жидкой окиси свинца	2463
Ф. А. Кузнецов, Т. Н. Резухина. Теплоемкость двуокиси церия при высоких температурах	2467
Д. В. Кокоулина и Б. Н. Кабанов. Образование одновалентного магния и пассивация магниевых анодов	2469

В. Н. Шубин и П. И. Долин. Окислительные св-ва атомарного водорода при радиационном окислении ионов двухвалентного железа	2480
Г. М. Панченков, А. В. Макаров и Печалин. Разделение изотопов бора методом химического обмена. II. Комплексное соединение трехфтористого бора с β , β' -дихлордиэтиловым эфиром (хлорексом)	2489
А. П. Ратнер и Л. Л. Макаров. Термодинамическое исследование системы $KCl - RbCl - H_2O$ при $250^\circ C$	2495
А. Я. Темкин. О механизме радиализа твердой щавелевой кислоты	2503
В. В. Пономарев и Л. Б. Мигарская. Теплоты горения некоторых аминокислот	2503
Г. Г. Девярых и Н. Х. Аглиулов. Влияние скорости отбора дистиллята на разделительную способность пленочных ректификационных колонн	2509
С. А. Брусенцева и П. И. Долин. Радиационное окисление ионов Fe^{2+} в растворах, содержащих KBr	2513
И. Д. Иванов. Полюрографический максимум на волне кобальта (II) в системе кобальт — 8-гидроксихинолин	2517
Г. Н. Трусов и Н. А. Аладжалова. Палладиевый катод (Выделение, обмен и разделение изотопов водорода). I. Выделение водорода на диффузионном катоде	2521
В. И. Горшков, А. А. Шабанов и Г. М. Панченков. Электрохроматографическое разделение на катионите	2530
И. Г. Мургулеску и Д. И. Маркидан. Определение термодинамической активности в бипарных системах расплавленных солей из электродвижущих сил концентрационных цепей	2534
Д. А. Бочвар, И. В. Станкевич и А. П. Чистяков. Об энергиях сопряжения фенилциклопропенилкатиона и дифенилциклопропенил-катиона	2543
Н. А. Смирнова и А. Г. Морачевский. Равновесие жидкость — пар и взаимная растворимость компонентов в системе пропилацетат — вода	2546
Г. А. Хачкурузов, И. С. Милевская. К вычислению термодинамических функций многоатомных газов с нежесткими молекулами. I. Общая теория	2554
А. Н. Дремин и П. Ф. Похил. Исследование зоны химической реакции тротила	2561
В. В. Остроумов. Изменение некоторых оптических свойств палладия под влиянием водорода	2571
А. М. Евсеев и Г. Ф. Воронин. Ячеечно-групповая теория растворов	2579
М. В. Ветюков, И. А. Семерикова и А. Н. Новиков. Вязкость некоторых расплавов системы	2583
В. П. Машовец и В. Г. Фомичев. О распределении тока в электрохимических системах с биполярным электродом	2587
Ш. Д. Заалишвили и Л. Э. Колыско. Второй виртуальный коэффициент паров и их смесей. I.	2596

Методы и техника физико-химического исследования

А. Т. Санжаровский и О. С. Попова. К методике исследования диффузии катодновосстановленного водорода через металлы	2601
Г. М. Дугачева и А. Г. Аникин. Определение чистоты низкоплавких органических соединений в количестве сотых долей грамма	2603
П. П. Пугачевич и В. Б. Лазарев. Установка для измерения поверхностного натяжения расплавов при высоких температурах	2607

Письма в редакцию

И. С. Галингер, М. Л. Гавриш. Растворимость гидратов окисей щелочноземельных металлов при высоких температурах	2610
Г. А. Корсуновский. Изменение электропроводности окиси кадмия и двуокиси олова под действием освещения и влияния кислорода и воды на этот процесс	2613
Л. П. Фирсова и Ан. Н. Несмеянов. Степени диссоциации и парциальные давления пара окислов лития, бериллия, бора, кремния и свинца	2615
Ю. И. Печерская и В. Б. Казанский. Изучение термического разложения хромового ангидрида на окиси алюминия методом электронного парамагнитного резонанса	2617

Хроника

В. П. Вендилло. Первая Всесоюзная конференция по озону	2619
--	------

ВЫПУСК 12

Николай Семенович Курнаков (К столетию со дня рождения)	2625
Я. И. Коган и З. А. Бурнашева. Укрупнение и измерение ядер конденсации в непрерывном потоке	2630
Д. П. Пошкус и А. В. Киселев. Энергия дисперсионного взаимодействия бензола и <i>n</i> -гексана с поверхностью гидроксидов магния	2640
Д. П. Пошкус и А. В. Киселев. Электростатическое поле над базисной гранью гидроксидов магния и взаимодействие с ним молекул бензола и <i>n</i> -гексана	2646
И. А. Гершкович и Я. И. Турьян. Кислородное перенапряжение на кобальтовом аноде	2654
С. П. Мискиджян. Электролитическая диссоциация в неводных системах. XII. Системы, образованные из аллилового горчичного масла и первичных алифатических аминов	2661
Б. П. Никольский, В. И. Парамонова и А. М. Мосевич. Определение константы обмена некоторых катионов на активированном платинированном угле в атмосфере водорода	2664
М. И. Винник и Н. Г. Зарахан. Кинетика гидролиза оксидациклогексанона в средах соляной и серной кислот	2671
И. В. Боровков. Электрохимическое поведение германия	2678
И. В. Калечиц и Инъ Юань-генъ. Кинетика гидрирования олефинов на кобальт-омолибденовом катализаторе	2687
Н. А. Нечитайло, А. В. Топчиев, Л. М. Розенберг и Е. М. Терентьев. Исследование систем <i>n</i> -парафиновых углеводородов	2694
М. Г. Журавлева, В. Н. Богословский и Г. И. Чухаров. Влияние добавок углекислых калия и натрия на восстановление оксидов и ферритов никеля и кобальта графитом	2704
В. Л. Тальрозе, Е. Л. Франкевич. Импульсный метод определения констант скоростей элементарных иономолекулярных процессов	2709
Л. П. Фирсова и Ан. Н. Несмеянов. Определение коэффициентов конденсации оксидов лития, бериллия, бора, кремния и свинца	2719
Т. Сумарокова, И. Литвяк и Т. Валежанина. Криоскопическое исследование систем	2723
Г. Сумарокова, Г. Медведева и И. Литвяк. О криоскопическом исследовании реакций комплексообразования	2727
З. А. Синицына и Х. С. Багдасарьян. Ингибирующий эффект и строение ингибиторов. Часть IV. Ингибированная полимеризация акрилонитрила	2736
М. Г. Глузман и В. П. Рубцова. Исследование эвтектического плавления систем, состоящих из органических солей и кислот	2742
А. М. Сухотина и Е. М. Рыжков. Об ассоциации ионов в растворах. VI. Растворы в смесях бутанола с гексаном	2748
Е. А. Матерова и В. С. Алагова. Исследование электродных свойств анионитовых мембран	2752
А. Корчинский. Электрокапиллярные кривые на ртути этаноловых растворов хлористого водорода и йодистого натрия	2759
Л. Г. Антонова, Т. Г. Фильченкова, Ф. П. Ивановский и А. Н. Красильников. Адсорбционные явления в системе водород — углекислота — окись углерода — водяной пар. II	2766
О. П. Симанов. Новые данные о вторичной структуре у порошков веществ, кристаллизующихся по типу сфалерита (алмаза)	2772
Н. И. Медведева, Н. В. Нейман, Е. С. Торсуева и И. П. Кравчук. Кинетический метод применения меченых атомов для исследования сложных химических и биохимических процессов. IX. Исследование скоростей образования и расходования этилена при крекинге пропана	2780
В. А. Гейдериш, А. А. Вечер и Я. И. Герасимов. Исследование термодинамических свойств двойных металлических систем методом э. д. с. VI. Система железо — сурьма в твердом состоянии	2789
О. А. Апельбаум, Ю. И. Булатникова и М. И. Темкин. Радиохимическое изучение управления серой кобальтового катализатора окисления аммиака	2795
Е. А. Ефимов и И. Г. Ерусалимчик. Выделение водорода на германиевом катоде	2804
Г. В. Сакович. Температурная зависимость скорости взаимных переходов моноклининой и кубической модификации четыреххлористого углерода	2808
В. Н. Никулин и М. З. Цыпин. Электродные потенциалы монокристалла серебра	2814
А. А. Истрикян и А. В. Киселев. Теплота адсорбции углеводородов на окиси магния	2817
П. М. Бугай. Влияние различных растворителей на характер спектров поглощения дифениламина и его некоторых производных	2825

- В. Б. Коган. Метод проверки данных о равновесии между жидкостью и паром в тройных системах с нелетучим компонентом. III. 2834

Методы и техника физико-химического исследования

- И. В. Ермаков. Универсальный прибор для высокочастотного физико-химического анализа и титрования р-ров 2838

Дискуссия

- Ю. И. Емельянов и Ю. В. Филиппов. Об эквивалентной электрической схеме озонаторов 2841

Письма в редакцию

- С. Ш. Бык и Р. П. Кирсанова. Разделение углеводородных газовых смесей методом диффузии через непористые органические мембраны . . . 2844
 Е. Ф. Ямщиков. Исправление показателя преломления нормального пентана. 2845
 М. П. Мохнаткин. О кривизне фазовых линий в тройной точке 2846

Хроника

- С. И. Дракин, А. А. Кудрявцев, Н. М. Селиванова.
 А. Ф. Капустинский. Некролог 2848
 Содержание тома XXXIV 2851
 Авторский указатель к XXXIV тому 2869
 Предметный указатель к XXXIV тому 2881

АВТОРСКИЙ УКАЗАТЕЛЬ К XXXIV тому за 1960 г.

- Абдеев М. А., см. Квятковский А. Н.
 Абулгуль В. Т., Батруков В. С., Чмутов К. В.
 Новая модель хроматографического коллектора. 460.
 Авруцкая И. А., Хомяков В. Г., Фиошин М. Я. Восстановление нитродиклогексана на капельном ртутном катоде. (Письмо в редакцию). 691.
 Аглиулов Н. Х., см. Девярых Г. Г.
 Аксельруд Г. А. Теория диффузионного извлечения веществ из пористых тел. II. Кинетика извлечения из полидисперсной смеси пористых частиц. 86.
 — Теория диффузионного извлечения веществ из пористых тел. III. Кинетическая неравноценность пор. 278.
 Алагова З. С., см. Матерова Е. А.
 Аладжалова Н. А., см. Трусов Г. Н.
 Алапина А. В., см. Капустинский А. Ф.
 Алауне З. Б., см. Шорыгин П. П.
 Александрова Л. П., см. Удовенко В. В.
 Алексеев Н. В., Евсеев А. М. Исследование термодинамических свойств системы $\text{Cd} - \text{Sn}$. 2460.
 Алексеева Г. А., см. Алексеева И. А.
 Алексеева И. А., Плюснин В. Г., Бабин Е. П., Алексеева Г. А. Закономерности замещения атомов водорода в бензольном ядре алкильными группами. VIII. К вопросу об ориентации алкильных групп при каталитическом алкилировании бензола с кислотными катализаторами. 726.
 Алексеевский Н. Е., Дубровин А. В., Карстенс Г. Э. Применение масс-спектрометров с неоднородным магнитным полем для газового анализа. Реакционная способность углерод-водородных связей n -гептана. 1275.
 Ализаде З. А. Об окисно-енольной таутомерии. 2284.
 Аликберов С. С., Шкловер Л. П., Сыроматникова А. С., Шербакова Т. М. Взаимная растворимость в системе тетрагидрид кремния — ацетонитрил. 935.
 Алиханов П. П., см. Юргина Е. Н.
 Альтовский Р. М., см. Томашов Н. Д.
 Амбруш Т. И., см. Шорыгин П. П.
 Андреев П. Ф., Рогозина Э. М., Рогозин Ю. М. Экстракция урана из горной породы под влиянием ультразвука. 2429.
 Андреев Е. Е., см. Барони Е. Е.
 Аникин А. Г., см. Дугачева Г. М.
 Аносов В. Я. Два замечания к книге В. Я. Аносова «Геометрия химических диаграмм двойных систем». (Письмо в редакцию). 2119.
 Аносов В. Я. и другие. Крестовиков А. Н. (К 60-летию со дня рождения). 482.
 Антонова Л. Г., Фильченкова Т. Г., Ивановский Ф. П., Красильщиков А. Н. Адсорбционные явления в системе водород—углекислота—окись углерода—водяной пар. II. 2766.
 Антоновский В. Л., Березин И. В. Применение трития для определения относительных констант скоростей отрыва атомов водорода органических соединений. 1286.
 Апельбаум О. А., Булатникова Ю. И., Темкин М. И. Радиохимическое изучение отравления серой кобальтового катализатора окисления аммиака. 2795.
 Апин А. Я., см. Грибова Е. И.
 Арбузов Б. А., Сайкина М. К. Изучение реакции изомеризации эфиров алкиларсиновых кислот термографическим методом. 2344.
 Артым Р. И. К вычислению термодинамических функций идеальных газов по спектроскопическим данным. 1816.
 Астахов К. В. Рецензия на книгу Ульриха Шиндевольфа «Физическая ядерная химия», 480.
 Бабин Е. П., Плюснин В. Г., Насакина М. И., Родигин Н. М. Закономерности замещения атомов водорода в бензольном ядре алкильными группами. X. Соотношение между константами скорости образования изопропилбензолов и уравнения состава продуктов алкилирования изопропилбензола пропиленом в присутствии хлористого алюминия. 1389.
 —, Плюснин В. Г., Насакина М. И., Родигин Н. М. Закономерности замещения атомов водорода в бензольном ядре алкильными группами. XI. Соотношение между константами скорости образования изопропилбензолов и уравнения состава продуктов алкилирования диизопропилбензола пропиленом в присутствии хлористого алюминия. 1671.
 —, см. Алексеева И. А.
 —, см. Плюснин В. Г.
 —, см. Родигин Н. М.
 Багдасарьян Х. С. К вопросу об относительной реакционной радикалов. 1517.
 —, Милотинская Р. И. Новый метод исследования радиальной реакционнойosti органических соединений. 234.
 —, см. Милотинская Р. И.
 —, см. Сяницына З. А.
 Багоцкая И. А., Ковба Л. Д., Оше А. И. Исследование влияния диффундирующего атомарного водорода на кинетику электрохимического выделения его. 1508.

- Бакаев В. А. Калориметр с устанавливающимся тепловым потоком и автоматический компенсатор. 1875.
- Баламутова Э. А., Шахпаровов М. И., Лельчук С. Л., Ломов А. Л., Малькова Г. Н., Мартынова М. Е., Глушкова Л. Ф. Исследование давления и плотности пара в системах, содержащих кремнийорганические соединения. II. Системы метилдихлорсилан — метилтрихлорсилан — метилдихлорфенилдихлорсилан и метилфенилдихлорсилан — метилхлорфенилдихлорсилан — метилдихлорфенилдихлорсилан. 1916.
- , —, —, Михеев Е. П., Мартынов М. Е., Глушкова Л. Ф. Исследование давления и плотности пара в системах, содержащих кремнийорганические соединения. III. Системы диметилхлорсилан — метилхлорметилдихлорсилан — метилдихлорметилдихлорсилан и триметилхлорсилан — диметилхлорметилхлорсилан — диметилдихлорметилхлорсилан. 2156.
- , см. Шахпаровов М. И.
- Баландин А. А., Кукина А. И., Малахова Э. А. Каталитическое разложение ди-*n*-бутилсульфида на α -Fe. 2030.
- , Рождественская И. Д. Определение энергий связи H, D, C, O и N с окисью цинка кинетическим методом. 782.
- , —. О влиянии поверхностного восстановления окиси хрома на ее каталитические свойства. 1336.
- Балашов Д. Б., см. Васильев М. Я.
- Баратов А. Н., см. Соловьев Н. В.
- Барони Е. Е., Ковырзина К. А., Розман И. М., Андреев Е. Е., Шония В. М. Пластмассовые сцинтилляторы на основе полистирола. III. 665.
- Бартенев Г. М. Фазовые переходы второго рода в λ -кривые. 618.
- Баскин М. Д. Физико-химический и количественный анализ посредством поглощения электронов. (Метод известных добавок и различных излучателей). 670.
- Басс С. И., см. Игонин Л. А.
- Батруков В. С., см. Авгуль В. Т.
- Бах Н. А., см. Бугаенко Л. Т.
- Бацанов С. С. Замечания по поводу книги Хюккеля. 937.
- , Рефракция водородной связи в неорганических соединениях. 68.
- Безуглый В. Д., Новик Е. Ю. Полярнографическое исследование терефталевой кислоты. 795.
- Белановский А. С., см. Сотников В. С.
- Белащенко Д. К. Теория влияния примесей на самодиффузию. 83.
- Белогуров Б. В. О поверхностном натяжении германия, кремния и алмаза. 440.
- Бельговский И. М., см. Ениколопан Н. С.
- Беляев А. Ф., Курбангалина Р. Х. Влияние начальной температуры на величину критического диаметра нитроглицерина и тротила. 603.
- Беляева Л. Б., см. Скляренко С. И.
- Белячиков М. П., Шлесков Ю. В., Поминков В. Г. Установка с вращающимся дисковым электродом. 1638.
- Бергельсон Л. Д., см. Майрановский С. Г.
- Бережной А. Н., см. Усманов А. Г.
- Березин П. В., см. Антоновский В. Л.
- Березникова И. А., см. Леонидов В. Я.
- Беркенгейм А. А., О скорости распространения ультразвука в растворах фенола в воде. 105.
- Бидыло Л. К., см. Чешко Ф. Ф.
- Бирин Е. А., см. Несмеянов А. Н.
- Богданов В. С., Исследование аэрозолей, образующихся в радиационно-химических реакциях. 1044.
- Богданова Г. А., см. Юрченко Г. К.
- Богдановский Г. А., Шлыгин А. И. О механизме электроокисления спиртов и альдегидов на платине. III. О форме поляризационных кривых окисления этилового спирта. 57.
- Богословский В. Д., см. Стромберг А. Г.
- Богословский В. Н., см. Журавлева М. Г.
- Богуславский Л. М., Дамаскин Б. Б. Определение точек нулевого заряда на амальгаме таллия методом измерения дифференциальной емкости. 2099.
- Болдырев В. В., Захаров Ю. А. Об анизотропии скорости термического разложения твердых веществ. I. Анизотропия скорости дегидратации алюмокалиевых квасцов. 446.
- , Сафиуллина А. В., Болдырева А. В., Трекова Б. И. Об анизотропии скорости термического разложения твердых веществ. II. Анизотропия скорости роста реакционных ядер при дегидратации гептагидрата сульфата магния. 2184.
- Болдырева А. В., см. Болдырев В. В.
- Болховитинов Л. Г., О связи между чувствительностью к удару и температурой вспышки взрывчатых веществ. (Письмо в редакцию). 476.
- Болецкая А. К., см. Командин А. В.
- Боресков Г. К., см. Касаткина Л. А.
- Борисов Е. А., см. Несмеянов А. Н.
- Боровков И. В. Электрохимическое поведение германия. 2678.
- Борок М. Т. Окисление микроконцентраций окиси азота в двуокиси азота озонном в газовом потоке. 272.
- Бочарова В. В., см. Чешко Ф. Ф.
- Бочвар Д. А., Гамбарян Н. П. Метод электронного газа и определение разности электроотрицательностей атомов. 505.
- , Станкевич И. В., Чистяков А. А. Об энергиях сопряжения фенилциклопропенилкатаиона и дифенилциклопропенилкатаиона. 2543.
- Боярчук Ю. М., см. Голубев В. Б.
- Брежнева Н. Е., Добычин Д. П., Жаброва Г. М. С. З. Рогинский (К 60-летию со дня рождения). 939.
- Брежнева Н. Е., Озиранер С. Н., Розанова В. Н. Адсорбция катионов осадком оксиацетата железа. 1866.
- Бреусов О. Н., см. Кувыркин О. Н.
- Бродский А. М., Калинин Р. А., Лавровский К. П. Метод исследования механизма быстрых реакций в турбулентном реакторе при помощи меченых атомов. 192.
- Бродская Г. А., см. Торопов А. П.
- Брук А. И., см. Вяхирев Д. А.
- Брусенцева С. А., Долин П. И. Радиацион

- ное окисление ионов Fe в растворах, содержащих КВг. 2527.
- Гутаенко Л. Т., Калязин Е. П., Бах Н. А. Радиационная химия хлорокислородных соединений. I. Действие рентгеновских лучей на водные растворы хлорит натрия. 1213.
- Гутаев П. М. Влияние различных растворителей на характер спектров поглощения дифениламина и его некоторых производных. 2825.
- Гудников П. П., см. Галингер И. С.
- Гудов Г. М., см. Лю Шоу-жун.
- Гудатникова Ю. И., см. Апельбаум О. А.
- Гурнашева З. А., см. Коган Я. И.
- Гучковский З. Ф., см. Казыцына Л. А.
- Гык С. Ш., Кирсанова Р. И. Разделение некоторых углеводородных газовых смесей методом диффузии через непористые органические мембраны. (Письмо в редакцию). 2844.
- Грабян А. Т., Красовский А. И., Петрова Ю. С. и Соловьева З. А. Роль пассивирования в процессе электроосаждения металлов. 1255.
- , см. Попков А. П.
- , см. Соловьева З. А.
- , см. Усачев Д. Н.
- Гайнтрауб Л. С., см. Кузнецов В. А.
- Залежанина Т., см. Сумарокова Т.
- Заршавский Ю. С., Кипнис А. Я., Шейнин А. Б. Еще раз о приближенном уравнении ван-дер-Ваальса. 211.
- Засильев В. П., Золотарев Е. К., Капустинский А. Ф., Мищенко К. П., Подгорная Е. А., Яцимирский К. Б. Наиболее вероятные значения химических теплот, энергий и энтропий гидратаций отдельных ионов при бесконечном разбавлении и 25°C. 1763.
- Засильев Л. А., см. Славянская Н. А.
- Засильев М. Я., Балахов Д. Б., Мокроусов Л. Н. Исследование изотермической сжимаемости взрывчатых веществ при давлениях до 22000 кг/см². 2454.
- Засильев С. С. Кинетический анализ цепных реакций. IV. Преобразование формы решений основных уравнений кинетики цепных реакций для случая трех сортов активных частиц. 2174.
- Засильева И. А., Герасимов Я. И., Симанов Ю. П. Термодинамическое исследование реакции восстановления трехокси вольфрама WO₃(α) водородом. 1811.
- Здовенко В. М., Суглобов Д. Н. Изучение растворов солей уранила в органических растворителях при помощи инфракрасных спектров - поглощения. Спектры координационно связанной воды в гидратах уранилгидрата в области частот валентных колебаний. 51.
- Зендильо В. П., Первая Всесоюзная конференция по озону. 2619.
- , Емельянов Ю. М., Филиппов Ю. В. Расчет лабораторных озонаторов. 1145.
- Зелесовский В. И., см. Шуб Д. М.
- Зетюков М. М., Школьников С. Н., Чувиляев Р. Г., Новиков А. И. Крутильнотмаятниковый вискозиметр с автоматическим счетчиком. 470.
- , Семерикова И. А., Новиков А. И. Вязкость некоторых расплавов системы HF—KF. 2583.
- Зетер А. А., см. Гейдехер В. А.
- Зигдорович В. Н., Крестовников А. Н. Об относительном расположении линий фазовых равновесий на диаграммах состояния двухкомпонентных систем. 1991.
- Зилеский В. Д., см. Несмеянов А. Н.
- Зинин М. И., Зарахани Н. Г. Кинетика гидролиза оксима циклогексанона в средах соляной и серной кислот. III. Кинетика гидролиза оксима циклогексанона в средах соляной и серной кислот. 2664.
- Зинигов Г. Р., см. Палатник Л. С.
- Зишнякова М. М., см. Дубинин М. М.
- Зойтенко Л. В., см. Манжелей М. Е.
- Золченкова З. С., см. Пальгуев С. Ф.
- Золчкова Л. М., Плещунов В. Д. и Крайшлыщиков А. И. Влияние механических деформаций на электродный потенциал меди. 543.
- Золькенштейн Ф. Ф., Коган Ш. М. Понятие «квазиизолированной» поверхности в теории хемосорбции. 1996.
- Зоробьев А. Ф., Привалова Н. М., Скуратов С. М. Колориметр для измерения энтропий разложения твердых веществ. 1142.
- Зоронин Г. Ф., см. Евсеев А. М.
- Зоронов А. В. Особые термодинамические точки обратимых химических реакций. I. Общая характеристика особых точек и значения их существования. 2275.
- Зоскренская Н. К. Николай Семенович Курнаков (К столетию со дня рождения). 2625.
- Зыхирев Д. А., Черняев Н. П., Брук А. И. Влияние параметров опыта на хроматографическое разделение веществ в газовой или паровой фазах. III. Влияние структуры силикагеля на разделение газообразных углеводородов объемно-хроматографическим методом. 1097.
- Завриш М. Л., см. Галингер И. С.
- Залаганов В. А., см. Гнусин Н. П.
- Залингер И. С., Завриш М. Л. Растворимость гидратов оксидов целочисловых металлов при высоких температурах. (Письмо в редакцию). 2610.
- Залингер И. С., Узаровский С. С., Будников П. П., Каданер Л. И., Горбанев А. И. Андрей Никитич Сысоев. 2130.
- Зальперин Л. Н., см. Похил П. Ф.
- Зальперин Н. П., Зеленецкий Н. Н. Равновесие жидкость — пар для смесей дифенилоксид — этилсалицилат и ментол — ментон при пониженных давлениях. 2230.
- Замбарян Н. П., см. Бочвар Д. А.
- Заненко В. Е., см. Гаустинский А. Ф.
- Зануш В., см. Коуцетский Я.
- Зейдехер В. А., Зетер А. А., Герасимов Я. И. Исследование термодинамических свойств двойных металлических систем методом э. д. с. VI. Система железо — сурьма в твердом состоянии. 2789.

- Гейдериx М. А., см. Шорыгин П. П.
- Гельд П. В., Красовская А. К. Механизм сульфидной коррозии железа. I. Кинетические характеристики процесса. 1585.
- , Механизм сульфидной коррозии железа. II. Строение сульфидной окалины и механизм процесса. 1721.
- Генкина Л. А., см. Гохштейн Я. П.
- Герасимов Я. И., Карапетьянц М. X. Валентин Александрович Киреев (К 60-летию со дня рождения). 484.
- , см. Васильева И. А.
- , см. Гейдериx В. А.
- , см. Шаповалова Р. Д.
- Герович М. А.** О природе электрического эффекта на границе раствор — воздух при образовании полимолекулярных пленок конденсированных ароматических углеводородов. 356.
- , Каганович Р. И., Соболев В. В. Адсорбция ионов на монослоях. IV. Взаимодействие между ионами одно- и двухвалентной руты и монослоем пальмитиновой кислоты. 2091.
- Гершкович И. А., Турьян Я. И. Кислородное перенапряжение на кобальтовом аноде. 2654.
- Гинцберг Э. Г., см. Игонин Л. А.
- Глузман М. X., Рубцова В. П. Исследование эвтектического плавления систем, состоящих из органических солей и кислот. 2742.
- Глушкова Л. Ф., см. Баламутова Э. А.
- , см. Шахпаронов М. И.
- Гнусин Н. П. Теория моделирования электрических полей в электролитах. 1563.
- , Экспериментальная проверка условия моделирования электрических полей в электролитах. 1717.
- , Никонович Н. И., Галаганов В. А. Экспериментальная проверка правильности вида критериальных уравнений электрических полей в электролитах. 1911.
- Голубев В. Б., Боярчук Ю. М., Евдокимов В. Б. Магнетохимия активных центров. Стабилизация свободных радикалов на поверхности и электронный парамагнитный резонанс в солях хингидрона. 696.
- Голубенко А. Н., см. Кузнецов Ф. А.
- Голубкова Ю. К., см. Дракин С. И.
- Голутвин Ю. М., Козловская Т. М. О теплотах образования силицидов ванадия. 2350.
- Гольдфарб Ю. Я., см. Френкель С. Я.
- Гоникберг М. Г. К вопросу о механизме реакций диенового синтеза. 225.
- Горбанев А. И., см. Галинкер И. С.
- Горшков В. И., Шабанов А. А., Панченков Г. М. Электрохроматографическое разделение на катионите. 2530.
- Гохштейн А. Я., см. Гохштейн Я. П.
- Гохштейн Я. П., Гохштейн А. Я. Осциллографическая полярография. Уравнение нисходящей ветви полярографической волны и его приложения. (Письмо в редакцию). 1654.
- , Приставка к осциллографическому полярографу ГЕОХИ (I) для определения мгновенной разности потенциалов между исследуемым и вспомогательным электродами. 1138.
- , Гохштейн Я. П., Генкина Л. А., Демкин А. М. Кинетика катодной и анодной поляризации для растворов ниобия в различных средах. 2308.
- Гречишник В. С. Исследование взаимодействий между атомами в хлоратах методом ядерного квадрупольного резонанса. 1050.
- Грибова Е. И., Каменецкая С. А., Панкратов А. В., Апин А. Я., Пшежецкий С. Я. Критический диаметр и скорость детонации жидких растворов озона. 1395.
- Гринман И. Г., Козлов Г. С. Об отделении фарадеевского тока от емкостного в дифференциальной полярографии. 661.
- Громаков С. Д. Методы расчета свойств поликомпонентных систем любой мерности по данным для двойных систем. 2431.
- Громов В. В. Десорбция микроколичеств стронция и цезия с монтмориллонита и каолинита. 1357.
- Группа ученых Ин-та химич. физ. АН СССР. Профессор Альфред Эджертон (Некролог). 941.
- Грязнова З. В., см. Панченков Г. М.
- Гудо А. Комплексные органометаллические модели катализ. 2137.
- Гудович Н. В., см. Кудра О. К.
- Гурвич Л. В. Определение теплот сублимации металлов на основании измерений аномальной дисперсии методом Рождественского. 1691.
- Гурман В. С., Яковенко Е. И., Паписова В. И. Влияние фазовых переходов в матрице на гибель радикалов, образующихся при фотоллизе замороженного 25%-ного раствора H_2O_2 в воде. (Письмо в редакцию). 2372.
- Гурьев М. В. О молекулярных ионах n -парафинов. (Письмо в редакцию). 475.
- Давтян О. К. О применении теории групп в квантовой химии. I. Упрощение метода теории групп. 108.
- , О применении теории групп в квантовой химии. II. Примеры решения задач упрощенным методом теории групп. 295.
- Давыдов А. Т., см. Толмачева Ю. А.
- Дамаскин Б. Б., Николаева-Федорова Н. В. и Иванова Р. В. Изучение адсорбции анионов сульфокислот жирного ряда на ртутном электроде и влияние этих анионов на кинетику электродных процессов. 894.
- , см. Богуславский Л. И.
- Данчевская М. Н., Кобозев Н. И. Катализ парами металлов. I. Каталитические свойства паров цинка и кадмия. 1728.
- Девятых Г. Г., Агизулов Н. X. Влияние скорости отбора дистиллата на разделительную способность пленочных ректификационных колонн. 2509.
- Дейч А. Я. Еще раз об изучении жидких систем по отклонению логарифма вязкости от аддитивности. 1382.
- Демкин А. М., см. Гохштейн Я. П.
- Деревенских Л. В., см. Степухович А. Д.
- Дерягин Б. В., Душин С. С., Лисиченко В. А.

- Кинетика прилипания минеральных частиц к пузырькам при флотации. II. Электрическое поле движущегося пузырька при высокой поверхностной активности растворенного ионогенного вещества. 524.
- Яригина О. Г., Палеолог Е. Н., Томашов Н. Д. Электрохимическое и коррозионное поведение полупроводников в растворах электролитов. III. Растворение германия в контакте с другими металлами. 1952.
- Ткина М. Е., см. Шусторович Е. М.
- Тков С. П. К прямому методу определения давления пара. 1634.
- Тков С. П. К дифференциальному диффузионному методу определения давления пара. 196.
- Триев М. Р., Пшежецкий С. Я. Радиационное окисление азота. V. Кинетика окисления азота под действием γ -излучения и роль процессов рекомбинации ионов. 880.
- Бычин Д. П., Клибанова Ц. М. Модельное изучение регенерации алюмосиликатных катализаторов крекинга. Диффузионная кинетика выгорания внутреннего кокса и влияние пористой структуры катализатора на скорость процесса. 1745.
- см. Брезнева Н. Е.
- Гонадзе Р. Р., Левин В. Г., Чизмаджев Ю. А. Теория электрохимической защиты. II. Реакции с диффузионным контролем. 2320.
- Кунихин Н. С., см. Нурмухаметов Р. Н.
- Лин П. И., см. Брусенцева С. А.
- см. В. Н. Шубин
- Рин В. А., Наследов Д. Н. и Тартаковская Ф. М. Получение полупроводниковой двуокиси титана на титане при малых давлениях кислорода. 809.
- Акин С. И., Голубкова Ю. К., Ушакова Э. П. Электродиффузия в разбавленных растворах свинца и ртути в металлическом калии. 866.
- Кудрявцев А. А., Селиванова Н. М., Стаханова М. С. Анатолий Федорович Капустинский (Некролог). 2848.
- Емин А. Н., Похил П. Ф. Исследование зоны химической реакции тротила. 2561.
- Утман З. С. Физико-химический анализ систем, образованных спиртами с органическими кислотами. III. Система этилового спирта — монохлоруксусная кислота. 1581.
- Бинин М. М., Вишнякова М. М., Жуковская Е. Г., Леонтьев Е. А., Лукьянович В. М., Сарахов А. И. Исследование пористой структуры твердых тел сорбционными методами. V. Применение различных методов для изучения структуры переходных и макропор активных углей. 2019.
- Бнов Л. В. К вопросу о потерях в детонационной волне. 2367.
- Бовидский Р. И., см. Мержанов А. Г.
- Бровин А. В., см. Алексеевский Н. Е.
- Бяго Е. И., см. Лошкарев М. А.
- Гачева Г. М., Аникин А. Г. Определение чистоты низкоплавких органических соединений в количестве сотых долей грамма. 2603.
- Дурдин Я. В., см. Чжан Чжи-бин.
- Духин С. С. Кинетика применения минеральных частиц к пузырькам при флотации. III. Вторичный двойной электрический слой вблизи подвижной поверхности пузырька. 1053.
- , см. Дерягин Б. В.
- Дьяков А. А., Костоусова Т. И. Исследование зависимости перенапряжения водорода на алюминии от состояния его поверхности и концентрации кислоты. 1610.
- Дяткина М. Е., см. Шусторович Е. М.
- Евдокимов В. Б., см. Годубев В. Б.
- Евсеев А. М. Радиальная функция распределения атомов в жидкости. 1847.
- , Расчет вращательной суммы состояний для молекул в жидкости. (Письмо в редакцию). 1148.
- , Воронин Г. Ф. Ячеечно-групповая теория растворов. 2579.
- , см. Алексеев Н. В.
- , см. Отопков П. П.
- , см. Пилоян Г. О.
- Евстропьев К. К., см. Макаров Л. Л.
- Егоров В. П., см. Страхов Б. В.
- Егоров Ю. П., Ромадан И. А., Шляпников В. А., Шуйкин Н. И. Исследование строения радикалов у веществ, полученных при алкилировании ароматических углеводородов спиртами в присутствии трехфтористого бора. 888.
- Егорова З. С., см. Шорыгин П. П.
- Емельянов Ю. М., Филиппов Ю. В. Об эквивалентной электрической схеме озонаторов. 2841.
- , Электрическая теория озонаторов. VII. Влияние процесса образования озона на вольтамперные характеристики озонаторов. 1083.
- , см. Вендильо В. П.
- Еникиолоп Н. С., Бельковский И. М. О каталитическом окислении метана и метилового спирта. 1571.
- , —, см. Кармилова Л. В.
- Еременко В. Н. Термодинамические свойства компонентов в жидких растворах системы алюминий — цинк. 1495.
- , Найдич Ю. В., Носонович А. А. Межфазная активность кислорода в системах жидкий металл — твердый окисел. 1186.
- , —, —, Поверхностная активность кислорода в жидких сплавах медь — кислород. 1018.
- Еремин Е. Н., см. Кобозев Н. И.
- Ермаков В. И. Замечания относительно кривых: высокочастотная электропроводность — состав растворов. 2258.
- , Универсальный прибор для высокочастотного физико-химического анализа и титрования растворов. 2838.
- Ерусалимчик И. Г., см. Ефимов Е. А.
- Есин О. А., см. Квятковский А. Н.
- , см. Тетерин Г. А.
- Ефимов Е. А., Ерусалимчик И. Г. Выделение водорода на германиевом катоде. 2804.
- Ефремов А. Н. Искажающее влияние приэлектродного слоя на измерения ди-

- электрических параметров в звуковом диапазоне. 565.
- Жаброва Г. М., см. Брежнева Н. Е.
- Жаворонков Н. М., см. Матвеев К. И.
- , см. Севрюгова Н. Н.
- Жанталай Б. П., см. Турьян Я. И.
- Жданов С. И. К вопросу о полирографии нитратов. 928.
- , см. Лю Шоу-жун.
- Жилкин Л. С., см. Рабинович И. Б.
- Житнев Ю. Н., см. Филиппов Ю. В.
- Жуковская Е. Г., см. Дубинин М. М.
- Журавлев В. А., Кужелюк А. А. Электро-движущие силы при некоторых ката-литических восстановительных реак-циях. 1331.
- Журавлева М. Г., Богословский В. Н., Чу-фаров Г. И., Влияние добавок угле-кислых калия и натрия на восстано-вление окислов и ферритов никеля и кобальта графитом. 2704.
- Заалишвили Ш. Д. Применения интерпо-лирующего полинома Эрмита для пере-дачи физико-химических данных. I. Критический коэффициент чистых ве-ществ. 102.
- , Колыско Л. Э. Второй вириальный коэффициент паров и их смесей. I. Си-стема диэтиловый эфир—ацетон. 2596.
- Загайнова Л. С., см. Кузнецов В. А.
- Зарахани Н. Г., см. Винник М. И.
- Захаров Ю. А., см. Болдырев В. В.
- Здановский А. Б., Об аддитивности логарифмов вязкости жидких смесей. 1380.
- Зеленецкий Н. Н., см. Гельперин Н. И.
- Зиновьев В. А., см. Шейнин А. Б.
- Золотарев Е. К., см. Васильев В. П.
- Зотова К. В., Трапезников А. А. Примене-ние метода уравнивания пластины для исследования поверхностного натяжения растворов полукolloидных веществ при медленном установлении равновесия. 200.
- Иванов И. Л. Полирографический макси-мум на волне кобальта в системе ко-бальт-8-гидроксифинолин. 2517.
- Иванова Г. П., см. Кузнецов В. А.
- Иванова Е. Ф., Измайлов Н. А. Термоди-намические свойства электролитов в неводных растворах. IX. Растворы уксуснокислого и бензойнокислого ка-лия в этаноле. 1021.
- Иванова Р. В., см. Дамаскин Б. Б.
- Ивановский Ф. П., см. Антонова Л. Г.
- Игнатьева Л. А., Филиппова К. И. Изуче-ние α - и β -сподуменов методом инфра-красной спектроскопии. 2082.
- Игонин Л. А., Гинцбург Э. Г., Красули-на Н. А., Басс С. И., Каргин В. А. Исследование оксидбензиламинов, по-лученных на основе фенола и его одно-ядерных производных. 287.
- Измайлов Н. А. Подсчет химических энер-гий сольватации и гидратации ионов из величин электродвижущих сил це-пей с переносом и без переноса. 2414.
- , см. Иванова Е. Ф.
- , Можарова Т. В. Термодинамические свойства электролитов в неводных растворах. X. Константы диссоциации оснований в ацетоне 90%-ной смеси ацетона с водой. 1543.
- Измайлов Н. А., Можарова Т. В. Термо-динамические свойства электролитов в неводных растворах. XI. Констан-ты диссоциации оснований в метилово-м спирте. Сопоставление силы основ-ной в различных растворителях. 1708.
- , Черный В. С. Термодинамические све-ства электролитов в неводных раство-рах. XII. Исследование растворов соли AgCl и CsCl в спиртах, кетонах и смешанных растворителях методом ра-диоактивных индикаторов. 127.
- , Термодинамические свойства электро-литов в неводных растворах. VIII. Растворимость и свободная энергия переноса ионов в неводных раство-ритах. 319.
- Израилевич Е. А., см. Юрыгина Е. Н.
- Инь Юань-гень, см. Калечид И. В.
- Иофа З. А., Томашова Г. Н. О совместном действии сульфидов и органических соединений на кислотную коррозию хрупкость железа. 1036.
- , см. Ларин Л. А.
- Иоффе Б. В. Измерение показателей преломления смесей летучих жидкостей на рефрактометрах Пульфриха. 113.
- Исакова Е. П., см. Несмеянов А. Н.
- Исрикий А. А. Автопрессование сажи, каущийся сорбционный гистерезис (Письмо в редакцию). 1652.
- , Киселев А. В. Теплота адсорбции угле-водородов на окиси магния. 2817.
- Ицкевич Е. С., Стрелков П. Г. Термодина-мические исследования при низких температурах. IX. Теплоемкость бром-ида кадмия между 1,5 и 300° К. эн-тальпия и энтропия CdBr₂ при 298,15° К. 1312.
- Кабанов Б. Н., см. Кокорулина Д. В.
- Кавтарадзе Н. Н., Лыгин В. И. Вакуу-ная ювета для изучения инфракра-сных спектров поглощения твердых тел в атмосфере различных газов широкой области температур. 462.
- Каган М. Б., см. Палатник Л. С.
- Каган Ю. О кинетике кипения чистых жидкостей. 92.
- Каганер М. Г. Исследование разделен-ной смеси азот—гелий диффузией через пористые перегородки. 2005.
- , см. Роговая И. А.
- Каганович Р. И., см. Герович М. А.
- Каданер Л. И., см. Галингер И. С.
- Казакевич В. Е., см. Славинская Н.
- Казанский Б. А., см. Михайлова Е. А.
- Казанский В. Б., Печерская Ю. И. Эле-ктронный парамагнитный резонанс облученной окиси алюминия. (Пись-мо в редакцию). 477.
- , см. Печерская Ю. И.
- Казанская А. С., см. Панченков Г. М.
- Казицына Л. А., Реутов О. А., Бучко-ский З. Ф. Инфракрасные спектры по-глощения двойных диазониновых со-лей. 850.
- Кайтмазов С. Д., Прохоров А. М. Спек-тр электронного парамагнитного ре-зонанса свободного радикала, получа-емого облучением H₂O₂ ультрафиолетом.

- товым светом (Письмо в редакцию). 227.
- Лещиц И. В., Инь Юань-гень. Кинетика гидрирования олефинов на кобальт-алюмомолибденовом катализаторе. 2687.
- Линенко Р. А., см. Бродский А. М.
- Линина Е. И., см. Розенфельд И. Л.
- Лялин Е. П., см. Бугаенко Л. Т.
- Магницкая С. А., см. Грибова Е. И.
- см. Славинская Н. А.
- Макушинский А. Ф., [Стрелков И. И.], Ганенко В. Е., Алапина А. В., Стаханова М. С., Селиванова Н. И. Низкотемпературная теплоемкость, энтропия, теплота образования и свободная энергия образования шавелевокислого свинца. 1088.
- см. Васильев В. П.
- Мартынянц М. Х., Янь Го-сень. О приближенном расчете свойств веществ, отличающихся по изотопному составу. (Письмо в редакцию). 1647.
- Масик Э. М., см. Карпачев С. В.
- Маспарилл К. А., Стрелков П. Г. Термодинамические свойства дициклогексил-додекана. (Письмо в редакцию). 693.
- Мергян В. А., см. Игонин Л. А.
- Миллова Л. В., Ениколомян Н. С., Налбандян А. Б. Кинетика и механизм окисления метана. I. Основные макрокинетические закономерности. 550.
- , —, Кинетика и механизм окисления метана. II. Кинетика накопления промежуточных продуктов. 990.
- Менов Н. Н. Кинетика и механизм окисления метана. III. Детальный механизм реакции. 1176.
- Минаухова А. П., Киселев А. В. К теории корпускулярной структуры адсорбентов. II. Полимолекулярная адсорбция в пористых адсорбентах. 2146.
- Минаухова С. В., Карасик Э. М. О теплоте плавления некоторых неорганических солей. 1072.
- Мирнова Е. И., см. Мальцев А. П.
- Мирпухин О. Н., см. Энтелес С. Г.
- Миртесен Г. Э., см. Алексеевский Н. Е.
- Миртунинская А. И., см. Стромберг А. Г.
- Мирян А. В. Сенсибилизация окисления и тушение флуоресценций кислородом органических веществ. 144.
- Масаткина Л. А., Боресков Г. К., Соколов П. Н. Влияние добавок сульфата калия на подвижность кислорода пятиокиси ванадия. 360.
- Масимов Р. И., см. Тунин М. С.
- Мачинская О. Н. Теплота испарения циклонов. 1365.
- Мельниковский А. Н., Есин О. А., Абдеев М. А. Определение изоборного потенциала реакции прямого восстановления жидкой окиси свинца методом электро-движущих сил. 2463.
- Мельниковская Г. Р., см. Комаров В. А.
- Минин А. Я. см. Варшавский Ю. С.
- Миреев В. А. Термодинамика химических равновесий в одноступенчатых реакциях. 945.
- Мирков П. А. Влияние воды на дифференциальную емкость двойного слоя в бутановом спирте. (Письмо в редакцию). 2375.
- Мирсанова Р. П., Бых С. Ш.
- Кириш И. В., см. Мохов Н. В.
- Киселев А. В., см. Исириян А. А.
- см. Карнаухов А. П.
- , Пошкус Д. П.
- , см. Эльтеков Ю. А.
- Киселев В. Ф. О связи поверхностной энергии кремнезема с его дисперсностью. (Письмо в редакцию). 698.
- Клевцова М. П., см. Кузнецов В. А.
- Клейнер К. Е. Расчет прочности или растворимости комплексов в окрашенных растворах по данным фотометрических измерений. 416.
- Клибанова Ц. М., см. Добычин Д. П.
- Климасенко Н. Л., см. Попков А. П.
- Климушев А. В., см. Меркулов В. С.
- Клюц Л. Л., см. Лейкис Д. И.
- Кобозев Н. И. О механизме катализа. III. О валентной и энергетической форме гетерогенного и ферментного катализа. 1443.
- , Еремин Е. Н., Терехова М. Г., Мальцев А. Н. Физико-химия концентрированного озона. IX. Изучение адсорбции озона на силикагеле при разных температурах. 1893.
- , Семиохин А. И., Синдюков В. Г. Физико-химическое исследование электро-синтеза концентрированной перекиси водорода из элементов. I. Кинетика электро-синтеза H_2O_2 . 773.
- , см. Данчевская М. Н.
- , см. Крылова И. В.
- , см. Мальцев А. Н.
- , см. Памфилов А. В.
- , см. Страхов Б. В.
- Ковба Л. Д. см. Багоцкая И. А.
- Ковырзина К. А., см. Барони Е. Б.
- Коган В. Б. Метод проверки данных о равновесии между жидкостью и паром в трояких системах с нелетучим компонентом. III. 2834.
- Коган Ш. М., см. Волькенштейн Ф. Ф.
- Коган М. И., Бурнашева З. А. Укрупнение и измерение ядер конденсации в непрерывном потоке. 2630.
- Козленко Ф. Н., Мискиджян С. П. Исследование двойных жидких неводных систем методом измерения э. д. с. I. Системы, состоящие из уксусной кислоты и аминов. 349.
- Козлов Г. С., см. Гринман И. Г.
- Козловская Т. М., см. Голутвин Ю. М.
- Козорезов Ю. И. К вопросу о кинетических уравнениях реакции алкилирования бензола и его гомологов непредельными углеводородами. 1335.
- Койда Н. У. О применении теории подобия при фильтрации жидкости. 789.
- Кокоулина Д. В., Кабанов Б. Н. Образование одновалентного магния и пассивация магниевого анода. 2469.
- Колачев Б. А., см. Петров Д. А.
- Колесников И. М. О методе определения отношения констант скоростей в биомолекулярных необратимых последовательных реакциях. 1069.
- , Вывод уравнения кинетики реакции гидрирования бензола водородом в присутствии палладиевых катализаторов. 1528.
- Колобов Е. И. К вопросу о строении кристаллических полимеров. 716.

- Колотыркин Я. М. К вопросу о поведении электрохимического потенциала при переходе электрода от пассивного к активному состоянию. 1121.
- Колчин А. М., Малахов В. Ф., Панченков Г. М. Изотопный масс-спектрометрический анализ бора методом термоядерной эмиссии. (Письмо в редакцию). 2124.
- Кольско Л. Э., см. Заалишвили Ш. Д.
- Командин А. В., Бонецкая А. К. Диэлектрическая проницаемость некоторых органических соединений в широком интервале температур. 845.
- , Шаповалова Р. Д., Михайлова Н. П. Некоторые физические свойства вольфраматов. II. Диэлектрическая проницаемость и поляризация твердых вольфраматов. 2063.
- Комаров В. А., Черникова Е. А. Квятковская Г. Ф., Пиганова Е. А. Влияние примеси некоторых окислов к окиси алюминия на каталитическую активность последней в реакции разложения изопропилового спирта. 43.
- Комарова Т. А., см. Фигуровский Н. А.
- Конарева Г. П., см. Миллер В. Б.
- Коржинский Д. С. Дополнительные замечания об экстремальных состояниях. (Ответ А. В. Сторонкину). 1645.
- Коробова Т. А., см. Кузнецов В. А.
- Коровин В. В. О катодной поляризации при электроосаждении сплава медь — никель. 1351.
- Коровин Н. В. К вопросу о перенапряжении металлов группы железа. 219.
- Корсуновский Г. А. Изменение электропроводности окиси кадмия и двуокиси олова под действием освещении и влияние кислорода и воды на этот процесс. (Письмо в редакцию). 2613.
- Механизм электронного обмена при фотоокислении воды на полупроводниках. 510.
- Корчинский Г. А. Электрокапиллярные кривые на ртути этаноловых растворов хлористого водорода и йодистого натрия. 2759.
- Костин В. М., см. Скрипов В. П.
- Костоусова Т. И., см. Дьяков А. А.
- Кострюков В. Н., Морозова Г. Х. Термодинамические исследования при низких температурах. X. Теплоемкость желтой модификации окиси свинца в интервале температур от 12,5 до 303°K, энтропия при 298, 15°K. 1833.
- Коутецкий Я., Ганун В., Майрановский С. Г. Полярографические каталитические волны водорода, вызываемые органическими катализаторами. I. Точное решение задачи для случая бимолекулярной регенерации из электродных продуктов неактивной формы деполаризатора и ее мономолекулярного превращения в активную форму. 651.
- Кофман А. Н., см. Диклис Д. С.
- Кочергин В. П., см. Левин А. И.
- Кравцов В. И., Чжан Чжи-бин. Кинетика электродных процессов, протекающих на твердых электродах. II. Анализ осциллограмм, снятых на никеле в серной кислоте при изменениях плотности анодного тока. 2205.
- , см. Чжан Чжи-бин.
- Кравчук И. П., см. Медведева Н. И.
- Красильщиков А. Н., см. Антонова Л. П.
- , см. Волчков Л. М.
- Красовский А. И., см. Ваграмян А. Т.
- Красовская А. К., см. Гелль П. В.
- Красулина Н. А., см. Игонин Л. А.
- Кренцель Б. А., см. Френкель С. Я.
- Крестов Г. А., см. Яцимирский К. Б.
- Крестовников А. Н., см. Вигдорович В.
- Кричевский И. Р., Сорина Г. А. Фазовые равновесия жидкость — газ в системах циклогексан — двуокись углерода и циклогексан — закись азота. 142.
- , Хазанова Н. Е. и Линищ Л. Р. Критические явления в системе гексаметиленмин — вода. V. Парциальные давления компонентов. 1920.
- , —, Светлова Г. М. Общее давление пар над растворами триэтилмин — вода критической области. 2160.
- , —, Смирнов Л. П. Критические явления в системе гексаметиленмин — вода. IV. Общее давление пара. 1702.
- , —, Цеханская Ю. В. Критические явления в системе гексаметиленмин — вода. III. Диффузия вблизи критической точки. 1250.
- Кричмар С. И. О теории анодной заточки инструмента. 1161.
- , см. Шапунов Л. А.
- Кришталек Л. И. Скорости элементарных стадий и механизм катодного выделения водорода. II. 117.
- Крылова И. В., Огарев В. А., Кобозев Н. И. Влияние электронных свойств носителя на фоточувствительность платиновых катализаторов. 2408.
- Крюкова Т. А., см. Попова Т. И.
- Ксеинже О. С. Метод определения поляризационных характеристик электродов. 2363.
- Кувыркин О. Н., Бреусов О. Н., Новоселова А. В., Семенов К. Н., О полиморфизме хлористого бериллия. 341.
- Кудра О. К., Гудович Н. В. Изучение катодной поляризации в свинцовых пирофосфатных растворах. 1616.
- Кудрявцев А. А., см. Дракин С. И.
- Кудрявцева Т. А., Чирков Н. М. Кинетика реакции обмена хлора в изомерных β-хлоркотоновых кислотах. III. Реакция обмена хлора на алкоксигруппы. 375.
- , —, Кинетика реакции обмена хлора в изомерных β-хлоркотоновых кислотах. IV. Реакция обмена хлора безизометрическим натрием в эфирах дис-β-хлоркотоновой кислоты. 1307.
- Кужелюк А. А., см. Журавлев В. А.
- Кузнецов А. Н. Кинетика и механизм восстановления окислов никеля водородом. 32.
- Кузнецов В. А., Загайнова Л. С., Иванова Г. П., Клевцова М. П. Исследование электрокапиллярных явлений на сплавах теллур — золото. 1077.
- , Клевцова М. П., Загайнова Л. С., Вайнтрауб А. С., Коробова Т. А. Исследование контактных разностей потенциалов между Sn и сплавами Sn — Te и электрокапиллярных явлений в сплавах Sn — Te. 1345.

- Знецов Ф. А., Резухина Т. Н. Теплоемкость двуокиси перия при высоких температурах. 2465.
- , Голубенков А. Н. Определение теплоты образования Ce_2O_3 методом сжигания в калориметрической бомбе. (Письмо в редакцию). 2129.
- Знецова Е. И., см. Панченков Г. М.
- Зина А. И., см. Баландин А. А.
- Зрбангалина Р. Х., см. Беллев А. Ф.
- Зисаков М. М., Некрасов Д. Н. Капиллярный гистерезис при подъеме жидкости в капиллярах переменного сечения. 1602.
- Зискова Н. В., см. Матизен Э. В.
- Зисов В. С., см. Смагина Е. И.
- Зисарев В. И., см. Рабинович И. Б.
- Зисирек Я., см. Папоушек Д.
- Зисовский К. П., см. Бродский А. М.
- Зисыгин Б. Я., см. Сараева В. В.
- Зисарев В. Б., см. Пугачевич П. П.
- Зисратов М. Ф., Исследование термодинамических свойств жидких металлических растворов. Система калий — свинец. 782.
- Зисеева О. Ф. Электропроводность растворов расплавленных солей. I. Система $\text{PbCl}_2 - \text{KCl}$. 367.
- Зисцева Е. Н., см. Розенфельд М. Л.
- Зисрин Л. А., Иофа З. А. Исследование механизма усиленной коррозии железа у трехфазной границы. 1470.
- Зисбедев В. П., Тросман Э. А. Каталитическая активность платины, нанесенной на кадмий. (Письмо в редакцию). 687.
- Зис, см. Страхов Б. В.
- Зисин А. И., Простаков М. Е., Кочергин В. П. Анодное пассивирование белой жести в растворах натриевой щелочи. 1117.
- Зисин П. И., см. Миллер В. Б.
- Зисина Л. Е. Возможности масс-спектроскопического метода в изучении термодинамики испарения. 456.
- Зиситина Э. И. Изучение процесса пассивирования цинка в хромовокислых растворах. 2075.
- Зисвич В. Г., см. Догонадзе Р. Р.
- Зисикс Д. И., Кноц Л. Л. О возможности обнаружения концентрационной поляризации путем измерения импеданса электрода. 1873.
- Зисипунский О. И. О зависимости от давления скорости горения черного пороха. 177.
- Зисльчук С. Л., см. Баламутова Э. А.
- Зис, см. Шахпаронов М. И.
- Зисонидов В. Я., Резухина Т. Н., Березникова И. А. Теплоемкость уранатов (VI) кальция и бария при высоких температурах. 1862.
- Зисонтьев Е. А., см. Дубинин М. М.
- Зисонтьев Н. П., см. Морачевский А. Г.
- Зисиниц Л. Р., см. Кричевский И. Р.
- Зисиченко В. А., см. Дерягин Б. В.
- Зиситяк И., см. Сумарокова Т.
- Зисобашов А. А., см. Рабинович И. Б.
- Зисогачев В. И. Метод изотопного обмена для измерения давления насыщенного пара и коэффициентов диффузии. II. Решение уравнения диффузии при обмене. 306.
- Зисомакина Г. Г., см. Толмачев В. Н.
- Зисомов А. Л., см. Баламутова Э. А.
- Зисошкарев М. А., Дубяго Е. И. Кинетика катодного выделения висмута. I. Полярнографические волны разряда ионов висмута из некомплексных электролитов. 1430.
- , Томилов Б. И. Исследование кинетики электрохимических окислительно-восстановительных реакций. I. Характер поляризации в системе бензохинон — гидрохинон. 1753.
- , Черненко В. И. Тормозящее действие нафтолов на процесс разряда ионов свинца и величина активационного барьера. 1060.
- Зисукашенко Э. Е., см. Пазухин В. А.
- Зисукьянович В. М., см. Дубинин М. М.
- Зислю-Шоу-жуи, Будов Г. М., Жданов С. И. К вопросу о разрядке ионов лантана на ртутном катоде. (Письмо в редакцию). 1885.
- Зисмайрановский С. Г., Бергельсон А. Д. О восстановлении геометрических изомеров некоторых производных 1,2-дибромэтилена на ртутном капельном электроде. 236.
- , см. Коутецкий Я.
- Зисмакаров А. В., Панченков Г. М. Растворимость трехфтористого бора в анизоле, фенетоле, β , β' -дихлордиэтиловом эфире (хлорексе) и серной кислоте. 639.
- , см. Панченков Г. М.
- Зисмакаров Л. Л., Евстропьев К. К. Термодинамическое исследование системы $\text{KBg} - \text{KJ} - \text{H}_2\text{O}$ при 25°C . 1967.
- Зисмалахов В. Ф., см. Колчин А. М.
- , см. Панченков Г. М.
- Зисмалахова Э. А., см. Баландин А. А.
- Зисмалкин В. И., Покидышев В. В. Измерение чисел переноса катионов в расплавах $\text{Na}_2\text{O} \cdot \text{MgO} \cdot 4\text{SiO}_2$ и $\text{Na}_2\text{O} \cdot \text{SrO} \cdot 4\text{SiO}_2$. 805.
- Зисмалышева Е. А., см. Склиренко С. И.
- Зисмалыкова Г. Н., см. Баламутова Э. А.
- Зисмальцев А. Н., Кобозев Н. И., Семенова Т. В., Карпова Е. И. Некоторые структурные вопросы гидрогенизационного катализа. III. 1190.
- , см. Кобозев Н. И.
- , см. Похил П. Ф.
- Зисмакаров Л. Л., см. Ратнер А. П.
- Зисманжель М. Е., Войтенко Л. В. Электровосстановление акриловой кислоты. 27.
- Зисманжель В. Г. Исследование явления диффузии в некоторых органических жидкостях с большим молекулярным объемом. 1856.
- Зисманочкина П. Н., см. Юрыгина Е. Н.
- Зисмаркидан Д. И., см. Мургулеску И. Г.
- Зисмарков Б. Ф., Туманова Н. Х. Исследование превращения гидратных форм солей в растворе методом электропроводности. 1534.
- Зисмартинова М. Е., см. Баламутова Э. А.
- , см. Шахпаронов М. И.
- Зисмаслов В. Н., Оводова А. В. Выпрямление электрического тока на границе ионитных мембран. 413.
- Зисматвеев К. И., Уваров О. В., Жаворонков Н. М. Коэффициенты разделения

- изотопов хлора при равновесном испарении Cl_2 (Письмо в редакцию). 2133.
- Матерова Е. А., Алагова З. С. Исследования электродных свойств анионитовых мембран. 2752.
- Матизен Э. В., Кукуова Н. В. Теплоты смешения в системе триэтиламин — вода. 2223.
- Маповец В. П., Фомичев В. Г. Исследования цилиндрического и шарового биполярных электродов. 1795.
- , О распределении тока в электрохимических системах с биполярным электродом. 2587.
- Медведева Н. И., Нейман М. Б., Торсуева Е. С., Кравчук И. П. Кинетический метод применения меченых атомов для исследования сложных химических и биохимических процессов. IX. Исследование скоростей образования и расходования этилена при крекинге пропана. 2780.
- Медведева Т., см. Сумарокова Т.
- Мелешко Л. О. Исследование зависимости линейной скорости кристаллизации от толщины слоя. 39.
- Мелихов И. В., Меркулова М. С. К вопросу соосаждения ионов двухвалентных металлов с солями типа NaCl . 633.
- Мержанов А. Г., Дубовицкий Р. И. Квазистационарная теория теплового взрыва самоускоряющихся реакций. 2235.
- Меркулов В. С., Климушев А. В. О компонентном анализе бинарных систем по ослаблению γ -излучения. 1373.
- Меркулова М. С., см. Мелихов И. В.
- Мигаль П. К., Циплякова В. А. К изучению кинетики адсорбции водорода и кислорода и их взаимодействия на платине. 1153.
- Мигарская Л. Б., см. Пономарев В. В.
- Милевская И. С., см. Хачкурузов Г. А.
- Миллер В. Б., Левин П. И., Конарева Г. П., Нейман М. Б., Ениколопан Н. С. Применение кинетического изотопного метода для исследования окисления метана в присутствии нитрометана. 1980.
- Мплотинская Р. И., Багдасарьян Х. С. Исследование механизма радикальных реакций. VI. О механизме взаимодействия перекиси бензоила с аминами. 405.
- , см. Багдасарьян Х. С.
- Милевский Ю. С., см. Турьян Я. Н.
- Мискиджян С. П. Электролитическая диссоциация в неводных системах. VIII. Система аллиловое горчичное масло — метиланилин. 157.
- , Электролитическая диссоциация в неводных системах. XI. Система *o*-анилидин—аллиловое горчичное масло. 802.
- , Электролитическая диссоциация в неводных системах. 2661.
- , см. Коваленко Ф. Н.
- Митуй Агузи и Обаяши Такеко. Поведение платиновых электродов. I. Разрушение платинового анода в кислых растворах. 679.
- Михайлова Е. А., Смирнова Э. Н., Петухова В. А., Казанский Б. А. Влияние химического строения алкилбензолов на их способность адсорбироваться на силикагеле. 824.
- Михайлова Н. П., см. Командин А. В.
- Михайлова Н. П., см. Шаповалова Р. Д.
- Михеев Е. П., см. Баламутова Э. А.
- , см. Шахпаровов М. И.
- Мищенко К. П., см. Васильев В. П.
- Можарова Т. В., см. Измайлов Н. А.
- Моин Ф. Б., Шевчук В. У. О влиянии температурных условий на скорость протекания ламинарных пламен. 932.
- Моисеев В. Д., Нейман И. Б. Оценка концентрации атомарного водорода и длины цепи при термическом разложении ацетальдегида. 1960.
- Моисеева О. Ф., см. Лантратов М. Ф.
- Мокроузов Л. Н., см. Васильев М. Я.
- Молоткова Е. Н., см. Ротинян А. Л.
- Морачевский А. Г., Леонтьев Н. П., Равновесие жидкость—пар в тройной системе ацетон — хлороформ — этиловый спирт. 2347.
- , см. Смирнова Н. Д.
- Мордберг Е. Л., см. Мосевич А. Н.
- Морозова Г. Х., см. Кострюков В. Н.
- Мосевич А. Н., Никольский Б. П., Парамонова В. И., Мордберг Е. Л. Изучение адсорбции ионов на платинированном угле путем смены газовой атмосферы. 1900.
- , см. Никольский Б. П.
- Мостославский М. А. К вопросу о механизме фотохимической изомеризации органических соединений, содержащих одну этиленовую связь. 2405.
- Мохнаткин М. П. О кривизне фазовых линий в тройной точке. (Письмо в редакцию). 2846.
- Мохов Н. В., Кирш И. В. Рентгенографическое исследование изменений размеров флуктуаций концентрации в системе сероуглерод — метиловый спирт в зависимости от температуры. 1553.
- Мургулеску И. Г., Маркидан Д. И. Определение термодинамической активности в бинарных системах расплавленных солей из электродвижущих сил концентрационных цепей. 2534.
- Мураин В. И., см. Рабинович И. Б.
- Мурин А. Н. К вопросу о коэффициентах использования различных методов разделения изотопов. (Письмо в редакцию). 231.
- Мясников И. А. Электропроводность *n*-полупроводников при хемсорбции молекул, атомов и радикалов. 395.
- Найдич Ю. В., см. Еременко В. Н.
- Набандян А. Б., см. Кармилова Л. В.
- Намлют А. Ю. О растворимости газов в воде под давлением. 1593.
- Нам Чан Сун, см. Сараева В. В.
- Панобашвили Е. З. Влияние молибдата натрия на каталитический распад перекиси водорода в присутствии бихромата. 742.
- Наринский Г. Б. Термодинамическая обработка опытных данных по равновесию жидкость — пар в системе кислород—аргон. 1778.
- Насакина М. И., см. Бабин Е. П.
- , см. Плюсин В. Г.
- Наследов Д. Н., см. Дорин В. А.
- Науменко В. П., см. Чешко Ф. Ф.
- Науменов Ю. П., см. Степухович А. Д.

- думов Н. А. Высокотемпературный метод бесконтактной термографии. 184.
- Иман М. Б., см. Медведева Н. И.
- см. Моисеев В. Д.
- красов Д. Н., см. Кусаков М. М.
- смейнов Ан. Н., Белых Л. П. Измерение давления насыщенного пара твердой окиси лития. 841.
- Фирсова Л. П. Измерение давления насыщенного пара борного ангидрида. 1032.
- , Определение давления пара, равновесного с твердой двуокисью кремния. 1907.
- , Исакова Е. П. Измерение давления насыщенного пара окиси свинца. 1200.
- , —, Измерение давления насыщенного пара твердой окиси свинца методом потока. 1699.
- Хандомирова Н. Э., Виленский В. Д., Бирин Е. А., Борисов Е. А. О влиянии окисных пленок на скорость испарения. 1425.
- см. Белых Л. П.
- см. Фирсова Л. П.
- стеров О. В., см. Энтелис С. Г.
- читайло Н. А., Топчиев А. В., Розенберг Л. М., Терентьева Е. М. Исследование систем п-парафиновых углеводородов. 2694.
- колаев П. Н., см. Рабинович И. Б.
- колаева-Федорович Н. В., см. Дамаскин Б. Б.
- кольский Б. П., Парамонова В. И., Мосевич А. Н. Определение константы обмена некоторых катионов на активированном платинированном угле в атмосфере водорода. 2664.
- см. Мосевич А. Н.
- конович Н. И., см. Гнусин Н. П.
- кулин В. Н., Цыпин М. З. Электродные потенциалы монокристалла серебра. 2814.
- сельсон Л. А. О классификации процессов разделения. 1460.
- ваковский В. М. К вопросу о равновесном и стационарном потенциале водородного катода. 473.
- вик Е. Ю., см. Безуглый В. Д.
- виков А. Н., см. Ветюков М. М.
- вселова А. В., см. Кувыркин О. Н.
- сонович А. А., см. Еременко В. Н.
- рмуханов Р. Н., Шигорин Д. Н., Докунихин Н. С. Люминесценция растворов тиюиндиго при низких температурах. 2055.
- аяши Такеко, см. Митуя-Атузи.
- ухов-Денисов В. В., Сидоров Т. А., Файзуллово Ф. С., Черемисин В. П. Коллебателный спектр стеклообразного фтористого бериллия. 1622.
- одова А. В., см. Маслов В. Н.
- арев В. А., см. Крылова И. В.
- ранер С. Н., см. Брезнева Н. Е.
- ешко В. Ф. Защитное действие воды при радиоллизе крахмала. (Письмо в редакцию). 2369.
- монт Б. Ф. см. Смагина Е. И.
- см. Смирнова В. И.
- троумов В. В. Изменение некоторых оптических свойств палладия под влиянием водорода. 2571.
- Отопков П. П., Евсеев А. М. Теплота образования и физические свойства полупроводниковых интерметаллических соединений. 815.
- Оше А. И., см. Багоджа И. А.
- Павлов Б. В., см. Шантарович П. С.
- Павловская Н. Т., см. Софьяна В. В.
- Пазухин В. А., Лукашенко Э. Е. О применимости уравнения Давая при расчете скорости вакуумной дистилляции сплавов. 2254.
- Палатник Л. С., Виногоров Г. Р., Каган М. Б. Исследование многокомпонентных гетерогенных жидких систем методом замера масс фаз. II. 2396.
- , см. Дерягина О. Г.
- Палеолог Е. Н., Томашов Н. Д., Федотова А. З. Электрохимическое и коррозионное поведение полупроводников в растворах электролитов. II. Скорость растворения германия в серной кислоте в присутствии перекиси водорода. 1027.
- , см. Томашов Н. Д.
- Пальгусев С. Ф., Волченкова З. С. Электропроводность и числа переноса системы $\text{CeO}_2 - \text{ZrO}_2$. 452.
- Панкратов А. В., см. Грибова Е. И.
- Памфилов А. В., Хомяков К. Г., Кобозев Н. И. Евгений Иванович Шпитальский. 1887.
- Панченков Г. М. О статье А. П. Торопова и Г. А. Бродской: «Об уточненной формуле расчета вязкости жидкостей Г. М. Панченкова». 1883.
- , см. Горшков В. И.
- , Грязнова З. В. Дейтероводородный обмен и реакция крекинга кумола на алюмосиликатных катализаторах. 1280.
- , Казанская А. С., Петросян С. А., Об устойчивости Н-формы алюмосиликатного катализатора. (Письмо в редакцию). 2373.
- , —, Печейкин В. А. Об обменной способности алюмосиликатных катализаторов крекинга. 2217.
- , Кузнецова Е. М., Филиппова Р. С., Малахов В. Ф. О новом способе разделения изотопов бора. (Письмо в редакцию). 2370.
- , Макаров А. В., Печалин Л. П. Разделение изотопов бора методом химического обмена. II. Комплексное соединение трехфтористого бора с β , β' -дихлордизтиловым эфиром (хлорексом). 2489.
- , см. Колчич А. М.
- Папицова В. И., см. Гурман В. С.
- Папко С. И. Каталитическое окисление аммиака в неводных растворах. I. Катализаторы I группы периодической системы Д. И. Менделеева. 162.
- , О кинетике взаимодействия аммиака и озона, растворенных в четыреххлористом углеороде. 387.
- , Каталитическое окисление аммиака в неводных растворах. II. Катализаторы II—VIII групп периодической системы Д. И. Менделеева. 518.
- Папоушек Д., Кугирек Я. «Структурные вклады» в значения вторых производ-

- ных термодинамических потенциалов жидкостей. 168.
- Папулов Ю. Г., см. Татевский В. М.
- Парамонова В. И., см. Мосевич А. Н.
- , см. Никольский Б. П.
- Петров Д. А., Колачев Б. А. Исследование очистки вещества от двух примесей методами, основанными на различии состава фаз при кристаллизации. 1802.
- Петрова Ю. С., см. Ваграмян А. Т.
- Петросян С. И., см. Панченков Г. М.
- Петухова В. А., см. Михайлова Е. А.
- , см. Шорыгин П. П.
- Печалин Л. П., см. Панченков Г. М.
- Печейкин В. А., Панченков Г. М.
- Печерская Ю. И., Казанский В. Б. Изучение термического разложения хромового ангидрида на окиси алюминия методом электронного парамагнитного резонанса. (Письмо в редакцию). 2625.
- Печерская Ю. И., см. Казанский В. Б.
- Пиганова Е. А., см. Комаров В. А.
- Пилюн Г. О., Евсеев А. М., Герасимов Я. И. Термодинамические свойства сплавов системы хлор — титан. 1768.
- Плесков Ю. В. Метод разделения двух процессов, одновременно протекающих на электроде. 623.
- , см. Белянчиков М. П.
- Плешанов А. С., см. Ступоченко Е. В.
- Плюснин В. Г., Бабин Е. П. Закономерности замещения атомов водорода в бензольном ядре алкильными группами. VI. К вопросу о равновесии в процессах алкилирования бензола пропиленом в присутствии хлористого алюминия и фтористого водорода. 78.
- , —, Насакина М. И., Родигин Н. М. Закономерности замещения атомов водорода в бензольном ядре алкильными группами. VII. Соотношение между константами скорости образования изопропилбензолов и уравнивания состава продуктов алкилирования бензола пропиленом в присутствии хлористого алюминия. 267.
- , см. Алексеева И. А.
- , см. Бабин Е. П.
- , см. Родигин Н. М.
- Плясунов В. Д., см. Волчкова Л. М.
- Подгорная Е. А., см. Васильев В. П.
- Покидышев В. В., см. Малкин В. И.
- Покровский Н. Л., Тиссен Д. С. Свойства металлических растворов. VI. Влияние примесей индия и германия на поверхностное натяжение и микроструктуру олова. 1238.
- Полторах О. М. Термодинамика дисперсных систем. 3.
- Полукаров Ю. М. Исследование строения и магнитных характеристик электролитических осадков ферромагнитных металлов и сплавов в зависимости от условий их получения. II. Зависимость строения и коэзрптивной силы осадков кобальта от электрохимических условий их получения. 150.
- Поминов В. Т., см. Белянчиков М. П.
- Пономарев В. В., Мигарская Л. Б. Теплоты горения некоторых аминокислот. 2506.
- Попков А. П., Климасенко Н. Л., Варпа
- мян А. Т. Поляризация при электроосаждении никеля, кобальта и железа на твердом и жидком катоде. 174.
- Попова О. С., см. Санжаровский А. Т.
- Попова Т. П., Крюкова Т. А. Полярографические максимумы 1-го рода. Зависимость тока максимума от концентрации восстанавливающегося вещества и электропроводности раствора. 1226.
- Поспелов Б. А. Анодное окисление магния в растворах щелочи. 98.
- Потапов В. К. Распад ионов CO^+ и CO^- при соударениях с атомами неона гелия. 444.
- Похил П. Ф., Мальцев В. М., Гальперин Л. Н. Установка для определения температуры по высоте факела пламени пороха. 1131.
- Похил П. Ф., см. Дремин А. Н.
- Попкус Д. П., Киселев А. В. Энергия дисперсионного взаимодействия бензола и *n*-гексана с поверхностью гидроокиси магния. 2640.
- , —, Электростатическое поле над боковой гранью гидроокиси магния: взаимодействие с ним молекул бензола и *n*-гексана. 2646.
- Привалова Н. М., см. Воробьев А. Ф.
- Проскурнин М. А., Шарпаты В. А. О промежуточных продуктах радиолиза воды. (Письмо в редакцию). 2126.
- Простаков М. Е., см. Левин А. И.
- Прохоров А. М., см. Кайтазов С. Д.
- Пугачев П. П., Лазарев В. Б. Установка для измерения поверхностного натяжения расплавов при высоких температурах. 2607.
- Пшежецкий С. Я., см. Грибова Е. И.
- , см. Дмитриев М. Т.
- , см. Славинская Н. А.
- Рабинович И. Б. Влияние замещения водорода дейтерием на скорость звука и сжимаемость жидкостей. 423.
- , Лобашов А. А., Кучерявый В. И. Отрицательный изотопный эффект вязкости дейтеросоединений. 2202.
- , Мурзин В. И., Жилкин Л. С. Изотопный эффект в вязкости дейтероглицерина и этилендейтероглицероля. 1973.
- , Николаев П. Н. Изотопный эффект термодинамических свойствах жидких смесей. I. Изотопный сдвиг диаграммы давления пара — состав смеси дейтерохлороформа с ацетоном. 2288.
- [Ратнер А. П.], Макаров Л. Л. Термодинамическое исследование системы $\text{KCl} - \text{RbCl} - \text{H}_2\text{O}$ при 25°C . 2945.
- Резухина Т. Н., см. Кузнецов Ф. А.
- , см. Леонидов В. Я.
- , см. Яковлева Р. А.
- Реутов О. А., см. Казидина Л. А.
- Решетников М. А. Некоторые вопросы изотермического равновесия растворов пар по ван-дер-Ваальсу и по Льюису. 212.
- Решетов В. Д. Об униполярных зарядах аэрозолей. 1320.
- Ржищева Т. М., см. Федорова А. И.
- Роговая И. А., Каганер М. Г. Установка для определения сжимаемости газо

- при давлении до 200 атм и температурах от 0 до 200°C. 1933.
- Огозин Ю. М., см. Андреев П. Ф.
- Огозина Э. М., см. Андреев П. Ф.
- Одигин Н. М., Бабин Е. П., Плюсин В. Г. Закономерности замещения атомов водорода в бензольном ядре алкильными группами. IX. Кинетические уравнения некоторых мономолекулярных обратимо-последовательных реакций. 966.
- , см. Бабин Е. П.
- , см. Плюсин В. Г.
- Ожидественская И. Д., см. Баландин А. А.
- Ожидественский И. Б., см. Ступоченко Е. В.
- Озанова В. Н., см. Брежнева Н. Е.
- Озенберг А. И., Памяти Евгения Никитича Гапона (К десятилетию со дня смерти). 700.
- Озенфельд И. Л., Ланцева Е. Н., Калинина Е. П., Анодное окисление пирокония. 995.
- Озмаиан И. М., см. Барони Е. Е.
- Озмаиан И. А., см. Егоров Ю. П.
- Орманьяков Ю. И., см. Фигуровский Н. А.
- Ортинян А. Л., Молоткова Е. Н., Катодная поляризация при образовании сплава железо — кабант. Метод поляризационных кривых. 2336.
- , Рощупкин В. П., см. Шорыгин П. П.
- Орцова В. П., см. Глузман М. Х.
- Осанов А. И., см. Сторонкин А. В.
- Осипов А. П., К вопросу о рациональных путях изучения теплоемкостных свойств водных растворов электролитов. 734.
- Осипов Е. М., Сухотин А. М., Электрохимическое исследование растворов HCl в растворителях с низкой диэлектрической проницаемостью. 983.
- , Электрохимическое исследование растворов HCl в растворителях с невысокой диэлектрической проницаемостью. II. 1402.
- , см. Сухотин А. М.
- Осипов В. И., О температурной зависимости теплоты испарения неассоциированной жидкости. 1851.
- , О скрытой теплоте парообразования неассоциированной жидкости. 2013.
- Осипов П. П., см. Щербаков Л. М.
- Осипова Р. Д., см. Шилов А. Е.
- Осипкина М. К., см. Арбузов Б. А.
- Осипович Г. В., Температурная зависимость скорости взаимных переходов моноклинной и кубической модификаций четыреххлористого углерода. 2808.
- Осипов Е. В., см. Ступоченко Е. В.
- Осиповский А. Т., К методике исследования внутренних напряжений в гальванических покрытиях. 2115.
- , Попова, О. С., К методике исследования диффузии катодно-восстановленного водорода через металлы. 2619.
- , К методике расчета внутренних напряжений в гальванических покрытиях. 668.
- , Расчет внутренних напряжений в гальванических покрытиях по изгибу плоского катода. 466.
- Осипова В. В., Ладыгин Б. Я., Нам Чан Сун. Радиолит и радиационное окисление диизопропилового эфира. 759.
- Сарахов А. П., см. Дубинин М. М.
- Саркисов Э. С., Изменение параметров решеток твердых растворов от состава и правило Вегарда. 432.
- Сафиулина А. В., см. Болдырев В. В.
- Светлова Г. М., см. Кричевский И. Р.
- Севрюгова Н. Н., Уваров О. В., Жаворонков Н. М., Коэффициенты разделения изотопов бора при равновесном испарении фтористого бора. 1304.
- Селиванов Н. М., см. Дракин С. И.
- , см. Капустинский А. Ф.
- Семенов К. Н., см. Кувыркин О. Н.
- Семенов Н. Н., см. Кармилова Л. В.
- Семенова Т. В., см. Мальцев А. Н.
- Семенченко В. К., О связи между термодинамической устойчивостью системы и кинетикой идущих в ней процессов. (Письмо в редакцию). 1384.
- , О физической природе фазовых переходов II рода. (Письмо в редакцию). 1649.
- Семерикова И. А., см. Ветюков М. М.
- Семюхин И. А., см. Кобозев Н. И.
- Серова Г. Ф., см. Турьян Я. И.
- Сивер Ю. Г., Нестационарные электродные процессы в перемешиваемых средах. II. Вольтамперметрия при постоянной силе тока. 577.
- Сидоров Ю. А., см. Обухов-Денисов В. В.
- Симанов Т. А., Новые данные о вторичной структуре у порошков веществ, кристаллизующихся по типу сфалерита (алмаза). 2772.
- , см. Васильева И. А.
- Синдюков В. Г., см. Кобозев Н. И.
- Синицына З. А., Багдасарян Х. С., Ингибирующий эффект и строение ингибиторов. III. Ингибированная полимеризация винилацетата. 1110.
- , Багдасарян Х. С., Ингибирующий эффект и строение ингибиторов. IV. Ингибированная полимеризация акрилонитрила. 2736.
- Скарре О. К., Терешкевич М. Л., Шелехова Т. С., Изучение влияния природы катиона на подвижность атомов кислорода в анионе в водных растворах. I. 1599.
- Скляренко С. И., Смирнов И. В., Беляева Б. Л., Малышева Е. А., Микровискозиметр. 921 е.
- , —, —, —, Простой прибор для создания давлений заданной величины до 200 атмосфер. 1136.
- Скрипов В. П., Костин В. М., Теплоемкость расслаивающихся растворов триэтиламина в легкой и тяжелой воде. 1503.
- Скуратов С. М., см. Воробьев А. Ф.
- Славинская Н. А., Казакевич В. Е., Каменецкая С. А., Чердынченко В. М., Пшежецкий С. Я., Скорость горения озонкислородных смесей. 973.
- , Каменецкая С. А., Пшежецкий С. Я., Васильев Л. А., Влияние ионизирующего излучения на кинетику окисления и воспламенения бутана. I. Формальная кинетика. 1169.
- Славянский В. Т., Природа валентных сил связи в структуре стекла и их роль в процессе вязкого течения. 138.

- Смагина Е. И., Куцев В. С., Ормонт Б. Ф. Исследование равновесия в системе $Zg - N$ при высоких температурах. 2328.
- Смирнов П. В., см. Складенко С. И.
- Смирнов Л. П., см. Кричевский И. Р.
- Смирнова В. И., Ормонт Б. Ф., Кварцевые высоковакуумные печи с вращающейся диафрагмой для определения поверхностного натяжения при высоких температурах и других исследований. 1316.
- Смирнова Н. А., Морачевский А. Г., Равновесие жидкость — пар и взаимная растворимость компонентов в системе пропилацетат — вода. 2554.
- Смирнова Э. Н., см. Михайлова Е. А.
- Соболь В. В., см. Герович М. А.
- Соколов В. А., см. Соколова И. Д.
- Соколов П. Н., см. Касаткина Л. А.
- Соколова И. Д., Соколов В. А., Поверхностное натяжение расплавленных солей. I. Методика измерения. 1987.
- Соловьев Н. В., Баратов А. Н., Зависимость нижних концентрационных пределов воспламенения газовоздушных смесей от молекулярной структуры горючего компонента. 1661.
- Соловьева З. А., Изучение скорости адсорбции поверхностно-активных веществ на поверхности металла. 537.
- , Ваграмян А. Т., О роли самоприспособления в поляризационных измерениях при электроосаждении металлов. 754.
- , см. Ваграмян А. Т.
- , Определение кинетических характеристик поверхностной реакции в процессе горения газов. 1219.
- Сорина Г. А., см. Кричевский И. Р.
- Сотников В. С., Бедановский А. С., Адсорбция ионов некоторых металлов при травлении и промывке кремния. 2410.
- Софьина В. В., Павловская Н. Г., Равновесные состояния в системах $Ti - N$ и $Zg - N$ при низких давлениях. 1104.
- Станкевич И. В., см. Бочвар Д. А.
- Стаханова М. С., см. Дракин С. И.
- , см. Капустинский А. Ф.
- Степанов С. И., см. Укке Е. А.
- Степанова Л. Н., см. Трофимов А. М.
- Степухович А. Д., Деревенских Л. В. О составе продуктов и механизме термического распада этана. 2315.
- , Наумов Ю. П., Кинетика и механизм крекинга парафиновых углеводородов. Влияние гетерогенного фактора на кинетику и механизм крекинга этана и пропана. 1488.
- Сторонкин А. В. По поводу статьи Д. С. Коржинского «Экстремальные состояния в системах с вполне подвижными компонентами». 1643.
- , Русанов А. И. Термодинамическая теория критических явлений в трехкомпонентных системах. I. Термодинамические неравенства, характеризующие критическое состояние. 530.
- , —, Термодинамическая теория критических явлений в трехкомпонентных системах. II. О форме изотермо-изобары сосуществования двух фаз в окрестности критической точки. 749.
- , —, Термодинамическая теория критических явлений в трехкомпонентных системах. III. О форме спинодали критической точке трехкомпонентной системы. 977.
- , —, Термодинамическая теория критических явлений в трехкомпонентных системах. IV. Критические кривые трехкомпонентной системы. 1212.
- , —, Термодинамическая теория критических явлений в трехкомпонентных системах. V. О равновесии гетерогенных систем, содержащих критическую фазу. 1407.
- , —, Термодинамическая теория критических явлений в трехкомпонентных системах. VI. Критические конечные точки тройных систем. 1677.
- , —, Некоторые вопросы термодинамики многокомпонентных гетерогенных систем. II. Необходимые условия устойчивости гетерогенных систем. 1928.
- , —, Некоторые вопросы термодинамики многокомпонентных гетерогенных систем. III. О связи между изменениями химических потенциалов компонентов и изотермоизобарическими изменениями состава фаз. 2167.
- Страхов Б. В., Егоров В. П., Лебедев В. П., Кобозев Н. И., Физико-химия конденсированного озона. IX. Зависимость выхода окиси азота от температуры взрыва озono-азотных смесей. 1524.
- , Лебедев В. П., Кобозев Н. И., Физико-химия конденсированного озона. X. Влияние диаметра сосуда на выход окиси азота при взрывном окислении азота в смесях с озоном. 1706.
- Стрелков И. И., см. Капустинский А. Ф.
- Стрелков П. Г., см. Ицкевич Е. С.
- , см. Карашарли К. А.
- Стромберг А. Г., Богословский В. Д., Полярнографическое изучение органических окислительно-восстановительных систем. 1947.
- , Каргушинская А. И., Полярнографическое изучение неорганических окислительно-восстановительных систем. Влияние характеристики капиллярна анодно-катодную волну в системе $Ti(4+) - Ti(3+)$. 1684.
- Ступоченко Е. В., Самуйлов Е. В., Плещинский А. С., Рождественский И. Б., Термодинамические функции воздуха при высоких температурах. 1265.
- Суворов Н. П., Уравнение состояния воды. 1938.
- Суглобов Д. Н., см. Вдовенко В. М.
- Сумарокова Т., Литвяк И., Валесканина Т. Крискоскопическое исследование систем $SnCl_4 - RCOOH$. 2723.
- , Медведева Т., Литвяк И., О крискоскопическом исследовании реакций комплексообразования. 2727.
- Сумбаев Э. Г., см. Шапунов Л. А.
- Супин Г. С., Электролиз раствора йодистого тетраметил — аммония. 925.
- Сухотин А. М., Об ассоциации ионов в растворах. IV. Числа переноса и внос о ионных тройниках. 63.

- ухотин А. М., Рыжков Е. М. Об особенностях изотерм электропроводности 1-4-валентных солей в растворах с низкой диэлектрической проницаемостью. 762.
- , Об ассоциации ионов в растворах. VI. Растворы CaCl_2 в смесях бутанола с гексаном. 2748.
- ухотин А. М., см. Рыжков Е. М.
- частливый В. П., см. Чижилов Д. М.
- ыромятникова А. С., см. Аликуберов С. С.
- ытилин М. С., Прибор для графического дифференцирования при помощи круга для ускорения обработки кинетических кривых. 1377.
- , Схема потенциостата, обеспечивающего постоянство потенциала поляризации рабочего электрода. 464.
- альрозе В. Л. Франкевич Е. Л., Импульсный метод определения констант скоростей элементарных ионно-молекулярных процессов. 2713.
- артаковская Ф. М., см. Дорин В. А.
- атаринов Б. П., Фурсенко В. Ф., Электропроводность сильно разбавленных растворов Na_2HPO_4 и K_2HPO_4 . 135.
- атевский В. М., Папулов Ю. Г. Связь энергии образования молекулы из свободных атомов с ее строением. 241.
- , Связь энергии образования молекулы из свободных атомов с ее строением. II. Энергия молекулы как сумма энергий попарных взаимодействий атомов (второй метод). 489.
- , Связь энергии образования молекулы из свободных атомов с ее строением. III. 708.
- емкин А. Я., О механизме радиолиза твердой щавелевой кислоты. 2503.
- , см. Апельбаум О. А.
- ерехова М. Г., см. Кобозев Н. И.
- ерешкевич М. О., см. Скарре О. К.
- етерин Г. А., Есин О. А., Одновременное определение диффузии переноса и подвижности ионов в расплавленных силикатах кобальта. 1976.
- иссен Д. С., см. Покровский Н. Л.
- итов В. А., см. Фрейман Л. И.
- олмачев В. Н., Ломакина Г. Г. Спектрофотометрическое исследование реакций взаимодействия 1,8-диокси-2-(2-оксизобензол)-3,6-нафталиндисульфата натрия с ионами кадмия и ртути. 627.
- олмачева Ю. А., Давыдов А. Т. Исследование обмена сульфат-ионов на анионите Н — О в динамических условиях на хлорид- и йодид-ионы. 1260.
- омашов Н. Д., Альтовский Р. М. Исследование механизма электрохимической коррозии титана. II. Коррозия и пассивность титана в растворах соляной кислоты в присутствии ионов платины, меди и железа. 2268.
- , Палеолог Е. Н., Федотова А. З. Электрохимическое и коррозионное поведение полупроводников в растворах электролитов. I. Электродные процессы на германии в растворах серной кислоты в присутствии перекиси водорода. 833.
- , см. Дерягина О. Г.
- , см. Палеолог Е. Н.
- , см. Иофа З. А.
- Томилов Б. И., см. Лощкарев М. А.
- Топчиев А. В., см. Френкель С. Я.
- Торопов А. П., Бродская Г. А. О величинах А и Е, входящих в уточненную формулу для расчета вязкости жидкостей Г. М. Панченкова, 1879.
- Торсуева Е. С., см. Медведева Н. И.
- Трапезников А. А., см. Зотов К. В.
- Трескова Б. И., см. Болдырев В. В.
- Тросман Э. А., см. Лебедев В. П.
- Трофимов А. М., Степанова Л. Н., Радиохимическое исследование обмена ионов на набухающих ионитах. 1837.
- Трусов Г. Н., Аладжалова Н. А., Палладиевый катод (Выделение и обмен изотопов водорода). I. Выделение водорода на диффузионном катоде. 2521.
- Туманова Н. Х., см. Марков Б. Ф.
- Тунин М. С., Касимов Р. И., Совещание по критическим явлениям и флуктуациям в растворах. 2378.
- Турьян Я. И., Милиевский Ю. С., Жанталай Б. П. Полярографическое определение коэффициента активности иона кадмия. 1234.
- , Серова Г. Ф., Полярографическое исследование кинетики образования роданистых комплексов никеля в водном растворе. 1009.
- , см. Гершкович И. А.
- Тюриков Г. С., см. Шуб Д. М.
- Уваров О. В., см. Матвеев К. И.
- , см. Севрюгова Н. Н.
- Удовенко В. В., Александрова Л. П. Давление пара трехкомпонентных систем. III. Система муравьиная кислота — 1,2-дихлорэтан — вода. 1366.
- Укше Е. А. К теории электроосаждения металлов из комплексных растворов. 259.
- , Степанов С. И., Исследование электродных процессов в расплавленных солях. Осциллографическое изучение электровыделения магния в присутствии сульфатов. 559.
- Уразовский С. С., см. Галингер И. С.
- Усачев Д. Н., Ваграмян А. Т., Об условиях электролитического получения сплавов хрома с другими элементами. (Письмо в редакцию). 229.
- Усманов А. Г., Бережной А. Н. Применение метода подобия при исследовании процессов переноса массы. 907.
- Ушакова Э. П., см. Дракин С. И.
- Файзуллоев Ф. С., см. Обухов-Денисов В. В.
- Федотова А. З., см. Палеолог Е. Н.
- , см. Томашов Н. Д.
- Федорова А. И., Ржищева Т. М. Об образовании и устойчивости β -фазы системы палладий — водород в водных растворах. 684.
- Фейш П., Энгельгарт Ю. Новый метод количественного расчета хроматографических пиков с учетом поправок на теплопроводность. 2355.
- Фигуровский Н. А., Комарова Т. А., Романьков Ю. И., Влияние температуры на кристаллизацию солей калия из растворов. 1826.

- Филиппов Ю. В., Житнев Ю. Н. Озонаторы из пластмасс. 209.
- , см. Вендлито В. П.
- , см. Емельянов Ю. М.
- Филиппова К. И., см. Игнатьева Л. А.
- Филиппова Р. С., см. Панченков Г. М.
- Фильченкова Т. Г., см. Антонова Л. Г.
- Финкель Э. Э., Измерение радиоактивности паров бензина и бензола, меченных тритием или углеродом-14. 2365.
- Фиошин М. Я. см. Авруцкая И. А.
- Фирсов А. П., см. Цветкова В. И.
- Фирсова Л. П., Несмеянов Ан. Н. Степени диссоциации и парциальные давления пара оксидов лития, бериллия, бора, кремния и свинца. (Письмо в редакцию). 2615.
- , —, Определение коэффициентов конденсации оксидов лития, бериллия, бора, кремния и свинца. 2719.
- , см. Несмеянов Ан. Н.
- Флид Р. М. Кинетика и механизм каталитических превращений ацетилена. 1773
- Флорианович Г. М., К вопросу о механизме катодного восстановления щавелевой кислоты на ртути. 216.
- Фокин В. Ф. Влияние муравьиной кислоты на поглощение и флуоресценцию триафлавина. 856.
- Фомичев В. Г., см. Машовец В. П.
- Франкевич Е. Л., см. Тальрозе В. Л.
- Фрейман Л. И., Титов В. А. Диффузия электролитического водорода через железные пластинки и механизм перенапряжения водорода на железе. 23.
- Френкель С. Я., Топчиев А. В., Крендель Б. А., Гольдфарб Ю. Я., Исследование полидисперсности полимеров методом неустановившегося седиментационного равновесия. II. Исследование полиизобутилена, полученного с комплексным металлоорганическим катализатором. 327.
- Фронтасев В. П., Шрайбер Л. С. Методика прецизионных измерений показателя преломления жидкостей рефрактометром ИРФ—23 (типа Пульфриха) в интервале температур от 0 до 100 °C. 675.
- Фрумкин А. Н. О статье А. Митута и Т. Обаяши «Разрушение платинового анода в кислых растворах». 931.
- Фур З. И. Релаксационный механизм распространения горения в гетерогенных экзотермических системах. 611.
- , Релаксационный механизм распространения горения в гетерогенных экзотермических системах. II. 1299.
- Фурсенко В. Ф., см. Татаринов В. П.
- Хазанова Н. Е., см. Кричевский И. Р.
- Хандомирова Н. Э., см. Несмеянов Ан. Н.
- Хачгурузов Г. А., Милевская И. С. К численности термодинамических функций многоатомных газов с нежесткими молекулами. I. Общая теория. 2554.
- Хейфец В. Л., см. Шейнин А. Б.
- Хомутов Н. Е. О параметре α кинетических уравнений реакций электролитического выделения водорода и других электродных реакций. 1788.
- , О состоянии протонов в водных растворах. 380.
- Хомяков В. Г., см. Авруцкая И. А.
- Хомяков К. Г., см. Памфилов А. В.
- Христиансен И. А. Сводка физико-химических обозначений и терминов. 2381.
- Хромова В. А., Кинетика реакций хлоридов стронция, бария и свинца с парами брома. 1294.
- Цветкова В. И., Фирсов А. П., Чирков Н. М. Определение истинных констант скоростей распада ионов алкоксона при взаимодействии алифатических спиртов с хлористым водородом. 2066.
- Цеханская Ю. В., см. Кричевский И. Р.
- Циклис Д. С., Шендерец Л. И., Кофман А. Н., Растворимость ацетальдегида в сжатых газах. 768.
- , —, — Фазовые равновесия в системе ацетальдегид—двуокись углерода. 585.
- Цыплякова В. А., см. Мигаль П. К.
- Цыпин М. З., см. Никулин В. Н.
- Чайкин А. М., Шилов А. Е. Способ подачи реагентов в струю газа низкого давления. 1140.
- Чередниченко В. М., см. Славинская Н. А.
- Черемисинов В. П., см. Обухов-Денисов В. В.
- Черненко В. И., см. Лошкарев М. А.
- Черникова Е. А., см. Комаров В. А.
- Черный В. С., см. Измайлов Н. А.
- Черняев Н. П., см. Вяхирев Д. А.
- Чешко Ф. Ф., Бочарова В. В., Бидыло Л. К., Шевченко О. И., Науменко В. П. Физико-химические исследования чувствительности бензольного кольца к поляризующим воздействиям растворителя и силового поля. I. Магнитооптическое исследование межмолекулярного взаимодействия в нитробензольных бинарных системах алкильных производных бензола. 2190.
- Чжан Чжи-бин, Кравцов В. И., Дурдин Я. В. Кинетика электродных процессов, протекающих на твердых электродах. I. Анодные поляризационные кривые на никеле в серной кислоте. 2041.
- Чжан Чжи-бин, см. Кравцов В. И.
- Чижиков Д. М., Счастливый В. И. К вопросу взаимосвязи электропроводности и диаграмм состояния оксидных расплавов. 572.
- Чизмаджев Ю. А., см. Догонадзе Р. Р.
- Чирков Н. М., см. Кудрявцева Т. А.
- , см. Цветкова В. И.
- Чистяков А. Л., см. Бочвар Д. А.
- Чмутов К. В., см. Авгуль В. Т.
- Чувильев Р. Г., см. Ветюков М. М.
- Чуфаров Г. И., см. Журавлева М. Г.
- Шабанов А. А., см. Горшков В. И.
- Шантарович П. С., Павлов Б. В. Термический крекинг метана. 960.
- Шаповалова Р. Д., Михайлова Н. П., Герасимов Я. И., Некоторые физические свойства вольфраматов. I. Определение плотностей вольфраматов. 2060.
- , см. Командин А. В.
- Шапунов Л. А., Кричмар С. И., Сумбаев Э. Г. Фотоэлектрический прибор для люминесцентных определений. 182.
- Шарпаты В. А., см. Проскурнин М. А.
- Шатенштейн А. И. Составление зако-

- номерностей дитерообмена и других реакций. 594.
- Шатенштейн А. И. см. Юрыгина Е. Н.
- Шахпаронов М. И. К теории растворов. Х. О влиянии флуктуаций на диэлектрическую проницаемость однородных изотропных систем. 1478.
- , Баламутова Э. А., Лельчук С. Л., Михеев Е. П., ШUTOVA Л. В., Глушкова Л. Ф., Мартынова М. Е. Исследование давления и плотности пара в системах, содержащих кремнийорганические соединения. I. Система бензол — метилдихлорсилан — метилфенилдихлорсилан. 1734.
- Шейнин А. Б., см. Баламутова Э. А.
- Шевчук В. У., см. Мойн Ф. Б.
- Шейнин А. Б., см. Варшавский Ю. С.
- Шелехова Т. С., см. Скарре О. К.
- Шендерей Л. И., см. Циклис Д. С.
- Шигорин Д. Н., см. Нурмухаматов Р. Н.
- Шилов А. Е., Сабирова Р. Д. Механизм первичного акта термического распада хлорметанов. II. Распад хлороформа. 860.
- , см. Чайкин А. М.
- Шкловер Л. П., см. Аликберов С. С.
- Шкодин А. М. Кислотно-основные равновесия в безводной уксусной кислоте. II. Электропроводность и константы диссоциации минеральных кислот. 1625.
- Школьников С. Н., см. Ветюков М. М.
- Шлыгин А. И., см. Богдановский Г. А.
- Шляпникох В. Я. см. Энтелис С. Г.
- Шляпочников В. А., см. Егоров Ю. П.
- Шония В. М., см. Барони Е. Е.
- Шорыгин П. П., Алауне З. Б. Оптические исследования взаимного влияния атомных групп в молекулах органических соединений. 2299.
- , Гейдерих М. А., Амбруш Т. И. Влияние заместителей на свойства ароматических нитрилов и сульфонов. 335.
- Шорыгин П. П., Егорова З. С., Рошупкин В. П., Петухов В. А. Влияние заместителей на свойства молекул, содержащих систему сопряженных связей. 2393.
- Шрайбер Л. С., см. Фронтасев В. П.
- Шуб Д. М., Тюриков Г. С., Веселовский В. И. Фото- и радиационно-химическое разложение перекиси водорода в присутствии окиси железа. 2245.
- Шубин В. Н., Долин П. И. Окислительные свойства атомарного водорода при радиационном окислении ионов двухвалентного железа. 2480.
- Шуйкин Н. И., см. Егоров Ю. П.
- Шульд М. М., см. Сторонкин А. В.
- Шусторович Е. М., Дяткина М. Е. Вычисление двухцентровых молекулярных интегралов, включающих α -орбиты. 644.
- , —, Некоторые молекулярные интегралы с участием $3d$ -, $4s$ - и $4p$ -орбит. 1843.
- ШUTOVA Л. В., см. Шахпаронов М. И.
- Щербаков Л. М., Рязанцев П. П. К вопросу о краевом угле малых капель. (Письмо в редакцию). 2120.
- Щербакова Т. М., см. Аликберов С. С.
- Эльдaров Ф. Г. Теплопроводность неводных растворов солей. 1205.
- , Теплопроводность неводных растворов солей. II. К механизму теплопроводности электролитов. 1414.
- Эльтеков Ю. А., Киселев А. В. Репензия на сборник «Структура и свойства пористых материалов». 478.
- Энгельгарт Ю., см. Фейш П.
- Энтелис С. Г., Шляпникох В. Я., Карпухин О. Н., Нестеров О. В. Хемиллюминесценция в реакциях хлорангидридов кислот с аминами и кетонами. (Письмо в редакцию). 1651.
- Юрченко Г. К., Богданов Г. А. Определение тепловых эффектов разложения пермолибдатов стронция. 2199.
- Юрыгина Е. Н., Алиханов П. П., Израилевич Е. А., Маночкина П. Н., Шатенштейн А. И. Кинетика дитерообмена изомеров монодейтеротолуола монодейтеродифенила и монодейтеронафталина с жидким бромистым водородом и с раствором амида калия в жидком аммиаке. 587.
- Яковенко Е. И., см. Гурман В. С.
- Яковлева Р. А., Резухина Т. Н. Теплоемкость вольфраматов кальция, марганца и кобальта при высоких температурах. 819.
- Ямщиков Е. Ф. Исправление показателя преломления нормального пентана. (Письмо в редакцию). 2845.
- Янь Го-сень, см. Карапетьянц М. Х.
- Ярым-Агаев Н. Л. Термодинамические свойства смесей расплавленных солей. I. Метод определения состава насыщенного пара над смесью расплавленных солей. Состав насыщенного пара системы хлористый калий — бромистый калий. 1556.
- Ястребов В. В. К вопросу об эквивалентной электрической схеме озонатора. 2394.
- , Физико-химия концентрированного озона. VIII. О тепловом распространении пламени в газовых смесях озона. 46.
- Яцимирский К. Б., Крестов Г. А. Энтропия решетчатых соединений, образованных одноатомными ионами со структурой инертных газов. 2263.
- , —, Энтропия решетки соединений с многоатомными ионами. 2448.
- , см. Васильев В. П.

ПРЕДМЕТНЫЙ УКАЗАТЕЛЬ К XXXIV тому ЗА 1960 г.

- Аддитивность логарифмов вязкости жидких смесей. 1380.
- Адсорбенты, теория корпускулярной структуры. 2146.
- Адсорбционные явления в системе водород — уголекислота — окись углерода — водяной пар. 2772.
- Адсорбция анионов сульфокислот жирного ряда и влияние этих анионов на кинетику электродных процессов, изучение на ртутном электроде.
- водорода и кислорода и их взаимодействия на платине, изучение кинетики. 1153.
- ионов на монослоях. 2091.
- на платинированном угле путем смены газовой атмосферы. 1900.
- некоторых металлов при травлении и промывке кремния. 2110.
- катионов осадком оксиацетата железа. 1866.
- поверхностно-активных веществ на поверхности металла, изучение скорости. 537.
- Активность каталитическая окиси алюминия в реакции разложения изопропилового спирта, влияние на нее примеси некоторых окислов. 43.
- кислорода в системах жидкий металл — твердый окисел. 1018, 1186.
- Алкилобензолы, влияние их химического строения на способность адсорбироваться на силикагеле. 824.
- Алюмосиликатные катализаторы крекинга, обменная способность. 2217.
- Анизотропия скорости термического разложения твердых веществ. 446, 2184.
- Анодная заточка инструмента, теория. 1161.
- Ассоциация ионов в растворах. 63.
- Атомные группы в молекулах органических соединений, оптические исследования взаимного влияния. 2299.
- Ацетальдегид, термическое разложение. 1960.
- Аэрозоли, исследование их образования в радиационно-химических реакциях. 1044.
- Бензол, физико-химические исследования чувствительности кольца к поляризующим воздействиям растворителя и силового поля. 2190.
- закономерности замещения атомов водорода ядра алкильными группами. 78, 267, 726, 966, 1389, 1671.
- Бимолекулярные необратимые последовательные реакции, метод определения отношения констант скоростей. 1069.
- Валентные силы связи в структуре стекла и их роль в процессе вязкого течения, их природа. 138.
- Взрыв тепловой, квазистационарная теория. 2235.
- Вириальный коэффициент паров и их смесей (второй). 2604.
- Водорода замещение дейтерием, влияние на скорость звука и сжимаемость жидкостей. 423.
- катодное выделение. 117.
- выделение на германиевом катоде. 2804.
- Вольфраматы, некоторые физические свойства. 2060, 2063.
- Воспламенение газовоздушных смесей от молекулярной структуры горючего компонента, зависимость нижних концентрационных пределов. 1661.
- Восстановление геометрических изомеров производных 1,2-дибромэтилена на ртутном капальном электроде. 236.
- окислов и ферритов никеля и кобальта графитом, влияние добавок уголекислых калия и натрия. 2704.
- окиси хрома, поверхностное, влияние на ее каталитические свойства. 1336.
- Вязкость некоторых расплавов системы. 2491.
- Газы идеальные, вычисление термодинамических функций по спектроскопическим данным. 1816.
- Германий, электрохимическое поведение.
- Гидратные формы солей в растворе, превращения методом электропроводности. 1534.
- Гидратация отдельных ионов при бесконечном разбавлении и 25° С, наиболее вероятные значения химических теплот, энергий и энтропий. 1763.
- Гистерезис капиллярный при подъеме жидкости в капиллярах переменного сечения. 1602.
- Горение газов, определение кинетических характеристик поверхностной реакции. 1219.
- Давление и плотность пара в системах, содержащих кремнийорганические соединения. 1734, 1916, 2156.
- насыщенного пара борного ангидрида, измерение. 1032.
- — — и коэффициенты диффузии, измерение методом изотопного обмена. 306.
- — — окиси свинца, измерение. 1200.
- — — твердой окиси свинца методом потока, измерение. 1699.
- пара общее над растворами триэтила-

- мин — вода в критической области. 2160.
- определение дифференциальным эффузионным методом. 196.
- равновесного с твердой двуокисью кремния, определение. 1907.
- трехкомпонентных систем. Система муравьиная кислота—1,2-дихлорэтан—вода. 1366.
- Войные жидкие неводные системы, исследование методом измерения эдс. 349.
- Вихцентровые молекулярные интегралы, включающие α -орбиты, вычисление. 644.
- Вейтероводородный обмен и реакция крекинга кумола на алюмосиликатных катализаторах. 1280.
- Вейтерообмен и другие реакции, сопоставление закономерностей. 594.
- Весорбция микроколичеств α -стронция и цезия с монтмориллонита и каолинита. 1357.
- Ветонация жидких растворов озона, критический диаметр и скорость. 1395.
- Ветформация, механические влияния на электродный потенциал меди. 543.
- Ди-и-бутилсульфид, каталитическое разложение на α -Fe. 2030.
- Дискуссион. Дополнительные замечания об экстремальных состояниях. (Ответ А. В. Сторонкину). 1645.
- Еще раз об изучении жидких систем по отклонению логарифма вязкости от оддитивности. 1382.
- — о приближенном уравнении Вандер-Ваальса. 211.
- К вопросу об эквивалентной электрической схеме озонатора. 2394.
- — о механизме катодного восстановления щавелевой кислоты на ртути. 216.
- Некоторые вопросы изотермического равновесия растворов — пар по Вандер-Ваальсу и по Льюису. 212.
- О величинах А и Е, входящих в уточненную формулу для расчета вязкости жидкостей Г. М. Панченкова. 1879.
- О статье А. Митюя и Т. Обаяши «Разрушение платинового анода в кислых растворах». 931.
- — А. П. Торопова и Г. А. Бродской «Об уточненной формуле расчета вязкости жидкостей Г. М. Панченкова». 1883.
- Поведение платиновых электродов. 679.
- По поводу статьи Д. С. Коржиского «Экстремальные состояния в системах с вполне подвижными компонентами». 1643.
- Диссоциация в неводных системах. 157, 802.
- Дистилляция сплавов, вакуумная, применимость уравнения Давя при расчете скорости. 2254.
- Диффузионное извлечение веществ из пористых тел, теория. 86, 278.
- Диффузия в некоторых органических жидкостях с большим молекулярным объемом. 1856.
- электролитического водорода через железные пластинки и механизм перенапряжения водорода на железе. 23.
- Жидкость неассоциированная, температурная зависимость теплоты испарения.
- Зона химической реакции тротила. 2561.
- Изомеризация фотохимическая органических соединений, содержащих одну этиленовую связь, механизм. 2405.
- Изотермы электропроводности I-I-валентных солей в растворах с низкой диэлектрической проницаемостью, особенности. 762.
- Изотопный эффект в вязкости дейтероглицерина и этилендейтерогликоля. 1973.
- — — дейтеросоединений. 2202.
- Катализ, комплексные органометаллические модели. 2137.
- Катализ гидрогенизационный, некоторые структурные вопросы. 1190.
- механизм.
- парами металлов. 1728
- Катализатор кобальтовый, отравление серой. 2795.
- Катализаторы крекинга, алюмосиликатные, модельное изучение регенерации. 1745.
- платиновые, влияние электронных свойств носителя на их фоточувствительность. 2408.
- Кинетика взаимодействия аммиака и озона, растворенных в четыреххлористом углероде. 387.
- гидрирования бензола в присутствии палладиевых катализаторов, вывод уравнений. 1528.
- — олефинов на кобальт-алюмомолибденом катализаторе.
- гидролиза оксилациклогексана в средах соляной и серной кислот. 2664.
- дейтерообмена изомеров монодейтеротолуола, монодейтеродифенила и монодейтеронафталина с жидким бромистым водородом и с раствором амида калия в жидком аммиаке. 587.
- механизм восстановления окислов никеля водородом. 32.
- — — каталитических превращений ацетилена. 1773.
- — — этана и пропана. 1488.
- — — окисления метана. 550, 990, 1176.
- обмена хлора в изомерных β -хлоркритоновых кислотах. 375, 1307.
- катодной и анодной поляризации для растворов ниобия в различных средах. 2308.
- кипения чистой жидкости. 92.
- катодного выделения висмута. 1430.
- образования роданитских комплексов никеля в водном растворе, полярографическое исследование. 1009.
- окисления и воспламенения бутана, влияние ионизирующего излучения. 1163.
- прилипания минеральных частиц к пузырькам при флотации. 2 1528.
- реакций хлоридов стронция, бария и свинца с парами брома. 1294.
- электродных процессов, протекающих на твердых электродах. 2041, 2205.

- электрохимических окислительно-восстановительных реакций. 1753.
- электрохимического выделения водорода, влияние на нее атомарного водорода. 1508.
- Комплексы** в окрашенных растворах, расчет их прочности или растворимости по данным фотометрических измерений. 416.
- Контактные** разности потенциалов между Sn и сплавами Sn—Te в электрокапиллярных явлениях на сплавах Sn—Te. 1345.
- Коррозия** железа сульфидная, механизм. 1585, 1721.
- у трехфазной границы, механизм. 1740.
- титана электрохимическая, механизм. 2268.
- Коэффициент** активности иона, кадмия, полярографическое исследование. 1234
- Коэффициенты** конденсации окислов лития, бериллия, бора, кремния и свинца. 2719.
- разделения изотопов бора при равновесном испарении фтористого бора. 1004.
- Крекинг** метана термический. 960.
- Кристаллизации** скорость, зависимость от толщины слоя. 39.
- Кристаллизация** солей калия из растворов, влияние температуры. 1826.
- Критический** диаметр нитроглицерина и тротила, влияние на него начальной температуры. 603.
- Магнетохимия** активных центров. Стабилизация свободных радикалов на поверхности и электронный парамагнитный резонанс в солях хингидрона. 696.
- Магний** одновалентный, образование и пассивация магниевого анода. 1477.
- Масс-спектрометры** с неоднородным магнитным полем, применение для газового анализа. 1275.
- Мембраны** анионитовые, электродные свойства. 2752.
- Метод** кинетический изотопный, применение для исследования окисления метана в присутствии нитрометана. 1980.
- меченых атомов, применение для исследования сложных химических и биохимических процессов.
- определения констант скоростей элементарных ионно-молекулярных процессов, импульсный.
- электронного газа и определение разности электроотрицательностей атомов. 505.
- ядерного квадрупольного резонанса, применение для исследования взаимодействий между атомами в хлоратах. 1050.
- Методы** подобия, применение при исследовании процессов переноса массы. 907.
- расчета свойств поликомпонентных систем любой мерности по данным для двойных систем. 2431.
- и техника физико-химического исследования. Вакуумная кювета для изучения инфракрасных спектров поглощения твердых тел в атмосфере различных газов и широкой области температуры. 462.
- — — — — Возможности масс-спектро스코пического метода в изучении термодинамики испарения. 456.
- — — — — Высокотемпературный метод бесконтактной термографии. 184.
- — — — — Измерение показателей преломления смесей летучих жидкостей на рефрактометрах Пульфриха. 1133.
- — — — — Измерение радиоактивности паров бензина и бензола, меченных тритием или углеродом-14. 2365.
- — — — — Калориметр для измерения анталий: разложения твердых веществ. 1142.
- — — — — с устанавливающимся тепловым потоком и автоматический компенсатор. 1875.
- — — — — К методике исследований внутренних напряжений в гальванических покрытиях. 2115.
- — — — — исследования диффузии катодно-восстановленного водорода через металлы. 2601.
- — — — — расчета внутренних напряжений в гальванических покрытиях. 668.
- — — — — К прямому методу определения давления пара. 1634.
- — — — — Крутильно-маятниковый вискозиметр с автоматическим отсчетом. 470.
- — — — — Методика прецизионных измерений показателя преломления жидкостей рефрактометром ИРФ-23 (типа Пульфриха) в интервале температур от 0 до 100° С. 675.
- — — — — Метод исследования механизма быстрых реакций в турбулентном реакторе при помощи меченых атомов. 132.
- — — — — определения поляризационных характеристик. 2363.
- — — — — Микровискозиметр. 921.
- — — — — Новая модель хроматографического коллектора. 460.
- — — — — Новый метод количественного расчета хроматографических пиков с учетом поправок на теплопроводность. 2355.
- — — — — Об отделении фарадеевского тока от емкостного в дифференциальной полярографии. 661.
- — — — — О возможности обнаружения концентрационной поляризации путем измерения импеданса электрода. 1872.
- — — — — Озонаторы из пластмасс. 209.
- — — — — О компонентном анализе бинарных систем по ослаблению γ -излучения. 1373.
- — — — — Определение чистоты низкоплавких органических соединений в количестве сотых долей грамма. 2611.
- — — — — Пластмассовые скintилляторы на основе полистирола. (III). 665.
- — — — — Прибор для графического дифференцирования при помощи круга для ускорения обработки кинетических кривых. 1377.

- — — Применение метода уравнивания пластины для исследования поверхностного натяжения растворов полукolloидных веществ при медленном установлении равновесия. 200.
- — — Приставка к осциллографическому полиграфу ГЕОХИ (I) для определения мгновенной разности потенциалов между исследуемым и вспомогательным электродами. 1138.
- — — Простой прибор для создания давлений заданной величины до 200 атмосфер. 1136.
- — — Расчет внутренних напряжений в гальванических покрытиях по изгибу плоского катода. 466.
- — — лабораторных озонаторов. 1145.
- — — Способы подачи реагентов в струю газа низкого давления. 1140.
- — — Схема потенциостата, обеспечивающего постоянство потенциала поляризации рабочего электрода. 464.
- — — Универсальный прибор для высокочастотного физико-химического анализа и титрования растворов. 2838.
- — — Установка для измерения поверхностного натяжения расплавов при высоких температурах. 2607.
- — — для определения температуры по высоте факела пламени пороха. 1131.
- — — с вращающимся дисковым электродом. 1638.
- — — Физико-химический и количественный анализ посредством поглощения электронов. (Метод известных добавок и различных излучателей). 670.
- — — Фотозлектрический прибор для люминесцентных определений. 182.
- — — Электролиз раствора йодистого тетраметил-аммония. 925.
- механизм первичного акта термического распада хлорметанов. 860.
- распространения горения в гетерогенных экзотермических системах. 611, 1299.
- термического распада этана 2315.
- гомокомпонентные гетерогенные жидкие системы, исследование методом замедленной масс фаз. 2396.
- молекулы, содержащие системы сопряженных π -связей, влияние заместителей на их свойства. 2393.
- некулярные интегралы с участием $3d$, $4s$ - и $4p$ -орбит. 1843.
- фтолы, тормозящее действие на процесс разряда ионов свинца и величина активационного барьера. 1060.
- трилы и сульфоны ароматические, влияние заместителей на их свойства. 335.
- мен ионов на набухающих ионитах, радиохимическое исследование. 1837.
- некоторых катионов на активированном платинированном угле в атмосфере водорода, определение констант. 2664.
- сульфат-ионов на анионите Н — О в динамических условиях на хлорид- и йодид-ионы, исследование. 1260.
- электронный при фотоокислении воды на полупроводниках, механизм. 510.
- Озон концентрированный, физико-химия. 46, 1524, 1706, 1893.
- Озонаторы, эквивалентная электрическая схема.
- электрическая теория. 1083.
- Озоно-кислородные смеси, скорость горения. 973.
- Окисление азота, радиационное. 880.
- аммиака, в неводных растворах, каталитическое. 162, 518.
- ионов Fe^{2+} в растворах, содержащих KBr , радиационное. 2513.
- метана и метилового спирта, каталитическое. 1571.
- микроконцентраций окиси азота в двух-окиси азота озоном в газовом потоке. 272.
- дирования, анодное. 995.
- Окислительные свойства атомарного водорода при радиационном окислении ионов двухвалентного железа. 2480.
- Оксибензиламины, полученные на основе фенола и его одноядерных производных, изучение. 287.
- Оксидирование магния в растворах щелочи, анодное. 957.
- Очистка вещества от двух примесей методами, основанными на различии состава фаз при кристаллизации. 1802.
- Палладиевый катод (выделение и обмен изотопов водорода). 2521.
- Палладий, изменение оптических свойств под влиянием водорода. 2571.
- Параметр α -кинетических уравнений реакций электролитического выделения водорода и других электродных реакций. 1788.
- Пассивирование белой жести в растворах натриевой щелочи, анодное. 1117.
- роль в процессе электроосаждения металлов. 1255.
- цинка в хромовокислых растворах. 2075.
- Перекись водорода, каталитический распад в присутствии бихромата, влияния на него молибдата натрия. 742.
- Перенапряжение водорода на алюминий, зависимость от состояния его поверхности и концентрации кислоты. 1610.
- металлов группы железа. 219.
- на кобальтовом аноде кислородное. 2654.
- Печи кварцевые высоковакуумные с вращающейся диафрагмой для определения поверхностного натяжения при высоких температурах. 1316.
- Письма в редакцию. Автопрессование сажи и кажущийся сорбционный гистерезис. 1652.
- Влияние воды на дифференциальную емкость двойного слоя в бутиловом спирте. 2375.
- — фазовых переходов в матрице на гибель радикалов, образующихся при фотоллизе замороженного 25%-ного раствора H_2O_2 в воде. 232.
- — Восстановление нитроциклогексана на капельном ртутном катоде. 691.
- — Два замечания к книге В. Я. Ано-

- сова «Геометрия химических диаграмм двойных систем», 2119.
- Защитное действие воды при радиоллизе крахмала, 2369.
 - Изменение электропроводности окиси кадмия и двуокиси олова под действием освещения и влияния кислорода и воды на этот процесс, 2621.
 - Изотопный масс-спектрометрический анализ бора методом термоионной эмиссии, 2124.
 - Изучение термического разложения хромового ангидрида на окиси алюминия методом электронного парамагнитного резонанса, 2617.
 - Исправление показателя преломления нормального пентана.
 - Каталитическая активность платины, нанесенной на кадмий, 687.
 - К вопросу о коэффициенте использования различных методов разделения изотопов, 231.
 - о краевом угле малых капель, 2120.
 - о разрядке ионов лантана на ртутном катоде, 1885.
 - Коэффициенты разделения изотопов хлора при равновесном испарении Cl_2 , 2123.
 - Об условиях электролитического получения сплавов хрома с другими элементами, 229.
 - Об устойчивости n -формы алюмосиликатного катализатора, 2373.
 - О кривизне фазовых линий в тройной точке.
 - О молекулярных ионах n -парафинов, 475.
 - О новом способе разделения изотопов бора, 2370.
 - Определение теплоты образования Ce_2O_3 методом сжигения в калориметрической бомбе, 2129.
 - О приближенном расчете свойств веществ, отличающихся по изотопному составу, 1647.
 - О промежуточных продуктах радиоллиза воды, 2126.
 - О связи между термодинамической устойчивостью системы и кинетикой идущих в ней процессов, 1384.
 - О связи между чувствительностью к удару и температурой вспышки взрывчатых веществ, 476.
 - — поверхностной энергии кремнезема с его дисперсностью, 698.
 - Осциллографическая полярография. Уравнение нисходящей ветви полярографической волны и его приложения, 1654.
 - О физической природе фазовых переходов II рода, 1649.
 - Разделение некоторых углеводородных газовых смесей методом диффузии через непористые органические мембраны.
 - — Растворимость гидратов окисей щелочно-земельных металлов при высоких температурах, 2610.
 - Расчет вращательной суммы состояний для молекул в жидкости, 1148.
 - Спектр электронного парамагнитного резонанса свободного радикала, полученного облучением H_2O_2 ультрафиолетовым светом, 227.
 - Степени диссоциации и парциальное давление пара окислов лития, бериллия, бора, кремния и свинца, 2618.
 - Термодинамические свойства дициклопентилдодекана, 693.
 - Хемилюминесценция в реакциях хлорангидридов кислот с аминами, кетонами, 1651.
 - Электронный парамагнитный резонанс в облученной окиси алюминия, 477.
- Плавление систем, состоящих из органических солей и кислот.** 2742.
- Пламена ламинарные, влияние температурных условий на скорость проскока.** 932.
- Пленки окисные, их влияние на скорость испарения.** 1425.
- Поверхностное натяжение германия, кремния и алмаза.** 440.
- расплавленных солей. Методика измерения, 1987.
- Подвижность атомов кислорода в анионах в водных растворах, влияние на природу катиона.** 1599.
- кислорода пятиокиси ванадия, влияние добавок сульфата калия, 360.
- Полидисперсность полимеров, исследование методом неустойчившегося седиментационного равновесия. Исследование полиизобутилена, полученного с комплексным металлоорганическим катализатором.** 327.
- Полимеризация ингибированная акрилонитрилом и винилацетатом.** 1110.
- Полимеры кристаллические, строение.** 710.
- Полином Эрмита интерполирующий, применение для передачи физико-химических данных.** 102.
- Полупроводники, электрохимическое коррозионное поведение.** 833, 1027, 1952.
- Поляризация катодная в свинцовых пирофосфатных растворах.** 1616.
- при образовании сплава железо-кобальт, 2336.
 - при электроосаждении никеля, кобальта и железа на твердом и жидком катоде, 1741.
 - — сплава медь-никель, катодная, 1351.
- Полярографические каталитические волны водорода, вызываемые органическими катализаторами.** 651.
- максимумы 1-го рода, 1226.
- Полярографический максимум на волне кобальта в системе кобальт-8-гидроксихинолин.** 2525.
- Полярографическое изучение неорганических окислительно-восстановительных систем.** 1684, 1947.
- исследование терефталевой кислоты, 795.
- Полярография нитратов.** 928.
- Потенциал водородного катода равновесный и стационарный.** 473.
- изобарный реакции прямого восстановления жидкой окиси свинца, определение методом электродвижущей сил, 2471.

- электродный при переходе электрода от пассивного к активному состоянию, поведение. 1121.
- генциалы** электродные монокристалла серебра.
- оппаксность** диэлектрическая некоторых органических соединений в широком интервале температур. 845.
- тоны** в водных растворах, состояние. 380.
- новесие** жидкость-пар в тройной системе ацетон-хлороформ-этиловый спирт 2347.
- в системе $Zr - N$ при высоких температурах. 2328.
- жидкость-пар в системе кислород-аргон. 1778.
- для смесей дифенилоксид-этилсалицилат и ментол-ментон при пониженных давлениях. 2230.
- и взаимная растворимость компонентов в системе пропилацетат — вода. 2546.
- между жидкостью и паром в тройных системах с нелетучим компонентом, метод проверки данных.
- новесие** состояния в системах $Ti - N$ и $Zr - N$ при низких давлениях. 1104.
- циальная** функция распределения атомов в жидкости. 1847.
- циальные** реакции, исследование механизма. 405.
- иолиз** и радиационное окисление диизопропилового эфира. 759.
- твердой щавелевой кислоты, механизм. 2511.
- деление** двух процессов, одновременно протекающих на электроде. 623.
- изотопов** бора методом химического обмена. 2489.
- классификация** процессов. 1460.
- смеси азот — гелий диффузией через пористые перегородки. 2005.
- пад** ионов алкоксония при взаимодействии алифатических спиртов с хлористым водородом, определение истинных констант скоростей. 2066.
- CO^+ и CO_2^+ при соударениях с атомами неона и гелия. 444.
- творимость** ацетальдегида в сжатых газах. 768.
- взаимная** в системе тетрагидрид кремния — ацетонитрил. 935.
- газов** в воде под давлением. 1593.
- трифтористого бора в анизоле, фенотоле, β, β' -дихлордиэтиловом эфире (хлорексе) и серной кислоте. 639.
- творы** металлические, свойства. 1238.
- солей уранила в органических растворителях, изучение при помощи инфракрасных спектров поглощения. 51.
- твердые, изменения параметров решеток от состава и правило Вегарда. 432.
- теория. 1478.
- тиоиндиго, люминесценция при низких температурах. 2055.
- фенола в воде, скорость распространения в них ультразвука. 105.
- ячеечно-групповая** теория. 2587.
- акции** взаимодействия 1,8-диокси-2 (2-оксизобензол)-3,6-нафталиндисульфоната натрия с ионами кадмия и ртути, спектрофотометрическое исследование. 627.
- диенового синтеза, механизм. 225.
- комплексообразования, криоскопическое исследование.
- Реакционность** радикалов органических соединений, исследование. 234.
- — относительная. 1517.
- Реакция** алкилирования бензолов и его гомологов непредельными углеводородами, кинетические уравнения. 1326.
- изомеризации эфиров алкиларсиновых кислот термографическим методом. 2344.
- Ректификационные** колонны пленочные, влияние скорости отбора дистиллата на их разделительную способность. 2509.
- Рефракция** водородной связи в неорганических соединениях. 68.
- Рецензии.** Замечания по поводу книги Хьюккеля. 937.
- Рецензия на книгу Ульриха Шиндewolfфа «Физическая ядерная химия». 480.
- — сборник «Структура и свойства пористых материалов». 478.
- Самодиффузия**, влияние на нее примесей, теория. 83.
- Сенсибилизация** окисления и тушения флуоресценции кислородом органических веществ. 144.
- Сжимаемость** изометрическая взрывчатых веществ при давлениях до 22000 кг/см^2 . 2457.
- Силикаты** кобальта расплавленные. Одновременное определение диффузии переноса и подвижности ионов. 1976.
- Система** гексаметиленимин — вода, критические явления. 1250, 1702, 1920.
- сероуглерод — метиловый спирт, рентгенографическое исследование изменений размеров флуктуаций концентрации в зависимости от температуры. 1553.
- Системы** n -парафиновых углеводородов, исследование.
- образованные спиртами с органическими кислотами, физико-химический анализ. 1581.
- $SnCl_4 - PCOON$, криоскопическое исследование. 2723.
- Скорость** горения черного пороха, зависимость от давления. 177.
- Соосаждение** ионов двухвалентных металлов с солями типа $NaCl$. 633.
- Спектр** колебательный стеклообразного фтористого бериллия. 1622.
- Спектры** ИГ поглощение двойных диазониеских солей. 850.
- поглощения дифениламина и его некоторых производных, влияние различных растворителей на их характер.
- Сподумены** α - и β -, изучение методом инфракрасной спектроскопии. 2082.
- Строение** радикалов у веществ, полученных при алкилировании ароматических углеводородов спиртами в присутствии трифтористого бора. 888.

- Структура** вторичная у порошков веществ, кристаллизующихся по типу сфалерита (алмаза), новые данные. 2772.
- твердых тел, исследование сорбционных методами. 2019.
- «Структурные вклады» в значения вторых производных термодинамических потенциалов жидкостей. 168.
- Сульфиды** и органические соединения, совместное действие на кислотную коррозию и хрупкость железа. 1036.
- Таутомерия** окисно-енольная. 2284.
- Теория групп**, применение в квантовой химии. 108, 295.
- Тепловые эффекты** разложения пермолибдатов стронция, определение. 2199.
- Теплоемкостные свойства** водных растворов электролитов, к вопросу о рациональных путях изучения. 734.
- Теплоемкость** вольфраматов кальция, марганца и кобальта при высоких температурах. 819.
- двуокиси перия при высоких температурах. 2465.
- низкотемпературная щавелевокислого свинца. 1088.
- расслаивающихся растворов триэтиламина в легкой и тяжелой воде. 1503.
- уранатов (VI) кальция и бария при высоких температурах. 1862.
- Теплопроводность** неводных растворов солей. 1205, 1414.
- Теплота** адсорбции углеводородов на окиси магния. 2817.
- испарения цикланов. 1365.
- образования и физические свойства полупроводниковых интерметаллических соединений. 815.
- парообразования скрытая неассоциированной жидкости.
- плавления некоторых неорганических солей. 1072.
- Теплоты** горения некоторых аминокислот. 2506.
- образования силицидов ванадия. 2350.
- щавелевокислого свинца. 1088.
- смешения в системе триэтиламин — вода. 2223.
- сублимации металлов на основании измерений аномальной дисперсии, определение методом Рождественского. 1691.
- Термодинамика** дисперсных систем. 3.
- многокомпонентных гетерогенных систем. 1928, 2167.
- химических равновесий в однотипных реакциях. 945.
- Термодинамическая** активность в бинарных системах расплавленных солей, определение из электродвижущих сил концентрационных цепей. 2534.
- Термодинамическая** теория критических явлений в трехкомпонентных системах. 530, 749, 977, 1212, 1407, 1677.
- Термодинамические** исследования при низких температурах. 1312, 1833.
- свойства двойных металлических систем, исследование методом эдс. 2789.
- жидких металлических растворов. Система калий — свинец. 782.
- — компонентов в жидких растворах системы алюминий — пинк. 1495.
- — системы $\text{Cd} - \text{Sn}$. 2460.
- — смесей расплавленных солей. 1554.
- — сплавов системы хлор — тантал. 1768.
- электролитов в неводных растворах. 127, 319, 1021, 1543, 1709.
- точки особые обратимых химических реакций. 2275.
- функции воздуха при высоких температурах. 1265.
- — многоатомных газов с нежесткими молекулами, вычисление. Общая теория. 2554.
- исследование реакции восстановления трехокиси вольфрама $\text{WO}_3(\alpha)$ водородом. 1811.
- — системы $\text{KBr} - \text{KJ} - \text{H}_2\text{O}$ при 25° С. 1967.
- — системы $\text{KCl} - \text{RbCl} - \text{H}_2\text{O}$ при 25° С. 2495.
- Титана** двуокись, получение. 809.
- Точки** нулевого заряда на амальгаме таллия, определение методом измерения дифференциальной емкости. 2099.
- Триптафлавин**, влияние на поглощение флуоресценцию муравьиной кислоты. 856.
- Тритий**, применение для определения констант скоростей срыва атомов водорода органических соединений. 1286.
- Углерод** четырехбромистый, температурная зависимость скорости взаимных переходов моноклинной и кубической модификаций. 2808.
- Униполярные** заряды аэрозолей. 1370.
- Уравнение** состояния воды. 1938.
- Установка** для определения сжимаемости газов при давлении до 200 атм и температурах от 0 до 200° С. 1933.
- β -Фаза** системы палладий — водород в водных растворах, образование и устойчивость. 684.
- Фазовые переходы** второго рода в λ -кристаллах. 618.
- равновесия в системе ацетальдегид — двуокись углерода. 585.
- — жидкость — газ в системах циклогексан — двуокись углерода и циклогексан — закись азота. 1420.
- Фазовых** равновесий линии, относительное расположение на диаграммах состояний двух компонентных систем. 129.
- Фильтрация** жидкости, применение теория подобия. 789.
- Фото-** и радиационно-химическое разложение перекиси водорода в присутствии окиси железа. 2245.
- Хемосорбция**, теория. 1996.
- Хроматографическое** разделение веществ в газовой или паровой фазах, влияние параметров опыта. 1097.
- Хроника**. Анатолий Федорович Капустинский (некролог).
- Андрей Никитин Сысоев. 2130.
- Евгений Иванович Шпитальский. 1889.
- Киреев В. А. (к 60-летию со дня рождения). 482.

- Крестонилов А. Н. (к 60-летию со дня рождения). 482.
- Николай Семенович Курнаков (к столетию со дня рождения). 2625.
- Памяти Евгения Никитича Гапона. (К десятилетию со дня смерти). 700.
- Первая Всесоюзная конференция по озону. 2619.
- Профессор Альфред Эджерстон. (Некролог). 941.
- Сводка физико-химических обозначений и терминов. 2381.
- С. З. Рогинский (к 60-летию со дня рождения). 939.
- Совещание по критическим явлениям и флюктуациям в растворах. 2378.
- ионные реакции, кинетический анализ. 2174.
- исла переноса катионов в расплавах $\text{Na}_2\text{O} \cdot \text{MgO} \cdot 4\text{SiO}_2$ и $\text{Na}_2\text{O} \cdot \text{SrO} \cdot 4\text{SiO}_2$, измерение. 805.
- экстракция урана из горной породы под влиянием ультразвука. 2429.
- электрические поля в электролитах, теория моделирования. 1563.
- — — экспериментальная проверка условий моделирования. 1717.
- — — — — правильности вида критериальных уравнений. 1911.
- электрический ток на границе ионитных мембран, выпрямление. 413.
- эффект на границе раствор — воздух при образовании полимолекулярных пленок конденсированных ароматических углеводородов. 356.
- электроосаждение акриловой кислоты. 27.
- электровыделение магния в присутствии сульфатов. 559.
- электродвижущие силы при некоторых каталитических восстановительных реакциях. 1331.
- электродиффузия в разбавленных растворах свинца и ртути в металлическом калии. 866.
- электродные процессы нестационарные в перемешиваемых средах. 577.
- электроды биполярные цилиндрический и шаровой. 1795.
- электрокапиллярные кривые на ртути этаноловых растворов хлористого водорода и йодистого натрия. 2759.
- явления на сплавах теллур — золото. 1077.
- электролитические осадки ферромагнитных металлов и сплавов, исследование их строения и магнитных характеристик в зависимости от условий их получения. 150.
- Электроокисление спиртов и альдегидов на платине, механизм. 57.
- Электроосаждение металлов из комплексных растворов, теория. 259.
- — о роли самоприспособления в поляризационных измерениях. 754.
- Электропроводность и диаграммы состояния оксидных расплавов, взаимосвязь. 572.
- и константы диссоциации минеральных кислот. 1625.
- состав растворов, замечания относительно кривых. 2258.
- и числа переноса системы CeO_2 — ZrO_2 . 452.
- n-полупроводников при хемосорбции молекул, атомов, и радикалов. 395.
- растворов расплавленных солей. 367.
- сильно разбавленных растворов Na_2HPO_4 и K_2HPO_4 . 135.
- Электроосиновый концентрированной перекиси водорода из элементов, физико-химическое исследование. 773.
- Электростатическое поле над базисной гранью гидроокиси магния и взаимодействие с ним молекул бензола и н. гексана. 2646.
- Электрохимическая защита, теория. 2320.
- Электрохимические системы с биполярным электродом, распределение тока. 2587.
- Электрохимическое исследование растворов в растворителях с невысокой диэлектрической проницаемостью. 983, 1402.
- Электрочроматографическое разделение на катионите. 2530.
- Энергии связи Н, С, О и N с окисью цинка, определение кинетическим методом. 872.
- сольватации и гидратации ионов, подсчет из величин электродвижущих сил цепей с переносом и без переноса. 2414.
- сопряжения фенилциклопропенил-катиона и дифенилциклопропенил-катиона. 2543.
- Энергия дисперсионного взаимодействия бензола и н. гексана с поверхностью гидроокиси магния. 2640.
- образования молекулы из свободных атомов, связь со строением. 241, 489, 708.
- свободная щавелевокислого свинца. 1088.
- Энтальпия решетки соединений, образованных одноатомными ионами со структурой инертных газов. 2263.
- — — с многоатомными ионами. 2448.
- щавелевокислого свинца. 1088.
- Ядра конденсации в непрерывном потоке, укрупнение и измерение.

СОДЕРЖАНИЕ

Николай Семенович Курнаков (К столетию со дня рождения)	2623
Я. И. Коган и З. А. Бурнашева. Укрупнение и измерение ядер конденсации в непрерывном потоке	2630
Д. П. Пошкус и А. В. Киселев. Энергия дисперсионного взаимодействия бензола и <i>n</i> -гексава с поверхностью гидроокиси магния	2640
Д. П. Пошкус и А. В. Киселев. Электростатическое поле над базисной гранью гидроокиси магния и взаимодействие с ним молекул бензола и <i>n</i> -гексана	2646
И. А. Гершкович и Я. И. Турьян. Кислородное перенапряжение на кобальтовом аноде	2654
С. П. Мискиджьян. Электролитическая диссоциация в неводных системах. XII	2661
Б. П. Никольский, В. И. Парамонова и А. Н. Мосевич. Определение константы обмена некоторых катионов на активированном платинированном угле в атмосфере водорода.	2664
М. И. Винник и Н. Г. Зарахин. Кинетика и механизм реакций в средах концентрированных сильных кислот. III.	2671
И. В. Боровков. Электрохимическое поведение германия	2682
И. В. Калечиц и Инъ Юань-генъ. Кинетика гидрирования олефинов на кобальт-алюмомолибденовом катализаторе	2687
Н. А. Нечитайло, А. В. Топчиев, Л. М. Розенберг и Е. М. Терпьева. Исследование систем <i>n</i> -парафиновых углеводородов	2694
М. Г. Журавлева, В. Н. Богословский и Г. И. Чуфаров. Влияние добавок углекислых калия и натрия на восстановление окислов ферритов викаля и кобальта графитом	2704
В. Л. Тальрозе и Е. Л. Франкевич. Импульсный метод определения констант скоростей элементарных ионно-молекулярных процессов	2709
Л. П. Фирсова и Ан. Н. Несмеянов. Определение коэффициентов конденсации окислов лития, бериллия, бора, кремния и свинца	2719
Т. Н. Сумарокова, И. Г. Литвяк и Т. Ф. Валежанина. Криоскопическое исследование систем SnCl_4 — RCOOH	2723
Т. Н. Сумарокова, Т. В. Медведева и И. Г. Литвяк. О криоскопическом исследовании реакций комплексобразования	2727
З. А. Синицына и Х. С. Багдасарьян. Ингибирующий эффект и строение ингибиторов. IV.	2736
М. Х. Глузман и В. П. Рубцова. Исследование эвтектического плавления систем, состоящих из органических солей и кислот	2742
А. М. Сухотин и Е. М. Рыжков. Об ассоциации ионов в растворах. VI	2748
Е. А. Матерова и З. С. Алагова. Исследование электродных свойств анодитовых мембран	2752
Г. А. Корчинский. Электрокапиллярные кривые на ртути этановых растворов хлористого водорода и йодистого натрия	2759
Л. Г. Антонова, Т. Г. Фильченкова, Ф. П. Ивановский и А. И. Красильщиков. Адсорбционные явления в системе водород — углекислота — окись углерода — водяной пар. II.	2766
Ю. П. Симанов. Новые данные о вторичной структуре у порошков веществ, кристаллизующихся по типу сфалерита (алмаза).	2772
Н. И. Медведева, М. Б. Нейман, Е. С. Горсуева и И. П. Кравчук. Кинетический метод применения меченых атомов для исследования сложных химических и биохимических процессов. X.	2780
В. А. Гейдериш, А. А. Вечер, Я. И. Герасимов. Исследование термодинамических свойств двойных металлических систем методом э.д.с. VI	2789
Л. О. Апельбаум, Ю. И. Березина, М. И. Темкин. Радиохимическое изучение отравления серой кобальтового катализатора окисления аммиака	2795
Е. А. Ефимов и И. Г. Ерусалимчик. Выделение водорода на германиевом катоде	2804
Г. В. Сакович. Температурная зависимость скорости взаимных переходов моноклинной и кубической модификации четырехбромистого углерода	2808
В. Н. Пикупин и М. З. Цыпин. Электродные потенциалы монокристалла серебра	2814

А. А. Исирикян и А. В. Киселев. Теплота адсорбции углеводородов на окиси магния	2817
П. М. Бугай. Влияние различных растворителей на характер спектров поглощения дифениламина и его некоторых производных	2825
В. Б. Коган. Метод проверки данных о равновесии между жидкостью и паром в тройных системах с нелетучим компонентом.	2834

Методы и техника физико-химического исследования

В. И. Ермаков. Универсальный прибор для высокочастотного физико-химического анализа и титрования растворов	2838
--	------

Дискуссия

Ю. М. Емельянов и Ю. В. Филиппов. Об эквивалентной электрической схеме озонаторов (ответ на статью В. В. Ястребова «К вопросу об эквивалентной электрической схеме озонатора»)	2841
--	------

Письма в редакцию

С. Ш. Быки и Р. П. Кирсанова. Разделение некоторых углеводородных газовых смесей методом диффузии через непористые органические мембраны	2844
Е. Ф. Ямщиков. Исправление показателя преломления нормального пентана	2845
М. П. Мохнаткин. О кривизне фазовых линий в тройной точке	2846

Хроника

С. И. Дракин, А. А. Кудрявцев, Н. М. Селиванова и М. С. Сгаханова. Анатолий Федорович Капустинский (некролог)	2848
Содержание тома XXXIV	2851
Авторский указатель к XXXIV тому	2869
Предметный указатель к XXXIV тому	2886

CONTENTS

N. K. Voskresenskaya. Nikolai Semenovich Kurnakov (on the centennial of his birth)	2625
Ya. I. Kogan, Z. A. Burnasheva. Growth and Measurement of Condensation Nuclei in a Continuous Stream	2630
D. P. Poshkus, A. V. Kiselev. Energy of Dispersion Interaction of Benzene and n-Hexane with Magnesium Hydroxide Surface	2640
D. P. Poshkus, A. V. Kiselev. Electrostatic Field over the Basal Plane of Magnesium Hydroxide and Its Interaction with Benzene and n-Hexane Molecules	2646
I. A. Geshkovits, Ya. I. Turyan. Oxygen Overvoltage on a Cobalt Anode	2654
S. P. Miskidzhyan. Electrolytic Dissociation in Non-Aqueous Solutions	2661
B. P. Nikol'skii, V. I. Paramonova, A. N. Mosevich. Determination of the Exchange Constants of Some Cations on Activated Platinized Carbon in a Hydrogen Atmosphere	2664
M. I. Vinnik, N. G. Zarakhani. Kinetics and Mechanism of Reactions in Concentrated Acid Media	2682
I. V. Borovkov. Electrochemical Behavior of Germanium	2687
I. V. Kalechits, In Yuen-ken Kinetics of Olefin Hydrogenation over a $\text{CoMoO}_4 - \text{Al}_2\text{O}_3$ Catalyst	2694
N. A. Nechitailo, Acad. A. V. Topchiev, L. M. Rosenberg. Investigation of n-Paraffinic Hydrocarbon Systems	2704
M. G. Zhuravleva, V. N. Bogoslovskii, G. I. Chufarev. Effect of Additions of Potassium and Sodium Carbonate on the Graphite Reduction of Oxides and Ferrites of Nickel and Cobalt	2709
V. L. Tal'roze, E. L. Frankevich. Impulse Method for Determining the Rate Constants of Elementary Ion - Molecule Reactions	2719
L. P. Firsova, An. N. Nesmeyanov. Determination of the Coefficients of Condensation of Lithium, Beryllium, Boron, Silicon and Lead Oxides	2723
T. Sumarokova, L. Litvak and Valezhanin. Cryoscopic Study of $\text{SnCl}_4 - \text{RCOOH}$ Systems	

T. Sumarokova, T. Medvedeva, L. Litvak. On the Cryoscopic method of Investigating Complexation Reactions	2727
Z. A. Sinitsyna, Kh. S. Bagdasaryan. The Inhibiting Effect and Structure of Inhibitors. IV	2736
M. Kh. Gluzman, V. P. Rubtsova. Eutectic Melting of Systems of Organic Salts and Acids	2742
A. M. Sukhotin, E. M. Ryzhkov. Ionic Association in Solutions. VI. .	2748
E. A. Materova, Z. S. Alagova. A Study of the Electrode Properties of Anion Exchanging Membranes	2752
G. A. Korchinskii. Electrocapillary Curves on Mercury of Ethanol Solutions of Hydrogen Chloride and Sodium Iodide	2759
L. G. Antonova, T. G. Filchenkova, F. P. Ivanovskii, A. N. Krasil'shchikov. Adsorption Phenomena in the System Hydrogen — Carbon Dioxide — Carbon Monoxide — Water Vapor. II	2766
Yu. P. Simanov. New Data on the Secondary Structure of Powders Crystallizing according to the Sphalerite Type	2772
N. I. Medvedeva, N. B. Neiman, E. S. Torsueva, I. P. Kravchuk. Kinetic Tracer Atom Technique in the Study of Involved Chemical and Biochemical Processes. IX	2780
V. A. Geiderikh, A. A. Vecher, Ya. I. Gerasimov. Electromotive Force Studies of the Thermodynamic Properties of Binary Metallic Systems. VI	2789
O. A. Apel'baum, Yu. A. Bulatnikov, M. I. Temkin. Radiochemical Study of the Sulfur Poisoning of Ammonia — Oxidation Cobalt Catalysts	2795
E. A. Efimov and I. G. Erusalimchik. Hydrogen Evolution on a Germanium Cathode	2804
G. V. Sakovich. The Temperature Dependence of the Mutual Transitions of Monoclinic and Cubic Modifications of Carbon Tetrabromide	2808
V. N. Nikulin and M. Z. Tsypin. Electrode Potentials of a Silver Monocrystal	2814
A. A. Isirikyan and A. V. Kiselev. Heats of Adsorption of Hydrocarbons on Magnesium Oxide	2817
P. M. Bugai. Effect of Various Solvents on the Absorption Spectra of Diphenylamine and Some of Its Derivatives	2825
V. B. Kogan. Method of Testing Liquid — Vapor Equilibrium Data on Ternary Systems with a Non-Volatile Component	2834

Physico-chemical Apparatus and Technique

V. I. Ermakov. Universal Apparatus for High Frequency Physico-chemical Analysis and Titration of Solutions	2838
--	------

Discussion

Yu. M. Emel'yanov, Yu. V. Filippov. Equivalent Electrical Circuit of Ozonizers	2841
--	------

Letters to the Editor

S. Sh. Byk, R. P. Kirsanova. Separation of Some Gaseous Hydrocarbon Mixtures by Diffusion through Microporous Organic Membranes.	2844
E. F. Yamschikov. Correction of the Refractive Index of n-Pentane ..	2845
M. P. Mokhnatkin. On the Curvature of Phase Lines at the Triple Point ..	2846

Necrologi

S. I. Drakin, A. A. Kudryavtsev, N. M. Selivanova, M. S. Stakhanova, A. F. Kapustinskii	2848
---	------

ИСПРАВЛЕНИЯ

Журнал Физической химии, 34, № 7, 1960 г. к статье Н. И. Кобозева

Стр.	Таблица	Напечатано	Должно быть
1445	табл. 1, № 5	Ni + 7% Si/ZnS (чист.)	Ni + 7% Si/Ni (чист.)
1445	То же	Ni + 5% Ce/ZnS (чист.)	Ni + 5% Ce/Ni (чист.)
1445	» № 7	ZnS + 340 ед. избыточн. Zn/ZnO (чист.)	ZnO + 340 ед. избыт. Zn/ZnO (чист.)
1445	» № 8	ZnO + 1 мол. % Ca ₂ O ₃ /ZnS (чист.)	ZnO + 1 мол. % Ca ₂ O ₃ /ZnO (чист.)
1445	» № 9 б)	NiO + 0,01 мол. % GeO ₂ /Ni (чист.)	NiO + 0,01 мол. % GeO ₂ /NiO (чист.)
1445	» № 10 в)	MgO + 0,4% Sb ₂ O ₃ /Mg (чист.)	MgO + 0,04% Sb ₂ O ₃ /MgO (чист.)
1452	табл. 4, стол- бец 1		$t_{\text{опыта}}, ^\circ\text{C}$
1452	табл. 4, стол- бец 3	Темловой	Тепловой
1452	табл. 4, стро- ка 1 сверху	$\text{CH}_3\text{CH} \rightarrow \text{CO} + 2\text{H}_2$	$\text{CH}_3\text{OH} \rightarrow \text{CO} + 2\text{H}_2$
1452	табл. 4, стол- бец 5, стро- ка 7 сверху	0,85 ~ 70	~ 70
1455	табл. 5, стол- бец 6	$(1 - 2)e^{0,23Q_p}$	$e^{0,23Q_p}$
1455	То же	$(0,1 : -1,5) \cdot 1$	1
1455	» »	$1 \cdot e^{0,16(Q_p - 20)}$	$e^{0,16(Q_p - 20)}$

Цена 22 руб. 50 коп.

ИЗДАТЕЛЬСТВО АКАДЕМИИ НАУК СССР

Контора «АКАДЕМКНИГА»

Новые журналы Издательства Академии наук СССР на 1961 год

С 1961 года Издательство Академии наук СССР выпускает следующие новые журналы:

ВОПРОСЫ ИХТИОЛОГИИ

Орган Отделения биологических наук Академии наук СССР.

Подписная цена на год (4 номера) — 60 руб.

ГЕОМАГНЕТИЗМ И АЭРОНОМИЯ

Орган Отделения физико-математических наук Академии наук СССР.

Подписная цена на год (6 номеров) — 90 руб.

ИНЖЕНЕРНЫЙ ЖУРНАЛ

Орган Отделения технических наук Академии наук СССР и Института механики Академии наук СССР.

Подписная цена на год (4 номера) — 60 руб.

НЕФТЕХИМИЯ

Орган Отделения химических наук Академии наук СССР.

Подписная цена на год (6 номеров) — 75 руб.

ОКЕАНОЛОГИЯ

Орган Океанографической комиссии Академии наук СССР.

Подписная цена на год (6 номеров) — 90 руб.

РАДИОБИОЛОГИЯ

Орган Отделения биологических наук Академии наук СССР.

Подписная цена на год (6 номеров) — 75 руб.

Подписка на новые журналы Академии наук СССР принимается повсеместно в пунктах подписки «Союзпечати», конторах и отделениях связи, а также в магазинах «Академкнига» и конторой «Академкнига».

В случае отказа в приеме подписки на местах, подписку просьба направлять в адрес ближайшего магазина «Академкнига» или в контору «Академкнига» по адресу:

Москва, Центр, Б. Черкасский пер., 2/10

«АКАДЕМКНИГА»